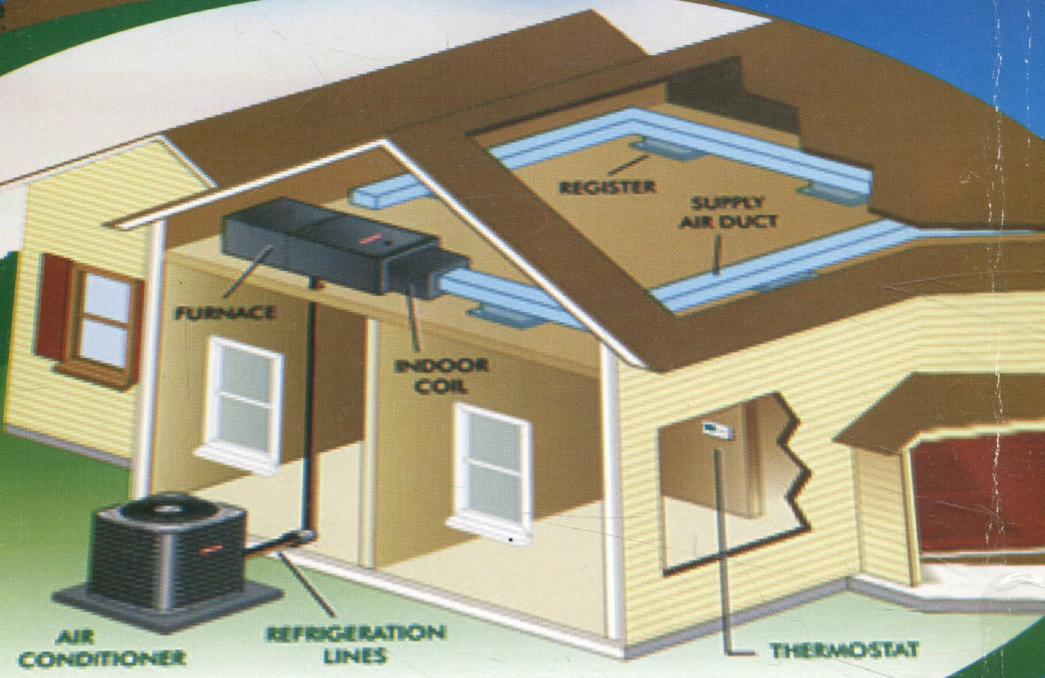


تكييف الهواء



دكتور مهندس / محمد عبدالعزيز احمد

أستاذ التبريد وتكييف الهواء

كلية الهندسة - جامعة الزقازيق



۲۹

دكتور / محمد عبد العزيز أحمد

أستاذ التردد و تكيف الماء

دليس قسم هندسة الماء المكانية سائحة

كلية الهندسة - جامعة الزقازيق

هذا الكتاب

- من أجل طالب كلية الهندسة الدارس لعلم تكييف الهواء .
- من أجل المهندس العامل في مجال تكييف الهواء .

هذا الكتاب يعتبر مدخلاً ميسراً لعلم وتكنولوجيا تكييف الهواء بصفة عامة والمركزي بصفة خاصة . حيث يقدم بصورة مبسطة وواضحة كافة الموضوعات الضرورية لفهم هذا العلم واستيعاب تلك التكنولوجيا بدءاً من خواص الهواء الرطب وظروف راحة الإنسان وعلاقته بعلم السيكرومترى وعملياته ودوازره المختلفة .

يقدم الكتاب بصورة وافية خطوة بخطوة منهج تقدير احتمال تكييف الهواء تبريداً وتدافئة مصحوبة بامثلة محلولة وتطبيقات. كما يستعرض بصورة مفصلة انواع انظمة تكييف الهواء المختلفة ومعداتها.

الكتاب يلقي الضوء على أنواع مسالك الهواء وطرق تصميمها بالاستعاضة بأمثلة محلولة

يشرح الكتاب أهم أنظمة التحكم المستخدمة في مجال تكييف الهواء، كما يشرح أهم الناشئة في النظام وطرق الحد منها.



٦ ش عمرو بن العاص - خلف ش جمال عبد الناصر
أوقيانوس المعلمين - مسامي، ت : ٥٧٤٧٧٢ - ١٤٢٣ - ١٩٧٨٥١٤

تكييف الهواء

دكتور مهندس
محمد عبد العزيز أحمد
أستاذ التبريد وتكييف الهواء
كلية الهندسة - جامعة الزقازيق

بِسْمِ اللَّهِ الرَّحْمَنِ الرَّحِيمِ

"وَعْلَمَكَ مَا لَمْ تَكُنْ تَعْلَمُ
وَكَانَ فَرِضْلَ اللَّهِ عَلَيْكَ عَظِيمًا"

صَلَوةُ اللَّهِ الْعَظِيمِ

مقدمة

Historical Notes

نبذة تاريخية عن تكييف الهواء

تارياً تم اعتبار أي وسيلة لخفض درجة الحرارة أو أي عملية تدفئة أو أي عملية أخرى تتم بغرض تحسين الظروف الحرارية للمكان خلال شهوراً لسنة هي عملية تكييف للهواء . ففي الماضي استعمل الإنسان النار منذ عصور ما قبل التاريخ للتدفئة وبمرور الوقت أخترع الإنسان الدفيات والموافق والأفران ومراجل البخار.

ففي خلال شهور الصيف الحارة كان الهندوون الحمر أول من استعمل التبريد التبخيري Evaporative cooling بتعليق ستابلر مبللة بالماء البارد على فتحات التواخذ والباب حجرات المنازل خصوصاً في اتجاه الرياح وذلك لتبريد الهواء الذي يدخل هذه الحجرات.

وفي عام 1850 تم تجهيز البرلمان الانجليزي بوسائل التهوية الميكانيكية Mechanical ventilation وكذلك تم تركيب مواسير يمر بها البخار الساخن للتدفئة هذه الأماكن هذا الأسلوب كان متبعاً في بعض المباني التي كان يقطنها الأجانب في القاهرة والإسكندرية وبور سعيد والأسماعيلية في القرن التاسع عشر والقرن العشرين.

التطور الحقيقي لعلم تكييف الهواء بدأً منذ بداية القرن العشرين حيث تغير مفهوم العمليات المحدودة ليشمل الظروف البيئية في التحكم في درجة الحرارة ونسبة الرطوبة ونقاء وكمية الهواء . وكان ويليام كاريير Willis Carrier رائد علم التكييف أول من وضع المفهوم السابق موضع التنفيذ . ففي عام 1902 قدم كاريير أول محاولة ناجحة لخفض رطوبة الهواء باستخدام التبريد . هذه تعتبر البداية الحقيقة لاستعمال التبريد كوسيلة لتكييف الهواء . وبعد ذلك توالت الخطوات بسرعة أكبر .

ونظراً للتتنوع السريع والمتألق وزيادة إسهامات المهندسين في مجالات التدفئة Heating والتهوية Air-Conditioning والتبريد Ventilation وتنقية الهواء Refrigeration فقد تكونت الجمعية الأمريكية لمهندسي التدفئة والتهوية والتبريد وتكييف الهواء .

American Society Heating Refrigeration and Air-conditioning Engineers

اختصاراً الأشهرى (ASHRAE)

HVAC applications جالات تكييف الهواء

توعدت مجالات تكييف الهواء ففي عام 1920 بدأ استخدام التبريد في عمليات تكييف الهواء في المسارح والمباني العامة وال محلات التجارية ومنذ ذلك الوقت بدأ تكييف الهواء يسترعي نتباه الناس وانتشر استعماله ومع دخول صناعات الحاسوبات الآلية التي يتطلب نقاً عملها توفير درجة حرارة ورطوبة معينتين وهذا ما يوفرهما تكييف الهواء.

وأصبح تكييف الهواء الآن عاملًا أساسياً في توفير ظروف جيدة لإجراء العمليات الجراحية. في حجرات العمليات حيث يتطلب توفير هواء نقى خالى من الجراثيم والميكروبات وبدرجة حرارة معينة ، كما تتطلب غرف الإقامة للمرضى نفس الظروف. كذلك غرف تركيب أجهزة الأشعة المقطوعية التي تعمل بالكمبيوتر.

في مجال النقل كانت القطارات أول وسائل النقل في استخدام تكنولوجيا تكييف الهواء وكان ذلك في عام 1930 أما في السيارات فكانت بداية استخدام تكييف الهواء فيها عام 1950. وقد تم استخدام تكييف الهواء في الأسطول البحري الأمريكي عام 1938. بعد ذلك توالي استخدام تكييف الهواء في جميع وسائل النقل بداية من سيارات الركوب الخاصة ومروراً بالسفن والقطارات إلى الطائرات بأنواعها.

بعد تأسيس جمعية الأشري (ASHRAE) في عام 1922 استخدمت تكنولوجيا تكييف الهواء في الصناعات الغذائية كصناعة الحلوي والجبن والألبان وكافة الصناعات الغذائية.

في الصناعات الحرارية يستخدم تكييف الهواء في المجالات الآتية:

- قواعد إطلاق الصواريخ ومحطات الرادارات التي ترصد الطائرات.
- في الغواصات العادية وبصورة أكبر في الغواصات الذرية.
- في محطات الفضاء المدارية التي تنقل رواد الفضاء للقيام بابحاث في ظروف تختلف عن ظروف الأرض، لفترات طويلة قد تصل إلى أعوام.

كما يستخدم تكييف الهواء بصورة أساسية في محطات توليد الطاقة الذرية حيث يتطلب الأمر إمداد هذه المباني بهواء جيد نظيف والتخلص باستمرار من الهواء الذي قد يحمل بعض الاشعاعات الذرية .

ونظرًا للتغيرات البيئية التي نعيشها حالياً والمتمثلة في ارتفاع درجة حرارة الأرض باستمرار والتغيرات المناخية المصاحبة لذلك لم تعد تكنولوجيا التكييف ترقى بل أصبحت ضرورة في كثير من المجالات إن لم يكن كلها.

هذا الكتاب يعالج بطريقة سهلة وبسيطة ومتصلة دون الإخلال بالمحنتى العلمي اللازم لطلبة كليات الهندسة الموضوعات المتعلقة بـهندسة تكييف الهواء ويشمل الموضوعات الآتية:

- خواص الهواء وراحة الإنسان.
- عمليات تكييف الهواء المختلفة ودوافع تكييف الهواء.
- حسابات الحمل الحراري لتكييف هواء المباني.
- الاتزان الحراري للمباني.
- التهوية وانسياب الهواء في المسالك.
- تصميم مسالك الهواء وتوزيع الهواء داخل الغرف.
- أنظمة معالجة الهواء والتحكم فيه.
- تنقية الهواء من الملوثات والتحكم في الضوابط.
- استخدام الطاقة الشمسية في أنظمة تكييف الهواء.

الكتاب مزود بالعديد بالأمثلة المحلوله والمسائل العددية لمراجعة استيعاب المحتوى كما تم الاستعانة ببعض الكتالوجات الحديثة لنقل تصور القارئ إلى واقع التكنولوجيا الحديثة.

أَحْمَدُ اللَّهُ أَنْ وَفَقَنِي لَهُذَا

وَاللَّهُ عَلَى النُّورِ فَرِيقٌ.

أ.د / محمد عبد العزيز أحمد .

المحتويات

1

مقدمة

1
2
9

*
نبذة تاريخية عن تكييف الهواء
مجالات تكييف الهواء

تكييف الهواء

10
10
13

الأساس العلمي لتكييف الهواء
操業ات تكييف الهواء
التشغيل الموسمي

14

راحة الإنسان

14
15
17
18
20
21

الجسم يولد طاقة
الجسم يطرد الحرارة
العوامل التي تؤثر على الاتزان الحراري للجسم
درجة الحرارة الفعالة
تنظيم درجة حرارة الجسم
ظروف الراحة

22

الهواء الرطب

22
23
23
23
24
32
34

مكونات الهواء الجاف
خواص الهواء الجوى القياسية
السيكرومترى
خريطه السيكرومترى
خواص الهواء الرطب
تحديد خواص الهواء الرطب
تأثير تغير الضغط الجوى

40

عمليات السيكرومترى

40
42
43
45

التسخين المحسوس
التبريد المحسوس
التبريد وإزالة الرطوبة
معامل التلامس - الإمارار الجانبي

*
1

1.1
1.2
1.3

2

2.1
2.2
2.3
2.4
2.5
2.6

3

3.1
3.2
3.3
3.4
3.5
3.6
3.7

4

4.1
4.2
4.3
4.4

45	درجة حرارة السطح الفعالة	4.5
46	التبريد التخيزى أو الترطيب الأناباتى	4.6
48	التسخين والترطيب الحقن بالبخار	4.7
49	خفض الرطوبة بالإمداد	4.8
52	خلط تيارين من الهواء الرطب أنابباتيا	4.9
54	معامل الحرارة المحسوسة	4.10
62	حساب حمل تكييف الهواء للمبنى	5
62	العوامل التى تؤثر على تقدير حمل تكييف الهواء	5.1
64	أنفاق الحرارة خالل الجدران	5.2
48	حرارة مفقودة أو مكتسب خالل المسالك	5.3
75	الأشعاع الشمسي	5.4
98	حرارة التسرب والتلوية	5.5
106	حرارة شاغلى المكان	5.6
107	الحرارة المكتسبة من الإضاءة	5.7
108	حرارة المعدات والموتورات	5.8
111	حساب حمل التبريد والتدفئة	5.9
124	الأتزان الحرارى للمكان - حالة هواء التغذية	6
125	الأتزان الحرارى للمكان	6.1
129	تحديد درجة حرارة هواء التغذية	6.2
130	تحديد نسبة رطوبة هواء التغذية	6.3
138	دواير معالجة الهواء - دواير السيكلومترى	7
138	عناصر أنظمة تكييف الهواء	7.1
139	أنظمة تكييف الهواء	7.2
141	دواير تكييف الهواء الشتوية	7.3
151	دواير تكييف الهواء الصيفية	7.4
170	تصميم مسالك الهواء	8
172	فقد الضغط فى المسالك المستقيمة	8.1
174	فقد الضغط فى المسالك ذات مقطع مستطيل	8.2
177	فقد الضغط فى المسالك البيضاوية	8.3
181	تدفق الهواء فى التركيبات	8.4
186	تصميم مسالك الهواء	8.5

199	اعتبارات أساسية لتصميم المسالك	8.6
203	فقد الضغط لنظام المسالك	8.7
203	فقد الضغط خلال المسالك	8.8
203	مخطط تدرج الضغط	8.9
→207	منوال تصميم المسالك	8.10
209	طرق تصميم المسالك	8.11
223	المراوح	9
223	تصنيف المراوح	9.1
225	خصائص المراوح	9.2
228	قوانين المراوح	9.3
230	أثران خصائص المراوح	9.4
233	تأثير النظام والتركيب	9.5
235	مراوح على التوالي والتوازي	9.6
235	منوال تركيب المراوح	9.7
235	اختبار المراوح	9.8
242	منافذ توزيع الهواء في الأماكن المكيفة	10
242	مصطلحات توزيع الهواء	10.1
245	أنماط حركة الهواء	10.2
245	أماكن تركيب المنافذ	10.3
246	أنواع منافذ الهواء	10.4
253	الضوابط في معدات توزيع الهواء	10.5
253	اختبار منافذ الهواء	10.6
266	أنظمة تكييف الهواء	11
266	تصنيف أنظمة تكييف الهواء	11.1
269	أنظمة هواء كلی	11.2
276	أنظمة ماء كلی	11.3
279	أنظمة هواء - ماء	11.4

283	مقارنة الأنظمة المجمعة والنظام المركزي	11.5
284	الوحدات المجمعة	11.6
289	وحدات مناولة الهواء	11.7
293	ملفات التبريد التسخين	11.8
294	الطاقة الشمسية وعمليات تكييف الهواء	12
295	نظام التسخين الشمسي	12.1
298	أنواع أنظمة التسخين الشمسي	12.2
300	أنظمة التبريد الشمسي	12.3
300	أنظمة التبريد بالأمتصاص	12.4
312	نظام امتصاص للتبريد والتدفئة	12.5
312	اختيار الوحدات	12.6
312	تكامل نظام التسخين الشمسي ووحدة الأمتصاص في تكييف المبنى	12.7
317	نظم التحكم في تكييف الهواء	13
317	وظيفة نظام التحكم الآلي	13.1
318	مكونات نظام التحكم	13.2
320	أنواع فعل التحكم	13.3
321	المتحكمات	13.4
324	الأداة المحكومة	13.5
328	الخوانق - البوابات	13.6
330	أنظمة التحكم البسيطة	13.7
336	أنظمة التحكم الكاملة	13.8
341	التحكم الرقمي المباشر	13.9
342	منظفات الهواء - المرشحات	14
342	ملوثات الهواء	14.1
344	طرق تنقية الهواء	14.2

346	طرق اختيار المرشحات
347	أنواع المرشحات
353	اختيار المرشح

355

التحكم فى الضوابط فى تكييف الهواء

355	خلفية بسيطة عن نظرية الصوت
358	شدة الصوت
359	مستوى قدرة الصوت
360	مستويات شدة وضغط الصوت
361	تألف مصادر الصوت
362	الطيف الصوتي
364	الأمتصاص فى الصوت
365	خواص الغرفة
366	تقدير ومعيار الضوابط
366	انتقال الصوت خلال المباني
366	مصادر الضوابط من الأنظمة الميكانيكية

تكييف الهواء

AIR CONDITIONING

General

مقدمة

Air Conditioning تكييف الهواء

طبقاً لتعريف جمعية الأشرى ASHRAE فإن تكييف الهواء هو عملية أو مجموعة عمليات تعالجه الهواء داخل مكان ما ليحقق المستويات القياسية لدرجة الحرارة Temperature ونسبة الرطوبة Humidity ratio ، والنظافة Cleanliness والحركة Motion والصوت Sound . وذلك حتى يشعر الإنسان بالراحة وضمان استقرار هذه المستويات.

وسترى كيف يتم التحكم في العناصر السابقة.

- 1- درجة الحرارة Temperature . درجة حرارة الهواء يتحكم فيها أما بازالة الحرارة (التبريد Cooling) أو بإضافة حرارة (تدفئة Heating).
- 2- الرطوبة Humidity . رطوبة الهواء أو بخار الماء يمكن التحكم فيه إما بازالة الرطوبة Dehumidification صيفاً أو إضافة رطوبة Humidification شتاءً.
- 3- النقاوة Cleanliness أو درجة جودة الهواء Air quality ويتم التحكم فيها باستخدام المرشحات Filters أو بالتناقض من بعض الأدخنة والروائح الغير مرغوب فيها بواسطة التهوية Ventilation .
- 4- حركة الهواء Air Motion ويقصد بذلك سرعة الهواء في منطقة التوزيع بحيث لا يسبب إزعاج لشاغلى المكان أما عن طريق تيارات الهواء نتيجة السرعة العالية أو عدم الشعور بالراحة نتيجة انخفاض السرعة بدرجة لا يشعر بها شاغلى المكان بوجود هواء معالج.

5- الصوت Noise وحيث الصوت أو الضوضاء يعتبران من الملوثات البيئية فإن ارتفاع مستوى الصوت إلى مستوى معين يؤدي إلى شعور شاغلٍ بالمكان بعدم الراحة مما دفع مهندسي التكييف إلى تزويد هذه الأنظمة بمعدات مخفضات للصوت . Sound attenuating devices

1-1 Scientific Basic For A/C 1-1 الأساس العلمي لتكيف الهواء

الخلفية العلمية لدراسة علم تكيف الهواء تستمد من العلوم الأساسية الآتية:

1- الديناميكا الحرارية Thermodynamics

2- ميكانيكا المائع Fluid Mechanics.

3- انتقال الحرارة Heat Transfer.

بالإضافة إلى التبريد Refrigeration والتدفئة كعلمان تطبيقيان.

القانون الأول للديناميكا الحرارية هو أساس قانون حفظ الطاقة وأنماطها Energy balance حيث أن هذا الاتزان قد يكون على نظام مغلق Closed system أو على كتلة ثابتة Fixed mass وقد يكون على حجم محكم بكثة في سريان: داخله أو خارجه.

المبدأ المستحكم في سريان السوائل والغازات (الهواء) خلال الأنابيب والمسالك على الترتيب غایة في الأهمية خاصة العلاقة بين السريان Flow وقد الضغط Pressure loss وهذه تبثق من قوانين ميكانيكا المائع والديناميكا الحرارية. بالتأكيد فإن أهمية أساسيات ميكانيكا المائع تمكن من تحليل السريان المستقر للهواء خلال التركيبات والتغير المستمر في كمية التدفق وكذلك في خواص المائع، وقد الضغط خلال التدفق.

علم انتقال الحرارة يتعامل مع التوصيل الحراري بانتقال الحرارة بالحمل والأشعة وهذا يظهر بصورة واضحة في حسابات الأحمال الحرارية فدرا (شأن) أو كسبا (صيفا) للمباني وكذلك في حسابات سعة معدات تكيف الهواء. توجد الآن برامج Software جاهزة لحساب أحمال تكيف الهواء لدى المختصين في هذا المجال.

1-2 Air Conditioning Processes 1-2 عمليات تكيف الهواء

يقصد بعملية تكيف الهواء هي تغيير حالته وستتعرف الان على بعض العمليات بصورة سريعة على أن يأتي التفصيل في أبواب لاحقة .

١.٢.١ التدفئة

١.٢.١.١ Heating

هـى إضافة حرارة للمكان أو لهواء المكان وذلك بتأثير فرق درجة الحرارة بين المصدر الحرارى والمكان أو هواء المكان تحديداً. انتقال الحرارة هذا قد يأخذ الصور الآتية:

١- أشعاع مباشر.

٢- حمل حر

٣- تدفئة مباشرة لهواء مدفوع قسراً.

٤- بواسطة ماء (أو بخار) ساخن مدفوع للمكان. هذه الحرارة تسمى حرارة محسوسة وتعين بالمعادلة Sensible heat.

$$q_s = m_a Cp (t_1 - t_2), \text{ kW} \quad (1.1)$$

$$q_s = \rho Q \cdot Cp (t_1 - t_2), \text{ kW} \quad (1.2)$$

حيث q_s معدل انتقال الحرارة المحسوسة, kW

m_a معدل سريان الهواء, kg/s

Cp الحرارة النوعية للهواء عند ضغط ثابت, KJ/kg

Q معدل السريان الحجمي للهواء, m^3/s

ρ كثافة الهواء, kg/m^3

t_1, t_2 درجة دخول وخروج الهواء (°C)

١.٢.٢ الترطيب

زيادة نسبة بخار الماء في الهواء الجوى يسمى ترطيباً، ولذا فإن انتقال الحرارة هذا يكون مصحوباً بانتقال كتلة وعلى هذا فإن انتقال الحرارة والكتلة يسببان زيادة في مكون بخار الماء في خليط الهواء. ولذلك فإنه من المناسب استخدام تعريف انتقال الحرارة الكامنة Latent heat transfer ويمكن حسابها بالمعادلة

$$q_l = m_w h_{fg}, \text{ kW} \quad (1.3)$$

حيث q_l معدل الحرارة الكامنة المضافة, kW

h_{fg} الحرارة الكامنة للتبخـر, KJ/kg

M_w معدل انتقال بخار الماء للهواء.

ذا ويتم الترطيب في غرف الترطيب Humidifier أو بواسطة أبراج التبريد Evaporative condenser أو المكثفات التبخيرية Cooling tower .Steam humidifier خارج.

1.2.3 Cooling

١.٢ التبريد

انتقال الحرارة من المكان إلى هواء التغذية يسمى تبريداً وذلك بسبب فرق درجات الحرارة بين مصدر التبريد (هواء التغذية) وهواء المكان. في الغالب فإن الهواء يمر على سطح بارد في درجة حرارة منخفضة. هذا السطح يمكن أن يكون داخل المكان (وحدات التكييف الصغيرة) أو خارجه (تكييف مركزي) بحيث يمكن التحكم فيه عن بعد. عادةً يستخدم الماء مثلج Chilled water أو مائع التبريد المتاخر كوسيل تبريد. ما عملية التبريد فيمكن اعتبارها عملية انتقال حرارة محسوسة ويمكن تعينها بالمعادلة (1.1) مع عكس اشارات درجات الحرارة.

1.2.4 Dehumidification

١.٣ إزالة الرطوبة

إزالة بخار الماء من الهواء يسمى Dehumidification. هذه العملية مصحوبة بانتقال حرارة كامنة. وبالتالي فإن نسبة بخار الماء في الهواء تقل. هذه العملية تتم غالباً بمرور الهواء على سطح ذو درجة حرارة منخفضة (درجة حرارته أقل من نقطة الندى المناظرة لحالة الهواء) مما يجعل بخار الماء الموجود في الهواء يتكتف على هذا السطح.

كمية الحرارة الكامنة خلال هذه العملية يمكن تعينها بالعلاقة (1.3)

1.2.5 Cleaning

١.٤ التنقية

تنقية الهواء تعنى تخليص الهواء من الأدخنة والشوائب والروائح الكريهة وفي بعض الأحيان من الأشعاعات الضارة. لهذا الغرض تستخدم المرشحات Filters للتخلص من الأتربة العالقة في الهواء التي تؤثر على الإنسان بالإضافة على المفروشات والأثاث والمعدات. كما أن تنقية الهواء من البكتيريا والجراثيم التي تنقل الأمراض وتسبب الحساسية للإنسان لها أهمية خاصة.

تنقية الهواء تعمل على خفض تكاليف التشغيل وتحسين ظروف الانتاج وتحسين نوعيته والمحافظة على صحة الإنسان.

6.2 حركة الهواء

تقوم شبكة توزيع الهواء المكيف بدفع الهواء إلى أماكن تواجد الناس. حركة الهواء يجب أن تكون قوية و المناسبة لظروف المبنى وذلك قبل أماكن تواجد الناس لضمان وصول كمية مناسبة وضمان ظروف راحة متماثلة بين الغرف. من ناحية أخرى في أماكن تواجد الناس يجب أن تكون حركة الهواء رقيقة بحيث لا يشعر بها الناس في الغرفة ولا تسبب لهم أزعاج ولا تعرضهم لنزلات البرد، هذا يتم بالاختيار الجيد لمواصفات مخارج الهواء وكذلك بالاهتمام بأماكن تركيبها.

1.3 Seasonal Operation

العمليات السابق ذكرها ليس بالضرورة اجراؤها جمياً في نفس الوقت ولكن أوقات العام. مثال ذلك في فصل الشتاء تتحفظ درجة الحرارة ويقل البخار فلذلك تتحفظ نسبة الرطوبة أيضاً. هذا يدعوا إلى الحاجة إلى التدفئة والتقطير. (Heating and humidification) أما في خلال فصل الصيف حيث ترتفع درجة الحرارة بصورة ملحوظة ويزداد معها معدل البخار من المسطحات المائية فترتفع نسبة الرطوبة فيشعر معها الإنسان بالضيق. هذا يدعوا إلى اتخاذ إجراء بخفض درجة الحرارة وإزالة الرطوبة Cooling and dehumidification في كل الحالات هذا يتطلب زيادة فعالية أجهزة الأحساس والتحكم في أنظمة تكييف الهواء على مدار العام.

راحة الإنسان

Human Comfort

مقدمة

راحة الإنسان هي الهدف الأساسي لتكيف الهواء لتوفير مناخ مريح داخل المباني المتواجد فيها ولذلك فإن مهندسي التكيف وكذلك الفنانيين يجب أن يدركوا العوامل التي تؤثر على راحة الإنسان.

2.1 الجسم يولد طاقة

كل المواد الغذائية التي يتناولها الإنسان تحتوى على طاقة، هذه الطاقة تظهر نتيجة أكسدة المواد الغذائية بالأكسجين وتظهر في شكل حرارة تسمى حرارة الميتابوليزم Metabolism. هذه الطاقة تخزن داخل الجسم للقيام بالأنشطة الحيوية اللازمة له. الميتابوليزم يحدد معدل تحول الطاقة الكيميائية (اتحاد العناصر الغذائية مع الأكسجين) إلى طاقة حرارية داخل الجسم. هذا يعتمد بدوره على تدفق الدم قرب سطح الجلد والتنفس وإفراز العرق ولذلك نجد أن:

- تدفق الدم Blood flow ينظم معدل الطاقة الحرارية المنقوله إلى سطح الجلد.
- التنفس Respiration. الهواء الخارجي يدخل الجسم في درجة حرارة الوسط المحيط ويخرج من الجسم مثبوع بالرطوبة ولكن في درجة حرارة قريبة من درجة حرارة الجسم.
- إفراز العرق Sweating له دور واضح في معدل خروج حرارة الجسم مع ما تحمله من ماء وأملاح من الجسم.

كمية الحرارة المتولدة من الميتابوليزم تختلف بدرجة كبيرة من إنسان لأخر طبقاً للنشاط الذي يمارسه الإنسان وتعتمد كذلك على السن والنوع. وحدة الميتابوليزم هي المت (met) وهي وحدة الحرارة المتولدة من مساحة مقدارها متر مربع واحد من جسم إنسان بالغ جالس في هدوء أي أن. $1\text{met} = 58,2 \text{W/m}^2$

إذا فرضنا أن المساحة المتوسطة لجسم الإنسان البالغ هي $1,82\text{m}^2$ تقريباً فإن حرارة الميتايبوليزم المتولدة هي W_{106} .

وتبيّن Table 2.1 معدل حرارة الميتايبوليزم (وتشمل أيضاً حرارة الأيض) للأنشطة المختلفة للناس.

2.2 The Body Rejects Heats 2.2 الجسم يطرد الحرارة

من المعروف أن درجة حرارة جسم الإنسان هي 37°C وينبئ أن تظل كذلك مهماً أختلفت درجة حرارة الوسط المحيط وذلك لتحقيق الاتزان الحراري للجسم ولوساته. إذن لا بد للأجهزة الجسم أن تعمل على الاحتفاظ بهذه الدرجة ثابتة.

من الثابت ان الجسم يولد طاقة أكثر مما يلزم للأنشطة البيولوجية وللأنشطة اليومية. لذلك فإن الطاقة الزائدة يجب التخلص منها باستمرار. هذا يتم من خلال ثلاث عمليات تتم في نفس الوقت وهي:

1- الحمل Convection ، 2- الأشعاع Radiation ، 3- التبخير Evaporation

الحمل convection عملية طرد الحرارة بالحمل تعتمد على ظاهرتين.

الأولى : انتقال الحرارة من الجسم الدافئ إلى الهواء المحيط بالجسم حيث أن درجة حرارة الهواء أقل من درجة حرارة الجسم.

الثانية : نتيجة انتقال الحرارة للهواء ترتفع درجة حرارته وتقل كثافته فترتفع إلى أعلى ويحل محله هواء أنتقل بارد .Fig 2.1

عندما تتحقق هاتان الظاهرتان يتوقف الجسم عن التخلص من الحرارة وترتفع درجة حرارة الهواء المحيط فترتفع إلى أعلى ويحل محله هواء بارد. وبذلك تكتمل دورة الحمل.

الأشعة Radiation. تنتقل الحرارة بالأشعاع من الجسم الساخن إلى أي جسم آخر

بواسطة أشعة الحرارة. الأشعاع يعتمد على ظاهرة انتقال الحرارة من سطح ساخن إلى سطح بارد. لذلك نجد أن انتقال الحرارة بالأشعاع لا يتوقف على درجة حرارة الهواء، المحيط بالجسم ولكن يتوقف على درجة حرارة الأجسام المحيطة بجسم الإنسان Fig 2.2 . هذا يفسر لنا عدم الشعور بالراحة لإنسان جالس بجانب شباك أو حائط خارجي في الطقس البارد حتى لو كانت العرقفة دافئة. كما يشعر الإنسان بالدفء نتيجة انتقال الحرارة بالأشعاع إليه من جسم

Table 2.1 Typical Metabolic Generation from Various activities

	Btu/(hr·ft ²)	met
Resting		
Sleeping	13	0.7
Reclining	15	0.8
Seated, quiet	18	1.0
Standing, relaxed	22	1.2
Walking (on the level)		
0.89 m/s	37	2.0
1.34 m/s	48	2.6
1.79 m/s	70	3.8
Office Activities		
Reading, seated	18	1.0
Writing	18	1.0
Typing	20	1.1
Filing, seated	22	1.2
Filing, standing	26	1.4
Walking about	31	1.7
Lifting/packing	39	2.1
Driving/Flying		
Car	18-37	1.0-2.0
Aircraft, routine	22	1.2
Aircraft, instrument landing	33	1.8
Aircraft, combat	44	2.4
Heavy vehicle	59	3.2
Miscellaneous Occupational Activities		
Cooking	29-37	1.6-2.0
House cleaning	37-63	2.0-3.4
Seated, heavy limb movement	41	2.2
Machine work		
sawing (table saw)	33	1.8
light (electrical industry)	37-44	2.0-2.4
heavy	74	4.0
Handling 50-kg bags	74	4.0
Pick and shovel work	74-88	4.0-4.8
Miscellaneous Leisure Activities		
Dancing, social	44-81	2.4-4.4
Calisthenics/exercise	55-74	3.0-4.0
Tennis, singles	66-74	3.6-4.0
Basketball	90-140	5.0-7.6
Wrestling, competitive	130-160	7.0-8.7

درجة حرارته عالية حتى لو كانت درجة حرارة الهواء منخفضة كما يحدث انتقال الحرارة بالأشعة إذا تحرك الإنسان من مساحة مظللة إلى منطقة مشمسة ليس فيها ظلال. ويعتمد كل ذلك على درجة الدكانة Blackness فتجد الناس صيفاً ترتدى الملابس الفاتحة وذلك لعكس الأشعة الواقية للجسم وشتاءً الملابس الداكنة لامتصاص تلك الحرارة.

التبخر Evaporation هي العملية التي تحول فيها الرطوبة إلى بخار. عند تبخر الرطوبة من على جسم الإنسان فإن الحرارة تطرد ويزداد سطح الجلد كما هو مبين في Fig 2.3.

2.3 العوامل التي تؤثر على الاتزان الحراري لجسم الإنسان 2.3 Factors Affecting Human Body Thermal Balance

العوامل التي تؤثر على الاتزان الحراري لجسم الإنسان هي:

أولاً : درجة الحرارة Temperature تؤثر درجة الحرارة كالتالي:

- درجة حرارة الهواء المنخفضة تزيد من انتقال الحرارة بالحمل بينما درجة حرارة الهواء المرتفعة تقلل من انتقال الحرارة بالحمل.
- الهواء البارد يخنق من درجة حرارة الأجسام المحيطة ويزيد معدل الأشعة بينما يكون تأثير الهواء الدافئ عكسياً.
- الهواء البارد يزيد من معدل البخار بينما الهواء الدافئ يخنق هذا المعدل.

ثانياً : الرطوبة Humidity. الهواء ذو الرطوبة النسبية المنخفضة يسمح بمعدل تبخر أكبر من الجسم الذي يتخلص من الحرارة الزائدة بالتبخر ويقل هذا المعدل كلما زادت الرطوبة النسبية، وهذا ما يفسر الأحساس بالحر الشديد في فصل الصيف حيث يزداد البخار من المسطحات المائية وتترفع الرطوبة النسبية ويعاني من هذا سكان المناطق الساحلية بالرغم من انخفاض درجة الحرارة. هذا ويشعر الإنسان بالراحة عند رطوبة نسبية

$$\phi = (50-60) \%$$

ثالثاً : حركة الهواء Air Movement. عامل آخر يؤثر على قابلية الجسم للتخلص من الحرارة الزائدة ألا وهو حركة الهواء حول الجسم.

- يزيد معدل تخلص الجسم من الحرارة بالبخار . حيث أن الرطوبة المتواجدة في مسامات الجلد ستحملها الهواء بعيدا عن الجسم بمعدل أسرع ومعها الحرارة الزائدة.
- انتقال الحرارة بالحمل حيث أن حركة الهواء تعمل على نقل طبقة الهواء الساخن الموجودة حول الجسم بعيدا عنه وبذلك يزيد معها فرق درجات الحرارة بين الجسم والوسط المحيط فيزيد معها انتقال الحرارة بالحمل.
- انتقال الحرارة بالأشعة حيث أن الأسطح المحيطة بجسم الإنسان ستبرد أسرع وبالتالي تسمح بزيادة معدل انتقال الحرارة بالأشعة. تأثير العوامل السابقة على إشارتها إليها

Fig 2.4 مبين

4. 2 درجة الحرارة الفعالة 2.4 Effective Temperature

هي مقياس لدرجة الراحة ويرمز لها بالرمز ET. هذه الدرجة لا تقاد ولكن تعبر عن مجموعة من المؤشرات على راحة الإنسان فيبي تشمل تأثير كل من درجة حرارة الهواء، نسبة الرطوبة، حركة الهواء وتتأثر ذلك على الشعور بالراحة في حالتي الدفء أو البرودة. نتيجة لذلك عند نفس درجة الحرارة الفعالة فإن جسم الإنسان يحس بنفس الأحساس حتى ولو اختلفت درجات الحرارة للهواء ونسبة الرطوبة ولهذا فإن درجة الحرارة الفعالة تعتمد على كل من: الملابس، النشاط نسبة الرطوبة وسرعة الهواء والنوع . وجد أن درجة الحرارة الفعالة للشاب البالغ حوالي 24.5°C . درجة الحرارة هذه تسمى درجة الحرارة الفعالة القياسية Standard Effective Temperature SET وقد تم تحديد درجة الحرارة القياسية SET عند الظروف القياسية الآتية:

Air velocity $<0.1 \text{ m/s}$.

Moisture permeability = 0.4

Metabolic activity level = 1met.

Closing insulation = 0.6 Clo

حيث تأثير الملابس يعبر عنه بوحدة Clo

$\text{Clo} = 0$ الشخص العاري

$\text{Clo} = 1$ الشخص المرتد بالبطو وصديرى

$0 < \text{Clo} < 1$ فى الظروف الأخرى

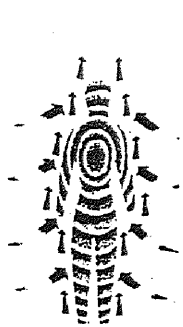


Figure 2.1 Convection

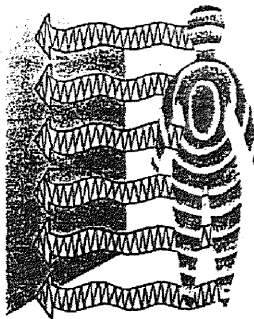


Figure 2.2 Radiation



Figure 2.3 Evaporation

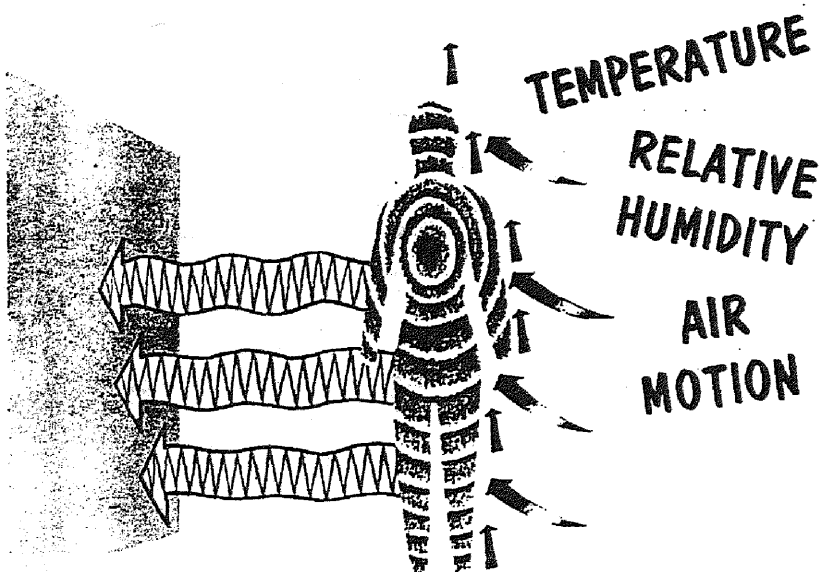


Figure 2.4 Conditions that affect body comfort.

وقد وجدت جمعية الأشترى ASHRAE أنه يشعر الرجال والناس بالراحة عندما تكون الرطوبة النسبية في حدود % (30 - 70) ودرجة الحرارة الجافة 22°C - 26°C) عندما تكون درجة الحرارة الفعالة في حدود 24.5°C . درجة الحرارة الفعالة هذه تتوقف على فترة التواجد فتزيد كلما قلت فترة التواجد وتتوقف كذلك على النوع فهي للإناث أكبر من مثيلتها للذكور وذلك بسبب زيادة نسبة الدهون عند الإناث - كذلك الحال بالنسبة للأعمار فوق الأربعين أكبر من مرحلة الشباب بحوالى 0.5°C حيث أن في هذه السن يكون الجسم قد تكون قادر من الدهون نتيجة نقص الحركة نسبيا.

يجب ملاحظة أن الأحساس بالراحة أمر متغير كالطبيعة البشرية وتشمل هذه الاختلافات طبقاً للحالة الصحية للأفراد أياً كان السن، ونوعية النشاط الذي يمارسونه وطبيعة الملابس ونقص أو زيادة الحركة الموضعية للهواء والتواجد بالقرب التواجد الباردة أو الحوائط التي تؤثر فيها أشعة الشمس لفترات طويلة وهكذا.

2.5 تنظيم درجة حرارة الجسم

2-5 Human Body Temperature Regulation

يشمل جسم الإنسان على نظام معقد يعمل على حفظ درجة حرارته ثابتة عند 37°C تقريباً مع تغيير درجة الحرارة الفعالة ارتفاعاً وانخفاضاً. عندما ترتفع درجة الحرارة الفعالة عن 32°C فإن المركز الذي ينظم درجة حرارة الجسم يختلف في عمله ويكون ذلك مصحوباً بارتفاع في درجة حرارة الجسم وأزياد ضربات القلب فيتدفع بذلك الدم إلى ما تحت الجلد ليعمل على خفض درجة حرارته ويكون ذلك مصحوباً بانخفاض فقد الحراري المحسوس وزيادة في فقد الحرارة الكامنة متمثلة في الأفراز العرقى المصحوب بفقدان الجسم للعديد من الأملاح وهذا يفسر شعور الإنسان بالخمول والكسل عند ارتفاع درجة الحرارة صيفاً. لذلك ينصح الأطباء الأشخاص المتواجدين في أماكن ذات طبيعة حارة بزيادة تناول الأطلاع لتعويض فقد المشار إليه.

عند انخفاض درجة الحرارة فإن الأعضاء التي تقوم بتوسيع الطاقة تشتعل فتتأثر عملية الهضم وحركة الدم والكلى ويزداد ضغط الدم نتيجة انقباض الأوعية الدموية في أجهزة التنفس فيكون الإنسان عرضة للإصابة بأمراض الجهاز التنفسى والنزلات الشعيبية. في هذه الحالة يكون انتقال الحرارة من الجسم يكون عن طريق الحمل ويصبح مكون الحرارة المحسوسة أكبر.

2.6 ظروف الراحة

مما سبق يتضح أن الظروف الحرارية للمكان والهواء الخارجي تلعب الدور الأعظم في شعور الإنسان بالراحة. بناء على العديد من التجارب للأشخاص رجلاً ونساءً، حددت جمعية الأشغالASHRAE ظروف الراحة كما يلي:

صيفاً	شتاءً
$t_{db} = 22 - 27^{\circ}\text{C}$	$t_{db} = 20 - 23^{\circ}\text{C}$
$t_{wb} = 13 - 22^{\circ}\text{C}$	$t_{wb} = (12-20)^{\circ}\text{C}$
$t_{ET} = 19 - 24^{\circ}\text{C}$	$t_{ET} = (18-22)^{\circ}\text{C}$

في كل الأحوال الرطوبة النسبية $\phi = (30-70)\%$

هذه الظروف مبينة في Fig. 2.5 . الذي يحدد ظروف الراحة شتاءً وصيفاً المنطقه ذات الظلال الدكنة تمثل ظروف الراحة لنظام تكييف معتمد طوال العام.

أهمية منطقه الراحة Comfort zone تتمثل في تحديد الظروف الداخلية
اللازم توفيرها لكي يشعر شاغلو المكان بالراحة.

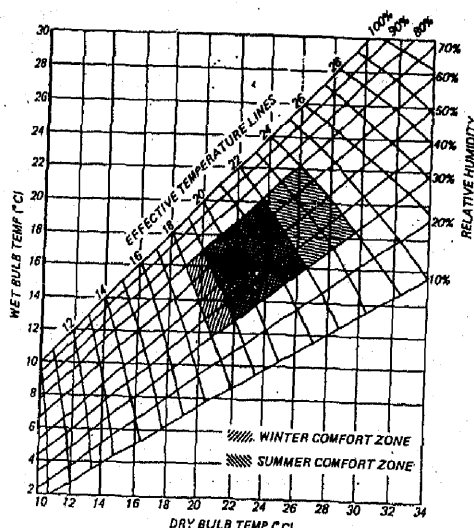


Figure 2.5 Comfort zone.

3

الهواء الرطب

MOIST AIR

General

مقدمة

الهواء الجوى Atmospheric Air يتكون من مجموعة من الغازات مخلوطة مع بعضها خلطاً ميكانيكيًا وهذه الغازات هي : النتروجين ، الأكسجين ، ثاني أكسيد الكربون ونسبة ضئيلة من الغازات الخاملة مثل الأرجون ، كريتون ، زيتون ، رادوان ، هيلوم بالإضافة إلى بخار الماء.

يقصد بالخلط الميكانيكي أن مكونات الهواء غير متعددة كيميائياً وعلى ذلك يمكن فصلها بسهولة . الإنسان يستنشق الهواء فيأخذ منه الأكسجين الضروري للعمليات البيولوجية ويطرد ثاني أكسيد الكربون الذي يأخذ النبات ويطرد الأكسجين وبذلك يستقر الاتزان النوعى للهواء اللازم للحياة . هذا يسمى بالهواء الجاف .

3.1 Dry Air Contents

3.1 مكونات الهواء الجاف

يتكون الهواء الجاف من العناصر المبينة في Table 3.1 وبالنسبة المئوية المبينة قرير كل عنصر .

Table 3.1 Composition of dry Air

<i>Constituent</i>	<i>Molecular Mass</i>	<i>Volumetric Fraction %</i>
Oxygen	32	20.95
Nitrogen	28.016	78.09
Argon	37.944	0.93
Carbon dioxide	44.01	0.03

3.2 خواص الهواء الجوى القياسية

3.2 Standard Atmospheric Air Properties

1. الحاذبية الأرضية $g = 9.807, \text{m/s}^2$
2. درجة الحرارة عند سطح البحر $T_0 = 288, \text{K}$
3. الضغط الجوى عند سطح البحر $P_0 = 101.037, \text{kPa}$
4. الهواء الجوى يحتوى على هواء جاف له صفات الغاز المثالى فى مجال تغير درجة الحرارة $(C^\circ) - 150 - t = 30$
5. كثافة الهواء $\rho = 1.115 \text{ kg/m}^3$

خلافاً عن الهواء الجاف dry air فإن الهواء الجوى atmospheric air يحتوى باستقرار على نسبة من بخار الماء تختلف من مكان لأخر ومن فصل لأخر في السنة الواحدة لنفس المكان .
بخار الماء الموجود في الهواء الجوى وابنه كانت تسببه بسيطة نسبياً إلا أنه ثيد التأثير على مواصفات الهواء ككل وذلك بسبب الرطوبة التي قياس بالرطوبة النسبية Relative humidity أو الرطوبة النوعية Specific humidity وسيتم شرحها فيما بعد :

3.3 Psychrometry

3.3 السيكرومترى

هو العلم الذى يدرس خواص الهواء وهو مختلط مع بخار الماء .

3.4 Psychrometric Chart

3.4 خريطة السيكرومترى

خواص الهواء الجوى يمكن وضعها في صورة جداول أو في صورة منحنيات . في العادة بفضل وضعها في صورة منحنيات تشكل فيما بينهما خريطة تسمى خريطة السيكرومترى Psychrometric chart . هذه الخريطة تساعد ليس فقط في تحديد خواص الهواء الرطب ولكنها تساعد أيضاً في دراسة عمليات تكييف الهواء . هذه الخريطة عبارة عن مخطط يتم تنشيل فيه كل من درجة حرارة الهواء العادمة Dry bulb temperature(db) ودرجة حرارة

ـ سواء الرطوبة (wb) ونسبة الرطوبة (w) Humidity ratio (wb) و Relative humidity (φ) والانثالبيا (h) Specific Enthalpy والحجم النوعي (v) . وتحتوى أيضاً على مفهوم معامل الحرارة المحسوسة SHF والذي سيأتي شرحه بعد .

ـ حرطبة السيكرومتر قد تأخذ أشكالاً عديدة ولكن النظرية والبيانات التي على أساسها وضعت عددة . أكثر الأشكال شيوعاً هو مبين في Fig. 3-1 . وقد تم وضعها عند ظروف الضغط الجوى اسبي $P = 101350 \text{ Pa}$. وسيتم شرح تمثيل كل من الخواص السابق ذكرها للهواء الرطب كل حدة .

3 خواص الهواء الرطب 3.5 Moist Air Properties

ـ درجة حرارة الهواء الجافة والرطبة Dry and Wet Bulb Temperatures

ـ درجة حرارة الهواء الجافة Dry bulb temperature هي عبارة عن درجة الحرارة التي يقرأها الترمومتر الرئيسي داخل زجاج مباشرة (محمياً من تأثير الأشعاع) ويشير عدم ملامسة انفاسة الحساس لأى سائل أو بخار ويرمز لها بالرمز (db) .

ـ درجة حرارة الهواء الرطبة Wet bulb temperature ، إذ وضعت قطعة من القماش المبلل على بصلة الترمومتر الزجاجي فإن أقل درجة حرارة يقرأها الترمومتر هي درجة حرارة الهواء الرطبة ويرمز لها بالرمز (wb) ومن ذلك يفهم أن درجة الحرارة الرطبة أقل من درجة الحرارة الجافة وذلك نظراً لتبخّر الماء الموجود بالقماش حيث يتم سحب جزء من حرارة الوسط المحيط فيبرد وبذلك يعطي درجة حرارة أقل من الجافة . مما هو جدير بالذكر فإن درجة الحرارة الجافة تساوى درجة الحرارة الرطبة فقط عند الرطوبة النسبية 100% حيث الهواء يكون محلاً بأكبر كمية من بخار الماء، يمكن حملها.

ـ لقياس درجة حرارة الهواء الجافة والرطبة يستعمل جهاز المقلاع أو سيكروميتز سلينج Sling Psychrometer وهو جهاز يحتوى على ترمومترتين Fig. 3.2 أحدهما مغطى بقطعة من القماش المبلل يقرأ درجة حرارة الهواء الرطبة والأخر بدون ويقرأ درجة حرارة

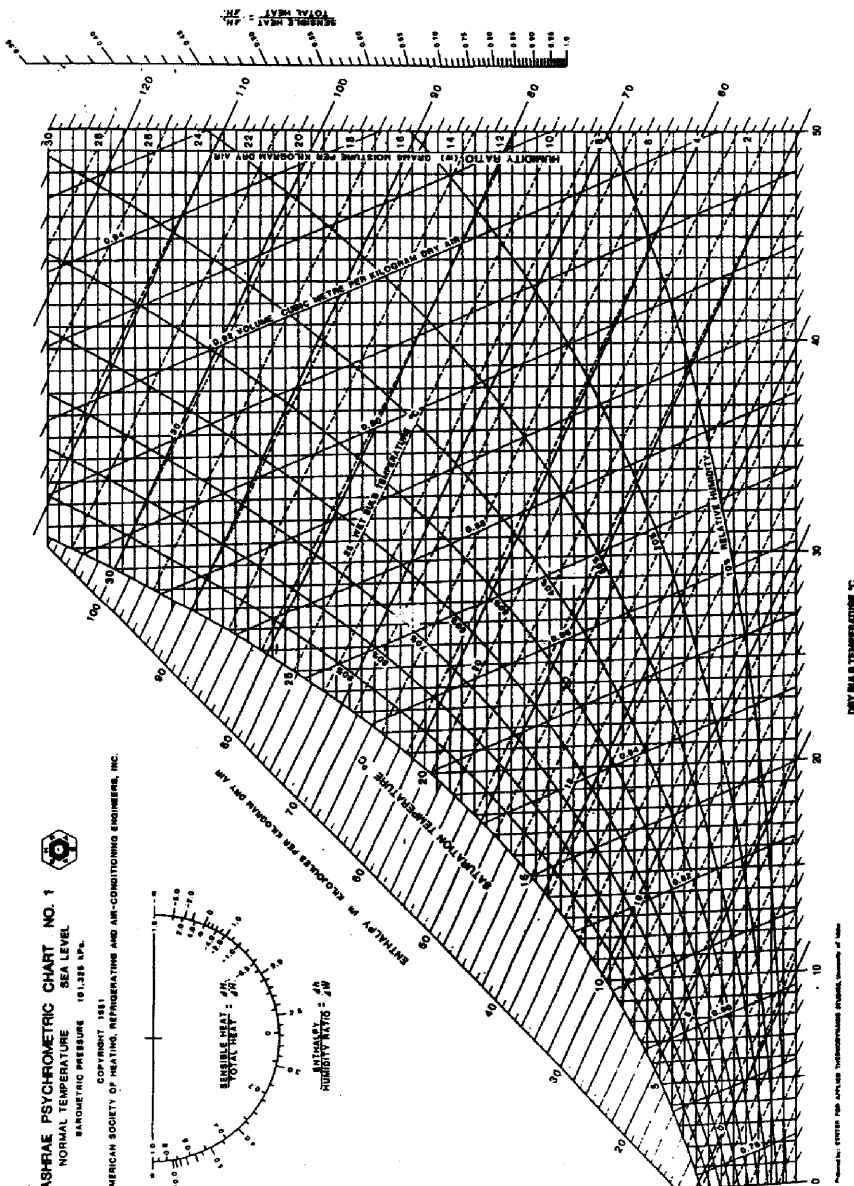
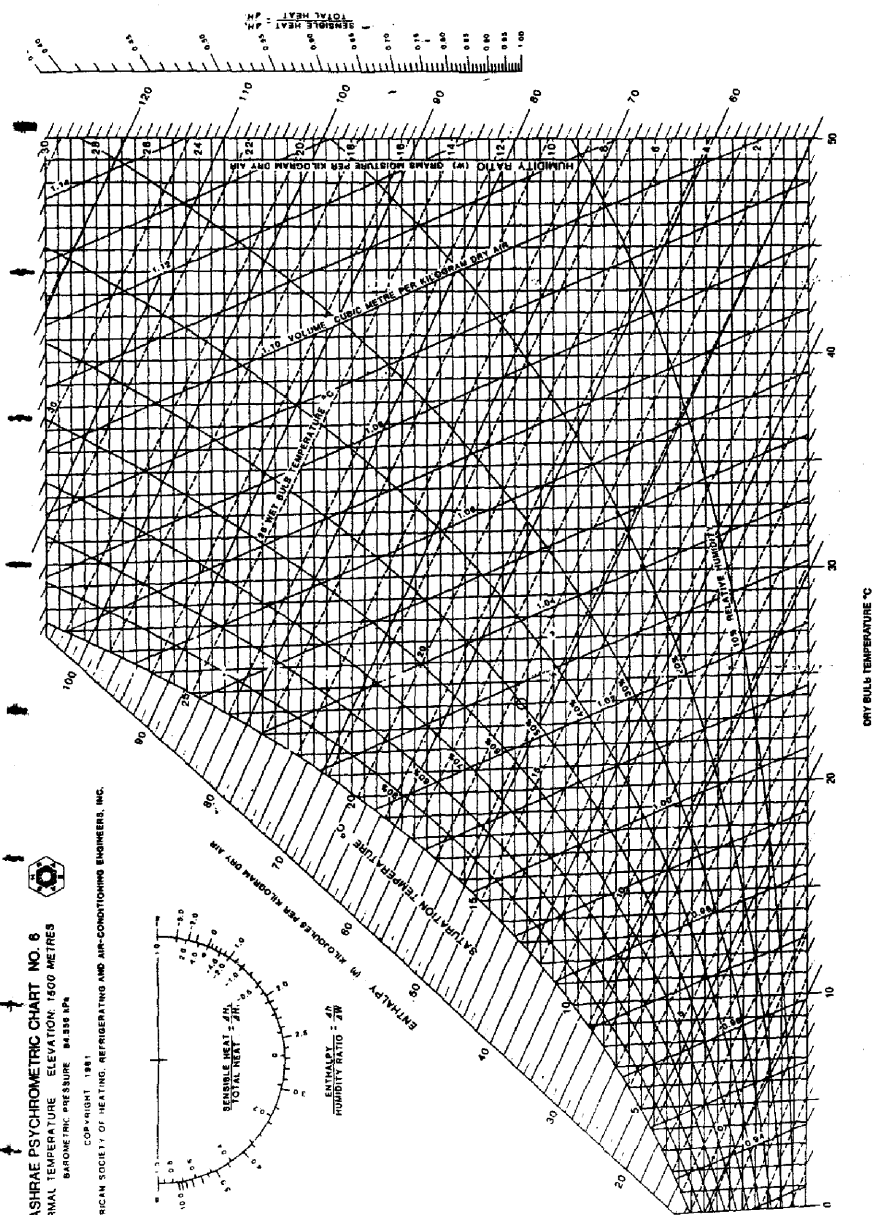


Figure 3.1 a. Psychrometric chart (Barometric Pressure of 101.325 kPa)



الهواء الجاف . الجهاز مزود بيد يدار بواسطتها عدة مرات حتى تثبت درجة الحرارة على كل من الترمومترین.

درجة الحرارة الجافة (db) تمثل بخطوط رأسية على خريطة السيكرومترى Fig 3.3 أما درجة الحرارة الرطبة فتمثل بخطوط مائلة Fig 3.4 .

ثانياً: نسبة الرطوبة *Specific Humidity* . هي عبارة عن نسبة كثافة بخار الماء

إلى كثافة الهواء الجاف m_a في الخليط ويرمز لها بالرمز (W) ووحداتها هي kg wv/ kg da ويمكن كتابتها بالمعادلة.

$$W = m_v/m_a \quad (3.1)$$

وبتطبيق القانون العام للغازات المثالية لكل من الهواء الجاف بخار الماء.

$$m_a = \frac{Pa.V}{Ra.T} \text{ and } m_v = \frac{Pv.V}{Rv.T} \quad (3.2)$$

حيث p الضغط الجزئي للهواء الجاف في الخليط .

P_v الضغط الجزئي لبخار الماء في الخليط .

V حجم الخليط .

T درجة حرارة الخليط المطلقة .

Ra ثابت الغاز لبخار الماء .

$$Ra = 287 \text{ J/kg. K} \quad \text{and} \quad Rv = 461.5 \text{ J/kg. K}$$

وبتطبيق قانون دالتون فإن الضغط الكلى للخلط P_t يساوى

$$P_t = P_a + P_v \quad (3.3)$$

وبالتعويض بالقيم العددية لكل من Ra ، Rv ويوضع المعادلات (3.2) ، (3.3) في المعادلة (3.1) نحصل على :

$$W = 0.662 \frac{P_v}{P_t - P_v} \quad (3.4)$$

نسبة الرطوبة W تمثل بخطوط أفقية على خريطة السيكرومتر ونقرأ قيمتها على المحور الرأسي . Fig 3.4

ثالثاً: الرطوبة النسبية Relative Humidity

وهي عبارة عن نسبة ضغط بخار الماء P_v إلى ضغط بخار الماء المشبع P_s عند نفس درجة الحرارة الجافة

$$\phi = P_v / P_s, \% \quad (3.5)$$

حيث P_s ضغط بخار الماء المشبع يمكن تعينه من Table 3.2 أو بمعلومية درجة الحرارة الرطبة wbt بالمعادلة

$$\text{Log } P_s = 30.56 - 8.2 \log(t_{wb} + 273) + 2.48 \times 10^{-3} (t_{wb} + 273) - 3142.3 / (t_{wb} + 273), \text{kPa.} \quad (3.6)$$

ثم تعين ضغط البخار P_v من خلال كل من المعادلة dbt , wbt , P_s من المعادلة

$$P_v = P_s - 101.325 \times 6.66 \times 10^{-4} (t_{db} - t_{wb}) \quad (3.7)$$

يعين ضغط بخار الماء عند درجة الحرارة الجافة بالمعادلة

$$\text{Log } P_{s(db)} = 30.56 - 8.2 \log(t_{db} + 273) + 2.48 \times 10^{-3} (t_{db} + 273) - \frac{3142.3}{t_{db} + 273}, \text{kPa} \quad (3.8)$$

بالستعييض عن P_v ، $P_{s(db)}$ في المعادلة (3.5) نعين ϕ وهي تمثل بمنحنى مبين في Fig 3.3 . أخذ قيم نسبة مئوية عادة تبدأ من 10% وتنتهي بمنحنى التشبع 100% .

THE TWO THERMOMETERS SHOULD BE MATCHED
BY THE MANUFACTURER; THAT IS, WHEN THE
WICK IS REMOVED AND BOTH THERMOMETERS
ARE EXPOSED TO DRY-BULB CONDITIONS THE
READINGS OBTAINED SHOULD BE EXACTLY
THE SAME

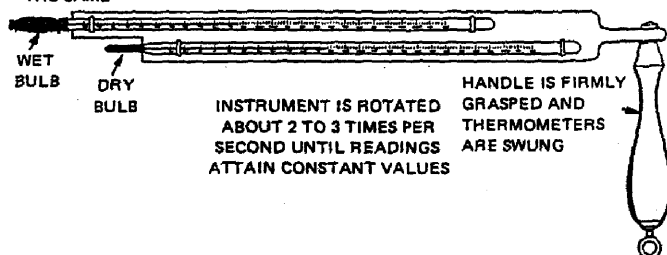


Figure 3.2 Sling psychometer

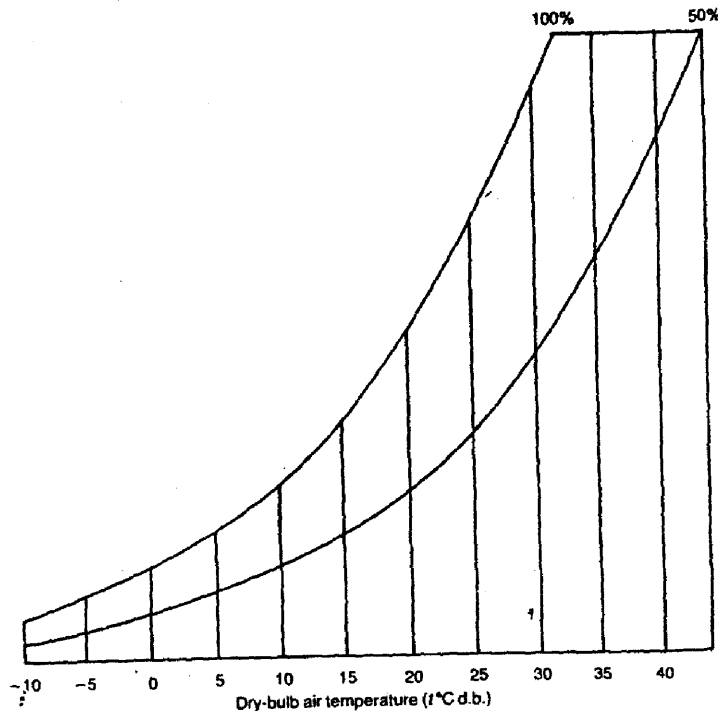


Figure 3.3 Dry-bulb temperature C° , and relative humidity %

رابعاً: الحجم النوعي للهواء Specific Volume . . الحجم النوعي للهواء الرطب v

يمكن تعينه عن طريق القانون العام للغازات

$$P_a v = mRT \quad (3.9)$$

حيث P_a الضغط المطلق للهواء الجاف ويعين من :

$$P_a = P_B - P_v \quad (3.10)$$

حيث P_B الضغط الجوى المقاس بالباروميتر

Pv ضغط بخار الماء.

وبذلك يكون الحجم النوعي v مقدار بـ m^3 / kg

$$v = m RT / P_a \quad (3.11)$$

ويمثل الحجم النوعي بخطط مائلة كما هو مبين في Fig 3.5

خامساً: انتالبيا الهواء الرطب Enthalpy of moist air. هذه الخاصية أساسية في حسابات

وظائف معدات معالجة الهواء مثل السخانات وملفات التبريد والاتزان الحراري للمكان والمعدات.

يمكن دراسة الانتالبيا تأسيساً على قانون جيبس - دالتون Gibbs-Dalton law الذي ينص على أن المحتوى الحراري أو الانتالبيا للخلط يساوى مجموع المحتوى الحراري لكل العناصر المشتركة في الخليط. وعلى هذا فإن المحتوى الحراري للهواء الرطب يساوى مجموع المحتوى الحراري للهواء الجاف بالإضافة إلى المحتوى الحراري لبخار الماء.

$$h = h_a + h_v = , \quad kJ / kg \quad (3.12)$$

حيث h_a المحتوى الحراري للهواء الجاف.

$$h_a = Cp_a \times t , \quad kJ / kg \quad (3.13)$$

h_v المحتوى الحراري لبخار الماء

$$h_v = W (h_{fg} + Cp_{(v)} \cdot t) \quad (3.14)$$

حيث Cp_v الحرارة النوعية لكل من الهواء الجاف وبخار الماء.

$$Cp_a = 1.005 \text{ kJ / kg. K}, \quad Cp_v = 1.86 \text{ kJ/kg. K.}$$

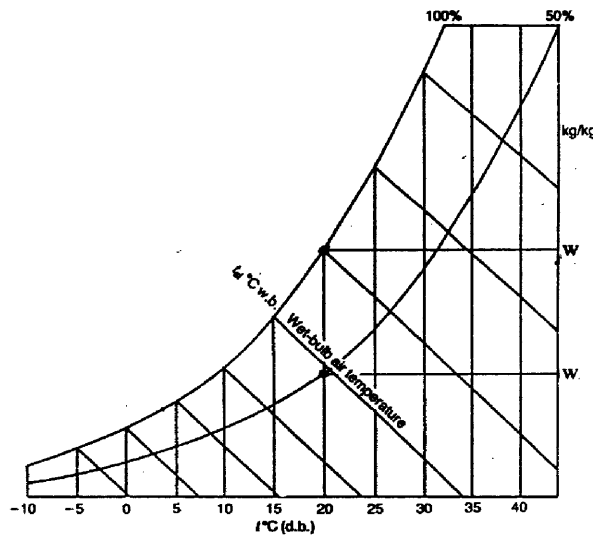


Figure 3.4 Psychrometric chart showing wet-bulb temperature (Wb)

and moisture content (W)

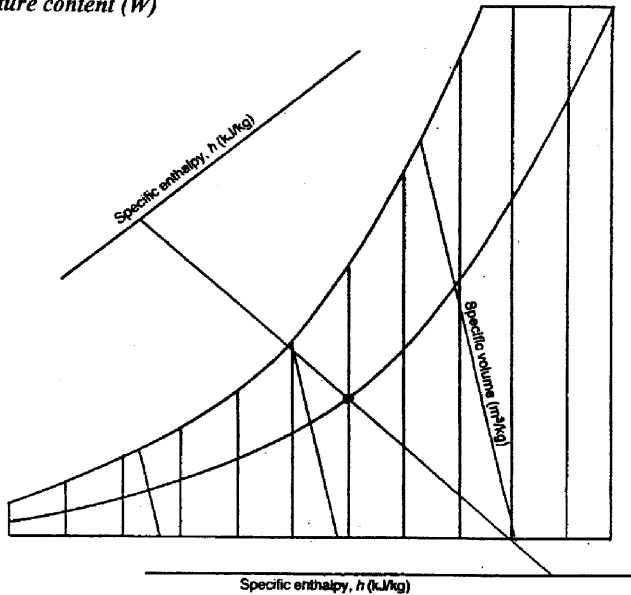


Figure 3.5 Psychrometric chart showing specific enthalpy and specific

volume.

$h_{fg} = 2500 \text{ kJ/kg}$ هي الانثالبيا النوعية لبخار الماء المشبع عند الصغر المنوى

بالتعويض بالقيم الرقمية لـ h_f , C_p , C_v في المعادلة (3.12) تصبح انثالبيا الهواء الرطب h :

$$h = 1.005 + W (2500,8 + 1.86.t) , \text{ kJ/kg} \quad (3.15)$$

وتمثل على خريطة السيكرومترى بخطوط مائلة على الأقى ونکاد تكون منطبقة على خطوط درجة الحرارة الرطبة وتقرأ على مقاييس خاص خارج الخريطة كما هو مبين من Fig 3.5

سادساً: نقطة الندى *Dew point*. تعرف نقطة الندى (dew point) بدرجة حرارة الهواء الرطب المشبع عند نفس الضغط ونسبة الرطوبة وبعبارة أخرى إذا تم خفض درجة حرارة الهواء الرطب عند نفس الضغط ونسبة الرطوبة (W) فدرجة الحرارة التي يبدأ عندها بخار الماء في التكثف هي نقطة الندى وتعين بالمعادلة.

$$t_{dp} = 14.62 \ln (P_s / 600.245), \text{ C}^\circ \quad (3.16)$$

حيث P_s ضغط بخار الماء المشبع. يمكن تعين نقطة الندى المقابلة لحالة الهواء الرطب كالأى: بمعلومية أي خاصتين (t_{dp} , ϕ) للهواء الرطب وتحدد حالة الهواء على خريطة السيكرومترى نرسم خطان أقىيا من هذه النقطة حتى يقابل منحنى التشبع ($100\% = \phi$). نقطة التقاء يعطى قيمة نقطة الندى كما هو مبين في Fig 3.6.

3.6 تحديد خواص الهواء الرطب

3.6 Determination of Moist Air Properties

تحديد حالة الهواء الرطب يتطلب معرفة خاصتين من الخواص السابق شرحها وكمثال لو علم أن حالة الهواء في غرفة ما تحدد بـ $t_{dp} = 21\text{C}^\circ$, $\phi = 50\%$ ، باستخدام خريطة السيكرومترى

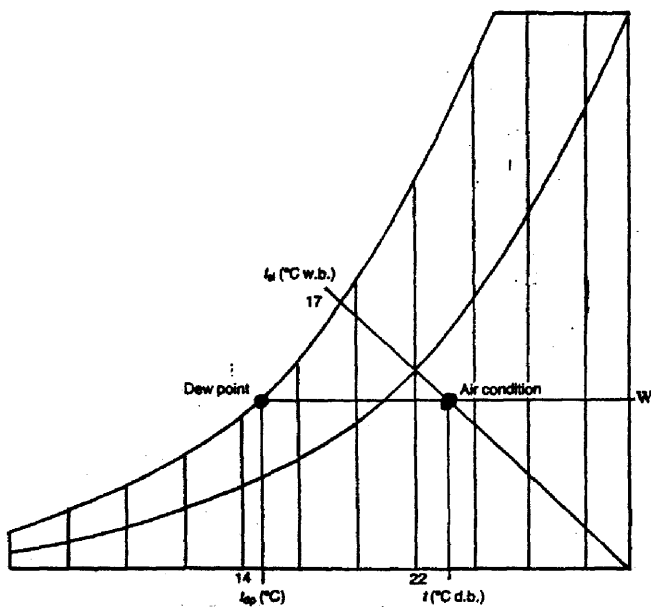


Figure 3.6 Psychrometric chart showing the location of dew-point temperature.

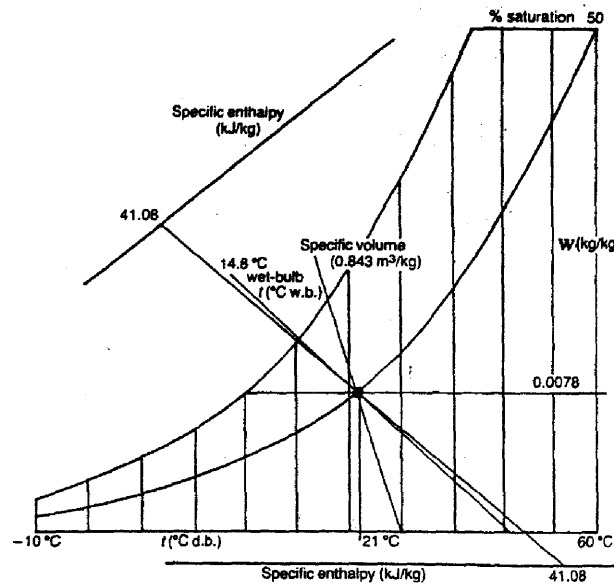


Figure 3.7 Determination of air state properties.

نقاط خطي $21^{\circ}\text{C} = \text{db}$ مع منحنى الرطوبة النسبية $50\% = \varphi$ يعطي حالة الهواء الرطب في الغرفة. Fig 3.7

$$W = 0.0078 \quad \frac{kg_{wv}}{kg_{da}}$$

الاتجاه يمينا افقيا من نقطة التقاطع يعطى نسبة الرطوبة $\varphi = 100\%$

الاتجاه يسارا افقيا في اتجاه منحنى $\varphi = 100\% = 10^{\circ}\text{C}$ يعطى قيمة نقطة الندى $dp = 14.8^{\circ}\text{C}$

درجة الحرارة الرطبة تقرأ من منحنى $\varphi = 100\% = 14.8^{\circ}\text{C}$ وهي تساوى

$$v = 0.843 \text{ m}^3/\text{kg}$$

الحجم النوعي $v = 0.843 \text{ m}^3/\text{kg}$

الانتالبيا تقرأ على مقياس خارج حدود الخريطة وقيمتها $b = 41.08 \text{ kJ/kg}$

3.7 تأثير تغير الضغط الجوي

3.7 The Effect of Barometric Pressure Variation

خواص الهواء الرطب السابق شرحها قد تم حسابها على أساس ضغط الهواء الجوي القياسي

$$P_B = 101.35 \text{ kPa}$$

لذا لو تغير هذا الضغط؟

سوف يؤدي ذلك إلى تغير القيم الموجودة على خريطة السيكرومترى. وللتعامل مع هذه الحالة

نصح باستخدام المعادلة المقترنة بواسطة Thomson لتصحيح التغير كالتالي :

$$W_s = 0.624 \cdot P_s / (P_B + 1.004P_s) \quad (3-17)$$

حيث P_s ضغط البخار المشبع عند الظروف القياسية

P_B الضغط الجوى المقاس بالبارومتر. وعلى ذلك يتم تغيير بقية الخواص الأخرى.

ممكن تتبع تغير خواص الهواء المحددة عند ضغط جوى مقداره 101.35 kPa بنفس الخواص على

خريطة السيكرومترى المحددة على أساس ضغط جوى مقداره 84.55 kPa والمبنية في Fig 3.1b

Example 3.1

Compute the humidity ratio of air at 60% RH at the condition of : air temperature of 30°C . The barometric pressure is 101.35 kPa.

من 2 Table عند $t = 30^\circ\text{C}$ نجد أن ضغط التشبع هو 4.241 kPa وهو يعني الضغط عند $\varphi = 100\%$ حيث أن الرطوبة النسبية $\text{RH} = 60\%$ فإن ضغط البخار يعين بالمعادلة

$$P_v = 4.241 \times \frac{60}{100} = 2.545 \text{ kPa}$$

بالتعریض في معادلة (3.4)

$$W = 0.622 P_v / (P_t - P_v)$$

$$= 0.622 \times 2.545 / (101.35 - 2.545) = 0.016 \frac{\text{kg}}{\text{kg}}$$

Example 3.2

A sling psychrometer shows the air conditions in an occupied room is 22°db and 17°wb . Calculate the relative humidity.

عند درجة الحرارة الجافة $t_{db} = 22^\circ\text{C}$ نعين ضغط التشبع بالمعادلة (3.8)

$$\begin{aligned} \log P_{(sd)} &= 30.59 - 8.2 \log(t_{db} + 273) + 2.48 \cdot 10^{-3} (t_{db} + 273) - \frac{314.23}{t_{db} + 273} \\ &= 30.59 - 8.2 \log(22 + 273) + 2.48 \cdot 10^{-3}(22 + 273) - \frac{3142.3}{22 + 273} = 0.42 \end{aligned}$$

$$P_s = 2.638 \text{ kPa.}$$

ضغط التشبع عند درجة الحرارة الرطبة $t_{wb} = 17^\circ\text{C}$ يعين بالمعادلة

$$\begin{aligned} \log P_{sw} &= 30.59 - 8.2 \log(t_{wb} + 273) + 2.48 \cdot 10^{-3} (t_{wb} + 273) - \frac{3142.3}{t_{wb} + 273} \\ &= 30.59 - 8.2 \log(17 + 273) + 2.48 \times 10^{-3}(17 + 273) - \frac{3142.3}{17 + 273} = 0.287 \end{aligned}$$

$$P_{sw} = 1.935 \text{ kPa.}$$

ضغط البخار عند $t_{wb} = 17^\circ\text{C}$

$$P_v = P_{sw} - 101.325 \times 6.66 \cdot 10^{-4} (t_{db} - t_{wb})$$

$$= 1.935 - 101.325 \times 6.66 \cdot 10^{-4} (22 - 17) = 1.6 \text{ kPa}$$

$$\varphi = P_v / P_{(sd)} = 1.6 / 2.63 = 60\%$$

Example 3.3

Calculate the specific volume of humid air at 22°C db & 17°C wb and vapor pressure 1600 Pa.

ضغط الهواء الجاف

$$P_a = P_B - P_v$$

$$= 101325 - 1600 = 99725, \text{ Pa}$$

وبتطبيق المعادلة 3.11 نجد أن

$$v = mRT/P$$

$$m=1 \text{ kg}$$

&

$$R=287 \text{ J/kg.K}$$

&

$$T=295 \text{ K}$$

وحيث أن وبالتعويض بالقيم السابقة في المعادلة

$$v = 1 \times 287 \times 295 / 99725 = 0.8493 \text{ m}^3/\text{kg.}$$

Example 3.4

Find the dew point of humid air at 22°C db & 17°C wb if vapor pressure is 1600Pa.

وبتطبيق المعادلة 3.16

$$t_{dp} = 14.62 \ln(P_s / 600,245)$$

$$= 14.62 \cdot \ln(1600 / 600,245) = 14.3 \text{ C}^\circ$$

هل أخر

بتقييم حالة الهواء $t_{db} = 22 \text{ C}^\circ$, $t_{wb} = 17 \text{ C}^\circ$ على خريطة السيكرومترى ورسم خط افتيا فى

اتجاه المنحنى $100\% - \phi = \text{نقطة التقطيع نسقطها رأسيا لنقرأ القيمة } dP = 14 \text{ C}^\circ$

Example 3.5

Compute the enthalpy of moist air at 60% RH, when the temperature is 30°C db, for standard barometric pressure.

Table 3.2 Moist Air properties.

t, °C	Saturation pressure, kPa	Specific volume, m³/kg		Enthalpy, kJ/kg		Entropy, kJ/kg · K	
		Liquid	Vapor	Liquid	Vapor	Liquid	Vapor
0	0.6108	0.0010002	206.3	-0.04	2501.6	-0.0002	9.1577
2	0.7055	0.0010001	179.9	8.39	2505.2	0.0306	9.1047
4	0.8129	0.0010000	157.3	16.80	2508.9	0.0611	9.0526
6	0.9345	0.0010000	137.8	25.21	2512.6	0.0913	9.0015
8	1.0720	0.0010001	121.0	33.60	2516.2	0.1213	8.9513
10	1.2270	0.0010003	106.4	41.99	2519.9	0.1510	8.9020
12	1.4014	0.0010004	93.84	50.38	2523.6	0.1805	8.8536
14	1.5973	0.0010007	82.90	58.75	2527.2	0.2098	8.8060
16	1.8168	0.0010010	73.38	67.13	2530.9	0.2388	8.7593
18	2.062	0.0010013	65.09	75.50	2534.5	0.2677	8.7135
20	2.337	0.0010017	57.84	83.86	2538.2	0.2963	8.6684
22	2.642	0.0010022	51.49	92.23	2541.8	0.3247	8.6241
24	2.982	0.0010026	45.93	100.59	2545.5	0.3530	8.5806
26	3.360	0.0010032	41.03	108.95	2549.1	0.3810	8.5379
28	3.778	0.0010037	36.73	117.31	2552.7	0.4088	8.4959
30	4.241	0.0010043	32.93	125.66	2556.4	0.4365	8.4546
32	4.753	0.0010049	29.57	134.02	2560.0	0.4640	8.4140
34	5.318	0.0010056	26.60	142.38	2563.6	0.4913	8.3740
36	5.940	0.0010063	23.97	150.74	2567.2	0.5184	8.3348
38	6.624	0.0010070	21.63	159.09	2570.8	0.5453	8.2962
40	7.375	0.0010078	19.55	167.45	2574.4	0.5721	8.2583
42	8.198	0.0010086	17.69	175.31	2577.9	0.5987	8.2209
44	9.100	0.0010094	16.04	184.17	2581.5	0.6252	8.1842
46	10.086	0.0010103	14.56	192.53	2585.1	0.6514	8.1481
48	11.162	0.0010112	13.23	200.89	2588.6	0.6776	8.1125
50	12.335	0.0010121	12.05	209.26	2592.2	0.7035	8.0776
52	13.613	0.0010131	10.98	217.62	2595.7	0.7293	8.0432
54	15.002	0.0010140	10.02	225.98	2599.2	0.7550	8.0093
56	16.511	0.0010150	9.159	234.35	2602.7	0.7804	7.9759
58	18.147	0.0010161	8.381	242.72	2606.2	0.8058	7.9431
60	19.920	0.0010171	7.679	251.09	2609.7	0.8310	7.9108
62	21.84	0.0010182	7.044	259.46	2613.2	0.8560	7.8790
64	23.91	0.0010193	6.469	267.84	2616.6	0.8809	7.8477
66	26.15	0.0010205	5.948	276.21	2620.1	0.9057	7.8168
68	28.56	0.0010217	5.476	284.59	2623.5	0.9303	7.7864
70	31.16	0.0010228	5.046	292.97	2626.9	0.9548	7.7565
72	33.96	0.0010241	4.646	301.35	2630.3	0.9792	7.7270
74	36.96	0.0010253	4.300	309.74	2633.7	1.0034	7.6979
76	40.19	0.0010266	3.976	318.13	2637.1	1.0275	7.6693
78	43.65	0.0010279	3.680	326.52	2640.4	1.0514	7.6410
80	47.36	0.0010292	3.409	334.92	2643.8	1.0753	7.6132
82	51.33	0.0010305	3.162	343.31	2647.1	1.0990	7.5850
84	55.57	0.0010319	2.935	351.71	2650.4	1.1225	7.5588
86	60.11	0.0010333	2.727	360.12	2653.6	1.1460	7.5321
88	64.95	0.0010347	2.536	368.53	2656.9	1.1693	7.5058
90	70.11	0.0010361	2.361	376.94	2660.1	1.1925	7.4799
92	75.61	0.0010376	2.200	385.36	2663.4	1.2156	7.4543
94	81.46	0.0010391	2.052	393.78	2666.6	1.2386	7.4291
96	87.69	0.0010406	1.915	402.20	2669.7	1.2615	7.4042
98	94.30	0.0010421	1.789	410.63	2672.9	1.2842	7.3796
100	101.33	0.0010437	1.673	419.06	2676.0	1.3069	7.3554

الضغط الجوى القياسى Table 3.2 عند $P_i = 101,35 \text{ kPa}$ من $t_{db} = 30^\circ\text{C}$ ضغط بخار الماء

$$\text{ عند التشبع } P_s = 4.24 / \text{kPa}$$

وحيث أن الرطوبة النسبية هي $RH = 60\%$ فإن ضغط بخار الماء

$$P_v = 4,241 \times \frac{60}{100} = 2.545, \text{ kPa.}$$

وبالتعويض في المعادلة:

$$W = 0.622 \times \frac{P_v}{P_t - P_v}$$

$$= 0.622 \times \frac{2.545}{101,35 - 2.545} = 0.016 \frac{\text{kg wv}}{\text{kg d.a.}}$$

الناتلبيا الهواء تحدد من المعادلة

$$h = 1.005t + W(2500 + 1.86t)$$

$$= 1.005 \times 30 + 0.016(2500 + 1.86 \times 30)$$

$$= 71.04, \text{ kJ/kg.}$$

Problems

3.1 Using the psychometric chart for the condition (a) to (e), list the properties not shown.

	$t_{db} \text{ C}^\circ$	t_{wb}	$dp, \text{ C}^\circ$	$RH\%$	W kg wv/kg da	v m^3/kg	h kJ/kg
a	27	16					
b	24			40			
c		18	10				
d			10	40			
e	21			70			

3.2 Calculate values of humidity ratio, specific volume for saturated air at one standard atmosphere using perfect gas relation for temperature of 20°C db.

3.3 The temperature of a certain room is 22°C , and the relative humidity is 50% the barometric pressure is 100 k Pa. Find (a) the partial pressure of the air and water vapor, (b) the vapor density, and the humidity ratio.

3.4 The condition within a room is 21°C db and 50% RH, and at standard barometric pressure of 101,35 kPa. The inside surface temperature of the window is 4.4°C . will the moisture condenses on the window glass?

4

عمليات السيكرومترى

PYSCHROMETRIC PROCESSES

General

مقدمة

الغرض من معدات تكييف الهواء هو معالجة الهواء الداخل إلى هذه المعدات بعرض تغيير حالته. هذا التغيير يسمى عملية Process ، فعملية التبريد تحدث بواسطة ملفات التبريد cooling coil وعملية التسخين تحدث بواسطة ملفات التسخين coil Heating والترطيب في غرفة الترطيب . Humidifier . وهكذا تمثل هذه العمليات على خريطة السيكرومترى له أهمية خاصة حيث أنه يساعد في اختيار المعدات اللازمة من ناحية ومن ناحية أخرى يساعد على تحليل المسألة العملية. عادة تمثل في شكل خط من الحالة الابتدائية إلى الحالة النهائية. مما هو جدير بالذكر أن القوانين الحاكمة لعمليات تكييف الهواء هي قوانين حفظ الطاقة وحفظ الكتلة وهذا ما سوف نتناوله في هذا الباب.

4.1 التسخين المحسوس

4.1 التسخين المحسوس

إذا كان الهواء في الحالة (1) Fig 4-1 كثنته m_a ودرجة حرارته t_1 يمر خلال مصنوفة من الأنابيب عادة مزعنفة وتتمel كسان و إذا لم يتم إضافة أو نزع رطوبة من هذا الهواء فإنه يمكن اعتبار العملية تسخينا محسوسا. في نهاية هذه العملية ترتفع درجة حرارة الهواء إلى t_2 وبالطبع ستكون أقل من درجة حرارة سطح السخان t_3 أي أن $t_3 > t_2 > t_1$. (t_3 غير ممثلة على الرسم). كمية الحرارة المضافة للهواء يمكن حسابها من معادلة حفظ الطاقة

$$q_s = m_a (h_2 - h_1) \quad , \text{ kW} \quad (4-1)$$

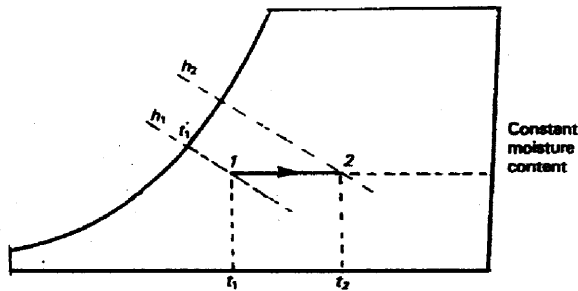
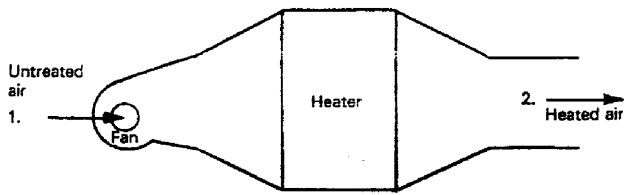


Fig 4-1 Sensible heating of air and the plot on a psychrometric chart

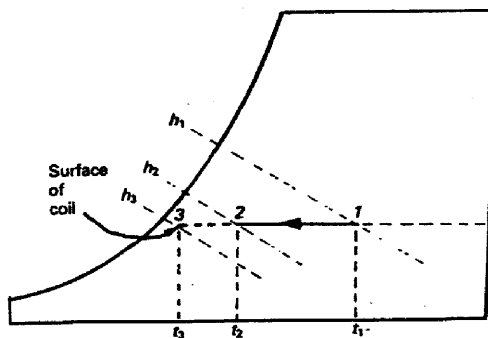
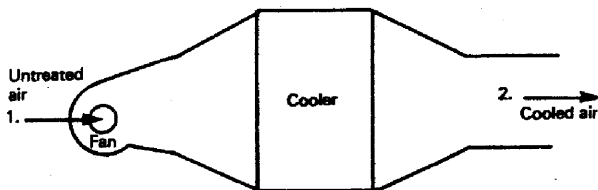


Fig 4.2 Sensible cooling of air and the plot on a psychrometric chart.

كفاءة السخان يعبر عنها بمعامل التلامس CF

$$CF = \frac{h_2 - h_1}{h_3 - h_1} = \frac{t_2 - t_1}{t_3 - t_1} \quad (4.2)$$

تسخين الهواء يمكن أن يتم بواسطة إمارة على سطح يتدفق بداخله ماء ساخن أو بخار ساخن أو على سطح المكثف لوحدة التبريد (المضخة الحرارية) أو بمروره على مصنوفة من السخانات الكهربائية .

خلال هذه العملية تظل نسبة الرطوبة ثابتة $W = \text{const}$ وتتحسن الرطوبة النسبية RH ويزداد الحجم النوعي والارتفاع النوعية

4.2 Sensible Cooling

4.2 التبريد المحسوس

عندما يبرد الهواء بدون فقد أو اكتساب رطوبة فإن العملية تأخذ شكل الخط المستقيم الأفقي نظرا لأن نسبة الرطوبة ثابتة $W = \text{const}$ طوال العملية. الهواء في حالة النقطة (1) عندما يمر خلال ملف تبريد مزعنف (cooler) درجة حرارة t_3 أقل من t_1 وأكبر من نقطة الندى (t_{dp}) $t_1 < t_3 < t_{dp}$ كما هو مبين في Fig4.2. ونظرا لملامسة الهواء لسطح المبرد فإنه سيفقد جزءاً من حرارته وتتحسن درجة الحرارة إلى t_2 بحيث ($t_2 > t_3$) ويحيط أن درجة حرارة سطح المبرد أعلى من نقطة الندى الم対اظرة لدرجة الحرارة t_1 فلن يحدث تكثيف لبخار الماء في الهواء أو تغير في نسبة الرطوبة وتسمى العملية تبريد محسوسا.

وسيط التبريد المستخدم هو إما أن يكون ماءا مثلا Chilled water أو مائع تبريد متاخر Evaporating refrigerant داخل ملفات تبريد.

إذا فرضنا أن كتلة الهواء المار على ملفات التبريد هي m_a kg/s وبتطبيق معادلة حفظ الطاقة

نجد أن:

$$m_a h_2 + q_s = m_a h_1 \quad (4.3)$$

$$q_s = m_a (h_1 - h_2), \text{ kW} \quad (4.4)$$

كفاءة ملف التبريد يعبر عنها بمعامل التلامس (CF)

$$CF = \frac{h_1 - h_2}{h_1 - h_3} = \frac{t_1 - t_2}{t_1 - t_3} \quad (4.5)$$

وهي تمثل نسبة كمية الحرارة المنزوعة من الهواء إلى كمية الحرارة العظمى التي كان يمكن نزعها وذلك عندما تساوى درجة الحرارة النهائية للهواء t_2 مع درجة حرارة السطح المبرد t_3 . خلال هذه العملية تظل نسبة الرطوبة $W = \text{const}$ وتزداد الرطوبة النسبية وينخفض كل من الحجم النوعي v والانثالبي h .

4.2 Cooling and Dehumidification 4.3 التبريد وإزالة الرطوبة

هذه العملية تتم بتبادل الحرارة والكتلة . إذا افترضنا أن الهواء الرطب في الحالة (1) كما هو موضح Fig 4.3 يمر على سطح بارد درجة حرارته t_3 أقل من نقطة التدى به المناظرة لنقطة، فيمكن تبيين الآتي:

يتم تبريد الهواء وإزالة رطوبته خلال العملية 2-1. هذه العملية يمكن تجزئتها ودراستها كالتالي:
ولا : يخضع الهواء إلى تبريد محسوس ببداية نقطة (1) ونهايتها نقطة التدى المناظرة لنقطة (1) على خط التشبع.

ثانية : يخضع الهواء بعد ذلك لعملية تكثيف بازالة رطوبته خلال منحنى التشبع Saturation curve وتنهى بنقطة (3) درجة حرارة السطح والتي تسمى أيضاً نقطة ندى الجهاز Apparatus dew point (الهواء الملمس لسطح الجهاز تماماً تكون درجة حرارته t_2). هذا الهواء يخلط مع الجزء الأكبر من الهواء عند نقطة (1) الذي درجة حرارته t_1 ويغير عن حالة الخلط بالنقطة (2) وتكون درجة حرارته هي t_2 وهي نفس درجة حرارة الهواء المفاجر لسطح الملف. الخط الواسل بين (1)،(2) يسمى خط عملية الملف Coil process line . هذا الخط في بعض الأحيان يأخذ شكل المنحنى ويعتمد على تصميم الملف. نظرياً نقطة (2) أى نقطة المغادرة يمكن أن تطبق على نقطة (3) إذا كانت مساحة سطح الملف لا نهاية وأن كل الهواء المار عليه يكون ملامساً لسطحه بصورة مباشرة وحيث أن هذه الشروط غير قابلة للتحقيق عملياً فإن نقطة المغادرة تكون هي نقطة (2) وعادة ما تكون عند% (90-95) = ϕ

إذا كانت كتلة الهواء المار هو m_{air} فلن سعة ملف التبريد q_{coil} يمكن تعينه بالمعادلة

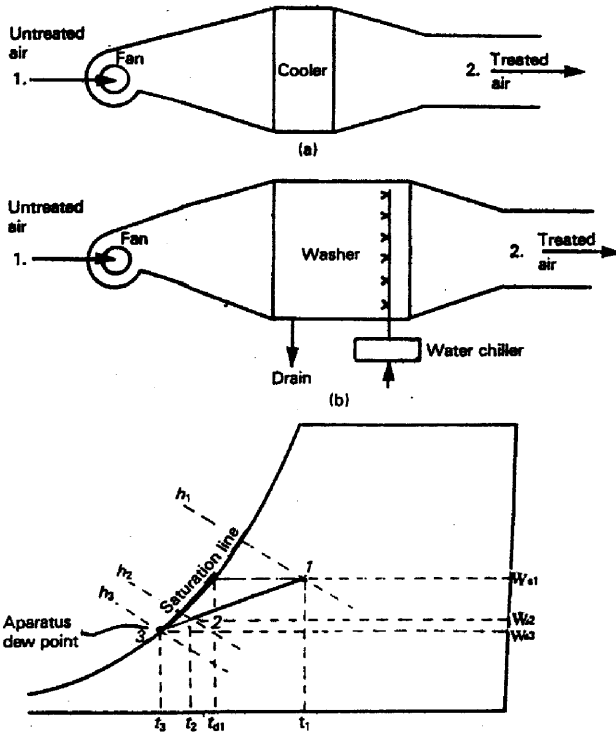


Fig 4.3 Cooling and dehumidification of air and the plot on a psychrometric chart

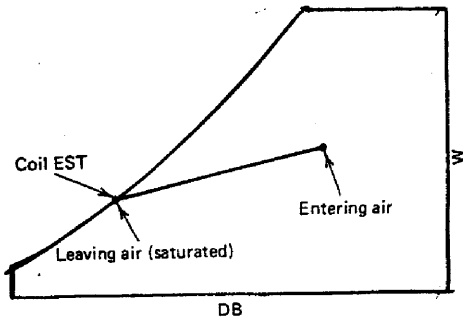


Fig 4.4 Coil process for a cooling coil with $CF = 1$

$$q_{cc} = m_a (h_1 - h_2) , \quad kW \quad (4.6)$$

كتلة الرطوبة المزالة m_w هي :

$$m_w = m_a (W_1 - W_2) , \quad kg/s \quad (4.7)$$

وسيط التبريد في هذه العملية قد يكون الماء المثلج المار في ملف التبريد بدرجة حرارة أقل من (t_3) أو أن يكون مائع تبريد يعلى درجة حرارته أقل من (t_3) ويمثل ملف التبريد في هذه الحالة مبخر محطة التبريد.

4.4 معامل التلامس الأمراء الجانبي

4.4 Contact Factor By pass Factor

كما ثسربنا عالياً فإن الهواء عندما يمر على السطح الخارجي للملف فإن جزءاً من هذا الهواء يلامس السطح الخارجي للملف ويعبر عن ذلك بمعامل التلامس Contact Factor ويمكن حسابه بالمعادلة

$$CF = \frac{h_1 - h_2}{h_1 - h_3} = \frac{t_1 - t_2}{t_1 - t_3} = \frac{W_1 - W_2}{W_1 - W_3} \quad (4.8)$$

الجزء الآخر من الهوا الذي لا يلامس السطح الخارجي للملف أو وبالتالي لا يكتسب أو يفقد حرارة يقال أنه يمر إملاكاً جانبياً لسطح الملف ويعبر عنه بمعامل الأمراء الجانبي By-pass factor أو اختصاراً BF وطبقاً للتعریف السابقة فإن $CF + BF = 1$

4.5 درجة حرارة السطح الفعالة

4.5 Effective Surface Temperature

درجة حرارة السطح الخارجي للملف ليست متساوية على جميع الأجزاء ولكنها تتغير من مكان لأخر طبقاً لعدد من العوامل أهمها عامل التصميم مثل عدد الزعانف وشكل الملف نفسه وسرعة دخول الهواء على الملف وغيرها، ولذلك تم اختيار تعريف درجة حرارة السطح الفعالة اختصاراً Effective Surface Temperature (EST) لتكون درجة حرارة سطح الملف المتوسطة وهي تعنى درجة حرارة السطح الذي لو لامسها الهوا سوف تبرد. هذه الدرجة تسمى

أيضاً نقطة ندى الجهاز Apparatus dew point وهي التي تم الإشارة إليها عالياً Fig 4.3 وعلى ذلك فإن كل الهواء يقع في حالة تلامس مع السطح وهذا لا يتأتى إلا إذا كانت مساحة السطح لا نهاية

وعلى هذا فإن درجة حرارة الهواء المغادر سوف يكون متساوية لدرجة حرارة السطح الفعالة وعندما يكون معامل التلامس $CF = 1$ Fig 4.4 وهذا لا يمكن حدوثه حيث أن بعض الهواء سوف يمر أمراراً جانبياً للسطح وعلى هذا فإنه تتشعب الهواء وتكون نقطة المغادرة كما هي مبينة في Fig 4.4 ويكون معامل التلامس متقدراً بالقيمة $b/a = CF$ كما هو مبين في Fig 4.5 ومعامل الإمرار الجانبي $BF = 1 - CF$.

4.6 التبريد التبخيري أو الترطيب الأدبياباتي

4.6 Evaporative Cooling or Adiabatic Humidification

هي العملية التي بموجبها تسحب كمية من الحرارة المحسوسة من الهواء وتضاف إليه كمية متساوية من الحرارة الكامنة أي أن المحصلة النهائية أن العملية يتم بدون سحب أو إضافة حرارة خارجية لذلك فهي تسمى أدبياباتية. لإتمام هذه العملية يستخدم ملف رشاش Spray coil أو غاسل للهواء Air washer ليبرش الهواء بالماء كما هو مبين في Fig 4-6 الهواء في الحال (1) يدفع خلال رشاش من الماء البارد الذي درجة حرارته t_1 = درجة التشبع الأدبياباتي Adiabatic saturation temperature نتيجة لذلك يت弟兄 بعض الماء بتأثير الحرارة المنزوعة من الهواء. هذا البخار يحمله تيار الهواء ولذا تختفي درجة حرارة الهواء إلى t_2 وتزداد رطوبته من W_1 إلى W_2 آلية العملية يمكن تفسيرها بأن بعض الهواء يتعرض للتلامس مع قطرات الماء المتاهية في الصغر فيحدث تبادل حرارة وكثافة بينهما فتختفي درجة حرارة الهواء بشدة وتتصبح تقريباً متساوية لـ t_2 أما الجزء الآخر من الهواء الذي لا يتلامس مع الماء فيخالط مع الجزء الأول ويعبر عن محصلة حالة الخليط بالنقطة (2). نظراً لأن العملية إدياباتية فإن الحرارة المحسوسة تساوى الحرارة الكامنة أي أن.

$$Cp(t_1 - t_2) = h_{fg} (W_2 - W_1) \quad (4.9)$$

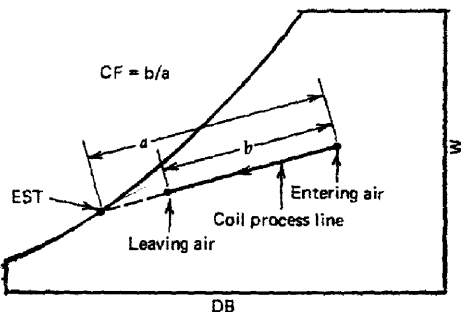
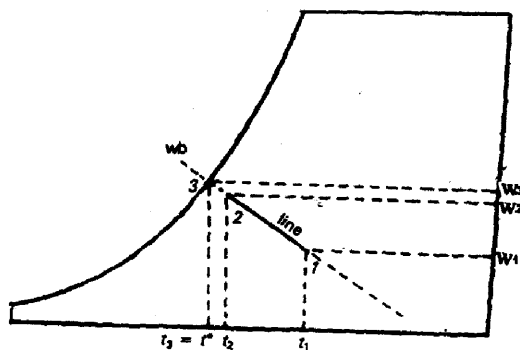
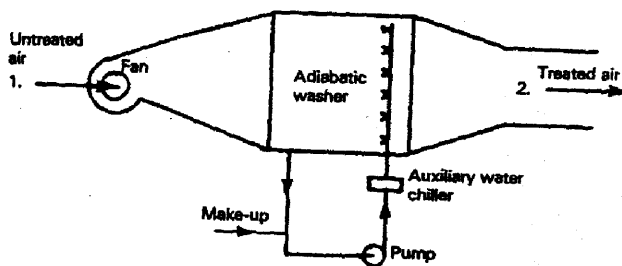


Fig 4.5 determining CF for a cooling Coil •



*Fig 4.6 Cooling and humidification of air and the plot on
a psychrometric chart*

ذلك تتمثل هذه العملية على خريطة السيكرومنتر بخط ثبات درجة الحرارة الرطبة (wb).
لضمان استمرار العملية لابد من تعويض الماء المتغير والمحمول مع الهواء بكمية من الماء
ويمكن تعين من المعادلة.

$$m_w = m_a (W_2 - W_1) \quad , \quad \text{kg/s} \quad (4-10)$$

كفاءة المرطب η تعين بالمعادلة

$$\eta = \frac{W_2 - W_1}{W_3 - W_1} = \frac{t_2 - t_1}{t_3 - t_1} \quad (4-11)$$

يستخدم التبريد التبخيرى بصورة اساسية في الأغراض الصناعية والتي تتطلب نسبة رطوبة عالية مثل صناعات النسيج والسورق - كذلك يستخدم فيما يسمى بالمكيف أو المبرد الصحراوى Desert cooler المبرد الصحراوى يتكون من مروحة بمحرك تقوم بدفع الهواء ليمر على مساحة في نسيج مسامي كاللباب ميل الماء. جزء من الماء المرشوش يتبخّر ويأخذ حرارة الكامنة من الهواء المحيط فتختفي درجة حرارة الأخير.

وحيث الذكر بأنه إذا كانت درجة حرارة الهواء الرطبة والجافة الداخل للجهاز هي $25^{\circ}\text{C}^{\circ}\text{wb}$ ،
 $27^{\circ}\text{C}^{\circ}\text{db}$ فلن أقل : درجة حرارة جافة يمكن أن يصل إليها الجهاز هي 25°C .
إذا كانت كفاءته 100% ولا يمكن أن تنزل عن هذه الدرجة لذلك لا يستخدم على نطاق واسع.

4.7 التسخين والتقطير (الحقن بالبخار)

4.7 Heating and Humidification (Steam Injection)

تستخدم هذه العملية لتوفير ظروف الراحة في شهور الشتاء. وتتمثل في إضافة حرارة محسوسة وحرارة كامنة ويستخدم لذلك البخار المشبع عند درجة حرارة عالية. الهواء في الحالة (1) كما هو مبين في Fig 4.7 يمر على رشاش من الماء الساخن أو البخار المشبع الساخن في حالة (3)
بحيث :

ففي هذه الحالة الهواء سوف يستقبل حرارة محسوسة من قطرات الماء أو البخار نتيجة لفرق درجات الحرارة ($t_3 - t_1 > 0$) هذا يؤدي إلى ارتفاع درجة حرارة الهواء ونظراً لأن ضغط البخار الساخن أكبر من ضغط البخار الرطب فسيحدث انتقال للمادة وبذلك يتم ترطيب الهواء.

الماء الساخن أو البخار يتم حقته بحيث تقع حالته عند منحنى التتبع أى عند نقطة (3) وبالتالي تكون الهواء الرطب الذي تكون جزيئاته في حالة تلامس مباشر مع جزيئات البخار الساخن سوف تكون درجة حرارتها مساوية t_2 . عندما تختلط هذه الجزيئات مع الجزء البالى الذى لا يكون فى حالة تلامس مباشر تصبح حالة الخليط النهائية فى نقطة (2) وهى نقطة المغادرة Departure وهى تقع بين نقطة (1) ونقطة (3). كلما كانت كثافة التلامس جيدة كلما اقتربت نقطة (2) من نقطة (3).

كمية الحرارة المضافة للهواء هي :

$$q_h = m_a (h_2 - h_1) \quad , \quad kW \quad (4.12)$$

كمية الرطوبة المضافة :

$$m_w = m_a (W_2 - W_1) \quad , \quad kg/s$$

كفاءة العملية يعبر عنه مدى قرب نقطة (2) من نقطة (3) بالرمز η

$$\eta = \frac{h_2 - h_1}{h_3 - h_1} = \frac{W_2 - W_1}{W_3 - W_1} = \frac{t_2 - t_1}{t_3 - t_1} \quad (4.14)$$

من دراسة خريطة السيكرومترى Fig 4.7 عندما تكون $t_3 = t_1$ فإن العملية تكون عملية ترطيب فقط وتكون الحرارة المضافة هي حرارة كامنة فقط. هذه العملية يصعب تحقيقها في الحياة العملية نظراً لصعوبة التحكم في درجة الحرارة t_3 .

4.8 خفض الرطوبة بالأمتزاز

خفض الرطوبة في الأغراض الصناعية يتم أساساً بواسطة إمداد الهواء الرطب على وسط الأمتزاز الذي هو عبارة عن محلول أو مادة صلبة لها خاصية امتصاص الرطوبة Desiccant. مما هو جدير بالذكر الضغط الجزئي للأبخرة في وسط الأمتزاز يكون أقل من مثيله لبخار الماء في الهواء الرطب. نتيجة فرق الضغط هذا ينتقل بخار الماء الموجود في الهواء إلى وسط الأمتزاز.

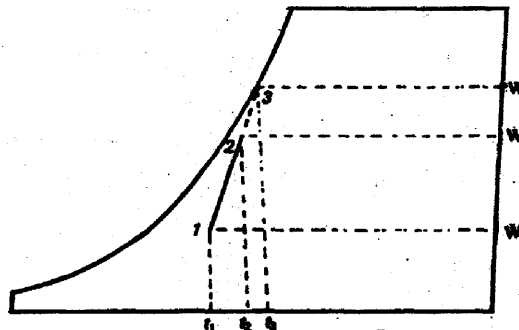
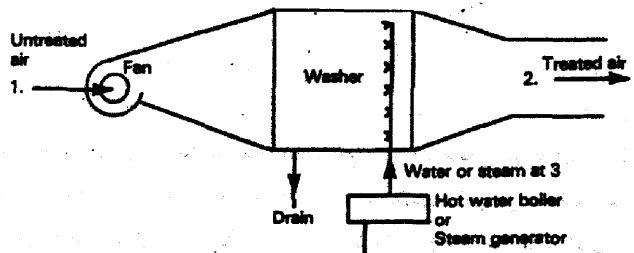


Fig 4.7 Heating and humidification of air and the plot on psychrometric chart

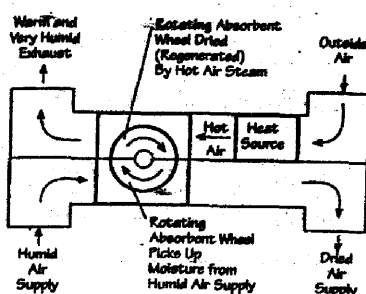


Fig 4.8 Desiccant dehumidification

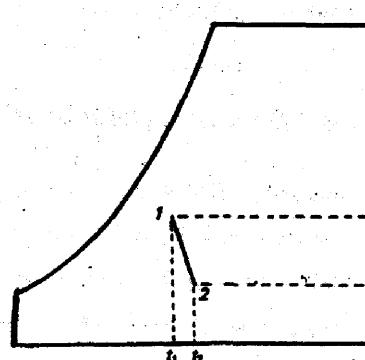


Fig 4.9 Psyschrometric Desiccant dehu

ويستخدم لذلك الجهاز الموضح في Fig 4.8 وهو عبارة عن عجلة دوارة Rotating wheel تدور بين مسلكين للهواء . من الصالح يدخل في المслك هواء رطب مطلوب نزع رطوبته فيمر على العجلة التي بداخلها وسيط الامتزاز Desiccant فتنزع منه الرطوبة ويخرج من الاتجاه الآخر جافاً . وفي المقابل فإن الهواءخارجي في المين يمر على سخاناً فيصبح ساخناً ويعبر على نفس العجلة (التي تكون قد اكتسبت قدرًا كبيراً من الرطوبة) فيكتسب منها الرطوبة ويخرج هواء ساخناً ورطباً في نفس الوقت .

في هذا الجهاز يستخدم أحدي وسائل الامتزاز الآتية :

1- محلول كلوريد أو بروميد الليثيوم أو الجليوكول كماسن سائل حيث الضغط الجزئي لها أقل من ضغط بخار الماء في الهواء الرطب ولذلك نتيجة هذا الفرق في الضغط ينتقل بخار الماء إلى هذه الحالات .

2- مواد صلبة مثل سيليكا جيل أو الفحم النباتي النشط Activated carbon وبتأثير الخاصية الشعرية Capillary effect فلن يذاب الماء الموجود في الهواء الرطب والملامس لسطح المواد الصلبة ينتقل إلى داخلها فتختفي الرطوبة في الهواء .

في الظروف المثالية فإن الحرارة الكامنة التي يفقدها الهواء المار على سطح الامتزاز يكتسبها في شكل حرارة محسوسة نتيجة حرارة الامتصاص المنتهية . ولذلك يمكن اعتبار هذه العملية أنيابانية تجرى بثبات درجة الحرارة الرطبية كما هو مبين في Fig 4.9 .

تستخدم هذه الطريقة في الحالات الآتية :

- 1- عندما لا يكون هناك ضرورة بالإضافة كمية كبيرة من الحرارة المحسوسة .
- 2- عند استخدام معدات التبريد العميق وعدم الرغبة في تكون مصقى على سطح المبرد .
- 3- عندما يتطلب المكان تغيير رطوبة منخفضة . بهذه الطريقة يمكن ثبيت نسبة الرطوبة بنسبة خطأ لا تتعدي $\pm 1\%$ ولذلك فهي تستخدم بكثرة في المصانعات الآتية :
الخانوية الورقية ، المصانعات الألكترونية والزجاج والبلاستيك وصناعة البوابات والزيوت . وللحصول على أداء جيد يجب وضع فلتر لتقطية الهواء عند مروره على سطح الامتزاز .

4.9 خلط تيارين من الهواء الطلق أديباتيا

4.9 Adiabatic Mixing of Two Streams of Moist Air.

في معظم أجهزة التكيف المركزي عادة يستخدم جزءاً من هواء الغرفة ويخلط مع الهواء الخارجي وذلك بغرض خفض استهلاك الطاقة وتوفير تكلفة التشغيل.

فإذا خلط تياران من الهواء Fig 4.10

الأول : كتلته m_1 في حالة (1) وخاصية الحالة له هي t_1, W_1, h_1 .

الثاني : كتلته m_2 في حالة (2) وخاصية الحالة له هي t_2, W_2, h_2 .

فإن نتيجة الخلط هو تكون تيار ثالث في حالة (3) كتلة m_3 وخاصية الحالة (3) هي t_3, W_3, h_3 فإذا كانت عملية الخلط يتم بدون إضافة أو تزويق حرارة أي أديباتيا فتكون المعادلات الحاكمة لهذه العملية هي :

1- معادلة حفظ كتلة للهواء الجاف

$$m_1 + m_2 = m_3 \quad (4.15)$$

2- عادلة حفظ الكتلة لبخار الماء :

$$m_1 W_1 + m_2 W_2 = m_3 \cdot W_3 \quad (4.16)$$

3- معادلة حفظ الطاقة

$$m_1 h_1 + m_2 h_2 = m_3 \cdot h_3 \quad (4.17)$$

عملية الخلط تتم على الخط المستقيم 1-2 وتقع نقطة الخلط على هذا الخط. ونسمة من الداخل تقسماً عكسياً بحسب الكتلة وتحديد نقطة الخلط (3) نحل المعادلات (4-15), (4-16), (4-17) فتحصل على .

$$h_3 = \frac{m_1 h_1 + m_2 h_2}{1 + \frac{m_1}{m_2}} \quad (4.18)$$

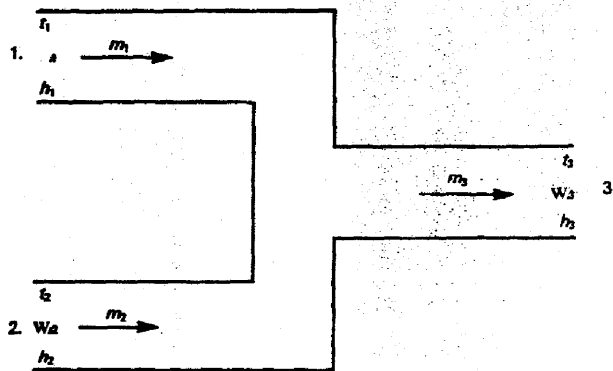
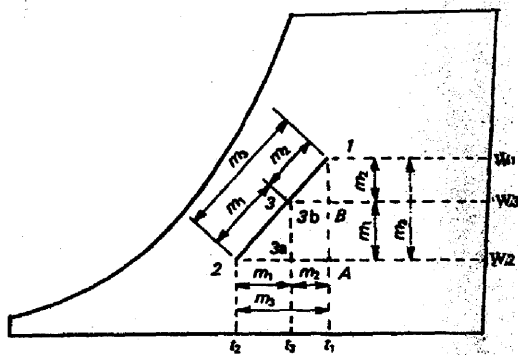


Fig 4.10 Mixing process of two streams of air



4.11 Mixing process plotted on the psychrometric chart

$$W_3 = \frac{\frac{m_1}{m_2} W_1 + W_2}{1 + \frac{m_1}{m_2}} \quad (4.19)$$

يتم تقييم h_3 على خريطة السيكرومترى نحصل على نقطة (3) ومنها نحصل على بقية الخواص كما هو مبين في Fig 4.11.

4.9 معامل الحرارة المحسوسة Sensible Heat Factor SHF

عمليات تكييف الهواء عموما تكون مشتملة بانتقال حرارة محسوسة Sensible heat q_s لفرق درجات الحرارة وكذلك انتقال حرارة كامنة q_l وذلك نتيجة فرق الضغط أو نسبة الرطوبة إذا الخط تصورنا عملية ما 1-2 المبينة في Fig 4.12 يمكن دراستها كالتالي:

العملية (a-1) يمكن اعتبارها عملية تغير في الحرارة الكامنة q_l وهي على الرسم تمثل عملية إزالة رطوبة في درجة حرارة جافة ثابتة أما العملية (2-a) فهي تمثل عملية تغير في الحرارة المحسوسة q_s .

أما التغير من (1) إلى (2) يمثل خط العملية Process line . ويعبر عن مقدار التغير في الحرارة المحسوسة q_s إلى مقدار التغير في الحرارة الكلية $(q_{(s)}+q_l)$ بمعامل الحرارة المحسوسة Sensible Heat Factor (SHF) ويمكن حسابه في المعادلة الآتية:

$$SHF = \frac{q_s}{q_s + q_l} \quad (4-20)$$

إذا كانت العملية لا تحتوى على تغير في حرارة كامنة أى أن $(0 = q_l)$ فإن معامل الحرارة المحسوسة $SHF = 1$ ويكون خط العملية أفقيا.

إذا كانت العملية لا تحتوى على حرارة محسوسة أى أن $0 = q_s$ فإن معامل الحرارة المحسوسة $SHF = 0$ ويكون خط العملية رأسيا على المحور الأيمن لخريطة السيكرومترى تدريج لمعامل الحرارة المحسوسة SHF وفي بعض الخرائط توجد نصف دائرة مقطوعة رأسيا أو أفقيا.

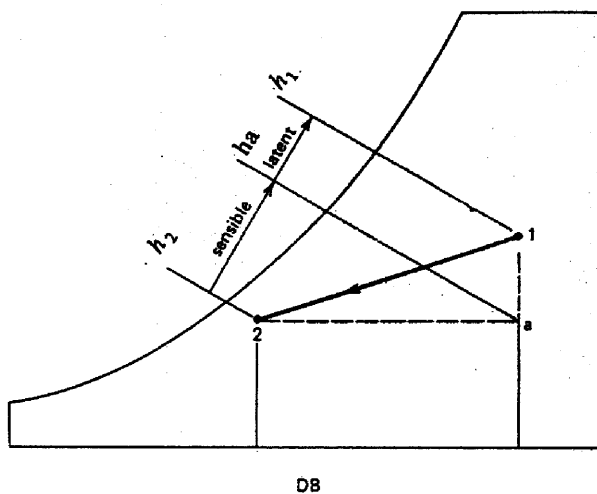


Figure 4.12 Sensible and latent heats

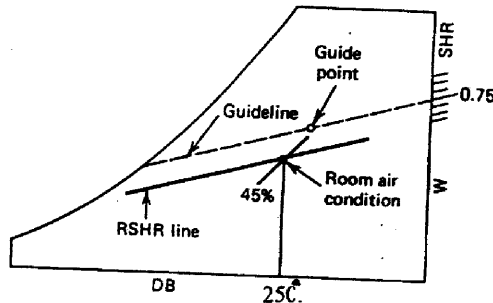


Fig 4.13 Plotting the RSHR line for example 4.5

على المحور الأفقي بهذه الدائرة $I = SHF$ كما توجد على خريطة السيكرومترى عند احداثيات: $\phi = 50\%$ ، $t_{db} = 24^\circ C$ نقطة تسمى النقطة القياسية Reference point. هذه النقطة تستخدم كنقطة مساعدة Guide point لرسم معامل الحرارة المحسوسة للحجرة RSHF وهذا ما سوف نوضحه في مثال قادم .

Example 4.1.

3.2kg/s of air at $15^\circ C$ db is heated to a temperature of $32^\circ C$ by a hot water heater battery whose surfaces are at $40^\circ C$. Estimate the rate of heat energy added and calculate the contact factor of the coil. If the heater battery is replaced by another having more tubes and fins such that its CF is 0.85, estimate the leaving or air-off temperature of this air, assuming that the heater surface are at the same temperature as before.

كمية الحرارة المضافة

$$q_{HC} = m_a \cdot Cp \cdot (t_2 - t_1) \\ = 32 \times 1.005 (32 - 15) = 54.67 \text{ kW}$$

معامل التلامس CF

$$CF = \frac{t_2 - t_1}{t_3 - t_1} = \frac{32 - 15}{40 - 15} = 0.68$$

$$CF = \frac{t_2 - 15}{40 - 15} = 0.85$$

$$0.85 = \frac{t_2 - 15}{40 - 15} \quad \& \quad t_2 = 36.3^\circ C$$

Example 4.2

A cooling and dehumidification battery caters for an air flow rate of 2.8 kg/s with an entering conditions of 27°C_{db}, 20°C_{wb}. If the cooling coil has an apparatus dew point of 8°C and a contact factor of 0.82 determine :

- a) The air - off conditions from the coil;
- b) The required refrigeration capacity to serve this coil

بالإشارة إلى Fig 4.3 وباستخدام خريطة السيكرومترى

$$CF = \frac{t_1 - t_2}{t_1 - t_3}$$

$$CF = 0.82 \quad \& \quad t_3 = 8^\circ C \quad \& \quad t_1 = 27^\circ C \quad \text{وحيث أن}$$

$$0.82 = \frac{27 - t_2}{27 - 8} \quad \therefore t_2 = 11.4^\circ C$$

فتكون درجة حرارة مغادرة الهواء لملف التبريد هي $t_2 = 11.4^\circ C$
من خريطة السيكرومترى

$$t_2 = 10.4^\circ C \text{ wb}$$

$$\text{من نفس الخريطة } h_1 = 57.5, h_2 = 30.5 \text{ kJ/kg} \quad (4.7)$$

$$q_{\infty} = m_a (h_1 - h_2) \\ = 2.8 (57.5 - 30.5) = 75.6, \text{ kW.}$$

Example 4.3

2.6kg of air at 20°C_{db}, 50% RH, is passed through a washer. Using water at 30°C. If the washer efficiency is 70%, estimate the conditions of the air leaving the unit.

بالرجوع إلى : Fig 4.5 وباستخدام بيانات خريطة السيكرومترى نجد أن عند نقطة (1)

$$t_1 = 20^\circ C \text{ db}, \text{ RH} = 50\% \quad \& \quad W_1 = 0.0074 \text{ kg wv/kg d.a.}$$

عند نقطة (3)

$$t_3 = 30^\circ\text{db}, \text{RH} = 100\% \quad \& \quad W_3 = 0.0273 \text{ kg wv/kg da.}$$

لتحديد نقطة المغادرة نستعين بمعادلة كفاءة المرطب.

$$\eta = 0.7 = \frac{W_2 - W_1}{W_3 - W_1} = \frac{W_2 - 0.0074}{0.0273 - 0.0074}$$

$$\therefore W_2 = 0.023B \text{ kg wv/kg da.}$$

$$\eta = 0.7 = \frac{t_2 - t_1}{t_3 - t_1} = \frac{t_2 - 20}{30 - 20} \quad \text{وابضاً :}$$

$$\therefore t_2 = 27^\circ\text{db}$$

حالة الهواء عند المغادرة عند نقطة (2) هي :

$$t_2 = 27^\circ\text{db} \quad \& \quad W_2 = 0.0213 \text{ kg wv/kg da.}$$

Example 4.4

70kg of moist air at 35°db , 24°wb is mixed with 115kg of moist air at 37°db , 20°wb . Find the moisture content, enthalpy and the wet bulb temperature of the mixture

بالرجوع إلى: Fig 4.11 واستخدام بيانات الميكرومترى خواص التيار الأول

$$h_1 = 75.8 \text{ kJ/kg} \quad \& \quad W_1 = 0.0158 \text{ kg wv/kg da}$$

خواص التيار الثاني

$$h_2 = 57 \text{ kJ/kg} \quad \& \quad W_2 = 0.0117 \text{ kg wv/kg da.}$$

قانون حفظ الكتلة للهواء الجاف

$$m_1 + m_2 = m_3$$

$$70 + 115 = 185, \text{ kg}$$

قانون حفظ الكتلة لبخار الماء

$$m_1 W_1 + m_2 W_2 = m_3 W_3$$

$$70 \times 0.0158 + 115 \times 0.0117 = 158 \times W_3$$

$$W_3 = 0.0133 \text{ kg wv / kg da.}$$

قانون حفظ الطاقة

$$m_1 h_1 + m_2 h_2 = m_3 h_3$$

$$70 \times 75,8 + 115 \times 57 = 185 \times h_3$$

$$h_3 = 64.1 \text{ kJ / kg}$$

من خريطة السيكلومترى

$$t_{db} = 30^\circ\text{C} \quad \& \quad t_{wb} = 22,1^\circ\text{C}$$

Example 4.5

A kids- toys shop has a sensible heat gain of 13,2kW and latent heat gain of 4.4, kW. The shop is maintained at 25°Cdb & 45% H. Draw the RSHF line.

الحل مبين على Fig 4.13

معامل الحرارة المحسوسة للغرفة

$$\text{RSHF} = \frac{q_s}{q_s + q_l} = \frac{13.2}{13.2 + 4.4} = 0.75$$

تحدد حالة الغرفة بـ $t_R = 25^\circ\text{C}$, $\text{RH} = 45\%$

تحدد قيمة معامل الحرارة المحسوسة على تدريج هذا المعامل لـ 0,75 يستعمل بـ Reference

$t = 24.5^\circ\text{C}$ & $\text{RH} = 50\%$ guide point أو line التي احداثياتها هي

نصل الخط بين 0.75 SHF ونقطة المساعدة Guide point بالخط المتقطع نحصل على

الخط المساعد Guide line من نقطة حالة الغرفة نرسم خط موازياً للخط المساعد فيكون هو

خط الغرفة RSHF line.

أهمية هذا الخط تتمثل في أن حالة تجذير الهواء للغرفة المموافقة لظروف الراحة يجب أن تقع على هذا الخط وهذا سنعرف عليه عند دارسية دوائر السيكلومترى.

Problems

- 4.1 Find the heat transfer rate to warm $0.7 \text{ m}^3/\text{s}$ of air at $15\text{C}^\circ\text{db}$ and 90% RH to $50\text{C}^\circ\text{db}$ without the addition of moisture. [Ans:30.35kW]
- 4.2 An air handling units mixes $0.47 \text{ m}^3/\text{s}$ of outside air at $33\text{C}^\circ\text{db}$ & $24\text{C}^\circ\text{wb}$ with $1.89 \text{ m}^3/\text{s}$ of return air at $26\text{C}^\circ\text{db}$ and 45%RH. Determine the mixed air db and wb temperatures, enthalpy and humidity ratio.
- 4.3 A summer outdoor air at $30\text{C}^\circ\text{db}$, $21\text{C}^\circ\text{wb}$ is cooled to $12\text{C}^\circ\text{db}$ and 90%RH. Sketch the psychometric process and identify all the condition data for the end point [Ans] :outdoor 43%RH, $W = 0.0018 \text{ kg/kg}$, $h = 60.3 \text{ kJ/kg}$ $v = 0.875 \text{ m}^3/\text{kg}$. $dP = 16.3\text{C}^\circ$. cooled: $11.1 \text{ C}^\circ\text{db}$, $w = 0.0079, \text{kg /kg}$, $h = 32 \text{ kJ / kg}$ $dP = 10.5\text{C}^\circ$
- 4.4 In an air conditioning unit $3.5 \text{ m}^3/\text{s}$ of air at $27\text{C}^\circ\text{db}$, 50% RH is cooled and dehumidified to $13\text{C}^\circ\text{db}$ and 90% RH. Using the properties from the psychometric chart to determine :
- The refrigeration capacity in/ W
 - The rate of the water removal from the air [Ans. a : 83,5 kW, b = 0.09 kg/s]
- 4.5 1kg/s of air at $28\text{C}^\circ\text{db}$, $19\text{C}^\circ\text{wb}$ is passed through a cooling coil until its discharge state is $15\text{C}^\circ\text{db}$, $13\text{C}^\circ\text{wb}$ Find:
- The apparatus dew point of the coil
 - Calculate coil CF
 - Estimate cooling load of the refrigeration plant.

[Ans. : (a) $t_d = 10C^\circ$, (b) CF = 0.72 (c) $q_{cc} = 17kW$.]

4.6 Space has a sensible heat gain of 25,kW and latent heat gain of 9kW.

Determine the RSHF. If the room design conditions are 25C°db,
50%RH, using the psychometric chart draw RSHF line.

4.7 0.8kg/s of air at 9C°db, 4C°wb is exposed to a washer with heated water. The air leaves the washer with moisture content of 0.0064 kg wv/kgda. If the washer efficiency is 0.72 determine the heating load of the washer water. (7.6kW.)

4.8 A space to be air conditioned is known to have a total heat gain of 15kW of which 12.2kW is sensible. It is required to maintain the space at 27C°db, 50%RH. What apparatus dew point will required

[Ans.: $t_d = 14C^\circ$]

4.9 An air handling unit which includes Dx- coil receives 30% of its air at 30C°db, 22C°wb and the remainder at 21C°db, 50% RH. The air flow of 0.65kg/s leaves the coil where the apparatus dew point is 8C° at 10C°. Determine refrigeration capacity of the coil and its contact factor and by pass factors.

5

حساب حمل تكييف الهواء للمبني

BUILDING AIR - CONDITIONING LOAD ESTIMATION

General

مقدمة

حساب حمل التكييف له أهمية قصوى في الاختيار السليم للمعدات وأنظمة التكييف التي سوف تعمل على تحقيق ظروف الراحة للإنسان .

5.1 العوامل التي تؤثر على تقدير حمل تكييف الهواء

5.1 Factors Affecting A/C Load Estimation

أولاً موقع وهيئة المبني Building location and structure

- 1- موقع المبني من الجهات الأصلية الأربع : حيث أن تأثير الشمس على الأسطح الخارجية متواتا طبقا لسقوط أشعتها عليه .
- 2- لون المبني الخارجي : من المعروف أن الألوان الفاتحة لا تمتض حرارة الشمس بنفس الدرجة التي تمتض الألوان الداكنة لذلك نجد أن الاتجاه الأن يميل إلى الألوان الفاتحة – وقد يلجأ البعض إلى تجليد الواجهات الخارجية بالواح من الألومينيوم أو المرابيات وذلك لعكس جزءا كبيرا من الأشعة التي تسقط عليها ولأغراض جمالية أيضا .
- 3- تركيب أسقف وحوائط المبني . *Ceiling and wall structure* . من المعلوم أن الحوائط ذات الكثافة المنخفضة (ذات المقاومة الحرارية المنخفضة) تسمح بانتقال كمية حرارة أكبر من مثيلتها من الحوائط والأسقف ذات الكثافة الكبيرة .

4- ظلال الشجار والمباني القريبة . كلما زادت الشجار والمباني العالية القريبة من المبنى المراد تكييفه كلما أدى ذلك إلى تقليل كمية الحرارة المنقولة داخل المبنى، أيضاً يقل تأثير الشمس على حمل تكييف المبنى .

5- النوافذ والستائر . تلعب النوافذ دوراً لا يستهان به في نفاذ الحرارة على المكان . النوافذ ذات الطبقتين من الزجاج تسمح بمرور كمية حرارة أقل نسبياً من مثيلتها ذات الطبقة الواحدة - كما أن الزجاج المعرج يسمح بدوره بمرور كمية حرارة أقل من الألواح المستوية .
الستائر تعمل على تقليل كمية الأشعة النافذة إلى الأماكن المكيفة

ثانياً: نوعية استخدام المكان *Space application*

تؤثر نوعية استخدام المكان المراد تكييفه على اختيار الأسلوب الأمثل لأنظمة التكييف

[أ] لاماكن الإقامة *Apartment*

- 1- غرف النوم يجب تكييف هواها باستمرار .
- 2- غرف الجلوس كذلك حيث أنها تستخدم معظم الأوقات .
- 3- غرف الطعام لا تستخدم طول الوقت لذلك يراعى ذلك في حساب حمل التكييف

[ب] المنشآت العامة *General Purpose Building*

- 1- المعمل : مثل معامل الكيماء والاحترار الداخلي يستخدم هواء خارجي فقط نظراً لاتبعاث غازات ضارة .
- 2- غرف العمليات في المستشفيات تستخدم أيضاً هواء خارجي كلي وذلك للتخلص باستمرار من الميكروبات والجراثيم .
- 3- منشآت محطات توليد الطاقة الذرية تستخدم أيضاً هواء خارجي فقط وفي كل الأحوال يؤثر نشاط الأشخاص داخل المبنى على كمية الهواء اللازمة للتهوية .

ثالثاً الظروف الجوية التي تحدد التصميم . *Climate Conditions*

عند حساب الحمل الحراري للمكان لا تؤخذ درجة الحرارة الفصوى للهواء على الإطلاق ولكن تؤخذ متوسط درجة الحرارة الفصوى الذي تسجله هيئة الأرصاد الجوية وعدد أيام تكرار تلك الدرجة وسبب ذلك أن أعلى درجة حرارة تسجل قد لا تستمر إلا عدة أيام وإذا أخذت في

الاعتبار أعلى درجة ستودي إلى اختيار أجهزة ذات قدرات عالية لا تستخدَم إلا عدة أيام ويؤثر ذلك على التكاليف الناتجة . هذا من ناحية - ومن ناحية أخرى استخدام نظام قدرته أكبر من اللازم سيفزيد من فترات وقوف الجهاز نتيجة عمل الترموموستات وبالتالي ستزداد رطوبة المكان . لعدم قيام ملف التبريد بتكتيف الرطوبة الزائدة فيؤدي إلى فقدان الناس الإحساس بالراحة . درجات الحرارة الجافة والرطوبة الخارجية لبعض البلدان العربية مبينة في Table 5.1

رابعاً - الظروف الداخلية للمكان *Indoor Conditions*

إن درجة الحرارة ونسبة الرطوبة للهواء داخل الأماكن المكيفة والتي يشعر بها الإنسان العادي بالراحة كانت موضوعاً لأبحاث كثيرة وقد سبق أن بينا منطقة الراحة *Comfort zone* هي

$$t_{db} = 22 - 27 \text{ } ^\circ\text{C} \quad \& \quad RH = (30 - 70) \text{ %}$$

هذا وقد تختلف هذه القيم قليلاً طبقاً للمناخ السائد في المنطقة وطبيعة النشاط . بعض هذه القيم مبينها في Table 5.2

5.2 انتقال الحرارة خلال الجدران

كمية الحرارة المنتقلة q_r خلال الجدران والحوائط والأسقف والأبواب والنوافذ والأرضيات يمكن تعديتها بالمعادلة العامة

$$q_r = \frac{A \times \Delta t}{\Sigma Ri} = U \cdot A \cdot \Delta t \quad , \quad \text{kW} \quad (5.1)$$

حيث A مساحة السطح ، m^2

Σ المقاومة الحرارية الكلية لتركيبة السطح $\text{m}^2\text{C}^\circ/\text{W}$

Δt الفرق بين درجتي الحرارة الداخلية والخارجية C°

U معامل انتقال الحرارة الكلية $\text{W/m}^2\text{C}^\circ$

ويمكن حسابه بالمعادلة

$$U = \frac{1}{\Sigma Ri} = 1 / \left(\frac{1}{h_o} + \sum \frac{Xi}{k_i} + \frac{1}{h_i} \right) \quad (5.2)$$

Table 5.1 Weather Data For Arab Countries

Station	Altitude	Summer		Winter
		Dry bulb C°	Wet bulb, C°	Dry bulb, C°
Egypt				8
Alexandria	31° 30' N	37	25	12
Cairo	30° 35' N	41	22	
Ismailia	30° 37' N	42	24	
Luxor	-	46	27	8
Menia	-	41	24	
Port Said	21° 16' N	34	26	
Libia		34.5	24.5	7
Ben Gazi				
Sudan	15° 37' N			
Khartoum	15° 37' N	45	23	-
Wadi halfa	21° 55' N	46	22	
Algeria				
Algiers	36° 46' N	37	20	7
Oran	35° 44' N	35	27	
Morocco				
Casblanca	33° 35' N	33	25	5
Tangier	35° 48' N	33	24	
Tunisia	36° 47' N	42	27	5
Saudi Arabia				
Jidda	21° 38' N	42	30	16
Riyadh	24° 39' N	44	28	4
Zahrان	24° 39' N	43	29	6
Bahrain				
Manama	26° 12' N	42	33	-
Iraq				
Baghdad	33° 20' N	47	24	2
Basra	30° 34' N	46	29	
Mosel		44	22	
Kuwait				
Kuwait city	29° 21' N	45	31	2
Jordan				
Amman	31° 57' N	38	22	-

Lebanon				
Beruit	33° 54'	33	26	7
Oman				
Muscat	23° 27' N	43	34	-
Emirates	25° 20'N	44	34	-

Table 5.2 Recommended Design Values at Various Locations (Inside conditions)

Location	Season	Occupancy category	t_i, C°	RH %
Cold	Summer	Continuous	20 - 20	50
		Transient	23	50
	Winter	Continuous	19-20	50
		Transient	16-18	50
Tropics	Summer	Continuous	23	50
		Transient	25-26	45-60
	Winter	Short winter no heating required		
		Long winter	22	45

حيث h_i , h_o معامل انتقال الحرارة بالحمل داخل وخارج المكان. في الحسابات الهندسية يمكن اعتبار القيم التالية :

$$hi = 6 \quad W/m^2C^\circ \quad \& \quad ho = 35 \quad W/m^2C^\circ$$

وبالرجوع إلى Fig 5-1 نجد أن :

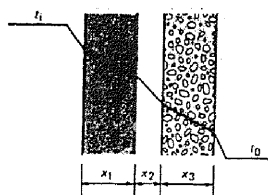


Figure 5.1 Heat transmission through wall

xi سمك طبقة مكون من مكونات الحائط m,

معامل التوصيل الحراري لنفس المكون k_i W/m². C°.

يبين Table 5.3 بعض قيم المعامل k للمواد المكونة لأغلب الحوائط والأسقف والأرضيات. لتسهيل بعض الحسابات الهندسية يمكن استخدام معامل انتقال الحرارة الكلى لبعض التركيبات

وأنواردة في الجداول Table 5.4 - Table 5.9

Example 5.1

Calculate the transmission heat gain for the wall structure in a rural situation and the inside and outside temperatures are 21C° and 32C°, respectively.

The wall area is 97.3m², the inside and outside convective heat transfer coefficients are 35 and 6 w/ m²C°, respectively.

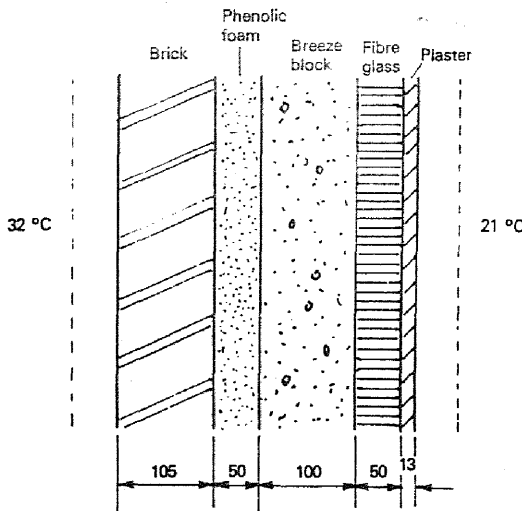


Figure 5.2 Analysis of wall structure in example 5.1

هذه التركيبة ليست قياسية لذلك معاملات التوصيل الحراري لمكونات الحائط يمكن تحديدها من (Table 5.3)

$$k_1 = 0.81 \text{ W/m.C}^\circ$$

$$k_2 = 0.039 \text{ W/m.C}^\circ$$

$$k_3 = 0.0035 \text{ W/m.C}^\circ$$

$$k_4 = 0.036 \text{ W/m.C}^\circ$$

$$k_5 = 0.72 \text{ W/m.C}^\circ$$

$$\begin{aligned} U &= 1 / \left(\frac{1}{h_o} + \frac{X_1}{k_1} + \frac{X_2}{k_2} + \frac{X_3}{k_3} + \frac{X_4}{k_4} + \frac{X_5}{k_5} + \frac{1}{h_i} \right) \\ &= 1 / \left(\frac{1}{35} + \frac{0.105}{0.81} + \frac{0.05}{0.039} + \frac{0.1}{0.051} + \frac{0.05}{0.0035} + \frac{0.013}{0.05} + \frac{1}{6} \right) = 0.175 \text{ W/m}^2 \text{ K} \end{aligned}$$

$$q = U \cdot A \cdot \Delta T$$

$$= 0.175 \times 27.3 \times (32 - 21) = 52.54 \text{ W}$$

5.3 حرارة مفقودة أو مكتسبة خلال المساياك

5.3 Loss or Heat Gain Through Ducts

خلال مسار الهواء داخل المسبك بعد وحدة المعالجة فإن الهواء المنفوع قد يكتسب حرارة (في حالة للتبريد) أو يفقد الحرارة (في حالة التدفئة) مما يستلزم إضافة هذه الطاقة لكل من مصادر التبريد والتدفئة. كمية الحرارة هذه يمكن حسابها من المعادلة.

$$q_d = U_d \times A_d (\Delta t)_d \quad (5.3)$$

A_d المساحة الجانبية لمساياك الهواء m^2

Δt فرق درجات الحرارة بين الهواء في المسبك والوسط الخارجي $^\circ\text{C}$

U_d معامل انتقال الحرارة الكلى مسار لجدار المسبك وتقدر بـ $\text{W/m}^2 \text{ K}$

المعامل U يمكن تعينه بالمعادلة

$$\frac{1}{U_d} = \frac{1}{r_{si}} + \frac{1}{R} + \frac{1}{r_{so}} \quad (5.4)$$

حيث r_{si} المقاومة الحرارية للطبقة الجدارية للهواء داخل المسبك :

$$r_{si} = 0.86 \frac{D^{0.25}}{V^{0.08}} \quad (5.5)$$

للمساياك الدائرية

Table 5.3 Typical Thermal properties of common Building and Insulating Material

Description	Thickness, mm	Density ρ , kg/m ³	Conductivity k , W/(m-K)	Conductance C , W/(m ² -K)	Specific Heat, kJ/(kg-K)
Building Board					
Asbestos-cement board	6.4	1900	—	93.7	—
Gypsum or plaster board	9.5	800	—	17.6	1.09
Gypsum or plaster board	12.7	800	—	12.6	—
Plywood (Douglas fir)	—	540	0.12	—	1.21
Plywood (Douglas fir)	6.4	540	—	18.2	—
Plywood (Douglas fir)	9.5	540	—	12.1	—
Plywood (Douglas fir)	12.7	540	—	9.1	—
Plywood or wood panels	19.0	540	—	6.1	—
Vegetable fiber board	—	—	—	—	1.21
Sheathing, regular density	12.7	290	—	4.3	—
Sheathing intermediate density	12.7	350	—	5.2	—
Sound deadening board	12.7	240	—	4.2	1.26
Tile and lay-in panels, plain or acoustic	—	290	0.058	—	0.59
Hardboard					
Medium density	—	800	0.105	9.50	—
High density, standard-tempered grade	—	1010	0.144	6.93	—
Particleboard					
Medium density	—	800	0.135	7.35	—
Underlayment	15.9	640	—	6.9	1.21
Wood subfloor	19.0	—	—	6.0	1.38
Building Membrane					
Vapor-permeable felt	—	—	—	94.9	—
Vapor-seal, 2 layers of mopped 0.73 kg/M ² felt	—	—	—	47.4	—
Finish Flooring Materials					
Carpet and fibrous pad	—	—	—	2.73	—
Carpet and rubber pad	—	—	—	4.60	1.38
Tile-asphalt, linoleum, vinyl, rubber	—	—	—	113.6	1.26
Wood, hardwood finish	19	—	—	8.35	0.112
Insulating Materials					
<i>Blanket and Batt</i>					
Mineral fiber, fibrous form processed	—	—	—	—	—
from rock, slag, or glass	approx. 75–100 mm	6.4–32	—	0.52	—
approx. 90 mm	—	19–26	—	0.38	—
approx. 140–165 mm	—	6.4–32	—	0.30	—
approx. 140 mm	—	10–16	—	0.27	—
approx. 150–190 mm	—	6.4–32	—	0.26	—
approx. 210–250 mm	—	6.4–32	—	0.19	—
<i>Board and Slabs</i>					
Cellular glass	—	136	0.050	—	—
Glass fiber, organic bonded	—	64–140	0.036	—	—
Expanded polystrene, molded beads	—	16	0.037	—	—

(Continued)

Description	Thickness, mm	Density ρ , kg/m ³	Conductivity k , W/(m-K)	Conductance C , W/(m ² -K)	Specific Heat, kJ/(kg-K)
Mineral fiber with resin binder	—	240	0.042	—	—
Core or roof insulation	—	260-270	0.049	—	—
Acoustical tile	12.7	—	—	4.5	—
Acoustical tile	19.0	—	—	3.0	—
<i>Loose Fill</i>					
Cellulosic insulation (milled paper or wood pulp)	—	37-51	0.039-0.046	—	1.398
Perlite, expanded	—	32-66	0.039-0.045	—	1.09
	—	66-120	0.045-0.052	—	—
	—	120-180	0.052-0.060	—	—
Mineral fiber (rock, slag, or glass)					
approx. 95-130 mm	—	9.6-3.2	—	0.52	0.71
approx. 170-220 mm	—	9.6-3.2	—	0.31	—
approx. 190-250 mm	—	9.6-3.2	—	0.26	—
approx. 260-350 mm	—	9.6-3.2	—	0.19	5.28
Mineral fiber (rock, slag or glass)					
approx. 90 trim (closed sidewall application)	—	32-56	2.1-2.5	—	—
Vermiculite, exfoliated	—	110-130	0.068	—	1.34
	—	64-96	0.063	15.7	—
Metals					
Aluminum (1100)	—	2660	221.5	—	0.9
Steel, mild	—	7600	45.3	—	0.5
Steel, stainless	—	7680	15.6	—	0.46
Roofing					
Asbestos-cement shingles	—	1900	—	27.0	1.00
Asphalt roll roofing	—	1100	—	36.9	1.51
Asphalt shingles	—	1100	—	12.9	1.26
Built-up roofing	10	1100	—	17.0	1.46
Slate	13	—	—	114	1.26
Wood shingles, plain and plastic film faced	—	—	—	6.0	1.30
Plastering Materials					
Cement plaster, sand aggregate	—	1860	0.72	—	0.84
Sand aggregate	10	—	—	75.5	0.84
Sand aggregate	20	—	—	37.8	0.84
Gypsum plaster					
Lightweight aggregate	13	720	—	17.7	—
Lightweight aggregate	16	720	—	15.2	—
Lightweight aggregate on metal lath	19	—	—	12.1	—
Masonry Materials					
Masonry Units					
Brick, fired clay	—	2080	0.92-1.12	—	—
	—	1920	0.81-0.98	—	0.79
Clay tile, hollow					
1 cell deep	100	—	—	5.11	—
2 cells deep	150	—	—	3.75	—
2 cells deep	200	—	—	3.07	—

(Continued)

Description	Thickness, mm	Density ρ , kg/m ³	Conductivity k , W/(m-K)	Conductance C , W/(m ² -K)	Specific Heat, kJ/(kg-K)
Concrete blocks					
Normal mass aggregate (sand and gravel), 200 mm, 15–16 kg, 2020–2180 kg/m ³ concrete, 2 or 3 cores	—	—	—	5.1–5.8	0.92
Low-mass aggregate (expanded shale, clay, slate or slag, pumice), 150 mm, 7.3–7.7 kg, 360–1390 kg/m ³ concrete, 2 or 3 cores	—	—	3.0–3.5	—	—
Same with vermiculite-filled cores, 200 mm, 8.6–10.0 mm, 1150–1380 kg/m ³ concrete	—	—	1.8–3.1	—	—
Same with vermiculite-filled cores	—	—	1.1–1.5	0.93–0.69	—
Concretes					
Sand and gravel or stone aggregate concretes (concretes with more than 50% quartz or quartzite)	—	2400	1.4–2.9	—	—
Sand have conductivities in the higher end of the range	—	2240	1.3–2.6	—	—
—	2080	1.0–1.9	—	—	—
Limestone concretes	—	1920	1.14	—	—
—	1600	0.79	—	—	—
Cement/lime, mortar, and stucco	—	1600	0.97	1.04	—
—	1280	0.65	1.54	—	—
Lightweight aggregate concretes					
Expanded shale, clay, or slate; expanded slags; cinders; pumice (with density up to 1600 kg/m ³); and scoria (sanded concretes have conductivities in the higher end of the range)	—	1920	0.9–1.3	1.08–0.76	—
—	1600	0.68–0.89	1.48–1.12	—	0.84
—	1280	0.48–U9	—	—	—
Siding Materials (on Flat Surface)					
Shingles					
Asbestos-cement	—	1900	—	27.0	—
Wood, drop, 20 by 200 mm	—	—	7.21	—	1.17
Aluminum, steel, or vinyl, over sheathing, hollow-backed	—	—	9.31	—	1.22 ¹
Insulating-board backed					
9.5 mm nominal	—	—	3.12	—	1.34
9.5 mm nominal, foil-backed	—	—	1.93	—	—
Architectural (soda-lime float) glass	—	—	56.8	—	0.84
Woods (12% Moisture Content)					
Hardwoods					
Oak	—	659–749	0.16–0.18	—	1.63
Softwood	—	—	—	—	—
Hem-fir, spruce-pine-fir	—	392–502	0.107–0.130	—	1.63

Table 5.4 Typical U – values of walls

Construction (outside to inside)	U-value (W/m² K)
Brickwork	
(a) 105 mm brickwork, 13 mm dense plaster	3.0
(b) 220 mm brickwork, 13 mm dense plaster	2.1
(c) 335 mm brickwork, 13 mm dense plaster	1.7
(d) 220 mm brickwork, 25 mm air gap 10 mm plasterboard (on dabs)	1.5
(e) 220 mm brickwork, 25 mm airgap, 10 mm foil-backed plasterboard (on dabs)	1.2
(f) 220 mm brickwork, 20 mm glass fibre quilt, 10 mm plasterboard	1.0
(g) As (f) but with 20 mm EPS slab	0.93
(h) As (f) but with 25 mm EPS slab	0.82
(i) As (f) but with 25 mm polyurethane slab	0.66
(j) 220 mm brickwork, 25 mm airgap, 25 mm EPS slab, 10 mm plasterboard	0.71
(k) As (j) but with 25 num polyurethane slab	0.59
Concrete blockwork	
(a) 200 mm heavyweight concrete block, 25 mm airgap 10 mm plasterboard (on dabs)	1.8
(b) 200 mm heavyweight concrete block, 25 mm airgap, 25 mm EPS slab, 10 mm plasterboard As (a) but with 25 mm polyurethane slab	0.79 0.65
(c) 19 mm render, 25 mm mineral fibre slab, 200 mm heavy- weight concrete block, 13 mm lightweight plaster	0.88
(d) As (c) but with 40 mm EPS slab	0.64
(e) 150 mm cast concrete, 50 mm wood wool slab, 13 mm dense plaster	1.2
(f) 200 mm cast concrete, 50 mm wood wool slab, 13 mm dense plaster	1.2
Brick: cavity: brick	
(a) 105 mm brickwork, 25 mm airgap, 105 mm brickwork, 13 mm dense plaster	1.5
(b) As (a) but with 13 mm lightweight plaster	1.4
(c) 220 mm brickwork, 25 mm airgap, 220 mm brickwork, 13 mm dense plaster	1.0
(d) As (c) but with 13 mm lightweight plaster	0.95
Brick: cavity: block	
(a) 105 mm brickwork, 25 mm airgap, 100 mm heavyweight concrete block, 13 mm lightweight plaster	1.6
(b) 105 mm brickwork, 25 mm airgap, 25 mm phenolic foam, 100 mm heavyweight concrete block, 13 mm light weight plaster	0.80
(c) 105 mm brickwork, 25 mm airgap, 25 mm phenolic foam, 100 mm medium concrete block, 13 mm lightweight plaster	0.72
(d) 105 mm brickwork, 50 mm UF foam, 100 mm heavyweight concrete block, 13 mm lightweight plaster	0.59

Table 5.5 Typical U- values of Windows

Window type	Fraction of area occupied by frame	U-value for stated exposure (W/m ² K)		
		Sheltered	Normal	Severe
SINGLE GLAZING				
wood frame	20%	4.5	5.0	5.9
	30%	4.2	4.7	5.5
aluminium frame (no thermal break)	20%	5.6	6.4	7.5
	30%	5.9	6.7	7.9
aluminium frame (with thermal break)	20%	5.2	5.8	6.8
	30%	5.2	5.8	6.8
DOUBLE GLAZING				
aluminium frame (no thermal break)	20%	3.9	4.3	4.8
	30%	4.4	4.9	5.6
aluminium frame (with thermal break)	20%	3.4	3.7	4.0
	30%	3.7	4.0	4.4

Table 5.6 Typical U- values of Pitched Roofs

Construction (outside to inside)	U-value (W/m ² K)
5 mm asbestos cement sheet	6.5
5 mm asbestos cement sheet, loft space, 10 mm plasterboard ceiling	2.6
10 mm tile, loft space, 10 mm plasterboard ceiling	2.6
(a) 10 mm tile, loft space, 25 mm glass-fibre quilt, 10 mm plasterboard ceiling	0.99
(b) As (a) but with 50 mm glass fibre quilt	0.61
(c) As (a) but with 75 mm glass fibre quilt	0.44
(d) As (a) but with 100 mm glass fibre quilt	0.35

Table 5.7 Typical U-values of Flat Roofs

Construction (outside to inside)	U-value (W/m ² K)
19 mm asphalt, 75 mm screed, 150 mm cast concrete (dense), 13 mm dense plaster	1.9
(a) 19 mm asphalt, 13 mm fibreboard, 25 mm airgap, 25 mm glass fibre quilt, 10 mm plasterboard	0.81
(b) As (a) but with 50 mm glass fibre quilt	0.54
(c) As (a) but with 75 mm glass fibre quilt	0.40

Table 5.8. Typical U-values of Internal wall & Partitions

Construction	U-value (W/m ² K)
(a) 105 mm brickwork	2.4
(b) As (a) but with 13 mm lightweight plaster each side	1.8
(c) 100 mm lightweight concrete block	1.3
(d) As (c) but with 13 mm lightweight plaster each side	1.1
25 mm plasterboard, 25 mm airgap, 25 mm plasterboard	1.4
12 mm fibreborad, 25 mm airgap, 12 mm fibreboard	1.2

Table 5.9 Typical U-values of Internal Floors & ceiling

Construction	U-value (W/m ² K)	Surface
(a) 50 mm screed, 150 mm cast concrete	2.0	floor
(b) As (a) but with 25 mm wood block floor	1.5	ceiling
25 mm wood block, 65 mm cast concrete, 25 mm airgap, 25 mm glass fibre quilt, 16 mm plasterboard ceiling	0.71	floor
10 mm timber floor, > 25 mm airgap, 25 mm glass fibre quilt, 16 mm plasterboard ceiling	0.81	ceiling

حيث $V \& D$ عبارة عن قطر المسبك وسرعة الهواء على الترتيب للمسك المستطيلة :

$$r_{st} = 0.286 \frac{[2a \times b / (a + b)]}{V^{0.5}}$$

حيث a, b عبارة عن أبعاد المقطع العرضي للمسك

r_{so} المقاومة الحرارية الجدارية للهواء خارج المسك

$$r_{so} = 1\text{m}^2 \text{K/W}$$

k معامل التوصيل الحراري لجدار المسك

$$k = 5.68 \cdot 10^{-3}, \text{kW/m}^2\text{K}$$

المسك المعزول $k = 2.3 \cdot 10^{-3}, \text{k W/m}^2\text{K}$

في بداية التصميم قد يصعب تحديد مقدار q_0 نظراً لصعوبة الحصول على قيم المساحة الجانبية للمسك فيمكن حسابها بنسبة 10% من الحرارة المنتقلة خلال الجدران والأسقف.
لتقليل هذا الفقد بصورة ملحوظة يجب عزل مسالك الهواء بطبقة من الصوف الزجاجي سمكها من 5cm : 2.5 مزودة بورق الالمنيوم عاكس.

5.4 الإشعاع الشمسي

إن الحرارة التي تدخل المكان عن طريق النوافذ والحوائط والسطح المعرض لأشعة الشمس المباشرة تعتبر من أهم مصادر الحرارى .

تتوقف كمية الحرارة هذه على اتجاه هذه الحوائط والنوافذ ونوع المساحات المركبة بها . حيث أن الكره الأرضية تدور حول نفسها وحول الشمس فأن الشمس تتحرك من جهة الشرق صباحاً

مروراً بالجنوب ونحو ناحية الغرب بعد الظهر .

صباحاً تكون الحوائط والنوافذ الشرقية هي المعرضة لأشعة الشمس بينما تسقط الأشعة الشمسية على الجهة الجنوبية من الظهيرة وتتعرض الحوائط الغربية لأشعة الشمس في نهاية النهار . فإذا أضفت الحرارة الناتجة من أشعة الشمس المباشرة لجميع المنافذ والحوائط من جميع الاتجاهات فسيكون تأثيرها كبيراً جداً . وحيث أن جميع الحوائط لا تكون معرضة لأشعة الشمس في وقت واحد فإنه يؤخذ فقط في الاعتبار الاتجاه ذو الحوائط والنوافذ التي تسمح بنفاذ أكبر كمية حرارة من الشمس بالإضافة إلى العطف إذا كان معرضاً بصورة مباشرة للشمس .

هذا ويعتمد الحمل الحراري بواسطة الشمس على العوامل الآتية :-

- زاوية سقوط أشعة الشمس (I) angle of incidence هي الزاوية (I) المحصورة بين الشعاع الشمسي والسطح الذي يستقبل هذه الأشعة Fig 5.3.
- شدة الإشعاع الشمسي (I) Solar Intensity وتقاس بـ W/m^2
- تركيب طبقات السطح الذي تُساقط عليه أشعة الشمس . العامل الأول والثاني يعتمدان على موقع المبنى ووقت سقوط الأشعة من النهار والوقت من السنة وكذلك الأحوال المناخية السائدة من حيث انتشار السحب . العامل الثالث يعتمد بصورة أساسية على درجة غلائية السطح للأشعة الساقطة عليه .

5.4.1 Main solar angles

5.4.1 زوايا الشمس الأساسية

- هناك ثلاثة زوايا أساسية تحدد شدة الشعاع الشمسي وهي :
- زاوية العرض أو خط العرض (l) Latitude angle** وهي الزاوية المحصورة بين الخط الواصل بين مكان ما على سطح الأرض (p) ومركز الأرض (o) وخط الاستواء Equator كما هو مبين في Fig 5.4 .
 - زاوية الانحدار (d) Declination angle** هي الزاوية بين مستوى خط الاستواء وخط مسار شعاع الشمس . وحيث أن الأرض تدور حول الشمس دوراً كاملاً كل 365½ يوم فإنها أيضاً (الأرض) تدور حول محورها مرتين كل 24 ساعة . هذا المحور (الخط الواصل بين القطب الشمالي والجنوبي) عمودي على أشعة الشمس في الربيع والخريف (22 مارس ، 22 سبتمبر) ولكنه يبدو مائلًا للأقصى في $\frac{1}{2}$ 23 شهر الビتينة . بالنسبة لنصف الكرة الشمالي الظاهر يكون نحو مسار أشعة الشمس في حدود $23\frac{1}{2}^\circ$ من العمودي في منتصف الصيف ويحدث في 22 يونيو - أما الانحراف الأقصى عن أشعة الشمس شتاءً فيكون في حدود $23\frac{1}{2}^\circ$ ويحدث في 21 ديسمبر . كما هو مبين في Fig 5.5 .
 - زاوية الساعة Hour angle (h)** زاوية الساعة لمكان ما يمكن تحديدها عندما ننظر لأفق على القطب الشمالي من الفضاء ف تكون الزاوية التي يجب أن تدورها الأرض ليصبح المكان واقعاً على خط شعاع الشمس وحيث أن الأرض تدور 360° كل 24 ساعة فإن $360^\circ / 24 = 15^\circ$

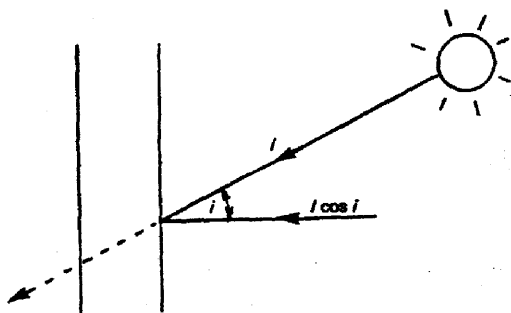


Figure 5.3 The angle of incidence in solar radiation

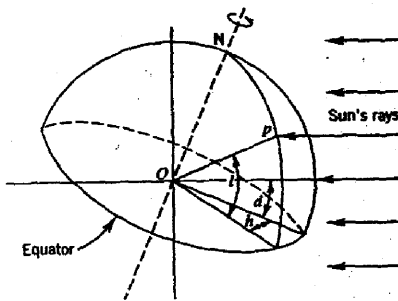


Figure 5.4 Latitude, hour and declination angles.

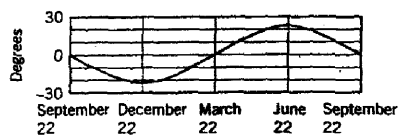


Figure 5.5 Variation of sun declination.

5.4.2 Derived solar angles

5.4.2 زوايا الشمس المشتقة

1- زاوية ارتفاع الشمس (β) **Solar altitude angle** هي الزاوية المحصورة بين شعاع الشمس ومسقط هذا الشعاع على المستوى الأفقي Fig 5.6

2- الزاوية السمتية ϕ **Zenith angle** هي الزاوية المتممة لـ 90° لزاوية ارتفاع الشمس β أى أن $90^\circ = \phi + \beta$ كما هو مبين Fig 5.6

3- الزاوية السمتية الأفقية (γ) **Solar azimuth** هي الزاوية التي يصنعها المسقط الأفقي للشعاع الشمسي في دورانه عكس عقارب الساعة متوجهًا إلى القطب الشمالي في المستوى الأفقي.

بعض قيم الزوايا β ، γ مطعاتة في Table 5-10 Latitude بعض زوايا ارتفاع الشمس

4- زاوية السقوط على المبنى **Solar incident angles onto building** شدة أشعة الشمس

I, W/m^2 تتطلب أن تكون عمودية على سطح المبنى بحيث يكون حاصل ضرب شدة الأشعة

في مساحة السطح مساوياً لحمل أشعة الشمس. الأمر يكون سهلاً في حالة السطح الأفقي حيث

$Icos \beta$ المركب الرأسى مساوياً $Isin \beta$. بالنسبة للحاطن الرأسى فإن المركب الأفقي يساوى.

يمكن الحصول عليه بدورانه بزاوية أخرى يجعله عمودي على هذا السطح Fig 5.7.

إذا كانت الزاوية السمتية γ عمودية فإن زاوية الحاطن الشمسية δ يمكن تقديرها بدورانها عكس

عقارب الساعة إلى الشمال وبالتالي فإن المركب $Icos \beta$ يكون قد تم دورانه بزاوية α

الفرق بين زاوية الشمس السمتية γ وزاوية الحاطن δ أى أن $|\delta - \gamma| = \alpha$ ومن هنا

يكون مركب أشعة الشمس على الحاطن الرأسى مساوياً $Icos \beta cos \alpha$

Example 5.2

A rectangular building has one wall facing S $26^\circ E$. If the solar azimuth is 210° (Fig 5.8); find the wall solar- Azimuth for the fours walls of the building.

$$\gamma = 210^\circ$$

وضع الشمس يمكن تحديده بالزاوية

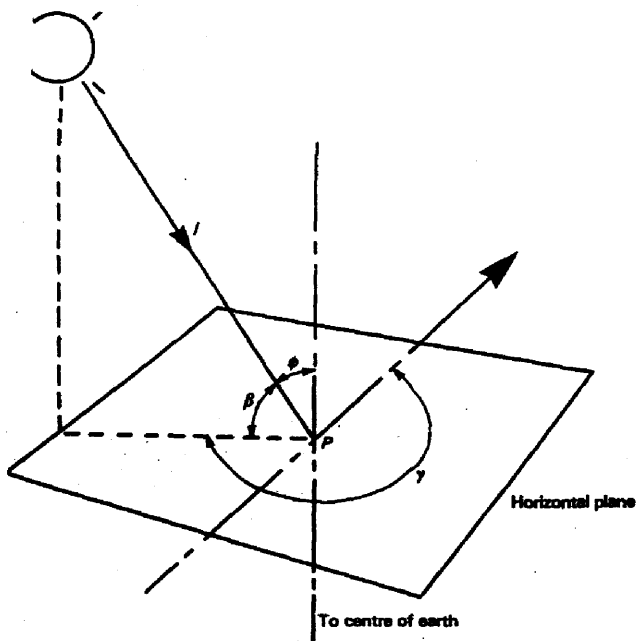


Figure 5.6 The derived angles of solar altitude β zenith angle ϕ and solar azimuth

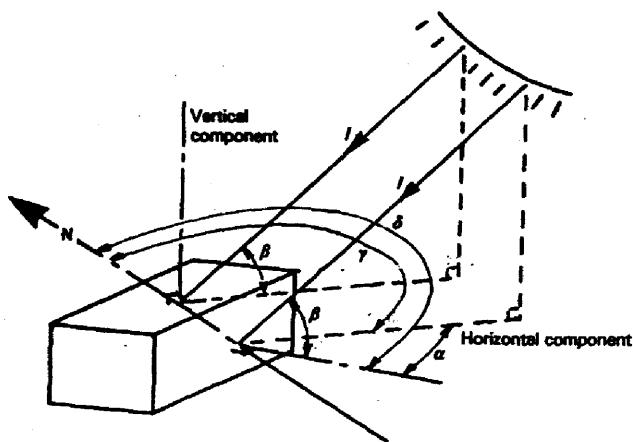


Figure 5.7 Solar incident angles on a building

Table 5.10, Solar Altitude and zenith.

North Lat- itude	Sun time	Sun time												South Lat- itude	Sun time
		Jan 21	Feb 21	Mar 21	Apr 22	May 22	Jun 21	July 23	Aug 22	Sep 22	Oct 22	Nov 22	Dec 21		
Alt Az	Alt Az	Alt Az	Alt Az	Alt Az	Alt Az	Alt Az	Alt Az	Alt Az	Alt Az	Alt Az	Alt Az	Alt Az	Alt Az	Alt Az	Alt Az
40°	08	8	125 15	118 22	110 31	100 36	92 37	89 36	92 31	100 22	110 15	118 8	125 6	127	08
	10	10	149 32	145 42	138 52	128 58	118 60	114 58	118 52	128 42	138 32	145 24	149 21	151	10
	12	12	180 39	180 50	180 62	180 70	180 74	180 70	180 62	180 50	180 39	180 30	180 27	180	12
	14	14	211 32	215 42	222 52	232 58	242 60	246 58	242 52	232 42	222 32	215 24	211 21	209	14
	16	16	235 15	242 22	250 31	260 36	268 37	271 36	268 31	260 22	250 15	242 8	235 6	233	16
	08	5	125 12	120 21	112 30	103 35	96 37	93 35	96 30	103 21	112 12	120 5	125 2	127	08
45°	10	10	150 28	146 38	141 48	133 55	125 58	121 55	125 48	133 38	141 28	146 19	150 16	152	10
	12	12	180 34	180 45	180 57	180 65	180 68	180 65	180 57	180 45	180 34	180 25	180 22	180	12
	14	14	214 28	214 38	219 48	227 55	235 58	239 55	235 48	227 38	219 28	214 19	210 16	208	14
	16	16	235 12	240 21	248 30	257 35	264 37	267 35	264 30	257 21	248 12	240 5	235 2	233	16
	08	2	126 10	120 19	114 28	106 35	99 37	97 35	99 28	106 19	114 10	120 2	126	08	
	10	15	151 24	148 34	143 45	136 52	130 55	128 52	130 45	136 34	143 24	148 15	151 12	152	10
50°	12	20	180 29	180 40	180 52	180 60	180 64	180 60	180 52	180 40	180 29	180 20	180 17	180	12
	14	15	209 24	212 34	212 45	224 52	230 55	232 52	230 45	224 34	217 24	212 15	209 12	208	14
	16	2	234 10	240 19	246 28	254 35	261 37	263 35	261 28	254 19	246 10	240 2	234	16	
	08	7	121 17	115 27	108 34	103 36	100 34	103 27	108 18	115 7	121			08	
	10	11	151 20	149 30	145 41	140 49	135 51	133 49	135 41	140 30	145 20	149 11	151 8	152	10
	12	15	180 24	180 35	180 47	180 55	180 58	180 55	180 47	180 35	180 24	180 15	180 12	180	12
55°	14	11	209 20	211 30	215 41	220 49	225 51	227 49	225 41	220 30	215 20	211 11	209 8	208	14
	16	7	239 17	245 27	252 34	257 36	260 34	257 27	252 18	245 7	239			16	
	08	7	121 17	115 27	108 34	103 36	100 34	103 27	108 18	115 7	121			08	
South Lat- itude	South time	Jul 23	Aug 22	Sep 22	Oct 22	Nov 22	Dec 21	Jan 21	Feb 21	Mar 21	Apr 22	May 22	Jun 21	South time	

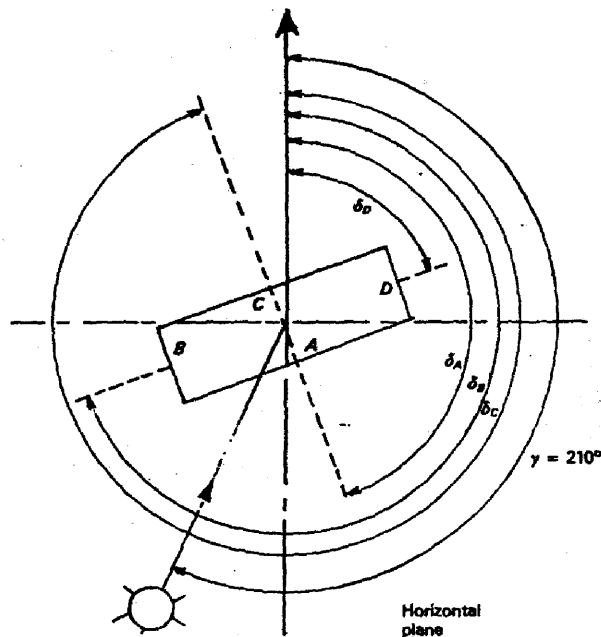


Figure 5.8 Analysis of wall-solar azimuth of four-wall building example 5.2

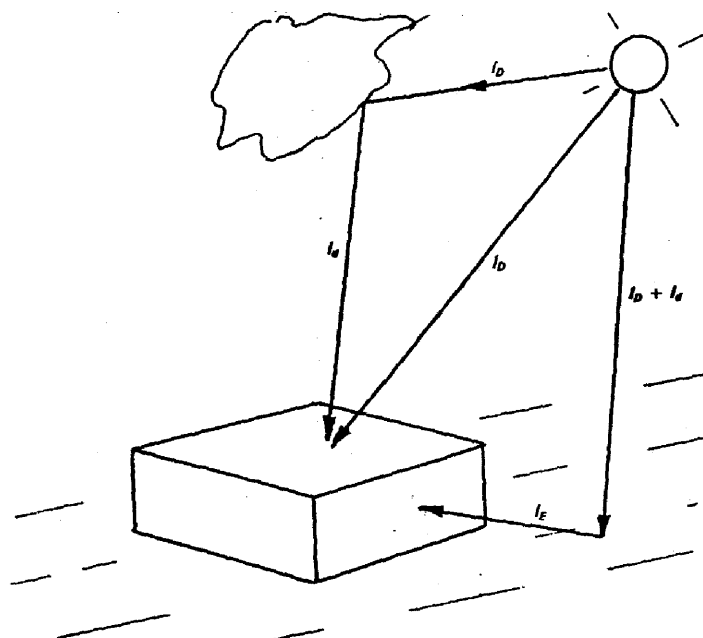


Figure 5.9 The forms of solar irradiance

A **الحاطن**

$$\delta_A = 180^\circ - 26^\circ = 154^\circ \quad \& \quad \alpha_A = |\gamma_A - \delta_A| = 210^\circ - 154^\circ = 56^\circ$$

B **الحاطن**

$$\delta_B = 154^\circ + 90^\circ = 244^\circ \quad \& \quad \alpha_B = [210^\circ - 244^\circ] = 34^\circ$$

$$\delta_C = 244^\circ + 90^\circ = 334^\circ \quad \& \quad \alpha_C = [210^\circ - 334^\circ] = 124^\circ$$

$$\delta_D = 334^\circ + 90^\circ = 424^\circ - 360^\circ = 64^\circ \quad \& \quad \alpha_D = |210^\circ - 64^\circ| = 146^\circ$$

5.4.3 مكونات الأشعاع الشمسي

الأشعاع الشمسي يمكن أن يكون في الصورة الآتية 9

1- الأشعاع مباشر Direct irradiances I_D هو الأشعاع من الشمس مباشرة على الأرض في اليوم الصحو.

2- الأشعاع المتشتت Diffuse irradiance I_d : بعض الأشعة المباشرة I_D قد تصطدم بالسحب أو أبخرة الماء أو الغبار فتشتت في كل الاتجاهات وبعضها قد يصطدم بالأرض فينتج الأشعاع المنشئ I_d .

3- أشعة الانعكاس الأرضي I_E : Earth reflected irradiance I_E هي الأشعة المباشرة I_D والمشتتة I_d قد تصطدم بالأرض وتتعكس على الأسطح فتسمى أشعة الانعكاس الأرضي I_E .

مجموعه المكونات الثلاث للأشعاع الشمسي I_E , I_d , I_D يعطى الأشعاع الشمسي الكلي I .
الأشعاع المباشر I_D إذا سقط على سطح عمودي على هذا الشعاع يرمز له I_{DN} . بعض قيم الأشعاع I_{DN} موجود في Table 5.11 تأسيسا على الزاوية β وطبقا لحالة السحب وللأسطح الأفقيه تصبح $I_{DH} = I_{ND} \sin \beta$ بعض قيم الأشعاع المباشر للأسطح الأفقيه موجود في

Table 5.12

بالنسبة للأسطح الرأسية شدة أشعة الشمس .

$$I_{DV} = I_{DN} \cos \alpha \cos \beta$$

قيم الأشعاع المباشر للأسطح الرأسية I_{DV} موجودة في Table 5.13

Table 5.11 Basic Direct and Diffuse Irradiances

Solar altitude (degrees)	β	5	10	15	20	25	30	35	40	45	50	60	70	80	90
Basic direct irradiance normal to sun (W/m^2)	I_{DN}	210	390	525	620	690	740	780	815	840	860	895	910	920	930
Basic diffuse (sky) irradiance (W/m^2)	clear	25	40	55	65	70	75	80	85	90	95	100	105	110	115
	cloudy	25	50	75	100	125	150	175	200	225	250	300	355	405	455

Table 5.12 Direct Irradiance onto a Horizontal Surface

Solar altitude β (degrees)	5	10	15	20	25	30	35	40	45	50	60	70	80	90
Basic direct solar irradiance onto a horizontal surface I_{DH} W/m^2	20	65	135	215	290	370	450	525	595	660	775	855	905	930

Table 5.13 Direct Irradiance onto a vertical surface

Solar altitude (degrees)	Basic direct irradiance / W/m^2 on to a vertical surface, I_{DV} , for stated wall-solar azimuth α													
β	0	10	20	30	40	45	50	55	60	65	70	75	80	
5	210	205	195	180	160	150	135	120	105	90	70	55	35	
10	380	375	360	330	295	270	245	220	190	160	130	100	65	
15	505	500	475	440	390	360	325	290	255	215	175	130	90	
20	585	575	550	505	450	415	375	335	290	245	200	150	100	
25	625	615	585	540	480	440	400	360	310	265	215	160	110	
30	640	630	605	555	490	455	410	370	320	270	220	165	110	
35	640	630	600	555	490	455	410	365	320	270	220	165	110	
40	625	615	585	540	480	440	400	360	310	265	215	160	110	
45	595	585	560	515	455	420	380	340	295	250	205	155	105	
50	555	545	520	480	425	390	355	315	275	235	190	145	95	
60	445	440	420	385	340	315	285	255	225	190	155	115	80	
70	310	305	295	270	240	220	200	180	155	130	105	80	55	
80	160	160	150	140	125	115	105	90	80	70	55	40	30	
90	0	0	0	0	0	0	0	0	0	0	0	0	0	

5.4.4 تأثير المكان على الأشعاع الشمسي

5.4.4 Location effects on solar radiation

أولاً : تأثير مستوى البحر Sea level Effect

شدة أشعة الشمس السابق الأشار إليها قد تم حسابها على أساس أن المباني تقع في مستوى البحر . المباني التي تقع في مستوى أعلى من مستوى البحر ، القيمة السابقة للأشعاع الشمس تضرب في المعامل تصحيح زاوية الارتفاع ومستوى البحر . (Altitude Correction Factor)

والمعين في Fig 5. 10

Example 5.3

A building is located at 2000m above sea level. Estimate the correction factor for altitude if $\beta = 15^\circ$

من Fig 5.10 عند $\beta = 15^\circ$ نجد أن $k_a = 1.5$

ثانياً : تأثير المناخ Climate Effects

تأثير المناخ السادس في منطقة ما على أشعة الشمس يمكن تصحيحه بالمعاملات k_r ، k_d ، k_D للأشعة المباشرة I_D والأشعة المشتتة I_d والأشعاع الأرضي المنعكس I_E على الترتيب كما يلى

$$k_D = 0.5 \quad k_d = I_d \quad k_r = 0.2 \quad \text{للمناخ المعتدل}$$

$$k_D = 0.5 \quad k_d = 1.1 \quad k_r = 0.2 \quad \text{للمناخ الاستوائي الرطب}$$

$$k_D = 1.1 \quad k_d = 0.9 \quad k_r = 0.5 \quad \text{للمناخ الاستوائي الجاف}$$

الأشعاع الشمسي الكلي Total solar irradiance

إذا اخذنا في الاعتبار كل العوامل السابقة يمكن تعين الأشعة الكلية للشمس كما يلى :

الأسطح الأفقية

$$I_{tH} = k_a [k_d \cdot I_{DH} + k_d \cdot I_{dH}] , \quad W/m^2 \quad (5.8)$$

للسطح الرأسية

$$I_{tv} = k_a [k_D \cdot I_{DV} + k_d \cdot I_{dv} + \frac{1}{2} k_r \cdot I_{tH}] \quad W/m^2 \quad (5.9)$$

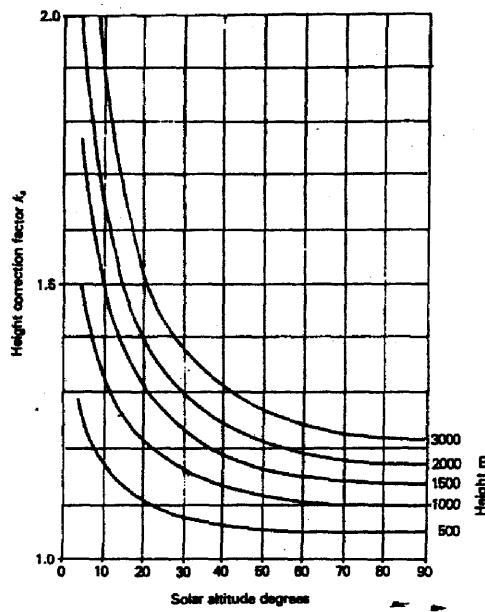


Figure 5.10 Solar correction factor k_d .

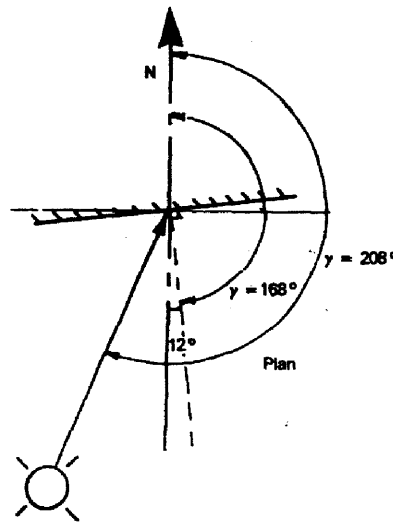


Figure 5.11 Analysis of total irradiance on to a vertical surface example 5.4

Example 5.4

Calculate the solar irradiance striking a vertical wall of a building located in Alexandria if the wall is facing S 12° E, (Fig 5.11). The solar altitude. Is 50° and solar azimuth is 208°. Alexandria is 75m above the sea level.

من Table 12 عند $I_{DH} = 660 \text{ W/m}^2$ فإن $\beta = 50^\circ$

الزاوية السمتية للشمس $\gamma = 208^\circ$

زاوية الحائط السمتية $\delta = 180^\circ - 12^\circ = 168^\circ$

زاوية الحائط - الشمس السمتية $\alpha = |\gamma - \delta| = 208^\circ - 168^\circ = 40^\circ$

من Table 5.13 عند $I_{DV} = 425 \text{ W/m}^2$, $\alpha = 40^\circ$, $\beta = 50^\circ$ نجد أن

وحيث أن الإسكندرية في منطقة متوسطة المناخ ومن Table 5.11 عند $\beta = 50^\circ$ نجد أن

الإشعاع الشمسي $I_{dH} = 250 \text{ W/m}^2$

ويكون الأشعاع الشمسي المشتت على الحائط الرأسي

$$I_{dh} = \frac{1}{2} I_{dH} = \frac{1}{2} \times 250 = 125 \text{ W/m}^2$$

من Fig 5.10 حيث الإسكندرية تقع في مستوى 75m أعلى من مستوى البحر فإن $k_a = 1$

وحيث أن الإسكندرية مناخها رطب $k_d = 0.5$ ، $k_r = 0.2$ ، $k_a = 1$ وبالتعويض في المعادلة

(5.8) للسطح الأفقي

$$I_{dH} = k_a [k_d I_{DH} + k_d I_{dH}] \\ = 1 [0.5 \cdot 660 + 1 \cdot 250] = 580 \text{ W/m}^2$$

وبالتعويض في المعادلة (5.9) للسطح الرأسي

$$I_h = k_a [k_d I_{DV} + k_d I_{dH} + \frac{1}{2} k_r I_{dH}] \\ = 1 [0.5 \cdot 4250 + 1 \cdot 125 + \frac{1}{2} \cdot 0.2 \cdot 580] = 395.5 \text{ W/m}^2.$$

5.4.5 الإشعاع الشمسي خلال النوافذ والحوائط

4.5 Solar Radiation through windows and walls.

حرارة الأشعة الساقطة على السطح سوف ينبع عنها ثلاثة مركبات (Fig 5.12) هي بالتحديد : مركب منعكس I_R ونافذ τ ومتضمن transmitted I_a

$$I_t = I_r + I_\tau + I_a \quad (5.10)$$

$$\begin{aligned} &= \frac{I_r}{I_t} + \frac{I_\tau}{I_t} + \frac{I_a}{I_t} \\ &= r + a + \tau \end{aligned} \quad (5.11)$$

حيث (τ) تعبير عن مقدرة السطح على عكس أشعة الشمس (a) Reflectance تعبير عن مقدرة امتصاص الأشعة Absorptivity ، (r) تعبير عن نفاذية السطح لأشعة الشمس Transmissivity الزجاج العادي له نفاذية عالية تسمح بتفافية أشعة الشمس بدرجة كبيرة بينما الحوائط نفاذتها تقريباً منعدمة وهذا ما سيتم تناوله بصورة مستقلة لكل منها.

5.4.5.1 حرارة الشمس خلال النوافذ

5.4.5.1 Solar Heat Through Windows.

أشعة الشمس الساقطة على الأسطح الزجاجية تتكون من : أشعة مباشرة I_D ، مشتتة I_d ، وأشعة الانعكاس الأرضى I_{Ea} كما هو مبين في Fig 5.13. المكونان I_E , I_d متوازيان في كل الاتجاهات ويسقطان على كل مساحة الشباك A بينما المركب I_D يسقط على المساحة الواقعه في ضوء الشمس A. وعلى ذلك فإنه سيؤثر بحرارة مقدارها ($I_D \cdot A_s$) من هذه الحرارة سوف ينفذ كمية حرارة = مقدارها ($I_D \cdot A_s$). أما الجزء الممتص فقداره ($a \cdot A_s$) سوف ينفذ منها إلى المكان جزء مقداره ($I_d \cdot A_s$) بالحمل حيث hc النسبة المئوية للحمل. المكونان I_E , I_d يؤثران على مساحة الشباك الكلية A وتكون الحرارة المكتسبة من نفاذهما هي $A_s(I_D + I_E)$ والأمتصاص هي $A_s \cdot hc$ ثم الأشعة بالحمل A

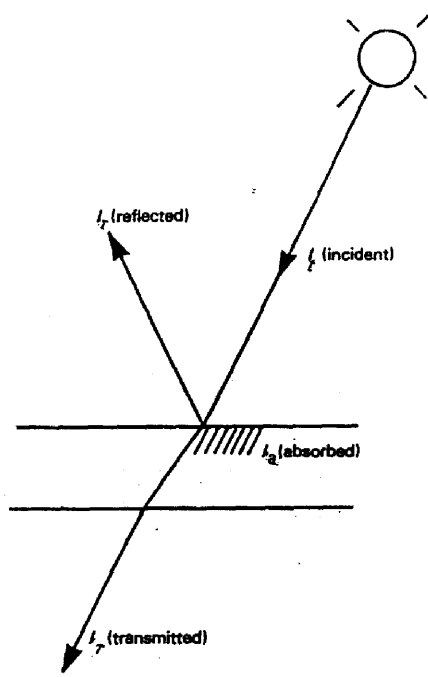


Figure 5.12 Incident solar radiation components

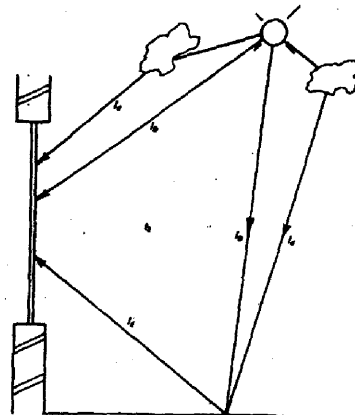


Figure 5.13 The forms of solar irradiance striking a window

الحرارة الكلية المكتسبة من الأشعاع الشمسي هي :

$$q_{g(\text{so})} = \tau \cdot A_s \cdot I_D + h_c \cdot a \cdot A_s \cdot I_D + \tau \cdot A \cdot (I_d + I_E) + h_c \cdot a \cdot (I_d + I_E) \cdot A \quad (5.12)$$

كمية الحرارة المكتسبة عن طريق الأشعاع الشمسي يضاف إليها كمية الحرارة المكتسبة بواسطة

$$q_g = UA(t_2 - t_1) \quad \text{أى } (t_2 - t_1)$$

القيم I_D , I_d & I_E تعدين كما سبق بيانه .

Example 5.5

A window 2.3m long and 1.8m high receives 443 W/m² direct solar radiation normal to the window , 95 W/m² diffuse, and 63 W/m² ground reflected solar irradiance. If, τ , a and h_c are 0.45, 0.42 and 65%, respectively. Determine the solar heat gain to the room. Neglect shading

من البيانات السابقة نجد أن :

$$I_D = 443 \text{ W/m}^2 \quad I_d = 95 \text{ W/m}^2, \quad I_E = 63 \text{ W/m}^2$$

$$\tau = 0.45 \quad a = 0.42 \quad h_c = 0.65 \quad A = A_s = 4.14 \text{ m}^2$$

بنطاق المعادلة (5.12)

$$\begin{aligned} q_{g(\text{so})} &= \tau \cdot A_s \cdot I_D + h_c \cdot a \cdot A_s \cdot I_D + \tau \cdot A \cdot (I_d + I_E) + h_c \cdot a \cdot (I_d + I_E) \cdot A \\ &= 0.45 \times 4.14 \times 443 + 0.65 \times 0.42 \times 4.14 \times 443 + 0.45 \times 4.14 (95+63) \\ &\quad + 0.65 \times 0.42 (95+63) \times 4.14 = 1799 \text{ W} \end{aligned}$$

في المثال السابق نجد أن التأثير الأعظم يعود إلى الأشعاع الشمسي المباشر I_D . هذا التأثير يمكن إضعافه باستخدام زجاج مزدوج وبذلك تقل كمية الحرارة المكتسبة. هذا التأثير يمكن تقديره بمعامل

اكتساب الأشعة الشمسية S و هو مدرج في Table 5.14

وعلى ذلك فإن الحرارة المكتسبة بتأثير الشمس خلال الزجاج والمقدمة بالمعادلة (5.12) يمكن تعديليها إلى

$$q_{g(\text{so})} = SA_s \cdot I_D + SA \cdot (I_d + I_E) \quad (5.13)$$

Table 5.14 Solar Factor S for various Type of Glassing and shading.

Position of shading and type of sun protection		Solar gain factors* (S) for the following window types	
Shading	Type of sun protection	Single	Double
None	none	0.76	0.64
	lightly heat-absorbing glass	0.51	0.38
	densely heat-absorbing glass	0.39	0.25
	lacquer-coated glass, grey heat-reflecting glass, gold (sealed unit when double)	0.56	—
Internal	dark green open weave plastic blind	0.62	0.56
	white venetian blind	0.46	0.46
	white cotton curtain	0.41	0.40
	cream holland linen blind	0.30	0.33
Mid-pane	white venetian blind	—	0.28
External	dark green open weave plastic blind	0.22	0.17
	canvas roller blind	0.14	0.11
	white louvred sunbreaker, blades at 45°	0.14	0.11
	dark green miniature louvred blind	0.13	0.10

Table 5.15 Shading Coefficient

Type of glass	Thickness, mm	No indoor shading	Shading Coefficient			
			Venetian blinds		Roller shades	
			Medium	Light	Dark	Light
Single glass						
Regular sheet	3	1.00	0.64	0.55	0.59	0.25
Plate	6-12	0.95	0.64	0.55	0.59	0.25
Heat-absorbing	6	0.70	0.57	0.53	0.40	0.30
	10	0.50	0.54	0.52	0.40	0.28
Double glass						
Regular sheet	3	0.90	0.57	0.51	0.60	0.25
Plate	6	0.83	0.57	0.51	0.60	0.25
Reflective	6	0.2-0.4	0.2-0.33			

Example 5.6

Calculate the solar heat gain through a window 1.8m x 1.2m single glazed with heat reflecting glass, if the direct solar irradiance normal to the window is 440 W/m² and the diffuse and earth reflecting are 150 and 70 W/m², respectively.

$$A = A_s = 1.8 \times 1.2 = 2.16 \text{ m}^2$$

من Table 5.14 نجد أن $S = 0.26$

وبتطبيق المعادلة (5.13)

$$q_{g(s0)} = SA I_D + SA (I_d + I_E)$$

$$= SA (I_D + I_d + I_E)$$

$$= 0.26 \times 2.16 [440 + 150 + 70] = 371 \text{ W}$$

ومن ذلك يتضح تأثير الزجاج العاكس على تقليل الحرارة المكتسبة من الشمس

5.4.5.2 Shading coefficient

5.4.5.2 معامل التظليل

إذا كان S يستخدم لتصحيح الحرارة المكتسبة بواسطة الزجاج في حالة استخدام زجاج مزدوج فإن معامل التظليل (SC) يستخدم لتصحيح هذه القيم للأنواع الأخرى من الزجاج وكذلك في حالة استخدام ستائر داخلية. قيم SC يمكن الحصول عليها من Table 5.15 وبنها تكون الحرارة المكتسبة في الشمس خلال الزجاج هي :

$$q_{g(s0)} = I_t \cdot A \times SC \quad \text{W} \quad (5.14)$$

5.4.5.3 حرارة الشمس المكتسبة خلال الحوائط والأسقف

5.3.5.4 Solar heat gain through walls and roofs.

الحوائط والأسقف عادة غير شفافة وعلى ذلك فإن حرارة أشعة الشمس ستتدفق إلى الداخل بالإضافة إلى الحرارة المنتقلة نتيجة فرق درجة الحرارة (الوسط الخارجي وداخل المكان). يمكن تقدير محسنة هذا العاملين بـ :

أشعة الشمس الكلية I_1 تسقط على الجدار (Fig 5. 14) الواقع تحت تأثير درجة حرارة الوسط الخارجي t_2 وكذلك أشعة الشمس I_0 . إذا تصورنا درجة الحرارة التي تجمع هذان التأثيران هي t_{eo} حيث درجة حرارة السطح الخارجي هي t_{so} درجة حرارة الطبقة الجدارية للهواء هي t_1 وأن مقاومة الحرارية لتلك الطبقة هي R_{so} فإن كمية الحرارة المنقولة خلال تلك الطبقة هي $q_{W(so)} = R_{so}(t_2 - t_{so})$. إذا اضفنا كمية الحرارة النافذة خلال الجدار وهي $(\epsilon I_L - a I_1)$ حيث a معامل الامتصاص ، ϵ معامل الأشعاع ، I_L الأشعة المرتدة من السطح الخارجي فإن الحرارة الكلية يمكن التعبير عنها بالمعادلة .

$$q_{W(so)} = \frac{t_2 - t_{so}}{R_{so}} + (aI_1 - \epsilon I_L) \quad W \quad (5.15)$$

يمكن التعبير عنها أيضاً بالمعادلة

$$q_{W(so)} = \frac{t_{eo} - t_{so}}{R_{so}} \quad W \quad (5.16)$$

مساواة المعادلين (5.15) ، (5.16) نجد أن

$$t_{eo} = t_2 + R_{so}(\alpha I_1 - \epsilon I_L) \quad (5.17)$$

حيث t_{eo} هي عبارة عن درجة حرارة تخيلية تسمى درجة حرارة (الشمس - الهواء)

Solar-air temperature

[شدة الأشعة المرتدة وتقدر بـ W/m^2 100 للأسطح الأفقيّة وتقلّصي للأسطح الرأسية = صفر

ممكن اعتبار أن $\epsilon = a$ ويمكن الحصول عليها من Table 5.16

مقاييس الطبقة الجدارية يمكن الحصول عليها طبقاً لطبيعة السطح من Table 5.17. يمكن

الحصول على الحرارة الكلية المكتسبة خلال الحائط بتأثير فرق درجة الحرارة ($t_2 - t_1$)

إضافة إلى حرارة الشمس بالمعادلة

$$q_{(so+tr)} = UA(t_{eo} - t_1) \quad (5.18)$$

هي نفسها

$$q_{(so+tr)} = UA(t_{eo} - t_2) + UA(t_2 - t_1) \quad (5.19)$$

$t_{eo} = t_{so} - (t_{so} - t_{eo})$ فرق درجة الحرارة الناتج عن تأثير الشمس. إذا تعذر حسابها يمكن حسابها

بـ

$$\Delta t_{sol} = 0.75 \frac{I_{sol}}{23.3}, ^\circ C \quad (5.20)$$

*Table 5.16 Absorption coefficient (*a*) for solid Building Surfaces.*

Material	Absorption coefficient <i>a</i>
BRICKS:	
white glazed	0.25
fletton light	0.4
fletton dark	0.65
stafford blue	0.9
white sand-lime	0.4–0.5
red sand-lime	0.55–0.7
STONE:	
limestone	0.3–0.5
white marble	0.45
red granite	0.55
ROOFS:	
concrete tiles	0.65
asphalt	0.9
grey slates	0.8–0.9
red tiles	0.4–0.8
asbestos sheets, natural colour	0.6
galvanised iron	0.65
lead sheeting	0.8
mortar screed	0.8
aluminium	0.2
copper (tarnished)	0.65
whitewashed roof or white tile	0.3–0.5
WATER:	
1 m thick	0.56
2 m thick	0.61
3 m thick	0.64

Table 5.17 Values of the Outside surface Resistance /R_{so}/

Building element	Emissivity of surface	Surface resistance for stated exposure (m ² K/W)		
		Sheltered	Normal	Severe
Wall	High	0.08	0.06	0.03
	Low	0.11	0.07	0.03
Roof	High	0.07	0.04	0.02
	Low	0.09	0.05	0.02

Example 5.7

Brick wall of surface area 57.2 m^2 has a U – value of $3 \text{ W/m}^2\text{C}^\circ$. It receives a total solar irradiance of 583 W/m^2 normal to the surface, if the inside space temperature is 21C° and the outside ambient is 33C° , determine the solar and transmission heat gain through the wall.

بتطبيق المعادلة (5.17)

$$t_{eo} = t_2 + R_{so} (al_t - \varepsilon I_L)$$

الحاطن الرأسي $R_{so} = 0.06 \text{ m}^2 \text{ K/W}$ من Table 5.17 مقاومة الطبقة الجدارية $I_L = 0$

من Table 5.16 كثافة متوسطة بين 0.7 و 0.55 $a = 0.63$

وحيث أن $t_1 = 21\text{C}^\circ$ ، $t_2 = 33\text{C}^\circ$ ، $I_t = 583 \text{ W/m}^2$

$$t_{eo} = 33 + 0.06 (0.63 \times 583) = 55\text{C}^\circ$$

كمية الحرارة الكلية بالمعادلة (5.18)

$$q_{(so+tr)} = U \cdot A (t_{eo} - t_1) \\ = 3 \times 57.2 (55 - 21) = 5834.4 \text{ W}$$

باستخدام المعادلة (5.19)

$$q_{(so+tr)} = U A \Delta t_{so} + U A (t_2 - t_1) \\ = 3 \times 57.2 \times 11.82 + 3 \times 57.2 (33 - 21) = 5804 \text{ W}$$

$$\Delta t_{so} = 0.75 \frac{I_t \times a}{23.3} \quad \text{حيث}$$

$$= 0.75 \left(\frac{583 \times 0.63}{23.3} \right) = 11.82 \text{ C}^\circ$$

ومن ذلك نجد أن الفرق بين الطريقتين صغيراً لا يتعدي 0.5%

Example 5.8

Determine the transmission and solar heat gain through a flat $5\text{m} \times 20\text{m}$ asbestos sheet roof of a building when the outside and inside temperature are 35C° and 23C° , respectively. The U- value of the structure is $2\text{W/m}^2\text{C}^\circ$ and the incident total solar radiation normal to the roof is 627 W/m^2 .

$$\epsilon = a = 0.6$$

من Table 5. 16

$$R_{so} = 0.04 \text{ m}^2 \text{ K/W}$$

من Table 5. 17

$$A = 5 \times 20 = 100 \text{ m}^2$$

$$I_L = 100 \text{ W/m}^2$$

للسقف

بتطبيق المعادلة

$$t_{eo} = t_2 + R_{so} (aI_L - \epsilon I_L)$$

$$= 35 + 0.04 (0.6 \times 627 - 0.6 \times 100) = 47.65 \text{ C}^\circ$$

بتطبيق المعادلة 5.18

$$q_{(so+in)} = U A (t_{eo} - t_1)$$

$$= 2 \times 100 (47.65 - 23) = 4930 \text{ W}$$

Example 5.9

Calculate the transmission and the solar heat gain in a room on an intermediate floor of a building , located in Cairo. The room being 10m x5mx3m high, on the corner of the building with the longer of the two walls facing 20° East of South and the other wall facing 70° West of South.

A 6m × 2.5m high double window blinds is located in the longer wall.

Data thermal resistance of wall = 0.53m²K/W. U – value of window = 3.3 W/ m². C°. Inside and outside surfaces convective heat transfer coefficients are 8 & 11W/ m²K, respectively. Outside air temperature $t_2 = 27\text{C}^\circ$. Room temperature $t_1 = 20\text{C}^\circ$. Solar azimuth = 135° West North. Absorption coefficient of wall $a = 0.8$. Solar gain factor for double- glazed window with internal venation blinds = 0.46.

بالرجوع إلى Fig 5. 15 نعن الزاوية السمتية

$$\gamma = 360^\circ - 135^\circ = 225^\circ$$

زاوية الحانط السمتية للجانب A وذلك بدوران الزاوية عكس عقارب الساعة إلى المحور الشمالي

$$\delta_A = 180^\circ - 20^\circ = 160^\circ$$

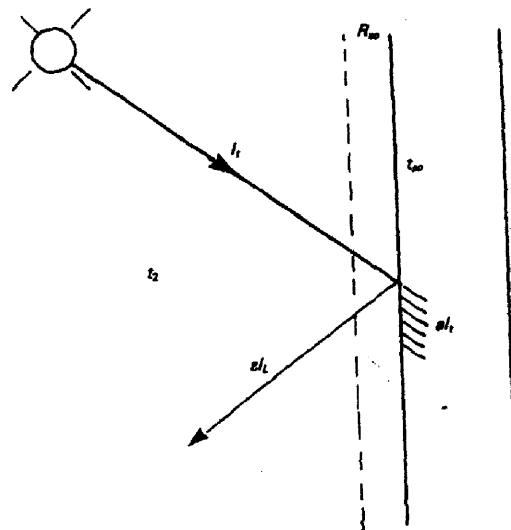


Figure 5.14 Representation of the sol-air components

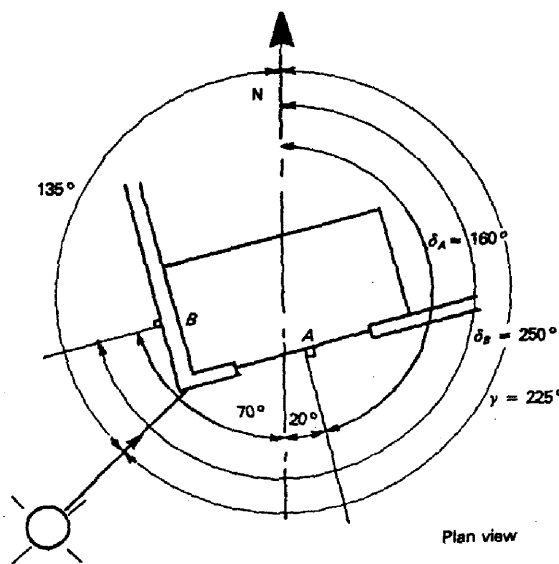


Figure 5.15 Plan view of solar angles in Example 5.

زاوية الحائط السمية الجانب B

$$\delta_B = 180^\circ + 70^\circ = 250^\circ$$

زاوية الحائط الشمسية solar - wall angle

وهي الفرق المطلق بين الزاوية السمية γ وزاوية الحائط السمية δ

$$\alpha_A = |\gamma - \delta_A| = |225 - 60^\circ| = 65^\circ \quad \text{للحائط A}$$

$$\alpha_B = |\gamma - \delta_B| = |225 - 250| = 25^\circ \quad \text{للحائط B}$$

بمعلومية زاوية ارتفاع الشمس $\beta = 70^\circ$

من 11 الأشعاع الشمسي المستنـد الأفقي Table 5. I_{dH} = 335 W/m²

من 12 الأشعاع المباشر الأفقي Table 5. I_{DH} = 855 W/m²

حيث أن مدينة القاهرة ترتفع عن سطح البحر بـ ka = 100 m فـan 1

حيث أن مناخ مدينة القاهرة متوسط الحرارة

$$k_D = 0.5, k_d = 1, k_r = 0.2$$

شدة أشعة الشمس الأفقيّة

$$I_{dH} = k_s (k_D I_{DH} + k_d I_{dH})$$

$$= 1 (0.5 \times 855 + 1 \times 335) = 762.5 \text{ W/m}^2$$

وبمعلومية $\beta = 70^\circ$ ، $\alpha = 65^\circ$ من Table 5.13 نحصل على

$$I_{DV} = 130 \text{ W/m}^2, \quad \& \quad I_{dv} = \frac{1}{2} I_{dH} = 167.5 \text{ W/m}^2 \quad \text{للحائط A}$$

للحائط B بنفس الطريقة عند $\beta = 70^\circ$ ، $\alpha = 250^\circ$

$$I_{Dv} = \frac{295 + 270}{2} = 282.5 \text{ W/m}^2, \quad \& \quad I_{dv} = \frac{1}{2} I_{dH} = 167.5 \text{ W/m}^2$$

شدة الأشعة الرأسية للحائط A

$$I_{nv} = k_a (k_D I_{DV} + k_d I_{dv} + 0.5 k_r I_r)$$

$$= 1 (0.5 \times 130 + 1 \times 167.5 + 0.5 \times 0.2 \times 762.5) = 308 \text{ W/m}^2$$

شدة أشعة الشمسية الرأسية للحائط B

$$I_{nvB} = 1.0 (0.5 \times 282.5 + 1 \times 167.5 + 0.5 \times 0.2 \times 762.5) = 385 \text{ W/m}^2$$

للحاطن A مساحة الشباك

$$A_{win} = 6 \times 2.5 = 15 m^2$$

$$A_w = 10 \times 3 - 15 = 15 m^2$$

$$q_{(so+tr)} = SA I_{Dv} + SA (I_{dv} + I_B) + UA (t_2 - t_1)$$

$$= SA I_{Dv} + UA (t_2 - t_1)$$

$$= 0.46 \times 15 \times 308 + 3.3 \times 15 (27 - 20) = 2471.7 W$$

لحساب الحرارة بتأثير الشمس وبتأثير فرق درجة الحرارة ($t_2 - t_1$)

$$U = \frac{1}{\Sigma R} = 1 / \left(\frac{1}{8} + 0.53 + \frac{1}{11} \right) = 1.34 \quad W/m^2 C \quad A \text{ للحاطن}$$

درجة الحرارة هي من المعادلة

$$t_{so} = t_2 + R_{so} \cdot a \times I_{Dv} = 27 + \frac{1}{11} \times 0.8 \times 308 = 49.4 C^\circ$$

$$\begin{aligned} q_{(so+tr)} &= U \cdot A (t_{so} - t_1) \\ &= 1.34 \times 15 (49.4 - 20) = 590.94 W \end{aligned}$$

$$A_{wall} = 5 \times 3 = 15 m^2 \quad B \text{ للحاطن}$$

$$t_{so} = 27 + \frac{1}{11} \times 0.8 \times 385 = 55 C^\circ$$

$$q_{(so+tr)} = 1.34 \times 15 \times (55 - 20) = 703.5 W$$

الحرارة الكلية المكتسبة بتأثير فرق درجات الحرارة والأشعة الشمسى. هي الحرارة خلال الزجاج والحرارة خلال الحاطن A والحاطن B

$$q_t = 2471.7 + 570.94 + 703.5 = 3746 \quad W$$

5.5 حرارة التسرب والتتهوية

التسرب Infiltration يعرف التسرب بأنه الدخول الحر الغير متحكم فيه للهواء الخارجى مناشرة إلى المكان وذلك بتأثير الرياح أو تيارات الحمل كنتيجة لاختلاف درجة حرارة الهواء الخارجى والداخلى. هذا الدخول يتم خلال الفتحات والشقوق نتيجة وجود الأبواب والشبابيك.

الستهوية Ventilation تعرف التهوية أنها بالدخول المقصود للهواء الخارجي للمكان غالباً بوسائل ميكانيكية.

في المباني التجارية والمؤسسات وأماكن الإقامة من المناسب التحكم في دخول الهواء الخارجي وذلك بغرض تحقيق التهوية المناسبة والاقتصاد في استخدام الطاقة .

حيث أن التسرب Infiltration يتغير للتحكم فيه فإنه يمكن تقليله وذلك باستخدام الدهاليز في مداخل المباني Revolving doors أو أبواب دوارة Vestibules وكذلك باحكام التوافر والأبواب أو باستخدام ستائر عازلة.

بصرف النظر عن طريقة دخول الهواء الخارجي إلى المكان المكيف فإنه يعمل على تغيير درجة حرارة ورطوبة المكان مما يستدعي الأخذ في الاعتبار التغير في الحرارة المحسوسة أو الكامنة كما يلى :

حمل الحرارة المحسوسة للتهوية Ventilation Sensible Heat Load

$$q_{v(s)} = m_a \times C_p \Delta t_{o-i} \quad (5.21)$$

حمل الحرارة الكامنة للتهوية Ventilation Latent Heat Load

$$q_{v(l)} = m_a \times \Delta W_{o-i} h_{fg} \quad (5.22)$$

حيث m_a معدل تدفق كتلة الهواء

$$m_a = \rho Q \quad (5.23)$$

ρ كثافة الهواء kg/m^3

Q معدل التدفق الحجمي للهواء m^3/s

C_p السعة الحرارية للهواء kJ/kg-C

Δt فرق درجة الحرارة (الخارجي - الداخلي) $^{\circ}\text{C}$

ΔW فرق نسبة الرطوبة للهواء (الخارجي - الداخلي)

h_{fg} الحرارة الكامنة النوعية للهواء

ونظراً لصعوبة تحديد كمية الهواء اللازمة فإنه تستخدم طرق معدلات التهوية لتحديد معدل التدفق

الحجمي للهواء Q , m^3/s وبالتالي كتلة الهواء m_a , kg/s كالتالي :

5.5.1 طريقة تغيير الهواء

هذه الطريقة تعتمد على الخبرات المتراكمة التي تضع معياراً لعدد مرات تغيير هواء المكان طبقاً لنوعية المكان والنشاط الذي يمارس فيه .

$$Q = \frac{V \times N}{3600} , \text{ m}^3/\text{s} \quad (5.23)$$

حيث V حجم المكان m^3

N عدد مرات تغيير هواء المكان يمكن الحصول على هذا المعدل من (Table 5.18)

5.5.2 Crack method.

5.5.2 طريقة الشقوق

الشقوق عادة حول إطار (محيط) الشبائك القابلة الفتح خلال هذه الشقوق ينفذ الهواء الخارجي إلى الداخل - هذا يتطلب معرفة تصميم الشبائك الخاصة بالمبني - ولهذا تستخدم هذه الطريقة عندما يكون مخطط تركيب الشبائك معروفاً وفي العادة هذه الطريقة تهمل الأبواب وبعض الفتحات الإنشائية.

تقدر معدل تسرب الهواء $Q \text{ m}^3/\text{s}$

$$Q = \sum_{i=1}^n P_{wi} \times \zeta_{wi} \times 10^{-3} , \text{ m}^3/\text{s} \quad (5.25)$$

حيث P_{wi} عبارة عن محيط الشباك ، m

ζ_{wi} معدل التسرب خلال المتر الطولي من الشقوق مقرر بـ L/s ويتوقف على تصميم الشباك على سرعة الهواء المحيط بالشباك ويمكن الحصول عليه من (Table 5.19)

5.5.3 Occupancy ventilation rate

5.5.. معدل التهوية لشاغلى المكان

معدل التهوية لشاغلى المكان يتوقف على استخدام المكان وكذلك على مستوى التدخين في المكان
تعيين بالمعادلة

$$Q = n \times \left(\frac{L}{s, per} \right) \times 10^{-3} , \frac{\text{m}^3}{\text{s}} \quad (5.26)$$

Table 5.18 Air- Change rate N/h for Infiltration Air

Type of building	Air infiltration rate (per hour)	Type of building	Air infiltration rate (per hour)
Assembly halls, lecture halls	½	Hotels:	
		bedrooms (standard)	1
Banking halls:		bedrooms (luxury)	1
large (height > 4 m)	1	public rooms	1
small (height < 4 m)	1½	corridors	1½
Bars, canteens and dining rooms	1	Law courts	1
Churches and chapels:		Libraries:	
up to 7000 m ³	½	reading room (height < 4 m)	½
> 7000 m ³	½	stack rooms	½
vestries	1	store rooms	½
Dining and banqueting halls	½	Offices:	
Flats, residences and hostels:		general	1
living rooms	1	private	1
bedrooms	½	Restaurants and tea shops	1
bed-sitting rooms	1	Schools and colleges:	
bathrooms	2	classrooms	2
lavatories and cloakrooms	1½	lecture rooms	1
entrance halls and foyers	1½	studios	1
public rooms	1		
Hospitals:		Shops and showrooms:	
operating theatre suite	½	small	1
		large	½
		department store	½
		Swimming baths:	
		changing rooms	½
		bath hall	½

Table 5.19 Infiltration Rates (Crack Method)

Type of window	Remarks	Wind velocity m/s					
		2.5	5.0	7.5	10	12.5	15
Double hung wood sash windows, unlocked.	around frame in masonry wall, not caulked	9.8	24.6	41.4	55.9	82.1	107.8
	around frame in masonry wall, caulked	2.9	5.7	7.8	10.4	13.3	15.6
	around frame in wood frame construction	6.5	18.7	33.9	51.3	70.0	93.3
	total for average window, non-weatherstripped, 1.5 mm crack and 1.5 mm clearance; includes wood frame lockage	18.8	64.7	119.0	181.2	244.5	311.0
	ditto, weatherstripped	13.5	38.3	72.0	108.7	148.2	191.6
	total for poorly fitted window, non-weatherstripped, 2.5 mm crack and 2.5 mm clearance; includes wood frame lockage	80.3	207.2	326.5	453.0	586.0	723.0
	ditto, weatherstripped	18.9	56.9	103.8	154.2	215.4	276.0
	non-weatherstripped, locked	58.2	116.4	181.2	248.5	323.6	398.6
	non-weatherstripped, unlocked	58.3	134.5	216.0	309.5	406.5	507.5
	weatherstripped, unlocked	19.4	56.7	94.0	136.0	180.8	222.6
Rolled section steel sash windows	industrially pivoted 1.5 mm crack	46.4	326.5	523.0	710.0	896.0	1083.0
	architectural projected 1.0 mm crack	43.1	100.4	181.8	236.5	308.5	378.5
	architectural projected 1.5 mm crack	63.4	156.6	242.0	339.0	439.0	530.0
	residential casement, 0.5 mm crack	19.2	56.9	97.4	136.0	176.0	218.4
	residential casement, 1.0 mm crack	42.8	94.8	158.2	225.8	302.2	383.0
	heavy casement section, projected 0.5 mm crack	9.8	30.3	52.9	81.9	111.9	144.9
	heavy casement section, projected 1.0 mm crack	23.8	68.3	113.2	163.2	218.0	271.8
Hollow metal	vertically pivoted window	93.2	246.6	406.0	577.0	738.0	902.0

حيث n عدد الأشخاص المتواجدين في المكان (L/s. per) معدل التهوية للشخص الواحد في الثانية مقدرة بالفترات . ويمكن الحصول عليه في Table 5.20

5.5.4 Space area ventilation rate

في بعض الأحيان قد يلجأ المهندسون لحساب معدل الهواء الخارجي تأسيا على مساحة أرضية الغرفة أو المكان ويعبر عنها بالمعادلة :

$$Q_v = A_f \times \left(\frac{L}{s \cdot m^2} \right), \quad m^3/s \quad (5.27)$$

حيث A_f مساحة أرضية المكان بالمتر المربع

Table 5.20 (L / s, m²) معدل التهوية للمتر المربع الواحد في الثانية ويمكن الحصول عليه في مما سبق يتضح أنه توافرت البيانات الازمة يحسب معدل التهوية بالطرق الأربع الساقطة شرحها ويؤخذ في الاعتبار أكبر قيمة .

Example 5.10

A lecture theater of 18.73m × 8.5m × 3.4m height is to be maintained at 25°C_{db} and 18°C_{wb}. the outdoor conditions are 35°C_{db} & 40% RH. The theater has 3 aluminum – glass windows of 4.95m × 1.25m dimension each. The theater services 112 person. Calculate.

I. The maximum outdoor air requirement using the following methods:

- air change method
- space area method
- crack method.
- occupancy ventilation rate method.

II. Ventilation heat gain

أولاً : طريقة تغيير هواء المكان

$$Q = \frac{W \times b \times h \times N}{3600} \quad m^3/s$$

$$= \frac{18.73 \times 8.52 \times 3.4 \times 0.5}{3600} = 0.075 m^3/s$$

من 17 Table عدد مرات تغير الهواء في الساعة: $N=0.5$

ثانياً: طريقة مساحة المكان

من 20 Table 5. معدل تهوية المكان للمتر المربع في الثانية : 5

$$Q_s = A_f \times L / (s.m^2)$$

$$= (18.73 \times 8.52) \times 5.10^{-3} = 0.79 m^3/s$$

ثالثاً: طريقة معدل التهوية لشاغلى المكان

$$Q = n \times \frac{L}{(s.per)}$$

من 112 & L/s. Per = 3.5 Table 5.20 معدل التهوية للشخص الواحد في الثانية :

$$Q_s = 112 \times 0.0035 = 0.392 m^3/s$$

رابعاً طريقة الشفوق :

$$Q_a = \sum P_{wi} \times \zeta_{wi}$$

من 5.19 Table 5. معدل التسرب للمتر الطولى في الثانية:

$$\sum P_w = 3 [2(4.95 + 1.25)] = 37.2 m$$

$$Q_s = 37.2 \times 0.0098 = 0.364 m^3/s$$

نختار أكبر قيمة هي : $Q_s = 0.79 m^3/s$

حرارة التهوية المحسوسة $q_{Vf(s)}$

$$q_{ws} = Q \cdot \rho \cdot Cp (t_o - t_i)$$

$$= 0.79 \times 1.2 \times 1.005 \cdot 10^3 (35 - 25) = 9527 W$$

حرارة التهوية الكامنة $q_{Vf(l)}$

$$q_{Vf(l)} = Q \cdot \rho (W_o - W_i) \times h_{fg}$$

$$= 0.79 \times 1.2 (0.0142 - 0.010) \times 2450 \cdot 10^3 = 9763 W$$

حيث من خريطة السيكر ومتري

$$W_i = 0.01 kg wv / kg d.a, \quad \& \quad W_o = 0.0142 kg wv / kg d.a$$

Table 5.20 Ventilation Rates for Occupancy and Space Area

Application	Smoking	L/(s. person)		Space area L(s.m ²)
		Recommended	Minimum	
Apartment				
Average	Some	9.4	4.7	2
Deluxe	Some	9.4	4.7	2
Banking space	Occasional	4.7	3.5	1.0
Barber shops	Considerable	7.0	4.7	1.35
Beauty parlors	Occasional	4.7	3.5	
Brokers board rooms	Very heavy	23.5	9.7	5.2
Cocktail bars	Very heavy	19	12	4.0
Corridors				1.3
Department stores	None.	3.5	2.4	0.26
Director room	Extreme.	24	14	4
Drug stores	Considerable	4.7	3.5	1.0
Hotel rooms	Heavy	14	12	1.72
Kitchens				10
Restaurant		10	7.5	21
Residence		9	7	10.4
Laboratories	Some	9.4	7	2
Meeting room	Very heavy	24	14	6.5
Offices				
General	Some	7	4.7	1.35
Private	None	12	7	1.35
Private	Considerable	14	12	1.35
Cafeteria	Considerable	5.6	4.7	1.0
Dinning room	Considerable	7	5.6	1.35
School room	None	4.7	3.5	3
Shop, retail	None	3.5	2.4	3
Theater	Some	7	4.7	5
Toilets (exhaust)				10.4

5.6 Occupancy Heat Gain

5.6 حرارة شاغلى المكان

تحق راحة الإنسان فى المكان عندما تتعادل الحرارة المتبعة فى جسم الإنسان مع الحرارة المتبعة منه للمكان . الحرارة تتبع من جسم الإنسان نتيجة فرق درجة حرارة الجسم (37°C) وحرارة المكان (لا تزيد عن 27°C) وتراكم فى المكان وتعمل على رفع درجة حرارته . هذه الحرارة تعتبر حرارة محسوسة . شاغلو المكان أيضا يفرون العرق الذى يت弟兄 من جسم الإنسان فيزيد بذلك مكون الضرطوبة الذى يجعل تكيفها للتخلص منها أمرا حتميا . الحرارة المصاحبة لذلك هى حرارة كامنة . كمية الحرارة المتبعة من جسم الإنسان تعتمد بالدرجة الأولى على النشاط الذى يقوم به شاغلو المكان . أما مقدار كل منها فيعتمد كذلك على درجة حرارة المكان وفترة تواجدهم . حيث أنه بارتفاع درجة حرارة المكان يزداد مقدار مكون الحرارة الكامنة ويمكن الرجوع إلى Table 5.21 هذا المكون يحسب لحمل التبرير فقط .

Table 5.21 Heat Emission for human body, (W/per)

Application		Total	Sensible(s) and latent (l) heat emissions, W, at the stated dry-bulb temperatures, $^{\circ}\text{C}$										
Degree of activity	Typical		15	20	22	24	26	(s)	(l)	(s)	(l)	(s)	
			(s)	(l)	(s)	(l)	(s)	(l)	(s)	(l)	(s)	(l)	
Seated at rest	theatre, hotel lounge	115	100	15	90	25	80	35	75	40	65	50	
Light work	office, restaurant*	140	110	30	100	40	90	50	80	60	70	70	
Walking slowly	store, bank	160	120	40	110	50	100	60	85	75	75	85	
Light bench work	factory	235	150	85	130	105	115	120	100	135	80	155	
Medium work	factory, dance hall	265	160	105	140	125	125	140	105	160	90	175	
Heavy work	factory	440	220	220	190	250	165	275	135	305	105	335	

ونقدر الحرارة المحسوسة $Q_{p(s)}$ والكامنة لشاغلى المكان (n) من الأشخاص بالمعدلات .

$$q_{p(s)} = n \times (W/\text{per}), \quad W \quad (5.28)$$

$$q_{p(l)} = n \times (W/\text{per}), \quad W \quad (5.29)$$

حيث $q_{p(s)}$ ، $q_{p(l)}$ (W/per)، معدل الحرارة المحسوسة والكامنة المتبعة من الشخص الواحد

ونقدر من Table 5.21

Example 5.11

An office has four typists and an overseer, together with two messenger.

Estimate the occupancy heat gain if the space temperature is 24°C.

أولاً : يجب تحديد نوع النشاط فنجد أن Typist يقوم بعمل خفيف والحرارة المتبعة منه عند

$$(W/\text{per})_s = 80 \text{ W} \quad (W/\text{per})_l = 60 \text{ W} \quad t = 24^\circ\text{C}$$

ثانياً : المراقب يمشي ببطء من (5.21)

$$(W/\text{per})_s = 85 \text{ W} \quad (W/\text{per})_l = 75 \text{ W}$$

ثالثاً : السعادة يقومون بعمل خفيف

$$(W/\text{per})_s = 100 \text{ W}, \quad (W/\text{per})_l = 135 \text{ W}$$

حرارة الأشغال الكلية q_p

$$q_{p(s)} = 4 \times 80 + 1 \times 85 + 2 \times 100 = 605 \text{ W}$$

$$q_{p(l)} = 4 \times 60 + 1 \times 75 + 2 \times 135 = 585 \text{ W}$$

5.7 Lighting Heat Gain 5.7 الحرارة المكتسبة من الإضاءة

الحرارة المكتسبة من الإضاءة الصناعية يمكن تعبيتها للحالات الآتية:

أولاً : نظام قائم (*An existed system*) يمكن تعبيتها حرارة الإضاءة q_L التي يكتسبها

المكان (صيفاً) بحصر قدرات المصايبع المركبة فعلاً من المعادلة

$$q_{L(s)} = \sum_{i=1}^n I_{un} + 1.25 \sum_{j=1}^r I_f \quad (5.30)$$

حيث I_{un} قوة المصايبع ذو الفلوريل tungsten أو الزئبقي mercury .W

I_f قدرة لمبات الفلورسنت أما المعامل 1.25 يعبر عن تأثير مقاومة كابح التيار .

ثانياً : نظام إضاءة جديدة *New lighting system* في هذه الحالة يمكن تقدير

حرارة الإضاءة تقريرياً في المعادلة .

$$q_{Li(s)} = A_f \times L_i \quad W \quad (5.31)$$

حيث A_f مساحة أرضية المكان بالمتر المربع

L_i كثافة الإضاءة للمكان للمتر المربع وهذه المعدلات يمكن الحصول عليها من

Table 5.22. حرارة الإضاءة كلها محسوسة وتحسب لحمل التبريد فقط .

Table 5.22 Typical Lighting Power Density. (W/m²)

Building type	L_i , W/m ²
Office	19-25
Store spaces	28-33
Shopping small malls	11-17
Fast food restaurant	14-22
Warehouse storage	11-17
Library	24-29
Public assembly	17-22
Hospital	26-29

5.8 حرارة المعدات والموتورات

5.8 Motors and Equipment Heat Gain

المراوح وكثير من الآلات والماكينات تدار بواسطة المоторات من خلال صندوق تروس أو سير ناقل أو من خلال دبللة Coupling انخفاض كفاءة هذه المоторات ناتج عن فقدان الطاقة الكهربائية خلال الدوران أو نتيجة فقد الميكانيكي بالاحتكاك. هذا فقد في الطاقة يكون حرارة يكتسبها المكان. يمكن تقدير الحرارة التي يكتسبها المكان في الحالات الآتية :

(I) إذا كانت المعدة المداربة والمotor داخل المكان

$$q_E = \Sigma P / \eta i \quad W \quad (5.30)$$

Table 5.23 Sensible and Latent Heat Emissions From Standard appliances

Appliances	Dimensions (mm × mm × mm)	Heat output (kW)	
		Sensible (s)	Latent (l)
COMPUTERS			
small display	1620 × 1850	0.5	
small printers	700 × 1200	0.7	
medium printers	700 × 1200	1.1	
store—medium disc	850 × 2200	5.8	
ELECTRICAL COOKING			
coffee brewers 2.5 litre		0.3	0.1
grill, meat	360 × 360	1.2	0.6
toaster, continuous	380 × 380	1.5	0.4
toaster, pop-up	150 × 280	0.7	0.2
MISCELLANEOUS			
hair dryer, blower		0.7	0.1
hair dryer, helmet		0.6	0.1
permanent wave machine		0.3	0.1
pressurised instrument washer/steriliser	270 × 270 × 541	3.5	7.0
steriliser, dressing	400 × 600	2.8	2.6
steriliser, water 45 litre		1.2	4.8
steriliser, instrument	250 × 300 × 900	3.0	2.7
GAS APPLIANCES			
grill-top burner	560 × 360 × 430	4.4	1.1
stove per m top surface		11.0	11.0
large Bunsen burner		1.0	0.3

Table 5.24 Average Efficiencies for Electric Motors

Motor output rating	Average values for motor efficiency (η_m)			
	d.c.	a.c.	Single phase	Two phase
h.p. kW			Three phase	
1 0.75	0.76	0.65	0.73	0.74
5 3.75	0.83	0.78	0.84	0.85
10 7.50	0.86	0.81	0.87	0.88
20 15	0.88	0.83	0.88	0.90
50 38	0.90	0.85	0.91	0.91
75 56	0.92	0.86	0.92	0.92

حيث P قدرة المعدة بالوات يمكن الحصول على بعض قيم المعدات الأكثر استعمالاً من

Table 5. 23

٧) كفاءة المотор ويمكن الحصول عليها من Table 24 طبقاً لنوع التيار الكهربائي (مباشر أو متعدد) وكذلك عدد الأوجه (Phase) وقدرة المotor.

(II) إذا كانت المотор خارج المكان والمعدة المدارة داخل المكان .

$$q_E = \Sigma P \quad (5.33)$$

(III) إذا كان المotor داخل المكان والمعدة المدارة خارج المكان

$$q_E = \left(\frac{1-\eta}{\eta} \right) P \quad (5.34)$$

الحرارة السابقة كلها حرارة محسوسة وتحسب في حالة التبريد فقط .

(IV) حرارة معدات الطهي (Cooking Equipment)

حرارة معدات التجميل وأفران الغاز Gas appliances بجانب الحرارة المحسوسة تشع أيضاً

حرارة كامنة كما هو واضح في Table 5.23 .

(V) مكاتب تحت الإنشاء يمكن حساب الحرارة المعدات تأسياً على مساحة أرضية المكان

كالتالي :

$$q_E = A_f \times W/m^2 \quad (5.35)$$

حيث W/m^2 هي معدل قدرة المعدات لكل متر مربع لمساحة الأرضية كما في Table 5. 25

Table 25 Equipment Heat Gain Rate, W/m^2

Type of work Environment	W/m^2
General office with only a few typewriters , computers	2.8-11
Offices where most workers have P/C Room dedicated to large main frame	11-33
Computers	166-555
Laboratories	55-220
Manufacturing Plant	55-500

5.9 حساب حمل التبريد والتدفئة 5.9 Heating and Cooling Loads

أولاً : حساب حمل التبريد *Cooling load calculation* عند حساب حمل التبريد يؤخذ

في الاعتبار مصادر الحرارة الآتية:

I- انتقال الحرارة خلال الجدران *Transmission through wall* المقصود بالجدران

الحوائط والأبواب والأرضية والأسقف والنواذق وهذا الحمل نتيجة فرق درجة الحرارة داخل

وخارج المكان. هذه الحرارة كلها محسوبة.

II- حمل المساك *Duct Heat Load* يتم حساب الحرارة المكتسبة خلال حركة الهواء بالمسالك بواقع 10% من إجمالي الحرارة المكتسبة خلال الجدران . وهي كلها حرارة محسوبة

III- حمل حرارة يتاثر الأشعاع الشمسي *Solar radiation load* وذلك بحساب الحمل الحراري الناتج في تأثير على أشعة الشمس ويتم ذلك بالأسلوب التالي:

1- يتم حساب كثافة (شدة) الأشعاع الشمسي سواء على الأسطح الأفقية أو الرأسية وذلك

بمعلومية زاوية الشمس الرئيسية للمكان والظروف المناخية وكذلك موقع المكان بالنسبة لمستوى البحر وكذلك للزجاج.

2- يتم حساب الحرارة المكتسبة من الأشعاع الشمسي على الجدران والأسقف المعرضة مباشرة للأشعاع الشمسي .

3- يحسب تأثير الشمس على الزجاج.

4- يؤخذ أكبر تأثير على حائط واحد (يشمل أيضاً الزجاج) والأسقف إذا كان معرضاً تعرضاً مباشرة للسقف هذه الحرارة كلها محسوبة .

IV- حساب حمل التهوية أو التسرب *Infiltration & Ventilation load* يتم حساب حمل

التهوية وذلك أولاً بتقدير أكبر كمية لازمة من الهواء الخارجي من خلال معدلات التهوية

المعروفة وهي : عدد مرات تغيير هواء المكان *Air change method* خلال الشقوق *crack*

معدل التهوية لمساحة الأرضية *Floor area rate* وكذلك معدلات التهوية لشاغلي المكان

Occupancy ventilation rate وأختيار أكبر كمية هواء محسوبة من الطرق السابقة يتبع

ذلك حساب الحرارة المحسوبة وكذلك الحرارة الكامنة .

٧- حرارة شاغلى المكان **Occupancy Heat Gain** تحسب كمية الحرارة المكتسبة من شاغلى المكان على أساس أكبر تواجد للناس ومستوى النشاط الإنساني في هذا المكان. هذه الحرارة محسوسة وكاملة.

٨- حرارة الإضاءة **Lighting Load** يتم حساب قدرة اللامبات الموجودة حسب نوعها إذا كان نظام الإضاءة قائمة وإن يكن كذلك يؤخذ في الاعتبار المعدلات الازمة للإضاءة طبقاً لاستخدام المكان. حرارة الإضاءة كلها محسوسة.

٩- حرارة المعدات **Equipment Load** إذا كانت الحرارة منبعثة من الموتورات أو المعدات فهي حرارة محسوسة أما إذا كانت الحرارة منبعثة من معدات طهى فهي حرارة محسوسة وحرارة كاملة.

وأخيراً يتم جمع كل من الحرارة المحسوسة والكافمة من المصادر المختلفة ثم يتم حساب معامل الحرارة المحسوسة SHF.

ثانياً : حساب حمل التدفئة يتكون حمل التدفئة من العناصر الآتية فقط

-I حرارة مفقودة من المكان خلال الحدran **Transmission heat loss** نتيجة فرق درجة الحرارة داخل وخارج المكان . ويؤخذ في الاعتبار الأنابيب والتواذف والأسقف والأرضيات هذه الحرارة كلها محسوسة .

-II فقد حراري نتيجة حركة الهواء خلال المسايak **Duct heat loss** هذه الحرارة تقدر بحوالى 10% من المكون السابق وهذا المكون حرارة محسوسة فقط.

-III حرارة التهوية والتسرب **Ventilation & Infiltration heat loss** مفقودة نتيجة التهوية والتسرب وتلك عبارة عن حرارة محسوسة وكاملة ويتم تقديرها كما سبق مبيناً في حمل التبريد.

يتم بعد ذلك حساب الحرارة المحسوسة الكلية والحرارة الكلية من المصادر المختلفة و يتم حساب معامل الحرارة المحسوسة SHF.

قد يتطلب الأمر حسابات سريعة أولية بغرض تحديد اقتضابيات مشروع التكييف هواء مبني . لتحقيق ذلك يمكن عمل الحسابات السريعة لأحمال التبريد التقريبية بالإستعانة بمعدلات التبريد

الواردة في Table 5.26 للمباني المختلفة طبقاً للأشرطة وعلى ضوئها يتم تحديد قدرة المعدات اللازمة لذلك.

Table 5.26 Building cooling load Rate

<i>Building application</i>	<i>W/m³</i>
<i>I Loop Buildings :</i>	
Outer zone with glass area of 25%	94
50 %	132
75	150
Internal zone	86
Conference hall	150-190
Computer hall	190-380
<i>II Hoteles</i>	
Single person room	1.7 kW/ per room
Double person room	2.6 kW/ per room
Public room	114-190
Restaurant	150 -265
Cafeteria	150-190
<i>III Malls</i>	132 -150
Underground and first floors	
Second and upper floors	94 – 132
<i>IV SHOPS</i>	150
<i>V Bank hall</i>	132-176
<i>VI Flat</i>	76-94
<i>VII Theater</i>	0.18 kW/ Per a seating person
<i>VIII One – stage Buildings</i>	
Motel	76-94
General purpose shop	94-132

Example 5.11

An educational theatre is located in a Faculty of Engineering at Alexandria. The dimensions of the theatre are shown in Fig 5.16. The southern side is facing to the outside of the building, while the northern side is facing to a corridor which temperature is 29°C . The space above-ceiling temperature is 29°C . The inside conditions are : 25°C db. And 18°C wb. The ambient conditions are: summer 35°C db and 24°C wb. and winter are 10°C db & 40% RH. The U- values for walls, ceiling, floor, glass and doors are 1.61, 1.74, 1.74 5.9 and $2.09\text{W/m}^2\text{K}$ respectively. The ceiling height is 3.4m. Calculate the cooling and heating load for the theatre. Necessary data will be given (or assumed) throughout the solution.

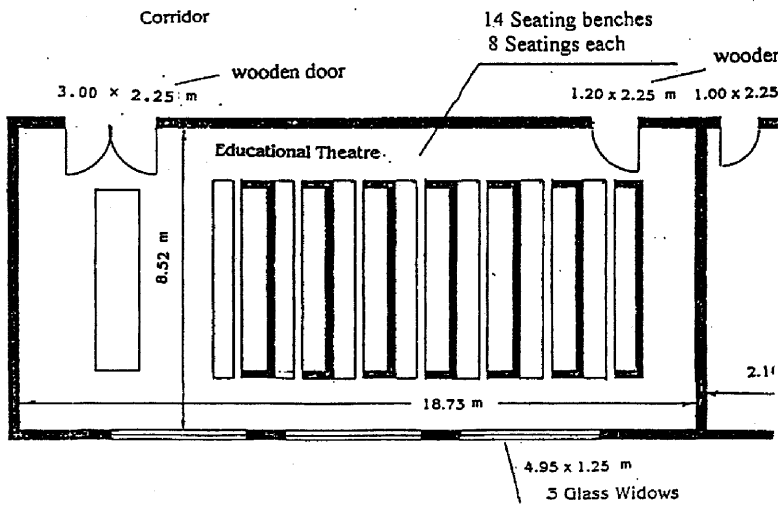


Figure 5.16 Plan of the theatre of example 5.11

أولاً حمل التبريد

I- الحرارة المتنقلة خلال الجدران **Transmission load** يمكن حسابها بالمعادلة

$$q_{tr} = A \times U \times (t_o - t_m)$$

قيم الحرارة المتنقلة خلال الجدران المحسوبة بالمعادلة السابقة مع إهمال حرارة الأرضية مبينة في Table 5.27 وهي كلها حرارة محسوبة.

Table 5.27 : Heat Gain by Transmission for Educational Theatre

Orientation	A	U	$t_o - t_i$	q_{tr}
	m^2	$W/m^2.C^\circ$	C°	W
N	$18.73 \times 3.4 - (3 \times 2.25 + 1.2 \times 2.25)$	52.43	1.61	29-25 338
E	8.52×3.4	28.97	1.61	29-25 187
S	$18.73 \times 3.4 - (4.95 \times 1.25)$	45.12	1.61	35-25 726
W	8.52×3.4	28.97	1.61	29-25 187
Ceiling	18.73×8.52	159.6	1.74	29-25 1111
Floor	18.73×8.52	159.6	1.74	0 0
Glass S	$3(4.95 \times 1.25)$	18.56	5.9	10 109.5
Floor	$3 \times 2.25 + 1.2 \times 2.25$	9.45	2.09	4 7.9
Total				$\Sigma 3802 W$

II- حرارة المسالك **Duct load** تقدر كمية هذه الحرارة بـ 10% من حرارة الجدران أي

أن $W = q_d = 380$ وهي كلها حرارة محسوبة

III- حرارة مكتسبة من الأشعاع الشمسي **Solar gain** وتحسب بالمعادلة

$$q_{so} = U_w \cdot A_w \cdot \Delta t_s + A_g \times q_q \times SC_q \quad (A)$$

الأشعاع الشمسي يكون على الجانب الجنوبي فقط. إذا فرضنا أن الأشعاع الكلي $I_{(w)}=385 W/m^2$

معامل الأمتصاص $a = 0.65$ بذلك يمكن حساب Δt_s كما يلى :

$$\Delta t_s = 0.75 \frac{I_a}{23.3} = 0.75 \times 385 \times 0.65 / 23.3 = 8.1 C^\circ$$

وبافتراض أن $I_{(g)} = 238 \text{ W/m}^2$, $SC = 0.65$

بالتعويض في A نجد أن

$$q_{so} = 1.61 \times 45.12 \times 8.1 + 18.56 \times 238 \times 0.65 = 3460 \text{ W}$$

وهي كلها حرارة محسوسة

IV- حرارة الأشغال Occupancy Load

$$q_{p(s)} = (W/\text{per})_s \times n = 70 \times 112 = 7840 \text{ W}$$

$$q_{p(l)} = (W/\text{per})_l \times n = 45 \times 112 = 5040 \text{ W}$$

حيث n عدد الأشخاص

من Table 5.23 للأشخاص جالسون براحة في مسرح عند درجة حرارة $t_{db} = 25 \text{ C}^\circ$

$$(W/\text{per})_s = 70, \quad (W/\text{per})_l = 45$$

V- حرارة الإضاءة المكتسبة Lighting heat gain

حيث أن المكان لم يجهز بعد يمكن

تقدير الحمل المكتسب من الإضاءة كما يلى :

$$q_L = A_f \times L_I = \\ = (18.73 \times 8.52) \times 22 = 3509 \text{ W}$$

حيث $L_I = 22 \text{ W/m}^2$ Table 5.22

وهي كلها حرارة محسوسة

VI- حرارة التهوية Ventilation Heat Gain

$$q_{v(t)} = m_a (h_o - h_i), \text{ W} \quad (\text{B})$$

حرارة التهوية الكلية

حرارة التهوية المحسوسة

$$q_{v(s)} = m_a \cdot C_p \cdot (t_o - t_{in}), \text{ W} \quad (\text{C})$$

$$q_{v(l)} = q_{v(t)} - q_{v(s)}, \text{ W} \quad (\text{D})$$

مقدار كمية الهواء Qm^3/s يتم حسابها بالطرق الآتية :

1- عدد مرات تغيير الهواء (N)

$$Q_a = \frac{\text{width} \times \text{length} \times \text{height} \times N}{3600}$$

ن = ½ Table 5.18 نجد أن

$$Q_a = \frac{18.73 \times 8.52 \times 3.4 \times 0.5}{3600} = 0.075 \text{ m}^3/\text{s}$$

$$m_a = \frac{Q_a}{v} = \frac{0.075}{0.8} = 0.0937 \text{ kg/s}$$

- طريقة معدل أرضية المكان *Space area rate method*

$$Q_a = A \times (L/\text{m}^2) \times 10^{-3} \quad \text{m}^3/\text{s}$$

من 20 Table لاماكن العامة

$$Q_a = 159.6 \times 1.35 \times 10^{-3} = 0.215 \text{ m}^3/\text{s}$$

$$m_a = 0.215 / 0.8 = 0.269 \text{ kg/s}$$

- طريقة الشقوق *Crack method*

$$Q_a = \sum Q_{wind} \times \zeta_{wind}$$

$$\zeta_{wind} = 6.5L/sm \quad \text{من 19 Table 5. نجد أن عند سرعة رياح 2.5m/s للشبكة المعدني}$$

وحيث أن طول الشقوق في التواذ الثلاثة 37.2 m

$$Q_a = 37.2 \times 19.4 \times 10^{-3} = 0.24 \text{ m}^3/\text{s}$$

$$m_a = 0.24 / 0.8 = 0.302 \text{ kg/s}$$

Mعدل التهوية لشاغلى المكان Person ventilation rate

$$Q_a = n [L/s. per]$$

$$= 112 \times 3.5 \times 10^{-3} = 0.392 \text{ m}^3/\text{s}$$

$$m_a = 0.392 / 0.8 = 0.49 \text{ kg/s}$$

من 20 Table 5. للمسرح وغير مدخنين نجد $\frac{L}{s.per} = 3.5$

نأخذ في الاعتبار $Q_a = 0.392 \text{ m}^3/\text{s}$ & $m_a = 0.49 \text{ kg/s}$ (أكبر كتلة وحجم هواء تهوية)

ومن خريطة السينكروميترى: $h_o = 72 \text{ kJ/kg}$ & $h_i = 51 \text{ kJ/kg}$

وبالتعويض في المعادلات (A,B,C) نجد أن :

$$q_{V(0)} = 0.49 (72 - 51) \cdot 10^3 = 10348 \text{ W}$$

$$q_{V(s)} = 0.49 \times 1005 (35 - 25) = 4924 \text{ W}$$

$$q_{V(l)} = 10348 - 4924 = 5423 \text{ W}$$

Table 5.28 Survey of Cooling Load for The Educational Theatre.

Item	q_s, W	q_L, W	q_t, W
Transmission	3802	-	3802
Solar	3450	-	3450
Occupying	7840	5040	12880
Lighting	3509	-	3509
Ventilation	4924	5423	10348
Ducts	380	-	380
Total	23905	10463	34368

$$S.H.F = \frac{q_s}{q_t} = \frac{23905}{34368} = 0.70$$

ثانياً : حمل التدفئة
المفقود الحراري Heat loss أو حمل التدفئة يتكون من :

I - فقد حراري خلال الجدران Heat loss by transmission ويعين بالمعادلة

$$q_{tr} = A \cdot U (t_{in} - t_o), \quad W$$

مع أهمال انتقال الحرارة خلال الأرضية . قيم درجة حرارة الطرقات $15^{\circ}C$ وأعلى السقف $20^{\circ}C$
الحرارة المفقودة خلال الجدران مبينه في Table 5.29

Table 5.29 Heat Loss by Transmission

Side	A, m^2	U W/m^2K	$t_{in} - t_o$ $^{\circ}C$	q_{tr}
N	(refer to Table 5.27)	52.43	1.61	25-15=10
E		28.97	1.61	25-15=10
S		45.12	1.61	25-10=15
W		28.97	1.61	25-15=10
ceiling		159.6	1.74	25-20=5
Floor		159.6	1.74	0
Glass		18.56	5.9	25-10=15
Door		9.45	2.09	25-15=10
		Σq_{tr}		6097

هذه الحرارة كلها محسوسة

II - فقد حراري خلال المسالك Duct heat loss

$$q_d = (10\%) q_r \approx 610 \text{ W}$$

III - حرارة مفقودة بالتهوية والتسرب Heat loss by ventilation

إذا اعتبرنا نفس معدلات التهوية كما هي صيغنا فإن معدل كثافة الهواء الخارجي $m_a = 0.49 \text{ kg/s}$ وعلىه فإن حرارة التهوية المفقودة (الكلية)

$$q_{v(t)} = m_a (h_i - h_o)$$

$$= 0.49 (51 - 18) \times 10^3 = 16170 \text{ W}$$

حيث h_i, h_o من خريطة الميكرومترى لحالة الهواء الداخلى والخارجي

$$h_i = 51 \text{ kJ/kg} \quad \& \quad h_o = 18 \text{ kJ/kg}$$

حرارة التهوية المفقودة (المحسوسة)

$$= 0.49 \times 1005 (25 - 10) = 7387 \text{ W}$$

حرارة التهوية المفقودة (الكامنة)

$$q_{w(t)} = q_{v(t)} - q_{v(s)}$$

$$= 16170 - 7386 = 8783 \text{ W}$$

الحرارة المحسوسة الكلية

$$q_s = 6097 + 610 + 7387 = 14094 \text{ W}$$

معامل الحرارة المحسوسة SHF

$$\text{SHF} = \frac{q_s}{q_i + q_s} = \frac{14094}{(8783 + 14094)} = 0.62$$

Problems

- 5.1 Calculate the total thermal resistance and U-value of a 225mm thick brick wall located in a coastal region. If the area of the wall is 18.6m^2 and the inside and outside temperatures are 21 C° and 27C° , respectively. Calculate the transmission heat gain through the wall.
- 5.2 A window has a resistance of $0.002\text{m}^2\text{ K/W}$ and the internal and external resistances are 0.12 and $0.05 \text{ m}^2\text{K/W}$, respectively. Calculate the total resistance and U-value of the window. If the window dimensions are 0.6m wide and 1.5m high and the inside and outside temperatures are 21C° and 32C° , respectively. Calculate the transmission heat gain through the window.
- 5.3 Calculate the total solar radiation upon a horizontal surface for a low lying rural location near Rome if the solar altitude is 55° and solar azimuth is 235° .
- 5.4 Determine the total radiation incident upon a south facing vertical surface of a wall in Baghdad if the solar azimuth is 200° .
- 5.5 A south facing top-floor office show in Fig 5.17. The office is maintained in 22C° db and 50% RH. There are 4 sedentary occupants and two continuously used computers having power consumptions of 200W. There are 1.25 air change per hour due to the natural infiltration of outdoor air. The adjacent offices, corridors, and office below are maintained at the same temperature as the considered office. The U-values of glass, wall-ext, wall-int., floor, and roof are 3.3 , 0.33 , 1.7 1.5 and $0.4 \text{ W/m}^2\text{ C}^\circ$, respectively. The outside condition are 33C° db and 60% RH. The solar radiation intensity for

roof is 400 W/m^2 while absorption factor is 0.4. $I_{\text{glass}} = 500 \text{ W/m}^2$ and $\text{SC} = 0.4$. other missed data should be selected. Calculate the cooling load.

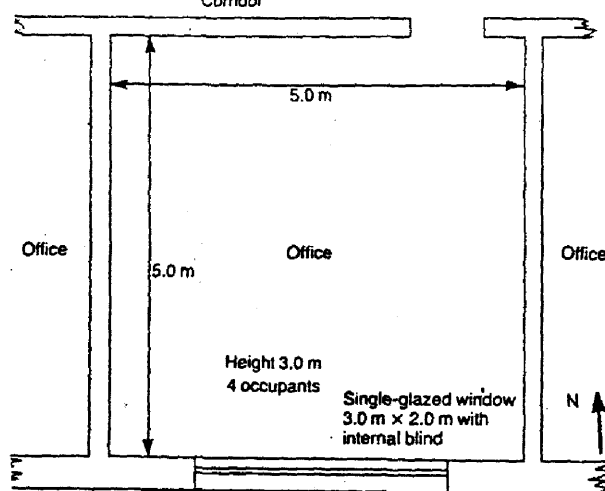


Figure 5.17 Plan of office (problem 5.5)

5.6 A south - facing Cairo office of $6\text{m} \times 6\text{m} \times 3\text{m}$ high has a single- glassed clear flat window opening of 10m^2 . The surrounding rooms are all similar. There are 3 occupant emitting 90W and 4 electric items of 150W each. The ventilation rate is 1 air change per hour. The U-values of glass, Ext-wall, Int. wall, floor- ceiling are, 5.7, 0.4, 1.7 , 1.7, and $1.7 \text{ W/m}^2\text{C}$, respectively. The peak solar irradiance on a south- facing vertical window is 710 W/m^2 , and for the wall is 200 W/m^2 . the absorption coefficient a is 0.6 and $\text{SC} = 0.4$.

The outside conditions are : $40\text{C}^\circ\text{db}$, 60%RH

The inside condition are : $25\text{C}^\circ\text{db}$, 50% RH.

The outside conditions (winter) , $15\text{C}^\circ\text{db}$ & 30% RH.

Calculate the heating and cooling loads.

5.7A public hall 20m x 30m x 5m high serving 500 person is located in Zagazig. The inside conditions are 24°C^odb and 50%RH. The outside conditions are 38°C^odb and 70% RH summer, and 15°C^odb and 40%RH winter. The outside air per occupant is 0.005m³/s. the U- values for external and internal walls roof, floor, and glass are 1,1.1 1.7, 1.7 and 4 W/m²C°. the lighting power is 10kW. The peak solar irradiance for roof eastern, and western sides are 400, 500 and 600 W/m² respectively. While $I_{glass} = 350W/m^2$ the absorption factor $\alpha = 0.5$ and $SC = 0.4$ the hall is equipped with 4 aluminum double- glazed windows 5m x 1.5m each as shown in Fig 5.18. The adjacent spaces have the same temperature as the considered hall. Calculate the cooling and heating loads.

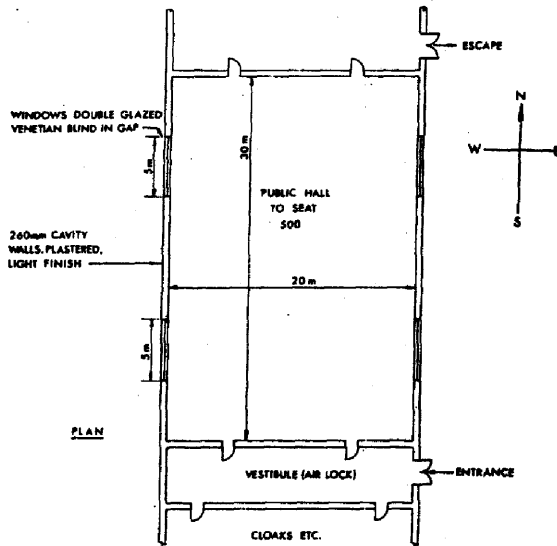


Figure 5.18 Plan of public hall problem 5.7

5.8 Determine the cooling and heating loads for the house as shown in Fig 5.19. The summer conditions are: 35°C db , 24°C wb . The winter conditions are: 12°C db & 40% RH. The inside conditions are 23db & 50% RH. Use the crack method to compute the infiltration heat loss or gain. 4 persons are living in the house. The U-values for walls, windows, doors, roof, floors are 1.2, 1.1, 1.7, and 7, respectively. The height of the walls is 4m. An assumed design wind speed of 10km/h. Peak solar irradiance for ceiling, Northern, Eastern, Western and Southern are 400, 150, 200, 250, 300W/m^2 . For glass $I_g = 380 \text{ W/m}^2$. The absorption factor $\alpha = 0.5$, while $SC = 0.3$. Dimension of windows as follows : W1: $(4\text{m} \times 2\text{m})$, W2: $(2\text{m} \times 2\text{m})$, W3: $(1.5\text{m} \times 1.2)$, W4: $(1.5\text{m} \times 1\text{m})$, W5: $(1\text{m} \times 1.2\text{m})$, W6: $(0.7\text{m} \times 0.8\text{m})$, W7: $(1.5\text{m} \times 2\text{m})$, W8: $(3\text{m} \times 2\text{m})$. All doors have the dimension of $1\text{m} \times 2\text{m}$. Lighting heat is to be assumed based on rates considered.

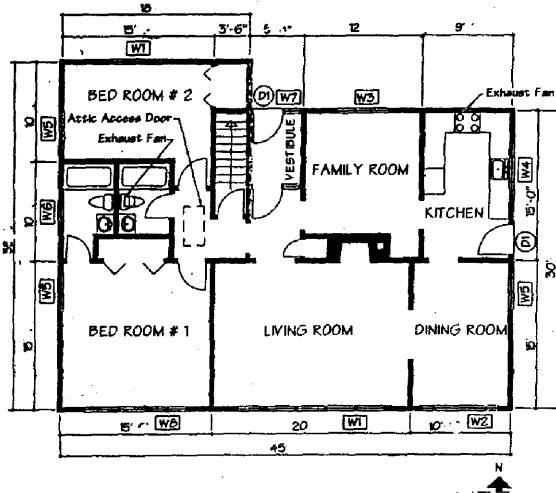


Figure 5.19 Plan of a House problem 5.8



الأتزان الحراري للمكان - حالة هواء التغذية

SPACE THERMAL BALANCE SUPPLY AIR CONDITIONS

General

قدمة

حرارة التي يكتسبها المكان (صيفاً) أو ينقدّها (شتاءً) سواء أكانت حرارة محسوسة Sensible كامنة Latent يجب أن تتعادل بواسطة طاقة هواء التغذية المدفوع بواسطة نظام تكييف هواء من أجل تحقيق ظروف الراحة.

حرارة المحسوسة q_s تتكون من :

- 1- حرارة منتقلة خلال الحوائط، الأسفاف والأرضيات .
- 2- حرارة الإشعاع الشمسي .
- 3- حرارة منبعثة من الأشخاص .
- 4- حرارة يحملها هواء التهوية .
- 5- حرارة الأقضاء والمعدات .

حرارة الكامنة q_l تتكون من :

- 1- حرارة يحملها هواء التهوية .
- 2- حرارة منبعثة من الأشخاص .
- 3- حرارة منبعثة من عمليات التسخين والتذرّف .

6.1 الاتزان الحراري للمكان

6.1 Space Air Balance

الاتزان الحراري بين الحرارة المفقودة أو المكتسبة للمكان q_s ، q_l يجب أن تتعادل بطاقة هواء التغذية q_s ، q_l وبين (6-1) Fig (6-1) الاتزان الحراري للمكان ويمكن كتابة معادلة الاتزان كالتالي :

$$\left(\frac{q_s}{q_l} \right)_{\text{gain or loss}} = \left(\frac{q_s}{q_l} \right)_s \quad (6.1)$$

المعادلة (6.1) يمكن أن تأخذ الصورة

$$\left(\frac{q_s}{q_l + q_s} \right)_{\text{gain or loss}} = \left(\frac{q_s}{q_l + q_s} \right)_s \quad (6.2)$$

الحرارة المكتسبة أو المفقودة بواسطة المكان Gain or loss يمكن تمثيلها حرارة الغرفة Room load والحرارة التي يضيفها أو ينزعها هواء التغذية تسمى طاقة التغذية Supply energy(s)

$$\left(\frac{q_s}{q_l + q_s} \right)_R = \left(\frac{q_s}{q_l + q_s} \right)_s \quad (6.3)$$

يمكن تمثيل الطرف الأيسر للمعادلة (6.3) على خريطة السكريورمترى Fig 6.2 فتكون نقطة (a) زاوية قائمة. ويمثل الخط (A-S) الحرارة المحسوسة للغرفة q_s (R-A) الخط الحرارة الكامنة للغرفة q_l والخط (S-R) الحرارة الكلية للمكان $(q_l + q_s)$ ومن ذلك نستنتج أن :

$$\left(\frac{q_s}{q_l + q_s} \right)_R = \frac{\text{line AS}}{\text{line RS}} \quad (6.4)$$

يسمى خط الحرارة المحسوسة للمكان أو اختصارا خط الحجرة Room line. هذا الخط يحدد حالة هواء الغرفة الذي تحدده ظروف الراحة للمكان وكذلك حالة هواء التغذية الوائل للغرفة.

$\text{COS } \theta$ يحد معامل الحرارة المحسوسة للغرفة RSHF

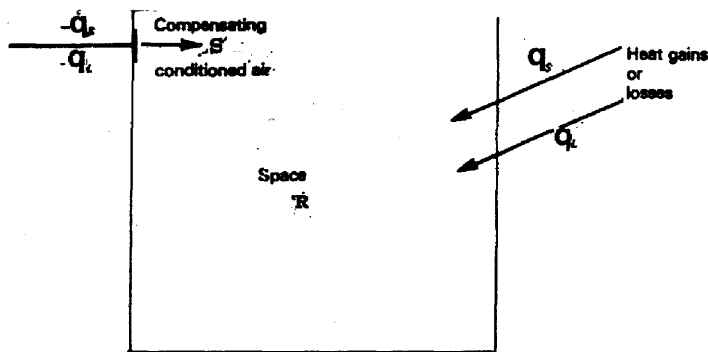


Figure 6.1 Heat balance of space.

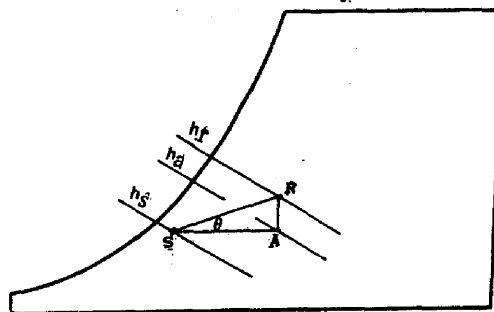


Figure 6.2 Development of room sensible heat factor

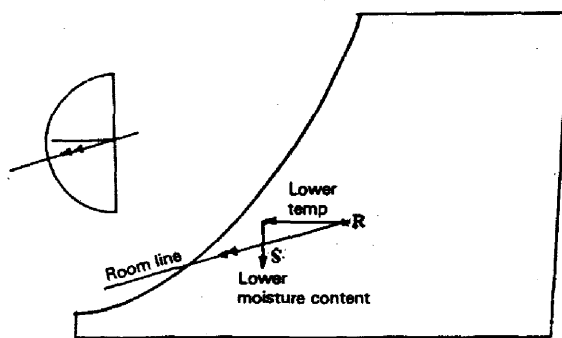


Figure 6.3 Room line for space subjected to sensible and latent heats gain

$$RSHF = \cos \theta = \left(\frac{q_s}{q_i + q_s} \right)_R \quad (6.5)$$

عندما تكون الحرارة الكامنة $q_i = 0$ أي أن

الحرارة الكلية تساوى الحرارة المحسوسة أي أن $RSHF = 1$

إذا كانت الحرارة المحسوسة $q_i = 0$ أي أن الحرارة الكلية تساوى الحرارة الكامنة أي أن $RSHF = 0$ القسم المختلف لمعامل الحرارة المحسوسة مبين على المحور الرأسى الأول يمين خريطة السيكرومترى وكذلك على نصف الدائرة على يسار الخريطة نفسها وستين كيفية تمثيل الاتزان الحراري من الحالات الآتية:

I : اكتساب حرارة محسوسة وحرارة كامنة

هذا نظام صيفي حيث يكتب المكان حرارة محسوسة وحرارة كامنة. حالة هواء الغرفة تمثلها نقطة R في Fig 6.3 ذات درجة حرارة ورطوبة عالية. لذلك يجب أن تكون حالة التغذية ممثلة بالنقطة (S) أقل في درجة الحرارة والرطوبة ويكون الخط S-R هو خط الغرفة Room line.

II : فقد حرارة محسوسة وحرارة كامنة

هذا نظام شتوى حيث تكون درجة حرارة الغرفة ممثلة بالنقطة R في Fig 6.4 وهي ذات درجة حرارة مخفضة ونسبة رطوبة منخفضة. فإذا افترضنا أن حالة هواء التغذية ممثلة بنقطة (S) فيجب أن تكون ذات درجة حرارة عالية ونسبة رطوبة عالية ويكون الخط S-R هو خط الغرفة Room line.

III: اكتساب حرارة محسوسة وفقد حرارة كامنة

Sensible heat gain and latent heat loss

في هذه الحالة النقطة (R) تمثل حالة هواء الغرفة في Fig 6.5 وهي ذات درجة حرارة عالية نسبياً ورطوبة منخفضة ولذلك إذا افترضنا أن حالة هواء التغذية ممثلة بنقطة (S) فيجب أن تكون ذات درجة حرارة منخفضة ونسبة رطوبة عالية. ويصبح الخط S-R هو خط الغرفة.

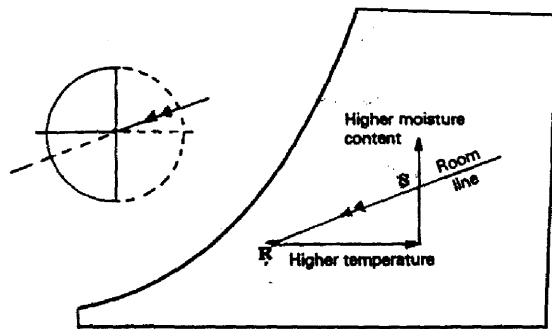


Figure 6.4 Room line for sensible and latent heats loss.

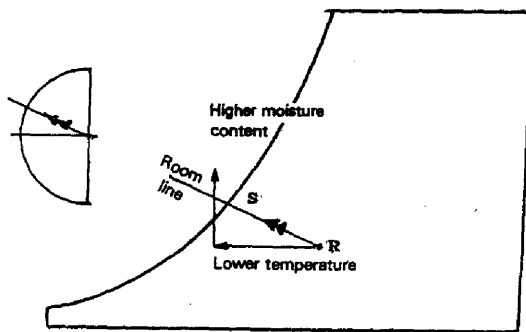


Figure 6.5 Room line for sensible heat gain and latent heat loss.

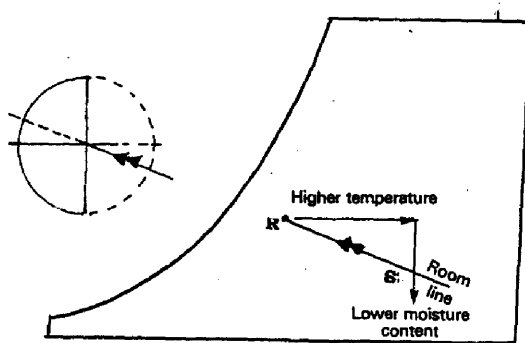


Figure 6.6 Room line for space subjected to sensible heat loss and latent heat gain

IV: فقد حرارة محسوسة وأكتساب حرارة كامنة

Sensible heat loss and latent heat gain

في هذه الحالة النقطة (R) تمثل حالة هواء الغرفة في Fig 6.6 وهي ذات درجة حرارة منخفضة ونسبة رطوبة عالية. لذلك إذا افترضنا أن (S) هي حالة هواء التغذية فيجب أن تكون ذات درجة حرارة عالية ونسبة رطوبة منخفضة ويكون الخط S-R خط الغرفة

6.1 تحديد درجة حرارة هواء التغذية

6.2 Determination of Supply Air Temperature t_s

إذا كان الحمل الحراري المحسوس يقدر بـ (q_s) لالمكان الذي درجة حرارته (t_R). فمن أجل المحافظة على درجة حرارة الغرفة ثابتة يجب تزوييد الهواء بمقدارها (m_s) بدرجة حرارة مقدارها (t_s) بحيث تتعادل مع الحرارة المحسوسة للتغذية.

$$q_s = m_s \cdot C_p (t_R - t_s) , \text{ kW} \quad (6.6)$$

$$= \rho Q C_p (t_R - t_s) , \text{ kW} \quad (6.7)$$

حيث ρ كثافة الهواء في الظروف القياسية ($t = 20^\circ\text{C}$) حيث $\rho = 1,2 \text{ kg/m}^3$

$C_p = 1,01 \text{ kJ/kg K}$ ($t = 20^\circ\text{C}$) السعة الحرارية للهواء في الظروف القياسية

Q معدل هواء التغذية m^3/s

بوضع القيم السابقة في المعادلة (6-7) نحصل على :

$$q_s = 1,2 \left(\frac{273 + 20}{273 + t_s} \right) \times 1,01 \times Q (t_R - t_s) \text{ kW}$$

$$\approx 360 \times Q \times \frac{t_R - t_s}{273 + t_s} , \text{ kW} \quad (6.8)$$

لتحديد معدل هواء التغذية Q صيفا

$$Q = \frac{q_s (273 + t_s)}{360 (t_R - t_s)} , \text{ m}^3/\text{s} \quad (6.9)$$

إذا كان معدل تدفق هواء التغذية معروفاً فيمكن تحديد درجة حرارة هواء التغذية t_s

$$t_s = \frac{360 Q \times t_R - 273 q_s}{360 Q + q_s}, \text{C}^{\circ} \quad (6.10)$$

في حالة التدفئة شتاءً فإن $t_R > t_s$ وعلى ذلك يمكن تحديد معدل هواء التغذية

$$Q = \frac{q_s \times (373 + t_s)}{360 (t_s - t_R)}, \text{m}^3/\text{s} \quad (6.11)$$

درجة حرارة هواء التغذية شتاءً

$$t_s = \frac{360 Q \times t_R + 273 q_s}{360 Q - q_s}, \text{C}^{\circ} \quad (6.12)$$

في المعادلات من (6.6) إلى (6.12) تستخدم الوحدات الآتية:

$$q_s (\text{kW}), \quad \& \quad Q (\text{m}^3/\text{s}), \quad \& \quad t_s, t_R (\text{C}^{\circ})$$

درجة الحرارة t_R ، تحددها ظروف الراحة للمكان.

الحمل الحراري المحسوس q_s يحسب من حسابات الحمل الحراري للمكان، معدل تدفق هواء التغذية Q يحسب من معادلات التهوية للمكان إذا كانت نسبة الهواء النقي بنسبة 100% أو باعتبار نسبة هواء التهوية النقي بنسبة 25%، الهواء الراجع بنسبة 75% لتخفيض استهلاك الطاقة.

6.3 تحديد نسبة رطوبة هواء التغذية

6.3 Determination of Humidity Ratio W_s

تحدد نسبة رطوبة هواء التغذية W_s مكون الحرارة الكامنة q_s

$$q_s = \rho Q (W_s - W_R) h_{fg}, \text{ kW} \quad (6.13)$$

حيث ρ كثافة هواء التغذية وتحدد بالمعادلة

$$\rho = \rho_{20} \frac{273 + 20}{273 + t_s}, \text{ kg/m}^3$$

وحيث أن ρ_{20} هي كثافة الهواء عند درجة حرارة 20C° تساوى 1.19 kg/m^3 فلن الكثافة

$$\rho = \frac{379}{273 + t_s} \text{ تساوى}$$

$h_{fg} = 2450 \text{ kJ/kg}$ الحرارة الكامنة النوعية للهواء الرطب
بالتعريض بالقيم العددية لكل من ρ ، h_{fg} في معادلة (6.13) نحصل على

$$q_l = \frac{855000}{(273 + t_s)} \times Q \times (W_s - W_R), \quad \text{kW} \quad (6.14)$$

بنسبة خطأ لا تتعدي 0.5% يمكن استبدال الرقم 855000 بالرقم 860000 لتصبح المعادلة

$$q_l = \frac{860000}{(273 + t_s)} \times Q \times (W_s - W_R), \quad \text{kW} \quad (6.15)$$

من المعروف أن كلاً من الحرارة المحسومة q_s ، والحرارة الكامنة q_l تتغيران بصفة مستمرة وذلك تبعاً لتغير ظروف مصادر كل منها. لذلك فإن أجهزة تكييف الهواء يجب أن تكون مزودة بوسائل تحكم في هواء التغذية – هذا سيتم شرحه في باب منفصل – ولكن تجدر الإشارة هنا إلى أن تغير درجة الحرارة يحس بها منتحكم درجة الحرارة Thermostat، وتتغير في الرطوبة يحس بها منتحكم الرطوبة Humidistat وهو يوضع عن أما في داخل المكان أو على خط الراجع.

Example 6.1

An office has a sensible heat gain of 10kW when a room temperature is 20°Cdb. Calculate the necessary volumetric flow rate of supply air to maintain the room at the design temperature when supply air can be at 10°C.

بتطبيق المعادلة 6.9

$$\begin{aligned} Q &= \frac{q_s(273 + t_s)}{360(t_R - t_s)} \\ &= \frac{10 (273 + 10)}{360 (20 - 10)} = 0.79, \text{ m}^3/\text{s} \end{aligned}$$

Example 6.2

A music hall is $25\text{m} \times 20\text{m} \times 5\text{m}$, is maintained at $20\text{ C}^{\circ}\text{db}$ and has 5,air changes per hour of cooled outdoor air supplied at $15\text{ C}^{\circ}\text{db}$. Calculate the maximum cooling load that equipment can meet.

$$Q = \frac{N, \text{air} - \text{change}}{h} \times V m^3 \times \frac{1h}{3600} \quad m^3/s$$

$$= 5 \times 25 \times 20 \times 5 \times \frac{1}{3600} = 3.472, m^3/s$$

$$Q = \frac{q_s(273 + t_s)}{360(t_r - t_s)}$$

$$3.47 = \frac{q_s(273 + 15)}{360(20 - 15)}$$

$$q_s \approx 21.70, \text{ kW}$$

Example 6.3

An open office is $20_m \times 15_m \times 3_m$. It is maintained at $15\text{C}^{\circ}\text{db}$ 50% RH and has 8 changes per hour of supply air for both summer and winter. The room sensible heat gain (summer) and loss (winter) is the 38000W. Calculate the supply air temperature.

معدل هواء التغذية بفرض 100% هواء خارجي Q

$$Q = \frac{N}{h} \times V \times \frac{1}{3600}$$

$$= 8 \times (20 \times 15 \times 3) \times \frac{1}{3600} = 2, m^3/s$$

درجة حرارة هواء التغذية صيفاً t_s

$$t_s = \frac{360 \times Q \times t_R - 273 q_s}{360 Q + q_s}$$

$$t_s = \frac{360 \times 2 \times 18 - 273 \times 38}{360 \times 2 + 38} = 3,41 C^\circ$$

درجة حرارة هواء التغذية شتاءً t_s

$$t_s = \frac{360 \times Q \times t_R + 273 q_s}{360 \times Q - q_s}$$

درجة حرارة هواء التغذية شتاءً

$$= \frac{360 \times 2 \times 18 + 273 \times 38}{360 \times 2 - 38} = 34,2 C^\circ$$

Example 6.4

A space to be maintained at 25C°db and 50%RH has a sensible heat gain of 32,83kW and a latent heat gain of 6,155kW. An air supply of 2,36m³/s is provided. Determine the supply dry and wet bulb temperature.

حيث أن الحرارة مكتسبة إذ فهو نظام صيفي درجة حرارة هواء التغذية t_s

$$t_s = \frac{360 \times Q \times t_R - 273 \times q_s}{360 Q + q_s}$$

$$= \frac{360 \times 2,36 \times 25 - 273 \times 32,83}{360 \times 2,36 + 32,82} = 14 C^\circ$$

وهي تمثل درجة الحرارة الجافة لهواء التغذية

درجة حرارة هواء التغذية الرطبة لا يمكن تحديدها بصورة مباشرة. إذا أمكن تحديد خاصية أخرى لهواء التغذية والأنسب هنا نسبة الرطوبة W_s وعن طريق توقع احداثياتها مع درجة الحرارة

الجافة t_d على خريطة الميكرومترى يمكن تحديد درجة الحرارة الرطبة لهواء التغذية

نسبة الرطوبة لهواء التغذية تحدد من المعادلة (6.15)

$$q_t = \frac{86000}{(273 + t_s)} \times Q \times (W_R - W_s)$$

$$6,155 = \frac{86000}{(273 + 14)} \times 2,36 \times \Delta W_{R-s}$$

$$\Delta W_{rs} = 8,7036 \cdot 10^{-4} \text{ kg wv/kg da.}$$

من خريطة السيكرومترى Fig 6.7 نجد أن حالة الغرفة تمتلأ نقطة R احداثياتها هي

$$t_{db} = 25^\circ C, \phi 50\% RH$$

بالاتجاه يمينا نقرأ نسبة الرطوبة لحالة هواء الغرفة

$$W_R = 0.010 \text{ kg wv / kg.d.a.}$$

$$W_S = 9.13 \cdot 10^{-3}, \text{ kg wv / kg. d.a.}$$

على خريطة السيكرومترى تحدد نقطة (S) بكل من

$$t_S = 14^\circ C db, W_S = 9.12 \cdot 10^{-3} \text{ kg wv / kg d.a.}$$

من خريطة السيكرومترى تحدد درجة حرارة هواء التغذية الرطبة

$$t_S = 12.5^\circ C wb$$

معامل الحرارة المحسوسة للغرفة RSHF

$$RSHF = \frac{q_S}{q_S + q_l} = \frac{32.83}{32.83 + 6.155} \equiv 0.84$$

ومنه نجد أيضاً أن

$$h_R = 51, \text{ kJ / kg} \quad h_S = 35, \text{ kJ / kg}$$

الحمل الحراري للغرفة Room load q

$$\begin{aligned} \text{Room load} &= m_a (h_R - h_S) \\ &= 2.36 (51-35) = 37.76, \text{ kW} \end{aligned}$$

الحمل الحراري الكلى المعطى

$$\begin{aligned} q &= q_S + q_l \\ &= 32.83 + 6.155 = 39, \text{ kW} \end{aligned}$$

نسبة الخطأ من الرسم

$$\text{Error} = \frac{39 - 37.76}{39} = 3.2\%$$

من الملاحظ أن خط الغرفة $RSHF = 0.84$ يمكن رسمه بطرقتين

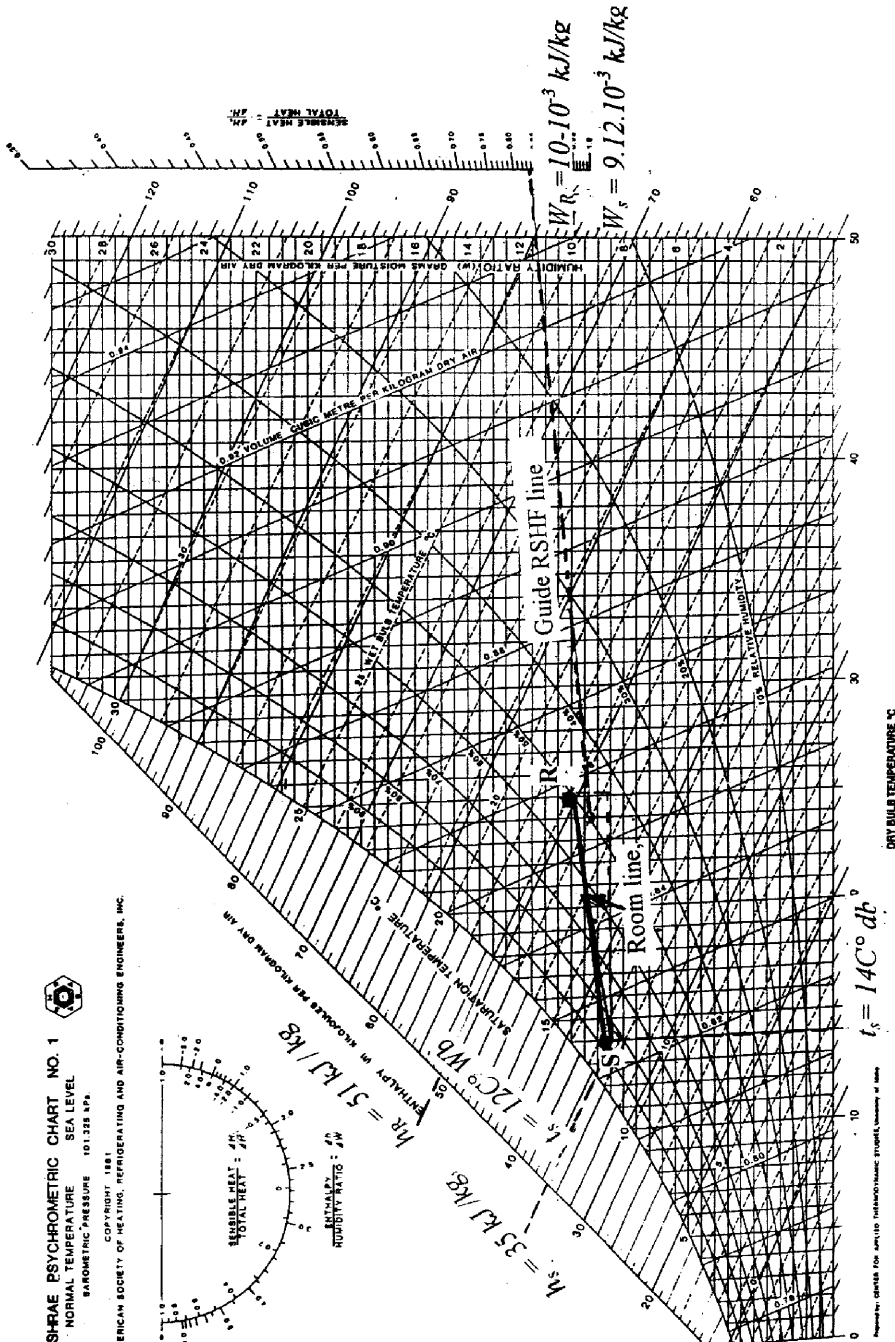


Figure 6.7 Psychrometric chart for example 6.4

الطريقة الأولى :

- 1- تحدد قيمة RSHF من المعادلة (6.5) ومن نصف الدائرة العلوية نرسم خطًا واصلاً بين المركز والربع الأيسر عند نقطة 0.84
- 2- من نقطة R نرسم خطًا موازياً لهذا الخط فيكون خط الغرفة Room line
- 3- تحدد درجة حرارة هواء التغذية الجافة t_a من المعادلة (6.10).
- 4- من المحسور الأفقي لخريطة السيكرومترى تدريج درجة الحرارة الجافة نرسم خطًا رأسياً بقيمة S_a حتى يقطع خط الغرفة فيعطي حالة هواء التغذية ومنه تحدد W_s دون الحاجة إلى تحديدها من المعادلة (6.15).

طريقة الثانية

- 1- تحدد قيمة RSHF من المعادلة (6.5)
- 2- تتبع موقع النقطة المساعدة أو القياسية guide or reference point أحديانها على الخريطة ($t_a = 24C^{\circ}$ 50% RH)، وهي مبنية بدائرة صغيرة على منحنى $\phi = 50\%$.
- 3- حدد قيمة RSHF على التدريج أقصى اليمين في خريطة السيكرومترى.
- 4- أرسم خطًا بين موقع RSHF على التدريج والنقطة القياسية يعطى خط الغرفة المساعد .Guide RSHF line
- 5- من نقطة R نرسم خطًا موازياً للخط السابق.

Problems

6.1 A space has a sensible and latent heat gain of 24.33, kW and 9.1, kW respectively . Determine the RSHF.

6.2 A ducted warm air heating system serves a public hall of 18m x 11m x 4m. It is maintained at 20C°db and has 1.5 air changes/h of re-circulated air supplied at 30C°db. Calculate heat loss from the building that the system can meet.

6.3 A room has a sensible and latent heats gain of 5.86m, kW and 2.64, kW. Respectively. The room design conditions are 25C°db and 50%RH. Supply air is delivered at 15C°db. Determine the required supply air flow rate. What will be the supply air wet bulb temperature ?

6.4 A room has design conditions of 26C°db. and 50% RH and a room sensible and latent heat gains of 5.28, kW and 2.34, kW respectively. An air conditioning unit supplied 0.425m³/s of air to the room at 14.5C°db and 13.3C°wb. Will the unit maintain the room design DB and WB? What are the approximate conditions maintained in the room?

دوائر معالجة الهواء - دوائر السيكرومترى

AIR TREATMENT CYCLES

PSYCHOMETRIC CYCLES

General

مقدمة

يقصد بدوره معالجة الهواء - هي مجموعة عمليات معالجة الهواء بدءاً من الهواء الخارجى وحتى وصوله إلى الأماكن الخاضعة للتكييف وذلك للوصول إلى توفير مستوى مناسب من درجة الحرارة ونسبة الرطوبة تتنق مع ظروف الراحة. *Comfortable conditions*. هذا بدوره يعتمد بدرجة كبيرة على نوعية العمل داخل هذه المبانى وعلى الحالة المناخية للهواء الخارجى. مجموع هذه العمليات يمكن تمثيلها على خريطة السيكرومترى ولذلك فهى تسمى دوائر السيكرومترى *Psychometric cycles*.

ويقصد بطبيعة العمل داخل المبانى المتحكمات التى تفرض استخدام هواء خارجى بنسبة 100% وحيث أن طبيعة العمل فى المستشفيات مثلاً تحتاج إلى تغذية هذه الأماكن بهواء نقى خالى من ثاني أكسيد الكربون وغيره الملوثات كذلك بعض المعامل وفى محطات الطاقة الذرية يتطلب الأمر تغذية الأماكن بهواء خارجى بنسبة 100%. على الجانب الآخر فى بعض المنشآت الأخرى مثل الفنادق والمصالح الإدارية فيمكن استخدام كمية من الهواء الخارجى السنوى بغرض التهوية مع خلطها بكمية أكبر من الهواء الرا�ع من الأماكن المكيفة بغرض ترشيد الطاقة وتخفيف مصاريف التشغيل.

7.1 عناصر أنظمة تكييف الهواء

7.1 Air Conditioning System Components

من أجل دارسة دوائر معالجة هواء التغذية لابد من التعرف على مكونات أنظمة تكييف الهواء بصورة سريعة حيث سيتم التعرف بالتفصيل فى أبواب عديدة على كل عنصر على حدة. معظم أنظمة تكييف الهواء تحتوى على المكونات الآتية :

- 1- مصدر حرارة وهو الذى يضيف حرارة إلى المائع (هواء - ماء - أو بخار ماء) .
- 2- مصدر تبريد وهو الذى يسحب أو يمتص الحرارة من المكان .
- 3- أنظمة توزيع وهى عبارة عن شبكة Network من المسالك أو الأنابيب .
- 4- المعدات مثل (المراوح أو الطرفيات) الأولى لدفع أو سحب الهواء والثانية لدفع أو سحب الماء .
- 5- آلات (وسائل) لانتقال الحرارة بين المائع وهواء الغرفة مثل ملفات التبريد والتسمين .
و سنبدأ بتعريف مختصر لأنظمة تكييف الهواء حتى يمكن فهم مكونات لكل نظام وستأتي الدارسة التفصيلية بعد ذلك في أبواب لاحقة .

7.2 Air Conditioning Systems 7.2 أنظمة تكييف الهواء

هناك نظامان أساسيان لتكييف الهواء يندرج تحت كل منهما أنظمة فرعية وهما:

* نظام تكييف هواء ماء كلى All- Water A/C System

فى هذا النظام Fig 7.1 يتم استخدام الماء كمائع أساسى أما يسخن فى الغلاية Boiler أو يبرد من خلال وحدة تثليج الماء وهى عبارة عن محطة تبريد تسمى Water chiller . يتم دفع الماء الساخن أو البارد من خلال طلبية Pump إلى الوحدات الطرفية Terminal unit الموجودة داخل الغرف . نتيجة انتقال الحرارة بين هواء الغرفة والوحدات الطرفية يتم الوصول إلى درجة الحرارة المطلوبة .
الماء الراجع الذى يكون قد انخفضت درجة حرارته (فى حالة التسمين) أو ارتفعت درجة حرارته (فى حالة التبريد) يتم سحبه إلى الغلاية لرفع درجة حرارته أو إلى مبرد الماء لخفض درجة الحرارة .

* نظام تكييف هواء كلى All air A/C system

فى هذا النظام Fig 7.2 الهواء يمكن تسخينه فى مصدر الحرارة (1) Heat source يمكن ان يكون فرن Furnace ويمكن ايضا أن يكون ملف به ماء أو بخار ساخن يتم انتاجه فى غلاية من مكان بعيد . الهواء الساخن يتم نفخة بواسطة مروحة (2) Fan وذلك من خلال مسالك تغذية (3) Supply ducts حتى يدخل الغرفة ويتم توزيعه من خلال منافذ أو نوافر Diffusers أو متسقبلات Grilles . الهواء ايضا يمكن تبریده اذا مر على مصدر برودة Cooling coil (5) عادة ما يكون فى شكل ملف تبريد Cooling source يتافق خلاله أما

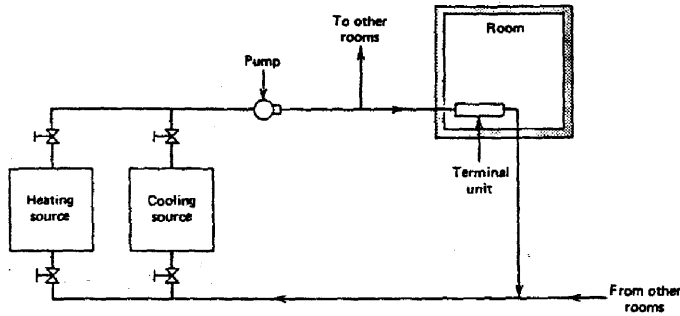


Figure 7.1 Basic components arrangement of all – water cooling and heating system.

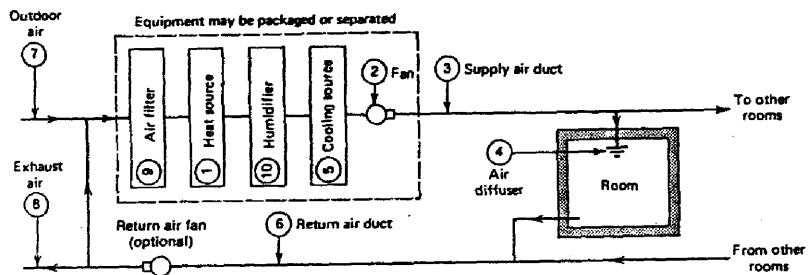


Figure 7.2 Basic components arrangement of an al-1 air cooling and heating system

مائع تبريد متبخر من محطة التبريد أو ماء متاح water تم تبریده في مبرد المياه Water chiller . هذا الهواء يتم أيضا دفعه بواسطة مروحة التغذية (2) Supply fan . هذا النظام أيضا مزود بمدخل للهواء الخارجي (7) Outdoor air intake وذلك من أجل تحقيق جودة إضافية لهواء التكييف. هذا الحجم الذي تم أدخاله من الهواء الخارجي Fresh air يتم طرد حجم مساوا له من الهواء الراوح air - Return وذلك بسحبه من خلال مسالك الراوح (6) Return air duct بواسطة مروحة الهواء الراوح Return air fan حتى يتم طرده من خلال مسلك الطرد (8) Exhaust air duct .

ما يجدر الإشارة به أن النظام مزود أيضا بفلتر (9) Air filter لتنقية الهواء من الشوائب والروائح أيضا - وكذلك معدات ترطيب (10) Humidifier وهو أما على شكل غسالات هواء Air washer أو ماء مرشوش Sprayed water او قد يتم الترطيب على ملف التبريد نفسه.

ملفات التسخين يوجد فيها نوعان:

- * سخان متقدم (Optional) Pre-heater غير مبين على الرسم ويستخدم كسخان ابتدائي لتسخين الهواء البارد (أقل من الصفر المئوي) حتى تتجنب تجمد الماء الذي قد يمر في مواسير بقية عناصر النظام.
- * سخان متأخر Re-heater قد يكون سخانا أساسيا أو قد يستخدم بعد عملية التبريد للوصول بدرجة حرارة هواء التغذية إلى ظروف الراحة.

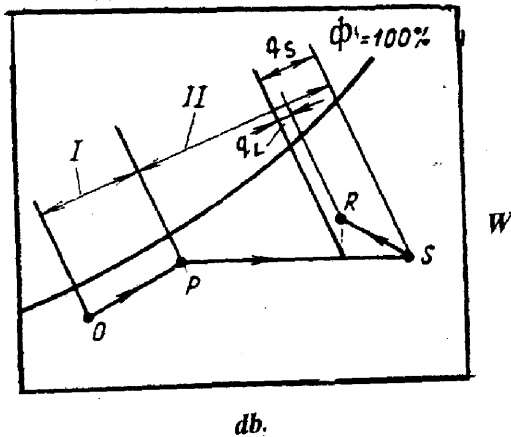
7.3 دوائر تكييف الهواء الشتوية 7.3

تحتوى هذه الدوائر على سخان متقدم عند الحاجة Optional وغرفة ترطيب Humidifier وسخان متأخر Re-heater .

7.3.1 دورة شتوية باستخدام غرفة ترطيب وسخان متأخر

7.3.1.1 Humidifier and re-heater winter A/C cycle.

ويمكن دراسة هذه الدورة من Fig 7.3 في هذه الدورة يستخدم الهواء الخارجي بنسبة 100% في الحالة (0) على خريطة المسكر ومتى حيث يتم ترطبيه بماء ساخن درجة حرارته أعلى من درجة حرارة الهواء الخارجي فيتم ترطبيه وتسخينه في نفس الوقت حتى



db.

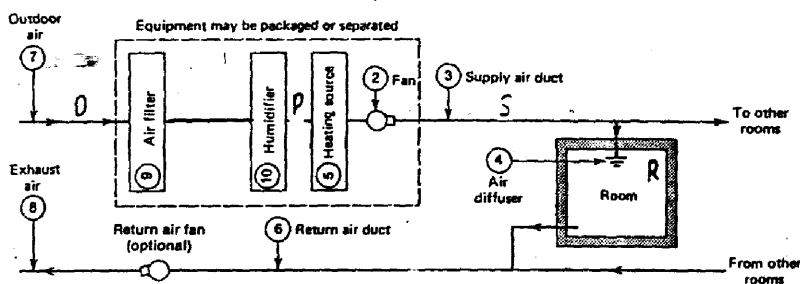


Figure 7.3 Humidifier, and re- heater winter A/C cycle

يصل إلى الحالة (P) حيث تكون $W_p = W_s$ يتم تسخين الهواء بعد ذلك تسخينا محسوسا حتى يصل إلى نقطة (S). لرسم الدائرة على خريطة السيكرومنترى لا بد من توفر الآتى:

1- حالة الهواء الخارجى الممثل بنقطة (O).

2- حالة هواء الغرفة تحددها ظروف الراحة وتمثل بنقطة (R).

3- الحمل الحرارى المحسوس والكامن q_s , q_l من حساب الحمل الحرارى لظروف الشتاء.

4- كمية هواء اللازم للتهوية طبقاً لمعدلات تهوية المكان $Q, \text{m}^3/\text{s}$

ثم نتبع الخطوات الآتية :

1- يتم حساب معامل الحرارة المحسوسة للغرفة

$$RSHF = q_s / (q_s + q_l)$$

2- تحدد على خريطة السيكرومنترى كل من نقطى (R) ، (O).

3- يتم حساب درجة حرارة هواء التغذية t_a من المعادلة (6.11) وذلك بمعلومية q_s

4- يتم حساب W_s من معادلة (6.12) .

5- من نقطة (R) نرسم خط الحرارة Room line بمعلومية $RSHF$.

6- بمعلومية t_a من المحور الأفقي عند قيمة $-t_s$ نرسم خط رأسيا حتى يقطع خط الغرفة في نقطة (S).

7- من نقطة (S) نرسم خطأ أفقيا حتى يقطع منحنى $\phi = 90\%$. نقطة التقاطع تعطى احداثيات نقطة (P).

تحدد قدرة السخان المتأخر Re-heater

$$q_{HC} = m_a (h_s - P_g), \quad \text{kW} \quad (7.1)$$

كمية الماء المستخدم فى الترطيب.

$$m_w = m_a (W_p - W_o), \quad \text{kg/s} \quad (7.2)$$

الطاقة الحرارية المعطاة من الماء الساخن.

$$q_{HW} = m_a (h_p - h_o), \quad \text{kW} \quad (7.3)$$

الحمل الحرارى للغرفة

$$\text{Room Heating load} = m_a (h_s - h_R), \text{kW} \quad (7.4)$$

7.3.2 دورة شتوية باستخدام سخان متقدم ووحدة ترطيب وسخان متاخر

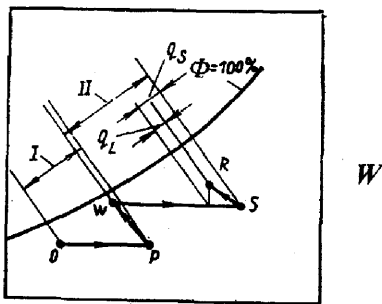
7.3.2 Pre-heater, humidifier and re-heater A/C winter cycle

في هذا النظام يستخدم هواء خارجي كلی Fig. 7.4. في الظروف الجوية الباردة (معظم دول أوروبا) حيث تكون فيها درجة حرارة الهواء الخارجي أقل من الصفر المئوي مما يؤثر سلباً على مسالك الهواء وكذلك على مكونات نظام التكييف ويقصد بها ملفات التسخين ووحدات الرش التي يستخدم فيها الماء الذي قد يتعرض للتجمد أثناء مساره فيها. هذا يحتم استخدام السخان المتقدم Pre-heater ليرفع من درجة حرارة الهواء لتلافي هذا العيب المشار إليه.

إذا رجعنا إلى خريطة السيكرومترى نجد أن التسخين الأولى Pre-heating يكون محسوساً ويتم خلال العملية \rightarrow (OP) مما يمكن بعد ذلك من الترطيب في غرفة الترطيب Humidifier \rightarrow خلال العملية \rightarrow PW. ثم يتم بعد ذلك تسخين محسوس خلال العملية \rightarrow WS.

لتتحديد موقع حالات الهراء على خريطة السيكرومترى لابد من توافر الآتى:

- 1- حالة الهواء الخارجي الممثل ببنقطة (O).
 - 2- حالة هواء الغرفة وتحدهما ظروف الراحة في نقطة (R).
 - 3- الحمل الحراري المحسوس والكامن q_s ، q_i من حساب الحمل الحراري بالكيلووات.
 - 4- كمية هواء التهوية اللازمة طبقاً لمعدلات تهوية المكان Q , m^3/s .
- ثم تتبع الخطوات الآتية :
- 1- يتم حساب معامل الحراري المحسوسة للمكان كما سبق
 - 2- تحدد موقع كل من النقطتين (O) ، (R) على خريطة السيكرومترى.
 - 3- من نقطة R نرسم خط الغرفة RSHF line بمعلومية معامل الحرارة المحسوسة المحدد في الخطوة (1).
 - 4- تحدّد حالة هواء التغذية (t_{s_i} , W_{s_i}) من معدلات الاتزان الحراري بمعلومية كل من Q , q_i , q_s . من المعادلين (6.15 ، 6.12).
 - 5- بمعلومية قيمة t_s ومن المحور الأفقي لخريطة السيكرومترى نرسم خطأ رأسياً حتى يقطع خط الغرفة RSHF في نقطة (S).
 - 6- من نقطة (S) نرسم خطأ أفقياً حتى يقطع منحنى $90\% \phi$ في نقطة (W).



db

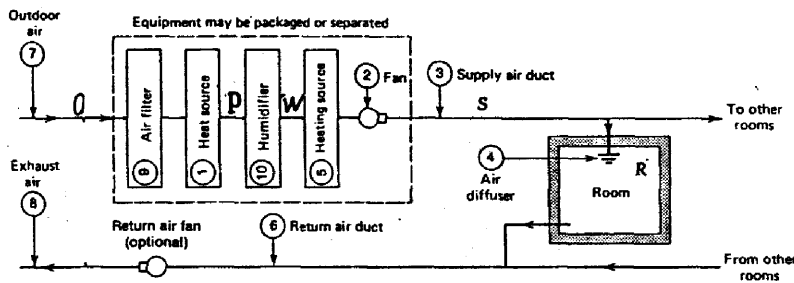


Figure 7.4 Pre- heater, humidifier and re-heater winter A/C cycle

- 7- من نقطة (O) نرسم خطًا أفقيا ($W_O = \text{const}$) .
- 8- من نقطة (W) نرسم خطًا بحيث ينطبق على خط درجة الحرارة الرطبة المار بـنقطة W حتى يقاطع مع الخط الأفقي المرسوم من نقطة (O) فيعطي حالة الهواء في نقطة (P) نهاية التسخين الأولى .Pre-heating
- من خريطة السيكرومتري نحدد الآتي :
- 1- الحمل الحراري للغرفة

$$\text{Room load} = m_a (h_S - h_R), \quad \text{kW} \quad (7.5)$$

2- سعة السخان المتقدم Pre- heater capacity

$$q_{HCl} = m_a (h_P - h_O) , \quad \text{kW} \quad (7.6)$$

3- سعة السخان المتأخر Re-heater capacity,

$$q_{HClII} = m_a (h_S - h_W) , \quad \text{kW} \quad (7.7)$$

4- كمية مياه الترطيب الازمة .

$m_W = m_a (W_W - W_P) , \quad \text{kg / s.} \quad (7.8)$

تمتاز هذه الدورة عن سابقتها حيث أن تزويد الهواء بالرطوبة الازمة يتم بدون إعطاء حرارة للماء نتيجة لذلك فبن التحكم في الرطوبة النسبية والحرارة في المكان المكيف تكون أكثر سهولة.

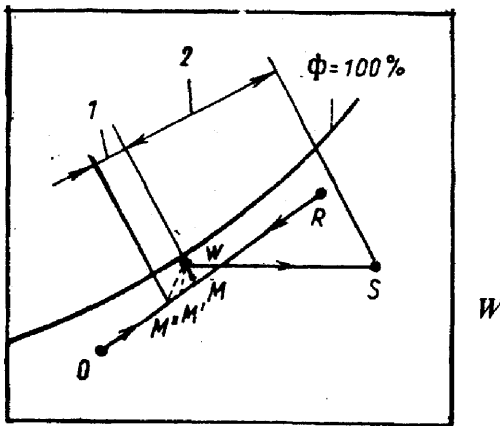
7.3.3 دورة شتوية لهواء راجع مع غرفة ترطيب وسخان متأخر

7.3.3 Return air, humidifier, and re-heater A/C winter cycle.

من أجل ترشيد الطاقة يستخدم الهواء الراجع (هواء الغرف) بعد خلطه مع كمية من الهواء الخارجي (الكتي يغطي الحاجة للتهوية) وتستخدم هذه الدورة في الظروف التي تكون فيها درجة حرارة الهواء الخارجي أعلى من الصفر المئوي .

ذا رجعنا إلى Fig7.5 فإن هواء الغرفة (الراجع) الذي حالته (R) يخلط مع الهواء في الحالة (O) ويعبر عن حالة الخليط النقطة (M). يخضع الخليط إلى عملية ترطيب أدبياتي بثبات درجة الحرارة الرطبة (wbt = const) خلال العملية (MW). بعد ذلك يتم تسخين الهواء تسخينا محسوسا حتى يصل إلى حالة التغذية (S).

تحديد موقع نقط الدورة على خريطة السيكرومتري يلزم الآتي :



db.

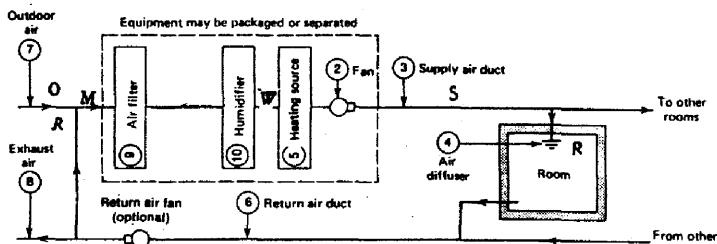


Figure 7.5 Return air, humidifier and re-heater winter A/C cycle

- 1- حالة الهواء الخارجي تحدد بالنقطة (O).
 - 2- حالة هواء الغرفة (الراجم) وتحددتها ظروف الراحة في نقطة (R).
 - 3- الحمل الحرارة المحسوس والكامن q_s , q_l من حساب الحمل الحراري للمكان.
 - 4- معدل التهوية للمكان ويحسب من أحدى الطرق الأربع المعروفة.
 - 5- تحدد نسب خلط الهواء الخارجي مع الهواء الراجم وتحدد كمية الهواء الكلى $Q_a, \text{m}^3/\text{s}$
- ثم تتبع الخطوات الآتية:
1. يتم حساب معامل الحرارة المحسوسة للمكان RSHF كما سبق .
 2. تحدد موقع كل من النقطتين (O) ، (R) على خريطة السيكرومترى.
 3. تحدد حالة هواء التغذية (t_s , W_s) من معادلات الاتزان الحراري بمعلومية كل من $Q_a, \text{m}^3/\text{s}$, $q_l (\text{kW})$, $q_s (\text{kW})$.
 4. من نقطة R نرسم خط الغرفة RSHF Line كما سبق بيانه في الدورات السابقة.
 5. تحدد حالة هواء الخلط (M) انظر باب عمليات السيكرومترى باستخدام قانون حفظ الكثافة والطاقة).
 6. تحدد حالة هواء التغذية t_s , W_s . من المعادلتين (6.12 , 6.15).
 7. من المحور الأفقى وبمعلومية t_s نرسم خطرا رأسيا يقطع خط الغرفة RSHF line في نقطة (S).
 8. من نقطة (S) نرسم خطأ أفقيا من اتجاه منحنى التشبع $\phi = 100\%$.
 9. من نقطة حالة هواء الخلط (M) نرسم خطأ يمثل عملية الترطيب الأدبياتى (Wbt = const). هذا الخط يقطع الخط الأفقى المرسوم من (S) في الخطوة السابقة. نقطة التقاطع (W) تمثل نهاية عملية الترطيب.
- من خريطة السيكرومترى نحدد الآتى:
- 1- الحمل الحرارى للغرفة.

$$\text{Room load} = m_a (h_s - h_R), \quad \text{kW} \quad (7.9)$$

2- سعة السخان المتأخر Pre - heater capacity

$$q_{HC} = m_a (h_s - h_w), \quad \text{kW} \quad (7.10)$$

3- كمية المياه اللازمة للترطيب أو Washer capacity

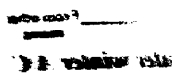
$$m_w = m_a (W_w - W_M), \quad \text{kg / s} \quad (7.11)$$

7.3.4 دورة شتوية لهواء راجع مع سخان متقدم وغرفة ترطيب وسخان متأخر

7.3.4 Return air, pre- heater, humidifier, and re-heater A/C winter cycle

إذا انخفضت درجة حرارة الهواء الخارجي إلى أقل من الصفر المئوي ففي هذه الحالة يلزم استخدام سخان متقدم . إذا رجعنا إلى Fig 7.6 فإن الهواء الراجع في حالة (R) بعد خلطه مع الهواء الخارجي في حالة (O) ويعبر عن حالة الخليط بالنقطة (M). الهواء بعد خلطة يتم تسخينه تسخيناً محسوساً بواسطة السخان المتقدم Pre-heater من خلال العملية \rightarrow (MN) ثم يخضع بعد ذلك الترطيب الأبياباتي (wbt = const) من خلال العملية \rightarrow (NW). ثم تنتهي الدورة بالتسخين المحسوس بواسطة السخان المتأخر من خلال العملية \rightarrow (WS). لتحديد النقطة الرئيسية على خريطة السيكرومترى .

- 1- تحديد النقط (R)، (O).
- 2- تحديد نقطة (M) بنفس الطريقة في الدورة السابقة.
- 3- يرسم خط الغرفة RSHF. line
- 4- تحديد حالة هواء التقنية (S) من معادلات الأتزان الحراري
- 5- من النقطة (S) نرسم خطأً أفقياً في اتجاه منحنى التشبع حتى يتقطع المنحنى $90^\circ\phi$. فقطن نقطة (W).
- 6- من نقطة (M) نرسم خطأً أفقياً في اتجاه زيادة درجة الحرارة الجافة .
- 1- من نقطة (W) نرسم خط عملية الترطيب بحيث ينطبق مع خط درجة المistoration الرطوبة المار بنقطة (W) حتى يتقطع الخط الأفقي المرسوم من (M) في الخطوة (6) فيعطي نقطة (N).



من خريطة السيكرومترى تحدد الآتى:

Room load

$$\text{Room load} = m_a (h_s - h_R), \quad \text{kW}$$

Pre-heater Capacity

$$q_{HOL} = m_a (h_N - h_M) \quad \text{kW}$$

Re-heater capacity

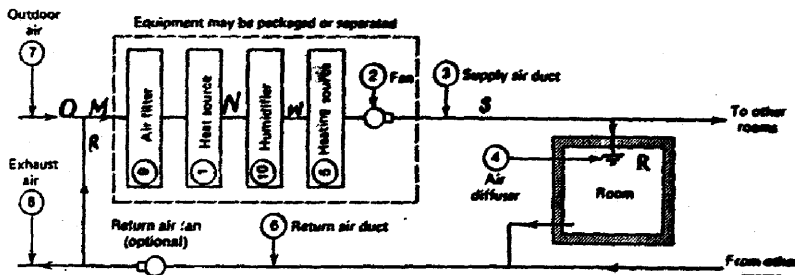
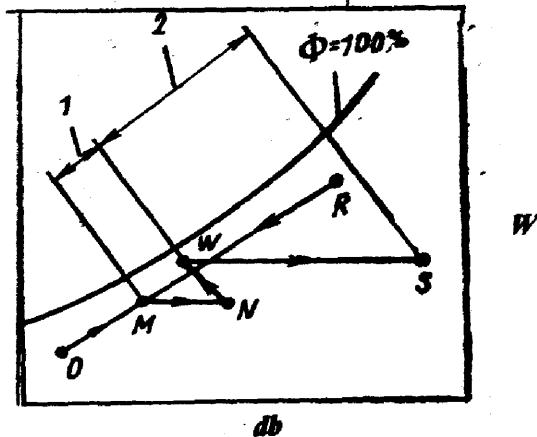


Figure 7.6 Return air, pre-heater, humidifier, re-heater number AAC cycle.

$$q_{HCII} = m_a (h_s - h_w) \quad , \quad \text{kW}$$

كمية المياه الازمة للترطيب .

$$m_w = m_a (W_W - W_N) \quad , \quad \text{kg / s}$$

7.4 داورة تكييف الهواء الصيفية 7.4 Summer A/C Cycles

تحتوي دوائر التكييف الصيفية عادة على ملف تبريد Cooling coil وذلك لخفض درجة الحرارة والرطوبة كما قد تشمل على سخان متأخر Re-heater وتمثل أهمية هذا السخان على ضبط حالة الهواء بعد تبريده وإزالة رطوبته إلى حالة التغذية القريبة من ظروف الراحة للمكان كما قد تشمل على غرفة ترطيب في حالة المناخ الجاف .

7.4.1 دورة صيفية 100% هواء خارجي مع ملف تبريد وسخان متأخر .

7.4.1 100% Outside Air, cooling Gil and Re-heater A/C summer cycle.

هذه الدورة تستخدم هواء خارجي بنسبة 100%，حيث قد يتطلب الأمر لظروف خاصة مثل المعامل، والمستفيات وخاصة حجرات العمليات والعناية المركزة وكذلك بعد المنشآت التي تتطلب التتنقية المتسمة للهواء بعد تلوثه.

فى حالة المناخ الصيفى نجد أن حالة الهواء الخارجى مماثلة بالنقطة (O) على خريطة السيكرومترى Fig 7.7 ذات درجة حرارة مرتفعة ورطوبة مرتفعة. ومن دراسة الحاله نجد أن درجة الحرارة الرطبة للهواء الخارجى أقل من مثيلتها لهواء الغرفة المماثلة بنقطة (R) وأعلى من نقطة الندى لهواء التغذية الممثل بنقطة (S). لمعالجة هذا الهواء يجب خفض درجة حرارته وخفض نسبة رطوبته وذلك بإماراره على ملف تبريد من خلال العملية $\xrightarrow{(OW)}$ بحيث $(W_S = W_W)$. الهواء فى الحاله (W) نلاحظ أن درجة حرارته قد انخفضت ولكن الرطوبة النسبية له عالية. ولمعالجة هذا الوضع يتم أمرار الهواء على سخان متأخر حتى تصل درجة حرارته الجافة إلى S.

لتحديد النقط الرئيسية على خريطة السيكرومترى يلزم معرفة الآتى:

- حالة الهواء الخارجى (O) وحالة هواء الغرفة (R) تحددهما ظروف الراحة فى المكان صيفاً.

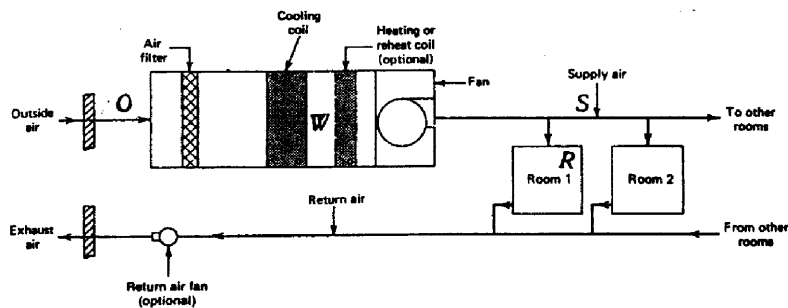
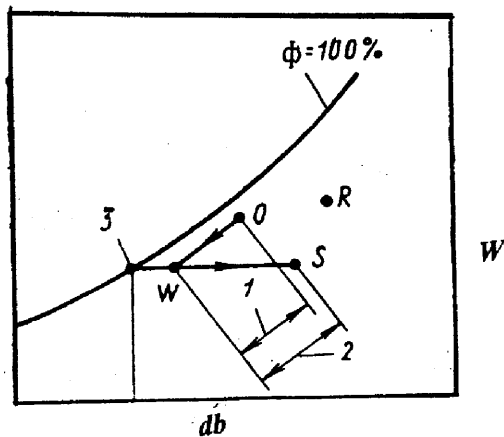


Figure 7.7 100% outside, cooling coil and re-heater summer A/C cycle.

- .2- الحمل الحراري المحسوس q_s ، الحمل الحراري الكامن q_L kW
- .3- معدل هواء التهوية اللازم Q مقدار بـ m^3/s ثم تتبع الخطوات الآتية:
1. يتم تعيين نقطة (O) ، (R) على الخريطة.
 2. حساب معامل الحرارة المحسوسة للغرفة RSHF ونرسم خط الغرفة
 3. يتم حساب حالة التئذية (t_s , W_s) من معادلات الأتزان الحراري للمكان.
 4. من المحور الأفقى لخريطة السيكرومترى نرسم خطًا رأسياً بقيمة t_s حتى يلتقط مع خط الغرفة في نقطة (S).
 5. من النقطة (S) نرسم خطًا افقياً باتجاه منحنى التشبع حتى يقطع منحنى -90% في نقطة (W).

الخط (OW) يمثل خط عملية ملف التبريد →
Cooling coil process line
من الخريطة نحدد الآتى :

الحمل الحراري للغرفة Room load

$$\text{Room load} = m_a (h_R - h_S), \quad \text{kW} \quad (7.12)$$

$$\text{سعة ملف التبريد } q_{cc} = m_a (h_O - h_W), \quad \text{kW} \quad (7.13)$$

$$\text{سعة ملف التسخين } q_{hc}$$

$$q_{hc} = m_a (h_S - h_W), \quad \text{kW} \quad (7.14)$$

كمية الرطوبة المزالة m_w

$$m_w = m_a (W_O - W_W) \quad \text{kg / s} \quad (7.15)$$

7.4.2 دورة صيفية باستخدام هواء راجع مع ملف تبريد وسخان متاخر

7.4.2 Return Air, cooling coil and re-heater A/C summer cycle

تستخدم هذه الدورة عندما تكون درجة حرارة الهواء الخارجى الرطبة twb للحالة (O) أكبر من مثيلتها لهواء الغرفة (R) كما هو موضح فى Fig 7.8. فى هذه الحالة يستخدم أقل قدر ممكن من الهواء الخارجى الذى حالته (O) بنسبة (25%) ويرتبط مع الهواء الراجع فى الحالة (R) ويعبر عن حالة الخلط بالنقطة (M). الهواء فى الحالة (M) يمر على ملف تبريد فيت

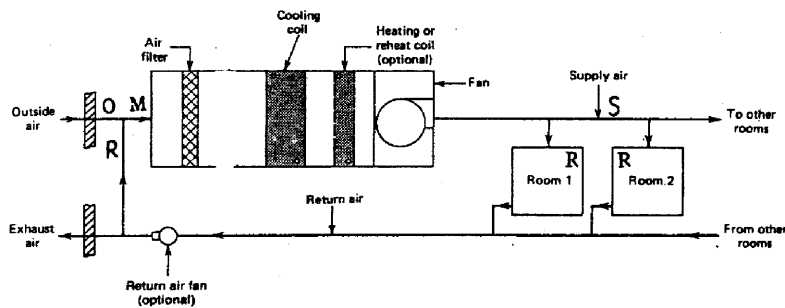
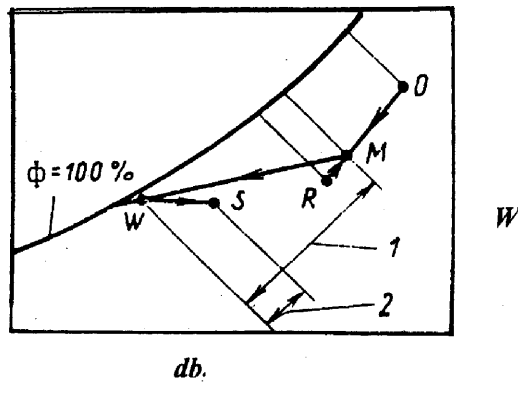


Figure 7.8 Return air, cooling coil and re-heater summer A/C cycle.

تبريد و تزال رطوبته و يعبر عن حالة المغادرة بالنقطة (W) التي تحددها نسبة الرطوبة لحالة التغذية (Ws). الهواء في هذه الحالة درجة حرارته منخفضة و رطوبته النسبية عالية، فيخضع لعملية تسخين محسوس حتى الحالة (S) التي تحدد من معدلات الاتزان الحراري للمكان.

لتحديد النقطة الرئيسية للدورة يلزم الآتي:

1- حالة الهواء الخارجي (O) و حالة هواء الغرفة (R).

2- الحمل الحراري المحسوس q_s ، الحمل الحراري الكامن q_L .

3- معدل التهوية اللازم $Q_{air} \text{ m}^3/\text{s}$ ونسبة خلط الهواء الراوح مع الهواء الخارجي.

بعد ذلك يتم اتباع الآتي:

1- يتم توقع النقطة (O) ، (R) على خريطة السيكرومترى.

2- يتم توقع النقطة (M) على طريق استخدام معدلات الخلط على الخط (OR).

3- يتم تحديد معامل الحرارة المحسوس لغرفة RSHF وبعدها يتم رسم خط الغرفة من نقطة (R) مستعيناً بقيمة RSHF.

4- يتم تحديد حالة التغذية (S) بواسطة معدلات الاتزان الحراري للمكان.

5- من المحور الأقصى لخريطة السيكرومترى نرسم خطأ رأسياً بقيمة تساوى s_t حتى يقطع خط الغرفة RSHF في نقطة تحدد حالة هواء التغذية (S).

6- من نقطة (S) نرسم خطأ أفقياً في اتجاه منحنى التسخين فيقطع منحنى $90^\circ - \phi$ في نقطة (W).

7- نصل نقطة (M) مع (W) فيعطي خط عملية الملف .Coil process line

من الخريطة نحدد الآتي:

Room load **الحمل الحراري لغرفة**

$$\text{Room load} = m_a (h_r - h_s), \quad \text{kW}$$

سعه ملف التبريد q_{CC} Cooling Coil Capacity q_{CC}

$$q_{CC} = m_a (h_r - h_w), \quad \text{kW}$$

سعه ملف التسخين $q_{H.C}$ Heating coil Capacity $q_{H.C}$

$$q_{H.C} = m_a (h_s - h_w), \quad \text{kW}$$

هذه الدائرة تميّز عن سابقتها في توفير الطاقة.

7.4.3 استخدام هواء الأمراء الجانبي

7.4.3 The use of by-passed air

في بعض دوائر معالجة الهواء الصيفية كما هو الحال باستخدام هواء راجع مع ملف تبريد وسخان متأخر Fig 7.8، يتطلب الأمر تنفيذ ذلك مع أقل تكلفة ممكنة.

يمكن تنفيذ ذلك باستخدام الأمراء الجانبي للهواء الراوح. في هذه الحالة الهواء الراجع المخصص لخلطه مع الهواء الخارجي يقسم إلى جزئين R_x ، R_y كما هو مبين في Fig 7.9

الجزء R_y يتم خلطه مع الهواء الخارجي و يمرر على ملف التبريد وتزال رطوبته خلال العملية \rightarrow MW .

الهواء المعالج في الحالة (W) يتم خلطه مع الجزء R_x الذي حالته هي حالة هواء الغرفة (R) ولكن تم إمداده جانبياً بعيداً عن ملف التبريد ، ف تكون حالة الخلط هي نقطة (S) وبذلك يكون قد تم الاستغناء عن السخان المتأخر الذي يمثل في النظام السابق بالخط WS.

من خريطة الميكرومترى نحدد .

حمل الغرفة Room load

$$\text{Room load} = m_a (h_R - h_S),$$

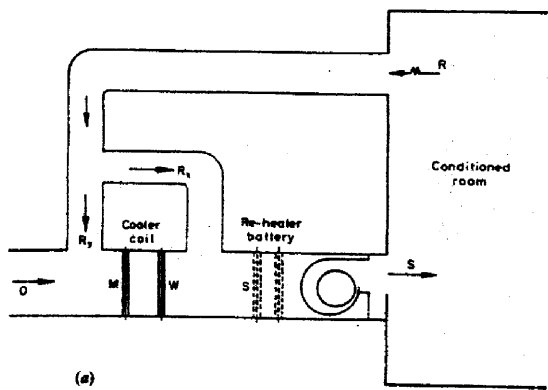
kW

سعة ملف التبريد q_{cc}

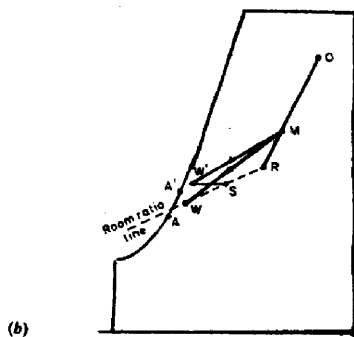
$$q_{cc} = m_a (h_M - h_W)$$

Example 7.1

A given space of 15m x 20m x 6m, having 2 air change /h, is to be maintained at 25.5°Cdb & 15°Cwb. The total heat gain to the space has been determined to be 17.6 kW, of which 12.3kW is sensible. The outdoor requirement of occupants is 0.25m³/s. The outdoor has a temperature and relative humidity of 32°Cdb and 60%, respectively. Determine the quantity and state of air supplied to the space and the required capacity of the cooling and dehumidifying equipment and re-heater capacity.



(a)



(b)

Figure 7.9 The use of By- Passed Return air

$$RSHF = \frac{q_s}{q_t} = \frac{12,3}{17,6} = 0.7$$

خواص الهواء الخارجي نقطة (O) من Fig 7.10

$$t_{db} = 32^\circ C, RH = 60\%, h_0 = 78 \text{ kJ/kg}, W_0 = 0.018 \frac{kgwv}{kgda}$$

خواص هواء الغرفة نقطة (R)

$$t_{db} = 25.5^\circ C, t_{wb} = 18^\circ C, h_R = 51 \text{ kJ/kg}, w_R = 0.01 \frac{kgwv}{kgda}$$

حجم هواء التغذية المطلوب $Q_t, m^3/s$

$$Q_t = \frac{15 \times 20 \times 6 \times 2}{3600} = 1 m^3/s$$

كمية هواء التغذية $m_t, kg/s$

$$m_t = Q_t \times \rho = 1 \times 1.2 = 1.2, kg/s$$

كمية الهواء الخارجي $m_o, kg/s$

$$m_o = 0.25 \times 1.2 = 0.3, kg/s$$

كمية الهواء الراوح $m_R, kg/s$

$$m_R = m_t - m_o = 1.2 - 0.3 = 0.9, kg/s$$

انتالبيا الخلطي h_M

$$m_t \cdot h_M = m_o h_0 + m_R \cdot h_R$$

$$1.2 \cdot h_M = 0.3 \cdot 7.8 + 0.9 \times 51$$

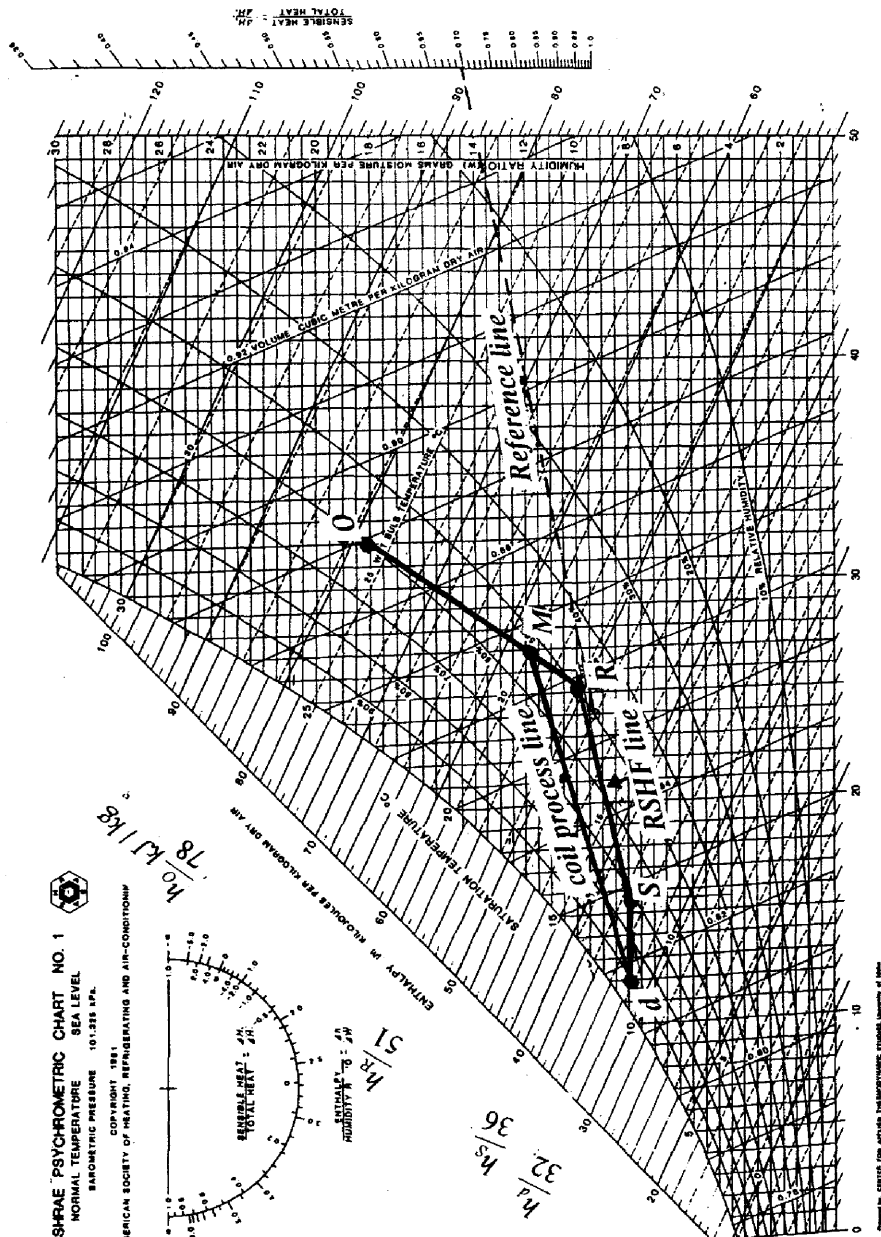
$$h_M = 57.75, kJ/kg$$

نقطة M يحددها تقاطع خط $h_M = 57.75$ مع الخط R-O

درجة حرارة هواء التغذية t_S

$$t_s = \frac{360 \times Q_t \times t_R - 273 q_s}{360 Q_t + q_s}$$

$$= \frac{360 \times 1 \times 25.5 - 273 \times 12.3}{360 \times 1 + 12.3} = 15.64, C^\circ$$



نسبة الرطوبة W_s لهواء التغذية

$$q_i = \frac{860000}{273 + t_s} \times Q_i \times (W_r - W_s)$$

$$5.3 = \frac{86000}{273 + 15.64} \times 1(0.01 - W_s)$$

$$W_s = 0.0082, \text{ kg wv / kg d.a.}$$

لتحديد النقطة الرئيسية على خريطة السيكرومترى

1- نرسم خطرا يصل بين النقطة القياسية ($t_b = 24^\circ C$ & 50%) ونقيمة 0.7 على

درج معامل الحرارة المحسوسة فتحصل على الخط القياسى.

2- من نقطة R نرسم خطرا موازيا الخط القياسى فتحصل على خط الغرفة Room line

3- من المحور الأفقي وعند $t_s = 15.64^\circ C$ نرسم خطرا رأسيا فيقطع خط الغرفة في نقطة

(S) وهي تمثل حالة هواء التغذية.

4- من نقطة S نرسم خطرا أفقيا عند $W_s = 0.0082 \text{ kg / kg}$ حتى يقطع منحنى

$\phi = 90\%$ في نقطة (d) وهي نقطة مغادرة الهواء لملف التبريد خلال العملية dM .

ونشرح الدورة كالتالى:

الهواء الخارجى كثنته m_o يخلط مع هواء الرابع كثنته m_R وتكون نقطة الخلط هي (M)

الهواء الذى كثنته m_i فى حالة M يمر على ملف التبريد فتتخفض درجة حرراته ورطوبته

خلال العملية dM حتى يغادر ملف التبريد في نقطة (d) بعد ذلك يتم تسخين الهواء تسخينا

محسوسا بواسطة السخان المتأخر خلال العملية dS حتى نقطة التغذية (S).

سعة ملف التبريد

$$q_{cc} = m_a (h_M - h_d)$$

$$= 1.2 (57.75 - 32) = 30.9, \text{ kW}$$

كمية الرطوبة المزالة

$$m_w = m_a (W_R - W_s)$$

$$= 1.2 (0.012 - 0.0082) = 4.56 \cdot 10^{-3}, \text{ kg/s}$$

سعة ملف التسخين المتأخر

$$q_{H.C} = m_a (h_S - h_d)$$

$$= 1.2 (36 - 32) = 4.8, \text{ kW}$$

Example 7-2

Space to be maintained at 24°C_{db} and 50% RH. Heat losses from the space are 66kW sensible and 16.5 kW latent. The outdoor air required is 0.9m³/s and is at 10°C_{db} and 60% RH. Determine the quantities of air supplied at 40°C_{db}, the state of supply air, the size of furnace, or heating coil, and the humidifier characteristics.

$$RSHF = \frac{q_s}{q_s + q_l}$$

$$= \frac{66}{66 + 16.5} = 0.8$$

معامل الحرارة المحسوسة

حالة الهواء في الغرفة (R) منطبق على حالة النقطة القياسية. Fig 7.11. نصل نقطة (R) مع 0.8 على تدريج معامل الحرارة المحسوسة نحصل على خط الغرفة (الذى ينطبق في هذه الحالة مع الخط القياسى). من المحور الأفقى وعند 40°C_{db} نرسم خطرا رأسيا يقطع خط الغرفة Room line في نقطة (S) التي هي حالة هواء التغذية.

وبتطبيق المعادلة (6.9) نعين كمية الهواء Q

$$Q = \frac{q_s(273 + t_s)}{360(t_s - t_R)}$$

$$= \frac{66(273 + 40)}{360(40 - 24)} = 3.59, m^3 / s$$

من خريطة السيكر ومتري عند حالة التغذية: الحجم النوعي $v_o = 0.902 m^3/kg$
نحدد كمية الهواء $m_a = Q/v = 3.59/0.902 = 3.97, kg/s$

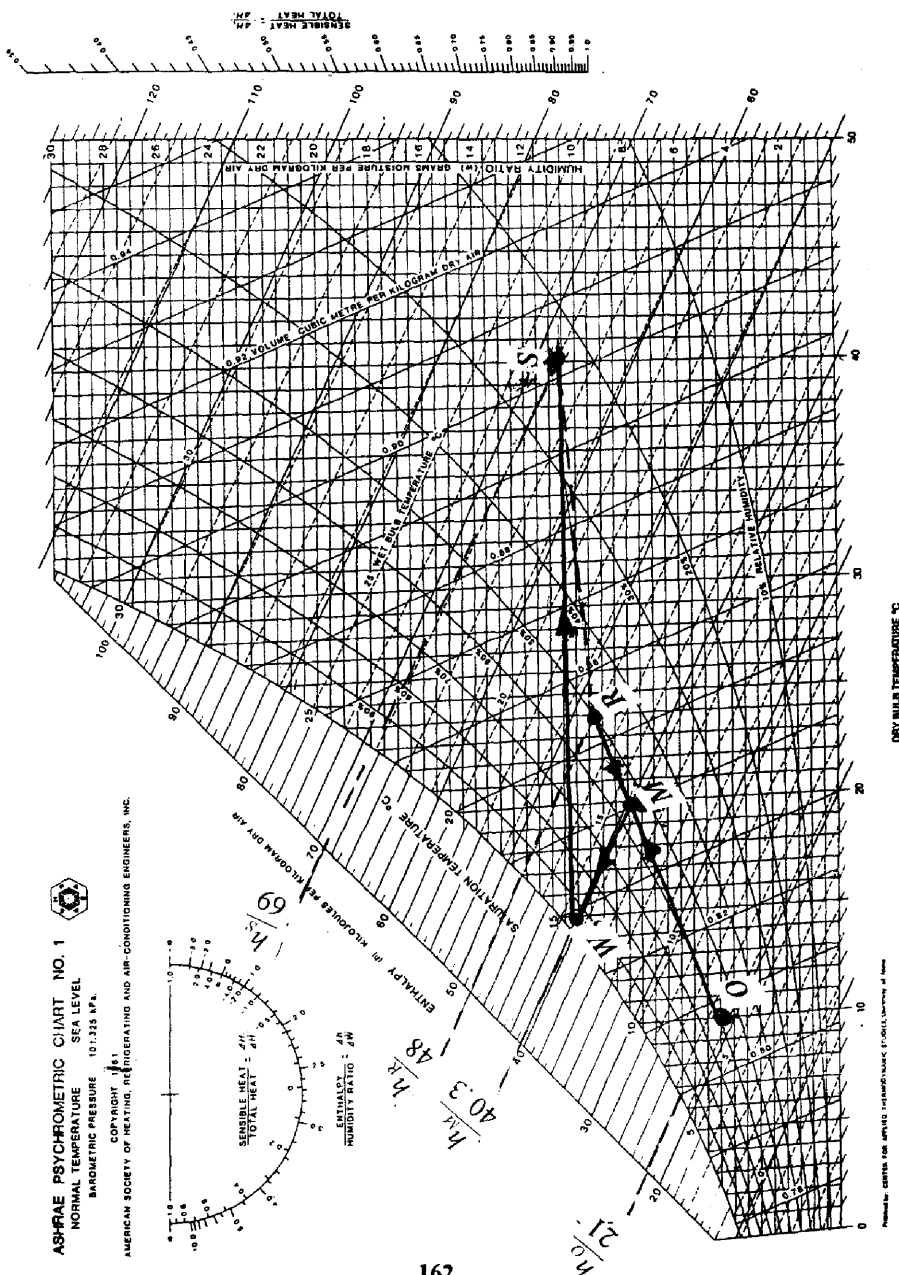
هذه الكتلة تساوى مجموع كلثي تيارى الهواء الراوح والهواء الخارجى.

$$m_a = m_{(o)} + m_R$$

$$3.97 = \frac{0.9}{v_o} + m_R$$

من خريطة السيكر ومتري: الحجم النوعي للهواء الخارجى $v_o = 0.806 m^3/kg$

$$3.97 = \frac{0.9}{0.806} + m_R$$



$$m_R = 2.85 \text{ kg/s}$$

كتلة الهواء الراوح: m_R

لا يجاد حالة الخلط نطبق قانون حفظ الطاقة

$$m_a \cdot h_M = m_O \cdot h_O + m_R \cdot h_R$$

(1)

من خريطة السيكرورمترى نقرأ

$$h_O = 21 \text{ kJ / kg} \quad \& \quad h_R = 48, \text{ kJ / kg}$$

وبالتعويض فى (1) نحصل على h_M

$$3.97 \cdot h_M = (0.9 / 0.806) 21 + 2.85 \times 48$$

$$h_M = 40.36, \text{ kJ / kg}$$

نرسم خطًا من درجة الانثالبيا $h_M = 40.36, \text{ kJ/kg}$ حتى يقطع الخط OR. نقطة

التقطاع (M) تعطى موقع حالة هواء الخلط M. الهواء في نقطة M يخضع إلى عملية

ترطيب بثبات درجة الحرارة الرطبة مقدارها $14.2C^\circ$ حتى يقطع منحنى ($\phi = 95\%$) في

نقطة (W) بعدها تجرى عملية تسخين محسوس للهواء من W إلى حالة التغذية في نقطة (S).

من الخريطة نحدد

$$q_{H,C} = m_a (h_S - h_W)$$

$$= 3.97 (69 - 40.36) = 113.7, \text{ kW}$$

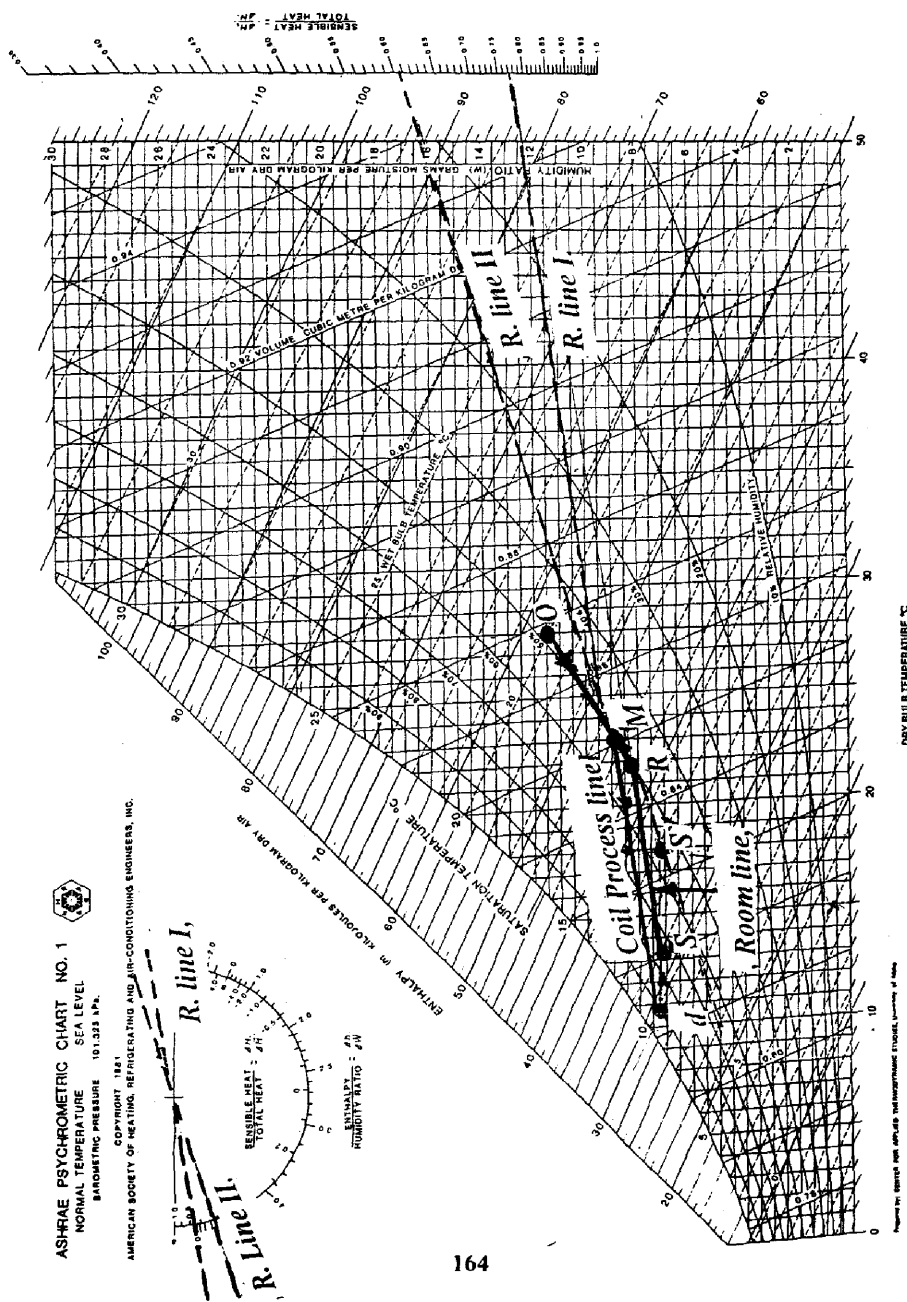
سعة غرفة الترطيب

$$m_w = m_a (W_w - W_M)$$

$$= 3.97 (0.10 - 0.008) = 7.94 \text{ kg/s.}$$

Example 7.3

An air-conditioning plant comprising outside air in take, re-circulated air, mixing chamber sprayed cooler coil, supply fan ducting handles a total of 1.26 kg/s of air. The cooler receives 20% by mass of fresh air at $28C^\circ db$, $20C^\circ wb$ and 80% of re-circulated air at $22C^\circ db$, 50%RH. The space suffers a sensible gains of 10.57,kW and latent gains of 3.24,kW, then calculate the supply air conditions. If the sensible gain diminishes to 5kW, while the latent gain remaining constant, determine the cooler capacity for partially load conditions.



بالرجوع إلى Fig 7.12 نقرأ خواص الحالات (R) ، (O)

$$h_O = 58, \text{ kJ/kg}$$

$$W_O = 0,01125 \text{ kg wv/kg d.a}$$

$$h_R = 44, \text{ kJ/kg}$$

$$W_R = 0,0083 \text{ kg wv/kg d.a}$$

انتالبيا الهواء (الخلط) قبل دخوله على ملف التبريد

$$h_M = 0.2 h_O + 0.8 h_R$$

$$= 0.2 \times 58 + 0.8 \times 44 = 47, \text{ kJ/kg}$$

نرسم خططا من تبريد الانتالبيا عند قيمة $\text{kJ/kg} = 47$ لقطع خط R.O في نقطة M. التي

هي نقطة الخلط ومنه نقرأ أن $W_M = 0,0087 \text{ kg wv/kg d.a}$ من خريطة السيكر ومتى

نقرأ أن الحجم النوعي لهواء الخلط

$$\nu = 0,846 \text{ m}^3/\text{kg}$$

\therefore معدل تدفق الهواء $Q = \nu \cdot m^3/\text{s}$

$$Q = m \times \nu = 1,25 \times 0,846 = 1,07 \text{ m}^3/\text{s}$$

نحدد حالة هواء التقنية (W_s, t_s)

$$t_s = \frac{360 \times Q \times t_R - 273 q_s}{360 Q + q_s} = \frac{360 \times 1,07 \times 22 - 273 \times 11,57}{360 \times 1,07 + 11,57} = 13,4, \text{C}^\circ$$

$$q_s = \frac{860000 \times Q (W_R - W_s)}{273 + t_s}$$

$$3,24 = \frac{860000 \times 1,07 \times (0,0083 - W_s)}{273 + 13,4}$$

$$W_s = 7,29 \cdot 10^{-3}, \text{ kg wv/kg d.a.}$$

معامل الحرارة المحسومة للغرفة RSHF

$$RSHF = \frac{q_s}{q_s + q_i} = \frac{11,57}{11,57 + 3,24} = 0,78$$

صل نقطة (S) مع نقطة R تعطي خط الغرفة Room line

صل النقطة القياسية مع SHF = 0.78 يعطي الخط القياسي R.line إذا كان الخطان متوازيان وهذا مؤشر على سلامة الخطوط.

من النقطة (S) أرسم خطأ افقيا حتى يقطع المنحنى 90% - φ في نقطة (d) وهي نقطة

مغادرة الهواء لملف التبريد عبر تبريد الهواء وإزالة رطوبته خلال العملية (dM)

$$q_{cc} = m_a (h_M - h_a)$$

سعة ملف التبريد

$$= 1,26 (47 - 29) = 22,68, \text{ kW}$$

العملية Sd هي عملية تسخين محسوس لهواء قد تتم بمرور الهواء على موتور المروحة أو قد تزود وحدة المناولة بسخان متاخر لهذا الغرض سعته $q_{H,C}$

$$q_{H,C} = m_a (h_s - h_d)$$

$$= 1.26 (32 - 29) = 3.78, \text{ kW}$$

في حالة الحمل الجزئي وبفرض ثبات كمية الهواء المارة

$$RSHF = \frac{q'_s}{q'_s + q_i} = \frac{5}{5 + 3.24} = 0.61$$

$$t_s = \frac{360 \times Q \times t_R - 273 - q'_s}{360 \times Q + q'_s}$$

$$= \frac{360 \times 1.07 \times 22 - 273 \times 5}{360 \times 1.07 + 5} = 18.22 C^\circ$$

$$q_i = \frac{860000 \times Q (W_R - W_s)}{273 + t_s}$$

$$3.24 = \frac{860000 \times Q \times (0.0083 - W_s)}{273 + 18.22}$$

$$W_s = 7.27 \cdot 10^3 \text{ kg wv / kg d.a.}$$

نرسم من نقطة (s) خطأ أفقيا في اتجاه $90\% = \phi$ حتى يقطعه في (d) مصادفة نقطة

القطاع الطبقت مع نقطة (d) في الحالة السابقة.

فيكون سعة ملف التبريد دون تغيير.

Problems.

7.1 As air- conditioned space is being held at 26,5°C^odb, 50%RH. A flow rate of 3000 L/s of supply air at 14C° and 90% RH, is being delivered to the space, to maintain that steady conditions. Find

- sensible and latent heats absorbed from the room air.
- The room SHF.

Ans. a : 32,5,kW, 10kW b: RSHF = 0.753

7-2 A building has a total heating load of 52,6 kW. The sensible heat factor for the space is 0.8. The space is to be maintained at 22C°db, 40% RH. Outdoor air at 5C° and 20% RH, in the amount of 0.472 m³/s is required. Air is supplied to the space at 49C° Find:

- The conditions and the amount of air supplied to the space.
- The temperature rise of air through the furnace.
- The amount of water at 10C° required to the humidifier.
- The capacity of the furnace.

7.3 The air in a room is to be maintained at 22C°db, 50% RH, by supplying of air at the temperature of 12C°. The design conditions are as follows.

Sensible heat gains 6kW, latent heat gains 1.2,kW. Outdoor conditions are: 32C°db & 24C°wb. The ratio of re-circulated air to fresh air is fixed at 3: 1 by mass. Plant consists of a direct expansion cooler, re-heater and constant speed fan allowing 1C° for fan power. Calculate:

- The supply air quantity in m³/s and its moisture content
- The load on the refrigeration plant.
- The cooler coil CF and BF.

Ans. (a) : $Q = 0.6 \text{ m}^3/\text{s}$, $W = 0.007 \text{ kg wv / kg d.a.}$

(b) : $q_{cc} = 13.6 \text{ kW}$, (c) : $CF = 0.88$, $BF = 0.12$.

7.4 The following design data has been established for the High Life Insurance Company Office building: Sensible heat gain 222.7,kW and 44,kW latent heat gain.

Outside design conditions: 35°C db & 24°C wb

Inside design conditions: 25°C db & 50%RH

Outside air required is $3.18, \text{m}^3/\text{s}$

Supply air temperature is 14°C

Determine :

- a. Supply air in m^3/s .
- b. Supply air conditions .
- c. Conditions of entering cooling coil .
- d. Cooling coil sensible and latent heat, and total load.

7.5 An air-conditioned space has sensible cooling load of 59, kW and a room latent cooling load of 14.65,kW. It is maintained at 24°C db and 18°C wb . There are $0.57, \text{m}^3/\text{s}$ of air vented through cracks and hoods in the space. The outdoor air which is at the design conditions of 35°db and 24°wb is mixed with return air before it enters the air conditioning units.

- a. Sketch the equipment and duct arrangement showing the known information.
- b. Calculate RSHF.
- c. Find the required air flow rate in m^3/s for supply air temperature of 16°C db
- d. Determine the total cooling load
- e. What is the effective surface temperature (apparatus dew point)?
- f. What is the coil CF and BF?

7.6 A refrigeration chiller supplies chilled water to an air conditioning unit, the unit takes $1.415, \text{m}^3/\text{s}$ of outdoor at 35°C db and 24°C wb . This outdoor mixes with $9.44\text{m}^3/\text{s}$ of return air at 26°C db and 50%RH

Conditioned air leaves the cooling coil in the air-conditioning coil at 11°C^odb and 90%RH.

A- What is the load on the chiller due to the coil in the air conditioning unit?

B- Assume that the conditioned air is reheated to 20°C^odb with electric heaters. What is the operating cost per hour of these heater if the power costs 0.20LE per KW/h. ?

7.7 A building has a calculated load of 410kW, of which 100, kW is latent. The space is to be maintained at 25°C^odb, 50%RH. Outdoor air is at 38°C^odb and 50%RH. 10% of supplied air to the space by mass is outdoor. Air is to be supplied to the space not less than 18°C^o. Find:

- The minimum amount of air supplied to the space.
- The volumetric flow rates of return air exhaust, and outdoor air.
- The conditions and the volumetric flow rate of the air entering the cooling coil.
- The capacity of the apparatus, dew point, CF, and SHF of the cooling coils.

Ans. (a) : 29.4, m³/s, (b) : $Q_R = 26.73 \text{ m}^3/\text{s}$, $Q_E = Q_O = 3.29, \text{ m}^3/\text{s}$
(c): $h_M = 55.15 \text{ kJ/kg}$, $Q_s = 29.4 \text{ m}^3/\text{s}$ & $w_m = 0.011 \text{ kg wv / kg d.a}$
(d) : $q_{CC} = 722.1 \text{ kW}$, & $dP = 10\text{C}^{\circ}$ & $CF = 0.88$ & $SHF = 0.7$

7.8 An enclosed swimming pool has sensible heat loss of 88,kW and a latent heat gain of 110, kW on a design day, when the outdoor air is at 2°C^odb and 20% RH. The space is to be maintained at 24°C^o and 50% RH. Outdoor is to be heated to 16°C^o, mixed with re-circulated air from the conditioned space and then heated to the supply conditions.

- At what rate, in, m³/s, is the air supplied to the space if the supply temperature is equal to 35°C^o?
- In what rate in m³/s is the outdoor and re-circulated air flowing?
- What is the capacity of preheating coil?

8

تصميم مسالك الهواء

AIR DUCT WORK DESIGN

General

مقدمة

الهواء المكيف الذي يخرج من جهاز تكييف الهواء أو وحدة المناولة (Air handling unit AHU) يوزع على الأماكن المختلفة بواسطة مسالك أو مجاري (Ducts) . فبعد خروج الهواء مباشرة يمر داخل مجاري هواء موصله مباشرة بجهاز التكييف تسمى مسالك التغذية الرئيسية (Main supply ducts) . وإذا تفرعت هذه المسالك إلى مسالك فرعية لتنقية المناطق (Zones) تسمى مسالك تغذية فرعية Branch supply ducts حتى تصل إلى أماكن التغذية داخل الغرفة . فيخرج الهواء من خلال المخارج Outlets التي تكون في صورة نوافر Diffusers أو مستقبلات Registers . ينتشر الهواء في الغرفة فيفرد أو يسخن المكان حسب الحاجة ويتعامل مع ما به من ملوثات مثل ثاني أكسيد الكربون والادخنة والرطوبة المتولدة في المكان ويتم سحبه إلى جهاز التكييف مرة أخرى أو إخراجه كلياً أو جزئياً من خلال مسالك تسمى مسالك هواء راجع فرعية Branch return ducts والتي تصب في النهاية في مسلك الهواء الراجع الرئيسي Main return duct

الهواء الخارج من جهاز التكييف يدفع داخل المجاري التي تقوم بتوزيعه على الأماكن المختلفة بتأثير الضغط الذي تولده مروحة الجهاز . ونظراً لأن جهاز التكييف قد يخدم أكثر من مكان ذي احتياجات مختلفة من الهواء فقد تتجه المسالك إلى أعلى أو أسفل من خلال مسالك مستقيمة Straight ducts ومن خلال تركيبات Fittings . يعاني مرور الهواء داخل المسالك من الاحتكاك الذي ينشأ عن ملامسة الهواء أثناء مروره على السطح الداخلي للمسالك فينشأ فقد للضغط خلال المسالك المستقيمة Straight duct بالإضافة إلى انخفاض الضغط الذي تسببه الدوامات الهوائية المتولدة نتيجة تغيير اتجاه أو سرعة أو معدل تدفق الهواء . كل هذا مجتمعاً

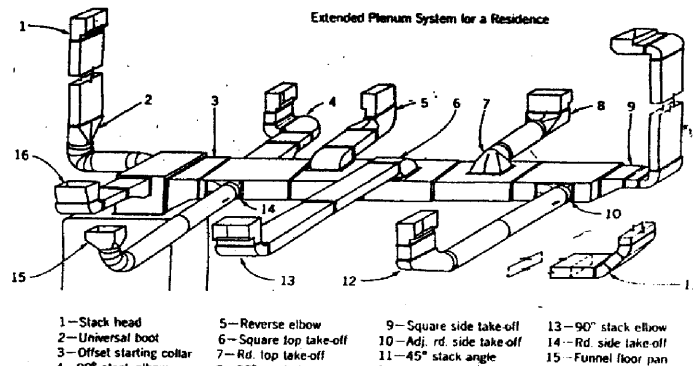
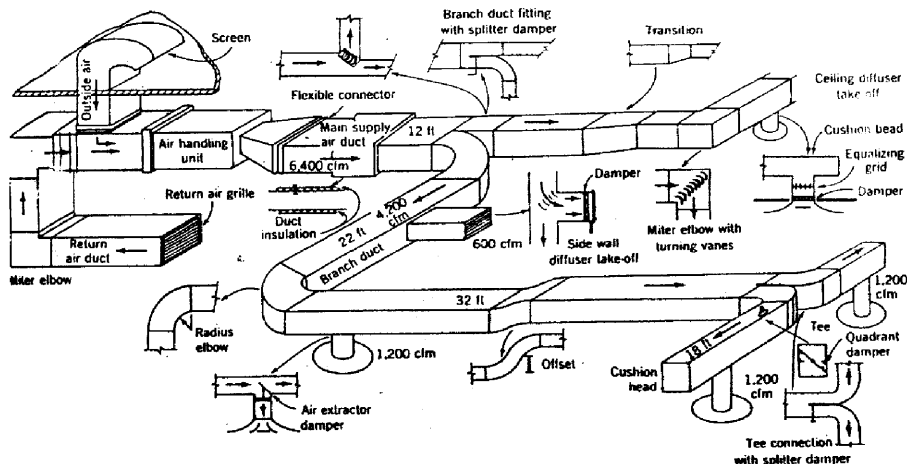


Figure 8.1 Phantom layout of two A/C systems showing certain ductwork details and commonly used fittings

يسؤدي إلى فقد في الضغط . ويعمل التصميم الصحيح لمجاري الهواء على تحديد مقدار هذا فقد بدرجة تجعل مروحة الجهاز أن تتغلب عليه وتقوم بدفع الكمية المطلوبة من الهواء للأماكن المختلفة

8.1 فقد الضغط في المسالك المستقيمة

8.1 Pressure Loss in Straight Ducts

المعادلة الرئيسية لفقد الضغط في الأنابيب أو المسالك ذات المقطع الدائري هي

$$\Delta P = f \frac{L V^2}{D} \rho \quad (8.1)$$

حيث ρ كثافة الهواء , m^3/kg

L طول المسارك , m

D قطر المسارك , m

V هي السرعة المتوسطة , m/s

f معامل مودي Moody للاحتكاك

هذا المعامل يعتمد على رقم رينولدز Re Reynolds number والخشونة النسبية للسطح (ϵ/D) ويمكن تقدير f من خريطة مودي Moody chart والمعينة في Fig 8.2 أو يمكن حسابها في معادلة Colebrook - White

. Colebrook - White معادلة التقريرية

$$\frac{1}{\sqrt{f}} = -2 \log \left(\frac{\epsilon}{2.7 D_h} + \frac{2.51}{Re \sqrt{f}} \right) \quad (8.2)$$

و المعادلة التقريرية

$$f = 0.11 \left(\frac{\epsilon}{D_h} + \frac{68}{Re} \right)^{0.25} \quad (8.3)$$

حيث (ϵ, mm) الخشونة المطلقة للسطح ويمكن الحصول عليها لبعض الأسطح من Table 8.1 رقم رينولدز Re Reynolds number يمكن حسابه من المعادلة

$$Re = \frac{\rho V D}{\mu} \quad (8.4)$$

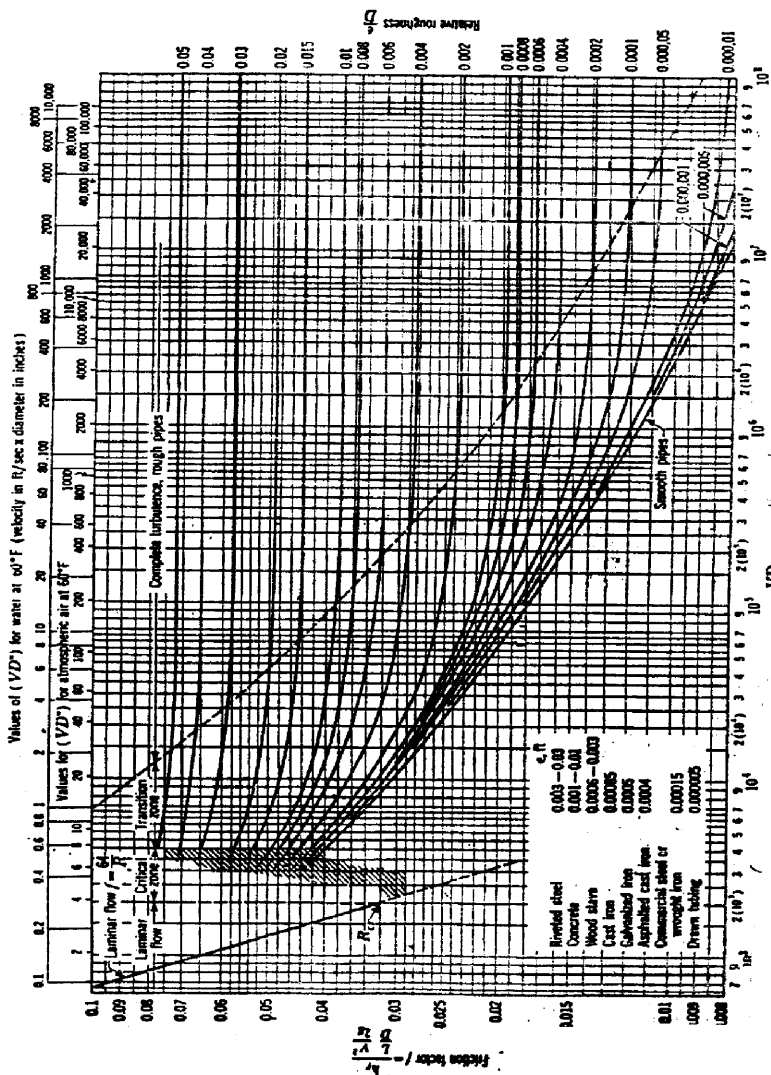


Figure 8.2 Moody chart

(This diagram, reproduced on a larger scale, is in an envelope attached to the

حيث D_h اللزوجة المبنية و يمكن تقديرها من جداول خواص الهواء .
 للسلوك الغير دائري يمكن استخدام تعبير القطر الهيدروليكي (D_h Hydraulic diameter) في رقم Re والذي يمكن حسابه كما يلي :

$$D_h = \frac{4A}{P} , \text{ m} \quad (8.5)$$

حيث A مساحة المقطع العرضي للسلوك , m^2
 P محيط المقطع العرضي للسلوك , m

في الظروف القياسية فان Re يمكن حسابه تقريباً من المعادلة

$$Re = 66400 D_h V \quad (8.6)$$

بمعلومة الخشونة النسبية ورقم رينولدز Re يمكن تقدير معامل الاحتكاك f من معادلة (8.2) أو (8.3) وبالتعويض في معادلة (8.1) يمكن الحصول على فقد الضغط ΔP .
 لتسهيل عملية تعيين فقد الضغط في المسالك المستقيمة ذات المقطع الدائري يمكن الاستعانة بـ Fig 8.3 والذى يمزج بين معدل تدفق الهواء (Q , L/s) والقطر (D , mm) وسرعة الهواء (V , m/s) ومعدل فقط الضغط للمنطقة الطولية ($\Delta P_f/m$, Pa/m) وبمعلومة أي عنصرتين (V, D, Q) يمكن تعيين ($\Delta P_f/m$) وبمعرفة طول المسالك L فيكون فقد الضغط نتيجة الاحتكاك في هذا المسالك :

$$\Delta P = \frac{\Delta P_f}{m} \times L \quad P_s , \quad (8.7)$$

8.2 فقد الضغط في المسالك ذات مقطع مستطيل

8.2 Pressure Drop in Rectangular Ducts

فقد الضغط في المسالك ذات المقطع المستطيل أكبر مقارنة بالفقد في المسالك ذات المقطع الدائري والتي تتساوى معها في مساحة المقطع والسعه . ومن الناحية العملية المسالك ذات المقطع المستطيل ذات نسبة باعية ($8 < A < 1$) سوف يكون لها نفس فقد في الضغط لنفس السرعة المتوسطة للتدفق في المسالك ذات المقطع الدائري والذي يتتساوى معه في القطر

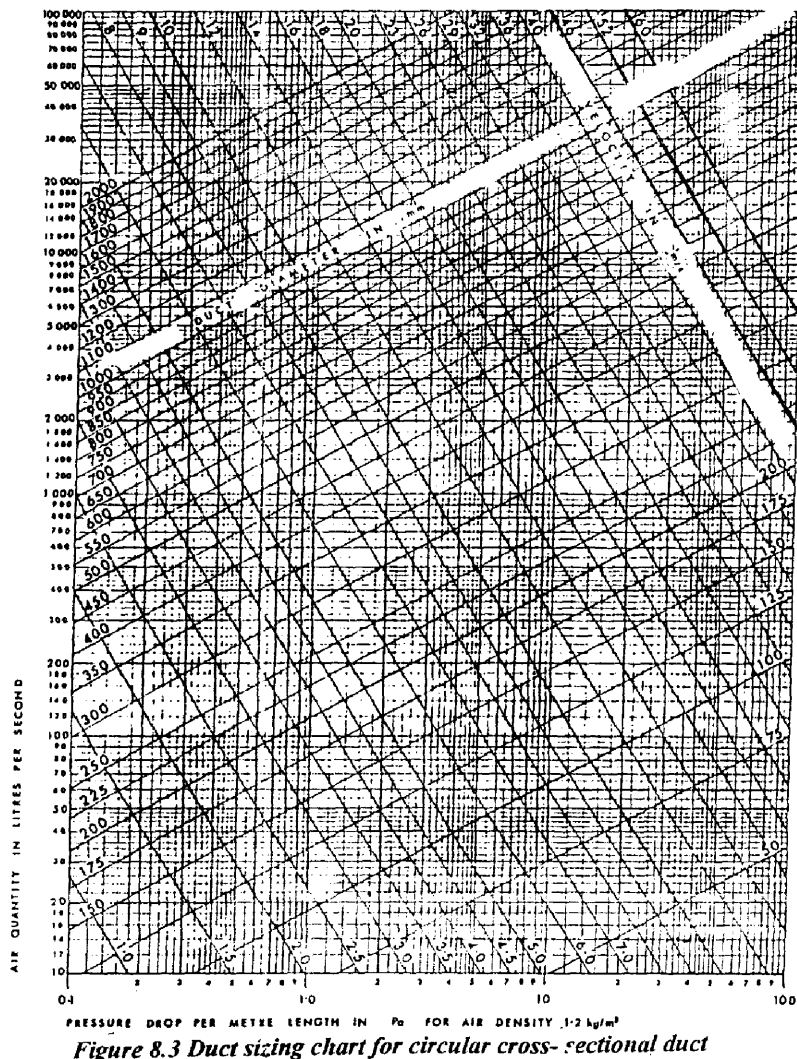


Figure 8.3 Duct sizing chart for circular cross-sectional duct

Table 8.1 Relative roughness.

Material	ϵ [mm]
Unclad, clean carbon steel	
PVC pipe	0,03
Aluminium	
Zinc-plated steel, longitudinal seam, flanging every 1200 mm	0,09
Zinc-plated steel and spiral seam with 1, 2 and 3 ribs and flanging every 3600 mm	
Pre-insulated aluminium P3ductal ducts	0,12
Zinc-plated steel, longitudinal seam, flanging every 750 mm	0,15
Stiff fibre-glass ducts	0,9
Ducts with internal fibre-glass facing	
Flexible metal pipe (when completely extended)	3,0
Flexible pipe (all types)	
Concrete	

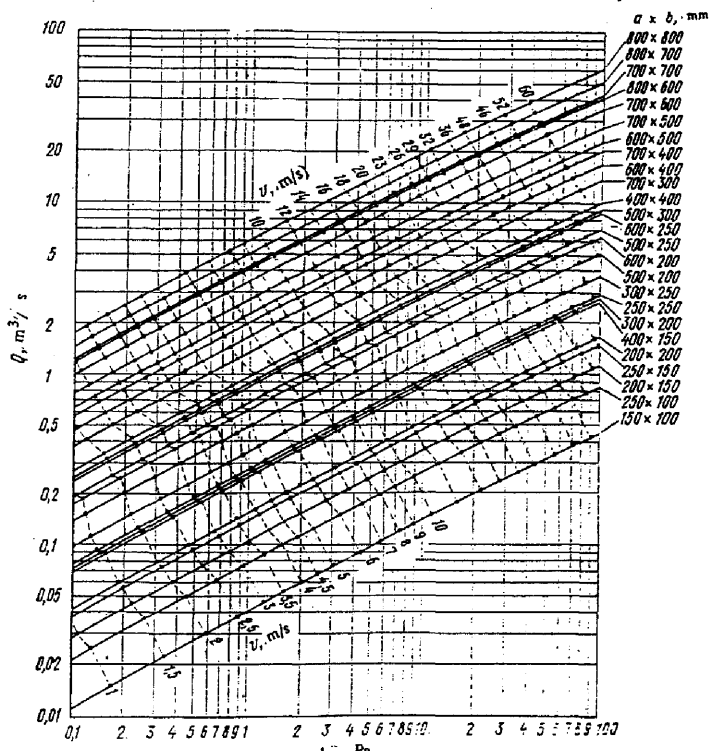


Figure 8.4 Duct sizing chart for rectangular cross- sectional duct

الهيدوليكي D_h . لاستخدام المخطط في (Fig 8.3) يجب استخدام تعبير القطر المكافئ والذى يمكن حسابه من المعادلة Equivalent diameter (D_{eq})

$$D_{eq} = 1.3 \frac{(ab)^{0.625}}{(a+b)^{0.25}} \quad m, \quad (8.8)$$

حيث a, b أبعاد المقطع العرضي للمسار المستطيل .

لاحظ أن D_h لا تساوى D_{eq}

تأسسا على Eq (8.8) تم وضع Table 8.2 لتعيين أما (a, b) أو لتعيين D_{eq} . كما يمكن استخدام Fig 8.4 لتعيين فقد الضغط في المسار ذات المقطع المستطيل مباشرة دون تعين D_{eq}

Example 8.1

A rectangular duct has dimensions of $0.25_m \times 1_m$. Using Fig (8.3), determine the pressure drop per meter length when $1.2 \text{ m}^3/\text{s}$ of air flows through the duct

تعين أولاً القطر المكافئ

$$\begin{aligned} D_{eq} &= 1.3 (ab)^{0.625} / (a+b)^{0.25} \\ &= 1.3 (0.25 \times 1)^{0.625} / (1.25)^{0.25} = 0.52 \text{ m}. \end{aligned}$$

بالدخول في Fig 8.3 وعند تقاطع معدل التدفق $Q = 1200 \text{ L/s}$ ، مع القطر $m = 0.52$ ، مع التطرف $(\Delta P_f / m) = 0.7 \text{ Pa}$ نجد أن معدل فقد الضغط للمتر الطولى هو

8.3 فقد الضغط في المسالك البيضاوية

8.3 Pressure Loss in Oval Duct

في بعض التطبيقات قد تستخدم المسالك البيضاوية يمكن تعين فقد الضغط فيها باستخدام المخطط للمسالك الدائرية من خلال القطر المكافئ الذي يحدد بالمعادلة :

$$D_{eq} = 1.55 A^{0.625} / P^{0.25} \quad m. \quad (8.9)$$

حيث مساحة المقطع A تحدد بالمعادلة

Table 8.2 Equivalent rectangular.

150		200		250		300		350		400		450		500	
Diam. [mm]	Sect. [m ²]														
150	164	0.0211													
180	189	0.028	219	0.0376											
200	210	0.0346	244	0.0467	273	0.0585									
220	223	0.0412	266	0.0555	299	0.0702	328	0.0845							
240	245	0.0471	286	0.0642	322	0.0814	354	0.0984	383	0.1152					
260	260	0.0531	305	0.073	343	0.0924	378	0.1122	409	0.1313	437	0.1499			
280	274	0.0589	321	0.0809	363	0.1034	400	0.1256	433	0.1472	464	0.169	492	0.19	
300	287	0.0647	337	0.0892	381	0.114	420	0.1385	455	0.1625	488	0.1869	518	0.2106	547
320	299	0.0702	352	0.0973	398	0.1243	439	0.1513	477	0.1786	511	0.205	543	0.2315	573
340	310	0.0754	365	0.1046	414	0.1345	457	0.1639	496	0.1931	533	0.223	567	0.2524	598
360	321	0.0809	378	0.1122	429	0.1445	474	0.1764	515	0.2082	553	0.2401	589	0.2723	622
380	331	0.086	391	0.12	443	0.1541	490	0.1805	533	0.223	573	0.2577	610	0.2971	644
400	341	0.0913	402	0.1269	457	0.1639	506	0.201	550	0.2375	592	0.2751	630	0.3116	666
420	350	0.0962	414	0.1345	470	0.1734	520	0.2123	567	0.2524	609	0.2911	649	0.3306	687
440	359	0.1012	424	0.1411	482	0.1824	534	0.2238	582	0.2659	626	0.3076	668	0.3503	706
460	367	0.1057	435	0.1485	494	0.1916	548	0.2357	597	0.2798	643	0.3246	686	0.3694	726
480	376	0.111	445	0.1554	506	0.201	561	0.2471	612	0.294	659	0.3409	703	0.388	744
500	384	0.1158	454	0.1618	517	0.2098	574	0.2586	626	0.3076	674	0.3566	719	0.4058	762
520	391	0.12	464	0.169	528	0.2188	586	0.2696	639	0.3025	689	0.3727	735	0.4241	779
540	399	0.125	473	0.1756	538	0.2272	598	0.2807	652	0.3337	703	0.388	751	0.4427	795
560	406	0.1294	481	0.1816	548	0.2357	609	0.2911	665	0.3471	717	0.4036	766	0.4606	812
580	413	0.1339	490	0.1885	558	0.2444	620	0.3018	677	0.3598	731	0.4195	780	0.4776	827
600	418	0.1497	568	0.2533	631	0.3126	689	0.3727	744	0.4345	795	0.4961	843	0.55	
620	506	0.201	577	0.2613	642	0.3235	701	0.3857	757	0.4498	808	0.5125	857	0.57	
640	514	0.2074	586	0.2696	652	0.3337	713	0.3991	769	0.4642	822	0.5304	872	0.59	
660	595	0.2779	662	0.344	724	0.4115	781	0.4788	835	0.5473	886	0.5645	900	0.61	
680	604	0.2864	672	0.3545	735	0.4241	793	0.4936	844	0.5645	890	0.5806	913	0.65	
700	612	0.294	681	0.3641	745	0.4357	805	0.5087	860	0.5807	893	0.6789	928	0.76	
720	621	0.3027	691	0.3748	756	0.4487	816	0.5227	873	0.5983	926	0.67			
740			700	0.3847	766	0.4606	827	0.5369	885	0.6148	939	0.69			
760			709	0.3946	775	0.4777	838	0.5513	897	0.6316	952	0.71			
780			718	0.4047	785	0.4837	849	0.5658	908	0.6472	964	0.72			
800			726	0.4138	795	0.4961	859	0.5792	919	0.6633	976	0.74			
820			735	0.4241	804	0.5074	969	0.5922	930	0.6789	988	0.76			
840			743	0.4334	814	0.5201	879	0.6065	941	0.6851	1000	0.78			
860			751	0.4427	823	0.5317	889	0.6204	952	0.7114	1012	0.80			
880			759	0.4522	831	0.5421	899	0.6344	963	0.728	1023	0.82			
900			767	0.4618	840	0.5539	908	0.6472	973	0.7432	1034	0.83			
920			775	0.4715	849	0.5658	918	0.6615	983	0.7585	1045	0.85			
940			782	0.481	857	0.5765	927	0.6746	993	0.774	1055	0.87			
960			790	0.4899	865	0.5887	935	0.6877	1003	0.7857	1066	0.89			
980			797	0.4986	874	0.5996	945	0.701	1013	0.8055	1076	0.906			
1000			805	0.5087	882	0.6107	954	0.7144	1022	0.8199	1087	0.92			
1020			812	0.5176	890	0.6218	963	0.728	1031	0.8344	1097	0.94			
1040			819	0.2655	896	0.6333	971	0.7401	1041	0.8507	1107	0.962			
1060			826	0.5356	905	0.6429	980	0.7539	1050	0.8655	1116	0.977			
1080			833	0.5447	913	0.6544	988	0.7663	1059	0.8804	1126	0.995			
1100			840	0.5539	920	0.6644	996	0.7787	1068	0.8954	1136	1.013			
1120			848	0.5631	928	0.676	1004	0.7913	1076	0.9089	1145	1.029			
1140			855	0.5723	935	0.6863	1012	0.8064	1085	0.9241	1154	1.045			
1160			862	0.5815	942	0.6966	1020	0.8167	1093	0.9395	1163	1.061			
1180			869	0.5907	950	0.7065	1028	0.8296	1102	0.9533	1173	1.080			
1200			876	0.600	957	0.7129	1036	0.8425	1110	0.9672	1181	1.094			
1220			883	0.6092	964	0.7295	1043	0.854	1119	0.9829	1190	1.11			
1240			890	0.6185	970	0.7385	1051	0.8671	1127	0.9971	1199	1.128			
1260			897	0.6278	977	0.7493	1058	0.8787	1135	1.0113	1208	1.145			
1280			904	0.6361	984	0.7601	1066	0.892	1143	1.0256	1216	1.160			
1300			911	0.6779	1073	0.9038	1151	1.04	1225	1.178					

	550	600	650	700	750	800	850	900	950	1000		
	Diam.	Sect.										
	[mm]	[m²]										
150												
200												
250												
300												
350												
400												
450												
500												
550	601	0,2835										
600	628	0,3096	656	0,3378								
650	653	0,3347	683	0,3662	711	0,3968						
700	677	0,3596	708	0,3935	737	0,4264	765	0,4594				
750	700	0,3847	732	0,4206	763	0,457	792	0,4924	820	0,5278		
800	722	0,4092	755	0,4475	787	0,4862	818	0,5253	847	0,5632	875	0,601
850	743	0,4334	778	0,4751	811	0,5163	842	0,5565	872	0,5969	901	0,6373
900	763	0,457	799	0,5011	833	0,5447	866	0,5887	897	0,6316	927	0,6746
950	783	0,4813	820	0,5278	855	0,5739	889	0,6204	921	0,6659	952	0,7114
1000	802	0,5048	840	0,5539	876	0,6024	911	0,6515	944	0,6995	976	0,7478
1050	820	0,5278	859	0,5792	897	0,6316	932	0,6819	967	0,734	1000	0,785
1100	838	0,5513	878	0,6051	916	0,6587	953	0,7129	988	0,7663	1022	0,8199
1150	855	0,573	898	0,6302	936	0,6877	973	0,743	1009	0,7992	1044	0,8556
1200	872	0,596	914	0,6558	954	0,7144	99	0,774	1030	0,832	1066	0,892
1250	888	0,619	931	0,6804	973	0,7432	1012	0,804	1050	0,8555	1086	0,9258
1300	904	0,6415	948	0,7055	990	0,7694	1031	0,8344	1069	0,971	1107	0,962
1350	919	0,663	964	0,7295	1007	0,796	1048	0,8638	1088	0,929	1126	0,993
1400	934	0,6848	988	0,7539	1024	0,8231	1066	0,92	1107	0,962	1146	1,031
1450	949	0,707	1006	0,7787	1041	0,8507	1084	0,9224	1125	0,9935	1165	1,064
1500	963	0,728	1011	0,8024	1057	0,877	1100	0,9499	1143	1,0256	1183	1,0986
1550	977	0,7493	1026	0,8254	1072	0,9021	1117	0,9794	1160	1,0561	1201	1,1322
1600	991	0,7709	1041	0,8507	1088	0,9292	1133	1,0077	1171	1,0875	1219	1,1665
1650	1005	0,7923	1055	0,8737	1103	0,955	1149	1,0364	1183	1,1173	1236	1,1992
1700	1018	0,8135	1069	0,8971	1118	0,9812	1164	1,0635	1209	1,1471	1253	1,2325
1750	1031	0,8347	1082	0,919	1132	1,0059	1180	1,093	1225	1,178	1270	1,2661
1800	1043	0,854	1096	0,943	1146	1,031	1195	1,121	1241	1,209	1286	1,2982
1850	1056	0,8754	1109	0,9655	1160	1,0563	1209	1,1474	1256	1,2384	1302	1,3307
1900	1068	0,8954	1122	0,9862	1174	1,0819	1224	1,1761	1271	1,2681	1318	1,3636
1950	1080	0,9154	1135	1,0113	1187	1,106	1238	1,2031	1286	1,3292	1333	1,3949
2000	1092	0,9361	1147	1,0328	1201	1,1304	1252	1,2305	1301	1,3287	1348	1,4264
2050	1104	0,9568	1160	1,0563	1210	1,155	1265	1,2562	1315	1,3574	1363	1,4583
2100	1115	0,9759	1172	1,0783	1228	1,1799	1329	1,2841	1370	1,3865	1398	1,4906
2150	1126	0,9953	1184	1,1005	1239	1,2051	1292	1,3104	1343	1,4159	1392	1,5211
2200	1137	1,0148	1195	1,121	1251	1,2285	1305	1,3369	1356	1,4434	1406	1,5518
2250	1148	1,0346	1207	1,1436	1263	1,252	1318	1,4338	1370	1,4734	1420	1,5829
2300	1159	1,0545	1218	1,1646	1275	1,2761	1330	1,3886	1383	1,5015	1434	1,6142
2350	1169	1,0728	1230	1,1876	1287	1,3002	1343	1,4159	1396	1,5298	1448	1,6459
2400	1180	1,093	1241	1,2089	1299	1,3246	1355	1,4413	1409	1,5584	1461	1,6756
2450	1190	1,1116	1252	1,2305	1310	1,3471	1367	1,4669	1422	1,5873	1474	1,7056
2500	1200	1,1304	1262	1,2502	1322	1,3719	1373	1,4928	1434	1,6147	1488	1,7381
2550	1210	1,1493	1273	1,2721	1333	1,3949	1381	1,5189	1446	1,6414	1500	1,7663
2600	1220	1,1684	1283	1,2922	1344	1,418	1402	1,543	1459	1,671	1513	1,797
2650	1230	1,1876	1294	1,3144	1355	1,4413	1414	1,5699	1471	1,6986	1526	1,828
2700	1240	1,207	1304	1,3348	1366	1,4646	1425	1,594	1483	1,7264	1538	1,8567
2750	1249	1,2246	1314	1,3554	1376	1,4863	1436	1,6187	1494	1,7521	1550	1,886
2800	1259	1,2443	1324	1,3761	1387	1,5102	1447	1,6436	1506	1,7804	1562	1,9153
2850	1268	1,2621	1334	1,397	1397	1,532	1458	1,6681	1517	1,8065	1574	1,9444
2900	1277	1,2801	1344	1,418	1408	1,5562	1469	1,694	1529	1,8352	1586	1,9746
2950	1286	1,2982	1353	1,437	1418	1,5784	1480	1,7195	1540	1,8617	1598	2,0046
3000	1295	1,3165	1363	1,4583	1428	1,6008	1490	1,7428	1551	1,8884	1609	2,0323

	1050	1100	1150	1200	1250	1300	1350	1400	1450	1500		
Diam.	Sect.	Diam.										
[mm]	[m ²]	[mm]										
150												
200												
250												
300												
350												
400												
500												
600												
650												
700												
750												
800												
850												
900												
950												
1000												
1050	1148	1,035										
1100	1175	1,064	1202	1,134								
1150	1201	1,132	1229	1,186	1257	1,240						
1200	1226	1,180	1256	1,238	1284	1,294	1312	1,351				
1250	1251	1,229	1281	1,288	1310	1,347	1339	1,407	1366	1,465		
1300	1275	1,276	1306	1,339	1336	1,401	1365	1,463	1393	1,523	1421	1,585
1350	1299	1,325	1330	1,389	1361	1,454	1391	1,519	1420	1,583	1448	1,646
1400	1322	1,372	1354	1,439	1385	1,506	1416	1,574	1446	1,641	1475	1,704
1450	1344	1,418	1377	1,489	1409	1,558	1440	1,622	1471	1,699	1500	1,766
1500	1366	1,465	1400	1,539	1433	1,612	1464	1,683	1495	1,755	1526	1,828
1550	1388	1,512	1422	1,587	1455	1,662	1488	1,738	1519	1,811	1550	1,886
1600	1409	1,558	1444	1,637	1478	1,715	1511	1,792	1543	1,869	1574	1,945
1650	1430	1,605	1461	1,685	1500	1,766	1533	1,845	1566	1,925	1598	2,005
1700	1450	1,651	1486	1,733	1521	1,816	1555	1,898	1589	1,982	1621	2,063
1750	1470	1,696	1507	1,783	1542	1,867	1577	1,952	1611	2,037	1644	2,122
1800	1489	1,740	1527	1,830	1563	1,918	1596	2,005	1633	2,093	1667	2,181
1850	1509	1,788	1546	1,876	1583	1,967	1619	2,058	1654	2,148	1689	2,238
1900	1527	1,830	1566	1,925	1603	2,017	1640	2,111	1676	2,205	1710	2,295
1950	1546	1,876	1585	1,972	1623	2,068	1660	2,163	1696	2,258	1732	2,355
2000	1564	1,920	1604	2,020	1642	2,117	1680	2,216	1717	2,314	1753	2,412
2050	1582	1,965	1622	2,065	1661	2,166	1699	2,266	1737	2,369	1773	2,468
2100	1600	2,010	1640	2,111	1680	2,216	1719	2,320	1756	2,421	1793	2,524
2150	1617	2,053	1658	2,158	1698	2,263	1738	2,371	1776	2,476	1813	2,580
2200	1634	2,096	1767	2,205	1716	2,312	1756	2,421	1795	2,529	1833	2,638
2250	1651	2,140	1693	2,250	1734	2,360	1775	2,473	1814	2,593	1852	2,693
2300	1667	2,181	1710	2,295	1752	2,410	1793	2,524	1832	2,635	1871	2,748
2350	1684	2,226	1721	2,341	1769	2,457	1810	2,572	1851	2,690	1890	2,804
2400	1700	2,269	1744	2,388	1786	2,504	1824	2,622	1869	2,764	1908	2,861
2450	1716	2,312	1760	2,432	1803	2,552	1845	2,672	1887	2,795	1927	2,915
2500	1731	2,352	1776	2,476	1820	2,600	1862	2,722	1904	2,846	1945	2,970
2550	1747	2,396	1792	2,521	1836	2,646	1879	2,772	1922	2,900	1963	3,025
2600	1762	2,437	1808	2,566	1852	2,693	1896	2,822	1939	2,951	1988	3,076
2650	1777	2,479	1823	2,609	1868	2,739	1912	2,870	1956	3,003	1998	3,134
2700	1792	2,521	1839	2,655	1884	2,785	1929	2,921	1972	3,053	2015	3,187
2750	1806	2,560	1854	2,698	1900	2,834	1945	2,970	1989	3,106	2032	3,241
2800	1821	2,603	1869	2,742	1915	2,879	1961	3,019	2005	3,156	2048	3,291
2850	1835	2,643	1883	2,783	1930	2,924	1976	3,065	2021	3,296	2065	3,347
2900	1849	2,684	1898	2,828	1945	2,970	1992	3,115	2037	3,257	2081	3,406
2950	1865	1,725	1912	2,870	1960	3,016	2007	3,162	2053	3,309	2097	3,452
3000	1877	2,766	1927	2,915	1975	3,062	2022	3,210	2068	3,357	2113	3,505

$$A = \frac{b^2}{4} + b(a - b) , \quad m^2 \quad (8.10)$$

ومحيط المقطع P يحدد بالمعادلة

$$P = b + 2(a+b) \quad (8.11)$$

حيث a القطر الأكبر m,

b القطر الأصغر m ,

8.4 Air Flow in Fittings

8.4 تدفق الهواء في التركيبات

حيثما يحدث تغير في مساحة مقطع المعلم أو تغير في الاتجاه أو اقسام التدفق (خروج من مسلك إلى مسلك فرعى) Branch takeoffs أو حدوث دخول فرعى (أن يصب من مسلك فرعى إلى رئيسي) Branch entries يحدث فقد كبير في الضغط . هذا فقد يكون عادة أكبر من فقد في المسالك المستقيمة و يعرف بالفقد динامический Dynamic losses أو فقد في التركيبات Fitting loss .

يمكن تعريف فقد динامический بالمعادلة

$$P_v = C \left(\frac{V}{1.29} \right)^2 , \quad P_a \quad (8.12)$$

حيث C معامل فقد الضغط لبعض التركيبات يمكن الحصول عليها من Tables 8.3 : 8.8 (V, m/s) سرعة التدفق قبل دخول التركيبة مباشرة .

تنقسم التركيبات إلى :

- تركيبات ذات تدفق ثابت Constant flow fittings أو تركيبات ذات تدفق متفرق

. Divided flow fittings

أولاً - تركيبات ذات تدفق ثابت Constant flow fittings أي التركيبات التي لا تتغير فيها

كمية التدفق مثل :

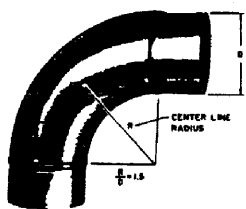


Figure 8.5. 90° smooth elbow



Figure 8.6. 4.5° smooth elbow.

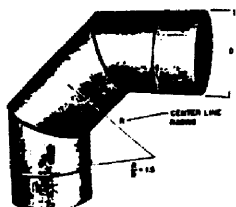


Figure 8.7. 90° 3 Piece elbow

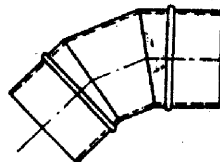


Figure 8.8. 45° 3- Piece elbow

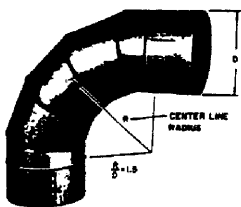


Figure 8.9. 90° 5- Piece elbow

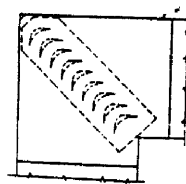
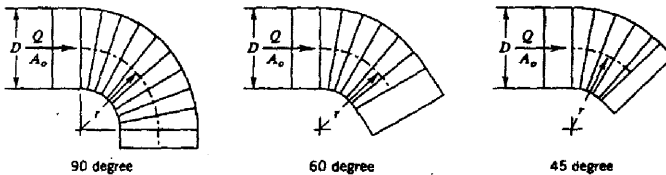


Figure 8.10. Vaned square elbow

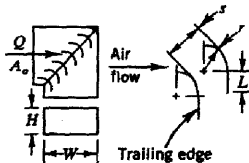
Table 8.3 Pressure loss coefficient for elbows.

A. Elbow, Pleated, $r/D = 1.5$



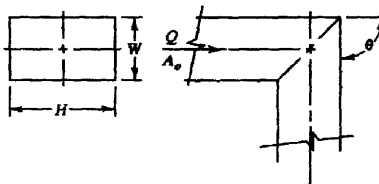
Angle	C_d at D_1 , (mm)						
	(100)	(150)	(200)	(250)	(300)	(350)	(400)
90	0.57	0.43	0.34	0.28	0.26	0.25	0.25
60	0.45	0.34	0.27	0.23	0.20	0.19	0.19
45	0.34	0.26	0.21	0.17	0.16	0.15	0.15

B. Elbow, Mitered, with Single-Thickness Vanes, Rectangular



Design No.	Dimensions, (mm)			C_d
	r	s	L	
1	(50)	(40)	0.0	0.11
2	(50)	(40)	0.75 (20)	0.12
3	(110)	(60)	0.0	0.15
4	(110)	(80)	0.0	0.33

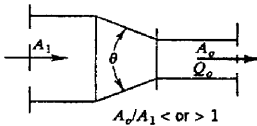
C. Elbow, Mitered, Rectangular



θ , deg	C_d								
	$H/W = 0.25$	0.5	0.75	1.0	1.5	2.0	3.0	4.0	5.0
20	0.08	0.08	0.08	0.07	0.07	0.07	0.06	0.06	0.05
30	0.18	0.17	0.17	0.16	0.15	0.15	0.13	0.13	0.12
45	0.38	0.37	0.36	0.34	0.33	0.31	0.28	0.27	0.26
60	0.60	0.59	0.57	0.55	0.52	0.49	0.46	0.43	0.41
75	0.89	0.87	0.84	0.81	0.77	0.73	0.67	0.63	0.61
90	1.30	1.30	1.20	1.20	1.10	1.10	0.98	0.92	0.89

Table 8.4 Pressure loss coefficient for transition.

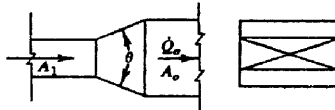
A. Transition, Round-to-Round



$A_0/A_1 < \text{or} > 1$

A_0/A_1	C_d						
	$\theta = 10^\circ$	20°	45°	90°	120°	150°	180°
0.10	0.05	0.05	0.07	0.19	0.29	0.37	0.43
0.17	0.05	0.04	0.06	0.18	0.28	0.36	0.42
0.25	0.05	0.04	0.06	0.17	0.27	0.35	0.41
0.50	0.05	0.05	0.06	0.12	0.18	0.24	0.26
1.00	0.00	0.00	0.00	0.00	0.00	0.00	0.00
2.00	0.44	0.76	1.32	1.28	1.24	1.20	1.20
4.00	2.56	4.80	9.76	10.24	10.08	9.92	9.92
10.00	21.00	38.00	76.00	83.00	84.00	83.00	83.00
16.00	53.76	97.28	215.04	225.28	225.28	225.28	225.28

B. Transition, Rectangular, Two Sides Parallel

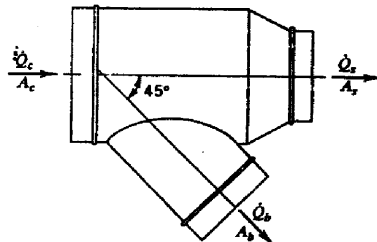


$A_0/A_1 < \text{or} > 1$

A_0/A_1	C_d						
	$\theta = 10^\circ$	20°	45°	90°	120°	150°	180°
0.10	0.05	0.05	0.07	0.19	0.29	0.37	0.43
0.17	0.05	0.04	0.05	0.18	0.28	0.36	0.42
0.25	0.05	0.04	0.06	0.17	0.27	0.35	0.41
0.50	0.06	0.05	0.06	0.14	0.20	0.26	0.27
1.00	0.00	0.00	0.00	0.00	0.00	0.00	1.00
2.00	0.56	0.60	1.40	1.52	1.48	1.44	1.40
4.00	2.72	3.52	9.60	11.20	11.04	10.72	10.56
10.00	24.00	36.00	69.00	93.00	93.00	92.00	91.00
16.00	66.56	102.40	181.76	256.00	253.44	250.88	258.88

Table 8.5 Pressure loss coefficient for diverging flow fitting.

A. Diverging Wye, Round, 45 deg

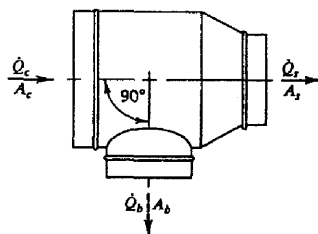


A_b/A_c	Branch, C_d							
	$\dot{Q}_b/\dot{Q}_c = 0.1$	0.2	0.3	0.4	0.5	0.6	0.7	0.8
0.1	0.38	0.39	0.48					
0.2	2.25	0.38	0.31	0.39	0.46	0.48	0.45	
0.3	6.29	1.02	0.38	0.30	0.33	0.39	0.44	0.48
0.4	12.41	2.25	0.74	0.38	0.30	0.31	0.35	0.39
0.5	20.58	4.01	1.37	0.62	0.38	0.30	0.30	0.32
0.6	30.78	6.29	2.25	1.02	0.56	0.38	0.31	0.30
0.7	43.02	9.10	3.36	1.57	0.85	0.52	0.38	0.31
0.8	57.29	12.41	4.71	2.25	1.22	0.74	0.50	0.38
0.9	73.59	16.24	6.29	3.06	1.69	1.02	0.67	0.48

A_b/A_c	Main, C_d							
	$\dot{Q}_b/\dot{Q}_c = 0.1$	0.2	0.3	0.4	0.5	0.6	0.7	0.8
0.1	0.13	0.16						
0.2	0.20	0.13	0.15	0.16	0.28			
0.3	0.90	0.13	0.13	0.14	0.15	0.16	0.20	
0.4	2.88	0.20	0.14	0.13	0.14	0.15	0.15	0.16
0.5	6.25	0.37	0.17	0.14	0.13	0.14	0.14	0.15
0.6	11.88	0.90	0.20	0.13	0.14	0.13	0.14	0.14
0.7	18.62	1.71	0.33	0.18	0.16	0.14	0.13	0.15
0.8	26.88	2.88	0.50	0.20	0.15	0.14	0.13	0.13
0.9	36.45	4.46	0.90	0.30	0.19	0.16	0.15	0.14

Table 8.6 Pressure loss coefficient for diverging flow fitting.

B. Diverging Tee, Round



Branch, C_b

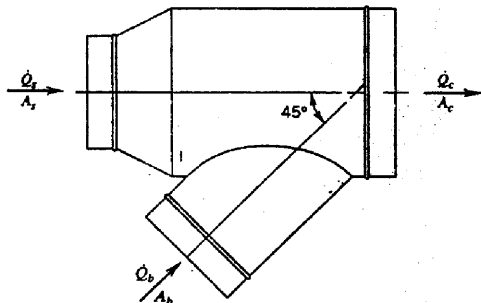
A_b/A_c	$\dot{Q}_b/\dot{Q}_c = 0.1$	0.2	0.3	0.4	0.5	0.6	0.7	0.8	0.9
0.1	1.20	0.62	0.80	1.28	1.99	2.92	4.07	5.44	7.02
0.2	4.10	1.20	0.72	0.62	0.66	0.80	1.01	1.28	1.60
0.3	8.99	2.40	1.20	0.81	0.66	0.62	0.64	0.70	0.80
0.4	15.89	4.10	1.94	1.20	0.88	0.72	0.64	0.62	0.63
0.5	24.80	6.29	2.91	1.74	1.20	0.92	0.77	0.68	0.63
0.6	35.73	8.99	4.10	2.40	1.62	1.20	0.96	0.81	0.72
0.7	48.67	12.19	5.51	3.19	2.12	1.55	1.20	0.99	0.85
0.8	63.63	15.89	7.14	4.10	2.70	1.94	1.49	1.20	1.01
0.9	80.60	20.10	8.99	5.13	3.36	2.40	1.83	1.46	1.20

Main, C_t

A_t/A_c	$\dot{Q}_t/\dot{Q}_c = 0.1$	0.2	0.3	0.4	0.5	0.6	0.7	0.8	0.9
0.1	0.13	0.16							
0.2	0.20	0.13	0.15	0.16	0.28				
0.3	0.90	0.13	0.13	0.14	0.15	0.16	0.20		
0.4	2.88	0.20	0.14	0.13	0.14	0.15	0.15	0.16	0.34
0.5	6.25	0.37	0.17	0.14	0.13	0.14	0.14	0.15	0.15
0.6	11.88	0.90	0.20	0.13	0.14	0.13	0.14	0.14	0.15
0.7	18.62	1.71	0.33	0.18	0.16	0.14	0.13	0.15	0.14
0.8	26.88	2.88	0.50	0.20	0.15	0.14	0.13	0.13	0.14
0.9	36.45	4.46	0.90	0.30	0.19	0.16	0.15	0.14	0.13

Table 8.7 Pressure loss coefficient for converging flow fitting (Y).

A. Converging Wye (45 deg), Round



Branch, C_b

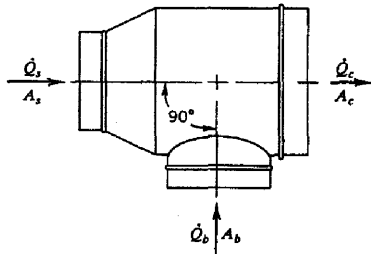
A_s/A_c	A_b/A_c	$\dot{Q}_b/\dot{Q}_c = 0.1$	0.2	0.3	0.4	0.5	0.6	0.7	0.8	0.9
0.4	0.3	-21.41	-2.85	-0.10	0.63	0.87	0.96	1.00	1.06	1.26
	0.4	-39.30	-6.02	-1.05	0.28	0.72	0.87	0.91	0.92	1.00
	0.5	-62.10	-9.96	-2.16	-0.06	0.63	0.85	0.90	0.88	0.86
	0.6	-89.77	-14.65	-3.42	-0.38	0.61	0.93	0.99	0.95	0.90
	0.7	-122.46	-20.19	-4.88	-0.74	0.61	1.04	1.12	1.06	0.95
	0.8	-160.18	-26.56	-6.55	-1.15	0.62	1.18	1.29	1.19	1.01
	0.9	-212.46	-34.00	-8.55	-1.65	0.62	1.32	1.45	1.32	1.15
	1.0	-278.00	-42.44	-10.65	-2.15	0.62	1.48	1.60	1.48	1.30
0.5	0.3	-14.10	-1.39	0.40	0.84	0.97	1.00	1.02	1.07	1.28
	0.4	-26.48	-3.53	-0.24	0.59	0.83	0.89	0.88	0.85	0.86
	0.5	-41.84	-5.96	-0.80	0.51	0.88	0.97	0.95	0.90	0.87
	0.6	-60.61	-8.90	-1.46	0.43	0.97	1.09	1.06	0.97	0.90
	0.7	-82.80	-12.36	-2.22	0.35	1.09	1.25	1.20	1.08	0.93
	0.8	-108.39	-16.35	-3.09	0.27	1.24	1.45	1.38	1.20	0.96

Main, C_s

A_s/A_c	A_b/A_c	$\dot{Q}_b/\dot{Q}_c = 0.1$	0.2	0.3	0.4	0.5	0.6	0.7	0.8	0.9
0.4	0.3	-33.68	-6.60	-1.98	-0.53	0.05	0.31	0.41	0.45	0.45
	0.4	-25.24	-4.51	-1.13	-0.13	0.25	0.40	0.46	0.47	0.45
	0.5	-18.83	-3.04	-0.57	0.13	0.37	0.46	0.48	0.48	0.46
	0.6	-13.99	-1.97	-0.17	0.31	0.46	0.50	0.50	0.48	0.46
	0.7	-10.27	-1.17	0.12	0.44	0.52	0.53	0.51	0.49	0.46
	0.8	-7.32	-0.54	0.35	0.54	0.57	0.55	0.52	0.49	0.46
	0.9	-5.38	-0.27	0.17	0.34	0.44	0.42	0.39	0.36	0.33
	1.0	-3.34	-0.14	0.07	0.14	0.18	0.16	0.13	0.11	0.10
0.5	0.3	-53.80	-10.77	-3.45	-1.17	-0.27	0.11	0.26	0.30	0.29
	0.4	-40.66	-7.54	-2.16	-0.57	0.02	0.25	0.32	0.33	0.30
	0.5	-30.68	-5.27	-1.30	-0.18	0.21	0.33	0.36	0.34	0.30
	0.6	-23.15	-3.62	-0.69	0.09	0.33	0.39	0.38	0.35	0.30
	0.7	-17.34	-2.38	-0.24	0.29	0.42	0.43	0.40	0.35	0.30
	0.8	-12.75	-1.41	0.11	0.44	0.49	0.47	0.41	0.36	0.30

Table 8.8 Pressure loss coefficient for converging flow fitting (T).

B. Converging Tee, Round



A_t/A_c	A_b/A_c	Branch, C_b								
		$\dot{Q}_b/\dot{Q}_c = 0.1$	0.2	0.3	0.4	0.5	0.6	0.7	0.8	0.9
0.4	0.3	-23.96	-3.65	-0.48	0.43	0.75	0.88	0.91	0.91	0.84
	0.4	-42.98	-7.03	-1.46	0.11	0.67	0.87	0.93	0.91	0.84
	0.5	-67.44	-11.35	-2.69	-0.26	0.59	0.90	0.97	0.94	0.84
	0.6	-97.39	-16.60	-4.17	-0.69	0.52	0.95	1.06	1.01	0.84
	0.7	-132.88	-22.81	-5.91	-1.17	0.46	1.03	1.17	1.11	0.94
	0.8	-173.96	-29.99	-7.90	-1.73	0.40	1.15	1.33	1.24	1.04
	0.3	-16.99	-2.35	-0.07	0.57	0.80	0.89	0.91	0.90	0.84
	0.4	-30.49	-4.67	-0.72	0.38	0.76	0.89	0.92	0.90	0.84
0.5	0.5	-47.82	-7.61	-1.50	0.19	0.75	0.93	0.97	0.93	0.84
	0.6	-69.03	-11.17	-2.42	-0.03	0.76	1.01	1.05	0.98	0.84
	0.7	-94.17	-15.37	-3.49	-0.26	0.80	1.13	1.17	1.07	0.94
	0.8	-123.30	-20.22	-4.71	-0.50	0.87	1.29	1.33	1.20	1.04

A_t/A_c	A_b/A_c ; $\dot{Q}_b/\dot{Q}_c = 0.1$	Main, C_s								
		0.2	0.3	0.4	0.5	0.6	0.7	0.8	0.9	
0.4	0.3	49.68	7.59	2.74	1.42	0.90	0.65	0.51	0.43	0.37
	0.4	30.96	5.51	2.21	1.23	0.82	0.61	0.49	0.42	0.37
	0.5	21.00	4.40	1.92	1.13	0.78	0.59	0.48	0.42	0.37
	0.6	15.43	3.78	1.76	1.07	0.75	0.58	0.48	0.41	0.37
	0.7	12.36	3.44	1.67	1.04	0.74	0.57	0.48	0.41	0.37
	0.8	10.86	3.27	1.63	1.02	0.73	0.57	0.47	0.41	0.37
	0.3	65.94	10.28	3.65	1.79	1.05	0.68	0.48	0.35	0.27
	0.4	38.84	7.27	2.87	1.51	0.93	0.63	0.45	0.34	0.27
0.5	0.5	25.07	5.74	2.47	1.37	0.87	0.60	0.44	0.33	0.27
	0.6	17.98	4.95	2.27	1.29	0.84	0.58	0.43	0.33	0.27
	0.7	14.69	4.58	2.17	1.26	0.82	0.58	0.43	0.33	0.27
	0.8	13.78	4.48	2.15	1.25	0.82	0.57	0.43	0.33	0.27

[II] الكوع (المرفق) Elbow : تكون الأكواع إما ذات مقطع دائري أو مقطع مستطيل ، الأكواع الدائرية إما أن تكون منساء ذات زاوية 90° ، 45° . في قصبة واحدة أو ثلاثة قطع بزوايا 90° و 45° أو من خمس قطع بزاوية 90° .

قد تزود الأكواع بريش توجيه من أجل كبح التيارات الدوامية التي تنشأ نتيجة تغيير الاتجاه ولخفض فقد في الضغط. الأنواع المختلفة للكوع مبينه في Fig 8.10 : Fig 8.5

[III] تركيبة انتقالية Transition fittings : تستخدم هذه التركيبة في حالة الاحتياج إلى تغيير أبعاد مقطع مسالك الهواء. قد يكون ذلك بسبب الفراغ المترافق للتراكيب أو للموائمة مع جزء آخر في المعلم ذو أبعاد قياسية يصعب تغييرها .

التركيبة الانتقالية قد تكون ذات مقطع دائري أو مقطع مستطيل . أو من مقطع مستطيل لأخر دائري والعكس . أيضاً قد تكون توسيع فجائي حيث تكون $\theta = 180^\circ$ أو ذات توسيع متدرج $\theta < 180^\circ$. انظر Table 8. 4 Gradual enlargement

لا يفضل التوسيع الفجائي لتكون التيارات الدوامية بصورة ملحوظة ويفضل أن يكون الميل بين المقطع الصغير والكبير في حدود $1:7$.

التركيبة الانتقالية قد تكون أيضاً في شكل تقلص فجائي Sudden contraction . انظر Gradual contraction .

ثانياً - تركيبات ذات تتفق متفرقة Divided flow fittings

[I] خروج فرعى Branch Takeoffs : عندما يقوم مسلك التغذية الرئيسي بتغذية مسالك فرعية يجب أن يكون هناك مخارج لكل مسلك فرعى . هذه المخارج تكون عادة ذات مقطع مستطيل أو دائري . بعض اشكال هذه المخارج مبينه في Fig8.11 . هذه المخارج مزودة بـ خانق مشقوق Splitter - damper للتحكم في درجة الغلق . هذه المخرج قد تكون على شكل حرف T أو L . انظر Table 8.5 & Table 8.6 .

[II] دخول فرعى Branch Entries : لا تختلف في تركيبها عن المخارج الفرعية ولكنها تركب على خطوط الراجم Return duct حيث يجلب الهواء الراجم وتصب في مسالك الهواء الراجم الآخر Tables 8.7 & 8.8

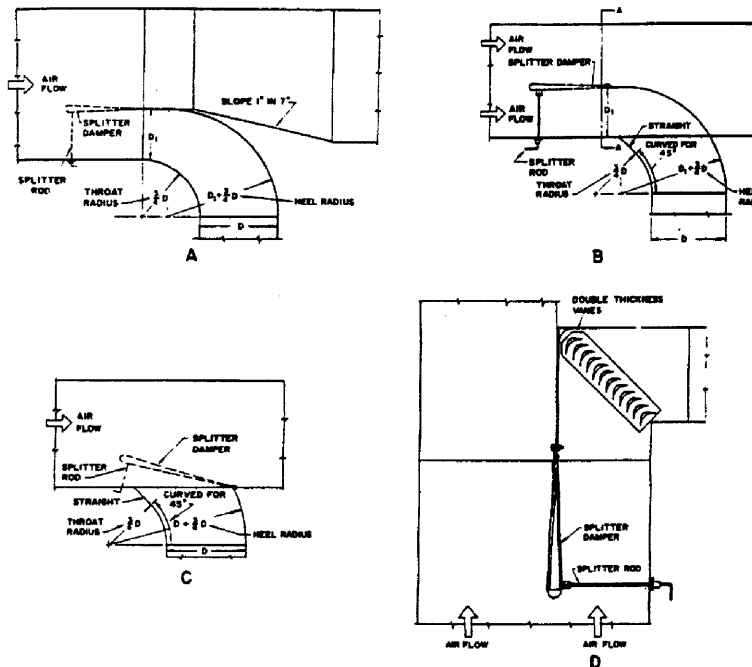


Figure 8.11 Typical takeoffs

بعض التركيبات المهمة التي لا يدخل منها مسالك هواء - ويمكن التعرف على بعضها في
Figs 8.12 , 8.13 , 8.14
وان كان قد تم حصر أكثر من ٢٠٠ تركيبة تستخدم في مسالك
تكييف الهواء .

Example 8.2

Compute the lost pressure e in 15.24cm, 90° elbow that has $4.25 \text{ m}^3/\text{min}$ of air flowing through it. The ratio of turning radius to diameter is 1:5 Assume standard air.

$$V = Q / A = \frac{4.25}{(\pi / 4)D^2(60)}$$

$$= \frac{4.25}{\left(\frac{\pi}{4}\right) \cdot (0.1524)^2 (60)} = 3.88 \text{ , m/s}$$

$C = 0.43$ نجد أن $\theta = 90^\circ$ & $D = 150\text{mm}$ من Table 8.3 عند

$$\Delta P = C \left(\frac{V}{1.29} \right)^2 = 0.43 \left(\frac{3.88}{1.29} \right)^2 = 3.89 Pa$$

Example 8.3

45° Round Wye, (Y) 500mm. diameter main duct, 1200 L/s, 250mm diameter branch duct, branch velocity of 6 m/s. Determine the Fitting pressure losses (Table 8.5) .

$$A_b = \pi \cdot r^2 = \pi \times 0.125^2 = 0.015625 \pi \text{ m}^2$$

$$A_c = \pi \cdot r^2 = \pi \times 0.25^2 = 0.0625 \pi \text{ m}^2$$

$$A_b/A_c = 0.25$$

$$Q_b = A_b \times V_b = \pi \cdot (0.125)^2 \times 6 = 0.294 \text{ m}^3/\text{s}$$

$$Q_b/Q_c = 0.294/1.2 = 0.25$$

بالدخول في Table 8.5 نجد $A_b/A_c = 0.25$ & $Q_b/Q_c = 0.25$ & $\theta = 90^\circ$

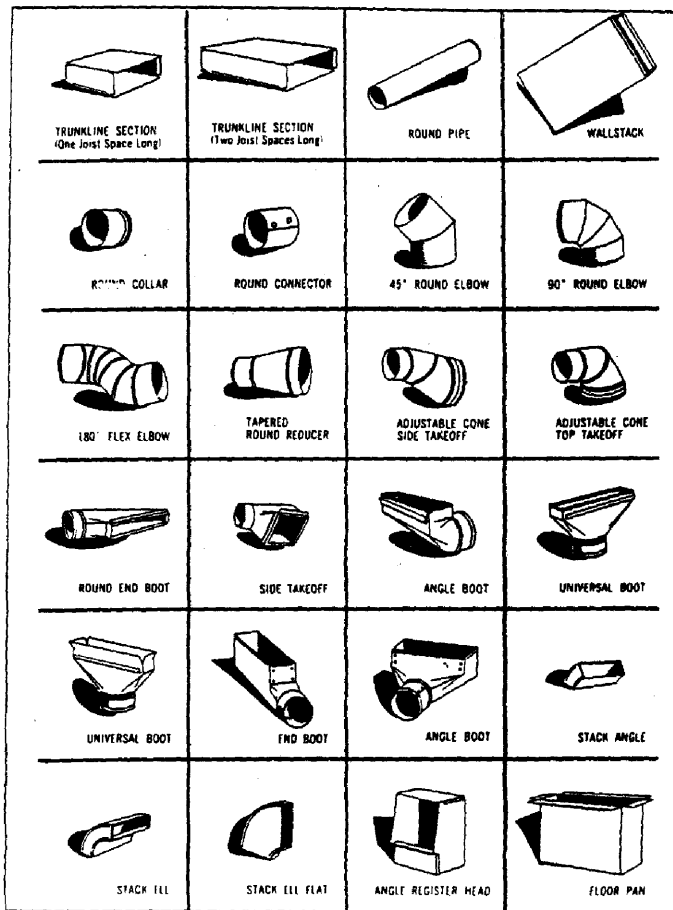


Figure 8.12 Duct fittings

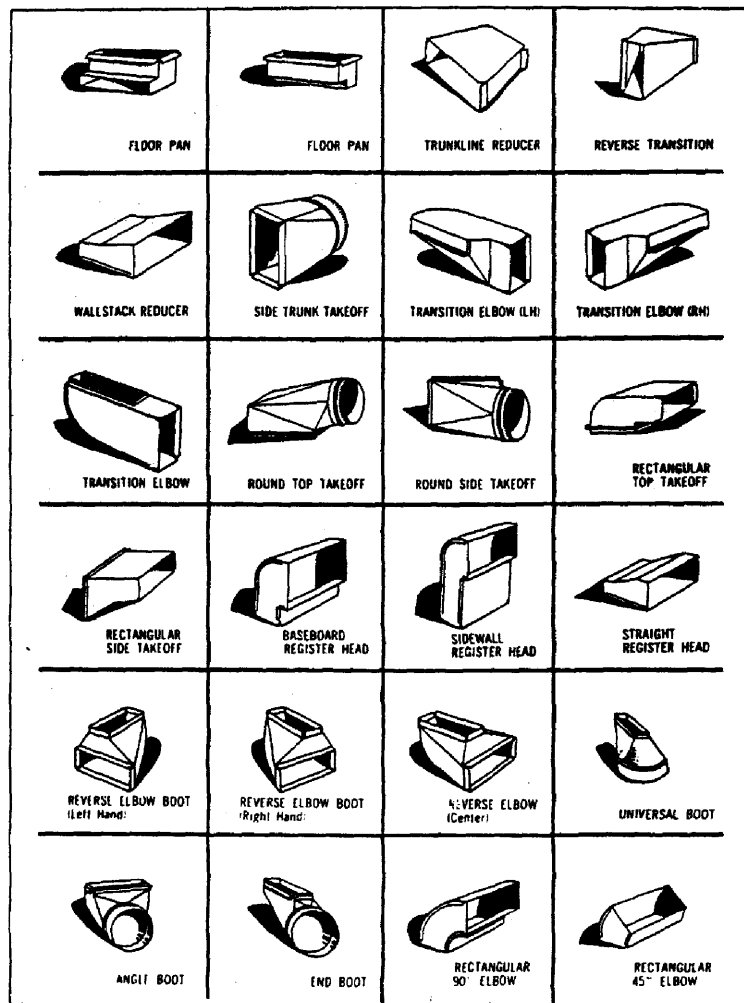


Figure 8.13 Duct fittings

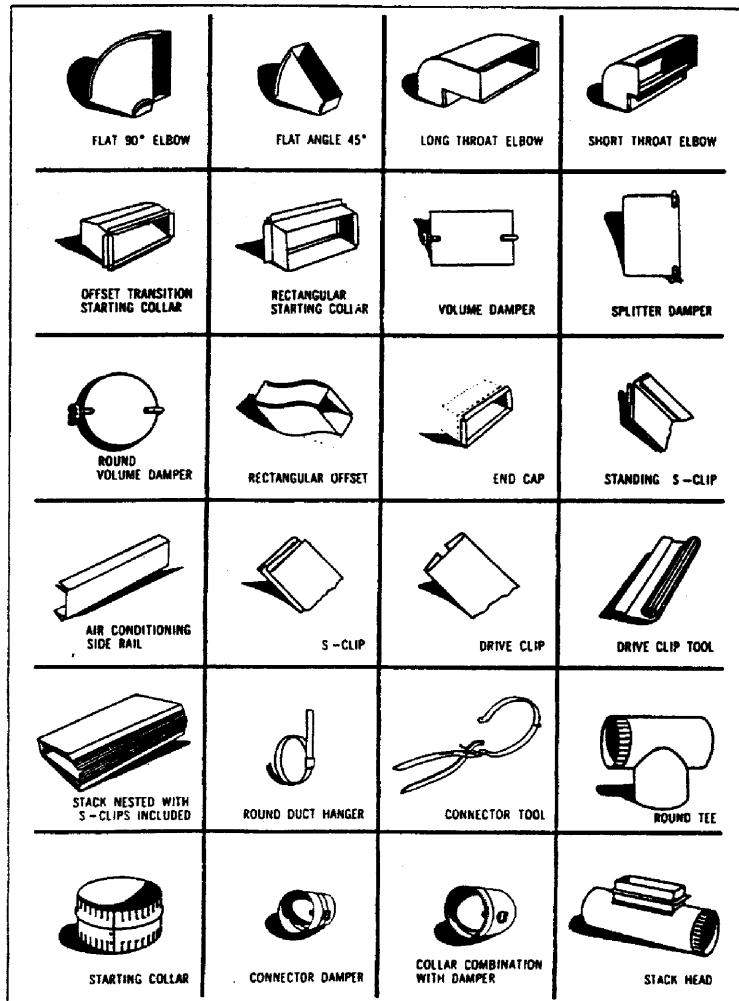


Figure 8.14 duct fittings

نجد أن بالتقريب $C \approx 0.525$

فقد الضغط في الخط الفرعى (b)

$$\Delta P = C \left(\frac{V}{1.29} \right)^2 = 0.525 \left(\frac{6}{1.29} \right)^2 = 11.36 \text{ Pa}$$

Example 8.4

An 0.3 by 0.4m branch duct leaves an 0.3m by 0.6m main duct at an angle of 45°. The air temperature is 20C°. The down stream duct dimensions are 0.3m × 0.5m. The flow rate up stream 2.7m³/s, and the pressure is 250Pa. The branch flow rate is 1.3m³/s. What is the pressure: (a) down stream in the main duct and (b) in the branch

بالرجوع إلى (Table 8.5) نجد أن

$$Q_c = 2.7 \text{ m}^3/\text{s}$$

$$Q_b = 1.3 \text{ m}^3/\text{s}$$

$$Q_s = 1.4 \text{ m}^3/\text{s}$$

$$A_c = 0.18 \text{ m}^2$$

$$A_b = 0.12 \text{ m}^2$$

$$A_s = 0.15 \text{ m}^2$$

$$V_c = (2.7 / 0.18) = 15 \text{ m/s} \quad \& \quad V_b = (1.3 / 0.12) = 10.83 \text{ m/s}$$

$$V_s = 14 / 0.15 = 9.3 \text{ m/s}$$

$$\frac{A_b}{A_c} = 0.67$$

$$\frac{Q_b}{Q_c} = \frac{1.3}{2.7} = 0.48$$

$$\frac{A_s}{A_c} = 0.82$$

$$\frac{Q_s}{Q_c} = \frac{1.4}{2.7} = 0.52$$

$$C_b = 0.74$$

$$C_s = 0.15$$

باستخدام الاستكمال من الداخل interpolation نجد أن

بالنسبة لالمسلك الرئيسي

- $\Delta P_s = C_o \left(\frac{V_s^2}{1.29} \right)^2 = 0.15 \left(\frac{9.3}{1.29} \right)^2 = 7.8 \text{ Pa}$

وتطبيق معادلة برنولي

$$\frac{P_c}{\rho} + \frac{V_c^2}{2} = \frac{P_s}{\rho} + \frac{V_s^2}{2} + \frac{\Delta P_s}{\rho}$$

$$P_s = \rho \left(\frac{P_c}{\rho} + \frac{V_c^2}{2} - \frac{V_s^2}{2} - \frac{\Delta P_s}{\rho} \right)$$

$$= 1.2 \left(\frac{250}{1.2} + \frac{15^2}{2} - \frac{(9.3)^2}{2} - \frac{7.8}{1.2} \right) = 325.3 \text{ Pa}$$

بالنسبة للمسلك الفرعى نجد

$$\Delta P_b = C_b \left(\frac{V_b}{1.29} \right)^2 = 0.74 \left(\frac{10.83}{1.29} \right)^2 = 52.16 \text{ Pa}$$

وبتطبيق معادلة برنولي للمسلك الفرعى نجد

$$P_b = \rho \left(\frac{P_c}{\rho} + \frac{V_c^2}{2} - \frac{V_b^2}{2} - \frac{\Delta P_b}{\rho} \right)$$

$$= 1.2 \left[\frac{250}{1.2} + \frac{(15)^2}{2} - \frac{(10.83)^2}{2} - \frac{52.16}{1.2} \right] = 262.5 \text{ Pa}$$

8.5 تصميم مسالك الهواء

الغرض من أنظمة المسالك هو تزويد المكان الخاضع للتكييف بالهواء المعالج من خلال المخارج (Outlets) بالكمية اللازمة لكل ناشر (Diffuser). من أجل أن يقوم هذا الهواء بمعادلة الحمل الحراري للمكان كسباً أو فقداً نتيجة حركة الهواء.

8.5.1 تصميف المسالك

أولاً - طبقاً لاتجاه حركة الهواء *Air direction* تنقسم إلى: مسالك تعذية Supply ducts ومسالك للرائع Return ducts.

مسلك التعذية : حركة الهواء من جهاز التكييف إلى المكان المراد تكييفه.

مسلك الرائع : حركة الهواء من المكان المكيف إلى جهاز التكييف أو إلى الخارج.

ثانياً - طبقاً للسرعة Velocity تنقسم المسالك إلى

1- مسالك السرعة المنخفضة Low velocity ducts للأغراض التجارية m/s 12.7. عادة تتراوح بين m/s (6 - 11)

2- مسالك السرعة العالية High velocity ducts للأغراض التجارية أعلى من $12.7 m/s$

وللأغراض الصناعية فإن السرعة المنخفضة تكون حتى 12.7 m/s . السرعة العالية بين $(25 : 12.7 \text{ m/s})$

أما مسالك الراجع فيمكن اعتبارها مسالك سرعات منخفضة. يبين Table 8..9 السرعات المئالية في كل من مسالك التغذية والراجع وكذلك خلال عناصر معدات تكييف الهواء.

ثالثا - طبقاً للضغط Pressure تصنف المسالك طبقاً لضغط المراوح إلى:

1- أنظمة ضغط منخفض Low pressure system حيث $\Delta P \leq 940 \text{ Pa}$

2- أنظمة الضغط المتوسط Medium pressure system حيث $940 \leq \Delta P \leq 1690 \text{ Pa}$

3- أنظمة الضغط العالي High pressure system حيث $1690 \leq \Delta P \leq 3200 \text{ Pa}$

الضغط المذكور هو الضغط الكلي ويشمل قدر ضغط الاحتكاك ، مقاومة أجهزة وحدة المتابولة مثل ملفات التبريد والت BX ووحدة الرش والفلتر .

رابعا - طبقاً لمقطع المسالك Duct Cross-section تصنف المسالك طبقاً لشكل مقطع المسالك إلى :

1- مسالك ذاتية Round duct وتحتاز هذه المسالك بسهولة التصنيع وإنخفاض قدر الضغط بالاحتكاك ومن العيوب الاستهلاك العالي من ألواح التصنيع .

2- مسالك مستطيلة المقطع Rectangular duct تحتاز بأقتصاديّات التصنيع وملائمة التركيب في الفراغات الخاصة. ومن عيوبها زيادة قدر الضغط بالاحتكاك .

خامسا - مادة التصنيع Materials تصنف المسالك عادة من ألواح معدنية Metal sheet والألومنيوم Aluminum . وحديثاً من الصوف الزجاجي Fiberglass وفي بعض الأحيان ألواح القرميد Tile والبلاستيك Plastic .

- ألواح المعدنية أقل من الألومنيوم ولكن ذات تكلفة أقل .

- الألومنيوم والصوف الزجاجي أقل عرضه للصدأ وتكوين البكتيريا على المسطح.

- البلاستيك يستخدم نظراً لمرونة التشكيل ومقاومته للحرارة.

- استخدام القير جلاس لقى قبول حسن في الوقت الحالي نظراً لكتافته في تقليل الضوضاء وكعازل حراري ومائي .

Table 8.9 Recommended air Velocity in Low velocity Air Conditioning Systems, m/s

Application	Main Ducts		Branch Duct		Out air intakes	Filters	Heating or Cooling coils		Air washers	Suction connection	Fan outlets
	Supply	Return	Supply	Return			1.3	2.3			
<i>Residences</i>	5	4	3	3	2.5						5-8
<i>Apartments hotel</i>											
<i>Bedrooms hospital</i>	7.5	6.5	6.12	5	2.5	1.6	2.7	2.6	4.5	7-10	
<i>Bedrooms</i>											
<i>Private offices</i>											
<i>Director's rooms</i>	10	7.5	8	6	2.5	1.7	2.8	2.6	4.8	8-11	
<i>Libraries</i>											
<i>Theatres</i>	6.6	5.6	5.0	4	2.5	1.5	2.6	2.6	4	6.6-10	
<i>Auditoriums</i>											
<i>General offices</i>											
<i>Restaurants</i>	10	7.5	8	6	2.5	1.7	2.8	2.6	4.8	8-11	
<i>Stores</i>											
<i>Banks</i>											
<i>Cafeteria</i>	10	7.5	8	6	2.5	1.7	2.8	2.6	4.8	8-11	
<i>Industrial buildings</i>	15	9	11	7.7	2.5	1.8	3.0	2.6	5.1	8-12	

سادساً : تخطيط المسالك Duct layout تقسم أنظمة المسالك طبقاً للتخطيط حسب الاستخدام إلى :

(1) نظام محيطي Fig 8.15 Loop perimeter system حيث يتم توزيع هواء التغذية من مركز التسخين خلال المسالك الفرعية من خلال نظام محيطي مغلق للأرضية، مخارج الهواء الخارج (المستقبلات Registers) ترکب تحت الشبائك مباشرةً. هذا النظام ملائم للأماكن التي تحتاج تدفئة أغلب أوقات العام .

(2) نظام رئيسي فوقى Fig 8.16 Overhead trunk المسالك الرئيسي - يخرج من وحدة التكيف ويمتد خلال مسالك فرعية من فراغ أعلى سقف اصطناعي False ceiling. المسالك الفرعية تمتد إلى المخارج Outlets التي ترکب على العوائط المرتفعة أو في فراغ السقف الزائف. هذا النظام أكثر ملائمة للأماكن التي تحتاج إلى تبريد أغلب أوقات العام.

8.6 اعتبارات أساسية لتصميم المسالك

8.6 Essential Considerations For Duct Design

عند تصميم نظام المسالك يجب الأخذ في الاعتبار العوامل الآتية : الفراغ المتاح وقد الاحتكاك وسرعة الهواء، مستوى الازعاج، فقد الاكتساب الحراري خلال جدران المسالك، تسرب الهواء من وإلى المسالك.

8.6.1 الفراغ المتاح والمظهر المعماري :

8.6.1 Space available and architecture appearance

- مسالك التغذية ومسالك الراوح وإمكانية ظهورها غالباً وما يتحكم في تخطيط هذه الأنظمة في الفنادق والمكاتب حيث الفراغ يحتل أولوية قصوى Premium يستخدم نظام سرعات عالية مع وحدات حث Induction Unit باستخدام مسالك دائيرية ذات قطر صغير.
- في بعض التطبيقات قد يتطلب الأمر تعليق هذه المسالك ملاصقة للسقف (في بعض أقسام المخازن والمكاتب يفضل استخدام مسالك ذات مقطع مستطيل).
- في المنشآت الصناعية حيث المظهر يحتل مرتبة ثانية فتفضل المسالك ذات المقطع المستطيل حيث يكون الأنسب من الناحية الاقتصادية .

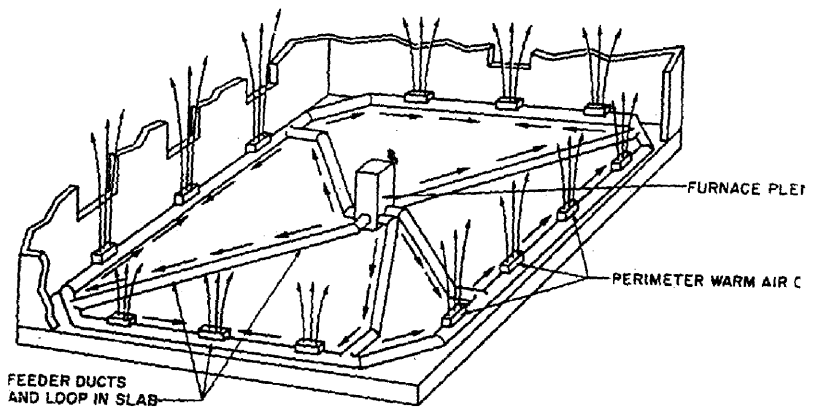


Figure 8.15 Loop perimeter system

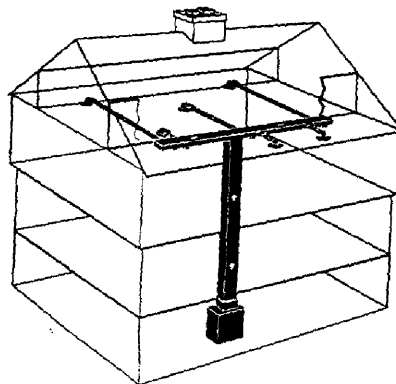


Figure 8.16 Overhead radial system

8.6.2 الاعتبارات الاقتصادية

8.6.2 Economical consideration

إن الموافقة بين التكلفة الإنشائية Operational cost وتكلفة التشغيل Investment cost لها أهمية خاصة ويؤثر على ذلك الآتي :

الحرارة المفقودة شتاءً أو المكتسبة صيفاً تؤثر مباشرة في اتجاه زيادة معدل الهواء المار في المسالك. هذا بدوره يؤثر على النسبة الباعية Aspect ratio (نسبة أطول ضلع إلى الضلع الآخر في المسالك المستطيلة) ومنها نجد أن :

- المسالك ذو النسبة الباعية الكبيرة يكون عرضه لاكتساب أو فقد حرارة أكبر من مثيله ذو النسبة الباعية الصغيرة والذي يحمل نفس كمية الهواء.

- المسالك التي تحمل كمية صغيرة من الهواء بسرعات منخفضة تكون أكثر عرضه لفقدان الحرارة. وهذا يؤثر في اتجاه زيادة قدرة التبريد أو التدفئة.

- إضافة عزل حرارة إلى المسالك يقلل من نسبة الحرارة المكتسبة أو المفقودة وكذلك من الأفضل تصميم المسالك ذات سرعة عالية مع نسبة باعية صغيرة للمسالك التي تحمل كمية صغيرة من الهواء وخاصة إذا كانت هذه الأجزاء خارج الأماكن المكيفة .

النسبة الباعية Aspect Ratio زيادة النسبة الباعية تؤدي إلى زيادة تكلفة التصنيع والتشغيل حيث أنها تؤدي إلى زيادة الاحتياك ومن المناسب إلا تزيد النسبة الباعية عن 1:4 حيث أن الاحتياك قد يتطلب الضغط نتيجة الاحتياك له أهمية قصوى خاصة من وجہه نظر التكلفة الإنشائية حيث أن المسالك يجب أن تكون بقدر الإمكhan قصيرة ولكن قصر المسالك قد يتطلب سرعة عالية مصحوبة بمستوى أعلى من الأرتعاج - لذلك يجب أن تكون التركيبات قليلة بقدر الإمكhan لتقادى فقد الضغط فيها.

تسرب الهواء Air leakage تسرب الهواء من وإلى المسالك يؤثر على حالة الفراغ المراد تكلفته لذلك يجب العمل على عدم السماح للهواء بالتسرب خاصة إذا كان المسالك خارج نطاق المكان المكيف. إذا كان التسرب في حدود 1% من الحجم الكلى للهواء فيكون ذلك في حدود المسموح به وذلك في نظام السرعات العالية. لذلك يجب وضع جوانات حاكمة عمرها الافتراضي من سنة حتى 20 سنة لمنع تسرب الهواء.

مستوى الضوضاء Noise level نتاج الضوضاء في مسالك تكيف الهواء بسبب ارتطام الهواء بالأسطح الصلبة (جدران المسالك) نتيجة سرعة الهواء ويمكن إرجاع المصادر الرئيسية للضوضاء إلى :

- 1- عناصر تقوم بتمويل طاقة الصوت في أجزاء المسالك والتركيبات ويقصد بها الأكواع التفرعات والمخفضات والنواشر.
- 2- مخارج الهواء داخل الغرف النواشر والمستقبلات لذلك يجب تحديد سرعة الهواء في كل منطقة بحيث تكون طاقة الصوت الناتجة أقل ما يمكن .
- مقاومة الحريق **Fire resistant** بالإضافة إلى ما سبق فإن مواد التصنيع وكذلك المواد العازلة يجب أن تكون بقدر الامكان غير قابلة للاشتعال .

8.7 فقد الضغط لنظام المسلح *Duct System Pressure Loss*

فقد الضغط في النظام يجب تقادره بحساب قطرة المروحة و اختيار المعدات .

- فقد ضغط نظام المسالك يجب أن يشمل على فقد الضغط خلال مسار الهواء وكذلك عناصر معدات نظام التكيف مثل الفلتر، ملفات التبريد والتسمين ووحدة الترطيب - وكذلك فقد الخاص بدخول الهواء الراوح والهواء الخارجي ومخارج الهواء في الغرف وكذلك أماكن توصيل المسالك بوحدة المناولة .

هذا فقد يجب أن تغطيه المروحة . فقد الضغط في المعدات وكذلك في مخارج الهواء يتم الحصول عليه من كتالوجات التصنيع .

تعطى Table 8.10 قيم استرشادية لفقد الضغط خلال عناصر النظام للمسالك

Table 8.10 Approximated Values of System Elements Pressure Drop

<i>Element</i>	$\Delta P, Pa$
Air intakes	2- 25
Filters	50-100
Cooling or heating coils	30-100
Air washer	50 – 100
Grilles	25 – 50
Exhaust fan	25 – 30

8.8 فقد الضغط خلال المُسْلَك Pressure Drop Through Duct

فقد الضغط خلال المُسْلَك المستقيم يعين بالنسبة للمُسْلَك الدائري باستخدام خريطة السايبة باستخدام القطر بالاحتكاك (Fig 8.3).

- بالنسبة للمُسْلَك ذو المقطع المستطيل فتستخدم نفس الخريطة السايبة باستخدام القطر المكافئ $(D_{eq})^{0.25} / (a+b)^{0.25}$ أو باستخدام الأبعاد (a, b) وخربيطة فقد الضغط (Fig 8.4).
- بالنسبة للتركيبيات يعين فقط الضغط في التركيبات (بالمعادلة $\Delta P = C(V^2 / 1.29)$) أو باستخدام الطول المكافئ L_{eq} الذي يمكن الحصول عليه تقريراً بالمتر من Fig 8.17 أو بالقدم من Figs 8.18, 8.19 (مع مراعاة تحويلها إلى المتر) ثم تضاف إلى مجموع أطوال المُسْلَك المستقيمة وتضرب في معدل فقد الاحتكاك $(\Delta P / m)$ من Figs 8.3 & 8.4 فيعطي الناتج فقد الضغط الكلي للمُسْلَك المستقيمة والتركيبيات.

8.9 مخطط تدرج الضغط Pressure Gradient Diagram

* الضغط الكلي P_0 في أي نقطة من نظام المُسْلَك هو مجموع الضغط الاستاتيكي P_s وضغط السرعة P_v وحيث أن الاحتكاك وإنخفاض ضغط السرعة يحدثان في اتجاه سريان الهواء فإن الضغط الكلي يتضمن تبعاً لذلك مادعاً نقطة إضافة الطاقة بالمروحة وإذا تبعنا Fig 8.20 نجد أن الضغط عند نقطة تركيب المروحة يظهر بقيمة $(P_0 = P_s + P_v)$ أعلى من الضغط الجوي P_0 أما قبل المروحة فيكون الضغط الكلي P_0 أقل من الضغط الجوي .

- * في Fig 8.21 أضيف عنصر مدخل الهواء الخارجي فإن النظام سوف يعمل إذا أخذ في الاعتبار أسلوباً لطرد الهواء الخارجي وإلا فإن الضغط داخل المكان يجب أن يكون عالياً بدرجة تسمح بطرد الهواء الخارجي وإلا فإن هواء التهوية الخارجي لن يتمكن من دخول المكان .
- * في حالة استخدام هواء الراوح Fig 8.22 فإن الضغط في المُسْلَك P_0 يجب أن يكون أعلى من الضغط الجوي P_1 . في المجرى الصاعد Upper stream قبل خانق الهواء الراوح وأقل من

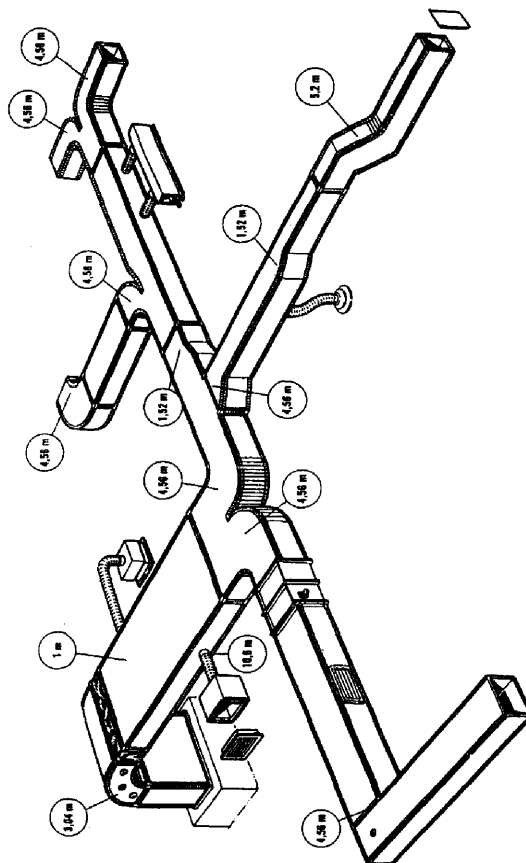


Figure 8.17 Equivalent length of various fittings element in an air duct system (in meters)

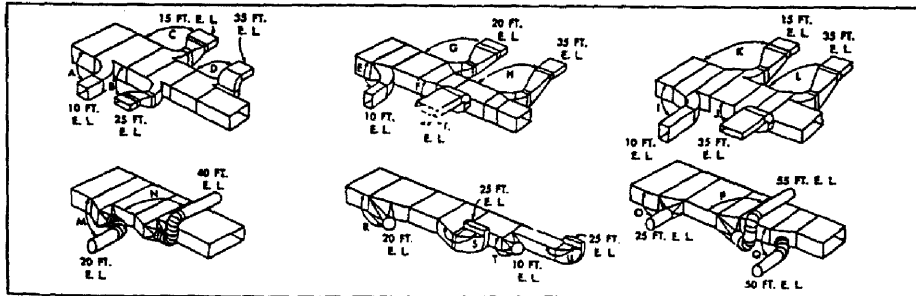
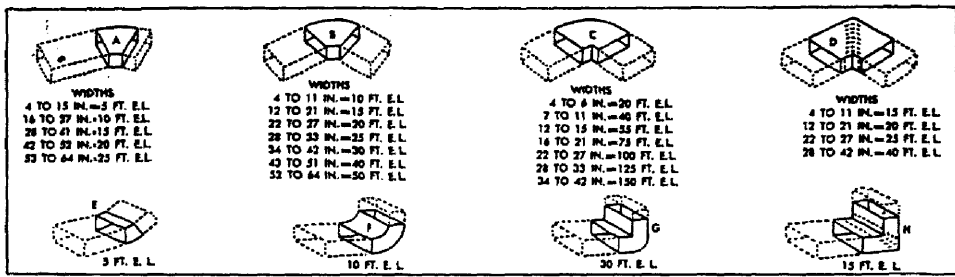
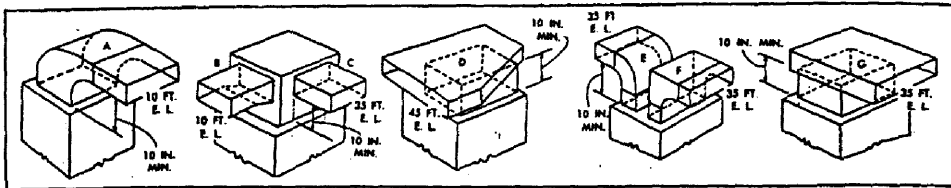


Figure 8.18 Equivalent length of various types of fittings (in feet).

$$Im = 3.281 \text{ ft}$$

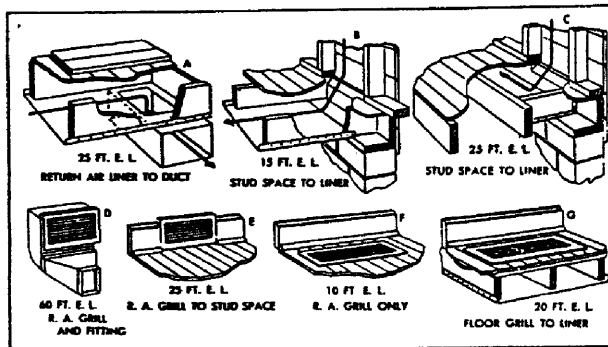
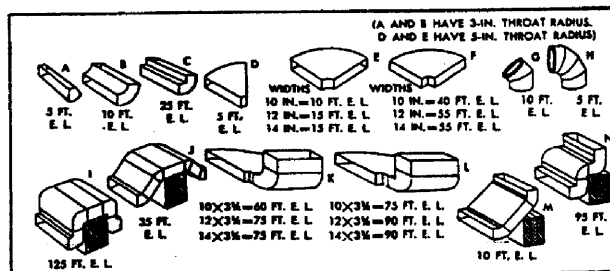
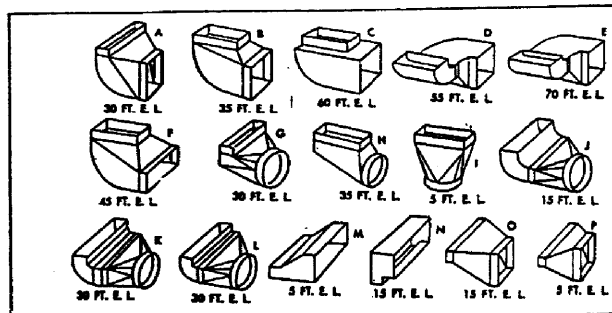


Figure 8.19 Equivalent length of various types of fittings (in feet).

$$1m = 3.281 \text{ ft}$$

P_b في المجرى الهابط Down stream لخانق الهواء الراجع بالإضافة إلى أن ضغط الغرفة P_r يجب أن يكون أعلى من الضغط الجوي مما يجعل فتح الأبواب حتمياً.

* إذا تم استخدام مروحة أخرى للهواء الراجع Fig 8.23 هذا يجعل ضغط الغرفة P_r مقارباً للضغط الجوي P_0 ففي هذه الحالة فإن الطاقة المضافة (للمرورحات) هي نفسها كما في الحالة السابقة ولكنها موزعة على مرورحتين وتعمل مروحة الراجع Return fan على إبطال فقد في خانق التصريف Relief air ومحفنة بذلك ضغط موجب عند دخول الهواء الخارجي بدرجة تسمح بإمكانية طردة

8.10 منوال تصميم مسالك الهواء

8.10 Air Duct Design Procedure

تصميم أنظمة مسالك الهواء تتم من خلال المنوال الآتي:

- تحديد معدل هواء التغذية والراجع لكل غرفة باستخدام معادلة الحرارة المحسوسة

$$q_s = \rho Q C_p (t_s - t_r)$$

كمية الهواء الراجع تكون أقل قليلاً من هواء التغذية حتى نضمن وجود فرق ضغط بالغرفة .
 هذا يضعف احتمال تكون تيارات هوائية بالغرفة .
- وضع مخطط شبيهاً بذلك المبين في Fig8.1 مشتركاً يجمع كل من مسالك التغذية ومسالك الراجع على مخطط المبني . يجب التأكد أن هذا التخطيط لا يتعارض مع الخواص المعمارية والاشتائية للمبنى ولا يؤثر على باقي الخدمات (الكهرباء ، المياه ، الصرف ، الغاز) .
- تحديد أماكن وضع منافذ التغذية Supply diffuser وجريلات الراجع Return grilles مع الاستعانة بكتالوجات التصنيع ويحدد فقد الضغط لكل منها . كما يجب أن يكون مستوى الصوت Sound level لهذه المعدات متفقاً مع المستويات المحددة لنشاط المكان .
- يتم رسم ماكينة مكبراً لوحدة المناولة Air handling unit مبيناً عليه عناصر الوحدة مثل الفلتر وملف التبريد وملف التسخين ووحدة الترطيب كما يتم بيان وصلات المروحة وقد الضغط لكل عنصر راجع Table 8.10

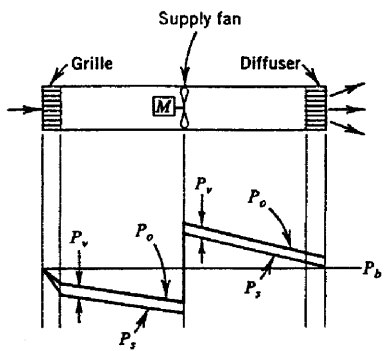


Figure 8.20 Pressure gradient diagram Of a simple duct-fan system

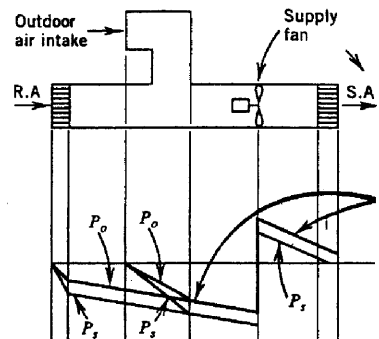


Figure 8.21 Pressure gradient diagram of duct fan system with Outdoor air-in take.

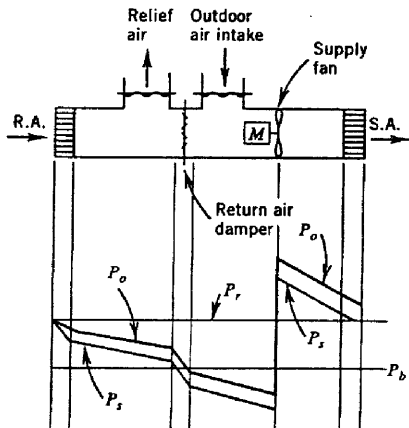


Figure 8.22 Pressure gradient diagram of a duct-fan system with outdoor air intake and exhaust (relief)

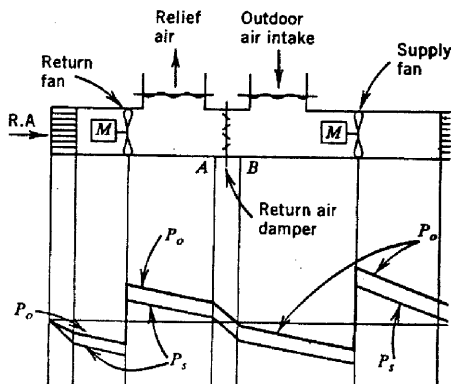


Figure 8.23 Pressure gradient diagram of two fan-duct system with outdoor intake and exhaust

- 5- يبين على الرسم التفيجي Working drawing تغيير المقاطع للتركيبات كما يبين عليه الفلاتر الطرفية وخانق الحريق وخانق اتزان حجم الهواء .
- 6- يبين أماكن وجود خوانق تحكم ضغط الهواء .
- 7- يتم بيان أماكن مخضبات الصوت (راجع باب الموضوع) .
- 8- يتم تحديد السرعة القصوى للهواء في كل جزء من أجزاء المنسك راجع Table 8.9 .
- 9- يتم جمع كل معدلات الهواء للغرف المختلفة لتكون معدل الهواء المار في المنسك الرئيسى .
- 10- يتم تحديد الحد الأقصى لفقد الضغط (إذا كان ضغط المروحة معروفاً يتم خصم فقد الضغط لعناصر وحدة المناولة وكذلك النواشر والخوانق) فيكون الجزء المتبقى هو فقد الضغط المسموح به للمنسك . ومعدل فقد الضغط لأنظمة السرعات المنخفضة هو P_f/m -
- 11- تأكد من وجود فراغ مناسب أعلى السقف الصناعي False ceiling لتركيب وتعليق أنظمة المنسك .
- 12- إذا كان الفراغ غير كافيا يجب زيادة سرعة الهواء مما يؤدي إلى تخفيض ابعاد المنسك ولكن سيزداد الاحتكاك وسيزيد فقد الضغط بالإضافة إلى مستوى إزعاج أعلى وسترتفع تكلفة التشغيل .
- 14- أحسب فقد ضغط السرعة لكل تركيبة وكل منسك مستقيم .
- 15- اضرب طول المنسك في معدل فقد الضغط لكل متر (P_f/m) لحساب فقد ضغط الاحتكاك لكل جزء مستقيم .
- 16- أحسب فقد الضغط لعناصر وحدة المناولة (تقريباً من Table 8.10) .
- 17- احسب فقد الضغط الكلي للنظام .

8.11 Duct Design Methods

8.11.1 Low velocity system

8.11 طرق تصميم المنسك

8.11.1 أنظمة السرعة المنخفضة

تستخدم لهذه الأنظمة طريقة تساوي الاحتكاك Equal Friction Method تعتمد فكرة هذه الطريقة على اختيار معدل فقد الضغط بالاحتكاك ($\Delta P_f/m$) لكل متر طولي واعتباره ثابتاً لكل

- من المسالك الرئيسية والفرعية وكذلك في باقي التركيبات (باعتماد طريقة الطول المكافئ L_{eq}). تحدد قيمة $(\Delta P_r / m)$ من Fig 8.3 وذلك بمعرفة معدل تصريف المروحة Q . وتحدد السرعة المثلثى للنظام والتي لا تسبب إزعاج من Table 8.9. نقطة التقاطع تعطى قطر المسار الرئيسي وبالاتجاه رأسيا لأسفل نقراء قيمة $(\Delta P_r / m)$ ثم يتم حساب الأطوال المكافئة للتركيبات ، وبضرب مجموع الأطوال المستقيمة + الأطوال المكافئة للتركيبات في معدل فقد الضغط وبضرب $(\Delta P_r / m)$ نحصل على فقد الضغط للمسالك .
- بالإضافة فقد الضغط خلال المخارج + عناصر وحدة المناولة نحصل على فقد الضغط الكلي الذي يسمح بإختيار المروحة . أما إذا كانت المروحة قد تم اختيارها مسبقاً فيحدد الضغط الذي تولده المروحة وبطرح فقد الضغط لعناصر وحدة المناولة (الفانر وملفات التبريد والت BX) ووحدة الريش وخلافه) بالإضافة إلى فقد الضغط من المخارج (النواشر) . الناتج هو فقد الضغط في المسالك .
 - بقسمة الناتج على مجموع الأطوال للمسالك المستقيمة بالإضافة إلى الأطوال المكافئة للتركيبيات نحصل على معدل فقد الضغط للمتر الطول $(\Delta P_r / m)$.
 - استخدام Fig 8.3 يمكن تحديد أبعاد المسار الدائري و Fig 8.4 لتحديد أبعاد المسار المستطيل . باستخدام Table 8.2 يمكن تحديد أبعاد المسار المستطيل المناظر .

Example 8.5

Find the size of each duct section for the system shown in Fig 8.24 using equal friction method. Use rectangular ducts. The system service storage buildings.

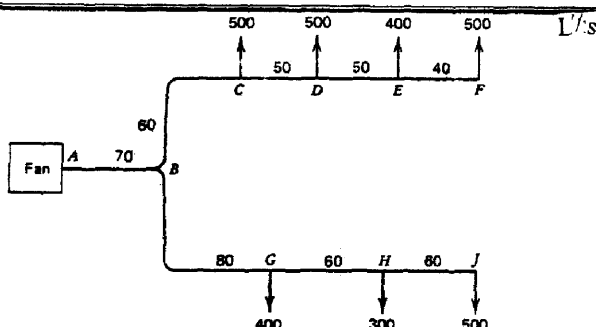


Figure 8.24 Sketch for Example 8.5

$$Q = 3100 \text{ L/S}$$

من Table 8.9 نجد أن سرعة الهواء في المقطع الرئيسي $V = 10 \text{ m/s}$. نقطة تقاطع تصرف مقداره هواء مقداره $V = 10 \text{ m/s}$ نقرأ:

$$D_{AB} = 625\text{mm} \quad \& \quad \Delta P_f/m = 1.5 \text{ Pa}$$

من Table 8.2 نقرأ أبعاد المستطيل المناظر للقطر $a \times b = 750 \times 450 \text{ mm}$: $D_{AB} = 625\text{mm}$

$$\text{المقطع } Q_{BC} = 1900 \text{ L/s} \quad BC$$

عند مقدار تصرف $P_f/m = 1.5$ نرسم خطًا أفقياً حتى يقطع الخط الرأسي $Q_{BC} = 1900 \text{ L/s}$

$$D_{BC} = 525\text{mm} \quad \& \quad V_{BC} = 9 \text{ m/s}$$

وتقراً عنده $D_{BC} = 525\text{mm}$ ومن Table 8.2 نقرأ أن $a \times b = 700 \times 350 \text{ m}$.

الأقطار لبقية أجزاء المقطع مبينة في Table 8.11

Table 8.11. Summary of Results for Example 8.5

Section	Q L/S	Velocity m/s	Friction loss Pa/m	Round diameter mm	Rect. Duct $a \times b$ mm
AB	3100	10	1.5	625	750x450
BC	1900	9	1.5	525	700x350
CD	1400	8.3	1.5	475	550x350
DE	900	7.5	1.5	400	400x350
EF	500	6.5	1.5	320	350x250
BG	1200	8	1.5	430	450x350
GH	800	7.2	1.5	375	350x350
HG	500	6.5	1.5	320	350x250

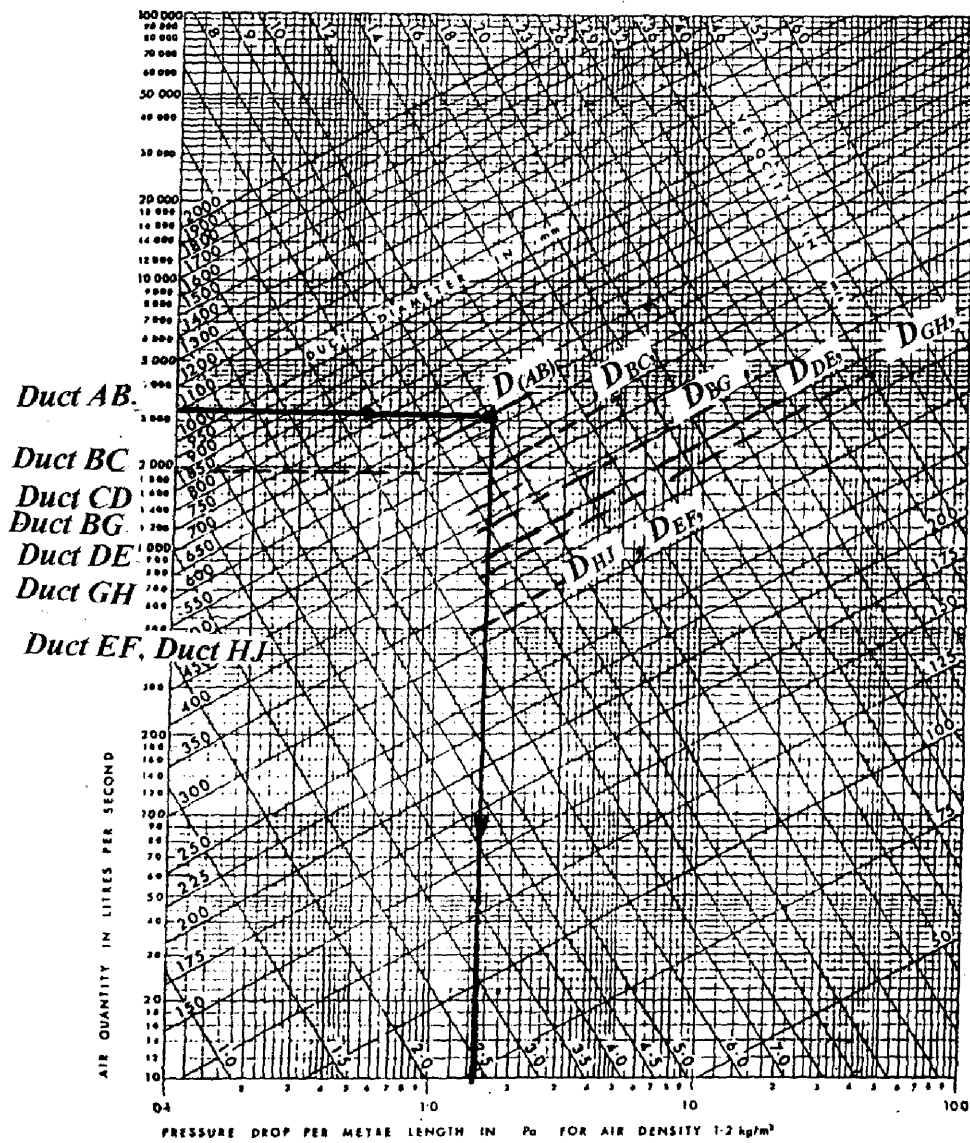


Figure 8.25 Duct sizing chart for example 8.5.

Example 8.6

Select rectangular sizes for the simple duct system shown in Fig.8.26 using the equal friction method the fittings pressure losses should be determined by equivalent length approach. The pressure loss for each diffuser is 5Pa. The system services an auditorium section. Determine duct pressure losses.

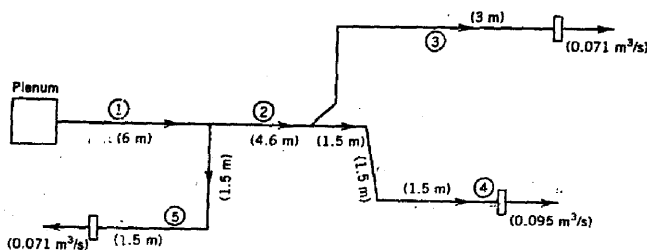


Figure 8.26 Duct layout for example 8.6

من Table 8.9 سرعة الهواء في مسلك التغذية الرئيسي = 6m/s

$$Q = 0.071 + 0.071 + 0.095 = 0.237 \text{ m}^3/\text{s}.$$

تصريف المروحة

معدل فقد الاحتكاك لكل متر هو 2Pa/mm

باستخدام Fig 8.27 نجد أن باستخدام التصريف المحسوب 0.237m³/s وعند السرعة 6m/s

$$(\Delta P_f/m) = 2P_f \quad \& \quad D_1 = 250 \text{ mm}$$

باستخدام Table 8.2 نجد أن الأبعاد المناظرة للقطر 250mm هي a x b = 400 x 150mm

للحظ أن النسبة الباعية لا يجب أن تتجاوز 4

الجزء رقم 2

معدل التدفق في الجزء 2

$$Q_2 = 0.071 + 0.095 = 0.166 \text{ m}^3/\text{s} = 166 \text{ L/s}$$

وبالدخول في Fig 8.27 عند Q = 166, L/s $\Delta P_f/m = 2.0 \text{ Pa}$ حتى ينطاطع مع

$$300 \times 150 \text{ mm} \quad \text{تعادل} \quad D_2 = 225 \text{ mm}$$

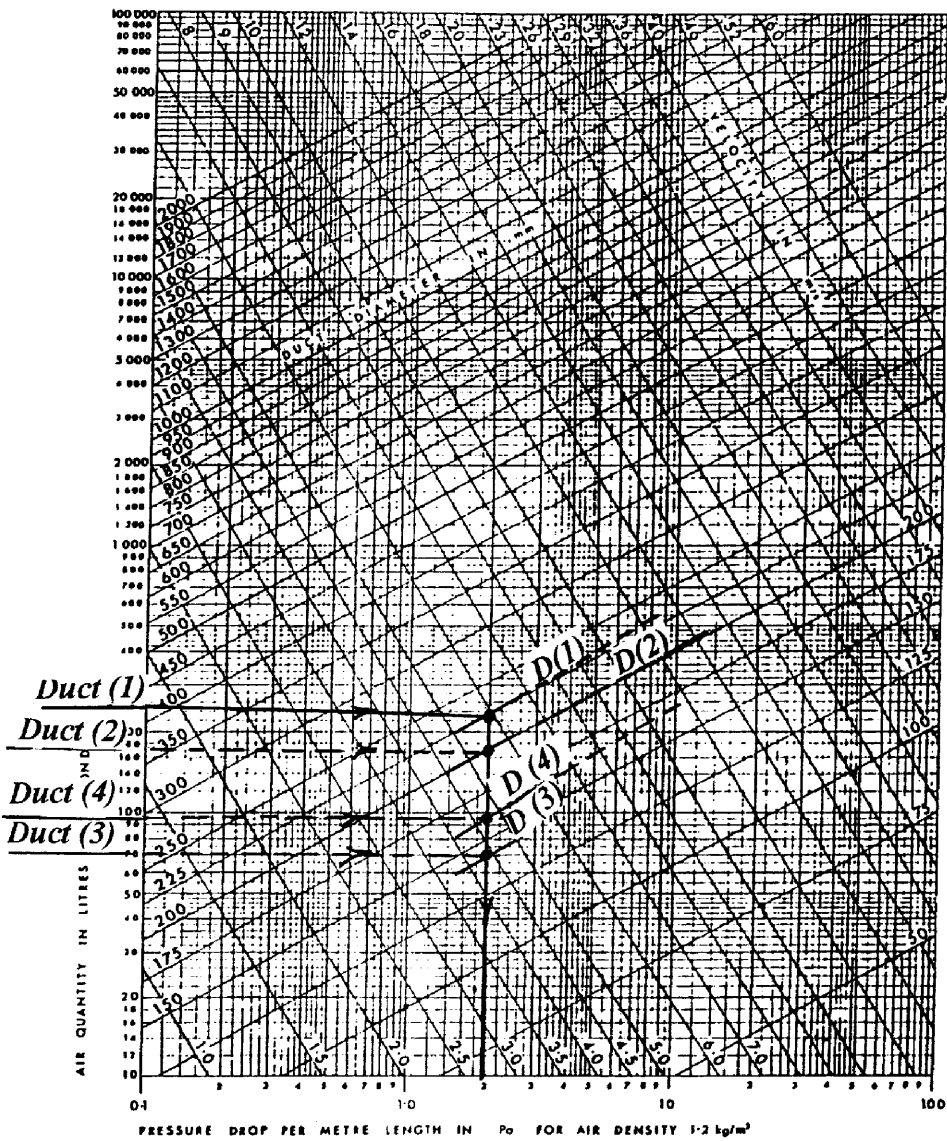


Figure 8.2.7 Duct sizing chart for example 8.6

لاحظ هنا أننا حافظنا بقدر الأمكان على طول الضلع $b = 150\text{mm}$ بالنسبة للجزء 1 أو الجزء 2 وذلك لسهولة التركيب والتنفيذ.

$$\text{الجزء 3} \quad \text{نجد أن } Q_3 = 0.071 \text{ m}^3/\text{s} = 71 \text{ L/s}$$

من Fig 8.26 نجد أن $D_3 = 135\text{mm}$ تعادل $a \times b = 150 \times 150\text{mm}$

الجزء 4

$$Q_4 = 0.095 \text{ m}^3/\text{s} = 95 \text{ L/s}$$

$a \times b = 150 \times 150 \text{ mm}$ تعادل $D_4 = 162.5\text{mm}$ بنفس الطريقة نجد أن

الجزء 5

أبعاده مثل الجزء 3 $a \times b = 150 \times 150\text{mm}$ (حيث أن له نفس التصرف)

لتحديد فقد الضغط ندرس المسارات الآتية

المسار 5-1 و 4-2-1 و 3-2-1

أولاً المسار 3-2-1

طول المسالك المستقيمة

الطول المكافى للتركيبات من Fig 8.17 توجد التركيبات الآتية

$$(1) \quad \text{Red: } L_{eq} = 1.52\text{m} \quad \& \quad T: (L_{eq} = 4.56\text{m})$$

$$\text{Elb 90: } (L_{eq} = 4.56) \quad \& \quad \text{Elb: } (L_{eq} = 3.04\text{m}) \quad \& \quad Y: (L_{eq} = 4.56\text{m})$$

$$\Sigma L_{eq} = 18.24\text{m}$$

$$\Delta P_{123} = (\Sigma L + \Sigma L_{eq}) \times (\Delta P_f/\text{m} + \Delta P_{dif}) \quad \Delta P_{123} \quad \text{فقد الضغط في المسار}$$

$$= (13.6 + 18.24) \times 2 + 5 = 68.68, \text{ Pa}$$

ثانياً المسار 4-2-1

$\Sigma L = 6 + 4.6 + 1.5 + 1.5 + 1.5 = 15.1\text{m}$ طول المسالك المستقيمة

الطول المكافى للتركيبات من Fig 8.17

$$Y: (L_{eq} = 4.56\text{m}), \text{ Red R: } (L_{eq} = 1.52\text{m}) \quad \& \quad T: (L_{eq} = 4.56\text{m})$$

$$\text{Elb: } (L_{eq} = 4.56\text{m}) \quad \& \quad \text{Elb: } (L_{eq} = 4.56\text{m})$$

$$\Sigma L_{eq} = 4.56 + 1.52 + 4.56 + 4.56 + 4.56 = 19.76\text{m.}$$

فقد الضغط في المنسك ΔP_{124}

$$\begin{aligned}\Delta P_{124} &= (\sum L + \sum L_{eq}) \times (\Delta P_f/m) + \Delta P_{dif} \\ &= (15.1 + 19.76) \times 2 + 5 = 74.72, \text{ Pa}\end{aligned}$$

ثالث المسار 5-7

$$\sum L = 6 + 1.5 + 1.5 = 9, \text{ m}$$

طول المنسك المستقيمة

الطول المكافئ للتركيبات من Fig 8.17

$$\begin{aligned}\text{Elb: } (L_{eq} = 4.56\text{m}) \quad &\& \quad T: (L_{eq} = 4.56\text{m}) \\ \sum L_{eq} &= 9.12\text{m}\end{aligned}$$

فقد الضغط في المنسك $\Delta P_{1.5}$

$$\begin{aligned}\Delta P_{1.5} &= (\sum L + \sum L_{eq}) \times (\Delta P_f/m) + \Delta P_{dif} \\ &= (9 + 9.12) \times 2 + 5 = 41.24 \text{ Pa}\end{aligned}$$

ما سبق يتضح أن أكبر فقد يكون على المسار 4-2-1 أى 74.72, Pa بالإضافة إلى ما سبق يؤخذ في الاعتبار فقد الضغط خلال عناصر وحدة المناولة وهي ملفات التبريد ملفات التسخين والثلنر ووحدة الرش وكذلك فقد الضغط عند مدخل ومخرج المروحة.
وتحدد قدرة المروحة المعادلة

$$P = \frac{(\sum \Delta P) \times Q}{\eta_M \cdot \eta_e}$$

حيث η الكفاءة الكهربائية والميكانيكية لمotor المروحة.

8.11.2 High velocity system 8.11.2 لأنظمة السرعة العالية

في أنظمة السرعات العالية تستخدم طريقة الاستناد Static Regain Method وتعتمد هذه الطريقة على تخفيض السرعة في اتجاه سريان الهواء مما يسمح بانخفاض ضغط السرعة وبالتالي زيادة الضغط الاستنادي بدرجة كافية لمقاومة فقد الاحتكاك في الجز الأحق وتبين ذلك في المثال الآتي :

Example 8.7

Determine the duct sizes for the system shown in Fig 8.28, using the static regain method. Round duct will be used. The system serves an industrial building.

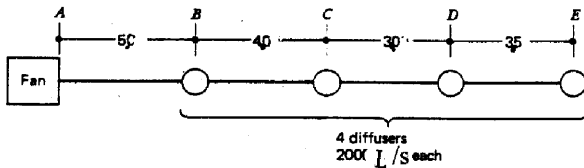


Figure 8.28 Sketch for Example 8.7

من 8.9 نختار السرعة في المقطع الرئيسي $V = 15 \text{ m/s}$

$$\text{مقطع } AB : Q = 800 \text{ L/s} \quad \& \quad V = 15 \text{ m/s}$$

من 8.3 بنفس الكيفية السابقة نجد أن :

$$D_{AB} = 260, \text{mm} \quad \& \quad (\Delta P_f/m) = 410 \text{ Pa}$$

فقد الضغط بالاحتكاك

$$(\Delta P)_{AB} = 5 \times 10 = 60, \text{Pa}$$

$$\text{مقطع } BC : Q = 600 \text{ L/s}$$

$$\text{نفرض أن السرعة هي } V_{BC} = 13 \text{ m/s}$$

من 8.3 نجد أن

$$D_{BC} = 420, \text{mm} \quad \& \quad (\Delta P_f/m)_{BC} = 8, \text{Pa}$$

$$(\Delta P)_{BC} = 8 \times 4 = 32, \text{Pa} \quad \text{فقدان الضغط بالاحتكاك}$$

$$(\Delta P)_{BC} = \frac{\rho}{2} (V_A^2 - V_B^2) \quad \text{اكتساب الضغط اللامتناهي}$$

$$= \frac{1.2}{2} (225 - 169) = 33.6, \text{ Pa}$$

القيمة متقاربة والفرق ضئيل فيكون اختيارنا للسرعة موفقاً ونعتبر أن

$$D_{BC} = 240\text{mm}, \quad & \quad V_{BC} = 13\text{m/s}$$

المسلك CD

معدل التصرف في المسلك

$$Q = 400, \text{L/s} \quad \text{نفرض أن السرعة}$$

$$V_{CD} = 11\text{m/s}$$

$$D_{CD} = 220\text{mm} \quad & \quad (\Delta P_f/m)_{CD} = 6.5, P_a$$

نجد أن Fig 8.3 مقدار فقد ضغط الاحتكاك

$$(\Delta P)_{CD} = 3 \times 6.5 = 19.5, \text{Pa}$$

اكتساب الضغط الاستاتيكي

$$(\Delta P)_{CD} = \frac{\rho}{2} (V_B^2 - V_C^2) = 28.8, \text{Pa}$$

الفارق كبير والاختبار غير موفق نختار سرعة أخرى

$$V_{CD} = 11.5\text{m/s}$$

$$(D_{CD}) = 235\text{mm} \quad & \quad (\Delta P_f/m)_{CD} = 7.5 \quad P_a$$

فقط ضغط الاحتكاك

$$(\Delta P)_{CD} = 3 \times 7.5 = 22.5, \text{Pa}$$

اكتساب الضغط الاستاتيكي

$$(\Delta P)_{CD} = \frac{\rho}{2} (V_B^2 - V_C^2)$$

$$= \frac{1.2}{2} (13^2 - 11.5^2) = 22.05, \text{Pa}$$

القيمة متقاربة والاختبار موفق

$$\text{مسلك } Q = 200 \text{ L/s} : DE$$

نختار سرعة ولتكن

$$9.5 \text{ m/s}$$

$$(D)_{DE} = 165\text{mm} \quad & \quad (\Delta P_f/m) = 7, P_a$$

$$(\Delta P_f)_{DE} = 3.5 \times 7 = 24.5, \text{Pa}$$

فقد ضغط الاحتكاك

$$(\Delta P)_{DE} = \frac{\rho}{2} (V_c^2 - V_d^2)$$

اكتساب الضغط الاستاتيكي

$$= \frac{1.2}{2} (11.5^2 - 9.5^2) = 25.2, \text{Pa}$$

القيمة متقاربة والاختبار كان موفقاً. القيم النهائية لتقدير أبعاد المسالك في Table 8.12

Table 8.12 Summary of Results for Example 8.7

Section	Q L/s	V m/s	D mm	L m	$\Delta P_f/m$ Pa	ΔP_f Pa	Static Regain pressure, Pa
AB	800	15	260	5	10	50	
B							33.6
BC	600	13	240	4	8	32	
C							22.05
CD	400	11.5	235	3	7.5	22.5	
D							25.2
DE	200	9.5	165	3.5	7	24.5	

Problems

- 8.1 Compute the lost pressure for 350mm 90° elbow with a volume flow rate of 0.6 m³/s of standard air.
- 8.2 Compute the lost pressure for a 400mm x 400mm 90° mitered elbow with a volume flow rate of 1.2m³/s of standard air (a) with single-thickness vanes, design 3, and (b) without vanes.
- 8.3 Compute the lost pressure for a diverging wye fitting with a 45 degree branch. The flow rate in the 30cm upstream section is 0.38m³/s, and the flow rate in the 15cm branch is 0.12m³/s. The downstream section has a diameter in 25cm.
- 8.4 Compute the lost pressure for a converging fitting. The flow rate in the 20cm upstream section is 0.24m³/s and the flow rate in the 20cm branch is 0.24m³/s. The downstream section has a diameter of 25cm Assume (a) a 45 degree wye.

8.5 A sudden enlargement in a circular duct measures 0.2m diameter upstream and 0.4m diameter downstream. The upstream pressure is 150Pa and the downstream is 200Pa. What is the flow rate through the fitting?

8.6 Size the rectangular ducts shown in Fig 8.2.9 by both equal friction method and by static regain method. The system service residence building for which velocity of air though the main supply duct is 6m/s Neglect fittings losses.

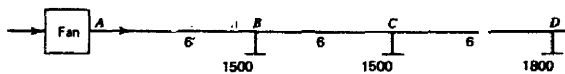


Figure 8.29 Sketch for problem 8.6

8.7 Find the total pressure drop in the duct system shown in Fig 8.30. from the fan outlet at A to F. The pressure loss through each outlet is 5Pa. The system service a restaurant. Circular duct is considered.

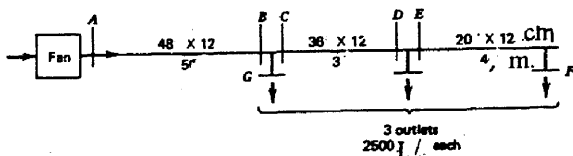


Figure 8.30 Layout of duct system problem 8.7

8.8 For the duct system shown in Fig 8.31 determine the system total pressure loss and fan requirements (head and power. Take $\eta_M=0.8$ & $\eta_e=0.85$). The fan inlet and outlet connection are not shown but it has been found that the system inlet loss is 50Pa and the outlet loss is 20Pa. The total pressure at each outlet for proper distribution is 25Pa.

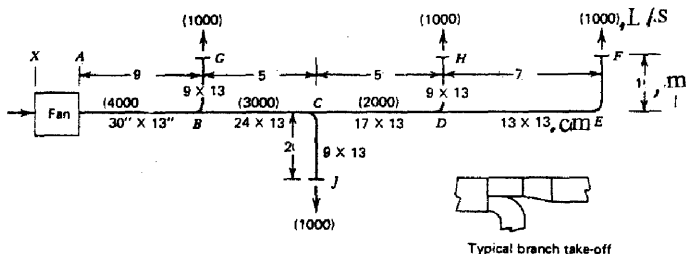


Figure 8.31 Layout of duct system for problem 8.8

8.9 Design the duct system of Fig 8.32 using equal friction method. The velocity in the duct attached to the plenum must not exceed 4.5m/s and the overall loss in total pressure should not exceed 80Pa. Total pressure losses for the diffusers are 10Pa. Rectangular ducts are required. The lengths shown are the total equivalent lengths of each section. (you are not request to determine fittings losses)

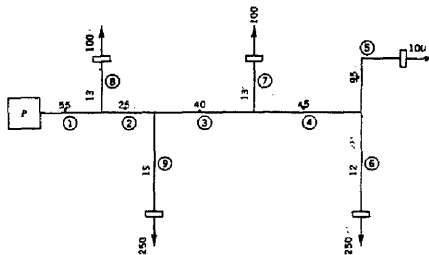


Figure 8.32 Layout of duct system problem 8.9

8.10 Design the duct system shown in Fig 8.33 using equal friction method. Each outlet has a terminal box that requires a minimum of 125Pa total pressure. Other pertinent data are shown on the Figure.

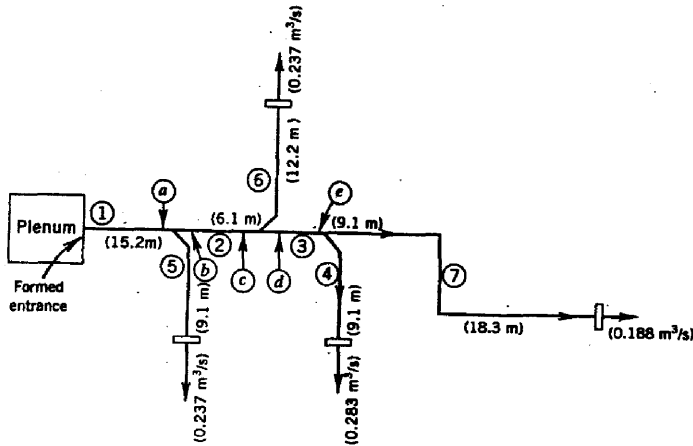


Figure 8.33. Layout of duct system for problem 8.10

المراوح

FANS

مقدمة :

المراوح ضرورية لدفع الهواء خلال معدات معالجة الهواء والمسالك حتى الأماكن الخاضعة للتكييف - كما تستخدم أيضا لسحب الهواء الملوث أو الغازات من الأماكن المكيفة

9.1 Fans Classifications

9.1 تصنيف المراوح

تصنيف المراوح طبقا لاتجاه السريان داخل المروحة إلى :

- 1- مراوح الطرد المركزي . Centrifugal fan
- 2- المراوح المحورية Axial Fan

أولا : مراوح الطرد المركزي *Centrifugal Fan*. تتكون مروحة الطرد المركزي -

من ظرف حلزون Scroll Casing يدور داخله دفاعة Impeller مركب عليها ريش Blades والتى تنقل الطاقة إلى الهواء المراد تحريكه . ويدخل الهواء محوريا ويتحرك في اتجاه دائري إلى الريش وبطء في اتجاه متعمد على المحور . Fig 9.1

تقسم مراوح الطرد المركزي طبقا إلى نوع الريش Fig 9.2 إلى الآتية :

- | | |
|------------------------|---|
| Radial blades | 1- مراوح طرد مركزي ذات ريش فى اتجاه القطر |
| Forward curved blades | 2- مراوح طرد مركزي ذات ريش منحنية للأمام |
| Backward curved blades | 3- مراوح طرد مركزي ذات ريش منحنية للخلف |
| Airfoil blades | 4- مراوح طرد مركزي ذات ريش ايروفولية |

والأخيرة عبارة عن ريش منحنية للخلف ذات سلك مضاعف لريش النوع الثالث وبمقارنة السرعة Fig 9.2 نجد أن السرعة فى المراوح ذات الريش القطرية Radial blades والمنحنية

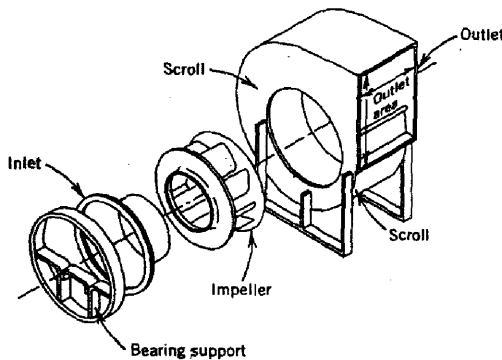


Figure 9.1 Exploded view of centrifugal fan.

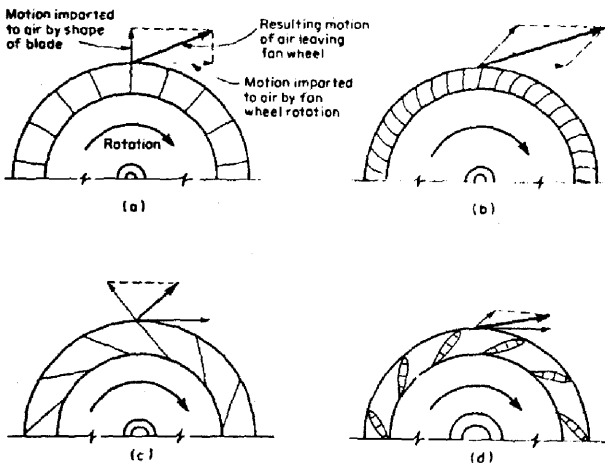


Figure 9.2 Types of centrifugal fan blades. a: Radial, b: Forward curved, c: Backward inclined d: Airfoil.

للأسماك Forward blades ، Backward blades Airfoil ولذلك فإن النوعين الآخرين يحتاجان إلى قدرة أقل وموتور أصغر وبالتالي أقل في تكاليف التشغيل وأعلى في الثمن .

مراوح центробежного типа قد تكون مفتوحة Open أو داخل إطار Cased. المراوح المفتوحة تستخدم للطرد فقط. وفي العادة تصنع مراوح الطرد المركزي في إطار ويكون السحب لـ من مدخل واحد Single inlet أو من口 مزدوجة سخن Double inlet . المراوح ذات المدخل الواحد هي الأكثر شيوعاً أما المراوح ذات المدخلين فهي منيدة عندما تكون كمية الهواء كبيرة بحيث تشغل نفس الحيز تجرياً.

ثانياً : المراوح المحورية Axial fans يدخل الهواء ويخرج في اتجاه المحور أبسط مثال لها هو رفاص Propeller كالمستخدم في الطائرة أو القارب إذا وضع هذا الرفاص داخل إطار دائري فسيسمى مراوح محورية داخل أنبوب Tube axial fan هذه الأخيرة إذا زودت بريش توجيه ثابتة قبل وبعد الرفاص وذلك للكبح دوران تيار الهواء وتسمى .Fig 9.3 Vane- axial fan

ويلاحظ أن المراوح المحورية الرفاص Propeller لا تستخدم في مستوى مقاومة صغيرة. ولذا نجد أن المراوح المحورية الرفاص Propeller لا تستخدم مع أي مسالك. عند الضرورة قد تستخدم مع مسالك قصيرة جداً مثل وحدات تكييف هواء صغيرة من نوع الشباك .

- أما المراوح داخل أنبوب Tube- axial Uneven فأن توزيع الهواء منها غير منتظم وهذا يجعلها غير مناسبة في مجال تكييف الهواء .

- بالنسبة للمراوح ذات ريش توجيه Vane- axial يمكن استخدامها في التهوية خلصة في المنشآت الصناعية ولكن يصدر عنها ضوضاء كبيرة مما يحد استخدامها في تكييف الهواء وتستخدم عندما يكون الفراغ المتأهل لتركيبها صغيراً مع اتخاذ إجراءات لتخفيف مستوى الضوضاء الصادر منها .

9.2 خصائص المراوح

9.2.1 Fan Characteristics

أداء المراوح عادة ما يمكن تمثيله في شكل منحنيات تبين علاقة كل من فرق الضغط

القدرة ، معامل الكفاءة η ، دالة من مقدار التصرف (السعة) Pressure head

. Volume flow rate

- **قدرة المروحة Fan power** يعبر عنها بالقدرة اللازمة لرفع الضغط بالإضافة إلى

القدرة اللازمة لتوليد الطاقة الكينيماتيكية لدفع الهواء أي

$$N_{\text{ideal}} = Q (P_2 - P_1) + m \cdot V^2 / 2 , \quad \text{kW} \quad (9.1)$$

حيث Q معدل تدفق الهواء الحجمي m^3/s

معدل تدفق كتلة الهواء kg/s

V سرعة الهواء الخارج من المروحة m/s

- كفاءة المروحة هي عبارة عن النسبة بين القدرة النظرية (المثالية) إلى القدرة الفعلية

أى أن Actual Power

$$\eta = \frac{N_{\text{ideal}}}{N_{\text{act}}} , \% \quad (9.2)$$

الخصائص السابقة مثل الضغط الذي تولده المروحة Pressure و القدرة Power والكافاءة Efficiency

Efficiency مماثلة في Fig 9.4 رأسياً في شكل نسبة منوية مع مقدار التدفق. في هذا الشكل

المروحة ذات الريش المتوجه للأمام - والمروحة ذات الريش الأيروفولية مماثلة لتلك ذات الريش

المستجدة للخلف وعلى ذلك يبين Fig 9.4 خصائص مراوح الطرد المركزي ذات الريش

المستجدة للخلف (a) و مراوح الريش المستجدة للأمام (b) والمروحة

المحورية في أنبوبة Tube- axial (c).

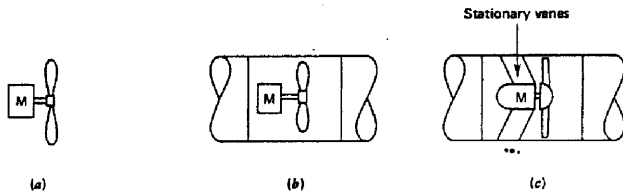


Figure 9.3 Types of axial flow fans a: Propeller, b: Tube- axial,

c: Vane- axial

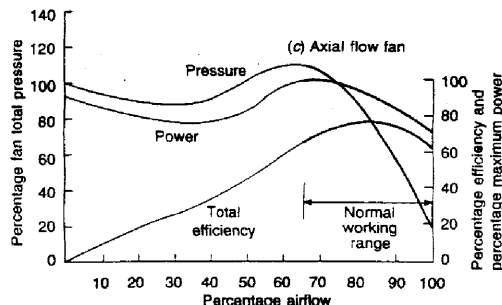
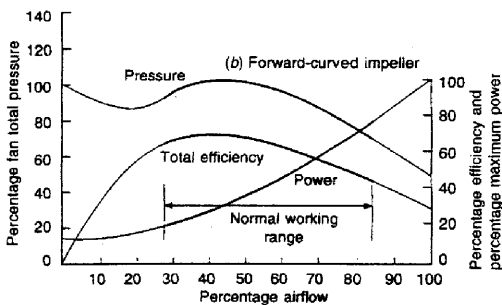
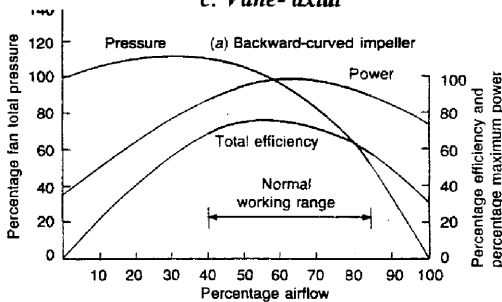


Figure 9.4 The characteristics performance of various types of fan.

أولاً : بدراسة خصائص مراوح الطرد المركزي (b) ، (a) نجد أن: عند منتصف مقدار التفريغ (50%) يتبين أن :

- الضغط المستولد من كلا من المراوح Forward ، Backward يصل تقريبا إلى أقصى قيمة له عند نسبة تفريغ 50% يبدأ بعدها في الانخفاض حتى يصل إلى أدنى عند 100% من التفريغ أو التدفق .

- قدرة المروحة ذات الريش الأمامية Forward تزداد فجأة عند المنتصف أما المروحة ذات الريش الخلفية فتزداد بالتدريج.

- معامل الأداء لكل النوعين يصل إلى أقصى قيمة له عند مقدار تصرف (50%) ويبدا بسرعة في الانخفاض وإن كان معامل الأداء للمراوح ذات الريش المنحنية لخلف أكثر من المراوح ذات الريش المنحنية للأمام مما يجعل تكاليف تشغيلها أقل وأفضل في الاستخدام.

ثانياً : بالنسبة للمراوح المحورية (c) نجد أن :

- الضغط ينخفض باستمرار مع زيادة التدفق ولذلك فهي غير مناسبة عند استعمالها عند أحصار كبيرة وللتغلب على ذلك يجب زيادة السرعة وهذا يجعل منها مصدرًا مهمًا للإزعاج.

- قدرة المروحة المحورية في أنبوبة Tube- axial fan تختفي باستمرار مع زيادة معدل التدفق حتى منتصف معدل التصرف (50%) ثم تبدأ بعدها في الازدياد حتى 70% ثم تبدأ بعدها في الانخفاض.

- كفاءة المروحة في أنبوبة تبلغ أقصى قيمة لها (حوالي 80%) عند (70%) من التدفق يبدأ بعدها في الانخفاض ومسع ذلك فهي أفضل وأقل تكلفة للتشغيل من كل المراوح المحورية.

9.3 قوانين المراوح

خصائص المراوح عادة تعطى في الطيور القياسية الآتية :

$$t_s = 20^\circ \text{C} \quad & \quad \rho = 1.2 \text{ kg/m}^3 \quad & \quad P_0 = 98919 \text{ Pa}$$

وقد يلجأ بعض صناع المراوح إلى وضع خصائص هذه المراوح تأسيساً إلى ظروف قد تختلف عن الظروف القياسية المشار إليها عالياً. هذا يدفع المهندسين إلى إعادة تقيير هذه الخصائص من خلال علاقات ترابطية تبين أثر تغيير بعض هذه الخصائص مثل التدفق ($Q, \text{m}^3/\text{s}$) — سرعة دوران المروحة ($\omega, \text{r/s}$) ، كثافة الهواء ($\rho, \text{kg/m}^3$) ، الضغط (P, Pa) (القدرة W) على بقية العوامل . هذه العلاقات تسمى بقوانين المروحة . وهي :

القانون الأول Law 1

مدخلات القانون : $\rho = \text{const}$ & $\omega = \text{varia}$

مخرجات القانون :

$$Q_1/Q_2 = \omega_1/\omega_2 \quad \text{بالنسبة لمعدل السريان}$$

$$P_1/P_2 = (\omega_1/\omega_2)^2 \quad \text{بالنسبة للضغط (الكلى أو الاستانيكى)}$$

$$N_1/N_2 = (\omega_1/\omega_2)^3 \quad \text{بالنسبة للفرة}$$

القانون الثانى Law 2

معطيات القانون : $Q = \text{const}$ & $\rho = \text{varia}$

مخرجات القانون :

$$P_1/P_2 = \rho_1/\rho_2$$

$$N_1/N_2 = \rho_1/\rho_2$$

القانون الثالث Law 3

مدخلات القانون : $P = \text{const}$ & $\rho = \text{Varia}$

مخرجات القانون :

$$Q_1/Q_2 = (\rho_2/\rho_1)^{0.5}$$

$$\omega_1/\omega_2 = (\rho_2/\rho_1)^{0.5}$$

$$N_1/N_2 = (\rho_2/\rho_1)^{0.5}$$

Example 9.1

A centrifugal fan creates pressure of 375, Pa at rotative velocity of 900 rpm and Q of $2.4, \text{m}^3/\text{s}$. Estimate the capacity, total pressure, and power requirement when the speed is increased to 1050, rpm. The initial power is 1.5, kW.

باستخدام القانون الأول للمرادح

$$Q_1 / Q_2 = \omega_1 / \omega_2$$

$$Q_2 = Q_1 \times \omega_2 / \omega_1$$

$$= 2.4 \times 1050 / 900 = 2.8, \text{m}^3/\text{s}$$

$$P_1 / P_2 = (\omega_1 / \omega_2)^2$$

$$P_2 = P_1 \left(\frac{\omega_2}{\omega_1} \right)^2 = 375 \times (1050 / 900)^2 = 515, \text{Pa}$$

$$N_1 / N_2 = (\omega_1 / \omega_2)^3$$

$$N_2 = N_1 \left(\frac{\omega_2}{\omega_1} \right)^3 = 1.5 \times (1050 / 900)^3 = 2.4, \text{kW}$$

٩.٤ اتزان خصائص نظام المسالك والمروحة

9.4, Balance of Fan - Duct System

إذا تم تمثيل خاصية نظام المسالك في شكل $[P_f = f(Q)]$ وخاصية المروحة $[P_{sys} = f(Q)]$ كما هو مبين في Fig 9.5. فإن نقطة التقاء تطبيقياً تحدد نقطة العمل لعمل منظومة المسالك والمروحة معاً.

إن فائدة تحديد نقطة العمل Operating point ليس فقط من أجل تحليل خصائص منحنيات المرروحة والنظام بل لها أيضاً فوائد عديدة منها :

- اختبار نقطة العمل Operating paint
 - تحليل التغيرات التي تحدث للنظام والصعوبات الناتجة وقد نلاحظ أن المقاومة الفعلية للنظام تختلف عما هو مصمم من أجله وقد يكون لذلك عدة أسباب منها .
 - خطاء في حساب فقد الضغط .
 - الالتحاد في الاعتبار مقاومة إضافية كبيرة كعامل أمان .
 - أن يكون تنفيذ نظام المسالك مغاير لما هو مخطط له .
 - احتواء الفلاتر على غبار وجسيمات أكبر مما هو مسموح لها .
 - أن يقوم أحد شاغلي المكان بإعادة ضبط خواص الهواء دون دراية .
- حدوث أحد أو مجموعة من الأسباب السابقة يؤدي إلى انحراف النظام عما هو مخطط له .

Example 9.2

The total pressure drop in the system for a flow of $3 \text{ m}^3/\text{s}$ is 522 Pa. It is required to plot the pressure volume characteristics of the system. If the fan used has a pressure volume characteristics given by the following information obtained from test, when running at 19,1 rpm as :

$Q (\text{m}^3/\text{s})$	1.5	2.0	2.5	3.0	3.5
$P (\text{Pa})$	542	520	488	443	338

Determine the quantity of air handled.

باستخدام القانون الأول

$$\frac{P_2}{P_1} = \left(\frac{Q_2}{Q_1} \right)^2$$

$$\therefore P_2 = 552 \left(\frac{Q_2}{3} \right)^2$$

بأعطاء قيمة مختلفة لـ Q_2 نحصل على قيم الضغط المناظرة لـ P_2 كما يلى :

$Q_2 (\text{m}^3/\text{s})$	0.5	1	1.5	2	3	3.25
$P_2 (\text{Pa})$	15.3	61.3	138	245	553	647

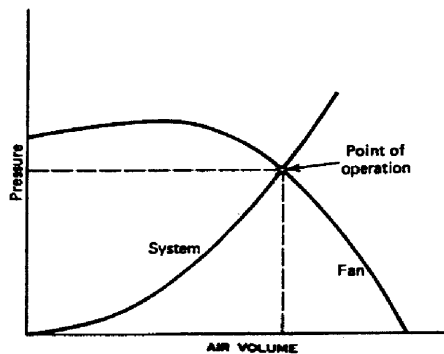


Figure 9.5 Fan and system curves plotted together. Intersection is operating point

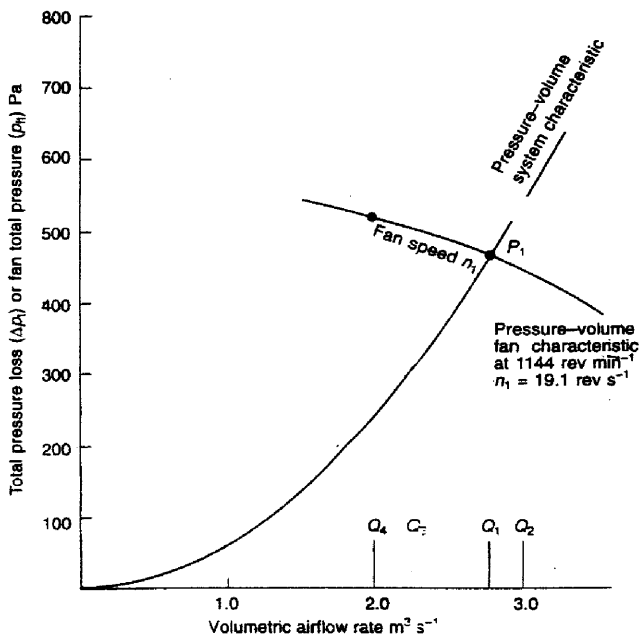


Figure 9.6 Fan – system characteristics of example 9.2

يتم تمثيل هذه العلاقة في Fig 9.6 وهي تمثل خواص النظام. يتم أيضا تمثيل خواص المروحة المعطاة في المثال نقطة التقطيع تعطى :

$$Q = 2.74 \text{ m}^3/\text{s} \quad \& \quad \text{معدل تدفق} \quad P = 466 \text{ Pa} \quad \text{ضغط}$$

9.5 تأثير النظام والتركيب System Effect and Installation

ان المروحة التي يتم اختيارها يجب أن تدفع كمية الهواء اللازمة للنظام وبضغط يساوى ضغط النظام. صانوو المراوح يعطون أداء المراوح في شكل جداول ومنحنيات مبنية على أساس اختبار هذه المراوح في المعامل. عند توصيل المراوح بالنظام فإن هناك فقدا للضغط عند مدخل Inlet وخرج Discharge المروحة. هذا الفقد يعتمد على شكل وحجم المروحة واتجاه التركيب. هذه العوامل تسمى تأثير النظم System effect. وهو ما يجب تخفيضه إلى أقل حد ممكن.

صانوو الوحدات المجمعة Packaged unit يأخذون في الاعتبار مقدار فقد الضغط نتيجة توصيل المراوح في هذه الوحدات. بالنسبة لمحطات التكييف المركزى فإن Fig 9.7 يعطى بعض نماذج توصيل مسلكى الدخول والخروج لمروحة ومنه يتضح أن :

1- يفضل عدم استخدام كوع بمدخل حاد ويفضل استخدام كوع بمدخل دائري ذو موجهات (Vanes) وللحصول على نتائج أفضل يسمح باستخدام مسلك مستقيم قبل الدخول للمروحة. سواء في حالة السحب أو الطرد. هذا الطول يسمى طول المسلك الفعال Effective duct length وفيه تكون السرعة تقريبا ثابتة في حالة الطرد. طول المسلك الفعال يقاس بقطر المسلك كما يلى:

Duct velocity, m/s	12.5	15	20	25	30	35	10
Effective length / duct diameter	2.5	3	4	5	6	7	8

ويفضل أن يكون قطر المسلك مساويا لقطر خرج المروحة وبنسبة لا تزيد عن $10\% \pm$ وفي حالة استخدام قطر أقل أو أكبر فان ميل الوصلة لا يزيد عن 15° . عند مدخل المروحة يستخدم كوع بمسلك مستقيم أيضا لتقليل فقد الضغط عند الدخول .

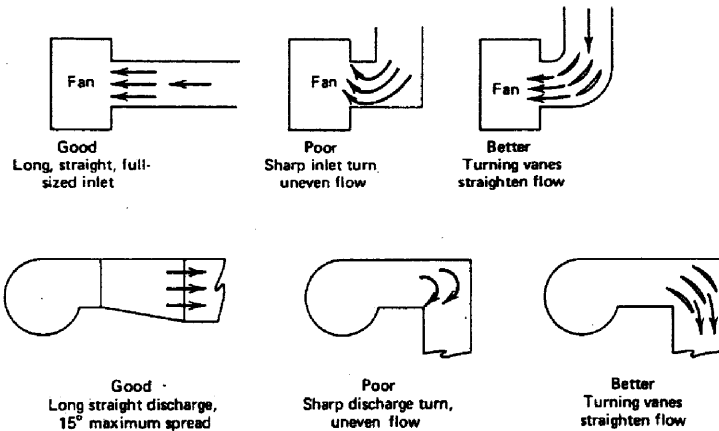


Figure 9.7 Examples of inlet and discharge to fan connections

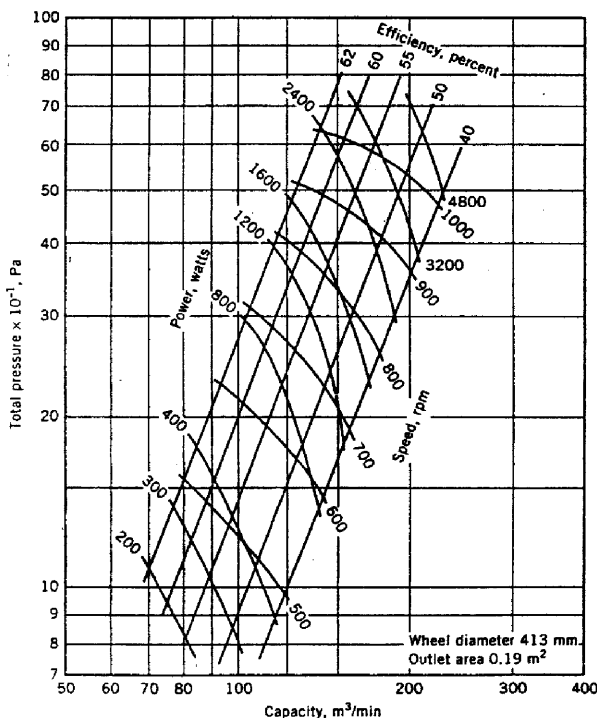


Figure 9.8 An example of performance data for forward – curved blade fan.

9.6 مراوح على التوالى والتوازى

9.6.1 Fans in Series and Parallel

- إذا ركبت مروحتان متماثلتان على التوالى فإنها يعطيان نفس التصرف ولكن بتوليد ضغط مضاعف .
- إذا ركبت نفس المروحتان على التوازى فإنهما يعطيان تصرف مضاعفاً وبنفس الضغط.

9.7 Fan Installation Procedure

9.7 منوال تركيب المراوح

بالإضافة إلى ما سبق بيانه يجب اتباع الآتى :

- 1- التوصيلات لمدخل ومنخرج المروحة يجب أن تصنع بحيث تسمح بتدفق التصرف المطلوب بأقل قدر من فقد الضغط .
- 2- وصلات المسلك بمدخل ومنخرج المروحة يجب أن يكونا مصنوعان من قماش القنب وذلك لتخفيض الاهتزاز . كما يجب أن توضع المروحة أو تعلق على مخفضات الاهتزاز Vibration isolator ويمكن استخدام لذلك سوست أو ياي أو طبقة من الكاشوك لهذا الغرض . وفي كل الأحوال يجب استشارة الصانع (راجع باب الموضوعات).
- 3- يجب الأخذ في الاعتبار وجود فتحة خاصة إن لزم الأمر للتنقیش والإصلاح.
- 4- يجب أن يزود إطار التركيب بفتحة تبين حالة وصلة السير بدون الفتح

9.8 Fan Selection

9.8 اختيار المراوح

اختيار انسب نوع من المراوح يعتمد بالدرجة الأولى على الاستخدام المطلوب وكذلك على أداء وخصائص المروحة .

- المراوح المحورية الرفاصة لا تستطيع أن تولد ضغطاً عالياً ولذلك فهي تستخدم حيث يتطلب ضغط منخفض أو في عدم وجود مسلك . هذه المراوح منخفضة الثمن والاستخدام الأمثل لها هي كأنظمة طرد ترکب على شباك أو حائط . وتستخدم أيضاً لتبريد المكتبات وإبراج التبريد

ودفع الهواء خلال المblerات اليوائية. ويستخدم بدلا منها مراوح الطرد المركزى لمسالك أنظمة تكيف الهواء.

- المراوح ذات الريش المنحنية للأمام Forward curved عادة منخفضة الثمن مقارنة بالمنحنية للخلف Backward عند نفس الأداء ولكن تكاليف تشغيلها أكبر وذلك لإنخفاض معامل الأداء لها. ونظراً لزيادة القراءة الضرورية للدارة قد تسبب في زيادة تحمل المотор خاصة إذا عملت لضخ كمية هواء أكبر من المحدد لها. هذه المراوح تستخدم أساساً في وحدات التكيف المجمعة Packaged units لرخص ثمنها.
 - مراوح الطرد المركزى ذات الريش المنحنية للخلف Backward هي في الغالب غالبة الثمن ولكن تكاليف تشغيلها أقل من مراوح الطرد المركزى ذات الريش المنحنية للأمام Forward curved عاليه. هنا نجد أن القدرة المحددة تقلل احتمال حدوث زيادة تحمل المotor وذلك لأنها العالية. Motor overloading وذلك في حالة دفع كمية هواء أكبر من المحدد لها.
 - مراوح الطرد المركزى ذات الريش الإيروفولية Airofoil fan تمتاز بأنها صاحبة أعلى معدل أداء وهي أغلى لمراوح على الإطلاق.
 - المراوح المحورية في أنبوب Tube-axial أو محورية ذات ريش توجيه Vane- axial يمكن استخدامها مع أنظمة المسالك. في حالة الأولى Axial- Tube- Axial فلن توزع الهواء غير منظم فيجعلها غير مرغوبة. أما الثانية Vane-axial فتوزيع الهواء لها منظم ولكنها تولد ضوضاء عالية يتطلب معها اتخاذ إجراءات لتخفيف هذه الضوضاء وهي تستخدم في المنشآت الصناعية حيث الضوضاء لا تتشكل عملاً مهماً.
- بعد اتخاذ القرار باختيار نوع المروحة كما سبق بيانه. الخطوة التالية هي تحديد حجم المروحة ولذلك يلزم الآتي :
- 1- تحديد مقدار التصرف الذي تدفعه المروحة اعتماداً على حساب الحمل الحراري للمكان.
 - 2- حساب قدر الضغط خلال أنظمة المسالك وكذلك عناصر وحدة مناولة الهواء ومدخل ومخرج المروحة.

٦- تختار المروحة من خصائص المروحة وذلك عند منتصف معدل التدفق $(Q=40:80\%)$
لما روح الطرد المركزي ومن $Q = 65:95\%$ للماروح المحورية والتي تناسب مع أعلى
معدل أداء كما هو مبين في Fig 9.4 وذلك عند الظروف الفياسية وهي

$$t = 20^\circ \text{C} \quad \& \quad \rho = 1.2 \text{ kg/m}^3 \quad \& \quad P = 98919 \text{ Pa}$$

وفي حالة اختلاف الخواص في الكتالوجات عن هذه الظروف تستخدم قوانين المراوح للتوفيق.
بعض أشكال الكتالوجات لخواص المراوح مبينة في Fig 9.8 ومن المعتمد أن تعطى هذه الخواص
معدل التدفق Q , m^3/s والضغط P , Pa , والسرعة ω , rpm , ولهذا السبب يستخدم الجدول
أكثـر من المـعـنـيات ولكن لا يـظـهـرـ فـيهـ قـيمـ لـعـامـلـ الأـداءـ فيـ Table 9.1، Table 9.2 نـظـهـرـ
نـادـيجـ خـصـائـصـ المـراـوحـ لـشـركـاتـ Hitachiـ, Carrierـ. تـجـمـعـ الخـصـائـصـ السـابـقـ ذـكـرـهـاـ.
يـسـاحـظـ أـنـ اـخـتـيـارـ المـراـوحـ لـأـنـظـمـةـ المـرـعـاتـ الـمـنـخـضـةـ Low velocity systemـ
فـإـنـ اـسـتـخـدـمـ الضـغـطـ الـكـلـىـ أـلـفـلـ منـ الضـغـطـ الـإـسـتـاتـيـكـ وـفـيـ أـنـظـمـةـ المـرـعـاتـ الـعـالـيـةـ
High velocity systemـ يـسـتـخـدـمـ الضـغـطـ الـكـلـىـ حـيـثـ يـعـطـيـ دـقـةـ أـكـبـرـ. الضـغـطـ الـإـسـتـاتـيـكـ فـيـ
الـغـالـبـ يـسـمـيـ الضـغـطـ الـإـسـتـاتـيـكـ الـخـارـجـيـ وـيـرـمـزـ لـهـ بـالـرـمـزـ SP or ESPـ وـسـنـيـنـ كـيـفـ يـعـكـرـ
استـخـدـمـ الـمـنـحـنـيـاتـ وـالـجـادـوـلـ.

Example 9.3

What static pressure will the fan whose performance curve are shown in Fig 9.8 develop at delivery of $100 \text{ m}^3/\text{min}$ to 500 rpm ? What will be the power required and mechanical efficiency at this conditions ?

باستخدام Fig 9.8 عند تقطيع $Q = 100 \text{ m}^3/\text{min}$ مع $\omega = 500 \text{ rpm}$

نجد أن $N = 400 \text{ W}$

والاتجاه افقيا نجد أن

Example 9.4

Select a centrifugal fan to supply $5 \text{ m}^3/\text{s}$ at 375 Pa

Table .9.1 FAN PERFORMANCE DATA — 0-300 Pa ESP — SI

UNIT	AIRFLOW (L/s)	EXTERNAL STATIC PRESSURE (Pa)										300		
		0		50		100		150		200				
		r/s	kW	r/s	kW	r/s	kW	r/s	kW	r/s	kW	r/s		
40RM 007	850	5.34	0.17	7.38	0.25	8.91	0.32	10.20	0.39	11.30	0.46	12.30	0.53	13.30
	1000	6.26	0.24	8.10	0.32	9.53	0.40	10.80	0.48	11.80	0.55	12.80	0.63	13.70
	1150	7.22	0.33	8.94	0.41	10.20	0.50	11.40	0.58	12.40	0.66	13.40	0.73	14.20
	1300	8.17	0.43	9.64	0.52	10.90	0.61	12.00	0.69	13.00	0.77	13.90	0.85	14.80
	1450	9.11	0.55	10.50	0.64	11.60	0.73	12.70	0.82	13.60	0.91	14.50	0.99	15.40
40RM 40RMS 008	1000	5.83	0.22	7.67	0.30	9.11	0.38	10.40	0.45	11.50	0.53	12.50	0.61	13.40
	1200	6.76	0.32	8.49	0.41	9.88	0.50	11.10	0.57	12.10	0.66	13.10	0.74	14.00
	1400	7.69	0.46	9.42	0.55	10.70	0.64	11.80	0.72	12.80	0.81	13.80	0.89	14.60
	1600	8.61	0.62	10.40	0.71	11.80	0.80	12.60	0.89	13.80	0.96	14.60	1.07	15.30
	1800	10.10	0.80	11.40	0.90	12.50	1.00	13.50	1.09	14.40	1.18	15.20	1.27	16.00
40RMS 010	1200	6.58	0.31	8.35	0.40	9.78	0.49	11.00	0.57	12.00	0.65	13.00	0.73	13.90
	1400	7.67	0.44	9.25	0.54	10.60	0.63	11.70	0.71	12.70	0.80	13.60	0.88	14.50
	1600	8.77	0.60	10.20	0.70	11.40	0.79	12.50	0.88	13.40	0.97	14.30	1.05	15.20
	1800	9.86	0.78	11.10	0.88	12.30	0.98	13.30	1.07	14.20	1.16	15.10	1.25	15.90
	2000	11.0	0.99	12.10	1.09	13.20	1.19	14.10	1.29	15.00	1.38	15.80	1.48	16.50
40RM 40RMS 012	1450	7.56	0.46	9.18	0.58	10.50	0.65	11.60	0.73	12.70	0.82	13.60	0.90	14.50
	1670	8.73	0.63	10.20	0.73	11.40	0.83	12.50	0.92	13.40	1.01	14.30	1.10	15.20
	1800	9.93	0.84	11.20	0.95	12.30	1.05	13.30	1.14	14.30	1.24	15.10	1.33	15.90
	2120	11.70	1.08	12.20	1.18	13.20	1.29	14.20	1.39	15.10	1.48	15.90	1.58	16.70
	2350	12.30	1.38	13.30	1.17	14.30	1.57	15.20	1.68	16.00	1.78	16.80	1.88	17.60
40RMQ 012	1450	8.04	0.49	9.57	0.58	10.90	0.67	12.00	0.76	13.00	0.85	13.90	0.93	14.80
	1670	9.26	0.67	10.80	0.77	11.80	0.86	12.90	0.95	13.80	1.04	14.70	1.13	15.50
	1800	10.50	0.89	11.80	0.98	12.80	1.09	13.80	1.19	14.70	1.28	15.60	1.38	16.40
	2120	11.80	1.14	12.80	1.24	13.90	1.35	14.80	1.45	15.60	1.55	16.40	1.64	17.20
	2350	13.00	1.43	14.00	1.54	15.00	1.65	15.80	1.75	16.60	1.85	17.40	1.95	18.10
40RMQ 012	1750	5.99	0.27	7.80	0.43	9.41	0.59	10.70	0.75	11.90	0.92	13.00	1.06	14.00
	2050	7.01	0.41	8.60	0.60	10.10	0.78	11.30	0.96	12.40	1.14	13.50	1.33	14.40
	2350	8.04	0.60	9.53	0.81	10.80	1.01	12.00	1.21	13.00	1.41	14.00	1.61	14.90
	2650	9.07	0.84	10.40	1.06	11.60	1.28	12.70	1.50	13.70	1.72	14.60	1.94	15.50
	2850	10.10	1.13	11.30	1.37	12.40	1.61	13.40	1.85	14.40	2.08	15.30	2.32	16.10
40RM 40RMS 014	2100	6.43	0.37	8.19	0.55	9.65	0.73	10.90	0.92	12.10	1.11	13.10	1.30	14.10
	2450	7.51	0.57	8.06	0.77	10.40	0.97	11.60	1.18	12.70	1.39	13.70	1.60	14.60
	2800	8.58	0.82	9.96	1.06	11.20	1.27	12.30	1.49	13.30	1.72	14.30	1.95	15.10
	3150	9.55	1.14	10.90	1.38	12.00	1.63	13.10	1.87	14.00	2.12	14.90	2.36	15.80
	3500	10.70	1.52	11.90	1.78	12.90	2.05	13.90	2.31	14.80	2.58	15.60	2.84	16.40
40RM 40RMS 016	2100	6.65	0.39	8.39	0.58	9.83	0.76	11.10	0.95	12.20	1.13	13.30	1.31	14.20
	2450	7.76	0.60	9.30	0.81	10.60	1.01	11.80	1.22	12.90	1.43	13.80	1.63	14.80
	2800	8.67	0.86	10.20	1.08	11.50	1.32	12.60	1.55	13.60	1.78	14.50	2.01	15.40
	3150	9.68	1.19	11.20	1.44	12.30	1.70	13.40	1.95	14.30	2.20	15.20	2.45	16.00
	3600	11.10	1.59	12.20	1.88	13.20	2.14	14.20	2.41	15.10	2.64	16.90	2.95	16.70
40RMQ 018	2800	8.58	0.86	9.96	1.09	11.20	1.32	12.30	1.55	13.30	1.78	14.20	2.01	15.10
	3250	9.91	1.26	11.10	1.53	12.20	1.78	13.20	2.04	14.20	2.30	15.10	2.55	15.90
	3600	11.30	1.81	12.30	2.08	13.30	2.37	14.30	2.64	15.10	2.93	16.00	3.21	16.80
	4250	12.80	2.46	13.80	2.76	14.50	3.07	15.30	3.37	16.10	3.67	16.90	3.98	17.70
	4700	13.90	3.24	14.80	3.57	15.60	3.90	16.40	4.22	17.20	4.55	17.90	4.88	18.60

Table 9.2

Fan Performance Table

Conversion Multiplier: 1mmAq=9.81Pa

Model	Air Flow (m ³ /min)	External Static Pressure (mmAq)																
		0	2	4	6	8	10	12	14	16	18	20	22	24	26	28	30	
RUA-SAT3E	36.8 RPM BKW	720 0.05	750 0.08	780 0.10	800 0.13	830 0.16	860 0.18	890 0.21	920 0.24	950 0.26	980 0.29	1000 0.32	1030 0.34	1060 0.37	1090 0.39	1120 0.42	1150 0.45	
	41.4 RPM BKW	740 0.07	770 0.10	800 0.13	820 0.16	850 0.19	880 0.22	910 0.25	940 0.27	970 0.30	990 0.33	1020 0.36	1050 0.39	1080 0.42	1110 0.45	1140 0.47	1160 0.50	
	46 RPM BKW	760 0.09	790 0.13	810 0.16	840 0.19	870 0.22	900 0.25	930 0.28	960 0.31	990 0.34	1020 0.36	1050 0.41	1080 0.44	1110 0.47	1140 0.50	1170 0.53	1200 0.57	
	50.6 RPM BKW	780 0.12	810 0.16	840 0.20	870 0.23	900 0.26	930 0.30	960 0.37	990 0.40	1020 0.44	1050 0.47	1080 0.54	1110 0.58	1140 0.62	1170 0.65	1200 0.68		
	55.2 RPM BKW	820 0.16	860 0.19	890 0.23	920 0.27	950 0.31	980 0.35	1010 0.38	1040 0.41	1070 0.44	1100 0.47	1130 0.50	1160 0.53	1190 0.56	1210 0.59	1240 0.62		
	55.2 RPM BKW	690 0.05	720 0.10	750 0.13	780 0.16	810 0.19	840 0.22	870 0.25	900 0.28	930 0.32	960 0.35	990 0.38	1020 0.41	1050 0.44	1080 0.47	1110 0.50	1140 0.53	
RUA-BAT3E	55.2 RPM BKW	720 0.09	750 0.13	780 0.17	810 0.20	840 0.24	870 0.28	900 0.31	930 0.35	960 0.39	990 0.42	1020 0.45	1050 0.48	1080 0.51	1110 0.54	1140 0.57	1170 0.61	
	62.1 RPM BKW	720 0.09	750 0.13	780 0.17	810 0.20	840 0.24	870 0.28	900 0.31	930 0.35	960 0.39	990 0.42	1020 0.45	1050 0.48	1080 0.51	1110 0.54	1140 0.57	1170 0.61	
	69 RPM BKW	750 0.13	780 0.18	810 0.22	840 0.27	870 0.31	900 0.35	930 0.40	960 0.44	990 0.48	1020 0.53	1050 0.56	1080 0.62	1110 0.67	1140 0.71	1170 0.75	1200 0.80	
	75.9 RPM BKW	800 0.20	830 0.25	860 0.31	890 0.36	920 0.42	950 0.48	980 0.53	1010 0.59	1040 0.64	1070 0.70	1100 0.75	1130 0.81	1160 0.86	1190 0.92	1210 0.98	1240 1.03	
	82.8 RPM BKW	860 0.35	890 0.42	920 0.50	950 0.58	980 0.65	1010 0.73	1040 0.81	1070 0.88	1100 0.94	1130 1.12	1160 1.27	1190 1.35	1210 1.43	1240 1.50	1270 1.58		
	72 RPM BKW	750 0.10	770 0.15	800 0.20	820 0.25	850 0.29	880 0.34	900 0.38	920 0.44	940 0.49	960 0.54	980 0.58	1000 0.62	1020 0.67	1040 0.70	1060 0.73	1080 0.78	1100 0.83
RUA-1GAT3	81 RPM BKW	780 0.13	800 0.18	820 0.24	850 0.29	880 0.34	900 0.39	920 0.45	940 0.50	960 0.56	980 0.61	1000 0.66	1020 0.71	1040 0.77	1060 0.82	1080 0.87	1100 0.93	
	90 RPM BKW	820 0.18	840 0.24	860 0.30	890 0.36	910 0.42	940 0.48	960 0.54	980 0.60	1000 0.67	1020 0.72	1050 0.78	1080 0.84	1100 0.90	1120 0.96	1140 1.02	1160 1.08	
	99 RPM BKW	860 0.25	890 0.31	910 0.38	940 0.45	960 0.53	980 0.60	1000 0.68	1020 0.74	1040 0.80	1060 0.87	1100 0.94	1140 1.01	1160 1.08	1190 1.15	1210 1.22	1240 1.29	
	108 RPM BKW	920 0.38	950 0.46	980 0.54	1000 0.63	1020 0.71	1050 0.78	1080 0.85	1100 0.92	1120 0.98	1150 1.05	1180 1.12	1200 1.19	1220 1.26	1240 1.31	1260 1.34	1280 1.38	
	88 RPM BKW	720 0.18	750 0.25	780 0.31	800 0.37	830 0.43	860 0.49	890 0.55	910 0.61	940 0.67	960 0.74	980 0.80	1000 0.86	1020 0.92	1040 0.98	1060 1.04	1080 1.10	1100 1.14
	99 RPM BKW	780 0.26	800 0.33	820 0.40	850 0.46	880 0.55	900 0.63	930 0.70	960 0.77	990 0.85	1020 0.92	1050 0.99	1070 1.07	1100 1.14	1130 1.21	1160 1.28	1190 1.36	
RUA-13AT3	110 RPM BKW	800 0.32	830 0.48	860 0.54	890 0.60	910 0.67	930 0.72	960 0.78	980 0.86	1000 0.94	1020 1.02	1050 1.08	1080 1.15	1110 1.22	1140 1.29	1170 1.36	1200 1.44	1230 1.52
	121 RPM BKW	850 0.45	880 0.54	900 0.63	920 0.72	940 0.81	960 0.90	990 0.99	1010 1.08	1030 1.17	1060 1.26	1090 1.35	1120 1.44	1150 1.53	1180 1.62	1210 1.71	1240 1.80	
	132 RPM BKW	890 0.55	920 0.65	950 0.75	980 0.85	1000 0.95	1020 1.05	1050 1.10	1100 1.15	1130 1.20	1160 1.25	1190 1.35	1220 1.45	1250 1.55	1280 1.65	1310 1.75	1340 1.86	
	104 RPM BKW	740 0.23	770 0.30	800 0.38	830 0.46	860 0.53	890 0.61	920 0.68	940 0.76	970 0.84	990 0.91	1020 0.99	1050 1.06	1080 1.14	1120 1.22	1150 1.29	1180 1.37	
	117 RPM BKW	780 0.30	810 0.39	840 0.48	860 0.56	890 0.65	920 0.74	950 0.82	980 0.91	1000 0.99	1030 1.08	1070 1.17	1100 1.25	1140 1.34	1180 1.43	1210 1.51	1250 1.60	
	130 RPM BKW	860 0.39	890 0.49	920 0.59	940 0.69	970 0.78	990 0.86	1020 0.95	1040 1.04	1070 1.13	1100 1.21	1140 1.27	1170 1.37	1210 1.47	1250 1.57	1280 1.66	1310 1.76	
RUA-ISAT3	143 RPM BKW	940 0.52	970 0.64	990 0.75	1020 0.87	1040 0.98	1070 1.02	1080 1.12	1100 1.23	1120 1.33	1140 1.45	1170 1.56	1190 1.68	1220 1.79	1250 1.91	1280 2.03	1310 2.14	
	156 RPM BKW	1020 0.77	1050 0.91	1080 1.05	1100 1.19	1130 1.33	1150 1.47	1180 1.61	1210 1.75	1230 1.89	1250 2.03	1280 2.17	-	-	-	-	-	

RPM: Fan Speed(rpm)
BKW: Brake Power(kW)

NOTE:
When the external static pressure exceeds the shaded area, oversized fan motor and or a fan pulley are required.

نحاول اختبار مروحة من انتاج Hitachi
 الصنف الاستانيكى الخارجى معطى فى Pa نحوله إلى مليمترات زئبق
 $ESP = 375 \div 9.51 = 38.22 \text{ mm Ag}$

نختار الضغط الأكبر الأقرب وهو 40mm Ag
 وحيث معدل التدفق معطى فى m^3/s نحوله m^3/min كما فى Table 9.2 فيكون
 $Q = 5\text{m/s} \times 60 = 300 \text{ m}^3/\text{min}$
 ومن الجدول نختار معدل التدفق $Q = 312 \text{ m}^3/\text{s}$
 ومنه نختار المروحة 30 AT35 RUA - بالخصائص التالية :
 $Q = 312 \text{ m}^3/\text{s}$ at 1170 rpm
 $N = 6.68 \text{ kW}$.

Problems

9.1 Measurements made on a newly installed air-handling system were :
 $\omega = 20, \text{r/s}$ fan speed, $2.4\text{m}^3/\text{s}$ airflow rate, $3.40, \text{Pa}$ fan discharge pressure , and $1.8, \text{kW}$ supplied to the motor. These measurement were made with an air temperature of 20°C , and the system is eventually to operate with air at 40°C . If the fan speed remains at $20, \text{r/s}$ what will be the operating values of (a) air flow rate, (b) static pressure, (c) power.

9.2 A fan - duct system is designed so that when the air temperature is 20°C , the mass flow rate is $5.2, \text{kg/s}$ when the fan speed is $18, \text{r/s}$ and the fan motor requires $4.1, \text{kW}$. A new set of requirements is imposed on the system : the operating air temperature changed to 50°C , and the fan speed is increased so that the same mass flow rate is prevails. What are the revised fan speed and power requirement.

9.3 A system of duct and plant has a total pressure loss of 600,Pa when 1300, L/S of air flows. A fan running at 11, r/s is coupled to the system and has the following characteristics :

<i>Q: l/s</i>	0	100	200	300	400	500	600	700	800	900	1000	1100
<i>P : Pa</i>	450	457	462	465	461	445	417	376	327	226	194	100

- (a) : Determine the actual duty achieved and the speed at which the fan must run to get the design duty.
- (b) : If two fan of such type are connected in series what will be the duty of the system mentioned if they each run at 11,r/s.

9.4 (a) State three fan laws that describe the behavior of a fan given duct system and fixed air density

(b) A fan has pressure- volume characteristics at 10 r/s as follows :

<i>Q , (m³/s)</i>	0.0	0.5	1.0	1.5	2.0	2.5	3.0	3.5
<i>P , (Pa)</i>	400	435	460	486	483	474	450	393.

Assuming a square law relating pressure drop and flow rate in the duct system to which the fan is coupled, determine the quantity of air handled and the fan total pressure of 580, Pa when 3m³/s is flowing. At what speed must the fan be run to give 3m³/s? if the fan efficiency is then 75% what will be the power absorbed ?

9.5 A duct system has been designed for 150 m³/min at 500 Pa total pressure. Would the fan shown in Fig 9.8 be suitable for this application? Explain and estimate the total efficiency, fan speed, and shaft power.

منافذ توزيع الهواء في الأماكن المكيفة *SPACE AIR DISTRIBUTION OUTLETS*

General

مقدمة

نجاح عملية توزيع الهواء داخل الأماكن المكيفة هو المؤشر على فاعلية وجودة تصميم نظام تكييف الهواء ككل . فالهواء الذي تمت معالجته يجب توزيعه في الغرفة بطريقة مناسبة من خلال مخارج توزيع الهواء Air distribution outlets . وإذا لم يتم ذلك بصورة جيدة شعر شاغلو المكان بعدم الراحة .

لكي يشعر شاغلو المكان بالراحة يجب أن تتحقق الظروف الآتية :

- تباين درجة الحرارة خلال حيز الأشغال Occupancy zone يجب ألا يزيد عن درجة واحدة - حيز الأشغال هو الفراغ الذي يشغله الإنسان (أعلى من أرضية المكان بمتاند $1.8m$).
- سرعة الهواء خلال حيز الأشغال يجب أن تكون في حدود $(0.125 \div 0.175) m/s$) أعلى من ذلك قد تسبب تيارات هوائية غير مرغوبة وأقل من ذلك يشعر الناس بعد الراحة .

إذا كان الناس في حالة حرقة فيسمح بزيادة تلك السرعة إلى $(0.25 : 0.35) m/s$.
سوف نتناول مبادئ توزيع الهواء من خلال مخارج توزيع الهواء Air distribution outlets وبعض أنماط وأنواع هذه المعدات .

10.1 Air Distribution Terms

10.1 مصطلحات توزيع الهواء

- حيز الأشغال Occupancy zone هو الحيز الذي يشغلة الناس وهو أعلى من أرضية المكان بـ $1.8 m$ كما هو مبين في Fig 10.1
- السرعة المختلفة Residual velocity هي عبارة عن سرعة الهواء في حيز الأشغال وهي كما بينا تتراوح بين $(0.125 \div 0.175) m/s$)

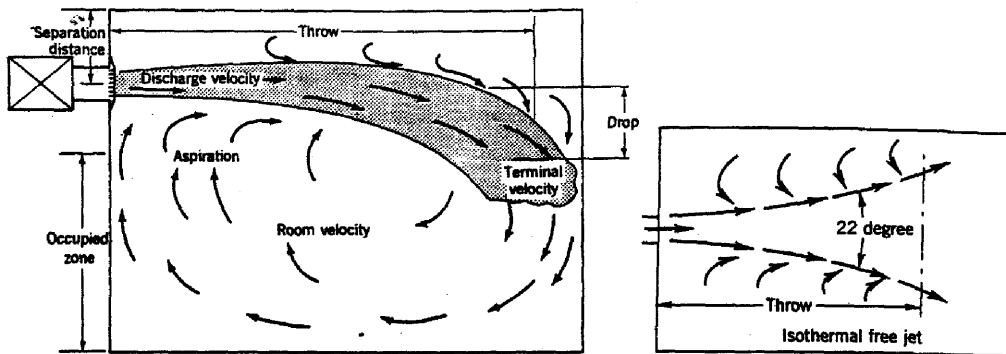


Figure 10.1 Selection terminology for air distribution in room

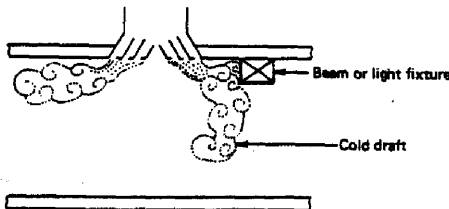


Figure 10.2 Effect of obstruction at ceiling

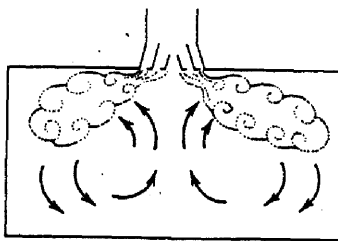


Figure 10.3 Ceiling outlet location
for cooling

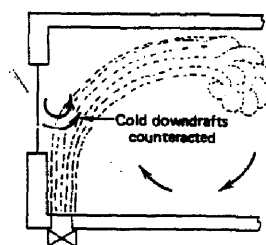


Figure 10.4 Floor outlet location
for heating

3- المدى (الحدف) Throw هي أقصى مسافة يصلها الهواء الخارج من المخرج وهي تساوي 4% المسافة بين مكان التركيب والحائط المقابل. إذا كانت حدفه الهواء قصيرة فإنه يسقط إلى المستوى الذي يشغله الإنسان الموجود في المكان مسبباً حدوث تيارات هوائية . إذا كانت حدفه الهواء طويلة جداً فإن الهواء قد يصطدم بالحائط المقابل ويرتد مسبباً حدوث تيارات هوائية ضارة .

4- السرعة الطرفية Terminal velocity هي سرعة الهواء المضمنة عند نهاية الحدف .

5- السقوط Drop هي المسافة التي يسقط فيها الهواء إلى مستوى نهاية الحدف (المسافة بين فتحة الخروج ومستوى حيز الأشغال) . لهذا يجب أن يكون ارتفاع فتحة الخروج متساوية ارتفاع حيز الأشغال بالإضافة إلى مسافة السقوط . كذلك يجب ألا تركب فتحات الخروج قريبة من سقف المكان حتى لا يتراكم الهواء والأثرية على السقف بالقرب من مكان التركيب ولهذا السبب يوصي بتركيب موزعات الهواء على بعد لا يقل عن 30 cm أسفل سقف المكان .

6- الهواء الابتدائي Primary air هو الهواء الخارج من موزعات الهواء مباشرة .

7- الهواء الثانوي Secondary air هو هواء الغرفة مدفوع للخلط مع الهواء الابتدائي .

8- الانتشار Spread هي كمية الهواء التي تتضمن رأسياً وأفقياً بعد الخروج من المنفذ .

9- زاوية الانحراف Angle of deflection هي الزاوية الجانبية التي ينتشر فيها الهواء بعد خروجه . مقدار هذا الانحراف له علاقة في تحديد مقدار الفقد في الضغط لموزعات الهواء ومقدار الحدف . يمكن ضبط مقدار زاوية الانحراف باستخدام موزعات الهواء التي يمكن ضبط اتجاه ريشه .

10- تأثير السقف Ceiling effect العوارض أو معدات الإضاءة بالسقف قد يصطدم بها الهواء الابتدائي الخارج من المنفذ ويتصبّب بها ثم يسقط مباشرة صانعاً تياراً بارداً في حيز الأشغال Fig 10.2 وبالتالي سيؤدي ذلك إلى عدم تزويد مساحة أخرى بالهواء اللازم . لذلك يجب تركيب المنافذ السقفية أسفل السقف بما لا يقل عن 30cm . هذا التأثير يسمى بتأثير السقف .

هناك الكثير من أنواع المنافذ سوف نشرح بعضها لاحقاً لكن كلها تم تصميمها من أجل التحكم المناسب لتوزيع الهواء أو سحب الهواء من الغرف ويمكن تحديد وظيفة المنافذ في الآتي :-

1- إخفاء بصورة مناسبة فتحات المسالك .

- 2- دفع الهواء المكيف إلى مسافة لا تقل عن $\frac{1}{4}$ المسافة إلى الحائط المقابل .
- 3- سحب أو انتشار الهواء .
- 4- ضبط معدل تدفق الهواء
- 5- منع الغبار من النفاذ مع هواء الغرفة وتقليل الإزعاج .

10.2 أنماط حركة الهواء

من المفيد التعرف على أنماط حركة الهواء بعد خروجه من منافذ التوزيع في الغرفة في حالتي التبريد والتتدفئة وذلك لتسهيل اختيار نوع المنافذ واختيار أماكن تركيبها :

- 1- عندما تكون درجة حرارة هواء التغذية أقل من درجة حرارة الغرفة فإن كثافة هواء التغذية تكون كبيرة نسبياً مما يجعل الهواء يتوجه إلى أسفل صانعاً بذلك توزيعاً منتظماً للدرجة الحرارة في حالة التبريد Fig 10.3 لذلك توضع المنافذ في مكان مرتفع أو في السقف.
- 2- عندما تكون درجة حرارة الهواء أعلى من درجة حرارة الغرفة وبالتالي تيارات الحمل فإنه يتوجه إلى أعلى صانعاً بذلك توزيعاً منتظماً للهواء في حالة التدفئة لذلك توضع المنافذ في مكان منخفض بقدر الإمكان Fig 10.4 .

10.3 أماكن تركيب المنافذ

منافذ التغذية والراجع يجب أن تركب بحيث توفر ظروف الراحة وفي Fig10.5 يبين بعض نماذج تركيب منافذ توزيع الهواء بحيث تعطي توزيعاً جيداً للهواء خلال الغرفة وذلك طبقاً للغرض المطلوب من نظام التكييف: تدفئة أو تبريد أو كلاهما .

إذا كان الغرض من نظام هو التدفئة والتبريد فيؤخذ في الاعتبار أكثر شهور العام حاجة للتبريد أو التدفئة . فمنطقة الشرق الأوسط مثلاً تحتاج إلى تبريد أغلب شهور العام ومنطقة شمال غرب أوروبا تحتاج إلى تدفئة أغلب شهور العام وهذا .

التدفئة Heating . من أسباب عدم الشعور بالراحة شتاءً هو تيار الهواء البارد المتسرب من النوافذ ومن أسفل الأبواب . وللتغلب على ذلك فإن نوافذ التغذية للتدفئة يفضل أن تركب تحت الشباك في الحوائط المنخفضة Low wall حيث أنها تعمل على الآتي :-

- 1- يعمل تيار التغذية الدافئ كقطاء للهواء المتسرب البارد فيقلل من تأثيره Fig10.6 .

2- الهواء الدافئ كثافتة أقل فيختلط مع الهواء المتسرب ويندفع إلى أعلى مقللاً بذلك من تأثيره في حيز الأشغال . ويفضل في هذه الحالة أن يتم تركيب منفذ هواء الراجع تحت الشباك حيث تقوم تلك بسحب الهواء البارد المتسرب إلى محطة التدفئة وبذلك تتجنب تأثير الهواء البارد .

التبريد Cooling . من أسباب عدم الشعور بالراحة صيفاً هو الهواء الساخن في حيز الأشغال والناتج من مصادر الحرارة مثل الناس والاضاءة والمعدات وفي حالة التبريد فإن الاختيارات عديدة لتركيب منفذ التغذية أهمها :

1- **السقف Ceiling** . هو أفضل اختيار لتركيب منفذ التغذية حيث أن الهواء البارد ذو الكثافة الكبيرة نسبياً سوف يسقط حراً كاسحاً بذلك الهواء الساخن في حيز الأشغال إلى منفذ الهواء الراجع . منفذ الراجع قد توضع إما في السقف أو في حائط منخفض . Fig 10.7

2- **حائط مرتفع High-Wall** يعتبر تركيب منفذ التوزيع في الحائط المرتفع حلًا جيداً للتوزيع الهواء البارد Fig 10.8 ويركب منفذ الهواء الراجع في حائط منخفض .

منفذ الراجع Return Outlet ليس هناك قيود معينة على وضع منفذ الراجع حيث ليس لها نفس التأثير مثل منفذ التوزيع . القيد الوحيد إلا يتم تركيبها مع منفذ التغذية في مكان بحيث تصنع مع هواء التغذية تيارات هوانية في حيز الأشغال . حيث أن منفذ التغذية تولد ضغطاً داخل الغرفة ومنفذ الراجع تقوم بتخفيف هذا الضغط مما قد يتسبب في حالة تقابلها إلى حدوث تيارات هوانية غير مرغوبه . في بعض الأحيان قد تستخدم نوافذ سقية في اغلب أجزاءها تعمل كنوافذ تغذية وجزء منها يعمل كنواذ للهواء الراجع وهذا ما سببته فيما بعد .

10.4 أنواع منافذ الهواء

هناك أنواع وأشكال مختلفة من نوافذ الهواء كما سبق وذكرنا بعضها في Fig 10.10 فإذا اخترنا الأنواع المناسبة منها لكل مكان وقمنا بتركيبها بالطرق الصحيحة فإننا بذلك نضمن الحصول على عملية توزيع هواء منتظمة داخل الأماكن المكيفة . هناك ثلاثة أنواع رئيسية من منفذ الهواء هي :-

1- **موزعات الهواء ذات الريش : جيريل ومستقبل (Grilles and Registers)** هذا النوع من المنفذ يتكون من إطار ثابت مركب عليه مجموعة من الريش المتوازية قد تكون أفقية أو

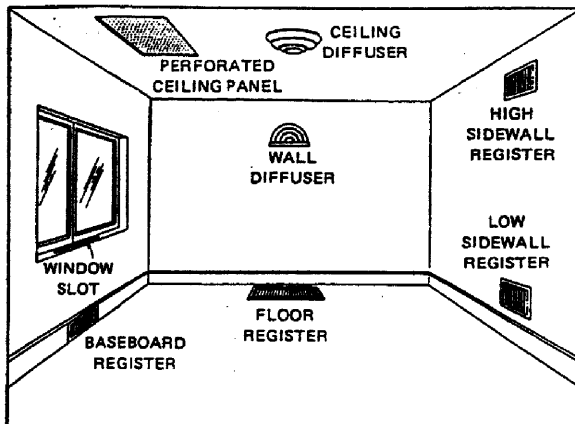


Figure 10.5 Examples of outlet possible locations

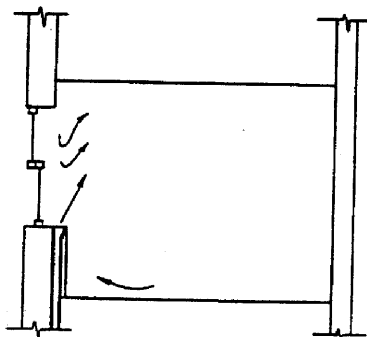


Figure 10.6 Windowsill location of outlet

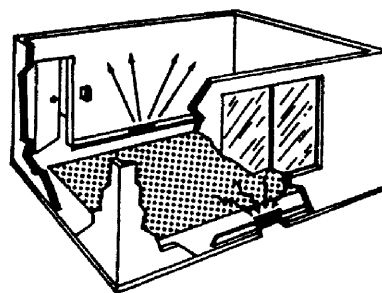


Figure 10.7 Base board supply & return

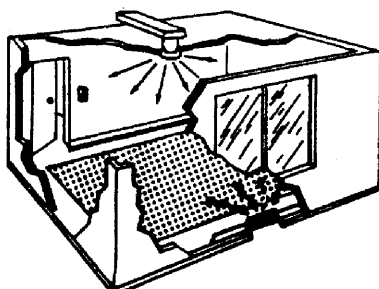


Figure 10.8 Overhead distribution

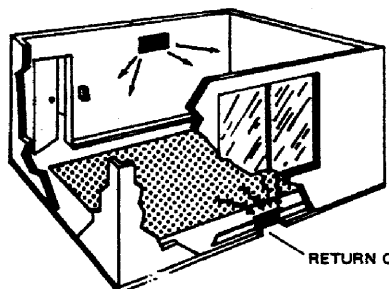


Figure 10.9 High side- wall outlet location

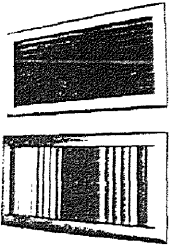
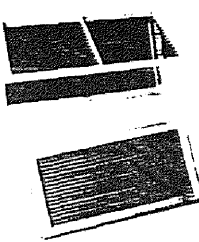
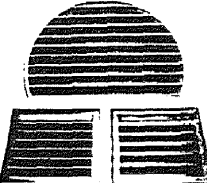
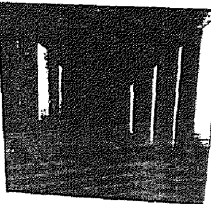
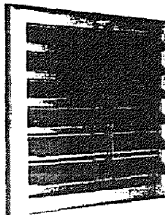
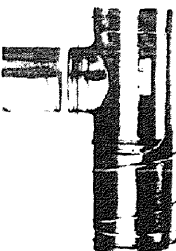
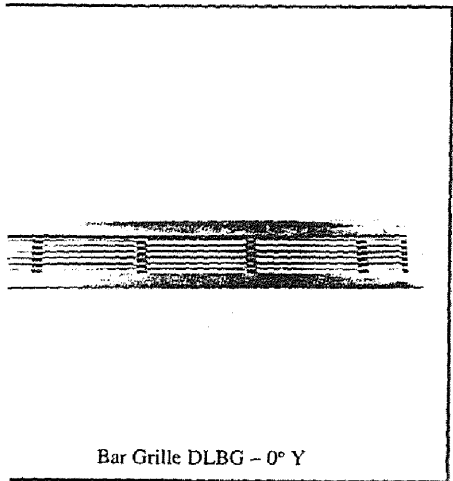
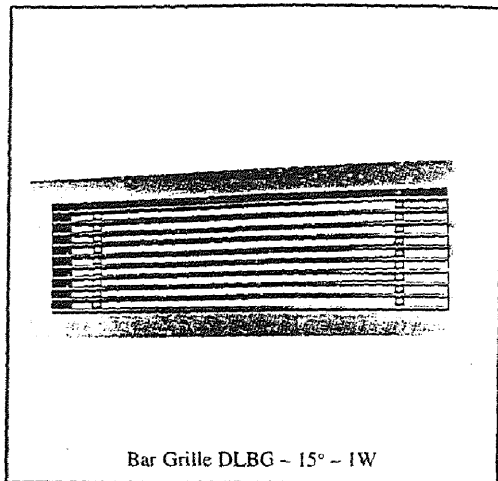
 <p>Grilles & Registers Model DG & DR - Single or double deflection. - Aerofoil blades. - Optional O.B.D. - Adjustable / fixed blades. - Wide variety of sizes.</p>	 <p>Access door Model DGH - 14H - Hinged double frame. - Filter optional.</p> <p>Door Grille Model DDR - 200 - V blades, double fram - Various sizes. - Easy fixing.</p>
 <p>Linear slot diffuser Model DLD - C (S.R) - Adjustable pattern deflector. - Choice of 1 up to 8 slots. - Supply or return. - Various lengths.</p>	 <p>Louvers - Outdoor mounting. - Roboust fixed blades. - Available C / W Filter damper and / or bird s - Various sizes.</p>
 <p>Square Diffuser - Removable core - Concealed fixing. - 1.2, 3 & 4 way. - Supply & return. - Round Neck optional. - Equalizing Grid optional. - Coloured finish.</p>	 <p>Pressure Relief Louv - Outdoor mounting. - Gravity shutter. - Various sizes. - Optional filter and / c screen.</p>
 <p>Round Diffusers Model DD - 7 - Removable core. - Flush mounted. - High throw and low pressure drop. - Supply or return.</p>	 <p>Spiral ducting system - Galvanized steel she - Lock formed seal. - Low pressure drop. - Various sizes up to 1 - Fitting with rubber s - Easy installation.</p>

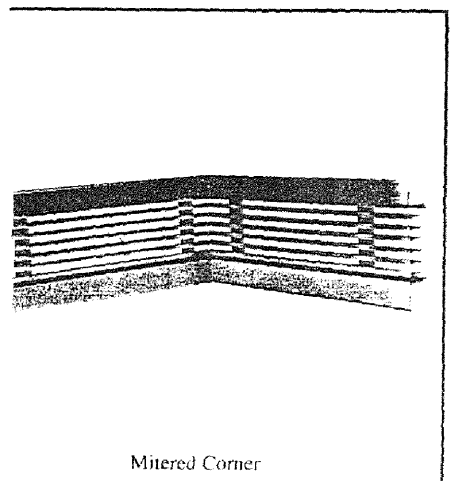
Figure 10.10 Diffuser types



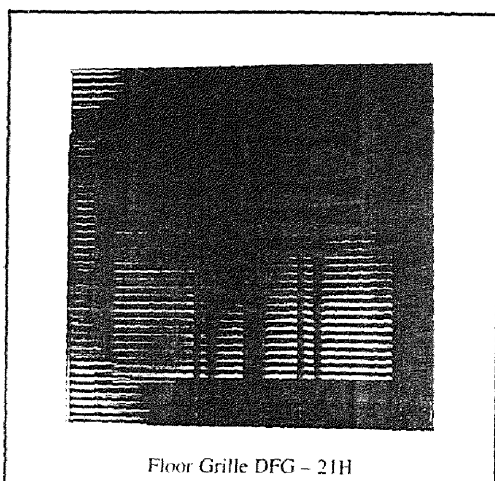
Bar Grille DLBG - 0° Y



Bar Grille DLBG - 15° - IW



Mitered Corner



Floor Grille DFG - 21H

Figure 10.11 Types of Grilles

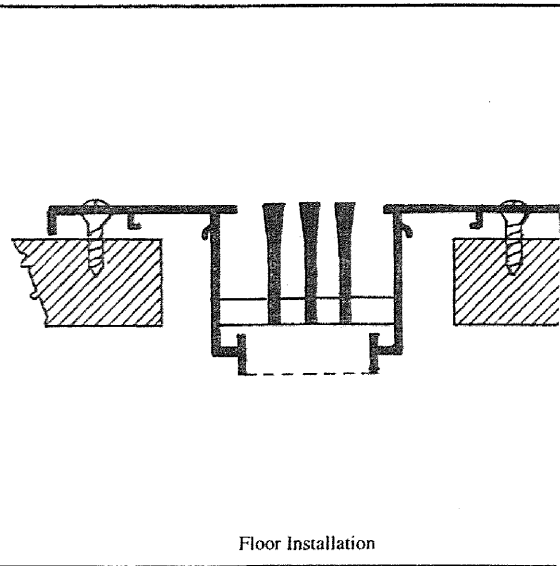
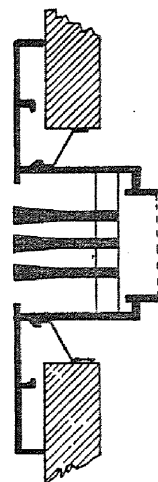
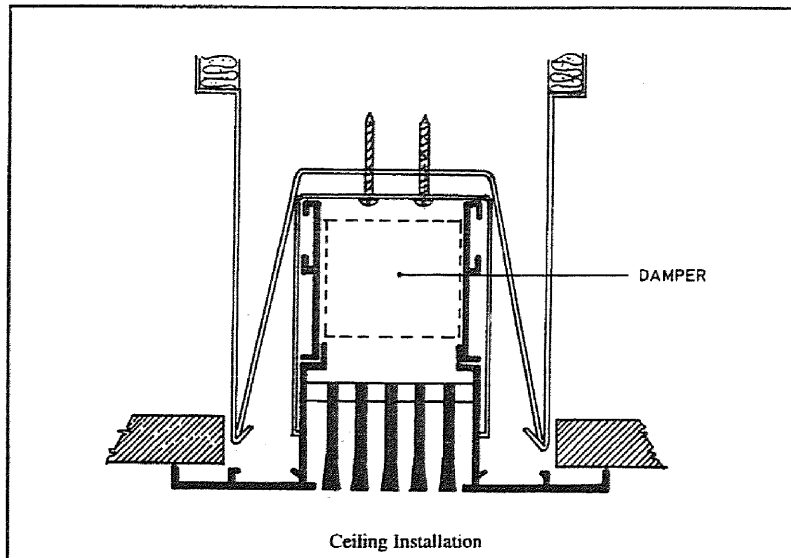


Figure 10.12 Installation of grille registers for location of ceiling, side-wall and floor.

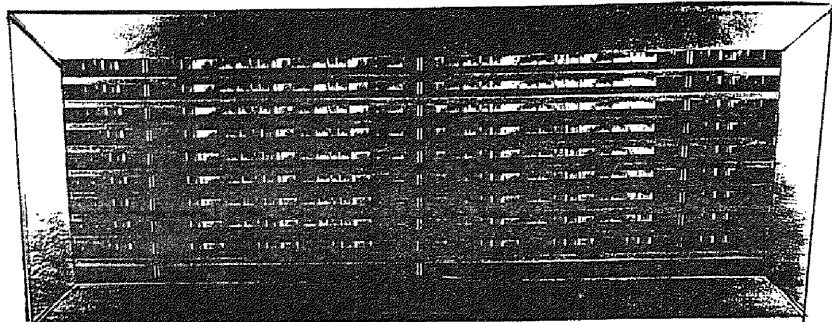
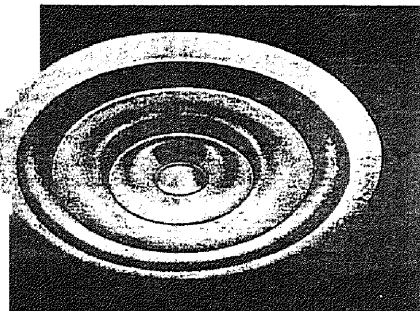
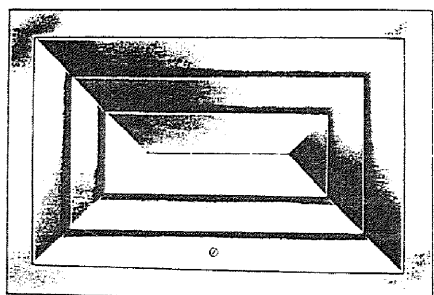


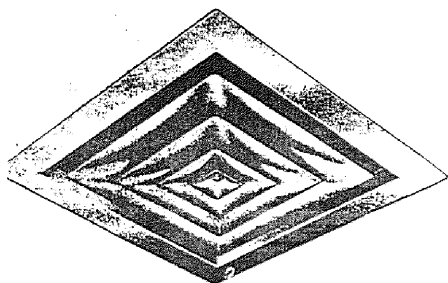
Figure 10.13 Floor register



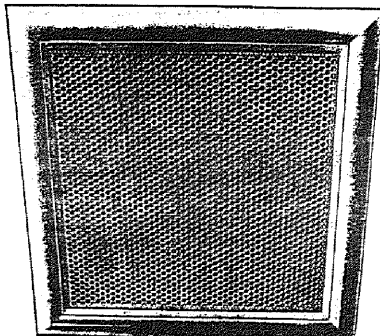
(a)



(c)



(b)

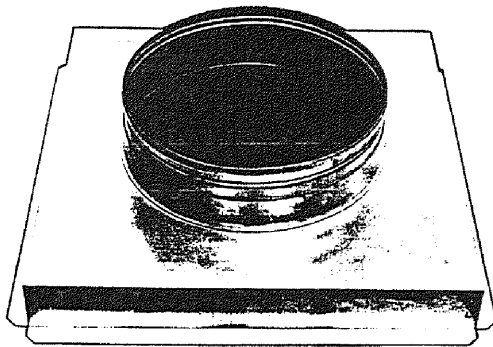


(d)

Figure 10.14 Types of ceiling diffusers, (a): Round, (b): Square, (c): Directional , (d) Perforated plate.

راسية أو الاثنان معاً. بعض أشكال هذه المنافذ مبينة في Fig 10.11. الريش تقوم بوظيفة عكس حركة الهواء في الاتجاه المطلوب. هذه الريش قد تكون ثابتة أو يمكن ضغط زوايا انحرافها هذه المنفذ تسمى بالجيриلات Grilles . هذه الجيريلات يمكن تركيبها إما في السقف أو الحائط الجانبي أو في الأرضيات كما هو مبين في Fig 10.12. المستقبل أو Register هو أساساً جيريل مرکب خلفه مجموعة أخرى من الريش المقابلة Opposed تفتح كلها أو جزئياً للتحكم في كمية الهواء كما هو موضح في Fig 10.13. وتستخدم المستقبلات والجيريلات في توزيع الهواء البارد والدافئ وكذلك في التهوية .

2- منفذ سقفية Ceiling Diffuser هو النوع الشائع من موزعات الهواء التي ترکب في السقف وهي عبارة عن مجموعة من الحلقات أو ريش بفتحات للتهدية متصلة ببعضها Fig 10.14 قد تأخذ الشكل الدائري Round أو مربع Square ومستطيل أو اتجاهي أو في شكل لوح مستقبو Perforated ويركب على مسلك التوزيع بواسطة وصله هوانية Adaptor .Fig 10.15



Square to Round Adaptor - AD

Figure 10.15 Square to Round Adapter

الهواء الخارج من هذه النواشر يخرج بسرعة عالية لا تسبب ثيارات هوائية ضارة حيث أن الحفقات أو الريش تعمل على سحب هواء المكان وتخلطه مع الهواء الخارج من هذا النوع من الموزعات فيخرج الهواء بعد خلطه بسرعة أقل .

هذا النوع من النواشر يصلح في حالي التدفئة والتبريد لكل من هواء التغذية والهواء الراوح . وقد يستخدم للتغذية والهواء الراوح معا حيث يصنع نوع من الموزعات تحتوي على ست حفقات دائرية أو ريش بفتحات: **الستلات الخارجية** منها تعمل لتوزيع الهواء وتوصى بمسارك التغذية والثلاث الداخلية تعمل كمنافذ للهواء الراوح وتوصى بمسارك الهواء الراوح .

3- منافذ خطية مشقوقة Slot straight (linear) diffusers توجد أنواع حديثة من موزعات الهواء تتركب بالسقف أو الحوائط الجانبية تصنع في شكل شريط قد يأخذ شكل الخط المستقيم أو المنحني أو T أو شكل سداسي وغيرها Fig 10.16 . وهذه الموزعات قد يكون بها مخرج في صورة شقوق Slots ، احادية، ثنائية أو ثلاثية . وترتكب في السقف أو الحائط الجانبي وتوصى بمسارك التغذية كما هو موضح في Fig 10.17 .

10.5 الضوابط في معدات توزيع الهواء

10.5 Noise in Air - Distribution Devices

الضوابط (Noise) من الاعتبارات الأساسية التي تؤخذ عند اختيار منافذ توزيع الهواء . حيث أن مقدارا من الصوت ينشأ عند خروج ثيارات الهواء من الموزعات . هذا الصوت يتباين مع سرعته . إذا كان مستوى الضوضاء المتولدة أكبر من مستوى الضوضاء المحبطة فإن ذلك يكون غير مقبول لذلك فقد تم وضع معيار للضوضاء (NC) noise criteria ويفاس بالـ ديبيل B . هذا المعيار يمكن الحصول عليه من Table 10.1 للأماكن المختلفة .

10.6 اختيار منافذ الهواء

10.6 Selection of Air Outlets

عند اختيار منافذ التهوية يجب الأخذ في الاعتبار العوامل الآتية :-

- 1- **المتطلبات الجمالية (المعمارية) Architectural requirements** . حيث مهندس الديكور يريد أن يظهر المكان بمظهر معين - هذا قد يتطلب الاستشارة معه لتحديد شكل ومكان تركيب المنافذ ليحقق الهدفين المظاهر الجمالية والتوزيع الجيد .

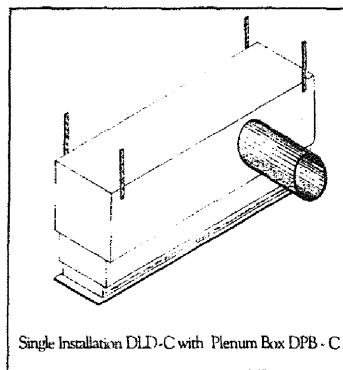
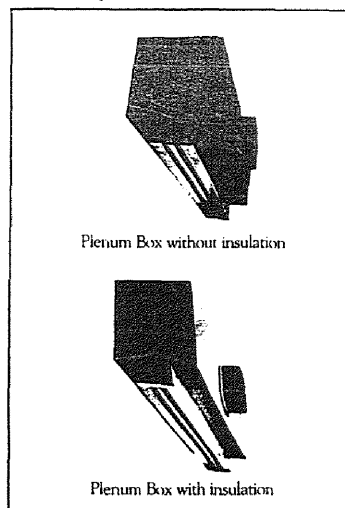


Figure 10.17 Slot diffuser plenum box and installation

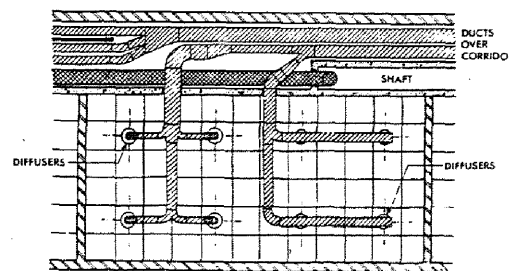


Figure 10.18 Typical layout of ceiling diffusers

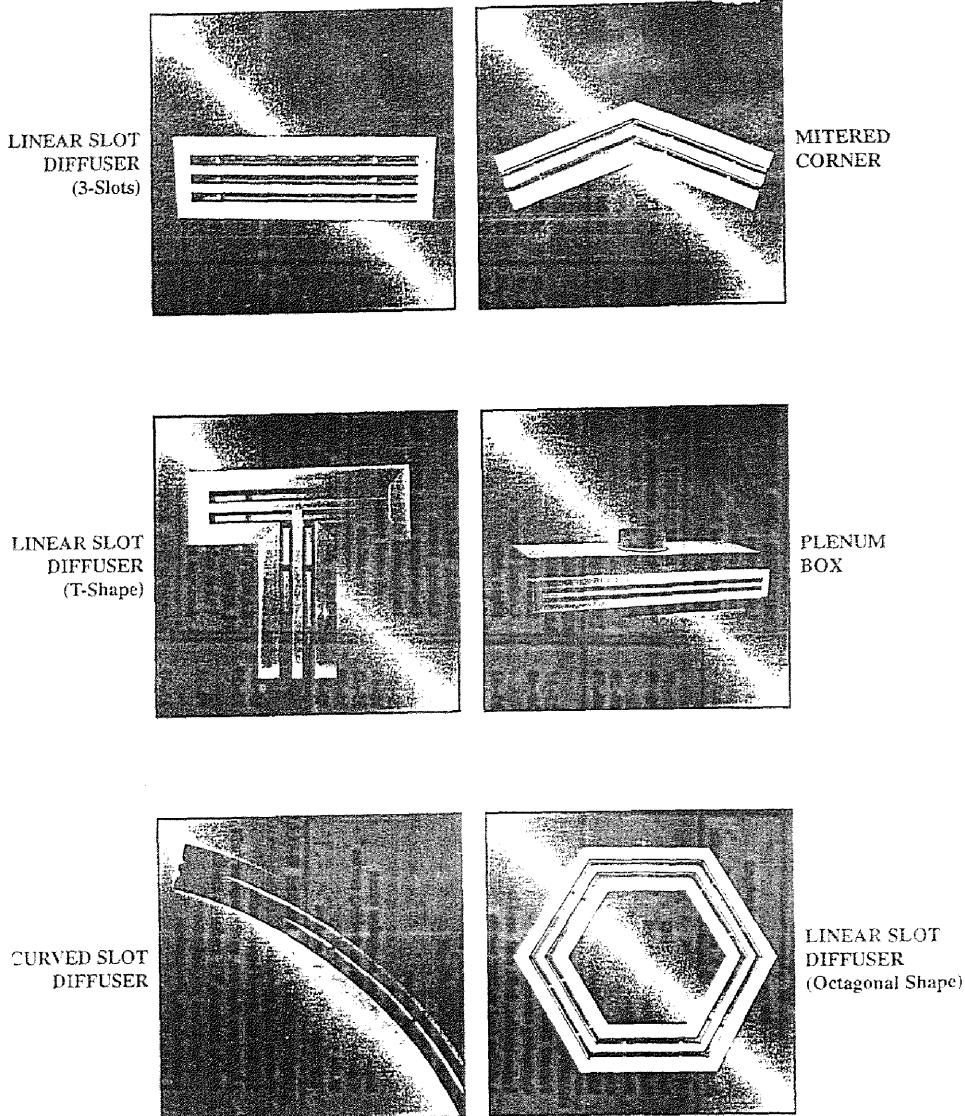


Figure 10.16 Type of slot linear diffusers

Private indoor sound level

Type of Area	Range of A-Sound Levels, Decibels	Range of NC Criteria Curves	Type of Area	Range of A-Sound Levels, Decibels	Range of NC Criteria Curves
RESIDENCES	25-35	20-30	CHURCHES AND SCHOOLS (Cont'd)	40-50	35-45
Private homes (rural and suburban)	20-40	25-35		40-55	35-50
Private homes (urban)	35-45	30-40		40-55	35-50
HOTELS	35-45	30-40	PUBLIC BUILDINGS	45-55	40-50
Individual rooms or suites	35-45	30-40	Laboratories	40-50	35-45
Balconies, banquet rooms	35-45	30-40	Recreation halls	40-55	35-50
Halls and corridors, lobbies	40-50	35-45	Corridors and halls	40-55	35-50
Galleries	45-55	40-50	Kitchens	45-55	40-50
HOSPITALS AND CLINICS	45-55	40-50	RESTAURANTS, CAFETERIAS,	40-50	35-45
Kitchens and laundries	45-55	40-50	Public libraries, museums, court rooms	35-45	30-40
Private rooms	30-40	25-35	Post offices, general banking areas,	40-50	35-45
Operating room, wards	35-45	30-40	Lobbies	40-50	35-45
Laboratories, halls and corridors	40-50	35-45	Washrooms and toilets	45-55	40-50
OFFICES	45-55	40-50			
Board room	25-35	20-30	RESTAURANTS, RETAIL	40-50	35-45
Conference rooms	30-40	25-35	Clothing stores	40-50	35-45
Executive office	35-45	30-40	Department stores (upper floors)	40-50	35-45
AUDITORIUMS AND MUSIC HALLS	35-45	30-40	Department stores (main floor)	45-55	40-50
Supervisor office, reception room	35-45	30-40	Small retail stores	40-50	35-45
General open offices, drafting rooms	40-50	35-45	Supermarkets	45-55	40-50
Halls and corridors	40-55	35-50	SPORTS ACTIVITIES, INDOOR	40-50	35-45
Tabulation and computation	45-55	40-60	Collegiums	40-50	35-45
TRANSPORTATION (RAIL, BUS, PLANE)	20-30	15-25	Bowling alleys; gymnasiums	40-50	35-45
Studios for sound reproduction	30-35	25-30	Swimming pools	45-50	40-55
Legitimate theaters, multi-purpose halls	35-45	30-35			
Movie theater, TV audience studios	35-45	30-35	Ticket sales offices	35-45	30-40
Semi-outdoor amphitheaters	35-45	30-35	Lounges and waiting rooms	40-55	35-50
Lecture halls, planetarium	40-50	35-45	EQUIPMENT ROOMS	<90	<97
Lobbies	40-50	35-45			
CHURCHES AND SCHOOLS	25-35	20-30			
Sanatoriums	35-45	30-40			
Libraries	35-45	30-40			
Schools and classrooms	35-45	30-40			

2- المتطلبات الإنشائية Structural requirement الهيئة الإنسانية للمبني خلف حوائط والأسقف والأرضيات قد تضع قيودا على مسارات مسالك التغذية والراوح وبناتالي على منافذ الهواء . لذلك لابد من استشارة المهندس الإنساني لهذا الغرض .

3- فرق درجات الحرارة Temperature difference في حالة التبريد عند فرق درجات حرارة كبير بين درجة حرارة التغذية ودرجة حرارة الغرفة يزداد احتمال دخول هواء ذي درجة حرارة غير مقبولة إلى حيز الأشغال . ففي هذه الحالة فإن المنافذ السقفية لها معامل حيث كبير Induction ratio يقلل من تأثير فرق درجات الحرارة الكبيرة .

4- مكان التركيب Location في حالة التبريد يفضل أن يكون مكان التركيب إما في السقف أو في حائط عالي . في حالة وجود عوائق في السقف قد يصطدم معها الهواء ويرتد ويسقط مباشرة في حيز الأشغال لذلك يجب أن يركب الناشر أسفل العائق . حل مراوح في حالة التبريد هو استخدام نظام محيطي بحيث يوضع الناشر تحت الشباك ويدفع الهواء إلى أعلى Upward . منفذ الراوح في هذه الحالة يركب داخل الغرفة على ارتفاع منخفض .

في حالة التدفئة يفضل وضع منفذ التغذية محيطياً ويدفع الهواء إلى أعلى Upward .

5- كمية المنافذ Quantity عادة ما يركب أكثر من منفذ . هذا العدد يتوقف أساساً على كمية الهواء والتكلفة والمتطلبات الجمالية (الديكور) ، عند احتمال إعادة ترتيب القواطع Partitions مستقبلاً ، وبفضل اختيار المنافذ وأماكن تركيبها دون أن يتاثر بذلك التغيير .

6- الحجم Size بعد تحديد مكان التركيب فإن حجم المنفذ يمكن تحديده وذلك من خلال كتالوجات الصانع التي تبين خواص الأداء وهي :

- كمية الهواء التي يدفعها المنفذ .

- المدى Throw وبحدد ذلك أيضاً ابعاد المكان $\frac{1}{4}$ الطول .

- مستوى الضوضاء Noise Criteria ويحددها استخدام المكان .

- مستوى مكان التركيب Height . معظم الصناع ينصحون بالتركيب في مستوى (2.5-3)m

- فقد الضغط في المنافذ نتيجة سريان الهواء والتي يجب أن تؤخذ في الاعتبار عند تقدير فقد الضغط في المسالك .

الاختيار من الكاتالوج Catalogue Rating

لا توجد طريقة نمطية لاختيار المنافذ المختلفة الصناع إذ أن كل صانع يضع طريقة اختيار المنفذ الخاص به وإن كان هناك مثلاً ضرورياً قبل الاختيار هو :

1- تحديد كمية الهواء اللازمة Q , m^3/s أو .CFM

2- تحديد مستوى الضوضاء NC dB

3- تقسيم سقف الحجرة (كثيل) إلى عدد متساوي من المربعات كما هو مبين في Fig 10.18 كمثال للمنافذ السقفية وتوضع المنفذ في منتصف المربعات ويلاحظ أيضاً أن مركز المربع يبتعد بمسافة متساوية عن الحوائط وكذلك عن المنفذ المجاور. هذه المسافة تعتمد على مقدار الحففة (Throw). إذا تعدد التقسيم إلى مربعات يتم تقسيم المساحة إلى مستطيلات متساوية بحيث يكون طول الضلع الأكبر لا يزيد عن 1.5 مرة من طول الضلع الأصغر. إذا كانت المساحة كبيرة (مثل قاعة احتفالات) فإن طول ضلع المربع لا يجب أن يزيد عن ثلاثة أمثل أرتفاع سقف المكان.

على هذا الأساس يتم الاختيار من الكاتalogات ونبين بعضها في الآتي:

Table 10. 2 بعض خواص الجريلات والمستقبل Girilles & Registers

Table 10. 3 يبين بعض خواص المنافذ السقفية Ceiling diffusers

Table 10. 4 يبين خواص المنافذ السقفية المرتفعة والمستطيل

Table 10. 5 خواص المنافذ الخطية المشوهة

Example 10.1

Select a single round ceiling diffuser for a boutique shown in Fig 10.19. the sensible heat load is 5275 W. The supply air temperature difference is 20C° .

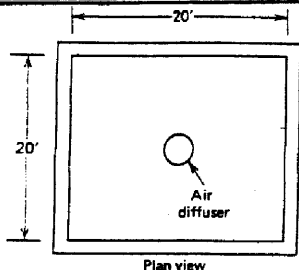


Figure 10.19 Sketch for example 10.1

معدل هواء التغذية المطلوب

$$Q_a = q_s / \rho c_p \Delta t$$

$$= 5275 / (1.2 \times 1.005 \times 20) = 0.219 \text{ m}^3/\text{s} \approx 463 \text{ CFM}$$

نحدد مستوى الضوضاء NC من NC Table 10.1 للمحلات العامة

من Fig 10.19 نجد أن نصف قطر الانتشار أو Throw حوالي 10 ft

من Table 10.3 نختار ناشر DD.7 بالمواصفات الآتية :

Size 8"

Neck area 0.349 F^2 Air flow rate 490 CFM.

Total pressure drop 0.37 WG = 92 Pa. Throw 8-13 ft = 2.4 - 3.9 m

NC = 42

Example 10.2

Determine suitable diffuser locations and throw for a room 60ft by 30ft floor plan if 2 or 8 diffusers are to be used.

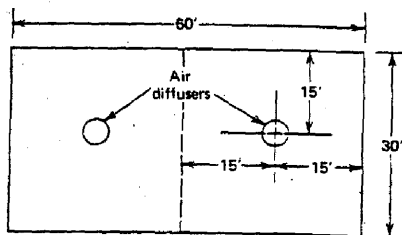


Figure 10.20 Sketch for example 10.2

أولاً : من Fig 10.20 نحدد مقدار المدى للنوашر وذلك بتقسيم الغرفة إلى مربعين طول ضلع

15ft كل منها 30ft وبالتالي فإن المدى Throw لكل ناشر لا يتعدى 15ft

ثانياً : يمكن تقسيم كل مربع إلى أربعة مربعات طول ضلع كل منها 15ft ويوضع في كل مربع ناتج ناشر المدى له يساوى 7.5ft وبذلك يكون عدد النواشر المستخدمة هي 8 هذا بدوره يرفع التكلفة

Problems

- 10.1 Select a ceiling diffusers (round or square) to deliver 940 L/s in a 9mx 9m classroom .
- 10.2 A 30 x 15m pharmacy requires 3760L/s of air. Locate and select three ceiling diffuser. Select alternate solution from linear-slot type.
- 10.3 A restaurant dinning room measures 18x24m and requires 53, kW of sensible cooling load. Determine the number of ceiling diffusers needed for 3.6m ceiling height, and temperature difference of 11C°. if the restaurant had to use high side wall grilles to deliver air from the 18m wall. Select (size and number) for this application. Determine the pressure loss.
- 10.4 Select a square ceiling diffusers for the building shown in Fig 21 it is a general office space. Dimensions are given in feet.

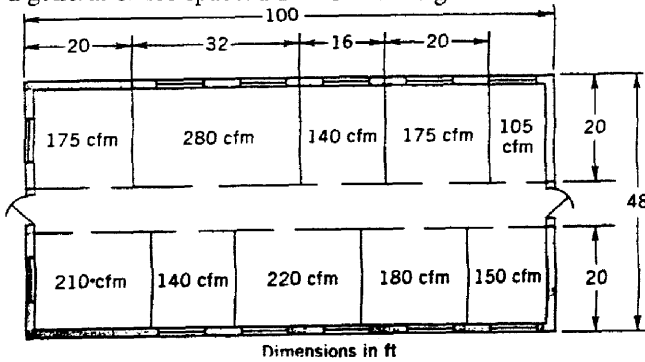


Figure 10.21 Sketch for problem 10.4

10.5 Select grille type diffusers for the room shown in Fig 22 for heating mode. The space requires 850 L/s evenly distributed along the exterior walls. Locate the diffusers on the floor plan.

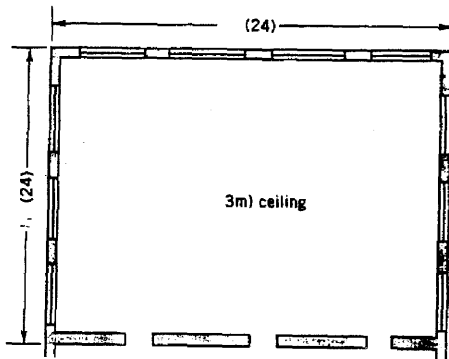


Figure 10.22 Sketch for problem 10.5

Table 10.2 Performance data for supply Grilles & Registers

SIZE (inch)	Velocity (Fpm)						
		200	300	400	500	600	700
Static	0	0.0065	0.014	0.025	0.041	0.056	0.068
Pressure ("WG)	22½	0.0085	0.018	0.033	0.053	0.077	0.104
(Ak = 0.30 ft. ²)	45	0.0105	0.023	0.041	0.066	0.095	0.13
	CFM	100	150	200	250	300	350
	NC	< 20	< 20	< 20	< 20	23	31
	Throw (Ft.)	0	15	17	21	25	33
(Ak = 0.44 ft. ²)	22½	12	14	17	20	23	26
	45	11	12	14	16	18	21
(Ak = 0.44 ft. ²)	CFM	133	200	267	333	400	467
	NC	< 20	< 20	< 20	< 20	23	28
	Throw (Ft.)	0	16	18	22	26	30
	22½	13	15	19	22	25	28
(Ak = 0.46 ft. ²)	45	11	13	16	18	21	24
(Ak = 0.46 ft. ²)	CFM	150	225	300	375	450	525
	NC	< 20	< 20	< 20	< 20	24	28
	Throw (Ft.)	0	17	19	24	30	36
(Ak = 0.51 ft. ²)	22½	13	16	21	25	30	35
	45	11	14	18	21	25	29
(Ak = 0.51 ft. ²)	CFM	167	250	333	417	500	583
	NC	< 20	< 20	< 20	20	25	29
	Throw (Ft.)	0	18	20	25	31	37
	22½	14	17	22	26	31	36
(Ak = 0.68 ft. ²)	45	12	15	19	22	26	30
(Ak = 0.68 ft. ²)	CFM	200	300	400	500	600	700
	NC	< 20	< 20	< 20	< 20	21	24
	Throw (Ft.)	0	18	21	28	34	44
(Ak = 0.68 ft. ²)	22½	14	18	24	29	34	40
	45	12	16	20	24	28	32
(Ak = 0.79 ft. ²)	CFM	222	333	444	556	667	778
	NC	< 20	< 20	< 20	< 20	20	23
	Throw (Ft.)	0	19	22	29	36	42
	22½	14	18	24	30	35	41
(Ak = 0.79 ft. ²)	45	12	16	20	25	29	33
(Ak = 0.88 ft. ²)	CFM	250	375	500	625	750	875
	NC	< 20	< 20	< 20	< 20	22	28
	Throw (Ft.)	0	19	21	29	36	42
(Ak = 0.88 ft. ²)	22½	14	18	25	30	35	42
	45	12	16	21	25	29	33
(Ak = 1.0 ft. ²)	CFM	278	417	556	694	833	972
	NC	< 20	< 20	< 20	< 20	20	26
	Throw (Ft.)	0	19	24	32	39	45
	22½	14	20	27	32	37	43
(Ak = 1.0 ft. ²)	45	12	17	23	26	30	34
(Ak = 1.14 ft. ²)	CFM	300	450	600	750	900	1050
	NC	< 20	< 20	< 20	< 20	23	28
	Throw (Ft.)	0	19	24	32	39	46
(Ak = 1.14 ft. ²)	22½	14	20	27	32	37	43
	45	12	17	23	26	30	34

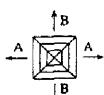
Table 10.5 Performance data for Round ceiling diffuser

SUPPLY AIR ROUND CEILING DIFFUSERS DD-7

Basic Performance Data

Neck Size (inches)	Neck Area (ft ²)	Area Factor (ft ²)	Neck Velocity (FPM)	300	400	500	600	700	800	1000	1200	1400	1600
			Velocity Pressure (inches W.G.)	0.007	0.011	0.016	0.023	0.031	0.041	0.064	0.091	0.123	0.161
6"	0.196	0.13	Air Flowrate (CFM)	60	80	100	120	135	155	195	235	275	315
			Total Press. Drop	0.025	0.041	0.061	0.082	0.106	0.132	0.201	0.282	0.380	0.480
			Throw (ft)	3-5	3-6	3-6	4-6	4-6	4-6	5-7	5-7	6-8	7-10
			NC	<20	<20	<20	<20	<20	25	30	35	39	45
8"	0.349	0.22	Air Flowrate (CFM)	105	140	175	210	245	280	350	420	490	560
			Total Press. Drop	0.021	0.032	0.052	0.071	0.100	0.122	0.183	0.271	0.370	0.480
			Throw (ft)	4-6	4-6	5-7	6-8	6-8	6-8	7-10	7-11	8-13	9-14
			NC	<20	<20	<20	20	25	29	33	38	42	46
10"	0.545	0.25	Air Flowrate (CFM)	165	220	275	325	380	435	545	655	765	870
			Total Press. Drop	0.040	0.061	0.092	0.122	0.181	0.242	0.361	0.500	0.710	0.950
			Throw (ft)	4-6	6-9	7-10	7-10	7-11	8-13	9-14	10-16	12-18	15-22
			NC	<20	<20	<20	21	26	30	34	39	43	47
12"	0.785	0.38	Air Flowrate (CFM)	225	315	395	470	550	630	785	940	1100	1255
			Total Press. Drop	0.026	0.041	0.072	0.101	0.152	0.201	0.313	0.490	0.670	0.870
			Throw (ft)	6-8	7-10	7-11	7-11	8-13	9-14	10-16	14-21	15-23	19-27
			NC	<20	<20	<20	22	28	32	36	41	45	48
14"	1.07	0.50	Air Flowrate (CFM)	320	430	535	640	750	855	1070	1285	1500	1710
			Total Press. Drop	0.034	0.051	0.080	0.112	0.156	0.201	0.313	0.460	0.600	0.800
			Throw (ft)	6-8	8-13	9-15	10-16	11-17	12-18	15-23	19-2	19-27	21-31
			NC	<20	<20	<20	24	29	33	37	42	46	49
16"	1.40	0.59	Air Flowrate (CFM)	420	560	700	840	980	1120	1400	1680	1960	2240
			Total Press. Drop	0.043	0.075	0.106	0.140	0.202	0.262	0.413	0.593	0.800	0.980
			Throw (ft)	7-11	9-14	9-15	11-17	12-18	15-23	16-25	19-27	21-31	25-36
			NC	<20	<20	20	25	30	34	38	43	47	50
18"	1.77	0.75	Air Flowrate (CFM)	530	710	885	1060	1240	1415	1770	2125	2480	2830
			Total Press. Drop	0.033	0.052	0.082	0.113	0.166	0.220	0.350	0.530	0.710	0.950
			Throw (ft)	8-13	9-14	10-16	12-18	14-12	17-24	19-27	21-31	22-33	26-38
			NC	<20	<20	21	26	31	35	39	44	48	51
20"	2.18	0.96	Air Flowrate (CFM)	660	850	1100	1300	1530	1750	2150	2650	3050	3500
			Total Press. Drop	0.040	0.065	0.092	0.131	0.182	0.251	0.450	0.640	0.820	0.930
			Throw (ft)	8-14	11-16	14-20	17-21	19-25	22-28	29-34	34-40	41-47	43-50
			NC	<20	<20	21	27	32	36	40	45	49	52
24"	3.14	1.23	Air Flowrate (CFM)	940	1250	1570	1850	2200	2500	3130	3850	4320	4950
			Total Press. Drop	0.045	0.070	0.105	0.135	0.195	0.265	0.460	0.690	0.790	0.960
			Throw (ft)	10-15	14-20	17-23	20-26	24-30	27-34	35-41	43-50	46-52	51-58
			NC	<20	<20	22	28	33	37	41	46	50	53

Table 10.4 Performance data for square & Rectangular diffusers



Square & Rectangular Neck									
SIZE	NECK AREA	PATTERN	NECK	A	B	A	B	A	B
			CFM	63	75	100	125	150	175
			S.N.C.	<18	<18	19	23	27	32
6	0.25	SCFM	16	16	19 19	25 25	31 31	37 37	44 44
		THROW	4-7		5-9	6-11	8-12	9-13	10-14
		SCFM	24	16	28 19	38 25	47 31	52 37	66 44
		THROW	6-12 4-7	7-13 5-9	9-14 6-11	11-15 8-12	12-16 9-13	13-17 10-14	14-19 11-15
		DD-625	- 32	- 38	- 50	- 63	- 75	- 88	- 100
		THROW	8-12	9-13	11-15	12-17	14-19	14-20	15-21
6	0.25	SCFM	- 63	- 75	- 100	- 125	- 150	- 175	- 200
		THROW	13-17	14-19	15-12	16-22	17-24	18-26	19-28
9	0.56	CFM	140	169	225	281	338	394	450
		S.N.C.	<18	18	22	27	31	37	40
		SCFM	35	35	42 42	56 56	70 70	84 84	98 98
		THROW	7-12	8-13	10-14	12-16	13-17	14-18	15-19
		SCFM	53	35	63 42	84 56	105 70	127 84	148 98
		THROW	10-14	7-12	11-15 8-13	13-17 10-14	14-18 12-16	15-20 13-17	16-22 14-18
9	0.56	DD-625	- 70	- 85	- 113	- 141	- 168	- 197	- 225
		THROW	12-16	13-17	15-19	16-21	17-24	18-26	19-27
		SCFM	- 140	- 169	- 225	- 281	- 338	- 394	- 450
		THROW	16-22	17-24	19-27	20-29	22-31	23-32	25-34
12	1.0	CFM	250	300	400	500	600	700	800
		S.N.C.	<18	20	26	31	35	40	44
		SCFM	63	63	75 75	100 100	125 125	150 150	175 175
		THROW	11-15	12-16	14-18	15-20	16-22	17-23	18-24
		SCFM	94	63	112 75	150 100	188 135	225 150	263 175
		THROW	13-17	11-15	14-19 12-16	16-22 14-18	17-23 15-20	19-25 11-22	20-27 17-23
12	1.0	DD-625	- 125	- 150	- 200	- 250	- 300	- 350	- 400
		THROW	15-20	16-22	18-24	19-28	21-29	21-31	24-33
		SCFM	- 250	- 300	- 400	- 500	- 600	- 700	- 800
		THROW	19-28	21-29	24-33	26-36	28-38	29-41	30-44
15	1.56	CFM	390	469	625	781	938	1095	1250
		S.N.C.	19	22	28	33	37	44	49
		SCFM	98	98	117 117	156 156	195 195	234 234	273 273
		THROW	14-18	16-19	18-22	19-24	20-27	21-28	22-29
		SCFM	146	98	176 117	234 156	293 195	352 234	411 273
		THROW	17-21	14-18	18-23 16-19	20-27 18-22	21-28 19-24	22-30 20-27	23-32 21-28
15	1.56	DD-625	- 195	- 235	- 313	- 391	- 469	- 548	- 625
		THROW	19-24	20-27	22-29	22-31	23-33	24-35	26-39
		SCFM	- 390	- 469	- 625	- 781	- 938	- 1095	- 1250
		THROW	23-31	23-33	26-39	27-42	29-46	30-48	32-51
18	2.25	CFM	562	675	900	1125	1350	1575	1800
		S.N.C.	<18	24	30	35	40	45	51
		SCFM	141	141	168 168	225 225	281 281	337 337	394 394
		THROW	17-22	20-23	22-27	23-29	25-31	26-32	28-33
		SCFM	211	141	253 168	338 225	422 281	506 337	591 394
		THROW	22-27	17-22	22-28 20-23	25-31 22-27	37-32 33-29	28-33 25-31	29-35 26-32
18	2.25	DD-625	- 241	- 338	- 450	- 563	- 675	- 788	- 900
		THROW	23-29	25-31	28-35	28-34	30-36	31-38	32-40
		SCFM	- 562	- 675	- 900	- 1125	- 1350	- 1575	- 1800
		THROW	28-34	30-36	32-40	33-43	35-47	36-50	38-54

NOTES:

SIZE: Is the nominal neck size in inches.

NECK AREA: Is in square feet.

PATTERN: Is flow pattern as detailed previously.

$\Delta P(S)$: Supply pressure drop in inches W.G.

SCFM: Side CFM

THROW: In feet corresponding to 100 & 50 FPM terminal velocity.

S.N.C.: Room SC for supply based on 8 cu ft room effect.

Table 10.5 Performance data for linear slot diffusers

B. Supply linear slot diffusers with 1" slot width

Number of Slots								
	1	2	3	4	5	6	7	8
CFM/Ft	10	20	30	40	50	60	70	80
Throw	4-7	7-11	7-13	8-15	9-17	11-19	11-21	12-22
NC	<20	<20	<20	<20	<20	<20	<20	<20
CFM/Ft	15	30	45	60	75	90	105	120
Throw	5-9	8-14	10-18	11-20	13-23	14-26	16-27	17-30
NC	<20	<20	<20	<20	21	22	24	26
CFM/Ft	20	40	60	80	100	120	140	160
Throw	6-12	9-19	13-23	15-26	17-29	19-32	21-34	23-36
NC	<20	21	23	25	26	27	28	30
CFM/Ft	25	50	75	100	125	150	175	200
Throw	9-14	12-21	16-25	20-30	21-31	24-36	27-38	29-40
NC	24	25	26	28	30	31	32	33
CFM/Ft	30	60	90	120	150	180	210	240
Throw	11-17	14-23	18-28	23-32	24-34	27-39	30-40	32-44
NC	27	29	30	32	34	35	36	37
CFM/Ft	35	70	105	140	175	210	245	280
Throw	12-18	16-25	21-32	24-36	26-38	30-43	32-46	33-48
NC	30	32	34	36	38	39	40	41
CFM/Ft	40	80	120	160	200	240	280	320
Throw	14-20	18-28	23-34	25-38	28-42	31-46	34-50	36-52
NC	33	35	37	39	40	41	43	45
CFM/Ft	45	90	135	180	225	270	315	360
Throw	15-22	20-30	25-38	26-40	30-44	34-49	36-52	37-56
NC	35	38	40	43	45	46	47	49
CFM/Ft	50	100	150	200	250	300	350	400
Throw	16-24	24-32	29-39	27-43	34-49	36-53	38-56	39-60
NC	39	41	44	46	- 48	50	52	54

Table 8. Performance data for supply linear slot diffusers with 1" slot width.

NOTE :

- Throw data (Ft) is based on terminal velocities of 100 & 50 FPM for horizontal discharge.
- NC values are for horizontal discharge. For vertical discharge subtract (5) from NC values.
- NC values are for 4 Ft long unit and assume room attenuation 10-db.

أنظمة تكييف الهواء

AIR - CONDITIONING SYSTEM

General

مقدمة

وظيفة تكييف الهواء هي معالجة الهواء بحيث تتحقق ظروف الراحة للإنسان وتحقيق أفضل الظروف للإنسان والمعدات لتحقيق أفضل انتاجيه . ولهذا فإن تكييف الهواء الكامل على مدار العام يعني المحافظة والتحكم في درجة الحرارة ونسبة الرطوبة وتزويد المكان بكمية هواء نقي مناسبة والمحافظة على مستوى منخفض من الإرهاق بحيث تتحقق ظروف الراحة . في العادة فإن أنظمة تكييف الهواء تعمل على تسخين وترطيب الهواء شتاءً أما في الصيف فتعمل على تبريد الهواء وإزالة رطوبته .

11.1 تصنيف أنظمة تكييف الهواء

11.1 Classification Air Conditioning System

أولاً: طبقاً لنوع المائع المستخدم وهو الماء أو الهواء إلى :

- أنظمة هواء كلي All air system
 - أنظمة ماء كلي All- water system
 - أنظمة هواء- ماء Air - water combination system
- ثانياً : طبقاً لطريقة التجفيف يمكن تقسيمهما إلى :
- أنظمة مجتمعة Packaged together أو أنظمة متكاملة Unitary System وفيها يتم تجميع جميع عناصر أنظمة التكييف (التي سنبيّنها لاحقاً) في هيكل واحد داخل صندوق Case.

* أنظمة تكييف مركزي وفيها يتم تجميع مكوناته الأساسية وملحقاته مثل محطة التبريد (Chiller) أو محطة التسخين (Boiler) و تعمل كوحدة قائمة بذاتها وتمدان وحدة مناولة الهواء Air - handling unit أما بالمائع البارد أو الساخن حسب الحاجة .

النظام الكامل The complete System هو الذي يحتوي على كل العناصر التي تقوم بجميع عمليات معالجة الهواء : تهوية ، تبريد ، تسخين ، ترطيب ، وإزالة رطوبة وتوزيع الهواء .

Fig 11.1

* **مائع التبريد Cooling fluid** : قد يكون ماءاً مثلاً Chilled water أو في صورة مركب تبريد Refrigerant . كلا الماءين يتم تبریدهما في محطة تبريد جرى العرف على تسخينها Chiller أما الحرارة فتطرد في الجو عن طريقبرج التبريد Cooling tower أو المكثف التبخيري Evaporative - condenser أو مكثف هوائي Air-cooled condenser .

* **مائع التسخين Heating fluid** : قد يكون ماءاً ساخناً أو بخاراً ساخناً يائياً إلى ملفات التسخين Heating coil من الغلاية . أو محول Converter . وقد التسخين قد يكون غاز طبيعياً أو وقوداً سائلاً أو فحم .

* **المرطب Humidifier** . يزود بماء رش Sprayed water أو بخار ماء قائم من الغلاية . يفضل دائماً بخار الماء لقاوته عن الماء .

* **مروحة التقذية Supply fan** وهي ضرورية لدفع الهواء خلال المصالك والى معدات توزيع الهواء في الغرفة .

* **ملفات التبريد Cooling coil** وهي تعمل على تبريد الهواء وإزالة رطوبته بواسطة مركب التبريد المار خلالها إذا كانت في وحدات مجمعة أو ماء مثلاً أو وسيط تبريد (محلول ملحي Secondary refrigerant) في حالة التكييف المركزي .

* **ملفات تسخين متأخر Re-heating coil** يعمل هذا السخان على رفع درجة حرارة الهواء البارد (نتيجة عملية التبريد وإزالة الرطوبة صيناً) ليجده مناسباً لظروف الراحة . أو عندما ينخفض الحمل الحراري على الغرفة إلى أقل من ظروف التصميم وكما يستخدم للتحكم في الرطوبة النسبية .

- * **السخان المتقدم coil Pre-heating coil** يستخدم في المناطق الباردة وذلك حتى يحول دون تجميد المياه في المواسير عند مرور هواء عليها ذو درجة حرارة أقل كثيراً من الصفر المئوي . وجود هذا السخان اختياري للمناخ المعتمد و في حالة التدفئة يستخدم كل من السخان المتقدم والمتاخر .
- * **مروحة الراوح Return air fan** تقوم بسحب الهواء من الغرفة وتدفعه من خلال أنظمة الراوح أو إلى وحدة التكييف المركزي وتطرد مقدار الرابع تقريباً .
- * **أنظمة المساك Ducting system** يتم تصميم هذا النظام في الغالب بحيث يأخذ جزء كبيراً من الهواء الراوح حوالي 75% مع 25% من الهواء الخارجي لمعالجته . أما نسبة 25% من الهواء الراوح فتطرد . في بعض الأحيان قد يتطلب الأمر هواء خارجي بنسبة 100% هذا سوف ينتج عنه حمل حراري كبير .
- * **الفلتر Filter** يستخدم لتنقية الهواء من الأتربة والجراثيم والملوثات .
- * **الإمداد الجانبي By-pass** وللحكم في رطوبة الهواء يستخدم الإمداد الجانبي حيث تتحكم مجموعتين من البوابات Dampers واحدة لإمداد هواء على ملفات التبريد حيث يبرد وترال رطوبته وتقوم الأخرى بإمداد هواء دون ملامسة ملفات التبريد بعدها يخلط التياران فتعطى نسبة الرطوبة المطلوبة .
- * **المنطقة Zone** هي عبارة عن فراغ خاص للتكييف. هذا الفراغ قد يكون غرفة أو عدة غرف ذات درجة حرارة ونسبة رطوبة واحدة ويتم التحكم في درجة حرارتها بواسطة متحكم حرارة واحد Thermostat . هذا الترمومتر يشعر بدرجة حرارة المنطقة ويرسل إشارة تصحح في حال إذا كانت درجة حرارة المنطقة تختلف عن المدى المضبوطة عليه في بعض الحالات الخاصة قد يتم التحكم في الرطوبة بواسطة متحكم الرطوبة الهميستات Humidistat .
- * **معدات مناولة الهواء Air handling equipment** يقوم صانعوا معدات تكييف الهواء بتجميع العناصر الرئيسية لمعدات معالجة الهواء مثل المرشح Filter السخان المتقدم Pre-heater coil ملفات التبريد Cooling coil ملفات السخان Re-heating coil ، المرطب Humidifier و مروحة التغذية Supply fan ، المتأخر Supply fan

وبابات التحكم Controlling damper داخل هيكل معدني يسمى بما يحتويه وحدة مناولة الهواء Air handling unit اختصاراً (AHU).

وستشرح فيما يلى انظمة تكييف الهواء مع الأخذ في الاعتبارات تعريف بعض الاختصارات على الرسومات وهي :

Outside Air	هواء خارجي OA
Supply Air	هواء تغذية SA
Return Air	هواء راجع RA
Mixed Air	هواء مخلوط MA
Chilled water supply	مياه تغذية باردة CWS
Chilled water return	مياه راجع باردة CWR
Hot water supply	مياه تغذية ساخنة HWS
Hot water return	مياه راجعة ساخنة HWR
Filter	مرشح F
Cooling coil	ملفات تبريد CC
Preheat coil	سخان متقدم PH
Reheat coil	سخان متاخر RH

11.2 All Air Systems

جوهر هذه الانظمة يتمثل في أنها تقوم بتوزيع هواء فقط في الفراغات المراد تكييفها بعض هذه الانظمة سيتم استعراضها مع بيان مجالات تطبيقها.

11.2.1 Single zone system

11.2.1 نظام المنطقة الواحدة

أبسط أنظمة الهواء الكلى هو ما يخدم منطقة واحدة ويمكن وضع وحدة المناولة أما داخل المنطقة أو أن يتم تشغيلها عن بعد ويمكن أن تعمل مع أو بدون مسالك، والتحكم في عمل وحدة المناولة يتم بواسطة ترمومتر واحد يخدم المنطقة لتحقيق ظروف واحدة أما في غرفة واحدة أو عدة غرف.

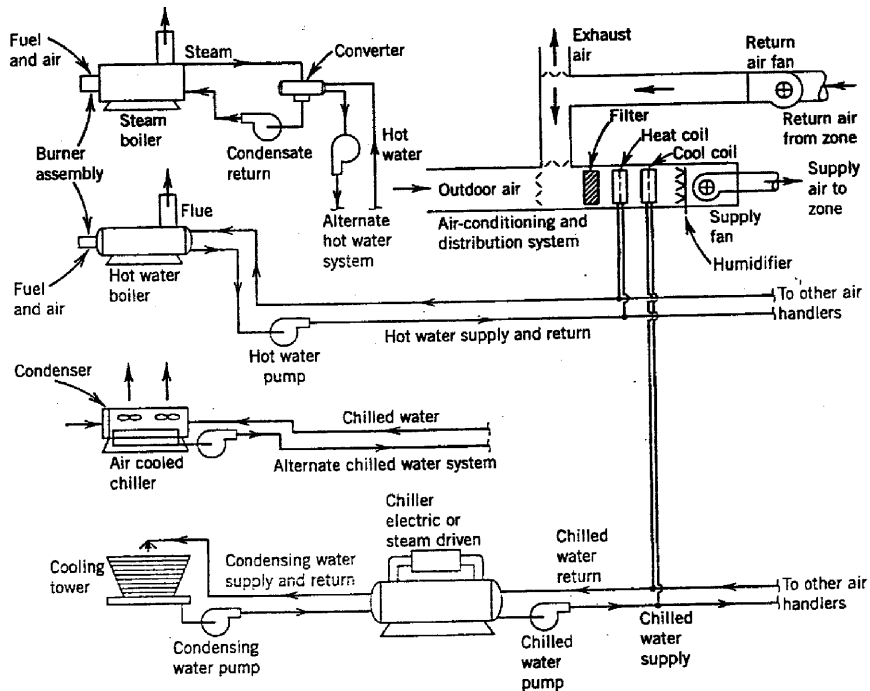


Figure 11.1 Flow diagram an air- conditioning system

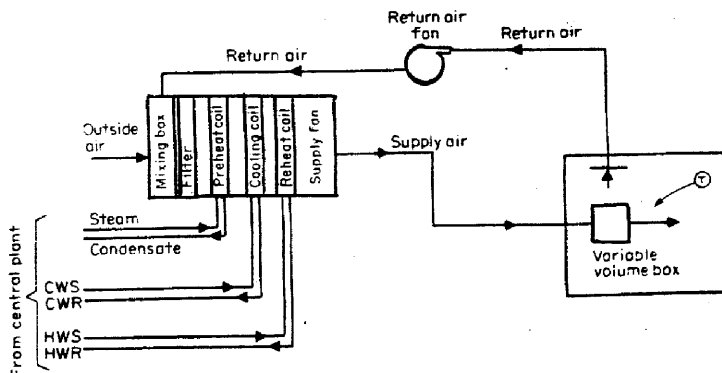


Figure 11.2 Variable air volum and constant temperature A/C. system.

11.2.1.1 نظام حجم الهواء المتغير وثبات درجة الحرارة

11.2.1.1 Variable air volume and constant temperature system

يستخدم هذه النظام أساساً في الأماكن ذات حمل ثابت نسبياً ويستخدم في إشغالات المصالح الأدارية وال محلات العامة ، حيث يمكن المحافظة على درجة الحرارة ثابتة داخل هذه الأماكن وذلك بتغيير حجم هواء التغذية طبقاً للحمل الحراري.

كما هو مبين في Fig 11.2 فإن الهواء الخارجي يخلط مع الهواء الراوح في صندوق الخلط حسب النسب المطلوبة ثم يمرر على الفلتر لتنقيتها ثم على السخان المققدم Pre-heater أو ملفات التبريد Cooling coil والساخن المتأخر Re-heater طبقاً للحاجة إذا كانت تبريد أو تدفئة ثم تقوم المروحة بدفعة في مسلك واحد إلى غرفة أو عدة غرف ذات درجة حرارة ونسبة رطوبة واحدة.

في هذا النظام Fig 11.2 نجد أن طبقاً للحمل الحراري فإن ترمومترات الحجم (T) يقوم بتشغيل صمام جريلة صندوق الحجم المتغير ليسمح بتدفق كمية هواء معينة بالمرور. في هذا النظام يمكن استخدام ترمومترات واحد لتشغيل صمامات عدة غرف.

مميزات النظام

1- اقتصادي في التشغيل حيث ان حجم الهواء يتناقص مع الحمل الحراري. مما يقلل من استهلاك الطاقة.

2- عند استخدام هذا النظام للتدفئة يستخدم كل من السخان المققدم Pre-heater والساخن المتأخر Re-heater

11.2.1.2 نظام التسخين الطرفي

11.2.1.2 Terminal re-heat system

نظام التسخين الطرفي هو تطوير لنظام المنطقة الواحدة حيث يسمح هذا النظام بإدخال هواء إلى غرفة أو عدة غرف ذات أحمال حرارية مختلفة. ومن كلمة إعادة تسخين فإنها تعنى عملية ثانوية لمعالجة الهواء بعد المعالجة الأولى في وحدة مناولة الهواء المركزية .

في هذا النظام فإن الهواء الخارجي Outside Air يخلط مع الهواء الراوح في صندوق الخلط Fig 11.3 Mixing Box ثم يمر على المرشح Filter لتنقيتها ثم يخضع بعد

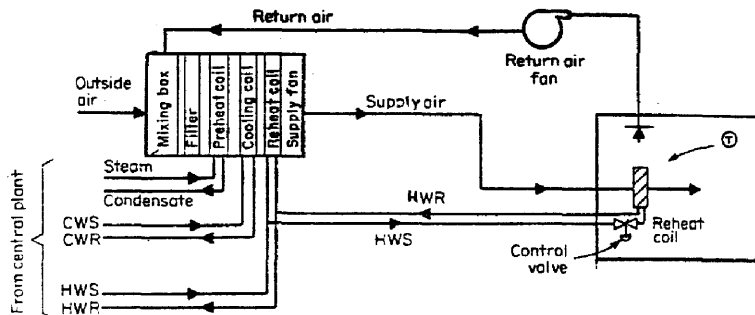


Figure 11.3 Single duct system with reheat.

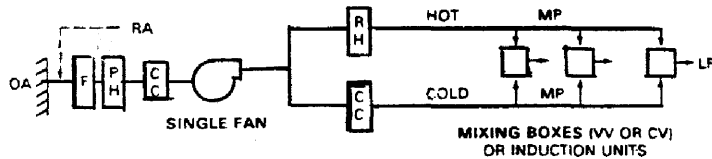


Figure 11.4 Dual- duct system.

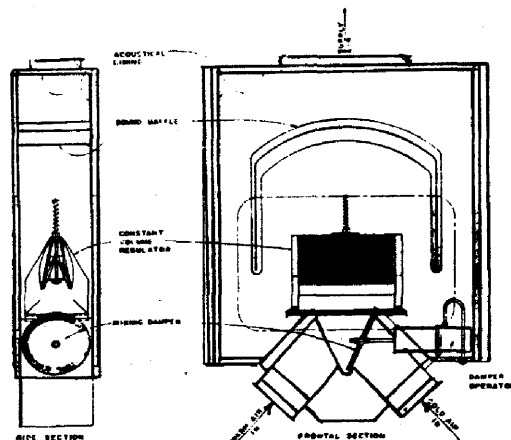


Figure 11.5 Dual – duct mixing box.

ذلك أاما للتسخين أو للتبريد طبقا للإحتياجات تم تقوم مروحة التغذية Supply fan بدفعه خلاص مسالك واحد إلى غرفة أو عدة غرف . كل غرفة مزودة بملفات تسخين coil Reheating . كل غرفة مزودة بترموموستات يعمل على تشغيل صمام تحكم لدخول ماء تغذية ساخن H W S قادر من المحطة المركزية ويعود إليها في خط ماء ساخن راجع R H ومن ذلك يتضح إن معالجة الهواء لمعادلة الحمل الحراري تدفئة أو تبريد تتم في المحطة المركزية بصورة أساسية اما التسخين الطرفي فإن الصيف منه هو المعالجة الثانوية للوصول بحالة الهواء للظروف المطلوبة للغرفة بصرف النظر عما هو مطلوب في الغرف الأخرى . وعلى ذلك فليس هناك حاجة لتقسيم الغرف إلى مناطق .

هذا النظام يستخدم في المباني ذات اعداد قليلة أو متوسطة من الغرف ذات حمل حراري كامن Latent heat كبير أو معامل حرارة محسوسة SHF منخفض ويستخدم أيضا في المعامل حيث يغلب استخدام هواء خارجي كلي بنسبة 100% مميزات النظام

- 1- ليس هناك داع لتقسيم المسالك إلى مناطق حيث الضبط النهائي يتم في الغرفة نفسها .
- 2- التحكم في درجة حرارة الهواء يتم بواسطة منظم حرارة إما يدريا أو آليا .
- 3- عمل هذا النظام يقلل من الضوضاء نتيجة لمرور الهواء في المسالك .

عيوب النظام

استخدام طاقة كبيرة نسبيا لذلك لا يلجأ إليه إلا في الحالات الخاصة .

11.2.2 Dual duct system

11.2.2 نظام المسالك الثنائية

في هذا النظام Fig 11.4 كالأنظمة السابقة فإن الهواء الخارجي Outside air يخلط مع الهواء الراوح Return air في صندوق الخلط ثم يمر على المرشح Filter ثم يمر على المروحة التي تدفعه في مسلكين مسالك ساخن Hot duct ومسالك بارد Cold duct على المسالك الساخن مزود بملفات تسخين Heating coil لتسخين الهواء المار عليها . والمسالك البارد مزود بملفات تبريد لتبريد الهواء المار عليها . لكل منطقة يوجد لها صندوق خلط يقوم بخلط الهواء من المسالك الباردة والمسالك الساخنة بنسب معينة بحيث تناسب حالته بعد الخلط ظروف

الراحة في المكان وفي Fig 11.4 يبين نقط ثلاثة صناديق خلط تخدم ثلاث مناطق يمكن زيتها حسب الحاجة .

أحد طرازات صناديق الخلط مبينة في Fig 11.5 . هذا الصندوق مزود بفتحات موصلة بالمسلكين البارد والساخن عن طريق وصلات مرنة وبين Fig 11.6 طرق توصيل هذا الصندوق مع المسلكين للأنظمة المختلفة حيث :

- 1- بعد خلط الهواء في الصندوق يخرج مسلك ذو مرارة منخفضة وتخرج منه وصلات مرنة يركب عليها ناشر دائري Round diffuser .
- 2- يخرج من الصندوق وصلات يركب عليها ناشر مربع Square diffuser .
- 3- يركب الناشر مباشرة على الصندوق

يستخدم هذا النظام بصورة واسعة في المكاتب ، الفنادق ، المستشفيات ، المدارس ، والمعامل الكبيرة وهذه الأماكن كلها تتلقى في إنها ذات حمل حراري محسوس دائم التغيير .

مميزات النظام

- 1- إمكانية التحكم في درجة حرارة الغرفة بصورة جيدة مع التغير الدائم للحمل الحراري . وذلك بضبط الترموموستات على درجة حرارة واحدة طوال العام .

عيوب النظام

- 1- تكاليف التركيب والتشغيل مرتفعة .
- 2- استهلاك كبير في الطاقة مثل نظام التسخين الطرفي .

11.2.3 Multi - zone system

11.2.3 نظام تعدد المناطق

هذا النظام يقسم بتوفر مسلك تغذية واحد لكل منطقة Zone . كما بینا سابقاً فإن المنطقة تتضمن غرفة أو عدة غرف التي تتحدد في درجة الحرارة ونسبة الرطوبة . في هذا النظام Fig 11.7 يتم خلط الهواء الراجع Return air مع الهواءخارجي Outside air في صندوق الخلط بعدما يمر على الفلتر للتنقية ثم على السخان المستقدم Pre-heater عند الحاجة (إذا كانت درجة حرارة الهواء منخفضة جداً حتى لا يتجمد ماء التكثفه) ثم على مروحة التغذية Supply fan

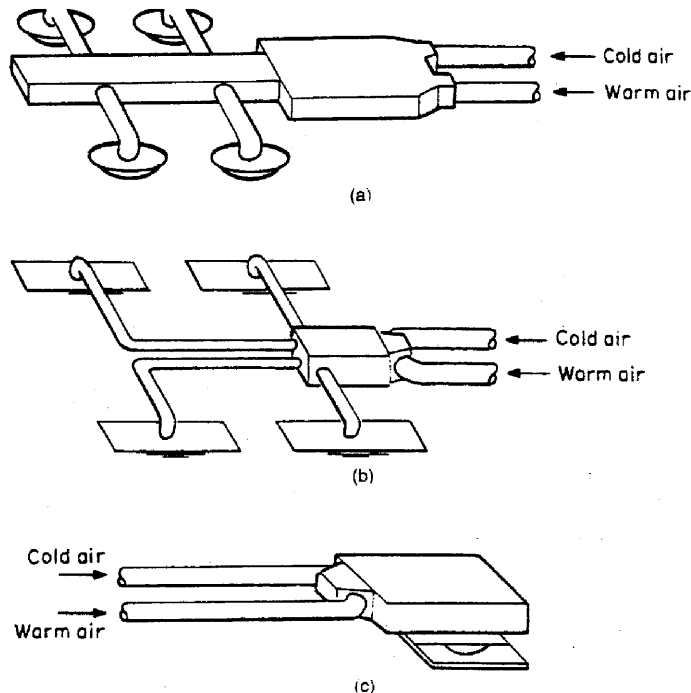


Figure 11.6 Dual – duct mixing box (a). supplies a series of round diffusers, (b): supplies a series of square diffusers, (c): diffuser directly connected to the box.

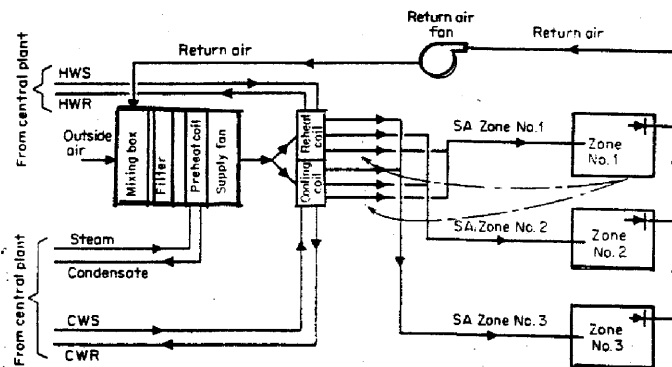


Figure 11.7 Muti – zones all- air system.

والتي ترکب على خط الطرد الخارجى الخاص بها. ثم يمر في مسلكين بأحدهما ملفات تبريد Cooling Coil، والأخر ملفات تسخين Heating coil . في بعض الأحيان ملفات التبريد تسخن Cooling deck . وكل منطقة لها مسلك تغذية خاص بها مثل SA Zon N1 للمنطقة الأولى يمر به خليط من هواء بارد بعد مروره على Cooling coil وهواء ساخن بعد مروره على Heating coil . وكذلك الحال لباقي المناطق . كل منطقة لها متحكم درجة حرارة الخاص بها Thermostat والذي يقوم بدوره بتحديد نسب خلط الهواء البارد مع الهواء الساخن ليصل إلى حالة الهواء المطلوبة. ومن ذلك نجد أن نظام تعدد المناطق يتباين في الكثير مع نظام المسالك الثانية غير أنه يتم في هذه الحالة في المعادن وليس في صندوق الخلط .

يتم تطبيق هذا النظام في الغرف ذات حمل حراري محسوس كبير نسبياً.

مميزات النظام

- [١] - مصاريف التشغيل منخفضة نسبياً .

- ٢- إمكانية التحكم في درجة حرارة كل منطقة على حدة .

عيوب النظام

- [١] - نظراً لتعدد المسالك فإن التكلفة الإنسانية تكون كبيرة نسبياً .

- 2- تحديد عدد المناطق بحيث لا يتجاوز 12 منطقة .

أنظمة ماء كلي 11.3

الأساس في أنظمة الماء الكلي هو ما يسمى بنظام الـ Hydronic. هو عبارة عن مجموعة من الأنابيب التي تستخدم لمریان الماء الساخن أو الماء المثلج لتكييف الهواء إلى الوحدات الطرفية في الغرف . هذه الوحدات هي عبارة عن مبادرات حرارية تعمل على تبادل الحرارة بين الماء وهواء الغرفة في حالتي التبريد والتدفئة . عمل هذه الانظمة يتوقف على طريقة توصيل الوحدات الطرفية مع أنابيب الماء الساخن أو المثلج . ويلحظ أنه ليست هناك اى أنظمة لدفع و معاملة الهواء من مركزيا ويعتمد بصورة أساسية على، هواء الغرفة

11.3.1 نظام إطار الترتيب المتالي (أنبوبة واحدة)

11.3.1 Series loop system (one pipe)

في هذا النظام Fig 11.8 الوحدات الطرفية Terminal units تم وضعها في ترتيب متالي سواء في محطة تبريد المياه CH أو التسخين WH. هنا نلاحظ أن الماء يمر في خلال كل الوحدات الطرفية .

عيوب هذا النظام

- صيانة أو إصلاح أي وحدة طرفية تتطلب تعطيل النظام كله .
- لا يمكن التحكم في مقدار السريان لأي وحدة بمفرده عن باقي الوحدات .
- عدد الوحدات الطرفية محدود .

هذا العيب يمكن التغلب عليه جزئياً بتقسيم عدد الوحدات على مجموعتين كما هو مبين في Fig 11.9 . هذا الاجراء يعمل على تقسيم الغرف إلى منطقتين يمكن التحكم في كل منطقة على حدة .

- إجراء آخر يمكن استخدامه ألا وهو جعل كل وحدة طرفية موصولة بالأنبوبة الرئيسية عن طريق فرعين ، فرع للتغذية وفرع للراغب يصب أيضاً في الأنبوبة الرئيسية Fig 11.10 وبذلك يمكن التحكم وصيانة كل وحدة طرفية دون التأثير على باقي الوحدات. هذا النظام يسمى نظام الأنبوبة الرئيسية الواحدة One - pipe system .

من عيوب هذا النظام أن المياه التي تصل إلى آخر وحدة طرفية يمكن أن تكون باردة بدرجة لا تستطيع معها تدفئة الغرفة جيداً .

11.3.2 Two-pipe system

نظام الأنابيب الثانية

هذا النظام يشتمل على أنبوبتين الأولى للتغذية والثانية للراغب (ذات خط مقطوع) Fig 11.11 يتم توصيل كل وحدة طرفية بالأنبوبة الرئيسية للتغذية وبالأنبوبة الرئيسية للراغب. للحصول على أفضل النتائج يتم تركيب كل وحدة طرفية بحيث يكون مجموع طولي خط التغذية الواسع من وحدة المعالجة وخط الراغب إلى وحدة المعالجة متساوياً لكل الوحدات الطرفية. بالرغم من أن تكلفة نظام الأنابيب الثانية أكبر من نظام الأنبوبة الواحدة إلا أن هذا النظام يسمح بالصيانة والتحكم لكل وحدة طرفية ولهذا يستخدم هذا النظام في الأنظمة الكبيرة .

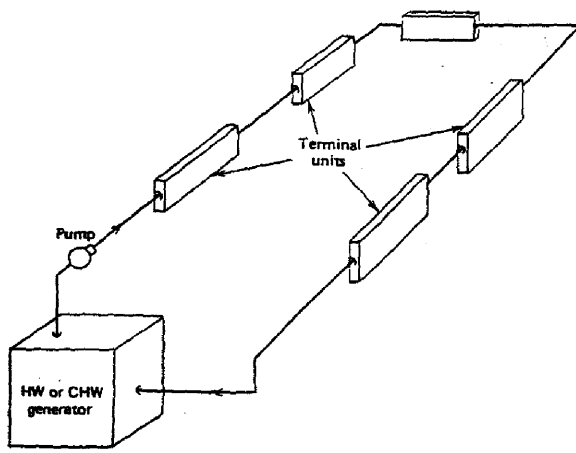


Figure 11.8 Series loop piping system

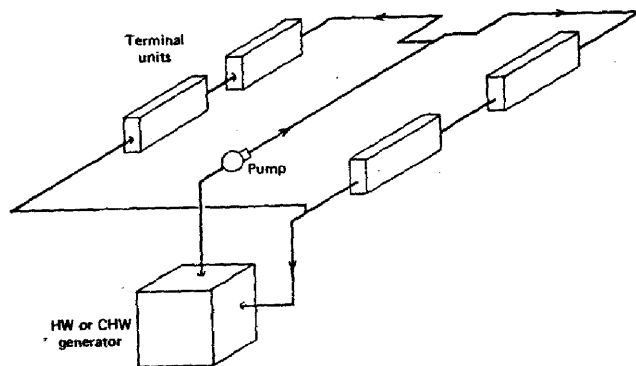


Figure 11.9 Split series loop piping system.

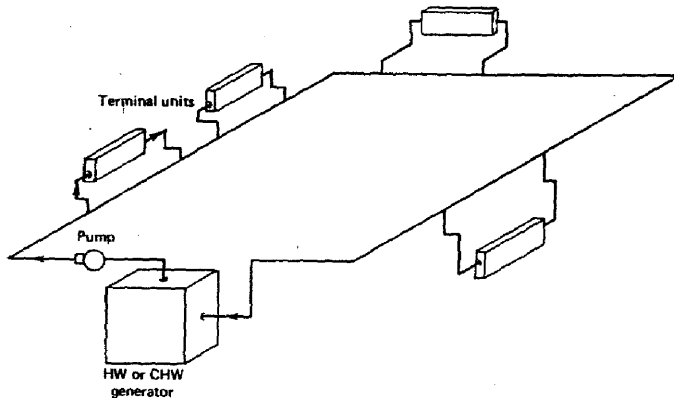


Figure 11.10 One-pipe main piping system.

11.3.3 نظام الأنابيب الثلاثية

في هذا النظام فإن التغذية لها انبوبتان : واحدة للماء المثلج لأغراض التبريد والأخرى للتدفئة بواسطة الماء الساخن كما يمكن خلط الماء الساخن والماء المثلج من خلال صمام ثلاثي له مدخلان ومخرج يؤدي إلى الوحدة الطرفية . أما الأنبوبة الثالثة Fig 11.12 يصب فيها الرا�ع من الوحدات الطرفية إلى Chiller أو إلى العلية Boiler . وبما أن في خط الرا�ع يصب في كل من الماء الساخن أو الماء البارد أو كلاهما في نفس الوقت فإن الماء البارد سوف ترتفع درجة حرارته والماء الساخن سوف تتحفظ درجة الحرارة هذا يشكل استهلاكاً أكبر للطاقة . للتغلب على هذه المشكلة يمكن استخدام نظاماً يحتوي على أربعة أنابيب ، اثنان للتغذية والرا�ع للماء المثلج والآخرين للتغذية والراجع للماء الساخن .

11.4 أنظمة هواء - ماء

في أنظمة الماء والهواء يتم استغلال أفضل المميزات في أنظمة الهواء الكلي وأنظمة الماء الكلي . ففي هذه الأنظمة يدفع الهواء بكمية بقدر ما تتحقق التهوية فقط - بمعنى عدم استخدام هواء الرا�ع . أما الحمل الحراري كسباً في حالة التبريد فقداً في حالة التدفئة فيحمله الماء المدفوع إلى الوحدات الطرفية من محطة التبريد Chiller أو من وحدة التسخين الغلدية Boiler . وعلى هذه فإن هذه الأنظمة المختلطة تستخدم للأسباب الآتية :

1- السعة الحرارية للماء أكبر كثيراً من مثيلتها للهواء وكذلك الكثافة ، وعلى ذلك فإن كمية المياه المستخدمة أقل من مثيلتها للهواء وبالتالي فإن مساحة مقطع الأنبوبة سيكون بالطبع أقل من مقطع مسالك الهواء مما يشغل حيزاً أقل من الغرفة .

2- حيث أن كمية الهواء قد تم تخفيضها في هذه الأنظمة إلى الرابع تقريباً فإن هذا يدفع إلى استخدام أنظمة سرعات عالية (السرعة أكبر من 12m/s) .

3- الطاقة المستهلكة لدفع المياه من و إلى الوحدات الطرفية في المبني أقل كثيراً من التي تستخدم بواسطة المراوح لدفع الهواء خلال مسالك التغذية وسحبه خلال مسالك الرا�ع .

وعلى هذا فإن هذه الأنظمة تجمع بين محطات تكييف الهواء المركزي مع ما يشمله من مسالك لتوزيع هواء التهوية ومعالجته ابتدائياً تبریداً أو تسخيناً ودفعه إلى الغرف . وعلى هذا فإنه يسمى هواء ابتدائي Primary air . كما تحتوي على محطات تبريد مياه وغلايات للتسخين تقوم بدفع

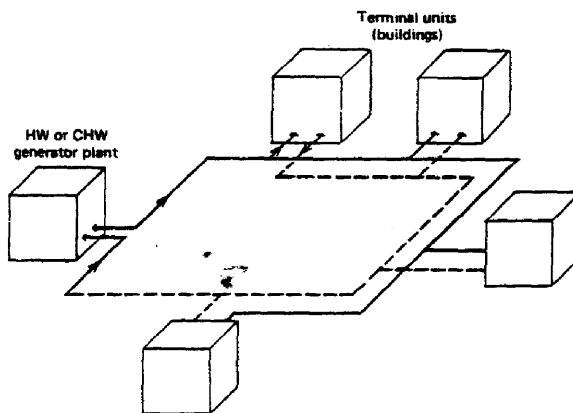


Figure 11.11 Two-pipe return – reverse system.

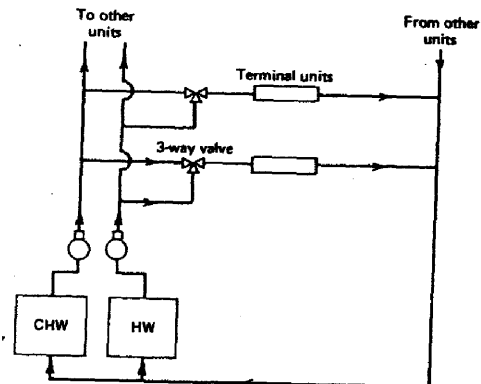


Figure 11.12 Three-pipe system

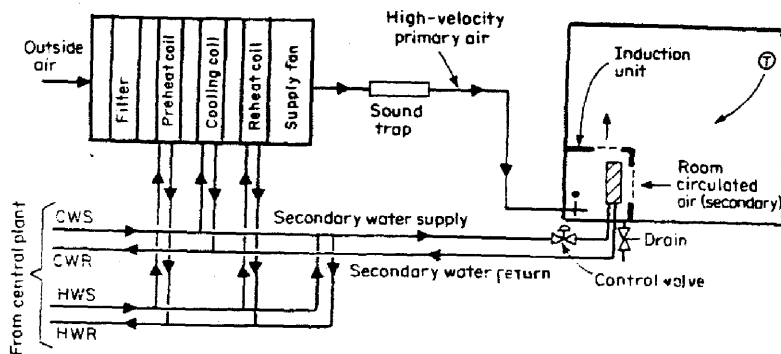


Figure 11.13 Air-water with induction unit system

المياه الباردة أو الساخنة إلى الوحدات الطرفية (وحدات حث Induction Unit أو وحدة ملف مروحة Fan-coil unit) يستخدم فيها هواء الغرفة الذي يسمى هواء ثانويا Secondary air وفيما يلي شرح كيفية عمل الوحدات الطرفية مع هذه الأنظمة .

11.4.1 نظام ماء - هواء مع وحدة حث

11.4.1.1 Air-water with induction unit system

في هذا النظام Fig 11.13 فان الهواء الخارجي بمقدار يسمح للتهوية يتم معالجته بمروره أولاً خلال الفلتر Filter ثم السخان المقتمن Pre-heating coil أو ملفات التبريد Cooling coil أو السخان المتأخر Re-heating coil ثم مرورة التغذية Supply fan ثم خلال مسالك سرعة عالية تحدث ضوضاء لذلك فقد تم تركيب مخفض (مصيدة) Sound trap ومنه إلى الغرفة إلى وحدة الحث Induction unit مشكلاً بذلك هواء ابتدائياً أما هواء الحث Induced air الذي هو الهواء الثانوي فيتم استغلاله من خلال وحدة الحث لتجريمه سريان الهواء في الغرفة لتحقيق ظروف الراحة . التركيب الأساسي لوحدة الحث مبين في Fig 11.14 حيث يدخل الهواء الابتدائي Primary air القادم من وحدة تكييف الهواء المركزية في ضغط عالي مارا ببوابة أتزان Balancing damper لضبط كمية الهواء ثم يمر من خلال فوهه Nozzle رأسياً بسرعة عالية . هذا يخلق ضغط منخفض أسفل الوحدة مع تأثير حث Induced effect يسحب معه هواء الغرفة Secondary air أو ماء ساخن Hot water طبقاً على ملفات يتدفق بداخلها أما ماء مثلج Chilled water أو ماء ساخن Hot water طبقاً لحاجة الغرفة . هذا الهواء بعد ذلك يخلط مع الهواء الابتدائي ويخرج الخليط إلى الغرفة . وحدات الحث عادة ما تتوضع على الأرض في محيط الغرفة أسفل الشباك كما يمكن وضعها قرب السقف في بعض الأحيان هذا النظام لا يحتاج إلى مروحة لسريان الهواء داخل المكان .

11.4.2 نظام ماء - هواء مع وحدة ملف - مروحة

11.4.2.1 Air-water system with fan - coil unit

هذا النظام Fig 11.15 شبيه بالنظام السابق حيث يمكن استخدام وحدة ملف - مروحة Fan-coil unit بحيث توضع في أسفل الغرفة مع وحدة التكييف المركزي بنظام ماء - هواء

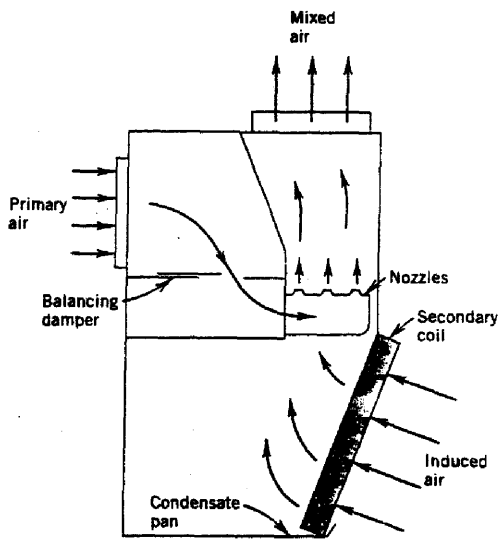


Figure 11.14 Air- water induction unit

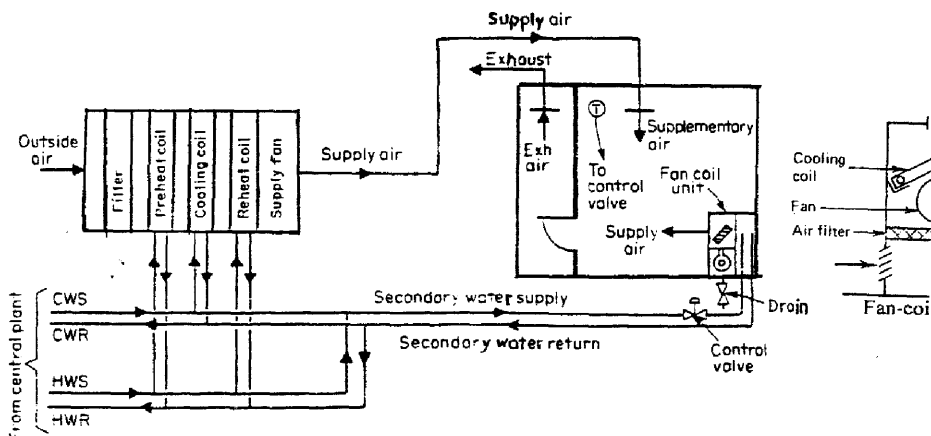


Figure 11.15 Typical air- water with fan- coil unit system

حيث يعامل الهواء الابتدائي في وحدة التكييف المركزي بالقدر الذي يسمح بالتهوية ويضخ للغرفة. هواء الغرفة يتم تبریده او تسخينه من خلال مية مارة في ملفات قد يمر بها ماء متاح او ماء ساخن طبقاً للحاجة. وقد تعمل وحدة الملف والمروحة بمعزز عن وحدة تكييف الهواء المركزي وفي هذه الحالة فيصبح نظام التكييف نظام ماء كلي .

وحدة الملف والمروحة تتكون من ملفات تبريد وقد تعمل للتسخين وهي مرکبة في الجزء العلوي ويوجد أسفلها مرروحة طرد مركزي صغيرة تسحب هواء الغرفة إذا كانت تعمل بنظام ماء- هواء مع محطة التكييف المركزي او هواء خارجي إذا كانت تعمل بنظام ماء كلي ثم يمرر على فلتر ثم على ملف التبريد او التسخين لتبریده او لتسخينه حسب الحاجة ثم يضخ داخل الغرف .
وحدة الملف والمروحة قد توضع رأسياً على الأرض وقد توضع أفقياً في السقف .

11.5 مقارنة الأنظمة المجمعة والنظام المركزي

11.5 Comparison Between Unitary and Central Systems

المقارنة هنا لا تشمل وظيفة كل من النظمين حيث وظيفتيهما واحدة ولكنها تعتمد بالدرجة الأولى على طريقة تركيب وترتيب عناصر النظام ويمكن إيجازها في الآتي :-

- في الوحدات المجمعة كل العناصر وتشمل معدات التبريد ، المرروحة ، الفلتر ، ملفات (تبريد وتسخين) ، البوابات ، أجهزة التحكم كلها متوافقة ومحتارة ومجمعة في المصنع وتخرج وتحمل طرازاً ورقماً معيناً يمكن اختيارها طبقاً لهذا الرقم والطراز من الكتالوجات في النظام المركزي ليست كل العناصر مجمعة في مكان واحد حيث يتم اختيارها بواسطة مهندس التصميم وتجمع مع بعضها بواسطة المقاول .
- الوحدات المجمعة عادة ما توضع في أو قريباً من المكان المراد تكييفه أما معدات التكييف المركزي عادة لا توضع في المكان المراد تكييفه وتدار عن بعد Remote من المكان المكيف وتعتمد على التصميم الموضوع .
- من الناحية النظرية فإن كل من الوحدات المجمعة المركبة يمكن أن تكون نظاماً ماء كلي أو هواء كلي أو ماء - هواء تخدم منطقة أو أكثر فإن من الناحية العملية الأنظمة المجمعة كلها هواء كلي ويقتصر عملها على منطقة واحدة وبدون إعادة تسخين حيث أن مكوناتها مجمعة كلها في المصنع .

11.6 الوحدات المجمعة

11.6 Unitary Units

نوعاً - وحدات الغرف Room units

تصنع وحدات الغرف في الأنواع الآتية :

- **وحدات الشباك Window units :** هذه الوحدات تركب في فتحة في الحائط

Fig 11.16 بحيث يكون الضاغط والمكثف للخارج وذلك لتجنب الصوضاء الناشئ عنها والمبخر والفلتر للداخل تقوم المروحة بسحب هواء الغرفة ويمر على الفلتر ثم ملفات التبريد ويبرد ثم يقوم بإعادة دفعه للغرفة مرة أخرى أما حرارة الهواء الداخلي فيحملها الهواء الخارجي بالإضافة إلى حرارة الضاغط ويطردتها من خلال المكثف للخارج. يوجد الآن طرازات من هذا النوع يمكن التحكم فيها عن بعد وتنتج هذه الوحدات بقدرات حتى 36 طن تبريد وهذه الوحدات بالطبع لا تستطيع تغيير الحرارة المحسوسة للغرفة ولذلك فإن تحكم الرطوبة لا يعطي نتائج جيدة، هذا بالإضافة إلى أن مستوى الإزعاج الصادر عنها محسوس ومستوى نقاوة الهواء منخفض حيث أنها مزودة بمرشحات تحجز فقط الجسيمات الكبيرة . وهذه الوحدة تستهلك طاقة كبيرة نوعاً ما حيث لا يمكن التحكم في قدراتها .

- **الوحدات المنفصلة Split - units :** وحدات الغرفة تم تطويرها بحيث تصنع في حزتين

الأول ويحتوى على المبخر والفلتر ويوضع داخل الغرفة أو على الأرض أو تعلق في الحائط أو الجزء الآخر تتصل على الضاغط المكثف فيوضع خارج المكان ويرتبط الجزءان بمواسير مائع التبريد من وإلى المبخر من خلال فتحة صغيرة في الحائط المشتركة وطريقة عمل هذه الوحدة مثل السابقة وتمتاز عنها بمستوى ضوضاء أقل . حالياً تصنع هذه الوحدات لتخدم أكثر من غرفة Fig 11.17 وتمتاز الوحدات المنفصلة

بالتالي :

- 1- التكلفة الأولية أقل من نظام التكييف المركزي
- 2- الفراغ الذى تشغله محدود نسبياً بمقارنة مع التكييف المركزي .
هذه الأنظمة غير اقتصادية عندما تعمل مع عدد كبير من الغرف

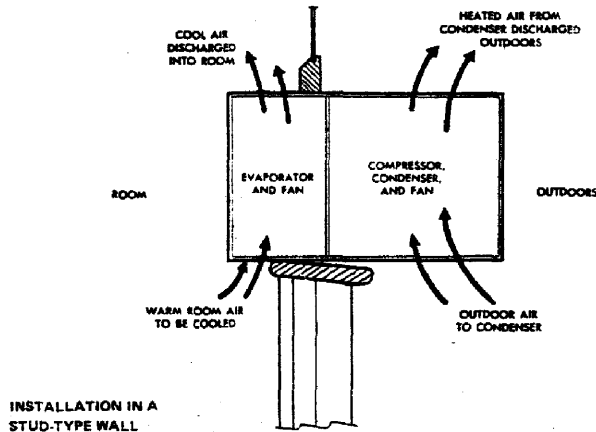


Figure 11.16 Arrangement of wall air-conditioner

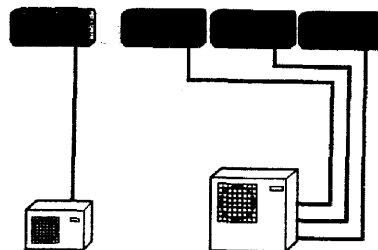


Figure 11.17 Split unit for single or more than one room

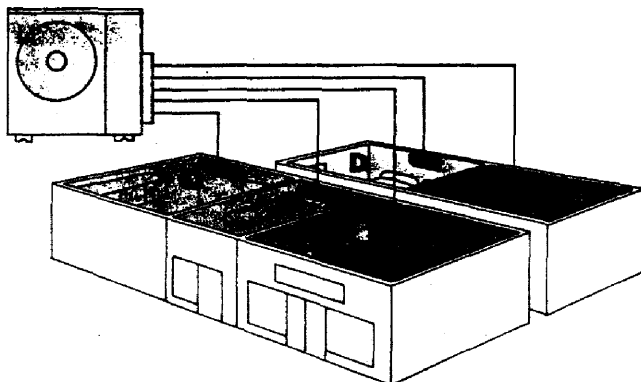


Figure 11.18 Typical arrangement of split unit for multi – location.

الوحدات الداخلية قد توضع على أرضية الغرف أو في حائط علوي Fig 11.18 أو في السقف حيث تسمى بالوحدة الكاسيت Fig 11.19 Cassette unit . هذه الأنظمة تستخدم بصورة جيدة في الفنادق والموتيلاط .

• **وحدات المضخة الحرارية Heat pump units** كل أنظمة التبريد مضخات حرارية حيث أنها تنتص الطاقة الحرارية عند درجة حرارة منخفضة وتضخها من خلال المكثف للخارج عند درجة حرارة عالية . هذه الحرارة المطرودة من خلال المكثف يمكن استخدامها في التدفئة .

وفي بعض الأحيان يمكن استخدام هذه الوحدة في التبريد والتسخين في نفس الوقت ولذلك يمكن اعتبار المضخة الحرارية إحدى نظم إسترجاع الطاقة . في هذه الحالة فإن وحدة التبريد Fig 11.20 تزود بصمام مرتبطة بالضغط يسمى صمام عاكس رباعي Four-way reversing valve له مدخل ثابت Fig 11.21 على خط سحب البخار والمخارج الثلاثة الأخرى تستخدم لعكس اتجاه البخار المضغوط وبالتالي تبادل وظائف المبخر والمكثف في حالتي التبريد والتدفئة . وفي حالة التدفئة فإن الهواء الراجع يمر على ملفات المكثف فترتفع درجة حرارته ويتم ضخه في المكان المكيف . في حالة التبريد يتم عكس الدورة فالمكثف في حالة التدفئة يعمل كمبخر في حالة التبريد فالهواء الراجع يمر على المبخر فيبرد وبعده العائد إلى المكثف .

أجهزة التبريد التي تعمل بنظام عاكس الدورة أعلى في الثمن من الأجهزة التي تعمل بسخانات كهربائية حيث أنها أقل استهلاكاً للطاقة .

ثالثاً: مكيفات هواء مجمعة Unitary air-conditioners

هذه الأجهزة مصممه بحيث يمكن تركيبها في أو قريباً من المكان المكيف هذه الوحدات قد تسمى وحدة دولاب وهي تحتوي على كل العناصر المطلوبة لمعالجة الهواء وفي بعض الأحيان قد تحتوي على ملفات تسخين . هذه الوحدات قد تكون أفقية أو راسية كما في Fig 11.22 قد تستخدم هذه الأجهزة لضخ الهواء مباشرة في الغرفة أي لا تحتاج معدات توزيع هواء وقد تستخدم مع مسالك قصيرة نوعاً ما كما هو مبين في Fig 11.23 . تستخدم هذه المكيفات في المنازل ، المحلات التجارية المتوسطة وكما هو واضح فإن الهواء المار على المكثف يُضخ للخارج . في بعض الطرازات قد تستخدم وحدتان Split بحيث تركب وحدة التكييف Condensing unit

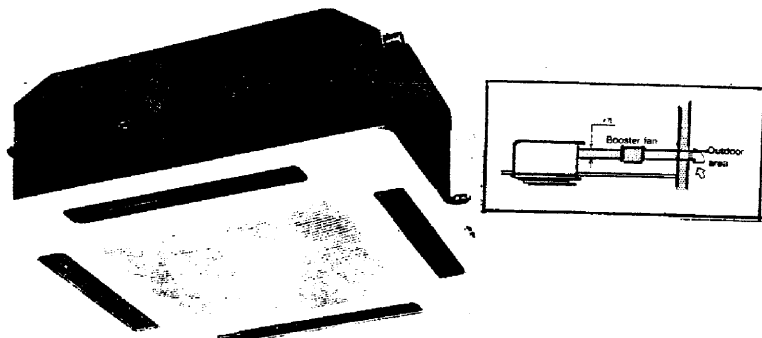


Figure 11.19 Split – cassette unit.

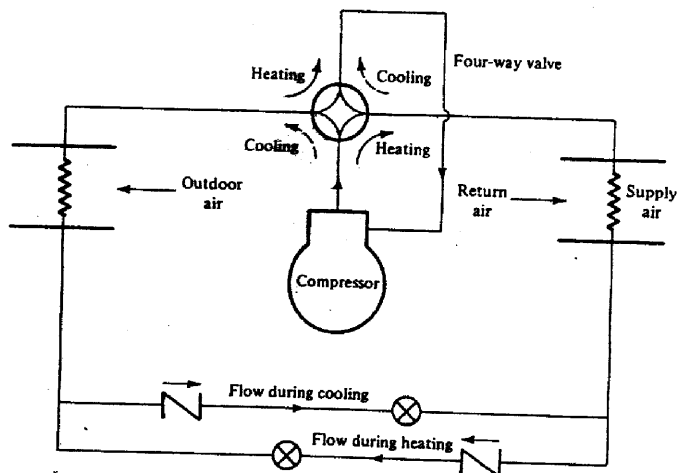


Figure 11.20 Typical flow diagram of an air heat pump.

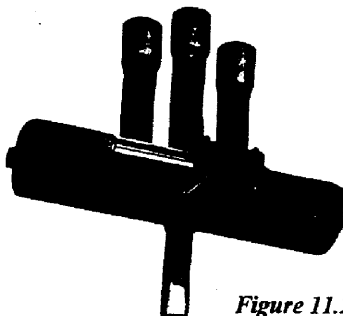


Figure 11.21 Four- way reversing valve

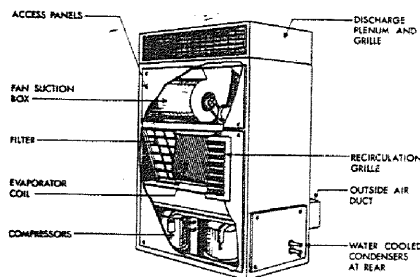


Figure 11.22 Typical unitary air conditioner

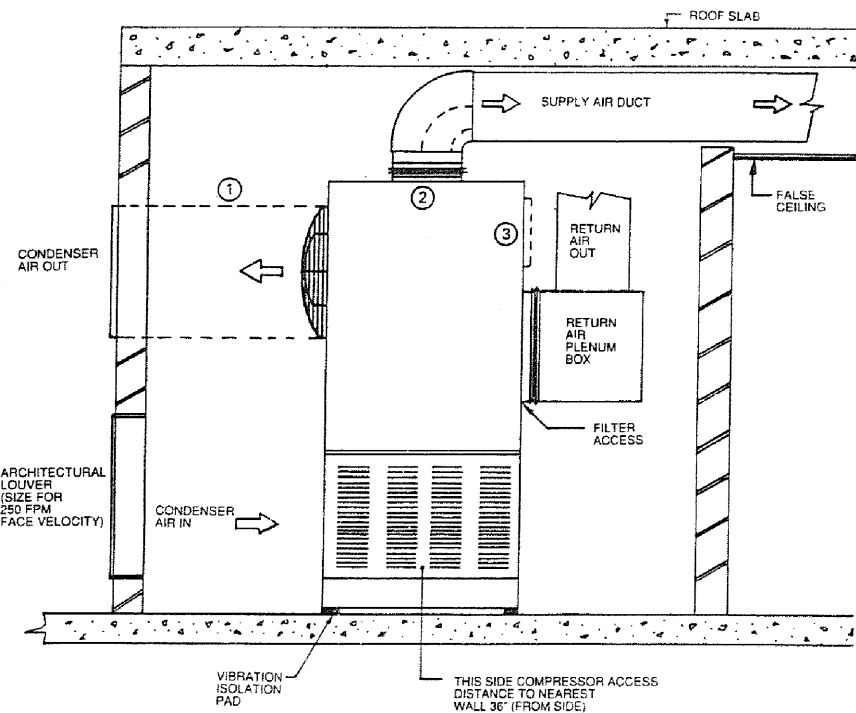


Figure 11.23 Arrangement of unitary air conditioner with supply duct.

خارج المكان . هذه المكيفات لها نفس عيوب ومميزات وحدات الغرف . وتنتج في ساعات حتى

150kW

ثالثاً : الوحدات السقفية *Rooftop unit*

هذا النوع من الوحدات المجمعة مصمم لكي يتم تركيبه خارج المكان المراد تكييفه وعادة ما يتم وضعه على السقف او سطح المبني وعادة ما يكون عناصر معالجة الهواء (الفلتر، السخانات ، والمبررات ووحدات الترطيب) بالإضافة إلى وحدة التكثيف (الضاغط والمكثف) كلها موضوعة في داخل هيكل من الصلب المقاوم للصدأ بحيث تستطيع أن تقاوم الظروف الجوية السيئة Fig 11.24 . تستخدم الوحدات السقفية مع نظام مسالك ونظام توزيع هواء داخل الغرف وهذه

الوحدات تصنع لتخدم منطقة واحدة أو عدة المناطق Fig 11.25

تمتاز الوحدات السقفية بأنها لا تشغّل حيزاً في المكان المراد تكييفه بالإضافة على رخص ثمنها وهذا ويكثر استخدام هذه الوحدات في المباني ذات الدور الواحد .

11.7 وحدات مناولة الهواء *Air Handling Units (AHU)*

وحدات مناولة الهواء تتبع إلى الوحدات المجمعة الكبيرة حيث تشمل هيكل من الصلب ويحتوى على ملفات تبريد وتسخين، مروحة ، فلتر بوابات وصنوف خط وقد تسمى في بعض الأحيان جهاز تكييف مركزي. تركيب هذه الوحدات قد يخدم منطقة واحدة أو عدة مناطق . في الوحدات ذات السعات الصغيرة والمتوسطة فإنها تصنع في قطاعات : قطاع المرواح ، قطاع الفلتر ، قطاع الملفات في ساعات مختلفة Fig 11.26 . طبقاً لاحتياجات المصمم تجمع السعات المطلوبة من العناصر السابقة . بالنسبة للسعات الكبيرة فيتم اختيار السعات المطلوبة من كل عنصر ويقوم المقاول بتصنيع الهيكل الذي سيركب به هذه القطاعات كما سيق وبينما في Fig 11.26 وتتجدر الإشارة إلى أن جدران الهيكل من الصلب المجلفن ومعزولة حرارياً لتجنب فقد الحراري خاصة من منطقة ملفات التبريد. وتزود هذه الوحدات بأنظمة صرف للمياه الناتجة عن إزالة الرطوبة أسفل ملفات التبريد. هذه الوحدات عادة ما تزود بأبواب للقيام بأعمال الصيانة والإصلاح.

عند وضع المروحة بعد الملفات (مجرى هابط Down-stream) تسمى الوحدة في هذه الحالة وحدة سحب دوني Draw-thou وعند وضع المروحة في الوحدة قبل الملفات في مجرى صاعد up-stream تسمى وحدة قذف صاعد Blow thou ويفضل عادة وحدة السحب

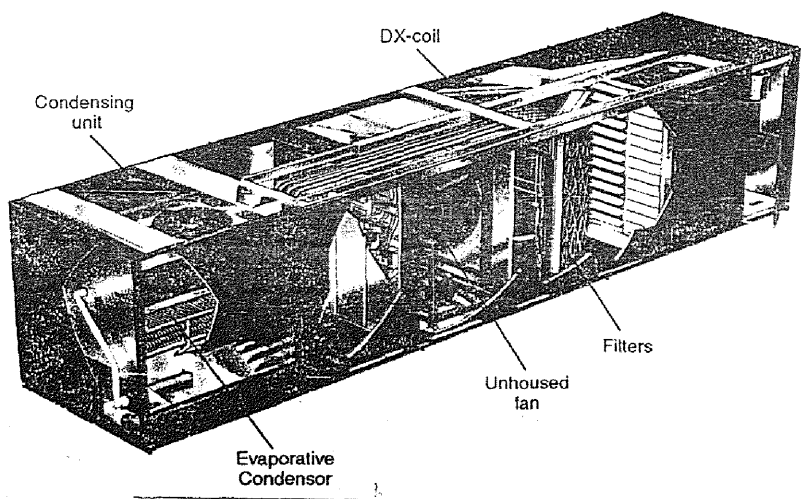


Figure 11.24 A cut view of a rooftop package unit.

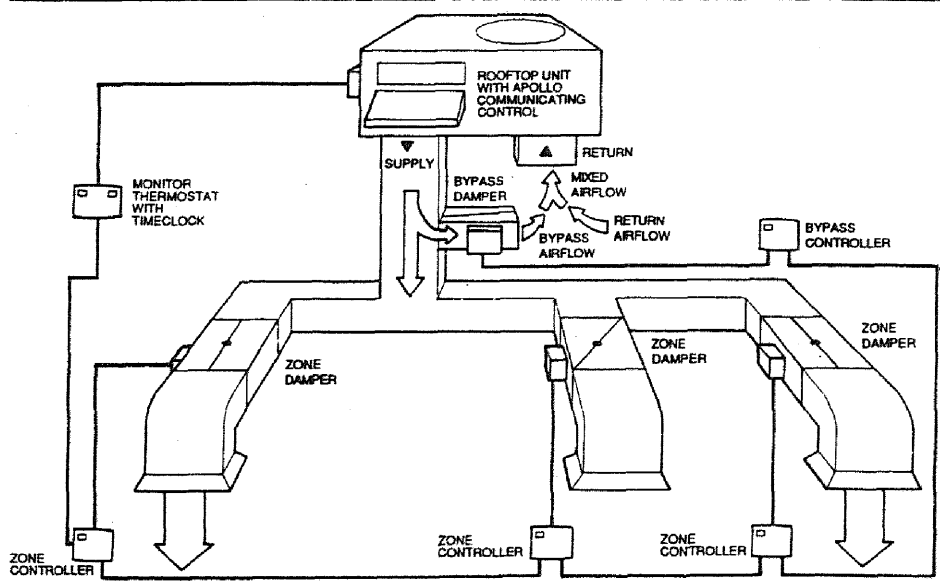


Figure 11.25 Rooftop unit for multi- zone.

UniFLEX39

uniFLEX39
The flexible performer

UniFLEx39 allows for unlimited configurations using over 70 different component sections. Shown here is a typical unit.

FULL RANGE OF FACTORY
FILTER MODULES
AVAILABLE TO MEET
INDOOR AIR QUALITY
REQUIREMENTS.
(DRAW-THRU AND BLOW-
THRU APPLICATIONS.)

HIGH-EFFICIENCY COOLING
(UP TO 10 ROWS) AND
HEATING (WATER OR STEAM)
COILS API 410 CERTIFIED

EFFICIENCY
GUIDE VANES
ADAPTABLE FOR ALL

HIGH EFFICIENCY, SUPPLY OR TURN, AND EXHAUST FANS, AVAILABLE WITH A FULL LINE OF DOUBLE, WIDTH AIRFOIL AND FORWARD CURVED FANS MOUNTED ON SOLID KEYED GROOVED AND POLISHED STEEL SHAFTS. API 430 CERTIFIED

AVAILABLE WITH
INTERNAL 2-IN
DEFLECTION, FAC
CALIBRATED SPR
ISOLATION

STANDARD EQUIPMENT includes
WALL-MOUNTED, HENDEL-DOOR SERVICE
DOORS. ARE SUPPLIED ON ALL FAN,
FIRE DAMPER AND ACCESS
SECTIONS. ALL DOORS HAVE
HANDLES IN CONVENIENT LOCATIONS.

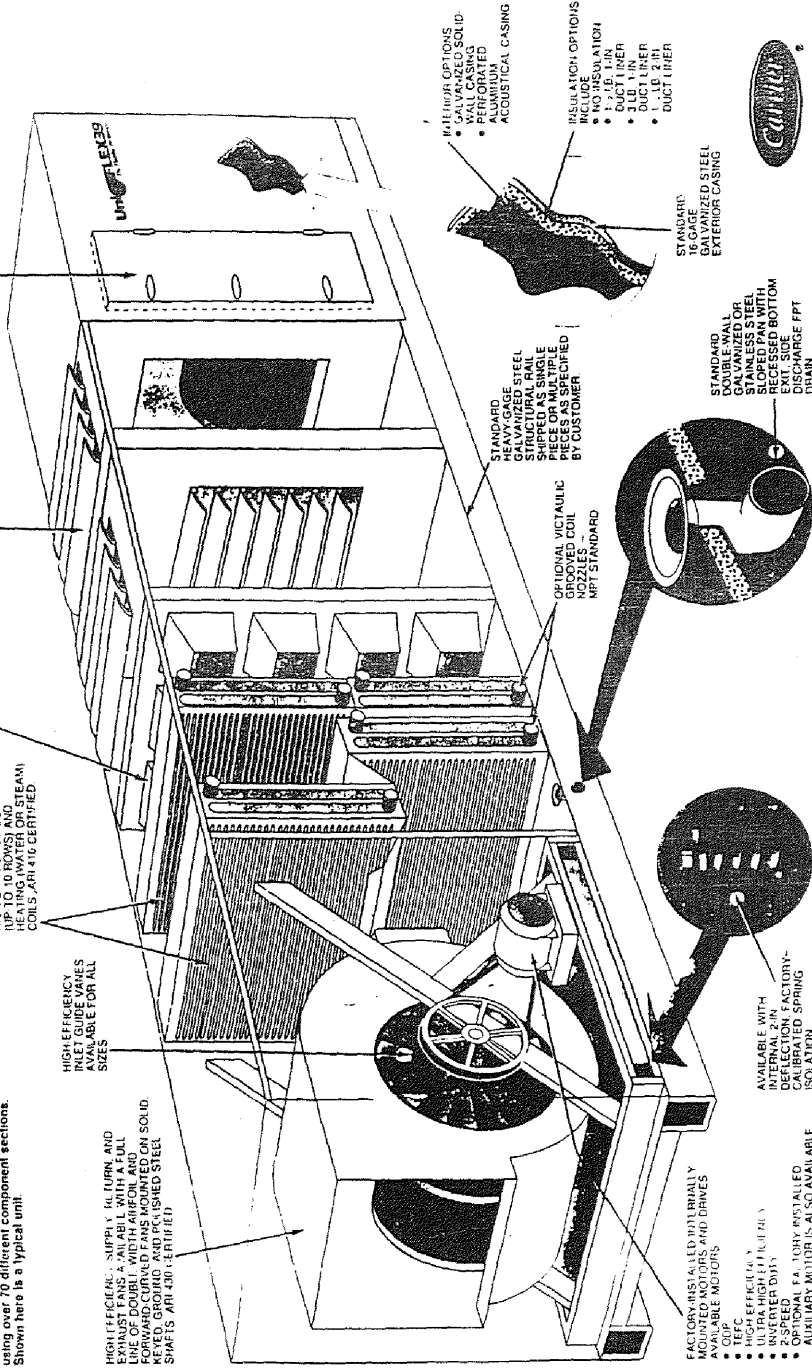
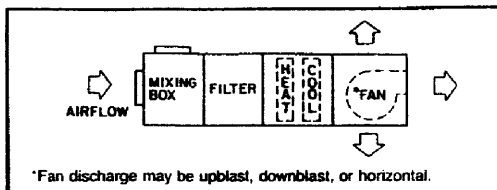


Figure 11.26 A. Carrier air-handling unit.

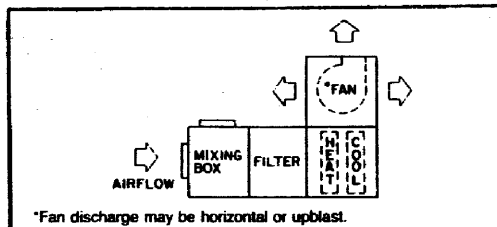
A

Draw-thru units

Horizontal



Vertical



B

Blow-thru units

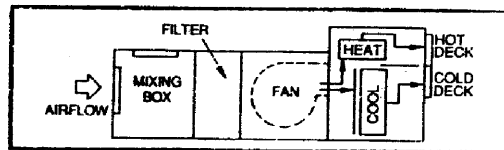


Figure 11.27 Draw-thru (a) and blow thru (b) Air Handling unit.

الدونى Draw thou حيث أن الهواء المسحوب يمر بانتظام على ملفات التبريد والتسخين. هذا وتستخدم وحدات الفنف Blow-thou في أنظمة تعدد المناطق والتغلب على مشكلة عدم انتظام سريان الهواء على الملفات توضع أحياناً لواح متقبة Perforated plates بين المروحة والملفات

11.8 ملفات التبريد والتسخين 11.8 Cooling and Heating Coils

تستخدم ملفات تبريد الماء المثلج القادم من محطة التبريد Chiller أو بخار مائع التبريد Dry expansion Vapor refrigerant في هذه الحالة تسمى ملفات تمدد جاف coil (DX) تصنّع ملفات التبريد من مواسير من النحاس وتغطى بزعناف من الألومنيوم أو النحاس . ويتم تصنّيعها في سريلينتين ويتم ترتيب الملفات أما ترتيب متوازي أو متالي. في عدد من الصنوف تدخول الماء المثلج أو مائع التبريد يتم عادة من أسفل وخروجها من أعلى حتى نضمن تبلّط سطح الملف وبالتالي زيادة معدل انتقال الحرارة.

11.8.1 اختيار الملف Coil selection

11.8.1 اختيار الملف

يتم اختيار الملف من كatalog المصانع وأداء الملف يعتمد على العوامل الآتية :

- كمية الحرارة المحسوسة والتي يجب أن تنتقل إلى الهواء .

- درجة حرارة الجافة DB والرطوبة WB للهواء المار على الملفات.

- تركيب الملف من حيث عدد الزعناف والفراغات بين الزعناف.

- سرعة الماء أو مائع التبريد ويفضل أن تكون 0.9 m/s .

- سرعة الهواء المار على الملفات.

- معامل التلامس (CF) من Table 11.1 Contact Factor

Table 1 Typical Contact Factor.

No of Rows	Face air velocity, m/s					
	3 fin /cm			6 Fin / cm		
	2	2.5	3	2	2.5	3
2	0.6	0.58	0.57	0.73	0.69	0.65
3	0.75	0.73	0.71	0.86	0.82	0.80
4	0.84	0.82	0.81	0.93	0.90	0.88
6	0.94	0.93	0.92	0.98	0.97	0.96
8	0.98	0.97	0.96			

SOLAR ENERGY AND AIR CONDITIONING PROCESSES

*General***مقدمة**

الطاقة الشمسية يمكن استخدامها لتزويد أماكن الإعاشة بالماء الساخن وكذلك بالهواء الساخن في تكييف الهواء بدلاً من الغلايات والأفران وذلك للأسباب الآتية :

لا يوجد اثر لأي تلوث مثل الذي يحدث مع عوادم الوقود المستخدم Depletable fuel بالإضافة أنه ليست لها تكلفة نتفع نتيجة استخدام هذه الطاقة حيث أنها متاحة للجميع . والتكلفة الوحيدة تتمثل في قيمة معدات التسخين بالطاقة الشمسية . نتيجة أزمة الطاقة والتي ظهرت عام 1973 زادت الحاجة إلى استخدام مصادر الطاقة الجديدة والمتجددة وكان في مقدمتها الطاقة الشمسية وأحرز تقدم كبير في هذا المجال في كل من اليابان واستراليا ودول أخرى كثيرة . إذا كان أول استخدام للطاقة الشمسية محصوراً في عملية التدفئة فقد أتسع هذا الاستخدام ليمتد إلى استخدامها لإمداد وحدة تبريد بالطاقة اللازمة بدلاً من الطاقة الكهربائية لعمل بالأقطاس . ساعد على ذلك العوامل الآتية :

- 1- الازمة الحادة للطاقة والصراع المحموم بين الدول الكبرى والدول المنتجة للبترول .
- 2- التغيرات البيئية وزيادة الطلب على طاقة نظيفة لا تساهم في التلوث البيئي .
- 3- امكانية اسهام الطاقة الشمسية في إمداد الإنسان بكمية معقولة من طاقة نظيفة لا تسيطر عليها قوة ما دون ثمن ولا يمكن حجبها أو منعها عن الدول الضعيفة .
- 4- بزداد الطلب على الطاقة الشمسية لاستخدامها في التبريد بسبب الآثار الضارة الناتجة عن استخدام موائع التبريد (الفلوركلاوروكربون) واسهامها في توسيع قطب طبق الأوزون التي تحمي الأرض من الاشعة الضارة وتغيير مناخ الكرة الأرضية .
- 5- تتمتع بلدان الشرق الأوسط بميزة لا تتوافر لغيرها بسطوع الشمس معظم أوقات العام .

12.1 نظام التسخين الشمسي

أي نظام تسخين شمسي يتكون من ثلاثة عناصر أساسية مجمع شمسي ، خزان ، أنظمة توزيع ووحدات طرفية .

12.1.1 Solar collector

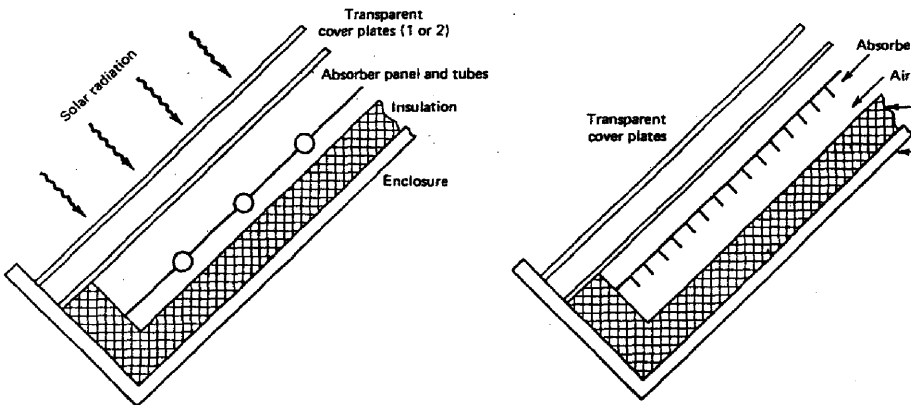
12.1.1 المجمعات الشمسية

وظيفة المجمع الشمسي هي تجميع أكبر قدر من الطاقة الشمسية وهناك ثلاثة أنواع من المجمعات الشمسية هي :

* المجمعات المستطحة Flat plate وهي ذات سطح مستوي وهي تعمل في وضع ثابت Stationary و تستطيع أن تجمع أكبر قدر من الطاقة وهي تواجه الشمس بصورة مباشرة . أما إذا تغير وضع الشمس بالنسبة للمجمعات فسوف تقل كمية الطاقة المجمعة . وتكون المجمعات المستوية Fig12.1 من غطاء شفاف عادة من الزجاج Transparent cover يسمح بدخول أشعة الشمس إلى مجموعة من المواسير Tubes يتدفق خلالها ماء براد تسخينه . هذه المواسير تصنع عادة من الصلب أو الألومنيوم أو النحاس وتدهن من الخارج بطلاء أسود ليزيد من قدرتها على امتصاص الأشعة . الجدير بالذكر أن الأشعة المستقبلة طول موجتها قصير وأن الأشعة التي تنعكس للخارج طول موجتها طويل نوعاً ما مما يقلل من فرص إعادة الإشعاع للخارج . لكي تقلل كمية الأشعة المنعكسة يستخدم عادة Insulation يحيط بمجموعة المواسير والظرف الذي يحوى مكونات المجمع . Enclosure

هناك نوع آخر من المجمعات المستوية لتسخين الهواء بدلاً من الماء كما هو مبين في Fig12.2 وفيه نجد أن الهواء يتدفق في الفراغ بين لوحة الامتصاص Absorber panel والعزل Insulation السفلي . لوحة الامتصاص قد تزود بزعانف لزيادة السطح أما باقي المكونات فهي مثل مجمعات تسخين السوائل .

* المجمعات المركزية Concentrating وهي عبارة عن مجمعات تعمل مثل المرايا المقررة Concave وهي تقوم بتجميع الأشعة وتركيزها بحيث تكون درجة حرارتها أعلى من التي تقوم بها المجمعات المستوية . هذه المجمعات يمكن تحريكها طبقاً لوضع الشمس لذلك فهي أكثر مقدرة على تجميع الأشعة الشمسية فهي أغلى من مثيلتها المستوية



**Figure 12.1 Plate plate collector
for heating liquids**

**Figure 12.2 Plate plate collector for
heating air**

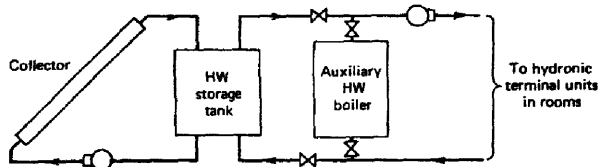


Figure 12.3 Solar heating system with liquid collector

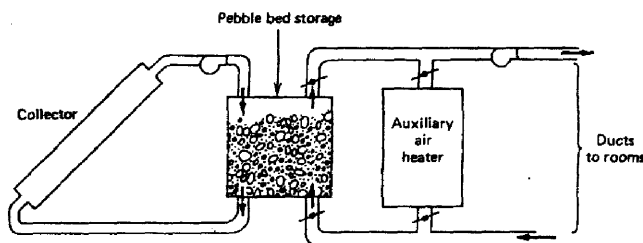


Figure 12.4 Solar heating system with air collector.

- مجمع أنبوبة مفرغة الهواء Evacuated tube هو عبارة عن أنبوبة يتدفق خلالها السائل المراد تسخينه . هذه الأنبوة مركبة داخل أنبوبة أكبر شفافة تسمح بمرور أشعة الشمس إلى أنبوبة السائل (الأولى). الفراغ المكون بين الأنبوتين يتم تفريغه من الهواء. هذا التصميم يقلل من فقد الحراري بالحمل وهي تعمل بنفس طريقة عمل الترموس العادي . كفاءة هذا النوع من المجمعات عالية مقارنة بالمجمعات المستوية، و تستطيع أن تسخن مياه بدرجة حرارة عالية نسبيا . من عيوبها أنها عالية تكاليف التصنيع مما يحد من استخدامها مثل المجمعات المركزية مقارنة بالمجمعات المستوية .

12.1.2 Solar energy storage

12.1.2 خزانات الطاقة الشمسية

تقوم المجمعات الشمسية بتحميم اشعة الشمس خلال فترة سطوعها فقط وبالتالي لا بد من تخزين هذه الطاقة لاستخدامها في الوقت الذي لا تستطيع فيه الشمس .
هناك ثلاثة أنواع من خزانات الطاقة الشمسية.

الأول - خزان تقليدي فيه يتم تسخين المياه Fig12.3 وتخزينها لاستخدامها عند الحاجة إليها.

الثاني - خزان الحصى . الهواء الساخن في المجمع Fig12.4 يمر خلال صندوق مليء بالحصى Pebble من أعلى والذي يعمل كوسطيط خازن للحرارة. عندما تكون هناك حاجة للحرارة يتم دفع الهواء خلال الحصى الساخن من أسفل ثم يتم دفعه للمبني المراد تدفئته .

الثالث - خزان حرارة الانصهار. تستخدم الحرارة الكامنة للانصهار لتخزين الحرارة ، حيث يقوم الماء الساخن من المجمعات الشمسية بالسريان في ملفات محاطة بمادة قابلة للانصهار في درجة حرارة مناسبة للانصهار . يستخدم أيضا ملف دأبل المبني محاط أيضا بنفس المادة القابلة للانصهار . المادة المنصهرة في الملف الأول تعطي حرارتها الكامنة نتيجة الانصهار لهذه المياه وتتجدد هي مرة أخرى . هذه الطريقة غير منتشرة بصورة كبيرة .

من الملحوظ أن استخدام خزانات الطاقة لتزويد المبني بالحرارة في جميع الأحوال المناخية غير مناسب من الناحية الاقتصادية حيث يتطلب ذلك استخدام خزان كبير .

لتزويد المبني بالطاقة الازمة خاصة في الأحوال المناخية السيئة وللتغلب على ذلك يتم تزويد خزانات الطاقة بمصادر تقليدية للطاقة (احتياطية) لاستخدامها عند الحاجة .

12.2 أنواع أنظمة التسخين الشمسي

12.2 Types of Solar Heating System

- أبسط أنواع هذه الأنظمة هو المبين في Fig12.5 وهو المستخدم في تجفنة أماكن الإعasha. في هذا النظام فإن الماء الساخن من المجمعات الشمسية Collector يمر خلال خزان به مبادل حراري ويخرج منه إلى خط التغذية Supply . بالإضافة إلى المبادل الحراري فإن الخزان مزود بسخان إضافي يستخدم في الأحوال المناخية السيئة . الماء الراجع أو ماء الاستعاضة Make-up water يدخل إلى الخزان ومنه إلى المجمعات الشمسية . قد تستخدم طلمبة لزيادة معدل تدفق المياه عند الحاجة وفي الأنظمة الكبيرة . اذا استخدم هذا النظام في ظروف مناخية ذات درجة حرارة أقل من الصفر المنوي فيجب استخدام مائع آخر درجة تجمده أقل بدرجة كافية مثل إيثيلين جليكول ethylene glycol للتغلب على هذه المشكلة . وفي هذه الحالة يستخدم مبادل حراري ذو حائط مزدوج Double-wall heat exchanger كما هو مبين في Fig12.6 .
- نظام التسخين الشمسي باستخدام دائرة المجمع المغلقة مع نظام هيدرونيك مزود بوحدات طرفية موضح في Fig12.3 . في هذا النظام فإن الماء الساخن أو المائع الغير قابل للتجمد يسخن الماء الموجود في الخزان الذي يستخدم بعد ذلك لتغذية الوحدات الطرفية . يستخدم في بعض الأحيان غلاية تقوم بتسخين إضافي للماء القادم من المجمعات الشمسية . الماء الساخن القادم من المجمعات الشمسية او من الغلاية يمكن استخدامه في تزويد ملفات التسخين المار عليها الهواء .
- نظام التسخين الشمسي باستخدام هواء مار في المجمع مبين في Fig12.4 حيث الهواء الذي تم تسخينه خلال المجمع يتم توجيهه مباشرة بواسطة المروحة إلى أماكن الإعasha أما إذا كانت طاقة المجمع أكبر من القدرة المطلوبة فيتم تخزين جزء منها في خزان الحصى Pebble bed storage حيث يمكن استخدام الفائض عند الحاجة . قد يزود هذا النظام بسخان إضافي لتعويض الحرارة إذا كانت قدرة المجمع أقل من المطلوب او في الظروف المناخية السيئة .

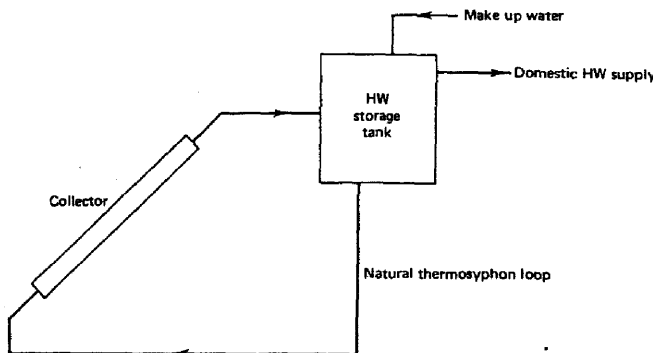


Figure 12.5 Solar domestic hot-water heating system.

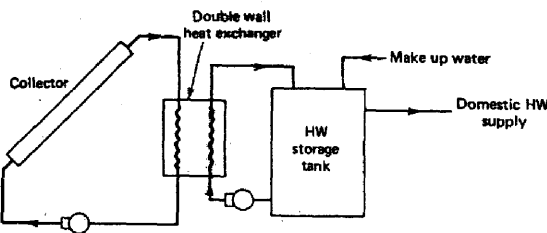


Figure 12.6 Double-wall heat exchanger heating system.

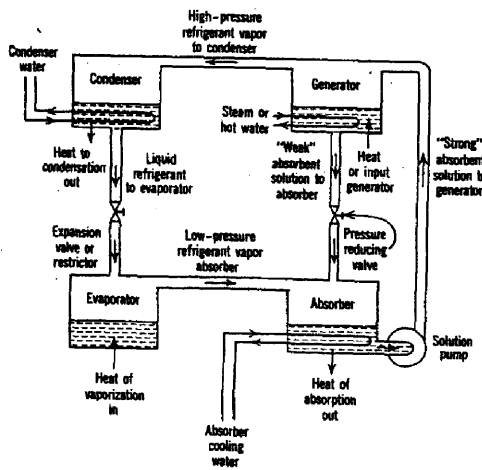


Figure 12.7 Basic absorption refrigeration cycle.

مقارنة أنظمة التسخين الشمسي باستخدام الماء والهواء تبين ان الأخيرة ليا بعض العيوب متمثلة في ضخامة الحجم مقارنة بالأنظمة المائية وذلك لأنها توفر السعة الحرارية للهواء مقارنة بمثيلتها للماء هذا من جهة. ومن جهة أخرى فان مشاكل الأنظمة المائية مثل التجمد او التربب غير موجودة في الأنظمة الهوائية .

12.3 *Solar Cooling Systems* 12.3 أنظمة التبريد الشمسي

الطاقة الشمسية وان كانت تستخدم بصورة اساسية لتوليد الحرارة الازمة للتدفئة فانها ايضا قد تستخدم لانتاج تأثير التبريد وهذا يتم اما عن طريق كونها مصدر حراري لمحطة رانكن Rankine لتوليد القوى عن طريق تربينه Turbine تجارية تستخدم لإدارة ضاغط محطة التبريد او تستخدم كمصدر حراري لتشغيل محطة تبريد تعمل بالامتصاص .
Absorption refrigeration plant

12.4 دائرة التبريد بالامتصاص

12.4 *Absorption Refrigeration Cycle*

أول من اخترع دورة التبريد بالامتصاص هو الفرنسي Ferdinand Carre وحصل على براءة الاختراع في الولايات المتحدة عام 1860 . وقد تم استخدامها للمرة الأولى خلال الحرب الأهلية الأمريكية بعد توقف الإمداد بالثلوج الطبيعي من الشمال الأمريكي .
يقوم مبدأ عمل دورة الامتصاص على نظرية مقدرة بعض المواد على امتصاص بعض الغازات ومن هنا جاءت التسمية بدوره الامتصاص . هناك بعض الثنائيات من المواد Pair التي لها مثل هذه الجاذبية مثل ملح الطعام (كلوريد الصوديوم - بخار الماء) فنجد أن لملح الطعام شراهة شديدة الامتصاص بخار الماء ، مثل آخر هو بروميد الليثيوم (LiBr) والماء، حيث يقوم الأول بامتصاص أبخرة الثنائي بشرابة . كلوريد الصوديوم ، بوروميد الليثيوم أو أي مادة أخرى تقوم بامتصاص الأبخرة تسمى مادة ماصة Absorbent والمادة القابلة للامتصاص تسمى مائع التبريد Refrigerant حيث أنها هي التي تتطى تأثير التبريد .

12.4.1 طريقة عمل دورة الامتصاص

12.4.1 Operation Principle of Absorption Cycle

دورة الامتصاص في بعض الجوانب تتشابه مع دورة التبريد بالانضغاط

Vapor compression cycle حيث في كلا الدورتين تحتويان على العناصر الآتية :
المكثف Condenser، بلف الانشمار Expansion valve والمبخر Evaporator . كلتا
الدورتان تقومان بتوظيف مائع التبريد المتبخر Volatile refrigerant نتيجة امتصاصه الحرارة من الوسط
المراد تبریده تحت ضغط منخفض Low pressure وطرد هذه الحرارة بتكييده في المكثف في
ضغط عالي High pressure . الدائرتان مختلفان في القوى المحركة Motivating force في دائرة
تدفع مائع التبريد في الدائرة وتولد فرق الضغط بين ضغط التكثيف وضغط التبخير . في دائرة
التبريد الانضغاطية يقوم بهذه الوظيفة الضاغط Compressor الذي يقوم بسحب الأبخرة من
المبخر خلال مواسير سحب الضغط المنخفض ويضخها للمكثف خلال مواسير الطرد للضغط
العالي . في دائرة التبريد بالامتصاص تم استبدال هذا الضاغط بضاغط حراري يتكون من
جهازين هما الماصل Absorber والمولد Generator . يقوم الماصل بسحب الأبخرة المكونة في
المبخر وبذلك يمثل خط السحب أو الضغط المنخفض . ثم يتم رفع ضغط هذه الأبخرة إلى المولد
وبذلك يمثل المولد خط الطرد أو الضغط العالي .

- هناك فرق آخر حيث أن الطاقة المستخدمة في وحدة التبريد بالانضغاط هي طاقة كهربائية في صورة شغل ميكانيكي بينما الصاغط في حين ان الطاقة المستخدمة في دورة التبريد
الامتصاص هي طاقة حرارية قد تكون طاقة شمسية أو طاقة ثانوية من ادخنة أو غازات
محترفة أو عوادم أو طاقة كهربائية أو طاقة البخار .
- الفارق الثالث هو عدد الموانع العاملة في دائرة التبريد بالامتصاص هناك مائع ماصل
والآخر مائع تبريد Refrigerant Absorbent . أما في دورة التبريد الانضغاطية يستخدم
مائع واحد .
- إذا أخذنا في الاعتبار الماء كمائع تبريد والبليتوم بروميد كماص كمثال فنجد أن دورة التبريد
بالامتصاص تتكون من الأجزاء الأربع الرئيسية الآتية Fig: مبخر Evaporator ،

ماض Absorber وها يقعان في منطقة الضغط المنخفض في الدائرة بالإضافة إلى المكثف Condenser والمولد Generator ويقعان من منطقة الضغط المرتفع في الدائرة .

دائرة مسار الماء Absorbent تبدأ من الماين Absorber إلى المولد Generator ثم المكثف Refrigerant مرأة أخرى. في حين دائرة مسار مائع التبريد من المكثف Condenser ثم الماين Absorber ، المبخر Evaporator ، Expansion valve ثم المولد Generator ثم المكثف مرة أخرى وطبقاً لـ Fig12. تعلم دائرة Absorber التبريد بالامتصاص وفقاً للخطوات الآتية :

1- مائع التبريد (الماء) ذو الضغط العالي من المكثف يتوجه إلى المبخر من خلال صمام الانتشار الذي يخفض ضغطه إلى ضغط المبخر .

2- يتذبذب مائع التبريد في المبخر نتيجة امتصاصه للحرارة من الوسط المراد تبریده . بخار الماء ذو الضغط المنخفض يتوجه إلى الماين Absorber حيث يتم امتصاصه بواسطة ليثيوم بروميد الماء Absorbent الماين . جدير بالذكر فإن ضغط الماين Absorber أقل قليلاً من ضغط المبخر Evaporator مما يسمح لبخار مائع التبريد من السريان إليه . نتيجة امتصاص الماين Absorbent لمائع التبريد Refrigerant فإن الأخير يذوب فيه ويقل حجمه (كما لو كانت تحدث عملية انضغاط البخار) ونتيجة للذوبان هذا تتبع حرارة كبيرة . من المعروف أن معدل الامتصاص يزداد عند درجات الحرارة المنخفضة لتحقيق ذلك تجهيز حجزه الامتصاص بملف يمر بداخله ماء بارد قادم من برج التبريد لإزاحة حرارة الامتصاص والمحافظة على درجة حرارة الماين Absorber عند قيمتها .

3- مائع التبريد Refrigerant بعد ذوبانه في الماء الماين Absorbent يصبح محلولاً قوياً Strong solution وتقوم طلمبة المحلول Solution pump بدفعة ورفع ضغطه إلى الضغط العالي إلى المولد .

4- نتيجة الحرارة المعطاة في المولد يتم انفصال بخار مائع التبريد Refrigerant vapor عن الماء الماين Absorbent الأخير يصبح محلولاً ضعيفاً Weak solution وينتجه خلال صمام خافض للضغط Pressure reducing valve إلى الماين Absorber ليقوم بعملية امتصاص جديدة أما البخار مائع التبريد Refrigerant vapor فيتجه إلى المكثف

حيث ينكشف على ملف مار به ماء بارد قادم من برج التبريد ثم يمر خلال صمام التمدد ويتكرر الدورة .

12.4.2 معامل أداء دورة الامتصاص المثالية .

12.4.2 Coefficient of performance of the ideal absorption cycle

إذا اعتبرنا دائرة الامتصاص المثالية الموضحة في Fig12.8 الآتي

كمية الحرارة المضافة للمولد من المصدر الحراري هي q_G عند T_G

كمية الحرارة التي تُمتص في المبخر من الوسط المراد تبريده هي q_E عند T_E

كمية الحرارة المنبعثة من الماص هي q_A عند T_O

كمية الحرارة المنبعثة من المكثف هي q_C عند T_O

الشغل اللازم لإدارة طلبية محلول القوى هو W_P

حيث T_G درجة حرارة المصدر الحراري, K

درجة حرارة الوسط المراد تبريده

درجة حرارة الوسط المحيط T_O

حيث أن الدائرة مثالية حرارياً فإن درجة حرارة المصدر الحراري T_G يمكن اعتبارها متساوية لدرجة حرارة المولد وكذلك درجة حرارة الوسط المراد تبريده T_E متساوية لدرجة حرارة المبخر . ويتطبق القانون الأول للديناميكا الحرارية للنظام حيث كمية الطاقة المضافة تساوي كمية الطاقة المفقودة نجد أن :

$$q_A + q_C = q_E + q_G + W_P \quad (12.1)$$

حيث كمية الحرارة المفقود q_O تساوى :

$$q_O = q_A + q_C \quad (12.2)$$

وحيث ان الجسم الشغال Working fluid يتدفق خلال دائرة مغلقة ويتطبق القانون الثاني للديناميكا الحرارية بين النظام والوسط المحيط نجد أن

$$\Delta S_{tot} = \Delta S_G + \Delta S_E + \Delta S_O \quad (12.3)$$

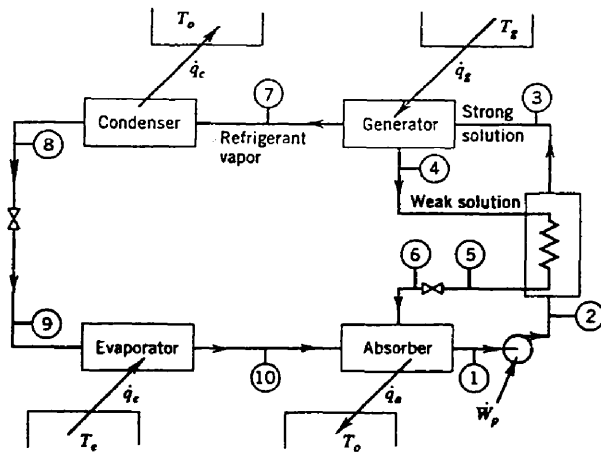


Figure 12.8 heat balance of a simple absorption refrigeration system.

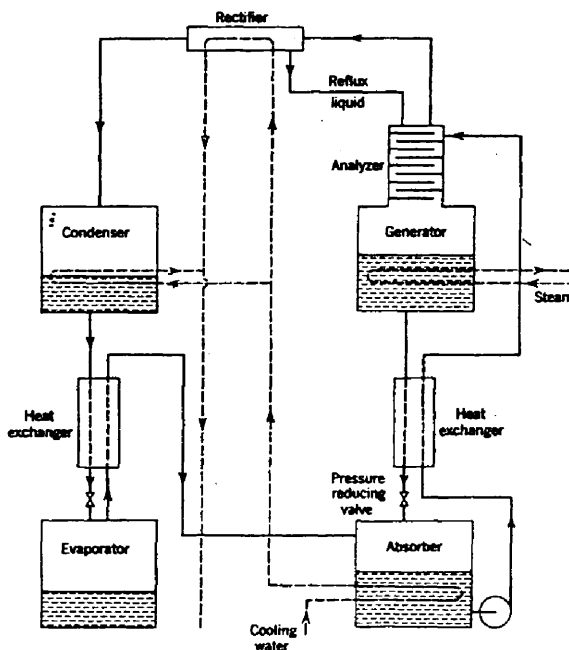


Figure 12.9 Ammonia - water absorption system

حيث ΔS التغير في الانتروبيا والتى يمكن حسابها كما يلى :

$$\Delta S_G = \frac{-q_G}{T_G} \quad & \quad \Delta S_E = \frac{q_E}{T_E} \quad & \quad \Delta S_O = \frac{q_O}{T_O}$$

شغل الطلبة يمكن تحديده بالمعادلة

$$Wp = v_f (P_G - P_E)$$

وباعتبار أن الحجم النوعي v_f للسائل صغير جدا مقارنة بالأبخرة يمكن اعتبار شغل الطلبة مهملا مقارنة بكميات الطاقة الأخرى .

المعادلة (12.3) يمكن كتابتها فى شكل

$$\Delta S_{Tot} = \frac{q_G}{T_G} - \frac{q_E}{T_E} + \frac{q_O}{T_O} \geq 0 \quad (12.6)$$

باعتبار المعادلة (12.1) والمعادلة (12.6) نجد أن

$$q_G \frac{T_G - T_O}{T_G} \geq q_E \frac{T_O - T_E}{T_E} \quad (12.7)$$

معامل الأداء (COP) يمكن التعبير عنه بالمعادلة

$$COP = \frac{q_E}{q_G} \quad (12.8)$$

$$(COP)_{max} = \frac{T_E(T_G - T_O)}{T_G(T_O - T_E)}$$

المعادلة (12.9) تبين أن معامل الأداء الأقصى لدورة الامتصاص يساوى معامل الأداء

لدوره كارنوت Carnot Cycle العامل بين درجتى الحرارة T_O , T_E مضروبا فى معامل

الكفاءة لماكينة كارنوت Carnot engine العامل بين درجتى الحرارة T_G , T_O

فى الحقيقة فإن معامل أداء دورة الامتصاص يعترى صغيرا جدا مقارنة مع دورة التبريد الانضغاطية (0.6 مقابلا 3 لدورة الانضغاط) عند نفس مستوى درجات الحرارة ولكن فى المقابل فإنه من المعروف من دراسة الديناميكا الحرارية أن قيمة الشغل كطاقة أعلى بكثير من قيمة الطاقة الحرارية وبذلك يمكن اعتبار أن تلك ميزة تحسب لدوره التبريد بالامتصاص وعلى هذا الأساس يكون التقييم النهائى ليس فقط لقيمة العددية لمعامل الأداء ولكن لابد أن يشمل ذلك

النواحي الفنية والاقتصادية للدورة ومنها قيمة الطاقة المستخدمة وتأثير موائع التبريد على البيئة، والإذاعات الصحفية، يمكن أن يبحث عن الصياغة والخلف.

من الأجراءات التي تستخدم لزيادة معامل الأداء لهذه الدورة هو استخدام مبادل حراري يعمل بين الماخص Absorber والمولد Generator يتم خلاله تبادل الحرارة بين المحلول القوى المار من الماخص للمولد والمحلول الضعيف Weak solution القادر من المولد إلى الماخص فترتفع درجة حرارة الأول وتتخفض حرارة الثاني هذا يؤدي إلى :

- 1- ارتفاع درجة حرارة المحلول القوى يؤدي إلى تخفيض كمية الحرارة المطلوبة في المولد وبالتالي زيادة معامل الاداء COP.
 - 2- انخفاض درجة حرارة المحلول الضعيف الواصل إلى الماص يؤدي تخفيض كمية المياه المطلوبة لتبريد الماص.

12.4.3 تألف مائع التبريد - والماض

12.4.3 Refrigerant - absorbent combination

لكي تعمل دائرة الامتصاص بصورة جيدة لابد من اختيار كل من مائع التبريد، والماس، Absorbent حيث بائمه كل منهما الآخر ولتحقيق ذلك لابد من:

- 1. أن يكون للماض Affinity شراهة Absorbent لامتصاص بخار مائع التبريد.
 - 2. من وجود تفاعل متبادل بحيث يذوب كل منها في الآخر.
 - 3. من توافر عامل الأمان Safe وعدم التحلل Stable.
 - 4. عدم القابلية للصدأ Non-corrosive معاً أو في صورة منفردة.
 - 5. يكون المائع الماخص غير متظاهراً بحيث أن بخار مائع التبريد المغادر للمولد لا يحتوى على كمية من المائع الماخص.
 - 6. يتمتع مائع التبريد بحرارة نوعية كامنة كبيرة بقدر الإمكان. من الثنائيات التقليدية ماء- الليثيوم بروميد.

ـ ثـ الماء يـعـمل كـمـائـعـ تـقـرـيـدـ وـلـيـثـيـومـ بـرـومـيدـ كـمـاـصـ وـلـذـلـكـ فـإـنـ دـوـرـةـ الـامـتـصـاصـ بـهـذـهـ الثـانـيـةـ مـنـ

ـ الـمـاءـ تـعـملـ قـطـفـ فـمـحـالـ تـكـيـفـ الـمـاءـ أـيـ فـدرـ حـاتـ الـحرـارـةـ الـموـجـةـ .

ثانية أخرى هي النشادر - الماء. النشادر يعمل كمائع تبريد والماء يعمل كماسح - هذه الثنائية تسمح لدورة الامتصاص بالعمل في درجات الحرارة المنخفضة.

12.4.5 Ammonia-water System دورة النشادر - الماء

هذا النظام يستخدم بصورة كبيرة في الثلاجات المنزلية والتجارية وفي بعض الأغراض الصناعية حيث درجة الحرارة في المبخر قد تكون قريبة من الصفر المئوي أو أقل. في هذه الدورة نجد أن الماء (الماسح) له شراهة كبيرة لامتصاص بخار النشادر (مائع التبريد) وأن كل من المائعين يذوب كل منهما في الآخر ويتمكن بمقداره عدم التغيير مع الوقت وصالحان للاستخدام مع كثير من المواد المستخدمة في صناعات التبريد عدا النحاس وبسايكلة .

العيوب الرئيسي في هذه الدورة هو أن الماسح (الماء) له قابلية للتبخّر ولذلك فعند خروج بخار مائع التبريد (النشادر) من المولد إلى المكثف فإنه يخرج معه بعض بخار الماء (الماسح) والذي يسيراً مع النشادر إلى المكثف ومنه للمبخر ويختل بذلك عمل الدورة على أساس أن هذا الخليط سوف يرفع درجة حرارة المبخر ويقلل من تأثير التبريد بسبب خروج مائع تبريد غير متاخر من المبخر .

لزيادة كفاءة دورة الامتصاص ماء نشادر يستخدم في هذه الدورة فاصل - محلل Analyzer وجهاز نقطير Rectifier كما هو مبين في Fig12.9 . في هذا الشكل نجد أن الفاصل - المحلل Analyzer مركب على المولد Generator وعند خروج خليط بخار الماء - النشادر من المولد خلال الفاصل Analyzer يتم تبريدهما . وحيث أن بخار الماء له درجة حرارة تتبع أعلى من النشادر فإنه ينكشف ويعود للمولد . بينما تواصل أبخرة النشادر في التدفق على المكثف Reflux - condenser حيث ينكشف ما تبقى من بخار الماء أو مكثف رجوع Rectifier مع كمية صغيرة من النشادر ويتم إعادةه مرة أخرى إلى الفاصل في صورة محلول ضعيف Weak solution ثم المولد وإلى الماسح خلال البادل الحراري وصمم خفض الضغط . الجدير بالذكر أن ماء التبريد Cooling water القادم من برج التبريد يتم استخدامه أولاً لتبريد الماسح Absorber بعد ذلك يستخدم نفس الماء (من أجل ترشيد مياه التبريد) لتبريد المكثف وتبديد جهاز النقطير Rectifier . ماء التبريد الراوح من المكثف Condenser وجهاز التقطير Rectifier يتحددان في ماسورة راجع واحدة ويتم توجيهها إلى برج التبريد مرة أخرى .

12.4.6 تصنیف أنظمة الامتصاص

12.4.6 Absorption system classification

أنظمة الامتصاص يمكن تقسيمها إلى :

- 1- أنظمة امتصاص للتبريد Absorption chiller وهي تستخدم الحرارة المضافة للحصول على تأثير التبريد .
- 2- أنظمة امتصاص للتبريد والتسخين Absorption chillers / heater وهي تستخدم الحرارة المباشرة Direct - fired باستخدام الغاز الطبيعي Natural gas بدلاً من حرارة البخار للحصول على تأثير التبريد والتسخين .
- 2- نظام امتصاص مضخة حرارية Absorption heat pump في هذا النظام يقوم النظام بامتصاص الحرارة من المكان المراد تبريده والتي تضاف إلى الحرارة المستخدمة Added ثم تُضخ كلها للمكان المراد تدفئته .

12.4.7 نظام الامتصاص العملي

كل أنظمة الامتصاص العملية لا ترتكب من أربعة عناصر منفصلة مثلاً الحال في أنظمة التبريد بالانضغاط . لكن تم الشرح على أساس استقلالية كل عنصر من عناصر النظام بغض النظر التوضيح . ففي الواقع فإنه تم تجميع كل عناصر نظام الامتصاص في وحدة واحدة تجمع بالمصنع أو وحدتين في النادر وهذا مبين في Fig12.10 وهو من الطرازات النموذجية التي تنتجهها مصانع كاريير Carrier . وهذا النظام Fig12.11 يعمل بطريقة الاشتعال المباشر باستخدام الماء كمائع تبريد Refrigerant اليثيوم بروميد كهاس Absorbent . وتكون من :

- 1- مبخر Evaporator وهو عبارة عن حزمة bundle من الأنابيب يمر بداخلها الماء المراد تبریده . في أعلى المبخر يوجد نظام من الفوّهات الرشاشة Spray-nozzles تقوم برش مائع التبريد (الماء) السائل على حزمة الأنابيب . أسفل المبخر يوجد حوض ماء Water trough للحفاظ على مستوى الماء ومزود بطلبته لسريان مائع التبريد بين الحوض ونظام الرشاشات .
- 2- الماسح Absorber وهو يتكون أيضاً من حزمة Bundle من الأنابيب يتدفق بها ماء التبريد القاسم من برج التبريد ومزود من أعلى بنظام الفوّهات الرشاشة الذي يرش من أعلى محلول الضعف Refrigerant لبروميد اليثيوم لامتصاص أبخرة الماء (Weak solution)

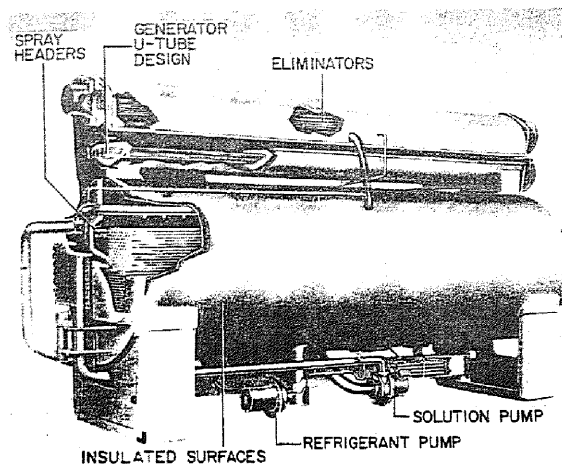


Figure 12.10 Absorption refrigeration chiller.

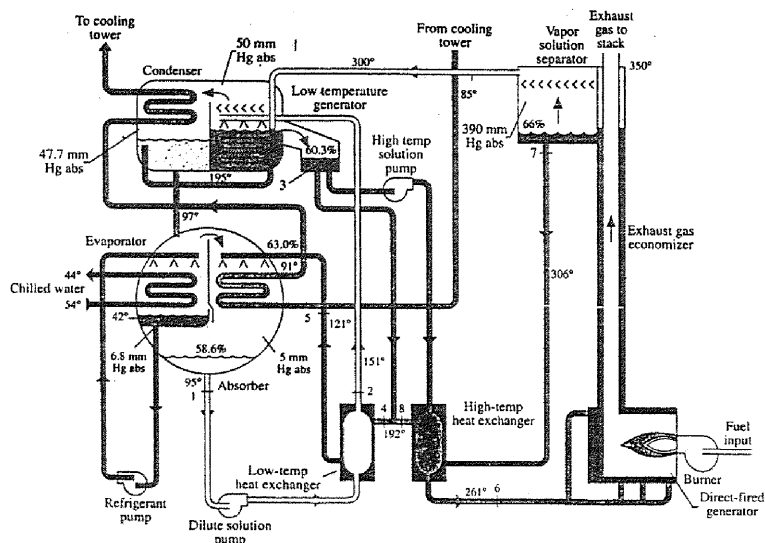


Figure 12.11 Schematic diagram of a double- effect direct-fired

reverse- parallel flow absorption chiller

القادمة من المبخر كما أنه مزود بطلوبة لدفع المحلول إلى المولد ذو درجة الحرارة المنخفضة من خلال مبادل حراري ذو درجة الحرارة المنخفضة Low- temperature generator . Low- temperature heat exchanger

3- المبادلات الحرارية Heat exchanger يوجد في النظام مبادل حراريان : الأول ذو درجة الحرارة المنخفضة Low- temperature heat exchanger والذي في خلاه يتم خفض درجة حرارة المحلول القوي من 192°C إلى 151°C .

والثاني : مبادل حراري ذو درجة حرارة عالية High temperature heat exchanger والذي ترتفع فيه درجة حرارة المحلول القوي من 192°C إلى 261°C . في هذين المبادلين الحراريين تنتقل الحرارة من المحلول القوي إلى المحلول الضعيف . هذان المبادلان الحراريان من النوع ذو غلاف - وأنبوبة Shell- and - tube .

4- المولد Generator وفي بعض الكتب يسمى Desorber حيث يقوم بوظيفة عكس وظيفة Absorber وفي كتالوجات الصناعة يسمى Concentrator . ويتركب من أنبوبة احتراق Fire-tube ومخزنة Flue-tube ، فاصل بخار - سائل . ومقتصد للوقود Flue-gas economizer للحرارة . مولد درجة الحرارة المنخفضة Low- temperature generator يكون في شكل غلاف وأنبوبة Shell- and - tube . الماء المتاخر في المولد ذو الاشعال المباشر Direct-fired generator ينبع داخل الأنابيب . حرارة التكثيف الكامنة تستخدم في تزويد مولد الحرارة المنخفضة بالحرارة اللازمة له .

5- المكثف Condenser هو من نوع غلاف وأنبوبة أيضاً داخل الأنابيب يتدفق ماء التبريد القادر إليه من برج التبريد عبر الماس .

6- معدات الخنق Throttling devices عبارة عن صمامات لتخفيض الضغط وهي غير مبنية في Fig12.11 .

7- وحدة إزالة الهواء Air-purge unit حيث الضغط داخل الغلاف الجامع للعناصر السابقة كل من ضغط الهواء الجوي مما قد يسمح بتسرب الهواء للداخل فلن النظام مزود بوحدة لإزالة هذا الهواء .

ويعمل النظام السابق المبين في Fig12.11 كالتالي :

- يتixer الماء عند درجة حرارة 42°F وفي ضغط 6.8mmHg في المبخر ،
- الماء القادم من وحدة المناولة A H U او وحدة ملف ومروحة يدخل في مواسير المبخر في درجة حرارة 54°F وتتنزع حرارته ويخرج في درجة حرارة 44°F .
- وتستخدم هذه الحرارة في تبخير مائع التبريد (الماء) .

- بخار الماء المتكون في المبخر يتم سحبه إلى الماصل (نظراً لانخفاض ضغط الآخر)

حيث يتم امتصاصه بواسطة محلول الليثيوم بروميد LiBr في ضغط حوالي 5mmHg

حيث تصبح كثافة محلول 58.6% ودرجة حرارته 95°F في نقطة (1) . الحرارة

الناتجة عن الامتصاص يتم طردها من خلال ماء التبريد القائم من برج التبريد . أما

المحلول فيتم ضخه إلى مولد درجة الحرارة المنخفضة Low-temperature generator

بواسطة طلبية محلول Dilute solution pump من خلال المبادر ذو درجة الحرارة

المنخفضة . Low- temperature heat exchanger

- في مولد درجة الحرارة المنخفضة فإن محلول المخفف Dilute solution يتم زيادة

تركيزه جزئياً حتى تصبح 60.3% وبدرجة حرارة 180°F نقطة (3) .

- هذا محلول بعد ذلك ينقسم إلى قسمين الأول إلى مولد درجة الحرارة العالية بواسطة

طلبية محلول ذو درجة الحرارة العالية High-temp solution pump وخلال

المبادر الحرارة ذو درجة الحرارة العالية High- temp. heat exchanger والثاني

يتجه ب معدل تدفق أكبر نقطة (4) . في مبادر الاشتعال المباشر يزداد تركيز محلول حتى

يصل إلى 66% وبدرجة حرارة 306°F نقطة (7) . ويتم خلط محلول ذو تركيز

66% مع محلول في نقطة (4) ذو تركيز 60.3% فيصبح التركيز 63% وبدرجة

حرارة 192°F في نقطة (8) .

- محلول في نقطة (8) يمر عبر المبادر الحراري ذو درجة الحرارة المنخفضة إلى

الماصل Absorber في درجة حرارة 121°F .

- في مولد الاشتعال المباشر فإن الماء يغلي عند ضغط 390mmHg ثم يتدفق خلال أنبوبة مغمورة في مولد درجة الحرارة المنخفضة. حرارة التكثيف المنبعثة تتسبب في تبخر وانفصال بخار الماء من محلول الضعيف عند ضغط 50mmHg .
- البخار المنفصل يتوجه بعد ذلك إلى المكثف Condenser من مسار علوي وينكشف إلى ماء عند درجة حرارة 99 F° وبضغط حوالي 47.7mmHg . هذا الماء يتحد مع الماء الموجود في الحوض ويتكرر الدورة .

12.5 نظام امتصاص للتبريد والتدفئة

12.5 Absorption System for Cooling and Heating

انتجت شركة ترين Trane نظام امتصاص مبين في Fig12.12 وهو يعمل للتبريد والتسخين في نفس الوقت . ويستخدم الوقود الغازي في الاشتعال المباشر في مولد درجة الحرارة العالية الذي يسمى في هذه الدائرة Direct fired concentrator بدلاً من بخار الماء الساخن من الغلاية . حرارة تكثيف الماء داخل هذا المولد تستخدم في تسخين محلول في مولد درجة الحرارة المنخفضة Low-temperature concentrator كما هو موضح في Fig 12.13 . معامل أداء هذه الدورة نظراً لترشيد استخدام الطاقة قد يصل إلى الواحد الصحيح .

12.6 Unit Selection

12.6 اختيار الوحدات

كما سبق وبيننا فإن المصانع لا تنتج المكونات بصورة منفصلة ولكن تنتج وحدات مجعة عناصرها متوافقة مع بعضها البعض فلذلك يتم الاختيار بنفس طريقة اختيار التثليل من الانواع الأخرى . بعض خصائص المنتجات مبينة في Table12.1

12.7 تكامل نظام التسخين الشمسي ووحدة الامتصاص في تكييف المبني

12.7 Integration of Solar Absorption System for Building Air- Conditioning .

نظام التبريد باستخدام الطاقة الشمسية يعتبر معدناً بال بالنسبة لأنظمة التبريد الأخرى أو بالنسبة لنظام التدفئة بالطاقة الشمسية والذي سبق شرحه في بداية هذا الباب . ومع ذلك فإن التبريد بالطاقة

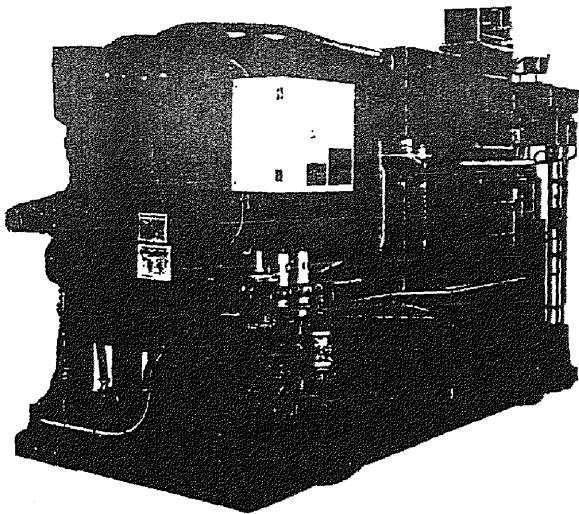


Figure 12.12 General view of absorption chiller.

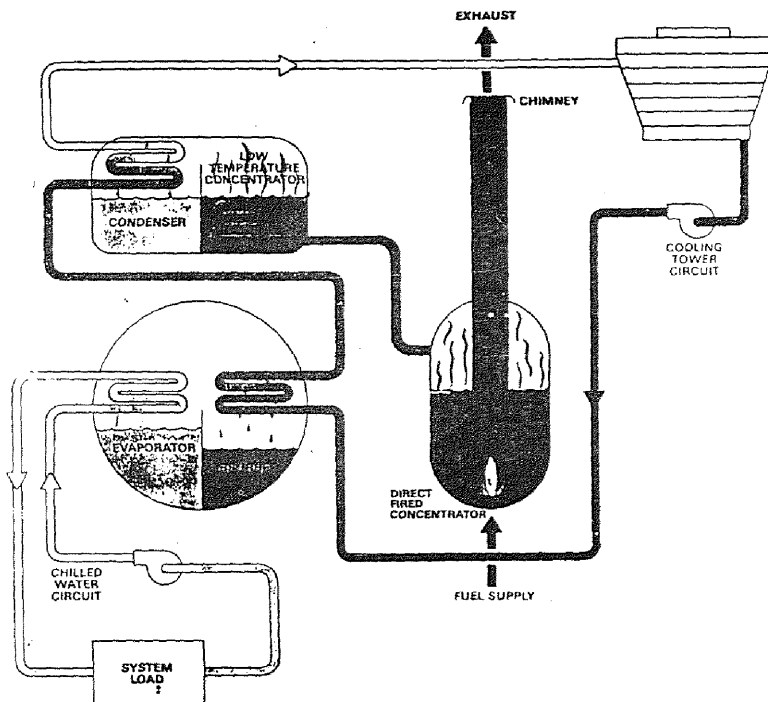


Figure 12.13 Typical thermo-chill absorption chiller flow chart.

الشمسية أصبح ينضم بخطى سريعة كما بینا نظرا للتأثيرات البيئية لمركبات التبريد وال الحاجة إلى طاقة نظيفة ورخيصة ... هذا النظام يتكون من Fig12.14

Solar collector	1- مجمعات شمسية
Hot storage tank	2- خزان للطاقة وأخر إضافي
Auxiliary boiler.	3- غالية مساعدة
Absorption chiller	4- نظام امتصاص
Cooling tower.	5- برج تبريد
Pumps	6- مضخات
Cooling and heating coils	7- ملفات تبريد وتسخين
Supply and return	8- مسارات تغذية ورائع
Heat exchangers	9- مبادلات حرارية

فى حالة التبريد فإن الطاقة الشمسية من المجمعات الشمسية Solar collectors يتم تجميعها فى خزانات الطاقة (Hot- storage tank).

- تقوم الطلبيات بسحب المياه الساخنة لتزويد مولد وحدة الامتصاص بالمياه الساخنة كمصدر حراري له. فى حالة عدم كفاية هذه المياه أو انخفاض درجة حرارتها (فى

الطقس السيئ) يمكن استخدام بخار ساخن من الغالية المساعدة Auxiliary boiler.

- الماء المثلج الذى يتم الحصول عليه من برج تبريد وحدة الامتصاص يتم ضخه بواسطة

الطلبية إلى خزان للمياه المثلجة. هذا الأخير يتم دفعه أما إلى ملفات التبريد في وحدة

المناولة AHU أو إلى الوحدات الطرفية في الغرف من طراز وحدة ملف ومروحة

. Fan and Coil Unit

- يقوم برج التبريد Cooling tower بتزويد وحدة الامتصاص بالماء البارد لسحب حرارة الما� وحرارة المكتب .

وفى حالة التدفئة فإن الماء الساخن من الخزان تقوم الطلمية بضخه خلال صمام ثلاثي إلى ملفات التسخين فى وحدة المناولة AHU أو إلى الوحدات الطرفية من Three-way valve نوع ملف ومروحة أو وحدات الحث Induction units.

Table 12.1 Performance data of absorption thermo chiller

Model	Capacity (Tons)	Cooling Duty				Heating Duty	
		C.O.P.		Fuel Consumption (MBH)		Capacity (MBH)	Fuel Consumption (MBH)
		Std.	Hi-Eff.	Std.	Hi-Eff.		
ABDL-100	100	1.00 (1.11)	1.07 (1.18)	1,197 (1,078)	1,125 (1,013)	1,099	1,286 (1,157)
ABDL-120	120	1.00 (1.11)	1.07 (1.18)	1,436 (1,293)	1,350 (1,215)	1,317	1,543 (1,389)
ABDL-150	150	1.00 (1.11)	1.07 (1.18)	1,796 (1,616)	1,688 (1,519)	1,651	1,928 (1,736)
ABDL-180	180	1.00 (1.11)	1.07 (1.18)	2,155 (1,940)	2,025 (1,823)	1,980	2,314 (2,083)
ABDL-200	200	1.00 (1.11)	1.07 (1.18)	2,395 (2,155)	2,250 (2,025)	2,198	2,571 (2,314)
ABDL-240	240	1.00 (1.11)	1.07 (1.18)	2,874 (2,586)	2,700 (2,430)	2,639	3,086 (2,777)
ABDL-300	300	1.00 (1.11)	1.07 (1.18)	3,591 (3,232)	3,376 (3,038)	3,297	3,856 (3,471)
ABDL-350	350	1.00 (1.11)	1.07 (1.18)	4,190 (3,771)	3,938 (3,544)	3,849	4,502 (4,051)
ABDL-400	400	1.00 (1.11)	1.07 (1.18)	4,789 (4,310)	4,501 (4,051)	4,397	5,142 (4,627)
ABDL-450	450	1.00 (1.11)	1.07 (1.18)	5,387 (4,848)	5,063 (4,557)	4,948	5,787 (5,208)
ABDL-500	500	1.00 (1.11)	1.07 (1.18)	5,986 (5,387)	5,626 (5,063)	5,496	6,427 (5,785)
ABDL-550	550	1.00 (1.11)	1.07 (1.18)	6,584 (5,926)	6,188 (5,569)	6,047	7,073 (6,365)
ABDL-600	600	1.00 (1.11)	1.07 (1.18)	7,183 (6,465)	6,751 (6,076)	6,595	7,714 (6,942)
ABDL-700	700	1.00 (1.11)	1.07 (1.18)	8,380 (7,542)	7,876 (7,088)	7,694	8,999 (8,099)
ABDL-800	800	1.00 (1.11)	1.07 (1.18)	9,577 (8,620)	9,001 (8,101)	8,793	10,285 (9,257)
ABDL-900	900	1.00 (1.11)	1.07 (1.18)	10,774 (9,697)	10,126 (9,114)	9,892	11,571 (10,414)
ABDL-1000	1000	1.00 (1.11)	1.07 (1.18)	11,971 (10,774)	11,252 (10,126)	10,991	12,856 (11,571)
ABDL-1100	1100	1.00 (1.11)	1.07 (1.18)	13,169 (11,852)	12,377 (11,139)	12,090	14,142 (12,728)

— Dimensional Data

Model	Standard Efficiency					High Efficiency				
	Length (Inches)	Width (Inches)	Height (Inches)	Operating Weight (Lbs)	Shipping Weight	Length (Inches)	Width (Inches)	Height (Inches)	Operating Weight (Lbs)	Shipping Weight
ABDL-100	119	60	86	10800	9500	119	60	86	11400	10100
ABDL-120	126	60	86	11900	10600	125	60	86	12800	11200
ABDL-150	143	60	86	13700	12100	143	60	86	14500	13000
ABDL-180	163	65	89	15900	14100	163	65	89	17000	15200
ABDL-200	178	65	89	17100	15200	178	65	89	18400	16500
ABDL-240	210	65	89	19300	17200	210	65	89	20700	18500
ABDL-300	166	81	108	29000	25000	166	81	108	30800	26800
ABDL-350	189	81	108	32200	27900	189	81	108	34200	29600
ABDL-400	212	82	108	35000	30200	212	82	108	37200	32400
ABDL-450	234	86	108	38100	33100	234	86	108	40800	35500
ABDL-500	261	86	108	42500	36700	261	86	108	45200	39200
ABDL-550	283	86	108	47600	41400	283	86	108	50400	44200
ABDL-600	238	120	131	60400	51400	238	120	131	65200	56000
ABDL-700	260	120	131	64800	55100	260	120	131	71100	61500
ABDL-800	285	127	131	73300	61900	285	127	131	80300	69000
ABDL-900	310	127	131	81200	69400	310	127	131	88900	77100
ABDL-1000	266	150	145	93500	67300	266	150	145	101500	74100
ABDL-1100	281	150	145	100200	72000	281	150	145	109200	79700

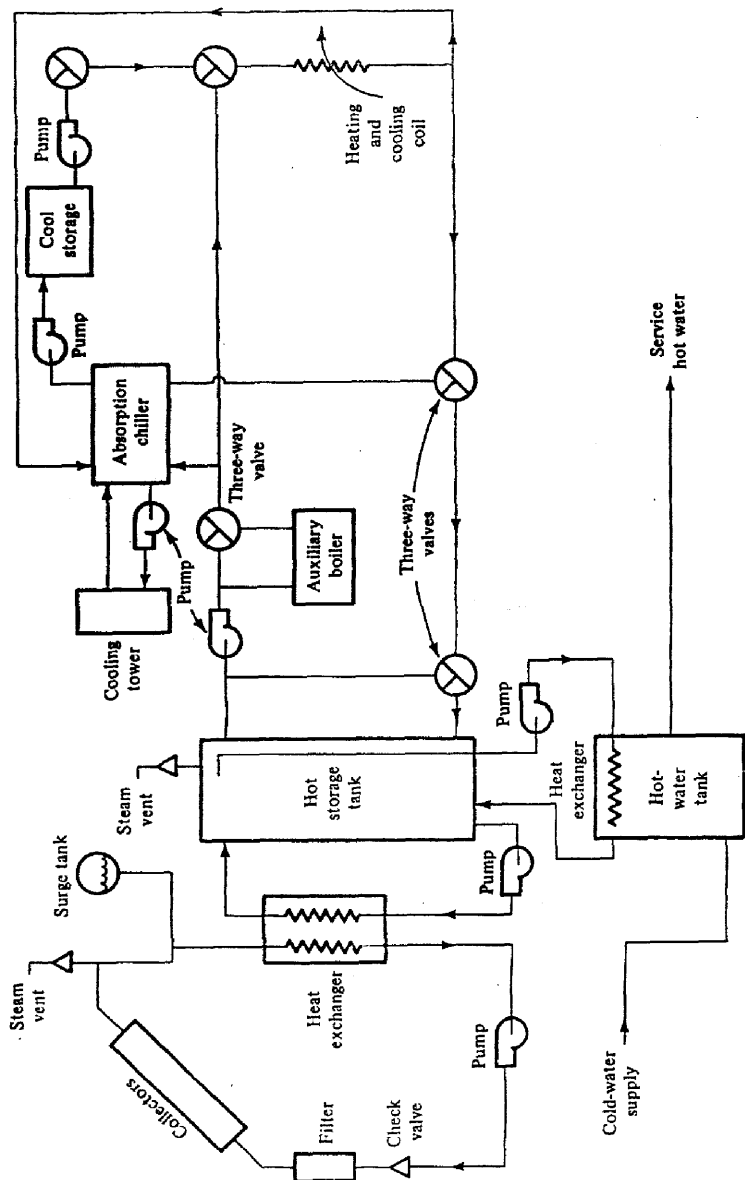


Figure 17.14 Solar heating and cooling system

General

مقدمة

أنظمة تكييف الهواء يتم عادة تصميماً على أقصى ظروف مناخية لكي تحقق ظروف الراحة على مدار العام للإنسان . وكما سبق بيانه فإن ظروف الراحة تتحقق بتوفير درجة الحرارة ونسبة الرطوبة وكمية الهواء المناسبة للإنسان . وحيث أن الظروف القصوى هذه لا تسود على مدار العام وجب توفير وسيلة أو نظم للتحكم الذاتي في عمل هذه الأنظمة بحيث توفر ظروف الراحة للإنسان في كل الأحوال وتضمن عمل هذه الأجهزة بطريقة جيدة .

13.1 وظيفة نظام التحكم الآلي

13.1 Functions of Automatic Control System

يقوم نظام التحكم الآلي بالوظائف الأربع الآتية :-

- **المحافظة على ظروف التصميم الداخلية** مثل درجة الحرارة و نسبة الرطوبة . وحيث أنه يتم اختيار سعة أنظمة التكيف طبقاً لظروف الخارجية مع الحفاظ على الظروف الداخلية فمع تغيير الظروف الخارجية وبالتالي الحمل الحراري كسباً أو فقداناً فإن السعة وبالتالي سوف تتغير . وفي غياب التحكم الآلي سوف يشعر الناس ببرودة أو حرارة أكبر من اللازم ولهذا فإن التحكم الآلي يعمل على تلافي ذلك .
- **السماح بالتشغيل التلقائي** وبذلك يمكن تجنب أو تقليل خطأ وإهمال العنصر البشري .
- **الاقتصاد في الطاقة وترشيد تكاليف التشغيل** . من أهم الأساسيات التي يعتمد عليها تصميم التحكم الآلي هي مقدرة النظام على ترشيد الطاقة في كل الأوقات . وعلى سبيل المثال فإنه يمكن تقليل كمية الهواء الخارجي وعليه يمكن تخفيض سعة التبريد المستخدمة . وبالتالي تخفيض تكاليف التشغيل .

- المحافظة على مستويات أمان عمل المعدات . تعمل أجهزة التحكم على المحافظة على أداء المعدات بمستويات أمان مانعة بذلك تلف المعدات وتتضمن أمان العاملين .
- للأهمية القصوى للتحكم الآلي في تكييف الهواء وحيث أن أنظمة التحكم الآلي من الأنظمة التي يصعب الإمام بها حيث أنها تتبع تحصص التحكم . وستبين فيما يلي بعض الخلفية النظرية التي تساعد في فهم أنظمة التحكم مع تطبيقها في مجال تكييف الهواء .

13.2 مكونات نظام التحكم

13.2 The Control System Components

كل أجهزة التحكم حتى البسيط منها Fig13.1 تتكون من :

1- متغيرات محكومة Controlled variable هي المتغيرات الواجب التحكم فيها عند قيمة معينة مثل : درجة الحرارة temperature ، ونسبة الرطوبة Humidity ratio ، الضغط

Pressure

2- المتحكمات Controller . وهي عبارة عن آدأه تحتوي على حساس Sensor ومرسل Transmitter تحس بمقدار التغير في المتغيرات وترسل إشارة التصحح المناسبة بالفعل المرسل إلى الأداة المحكومة Controlled device للضغط طبقاً لما هو مطلوب ، مثل المتحكمات : متحكم درجة الحرارة Thermostat ، متحكم الرطوبة Humidistat ، متحكم الضغط Pressurestat .

3- مصادر الطاقة Source of energy . هي عبارة عن مصادر القدرة اللازمة لتوصيل إشارة الإحساس للتصحيح من المتحكم إلى الأداة المحكومة . من مصادر الطاقة : الهواء المضغوط Compressed air () والطاقة الكهربائية Electric energy .

4 - الأداة المحكومة Controlled device وهي الأداة التي تستقبل الفعل من المتحكمات وتقوم بتنظيم السندق أو أي تأثير آخر من الوسيط Agent ومن أمثلة هذه الأدوات : الصمامات Dampers ، البوابات Valves ، موتور إدارة طلبية أو مروحة أو إدارة ضاغط .. وهكذا .

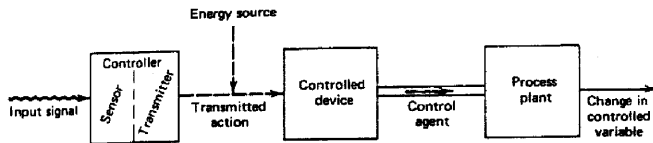


Figure 13.1 Control system components.

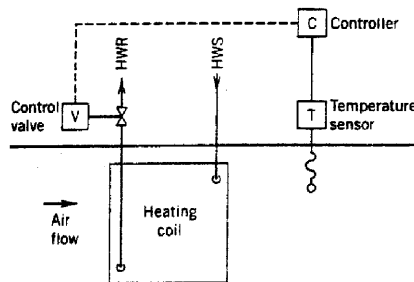


Figure 13.2 Simple air- temperature control system

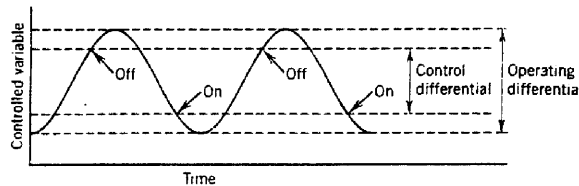


Figure 13.3 Two – position (On- Off) control system.

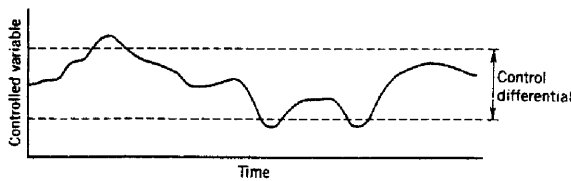


Figure 13.4 Floating control action.

5- وسيط التحكم *Control agent*. هو الوسيط الذي يتم تنظيمه بواسطة الأداة المحكمة Controlled device من أمثلة الوسيط الماء المتدفق خلال صمام ، الهواء خلال بوابة ، التيار الكهربائي للمotor .

6- محطة العملية *Process plant* تسيطر سلوك وسيط التحكم يغير في خرج Output أداء المعدات وهو ما يسمى بمحطة العملية . مثل ذلك ملفات التبريد والتغذية ومسخن الزيت ، المروحة والطلمية والضاغط وغيرها .

وبتطبيق ما سبق على نظام تحكم بسيط Fig13. 2. هذا الشكل يبين تدفق الهواء على ملفات تسخين فلينجد أن الحساس (T) Sensor الموجود في المتحكم (C) Controller يقيس درجة الحرارة Controlled variable في المسار الهابط Downstream للهواء ويرسلها إلى المتحكم الذي يقارن بين درجة حرارة الهواء ودرجة الحرارة المضبوط عندها Set point ويرسل إشارة (مبنية بالخط المنقط Dashed line) إلى الأداة المحكمة Controlled valve والذي يقوم بدوره بفتح أو غلق صمام المياه الساخنة (Controlled device) طبقاً للحاجة لتحقيق حالة تقع بين نقطة الضبط ودرجة حرارة الهواء الفعلية . هذا النظام يسمى نظاماً مغلقاً أي Closed system هو ما غالباً يستخدم في التحكم الآلي لأنظمة التبريد وتكييف الهواء .

13.3 أنواع فعل التحكم

أولاً - فعل نو موضعين *Two position action*. هذا الفعل يسمى أيضاً فعل (قل - فتح) أو On/Off إذا كانت الأداة المحكمة موتور Motor يمكن أن يبدأ الحركة بـ On أو يتوقف عند Off Fig 13.3. مثال آخر هو الصمام Valve الذي يفتح كلباً فيسماح بمرور المائع أو يغلق كلباً فيتوقف سريان المائع .

ومن Fig13. 3 نجد أن :

- تبادل التحكم Differential control هو مدى فعل التحكم بين نقطتي الفعل On - Off .
- تبادل التشغيل Operating differential هو المدى بين أعلى نقطة عمل وأدنى نقطة وهو بالطبع أكبر من تبادل التحكم حيث أن هناك تخلف (Lag) في التأثير للأداة التحكم .

ثالثاً - فعـل عـالم *Floating action* . في الفـعل العـالم فـإن الأـدـاء المـحـكـومة نـعم بـطـرـيقـةـ المـتـحـكـم ذـي مـوـضـعـين . أـدـاءـ التـحـكـم مـصـمـمـةـ بـحـيثـ تـحـركـ بالـتـدـريـجـ بـيـنـ الـفـتـحـ الـكـامـلـ . يـرسـلـ مـصـدرـ الطـاقـةـ إـشـارـةـ تـعـملـ عـلـىـ تـحـريـكـ جـزـءـ الشـغـالـ مـنـ الـأـدـاءـ المـحـكـومةـ فـيـ اـتـجـاهـ الـكـامـلـ . يـرسـلـ مـصـدرـ الطـاقـةـ إـشـارـةـ تـعـملـ عـلـىـ تـحـريـكـ جـزـءـ الشـغـالـ مـنـ الـأـدـاءـ المـحـكـومةـ فـيـ اـتـجـاهـ الـكـامـلـ . وـاحـدـ بـحـيثـ تـسـتـكـونـ مـسـطـقـةـ لـاـ تـرـسـلـ إـلـيـهـ أـيـ إـشـارـةـ تـارـكـهـ الـأـدـاءـ المـحـكـومةـ كـالـعـائـمـةـ . كـمـ هـوـ

. Fig13.4 واضح من

ثـالـثـاً - الفـعلـ التـنـاسـيـ *Proportional action* . فيـ هـذـاـ النـوعـ مـنـ الفـعلـ فـانـ قـوـةـ الإـشـارـةـ الصـادـرـةـ مـنـ الـمـتـحـكـمـاتـ تـنـتـابـ طـرـديـاـ مـعـ مـقـدـارـ التـغـيـرـ فـيـ الـمـتـغـيرـاتـ المـحـكـومـةـ وـبـالـتـالـيـ فـانـ الـأـدـاءـ المـحـكـومـةـ فـيـهـاـ تـسـتـرـحـكـ إـيـضاـ تـنـاسـيـاـ مـعـ قـوـةـ الإـشـارـةـ . هـذـاـ النـوعـ مـنـ الفـعلـ يـعـطـيـ إـسـتـجـابـةـ دـقـيقـةـ لـتـغـيـرـ فـيـ الـحـلـمـ أـفـضـلـ مـنـ الفـعلـ ذـوـ مـوـضـعـينـ Fig13.5ـ . وـمـنـ بـيـنـ التـعـارـيفـ الـأـتـيـةـ :

- نقطـةـ الضـبـطـ *Set point* هيـ قـيـمةـ الـمـتـغـيرـاتـ الـمـطـلـوبـ مـنـ الـمـتـحـكـمـاتـ تـشـيـبـهـاـ .
- نقطـةـ التـحـكـمـ *Control Point* هيـ الـقـيـمةـ الـفـعـلـيـةـ لـمـتـغـيرـاتـ وـالـتـيـ يـقـومـ الـمـتـحـكـمـ بـتـشـيـبـهـاـ فـيـ أـيـ وـقـتـ .
- الموازنـةـ (ـ المعـادـلـةـ) *Offset* هيـ الفـرقـ بـيـنـ نقطـةـ التـحـكـمـ *Control Point*ـ وـنـقطـةـ الضـبـطـ *Set point*ـ .

- مـدىـ الخـنـقـ *Throttling range* هوـ مـقـدـارـ التـغـيـرـ الـمـطـلـوبـ حـدـوـثـهـ لـمـتـغـيرـاتـ لـكـيـ تـحـركـ الـأـدـاءـ المـتـحـكـمـ فـيـهـاـ مـنـ أـقـصـىـ طـرـفـ لـأـقـصـىـ طـرـفـ الـمـقـابـلـ مـثـلـ :ـ أـقـصـىـ فـتـحـ إـلـىـ أـقـصـىـ غـلـقـ .

13.4 Controllers

13.4 المـتـحـكـمـاتـ

المـتـحـكـمـاتـ كـمـ سـيـقـ وـبـيـنـ أـنـهـ تـقـومـ بـوـظـيـفـتـيـنـ هـمـاـ :

- 1- الـإـحـسـاسـ بـالـتـغـيـرـ الـذـيـ يـطـرـأـ عـلـىـ الـمـتـغـيرـاتـ الـمـتـحـكـمـ فـيـهـاـ .
- 2- إـرسـلـ إـشـارـةـ بـالـفـعـلـ الـواـجـبـ اـتـخـاذـهـ .

الـمـتـغـيرـاتـ الـتـيـ تـنـتـطـلـ بـالـتـحـكـمـ فـيـهـاـ هـيـ درـجـةـ الـحرـارةـ *Temperature*ـ وـالـرـطـوبـةـ *Humidity*ـ . وـالـصـغـطـ Pressureـ وـالـتدـفـقـ Flowـ .

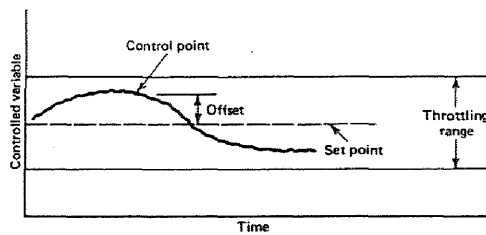


Figure 13.5 Proportional action control.

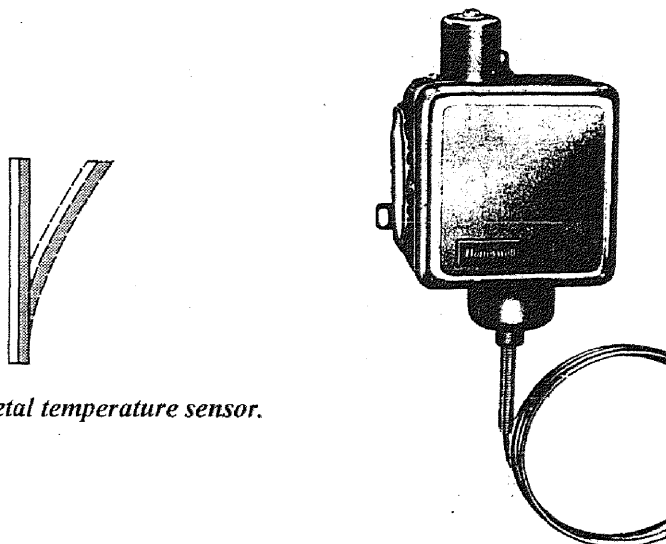


Figure 13.6 Bimetal temperature sensor.

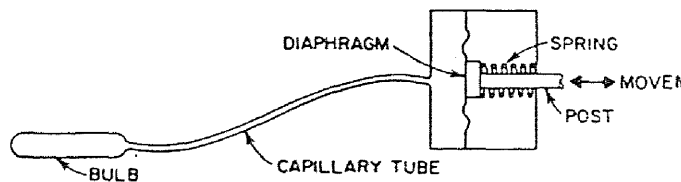


Figure 13.7 Bulb and capillary sensor.

13.4.1 متحكمات درجة الحرارة Temperature Controllers

تسمى متحكمات درجة الحرارة بالترmostats هناك أنواع عديدة للعنصر الحساس في الترmostats منها :

1- عنصر حساس ثالثي المعدن *Bimetal element sensor*. يتكون الحساس من معدنين مختلفين في معامل التمدد. عند التعرض لوسط حراري فإن ذلك يؤدي إلى الانحناء في اتجاه المعدن ذي معامل التمدد الأكبر Fig13.6 والذي ينتج عنه فتح أو قفل دائرة كهربية في المتحكم. هذا الحساس يستخدم في ترmostats الغرفة .

2- حساس بوصيله وأنبوبة شعرية *Bulb and Capillary sensor* هذا النوع يستخدم للحساس بدرجة الحرارة في مسالك، أنبوب، خزان أو التطبيقات التي تتطلب التحكم من بعد هناك ثلاثة أجزاء رئيسية لهذا الحساس هي: البوصيله Bulb ، وأنبوبة شعرية Capillary tube Diaphragm ، الرق . البصيلة عادة مماثلة لمائدة وغاز تزيد بحد طبقاً لمجال درجة الحرارة المطلوبة. تمدد الغاز أو السائل نتيجة إحساس البصيلة بالحرارة يولد ضغطاً ينتقل خلال الأنابيبية الشعرية والذي يتأثر به الرق والذي يتحول في النهاية إلى حركة عمود على ياي. هذا الحساس قد يكون طوله عدة سنتيمترات وقد يصل طوله إلى 6m .

13.4.2 متحكمات الرطوبة Humidity controller.

حساس هذه المتحكمات يصنع من مادة لها خاصية الاسترطابية أي القدرة على امتصاص الماء من الهواء Hygroscopicity. نتيجة لذلك يتغير حجم المادة بسبب التغير في الرطوبة. هذا العنصر في تركيبه يشبه الحساس ثالثي المعدن Bimetal. حيث أنه يتكون من شريطيين من خشب يو- سيدر Cedar - Yew . نتيجة اختلاف معدل امتصاص الرطوبة من الهواء عند تغيير الرطوبة يحدث تمدداً أو انحناطاً بنفس الطريقة السابقة شرحها لعنصر حساس ثالثي المعدن. قد يستخدم أيضاً غشاء حيواني وشعر الإنسان لأن أطوالها تتغير مع الرطوبة.

13.4.3 Pressure controllers

13.4.3 متحكمات الضغط

حساس هذه المتحكمات يحتوى على رق Diaphragm منفاخ Bellows وأنبوب بوردون Bourdon tube و تعمل بالهواء المضغوط .

13.4.4 Flow controller.

13.4.4 متحكمات التدفق

عادة ما يستخدم الضغط كإشارة لإحساس. في هذه الحالة فإن سرعة المائع الخاضع للتحكم تتحول إلى ضغط امتدادي بواسطة عنصر حساس مثل أنبوبة بيتوت Pitot tube وهذه الأشارة تستخدم للتحكم في التدفق . بعد إرسال إشارة الإحساس يتم تكبيرها بحيث تستطيع تشغيل الأداة المحكمة. عنصر الإرسال قد يكون: الكترونی ، كهربائی أو يعمل بالهواء المضغوط .

13.5 Controlled Devices

13.5 الأداة المحكمة

الأداة المحكمة هي التي تستقبل الفعل من المتحكمات وتقوم بتنظيم الفعل المطلوب مثل التدفق بفرض الوصول إلى القيمة المطلوبة للمتغيرات ومن أمثلة الأدوات المحكمة: الصمامات Valves والسوابات Dampers والموتورات Motors والمرحلات Relays في تطبيقات تكييف الهواء HVAC .

13.5.1 Valves

13.5.1 الصمامات

صمامات السائل أما أن تكون ثنائية أو ثلاثة . Fig13.8
الصمامات الثنائية Two-way-valve تستخدم لتغيير معدل التدفق في معدات التدفئة والتبريد . Fig13.9

الصمام الثلاثي Three-way valve يستخدم أما للخلط Mixing أو للتفرع Diverting . Fig13.10

- صمام الخلط له مدخلان ومخرج - صمام التفرع له مدخل ومخرجان .
- يستخدم كل من صمامات الخلط والتفرع للتحكم في التدفق خلال الملفات (التبريد أو التسخين) . Fig 11

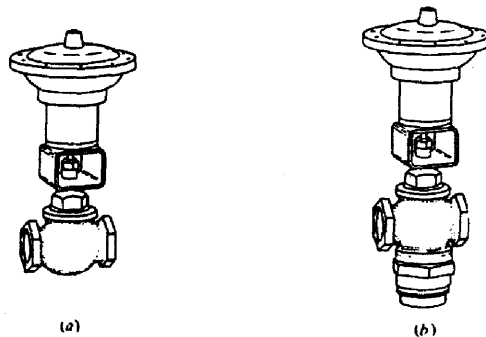


Figure 13.8 (a): Two- way valve, (b): Three- way valve.

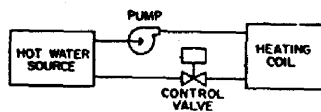


Figure 13.9 Simple system with two- way valve to control flow.

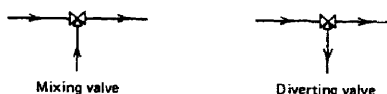


Figure 13.10 Three- way valve for mixing and diverting



Figure 13.11 Using three- way valve to control flow rate by mixing or diverting.

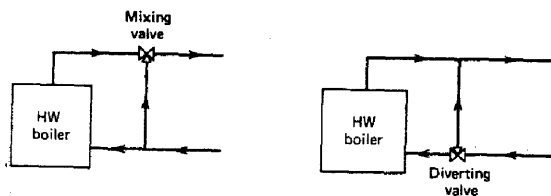


Figure 13.12 Using three- way valve to control liquid temperature

- يستخدم ايضا كل من صمامات الخلط للتفرع للتحكم في السعة وذلك بتغيير درجة حرارة الماء بدلًا من كميته . Fig13.12
- مما هو جدير بالذكر فإن التحكم في السعة يمكن أن يتم سواء بتغيير معدل تدفق الماء أو درجة الحرارة لذلك فإنه يفضل تغيير السعة بتغيير درجة الحرارة.
- من الناحية الاقتصادية فإن استخدام الصمام الثنائي أفضل ولهذا يفضل استخدامه في وحدات الغرف .

13.5.2 Valves characteristics

13.5.2 خصائص الصمامات

خصائص الصمامات تعنى سلوك كيفية تغير التصرف مع شوط (Stroke) الصمام وهذا بدوره يعتمد على شكل فتحة الصمام. تقسم الصمامات طبقاً لخصائصها إلى ثلاثة أنواع مبينة في Fig13.13 وهي .

- صمامات النسب المتساوية *Equal percentage valves* هذه الصمامات ذات أداء جيد للتحكم الآلى في سريان الماء خلال الملفات حيث أنه يمكنه الحصول على تغيير كبير في مقدار التدفق بفتحة صغيرة نسبياً الأمر الذى يصعب الحصول عليه مع الصمامات الأخرى .
- صمامات ذات خاصية خطية *Linear valve* هذه الصمامات تعمل بصورة متزنة إذا كان فعل التحكم تناصي *Proportional action* وبنك للتحكم في تدفق البخار حيث ان الحرارة الخارجية *Heat output* من المبادل الحراري للبخار تتناسب مع معدل تدفق البخار. .
- صمامات الفتح السريع *Quick opening valves* كما هو واضح من Fig13.13 فإن أقصى مقدار للتدفق يمكن الحصول عليه بفتحة تقرب من 40% .
تقسم الصمامات طبقاً لتأثير الضغط إلى: Fig13.14
- صمامات عاليه الفتح *Normally Open* ومن الشكل نجد أن الضغط يؤثر من أعلى على الرق الذى يدفع الإبرة *Stem* للحركة لأسفل مخلفاً بذلك فتحة المسار، عند انخفاض الضغط أو تلاشيه فإن الإبرة ترتفع لأعلى فاتحة بذلك فتحة المسار أى أن فى عدم وجود ضغط فإن الصمام يكون مفتوحاً ويسمى *Normally opened* ويرمز له بالرمز *NO* ويستخدم هذا الصمام في حالة التسخين.

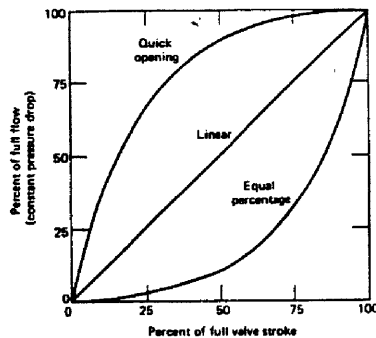


Figure 13.13 flow characteristics of control valve.

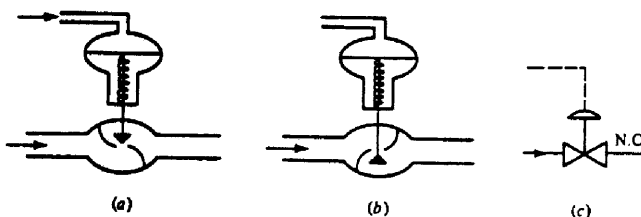


Figure 13.14 Throttling valves, (a): No normally opened, (b) NC

normally closed, (c) symbol.

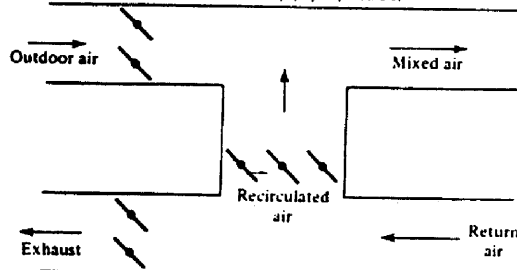


Figure 13.15 Outdoor, exhaust, and re-circulate dampers.

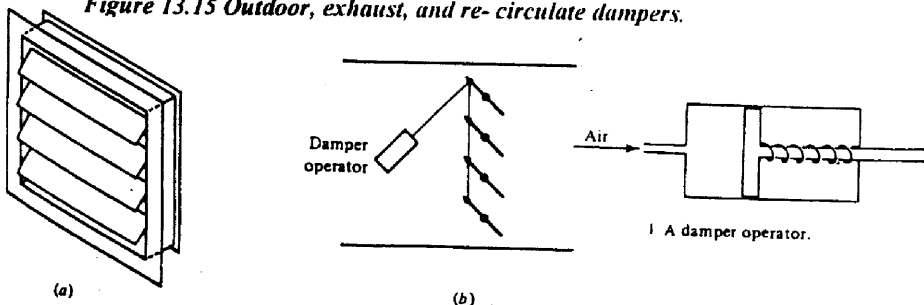


Figure 13.16 (a): A damper assembly, (b) schematic.

2- صمامات عادية القفل Normally closed ويرمز له بـ NC. في حالة انخفاض الضغط أو تلاشيه فإن الأيرة تغلق فتحة المرور. ويستخدم هذا الصمام في حالة التبريد والترطيب.

13.6 Dampers.

13.6 الخوانق (البوابات)

تستخدم الخوانق كأداة محاكمة لتغيير تدفق الهواء ، أو خلط الهواء أو الأمصار الجانبى للهواء Fig13.15 والغرض من ذلك هو تغيير سعة التبريد أو التسخين للمعدات .

وتتركب الخوانق كما هو واضح من Fig13.16 من ريش توجيه معدنية Adjustable louvers مرکزة داخل إطار وتعمل بواسطة مشغل Operator. هذا المشغل عبارة عن كباس داخل اسطوانة. الكباس مركب عليه يائ Spring عند اتصال الاسطوانة بضغط الهواء تدفع الكباس إلى الحركة لخلاف فينشأ فرق ضغط في البالى مؤديا إلى حركة ريش الخانق فاتها أو مغلقا أيها ويؤدى ذلك إلى فتح أو غلق مسار الهواء الريش نوعان Fig13.17 .

- ريش متوازية Parallel blades وتقوم بعمليات الفتح الكلى والغلق الكلى.

- ريش متعاكسة Opposed blades تقوم بعمليات فتح جزئى أو غلق جزئى وبالتالي هي تتنظم كمية تدفق الهواء فهي احسن وأكثر انتشارا.

13.6.1 Damper characteristics

13.6.1 خصائص الخوانق

يقصد بخصائص الخوانق علاقة مقدار التدفق مع مقدار فتحة الخانق. يوضح Fig13.18 هذه الخصائص لكل من الريش المتوازية والريش المتعاكسة على الترتيب. وبين Fig13.19 نسبة مقاومة فرق الضغط عند المنحنيات المتماثلة (A) ...، (B) ...، إلى المقاومة الكلية للنظام لكلا من النوعين: المتوازى والمتعاكس كما هو مبين في Fig 13.19 & Fig 13.18 على الترتيب. ومنها يتضح أن مقاومة فرق الضغط للخوانق المتعاكسة تقل بنسبة 60% للفتحات الصغيرة، 20% للفتحات الكبيرة مقارنة للخوانق المتوازية مما يجعل الخوانق المتعاكسة الريش أفضل وأكثر انتشارا.

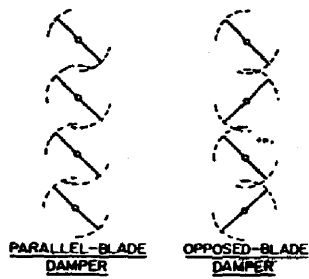


Figure 13.17 Types of air flow dampers.

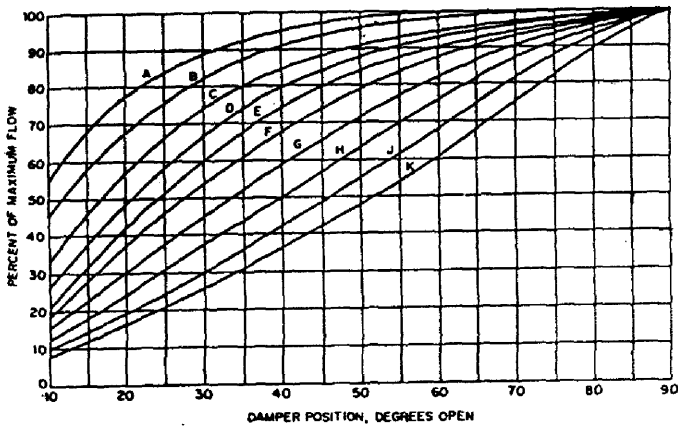


Figure 13.18 Parallel- blade damper flow characteristics

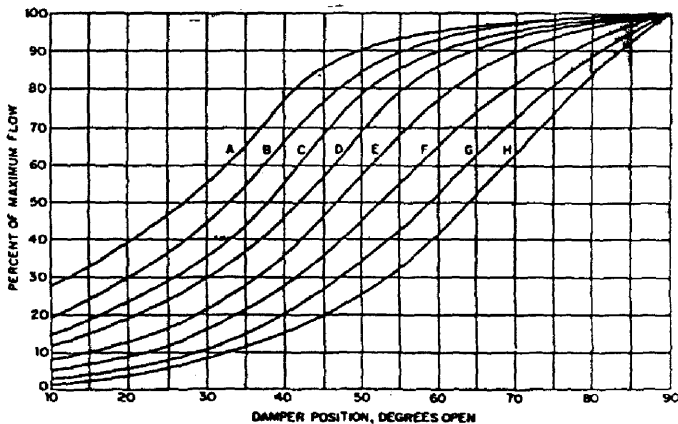


Figure 13.19 Opposed- blade damper flow characteristics

13.7 أنظمة التحكم البسيطة

هناك عدد غير محدود من أنظمة التحكم لأنظمة تكييف الهواء HVAC وسوف نقوم بشرح الأسلوب المنطقي لبناء نظام التحكم. يمكن تنفيذ التحكم عن طريق التأثير على مصادر التبريد أو التسخين أو الطلوبة أو المروحة أو الوحدات الطرفية كما يمكن تنفيذ التحكم عن طريق تغيير معدل تدفق الماء أو الهواء بالتأثير على صمامات التحكم أو الخواص.

13.7.1 أنظمة التحكم الهواء الغرفة

13.7.1.1 Control system of space temperature

1- تحكم في الضاغط أو السخان **Control of compressor or burner**. عبارة عن نظام بسيط للتحكم في ضاغط التبريد أو السخان من Fig13.20 فإن الترمومترات الغرفة (T) يتأثر بدرجة حرارة الغرفة فيقوم بتشغيل أو إيقاف موتور ضاغط ووحدة التكييف. هذا النظام يستخدم مع وحدات الغرفة بنفس الطريقة في حالة التدفئة يقوم الترمومترات (T) في Fig13.21 الخاص بالغرفة بتشغيل السخان أو الغالية Boiler وتزويدها بالغاز باللازم للاشتعال حتى تصل درجة حرارة الغرفة إلى الحد المطلوب فيعطي الترمومترات في هذه الحالة الإشارة المناسبة.

2- التحكم في معدل التدفق خلال الصمام **Control of flow rate through valves** بنفس الطريقة يقوم ترمومترات الغرفة (T) في Fig13.22 بالتأثير على الصمام لتغيير معدل تدفق الماء الساخن أو البارد أو مائع التبريد إلى الوحدات الطرفية أو ملفات التبريد وذلك باستخدام الصمامات الآلية وبهذه الطريقة يمكن تغيير سعة التبريد أو التسخين.

3- التحكم في خواص الحجم **Control of volume dampers** في هذه الحالة فإن ترمومترات الغرفة (T) الذي يتأثر بدرجة حرارة الغرفة يقوم بالتأثير على الموتور الخاص بالخانق فيتم تغيير معدل تدفق الهواء المار خلال المسبك بالدرجة المطلوبة حتى تصل درجة حرارة الغرفة إلى الحد المطلوب.

4- تحكم خواص الخلط **Control of mixing dampers** في هذا النظام فإن ترمومترات الغرفة (T) الذي يتأثر بدرجة حرارة الغرفة يقوم بتشغيل مجموعتين من الخواص Fig13.24

Table 13.1 Ratio of Damper Resistance to system Resistance which apply to flow characteristics of figs. 13.18 & 13.19

PARALLEL-LEAF DAMPERS		OPPOSED-LEAF DAMPERS	
Open Damper Resistance. Percent of System Resistance	Flow Characteristic Curve	Open Damper Resistance. Percent of System Resistance	Flow Characteristic Curve
0.5-1.0	A	0.3-0.5	A
1.0-1.5	B	0.5-0.8	B
1.5-2.5	C	0.8-1.5	C
2.5-3.5	D	1.5-2.5	D
3.5-5.5	E	2.5-5.5	E
5.5-9.0	F	5.5-13.5	F
9.0-15.0	G	13.5-25.5	G
15.0-20.0	H	25.5-37.5	H
20.0-30.0	J		
30.0-50.0	K		

*From E. J. Brown, Heating, Piping and Air Conditioning, April 1960, p. 171.

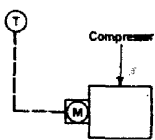


Figure 13.20 Space control of refrigeration

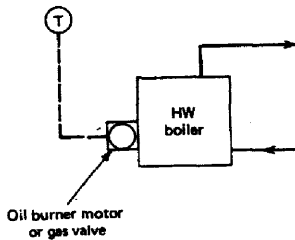


Figure 13.21 Space control of HW boiler burner motor or gas valve.

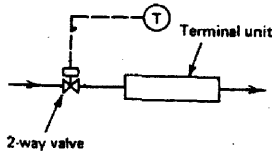
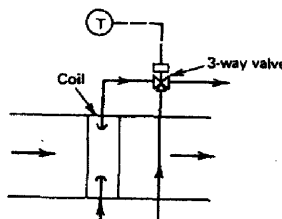


Figure 13.22 Space Control of water flow rate through terminal unit coil in duct.



تعمل الأولى على مسلك الهواء البارد والثانية على الساخن بحيث تفتح الأولى تفتح الثانية وهكذا طبقاً للحاجة هذا النظام يستخدم في أنظمة المسلح الثانية ونظام تعدد المناطق

5- تحكم خوانق المواجهة والامرار الجانبي *Control of face and bypass dampers* كما سبق وبيننا في موضع سابق أن الأمرار الجانبي يستخدم في بعض الأحيان للحصول على نسبة رطوبة معينة ودرجة حرارة محددة ولذلك يستخدم مجموعتان من الخوانق Fig13.25 بحيث تفتح الأولى عندما تغلق الثانية بتأثير ترمومسات الغرفة (T) الذي يعطي إشارة إلى موتور الخانقين.

13.7.2 أنظمة تحكم الهواء الخارجي *Control form outdoor air*

التحكم عن طريق درجة حرارة الهواء الخارجي نادراً ما يستخدم ولكنه يستخدم في بعض التطبيقات الخاصة منها.

1- التحكم في نسبة الهواء الخارجي و الهواء الراجع

Control of outside and return air

في الأنظمة الكبيرة يستخدم هذا النظام لتغيير كمية الهواء الخارجي من أقل مستوى إلى هواء خارجي كلّي. ففي حالة التدفئة شتاءً خائق الهواء الخارجي في Fig13.26. يكون في وضع أقل فتح للهواء الخارجي (بالقدر الذي يسمع بالتهوية فقط) وفي نفس الوضع فإن خائق الهواء الراجع يكون في وضع أكبر فتح . عند ارتفاع درجة حرارة الهواء الخارجي فإن ترمومسات خلط الهواء (T1) يقوم بفتح خائق الهواء الخارجي تدريجياً لتحقيق أقل درجة حرارة لخلط الهواء. عند ارتفاع درجة الحرارة (10C° : 16C°) فإن خائق الهواء الخارجي يفتح إلى نسبة 100%. في حالة التبريد عندما تواصل درجة حرارة الهواء الخارجي في الارتفاع (21C°: 24C°) فإن ترمومسات الحد الأعلى للهواء الخارجي T2 يقوم بارجاع خائق الهواء الخارجي إلى الحد الأدنى وبذلك ينخفض الحمل الحراري على الجهاز. يسمى هذا النظام بالنظام الاقتصادي للتحكم حيث يقوم بتقليل سعة التسخين شتاءً باستخدام أقل هواء خارجي وتقليل سعة التبريد صيفاً بأقل هواء خارجي أيضاً.

2- تحكم الأنثالبيا *Enthalpy Control* نظام التحكم السابق القائم على درجة الحرارة الجافة للهواء الخارجي ليس دائماً أكثرهم اقتصاداً للطاقة حيث أنه في المناخ الرطب نجد أن

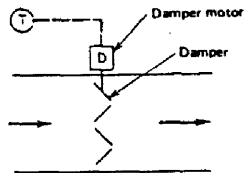


Figure 13.23 Space control of air flow rate through a damper.

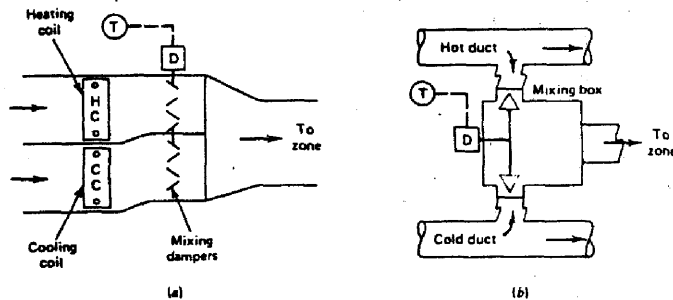


Figure 13.24 Space control of mixing damper for (a): multizone (b) dual duct and mixing box.

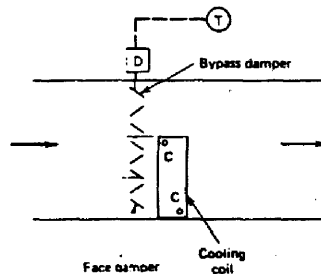


Figure 13.25 Space control of face and by-pass dampers

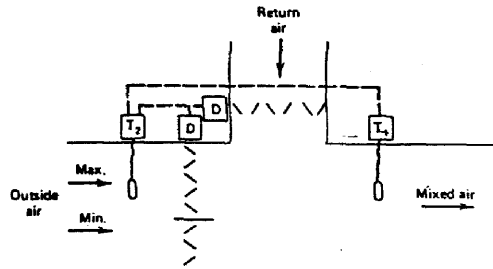


Figure 13.26 Outdoor temperature control of outside and return air damper.

المحتوى الحراري أو الانثالبيا للهواء الخارجي قد تكون أعلى من مثيلها للهواء الراوح ذو درجة حرارة جافة أعلى ورطوبة أقل . ومثال ذلك كما هو موضح Fig13.27 فإذا كانت حالة الهواء الخارجي (20°C db , $90\% \text{RH}$) وحالة هواء الراوح هي (25°C , $40\% \text{RH}$) فنجد ان انثالبيا الهواء الخارجي 54 kJ/kg وانثالبيا الهواء الراوح هي 46 kJ/kg لذلك فإن ملفات التبريد مطلوب منها أن تزيل هذه الحرارة من الهواء لتحقيق الحالة المطلوبة داخل الغرفة لذلك في هذه الحالة يجب وضع خانق الهواء الخارجي على أقل (min) هواء خارجي كافي لعمليات التهوية لقياس انثالبيا الهواء لأبد من قياس درجة الحرارة الجافة بالإضافة إلى درجة الحرارة الرطبة أو الرطوبة النسبية أو نقطة التدفق والآن توجد أجهزة لقياس ذلك كلها في الحال، بالرغم أنه من الناحية النظرية يعتبر التحكم عن طريق الانثالبيا مثاليًا من ناحية توفير الطاقة إلا أنه يضع علامات استفهام حول الدقة العملية لحساس الرطوبة.

٣- تحكم الرطوبة **Humidity control** بدون ترطيب فإن كثيراً من المباني سوف تعانى من نقص الرطوبة خاصة شتاءً حيث أن نسبة الرطوبة للهواء المخارجي تكون في حدود 10% أى أقل كثيراً من ظروف الراحة (50%) لذلك يستخدم تحكم الرطوبة أو هيميدستات Humidistat الذي يوضع عادة في المكان الخاضع للتكييف أو على خط الراوح كما هو مبين في Fig13.29. في هذه الحالة تحكم الرطوبة (H) يعطي إشارة بفتح صمام عادي القفل NC للبخار وذلك لتفادي الرطوبة الزائدة في حالة عطل تحكم الضغط الذي يشغل تحكم الرطوبة (يستخدم البخار للترطيب نظراً لنقاوته مقارنة بالماء).

ملفات التبريد تقوم عادة بالتبديد وإزالة الرطوبة. هذه الملفات يمكن التحكم في عملها بواسطة ترمومستات الغرف (T) والهيميستات (H) Fig. 13.30. إذا انخفضت درجة الحرارة فإن ترمومستات الغرفة (T) يعطي إشارة إلى ملفات التسخين للعمل.

٤- نظام إعادة ضبط خلال درجة حرارة الهواء الخارجي **Outdoor temperature reset** قد يتطلب الأمر إعادة ضبط المتغيرات اعتماداً على تغيير درجة حرارة الهواء الخارجي ومتى ذلك ما هو موضح في Fig13.31 حيث نجد حالة الترمومستات (T2) ينظم درجة حرارة ماء العلية التي هي مضبوطة عند قيمة معينة طبقاً لدرجة حرارة الهواء الخارجي . إذا ارتفعت درجة حرارة الهواء الخارجي (فإن الحاجة للماء الساخن بالطبع تقل) فيقوم ترمومستات الهواء

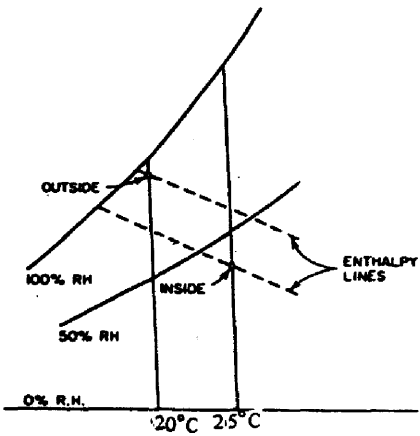


Figure 13.27 Partial psychometric chart.

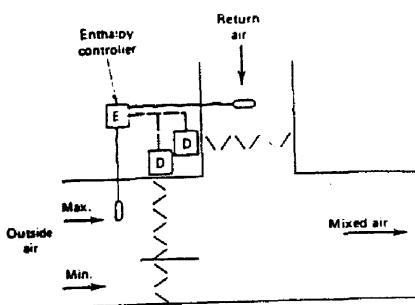


Figure 13.28 Enthalpy control of outside and return air dampers.

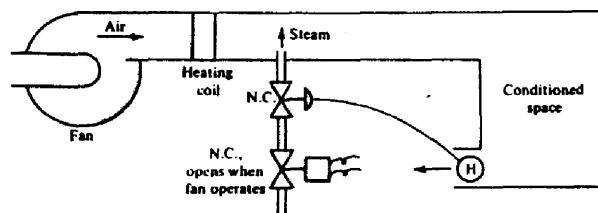


Figure 13.29 Humidistat control system.

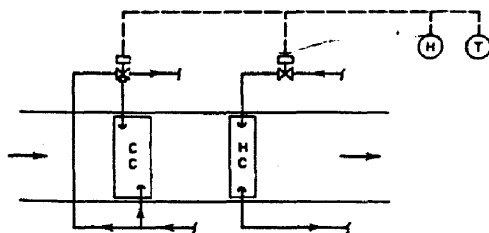


Figure 13.30 Space temperature and humidity control of cooling and heating coil.

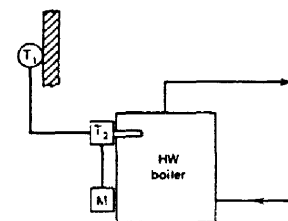


Figure 13.31 Outdoor reset of water temperature.

الخارجي (T1) بإعادة ضبط نقطة الضبط point Set الخاصة بالترموستات (T2) إلى قيمة أقل من الأولى. من ذلك نستنتج أن درجة حرارة الماء الساخن تتناسب عكسياً مع درجة حرارة الهواء الخارجي.

ترموستات الهواء الخارجي (T) في هذه الحالة يسمى ترموستات رئيسي Master thermostat وترموستات ماء الغلية (T2) يسمى ترموستات فرعى Submaster thermostat.

5- التحكم فى مسالك التسخين Control of heating duct ي العمل بنفس الطريقة السابقة بجد ان مسالك التسخين Fig13.32 ي العمل بنفس الطريقة السابقة حيث ترموستات المسلح (T2) ي العمل على ضبط درجة حرارة هواء التغذية للغرفة خلال الصمام الآلى . إذا ارتفعت درجة حرارة الهواء الخارجي فإن ترموستات الهواء الخارجي (T1) يقوم بإعادة ضبط ترموستات المسالك على قيمة أقل ليتدفق الماء الساخن خلال الملفات.

T1 يعتبر ترموستات رئيسي Master thermostat

T2 يعتبر ترموستات فرعى Submaster thermostat

13.7.3 التحكم من خلال مائع التسخين أو التبريد

13.7.3.1 Control from heating or cooling medium.

من المفيد أن يتم التحكم من خلال متغيرات خاصة بمائع التسخين أو التبريد - كمثال لذلك ما سبق شرحه من وضع ترموستات في مهبط سريان الهواء خلال مسلك ومثال آخر مبين في Fig13.33. في هذا المثال نجد أن ضاغط مبرد المياه Water - chiller يمكن التحكم في سعته التبريدية باستخدام ترموستات مغمور في خط المياه المتّجّح بغرض الحفاظ على درجة حرارة الماء المتّجّح ثابتة. التحكم عن طريق الماء المستخدم مفيد للأسباب الآتية :

1- يحافظ على درجة حرارة الماء المتّجّح (أو مائع التبريد) عند قيمة ثابتة من أجل ضمان إزالة الرطوبة بصورة جيدة .

2- الاستجابة السريعة التي يمكن الحصول عليها بهذه الطريقة .

13.8 أنظمة التحكم الكاملة

فيما سبق بینا كيف تعمل أنظمة التحكم البسيطة التي تعمل بتحكم ترموستات لتشغيل ضاغط أو خانق ليفتح أو يقلص صمام من أجل ثبيت درجة حرارة اعتماداً على درجة حرارة الهواء الداخلي

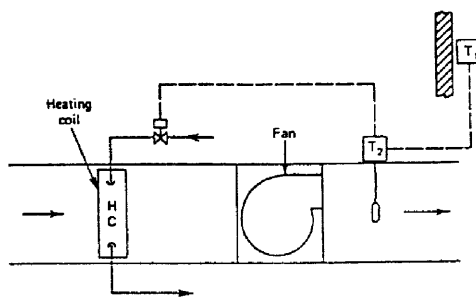


Figure 13.32 outdoor reset of supply air stream.

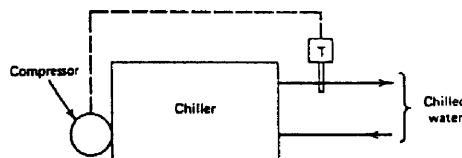


Figure 13.33 Control of chilled water temperature.

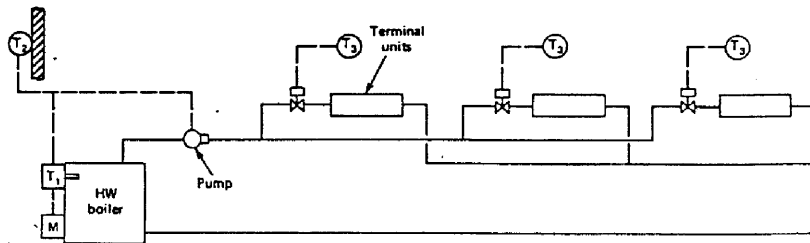


Figure 13.34 Hot- water heating control system.

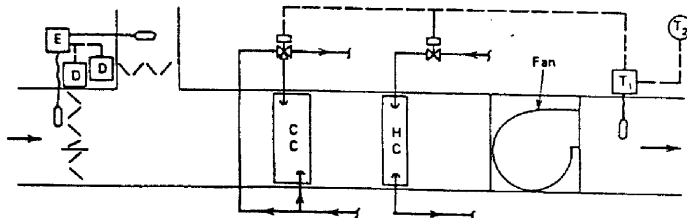


Figure 13.35 A year- round A/C control system.

أو الخارجي. غالباً ما يستخدم مجموعة من الأنظمة السابق شرحها في بناء نظام تحكم ينظم عمل نظام تكييف كامل. هناك المئات من البدائل المختلفة لأنظمة التحكم في تكييف الهواء وسنتكل بشرح الآتى كاملاً لها.

13.8.1 نظام تحكم نسختين ماء مع تحكم المناطق

13.8.1 Hot water control system with individually controlled zones.

هذا النظام مبين في Fig13.34 وهو يعمل كالتالي :

- 1- الترمومتر المغسورة (T1) في مياه الغلاية يعمل على ضبط درجة حرارة ماء التغذية وذلك من خلال التأثير على المотор (M) لضخ الغاز داخل الغلاية.
 - 2- ترمومتر الهواء الخارجي (T2) يقوم بإعادة ضبط الترمومتر (T1) إذا تغيرت درجة حرارة الهواء الخارجي الترمومتر (T2) يعمل في هذه الحالة كترمومتر رئيسي Master thermostat ويعمل الترمومتر (T2) كترمومتر فرعى Submaster thermostat.
 - 3- ترمومتر الغرفة (T3) يقوم بالتحكم في الوحدات الطرفية وذلك من خلال الصمام المركب عليها لفتح أو قفل أو تنظيم معدل تدفق الماء الساخن إليها.
 - 4- يقوم ترمومتر الهواء الخارجي (T2) بقطع عمل طلبية مياه التغذية عند ارتفاع درجة حرارة الهواء الخارجي وبالتالي انخفاض حمل التسخين.
- هذا النظام يوفر تحكم جيد في درجات وي العمل على توفير الطاقة عندما تقل الحاجة إليها.

13.8.2 نظام تحكم لمنطقة طول العام

13.8.2A year-round air-conditioning control system for single zone.

وهذا النظام مبين في Fig13.35 وهو يعمل كالتالي :

- 1- محكم الانثالبيا (E) أو الترمومتر (غير مبين على الرسم) يقوم بضبط خانق الهواء الراوح على أكبر هواء خارجي (max) بحيث يتحقق أكبر تبريد خلال فصل الصيف. خلال فصل الشتاء يكون خانق أقل هواء خارجي مفتوحاً بحيث يتحقق غرض التهوية المطلوبة.
- 2- الترمومتر (T1) الموضوع في المسار الهابط يضبط عمل ملفات التبريد (صيفاً) وملفات التسخين شتاءً وذلك بالتأثير على الصمامات الموضوعة على كل منها.

3- ترمومسات الغرفة (T2) يعمل كترمومسات رئيسى Master الذى يقوم بإعادة ضبط الترمومسات (T1) الذى يعمل كترمومسات فرعى Submaster وذلك عند تغير درجة حرارة الغرفة.

ومن الملاحظ أن استخدام ترمومسات الغرفة (T2) لإعادة ضبط ترمومسات الهواء الهاابط فى المسالك (T1) يعطى استجابة سريعة للوصول بدرجة حرارة الغرفة للدرجة المطلوبة . كما أن استخدام تحكم الانثالاليا يعمل على حفظ الطاقة كما سبق وبيننا .

13.8.3 نظام تحكم تكييف متعدد المناطق

13.8.3 Control of air-conditioning multi-zone system.

كما سبق وبيننا ان نظام التكييف متعدد المناطق يخدم مناطق متعددة لكل منها حالتها الخاصة فى درجة الحرارة ونسبة الرطوبة . لكل منطقة ينظم حلتها ترمومسات واحد . أحد الإنظمة النمساوية لأنظمة متعدد المناطق مبين في Fig 13.36 . في هذا النظام للهواء المخلوط نجد أن النهاية العليا والصغرى يمكن ضبطها على أساس أنه ليس هناك حاجة للتبريد في الطقس الشتوى والتسخين في فصل الصيف ويقوم التحكم على الأسس الآتية :

1- نسب الخلط للهواء البارد والساخن يتحكم فيها ترمومسات المنطقة (T6) [عددها يحددها عدد المناطق 2 , 3 , 4 حتى 12]

2- يقوم الترمومسات (T3) بالتحكم في تغذية ملفات التسخين وذلك بالتأثير على صمام التغذية (V1) .

3- ترمومسات الهواء الخارجى (T5) يقوم بإعادة ضبط الترمومسات (T3) إلى قيمة أعلى إذا أرتفعت درجة حرارة الهواء الخارجى (حيث تقل الحاجة للتدفئة) وقيمة أقل إذا انخفضت درجة حرارة الهواء الخارجى (حيث ترداد الحاجة للماء الساخن للتدفئة) . في هذه الحالة الترمومسات (T3) يعمل كترمومسات فرعى Submaster والترمومسات (T5) يعمل كترمومسات رئيسى Master .

4- الترمومسات (T4) يقوم بالتحكم في تغذية ملفات التبريد عن طريق التأثير في صمام تغذية الماء المثلث (V2) وليس لترمومسات الهواء الخارجى (T5) تأثير عليه .

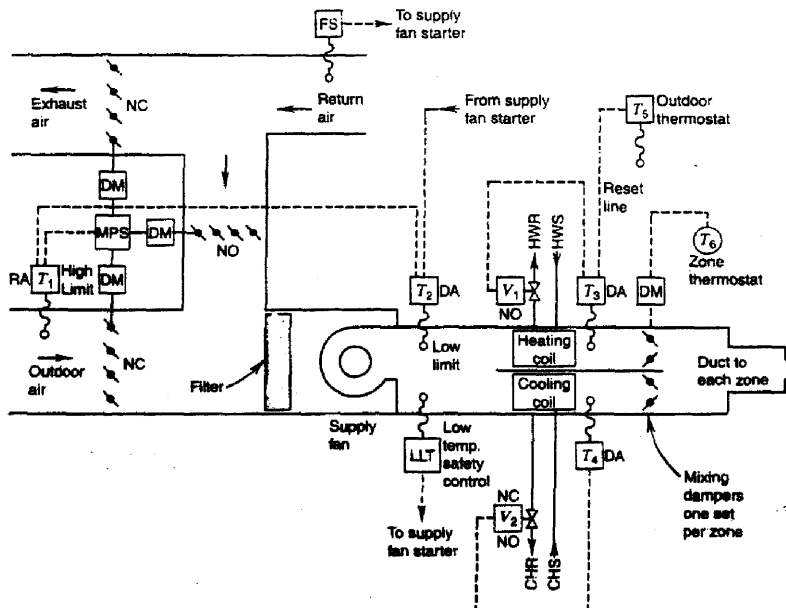


Figure 13.36 Control system for multi- zone A/C system.

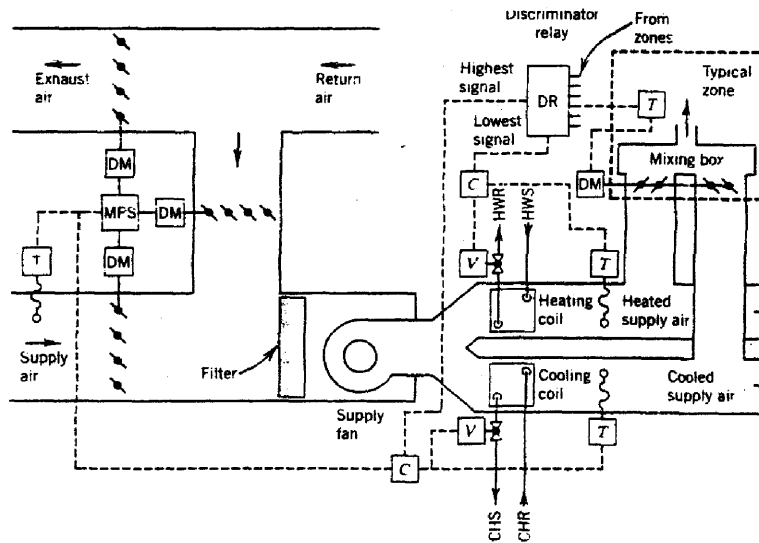


Figure 13.37 Control system for dual - duct A/C system.

5- الترمومسات (T1) يقوم بتحديد نسب خلط الهواء الراوح مع الهواء الخارجى بحيث يكون خانق الهواء الراوح عادى الفتح NO ويكون خانق الهواء الخارجى عادى القفل NC ثالث فصل الشتاء أو يسمح بأقل كمية هواء خارجى ضرورية لعملية التهوية .

6- الترمومسات (T2) يحس بدرجة حرارة هواء التغذية والذى يقوم بإعادة ضبط الترمومسات الفرعى له Submaster (T1) بحيث يغير من نسب خلط الهوا الراوح والهواء الخارجى

13.8.4 تحكم نظام تكييف ثنائى المسالك

13.8.4 Control of HVAC dual – duct system

هذا النظام Fig13.37 يعمل كالتالى :

1- ريلاي التمييز (الاختيار) DR Discriminator Relay (DR) يربط منطقة أو عدة مناطق كل منها بترمومسات (T) خاص بها. هذا الترمومسات يقوم بتشغيل موتورات فتح أو غلق خوانق مسلك البارد أو الهواء الساخن فى صندوق الخلط Mixing Box .

2- ترمومسات ملفات التسخين (T) يحس بدرجة حرارة هواء التغذية الساخن و يؤثر على صمام تغذية الماء الساخن (V) لتغيير مقدار التدفق طبقاً للحاجة .

3- بالمثل ترمومسات ملفات التبريد (T) يقوم بالتأثير على صمام الماء المثلج (V) طبقاً للحاجة.

4- يقوم ترمومسات هواء التغذية بتشغيل موتورات خوانق الهواء الراوح والهواء الخارجى بالنسب المطلوبة .

13.9 التحكم الرقمي المباشر

يستخدم الأن على نطاق واسع نظام التحكم الرقمي المباشر وهو يتم باستخدام الحاسوب الآلية Computers or Microprocessors مع المتحكمات Sensors مع أهل تحقيق نظام تحكم مغلق وذلك بالتحكم فى التفافية والتبريد من أجل تثبيت درجة حرارة و نسبة الرطوبة معينة داخل المكان . هذا النظام يحقق سرعة أكبر في الاستجابة للإشارات الواردة من وسائل الأحساس Sensor ويسمح بالتحكم في أعداد كبيرة من الفراغات الخاضعة للتكييف هنا لا يتسع المجال لشرح طريقة عمل هذا النظام إذا يدخل في نطاق تخصص التحكم الرقمي .

منظفات الهواء - المرشحات

AIR CLEANERS - FILTERS

General

مقدمة

الهواء الحسي هو خليط من غازات مختلفة في الظروف الطبيعية يتكون من أكسجين (21%) ، نتروجين (78 %) ، أرجون (1 %) ، ثاني أكسيد الكربون(0.03%). وهناك أيضا بعض الغازات بنساب أصغر مثل الهيدروجين، النيون، هيليوم، الأوزون ، بخار الماء. الإنسان يحتاج إلى حوالي 30 L/h من الأكسجين ، هذا يعني 150 L/h من الهواء . لكن نسبة ثاني أكسيد الكربون الذي يسببه الإنسان سواء بنفسه أو نتيجة بعض الأنشطة الإنسانية أو الصناعية ترفع هذا الاحتياج إلى $5 \text{ m}^3/\text{h}$.

14.1 Air - Contaminants

14.1 ملوثات الهواء

الهواء الخارجي وحتى الداخلي يحتوي على العديد من الملوثات وهي عبارة عن خليط مغدو من الأدخنة والرذاذ والأتربة وجسيمات في شكل خيوط وألياف وغيرها وتعريف بعضها كما يلى :

- **الدخن Fumes** هي بعض أكاسيد المعادن تترا من تكثف أبخرتها نتيجة العمليات الكيميائية والصناعية .
- **الدخان Smoke** عبارة عن جسيمات معلقة تترا نتيجة عملية الاحتراق Combustion هذه الجسيمات عادة كربون وقد تحتوي على جسيمات أخرى .
- **الرذاذ Mist** . عبارة عن شنت جسيمات السوائل نتيجة ارتطامها بالأسطح .
- **الضباب Fogs** . عبارة عن الرذاذ Mist الناتج عن العمليات والظواهر الصناعية والمترولوجية .

5- **الأتربة Dusts**. عبارة عن جسيمات صلبة تتشاً أما نتيجة الرياح أو بسبب العمليات التي يقوم بها الإنسان مثل التجريف والطحن وتكسير الصخور أو التأكل .

6- **الأبخرة والغازات Vapor & Gases**. الأبخرة والغازات المتواجدة في الهواء. يمكن التخلص من الأخيرة بالتجريد في درجة حرارة أقل من نقطة التذى بينما لا يمكن ذلك مع الغازات .

7- **الجسيمات العضوية Organic particles**. أشهر الجسيمات العضوية هي البكتيريا حبوب اللقاح Pollen والفطريات Fungi والفيروسات Viruses

8- **الأيروسولات Aerosols** عبارة عن رذاذ غير متماسك ل قطرات من السوائل أو مواد صلبة بواسطة غاز .

وفيما يلي نعطي تصور عن حجم الملوثات المتواجدة في الهواء مقدرة بالميكرون μm حيث: $1 \mu m = 10^3 nm = 10^{-6} m$

Human hair	$40-300 \mu m$	شعر الإنسان
Oil Smoke	$0.03-1.0 \mu m$	دخان الزيت
Fertilizer	$10-1000 \mu m$	الأسمدة
Tobacco smoke	$0.01-1 \mu m$	دخان السجائر
Coal dust	$1-100 \mu m$	أتربة الفحم
Beach sand	$100-2000 \mu m$	الرمل
Plant spores	$10-30 \mu m$	حلية نباتية
Pollen	$10-1000 \mu m$	حبوب اللقاح
Typical atmospheric duct	$0.001 \text{ to } 30 \mu m$	الأتربة
Bacteria	$0.2 - 5 \mu m$	البكتيريا
Fungi	$1-20 \mu m$	الفطريات
Viruses	$1 \mu m$	الفيروسات

باستعراض الملوثات المختلفة فإن الهواء النقي يعمل على :

- حماية صحة الإنسان وتوفير الراحة له حيث أن وجود الأتربة قد يؤدي إلى إصابة الإنسان ببعض الأمراض الصدرية مثل الربو والسل والحساسية .
- المحافظة على نظافة المكان والأثاث بصورة مناسبة .
- المحافظة على المعدات حيث أن بعض المعدات لا تعمل بصورة جيدة في ظروف هواء غير نقى مثل لذلك أجهزة الحاسوب الآلي كما ان الهواء الغير نقى قد يؤدي إلى نقص العمر الافتراضي للمعدات .
- المحافظة على معدات أجهزة التكييف . حيث أن ترسب الأتربة على أسطح ملفات التبريد والتسمخين يؤدي إلى زيادة المقاومة الحرارية لهذه الملفات وبالتالي التأثير سلبا على كفاءة انتقال الحرارة هذا من ناحية . ومن ناحية أخرى يزيد من فقد الضغط خلال سريان الهواء وبالتالي اختلال اتزان خصائص المروحة - ونظام المعلمك .

14.2 Air-Cleaning Methods

14.2 طرق تنقية الهواء

يتم تنقية الهواء بواسطة معدات تسمى المرشحات (Filters). تقوم الفلتر بتجميع الملوثات بواسطة إحدى الطرق الآتية :-

- الارتطام Impingement** أو تصدام القصور الذاتي (Inertial impaction) كما هو مبين في (Fig 14.1a) حيث يقوم تيار الهواء بتنغير اتجاهه خلال انسجة المرشح أما الجسيمات الصالبة Particles وهي الأنفلون ترتطم بنسيج الفلتر وتتعلق به نتيجة وجود طبقة لزجة على نسيج الفلتر . هذه الطريقة تعطي نتائج جيدة عند احتجاج جسيمات كبيرة نوعا . وقد تحتاج الجسيمات إلى قوة قصور ذاتي أكبر للمرور والأخرية تزداد إذا زادت سرعة الهواء أو زيادة حجم الجسيمات في أقطار النسيج الصغيرة .
- الاحتجاج Straining** (Fig 14.1 b) الجسيمات ذات الحجم الكبير تحتجز عند مرورها في مرشح حيث الماءة بين طبقتين متلاجرتين من طبقات النسيج صغيرة نسبيا فيتم حجز هذه الجسيمات على نسيج المرشح (الفلتر) .
- الترسيب الكهروستاتيكي Electrostatic Precipitation** (Fig 14.1c) ستستخدم هذه الطريقة في المرشحات الإلكترونية حيث يتم تأمين الجسيمات عند مرورها خلال مجال كهربائي

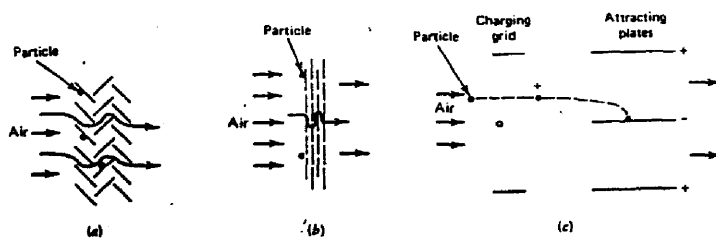


Figure 14.1 Method of air-cleaning (a) Impingement, (b) Straining, (c): electrostatics perception.

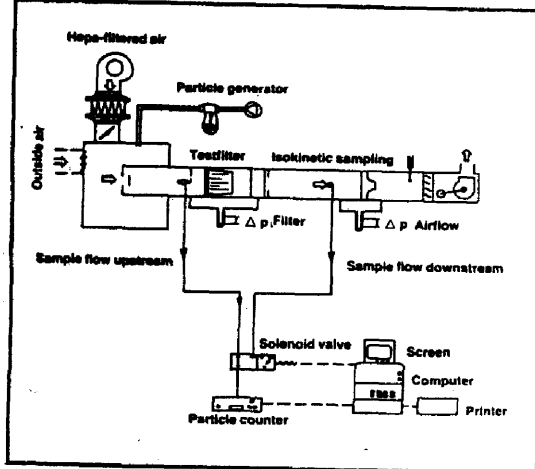


Figure 14.2 ASHRAE standard test rig.

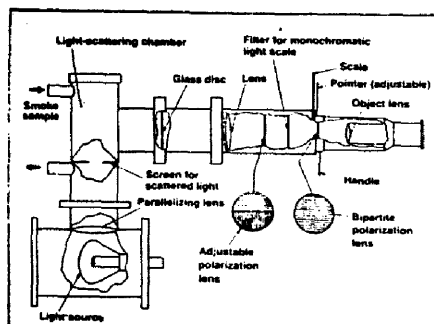


Figure 14.3 DOP test using light scattering technique.

حيث يتم شحن الألواح الجانبية بشحنة مخالفة للأولى . ونتيجة اختلاف القطبية تتجاذب الجسيمات على الألواح الجانبية Collector Plates . الفلاتر تستطيع التخلص من الجسيمات العالقة بتيار الهواء بطريقة أو أكثر من الطرق السابقة .

14.3 طرق اختبار المرشحات 14.3 Methods of testing Filters

لتقييم أداء المرشحات من أجل الاختبار المناسب للمرشحات اعتمدت جمعية الأشرى الأمريكية ASHRAE في 1986 ثمان طرق لاختبار المرشحات منشراً أربعة منها وهي :

1- اختبار الكبح بالوزن Weight arrestance test في هذا الاختبار يتم قياس وزن الأتربة المحتجزة بالمرشح ويتم مقارنته بالوزن والحجم القياسي للأتربة . هذا الاختبار يساعد في مقارنة قدرة المرشح في احتجاج الأحجام الكبيرة .

2- عدم تكون البقع Dust spot discoloration في هذه الطريقة يتم أمراء الهواء من خلال المرشح ثم أمراءه في وجود فلتر مصنوع من ورق أبيض . درجة عدم تكون البقع على فلتر الورق الأبيض يدل على كمية الجسيمات الصغيرة التي لم يتم حجزها بالمرشح . أهمية هذا الاختبار تبين مدى اتساخ سطح الغرف بواسطة هذه الجسيمات .

هذا الاختبار أفضل من الطريقة السابقة حيث يضمن عمل الفلتر على عدم اتساخ الغرف بالأتربة . يبين Fig14.2 كيفية أجراء اختبارات المرشحات بطريقة الأشرى ASHRAE .

3- اختبار الأنخنة DOP smoke Test هذا الاختبار هو الأكثر دقة للمرشحات التي تقوم بحجز الجسيمات المتباينة في الصغر . في هذا الاختبار فإنه يتم إدخال سحابة من الأنخنة ذات جسيمات متساوية الحجم (m) μ 0.3 من مادة (DOP Di-Octyl Phthalate) اختصاراً (DOP) في غرفة الاختبار Fig14.3 مع تيار هواء خلال المرشح . ثم تفاص كثافة تركيز الجسيمات التي لم تحتجز بواسطة آلية الضوء المشتت Light scattering technique .

DOP عبارة عن مادة عضوية اسمها التجاري Flexol ضغط ابخرتها عند درجة حرارة الجو منخفض للغاية وهذا يعطى أيروسولاً مستقرًا عندما تتكشف ومتناسكة عند درجات الحرارة العالية وليس لها لون ولا رائحة وغير سامة ولديها ممكبة للصدأ ورخيصة الثمن . بهذه الطريقة يتم اختبار قدرة المرشح في التخلص من الجسيمات المتباينة في الصغر . كمثال أنخنة السجائر التي يتراوح حجمها بين (m) μ 0.01-1 و البكتيريا التي يتراوح حجمها (m) μ 30-300 .

4- قدرة الاحتفاظ بالأتربة **Duct holding capacity** الثلاث طرق السابقة لاختبار المرشحات ركزت على اختبار كفاءة المرشح لاحتجاز الملوثات ولم تتناول أثر ذلك على زيادة مقاومة المصاحبة لترانكم الأتربة وغيرها. ولهذا فإن المرشح الذي يستطيع أن ياحتجز كمية كبيرة من الأتربة دون زيادة فجائية كبيرة في المقاومة يمكن تفصيله على الذي ياحتجز كمية صغيرة من الأتربة مع الوصيول لنفس مقاومة الأول، لذلك فإنه في هذه الطريقة يتم مقارنة وزن الأتربة المتجمعة مع الزيادة في مقاومة الهواء خلال مروره خلال المرشح.

14.4 Types of Filters

14.4 أنواع المرشحات

يمكن تقسيم المرشحات تأسيساً إلى عدد في العوامل

أولاً : طبقاً لنوع الوسط **Media** تقسم المرشحات إلى :

1- مرشحات لزجة **Viscous filters**. يتكون المرشح من نسيج ألياف الصوف الزجاجي أو من شبكة معدنية تتكون من الحبيبات الخشنة ومشبعة بمادة لزجة. هذا النسيج يوضع داخل إطار معدني Fig14.4. هذا الفلتر كفائه حوالي 10% ويستطيع اصطدام الحبيبات الكبيرة نوعاً ما ويعتبر غير مناسباً في حالة الحبيبات الصغيرة. مقاومة الضغط عندما يكون نظيفاً ($\Delta P = 0.1 \text{ in wg} = 25 \text{ Pa}$) و مقاومة الضغط عندما يكون متضاخاً ($\Delta P = 0.5 \text{ in wg} = 125 \text{ Pa}$). في هذه الحالة يتم تغييره.

* هناك نوع آخر من المرشحات اللزجة **Washable viscous filters** مبين في Fig14.5 وهو مصنوع من شبک معدنى مجذل مع بعضه ومغطى بطبقة لزجة. هذا المرشح يمكن تنظيفه بواسطة بخار الماء أو الماء الساخن، وبعد غسله يغطى بالطبقة اللزجة مرة أخرى. مقاومة الضغط الابتدائية $\Delta P = 25 \text{ Pa}$ أما كفائه فهي أقل من الفلتر السابق المبين في Fig 14.4.

2- مرشحات جافة **Dry filters**. في هذه المرشحات لا تستخدم الزيت أو أي مادة لزجة وإنما يعتمد عمل هذه المرشحات على المسافات الضيقية بين الطبقات لاصطدام الملوثات. ففي Fig14.6 مرشح غير قابل أيضاً للتنظيف وهو مصنوع من نسيج الصوف الزجاجي وبعمق يتراوح من cm (22-37). كفاءة هذا المرشح تصل إلى 95% طبقاً لاختبار الوزن (الطريقة الأولى)، (30-35)% للاختبار الثاني، (20-15)% طبقاً لاختبار DOP. مقاومة الضغط عند سمك 22cm هي $\Delta P = 37.5 \text{ Pa}$.

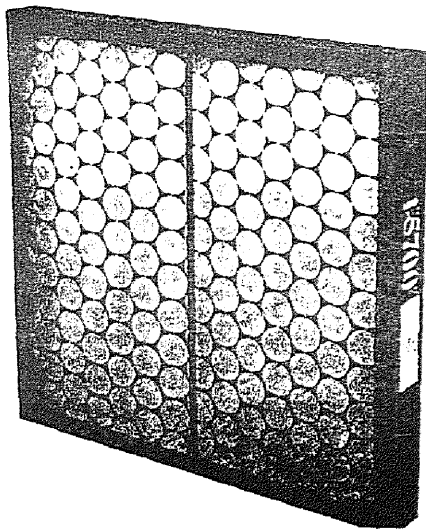


Figure 14.4 Low efficiency viscous
disposable filter

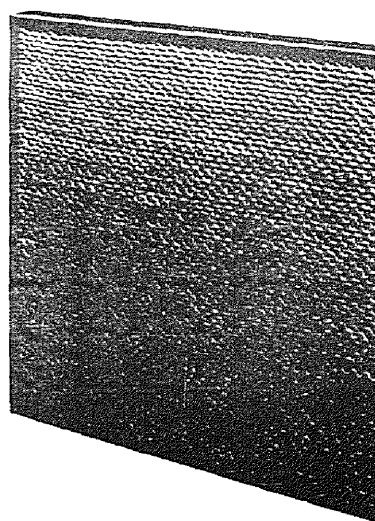


Figure 14.5 Washable visco
filter

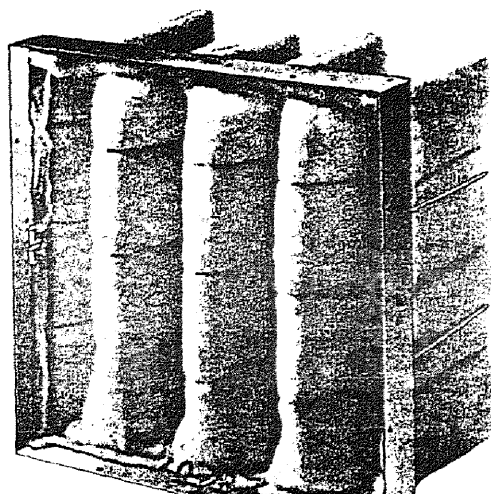


Figure 14.6 30% Dust spot efficiency
dry disposable filter.

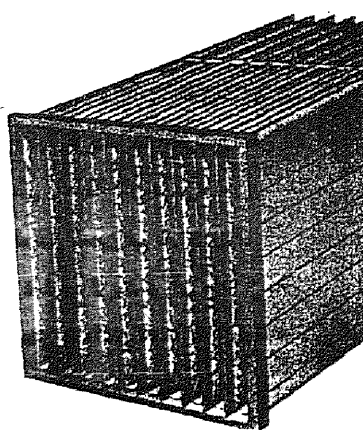


Figure 14.7 45% Dust spot efficiency
Dry disposable filter

$$\Delta P = 75 \text{ Pa} \text{ هي } 37\text{cm}$$

* طراز آخر من المرشحات الجافة مبين في Fig14.7 حيث العمق أكبر من سابقة ويتراوح بين 56- 93)cm مما يسمح بمرور كمية هواء أكبر وتنوقف الكفاءة على كثافة النسيج حيث تتراوح بين 85%-96% طبقاً لاختبار استحالة تلوّن البقع وتتراوح بين 20-150 Pa طبقاً لاختبار DOP. مقاومة الضغط لهذا الطراز تتراوح بين (37.5 - 150) Pa طبقاً لوسط النسيج وعمق المرشح- هذا النوع غير قابل للغسل.

* طراز آخر من المرشحات الجافة مبين في Fig14.8 هذا الفلتر مصنوع من نسيج الاسبستوس High Efficiency Particulate Air واختصاراً HEPA وفي بعض الأحيان الفلتر المطلق Absolute Filter وذلك لمقدرةه الفائقة على حجز الجسيمات المتباينة في الصغر وقد تم تطويره لصالح الجيش الأمريكي خلال الحرب العالمية الثانية وكفاءته تتراوح بين 99-100% طبقاً لاختبار DOP. ويعتبر الفلتر الوحيد القادر على احتجاج الفيروسات الصغيرة الذي يصل قطرها إلى 0.05 μm ومن مميزاته أن سرعة الهواء قد لا تتعدي 0.25m/s ويستطيع العمل حتى مقاومة ضغط حتى $\Delta P = 500\text{Pa}$. هذه المميزات تجعله من أغلى المرشحات ثمناً.

ثانياً : المرشحات الثابتة والمتتجدة Stationary & renewable filters

- المرشحات الثابتة تصنع في شكل ألواح مستطيلة Fig14.9 متراصة كل خلف الأخرى ومتثبّتة مع بعضها البعض. عند اتساخ هذه الألواح فإنها تسحب أنها للتنظيف أو الاستبدال بأخرى كما هو مبين بالنسبة للمرشحات المطوية Pleated filters Fig 14.10 عن كيفية إعادة تركيب نسيج المرشح بطريقة يدوية من رول لهذا النسيج المصنوع من ورق السيليلوز. كفاءة هذا النوع من المرشحات تقدر بـ(94%) مقدرة الوزن 52%، بطريقة عدم تلوّن البقع بالغبار، هذا وتقدر مقاومة الضغط الأولية بـ $\Delta P = 25\text{Pa}$.

- مرشحات متتجدة في شكل رول Roll Filters هذا النوع من المرشحات يعرف باسم المرشح السرول وهو عبارة عن نسيج ملفوف على بكر مجوف ويوضع عمودياً في اتجاه السريان Fig14.11. هذا النسيج يتم تحريكه بواسطة موتور يتحكم في دورانه حساس.

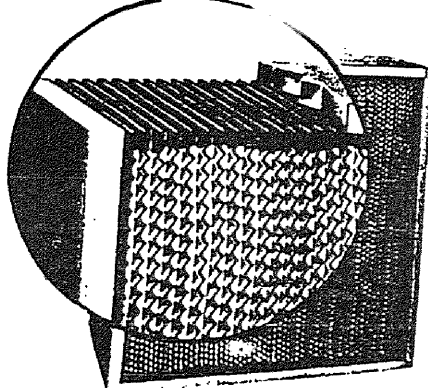


Figure 14.8 Absolute or (HEPA) filter

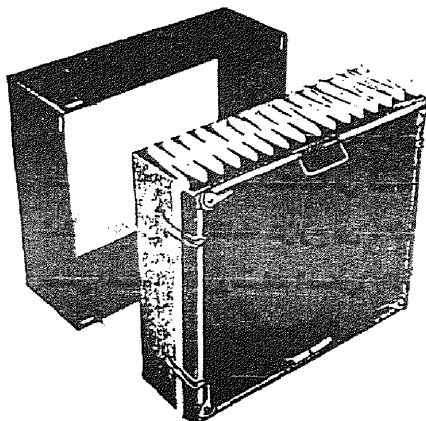


Figure 14.9 Pleated renewable filter

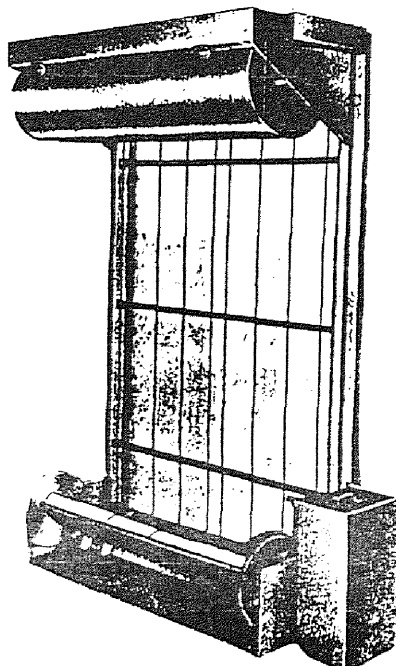


Figure 14.11 Roll renewable filter

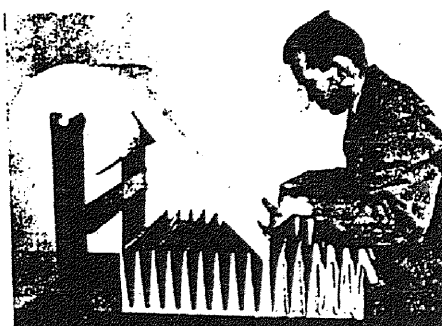


Figure 14.10 Manual replacement of filter media in pleated renewable filter

هذا الحساس يتأثر بزيادة الضغط نتيجة اتساخه بمرور الهواء. عند زيادة الضغط يعطي إشارة للموتور فتتحرك ستارة المرشح حتى تتقابل مساحة نظيفة مع اتجاه السريان يشعر معها الحساس بانخفاض الضغط فيتوقف المحرك. نسيج ستارة المرشح مصنوع أاما من القماش أو من شبك معدني. كفاءة هذا المرشح 80% بطريقه الوزن، 20% بطريقه عدم تلون البقع بالغبار. مقاومة الضغط الأولية تصل إلى $\Delta P = 25\text{Pa}$ من الملاحظ أن المرشحات المتتجدة Renewable Filter غالية الثمن ولكن في المقابل تكاليف الصيانة لها منخفضة.

ثالثاً : المرشحات الألكترونية Electronic Filters

فى هذه المرشحات Fig 14.12 لا يستخدم نسيج لاصطياد التراب وإنما تقوم فكرة عمل هذه المرشحات على إعطاء ذرات التراب شحنة ذات جهد عالي بواسطة مرകم كهربى. هذه الجسيمات تمر على مجموعة من الألواح المتوازية عليها شحنة مخالفة للأولى والذى من نتيجته أن تجذب ذرات الغبار على هذه الألواح Fig14.13 هذه الألواح قد تغطى بطريقه لزجة للأحتفاظ بالغبار عليها تمديا لتنظيفها بعد فترة من الزمن. يمكن تنظيف هذا المرشح إليها أو يدويا بواسطة محلول ساخن مزيل للأوساخ Hot detergent solution بعدها تغطى الألواح بالطبقة اللازجة. كفاءة هذا المرشح تتراوح بين % (85-95) بطريقه عدم تلون البقع وأن مقاومة الضغط الأولية $\Delta P = 50\text{Pa}$. من الملاحظ أن هذه المقاومة لا تتغير مع الزمن وذلك للتخلص من الأتربة باستظام. فى بعض الحالات يمكن استخدام فلتر متقدم Pre-filter مع الفلتر الألكترونى الإلكتروني لاصطياد الجسيمات الصغيرة. حيث يتم استخدام مرشح ذو كفاءة منخفضة كالملبن فى Fig14.12 . حيث يتم استخدام مرشح ذو كفاءة منخفضة كالملبن فى مع الفلتر الإلكتروني بحيث يعمل الأول كمخزن Agglomerator للجسيمات الكبيرة بينما يعمل المرشح الإلكتروني لاصطياد الجسيمات الصغيرة. بهذه الطريقة تتحسن كفاءة المرشح ويطول عمره الافتراضى.

رابعاً : مرشحات الكربون النشط Activated Carbon Filters مرشحات الكربون النشط تقتضى الغازات والروائح الكريهة من المكان المراد تكييفه وكذلك من هواء الراحى. هذه الغازات والروائح ليست فقط تؤثر على صحة الإنسان ولكن أيضا تلوث البيئة.

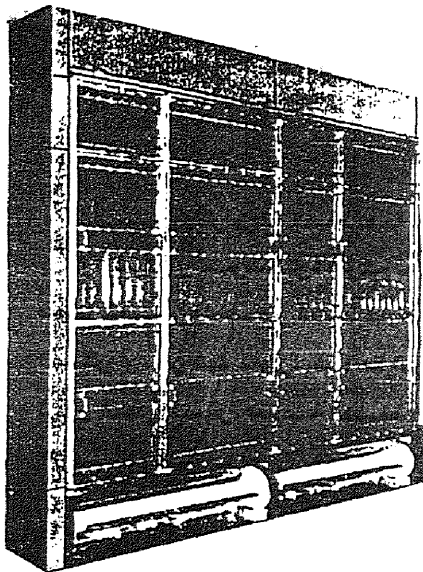


Figure 14.12 Electronic air filter

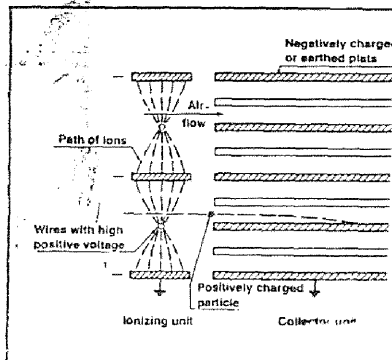


Figure 14.13 Working principle electronic

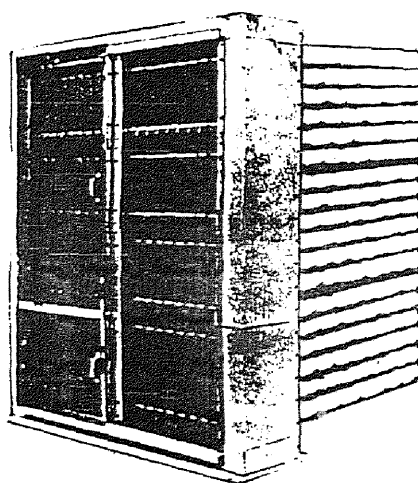


Figure 14.14 Electronic filter with agglomerator.

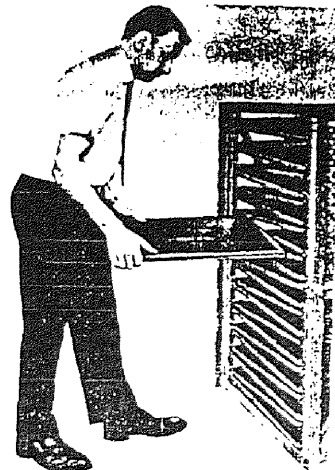


Figure 14.15 Activated carbon

ويتكون المرشح من إطار مصنوع من لوح من الصاج المجلن حيث يوضع داخله رف على شكل حرف (V) يحوى ما يشبه الحصيرة مملأة بالكربون النشط Activated carbon. عند توقف نشاط الكربون تسحب هذه الحصيرة وتوضع حصيرة أخرى بها كربون نشط جديد، هذه الحصيرة مصنعة من ألياف صناعية بشكل جيد بحيث لا تسمح لحبوب الكربون من الفاذ للخارج مع تيار الهواء. بعض أشكال المرشحات الأخرى مبين في Fig 14.16

14.5 Filter Selection

14.5 اختيار المرشح

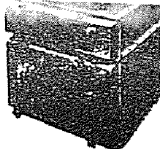
يعتمد اختيار المرشح المناسب على درجة تلوث الهواء الذي يجب تنظيفه ودرجة النقاوة المطلوبة. ويعتمد كذلك على كل من الكلفة الابتدائية وكلفة التشغيل.

- بالنسبة للتربينات التي لا تتطلب درجة عالية من النقاوة وبتكلفة أقل ما يمكن فإن المرشحات اللزجة الرخيصة تكون مرشحة بقوه لذلك الغرض.
- أماكن الإعاشة التي تتطلب درجة أكبر من نقاوة الهواء بحيث حجم الأتربة قد يكون كبيراً فإن المرشحات الحاجة قد تكون انساب الأنواع.
- الفلتر الإلكتروني يمكن استخدامه بنجاح في الأماكن ذات الهواء الذي يحتوى على نسبة كبيرة من الأدخنة - كما يمكن استخدامه مع فلتر متقدم Pre-filter لزيادة الفعالية. في البيانى التجاريه والإدارية الكبيرة.
- للتخلص من الغازات والروائح النفاذة يفضل استخدام فلتر الكربون النشط. هذه الأنواع تستخدم في المطاعم الكبرى. وبالنسبة للاعتبارات الاقتصادية فقد قامت إحدى الشركات الأمريكية بدراسة مقارنة اقتصادية للمرشحات المختلفة نوردها في Table 14.1

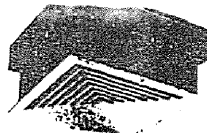
Table 14.1 Filter Cost Comparison

Filter Type	Efficiency		Months between service periods	Hours of service per YR	First Cost Dollars	Yearly Costs			Cost per 1% Dust Spot Eff. Cents/ Year 1000 CFM
	Weight	Dust Spot				Replacement	Amortization	Total	
Low Efficiency Throwaway	75%	20%	2	15	285.00	282.50	101.25	29.36	383.10
Washable	73%	18%	3	26 2/3	518.50	7.25	1K.00	53.40	240.65
Renewal Roll Type	82%	25%	12	1	967.00	106.00	6.75	99.60	212.35
Electronic	*	90%	1/2	26	4825.00	370.50	175.50	496.97	1042.97
High Efficiency Throwaway	*	83%	13	2 1/2	754.50	563.50	16.85	77.71	658.06
Electronic Plus	*	97%	6	3 1/2	3755.00	279.00	23.60	386.76	689.36
High Efficiency									24

FKS, FKVS



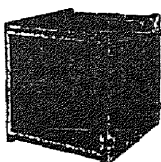
FKOP, FWOP



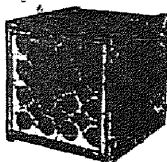
FKS is a filter housing used for ABSOLUTE. In FKVS there is also room for a pre-filter.

FKOP is a housing made for ABSOLUTE or MICRETAIN with diffusor. FWOP is made for mounting in walls.

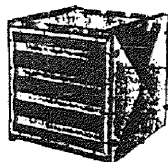
FC-A



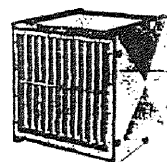
FC-CC



FC-CCX



FC-HF



is a filter housing used for AIROPAC, MICRETAIN or ABSOLUTE. It is made of galvanized sheet metal.

is a filter housing used for CAMCARB. It is made of galvanized sheet metal.

is a filter housing used for CAMCARBEX. It is made of galvanized sheet metal.

is a filter housing used for HF-filters, 3P-, 3R-, 3M-, 3D-, HF-4 and HF-36. It is made of galvanized metal.

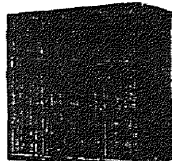
CAMCARB



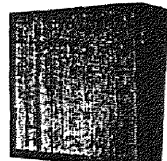
CAMCARBEX



TRIPLE FILTER



COMBINATION FILTE



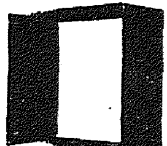
is an activated carbon filter consisting of a filter frame of galvanized sheet metal and replacement cylinders filled with activated carbon. No. of sizes 6.

is an activated carbon filter consisting of a filter frame of galvanized sheet metal, V-shaped wire racks and replacement mats filled with activated carbon.

TC1-250 is constructed for the removal of elementary iodine in nuclear power stations. The filter consists of 1) pre-filter part of MICRETAIN medium, 2) adsorption part of activated carbon, 3) C1-450, final-filter with activated carbon and ABSOLUTE medium.

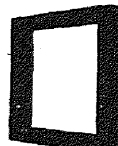
for removal of elementary iodine in nuclear power stations. It consists of: 1) TC-450 pre-filter of TAIN medium and activated carbon, 2) C1-450, final-filter with activated carbon and ABSOLUTE medium.

4N-FRAME



is a permanent holding frame for ABSOLUTE or MICRETAIN.

FRAME



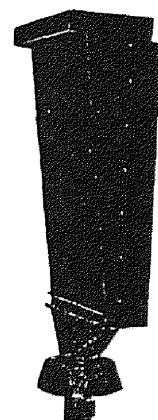
RZA is a permanent mounting frame to be built in into stone walls. It is made for AIROSOLVE, HI-FLO and SANDTRAP. No. of sizes, 6.

MOUNTING LIST



MZA is a mounting list, made for the holding frames of AIROSOLVE and HI-FLO by mounting at the RZA frame. No. of sizes, 3.

SANDTRAP



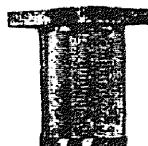
FRAME



FRAME



CAMHOOD



4 SPXM, 4 TOYN and 4 URZO are holding frames made for HI-FLO and AIROPAC.

4J-2000, 4J/2-2000 and 4H-1000 are holding frames made for AIROSOLVE.

is a grease filter, produced in stainless steel, consisting of mounting plate, replacement filter cell and drainbowl.

is an internal separator, located at the air inlet of air systems in areas with concentrations. No. of sizes 3.

Figure 14.16 Example of various filter casings.

General

مقدمة

من شروط توفير ظروف الراحة هي الإمداد بهواء نظيف ذي ظروف حرارية معينة وكمية تفي بالغرض وبدون إزعاج.

وحيث أن الأزعاج قد تم تصنيفه أخيراً كمصدر من مصادر التلوث البيئي فإنه يؤثر على الأجهزة الحسية للإنسان مما يقلل من إنتاجيته ويعرضه للأمراض، لذلك فإن فهم ودراسة الضوضاء ومصادرها وطرق التحكم فيها لمهندسي تكييف الهواء تحمل أهمية خاصة حيث أن أنظمة تكييف الهواء يمكن اعتبارها مصدراً من مصادر الضوضاء في البيئة.

ومن الملاحظ أيضاً أن ارتباط أنظمة تكييف الهواء بالضوضاء ليست لكونها مصدر من مصادر الضوضاء ولكن لأن ذلك مرتبط بانتقال الضوضاء من خلال المكاتب، الموانئ من غرفة إلى أخرى. لذلك من المهم البحث عن كيفية التحكم في الضوضاء في المباني من خلال التصميم الجيد بوضع أجهزة التكيف في المكان المناسب وكذلك من خلال استعمال معدات تخفيف الضوضاء بحيث يشعر شاغلو المكان بأقل قدر من الضوضاء.

15.1 خلفية بسيطة عن نظرية الصوت

15.1 Brief Background on Sound Theory

الموجة الصوتية Sonic wave تتكون من نبضات سريعة لضغط الهواء. وحيث أن مصدر الصوت Sound generator له سطح اهتزاز والذي يقوم بعملية ضبط وتعدد لطبقات الهواء الملائمة والتي تتحرك في شكل موجات Compression and expansion Waves خلال الهواء بسرعة تسمى سرعة الصوت حتى تصل إلى المستقبل ول يكن إذن الإنسان.

إذا افترضنا طول الموجة الصوتية (m ، λ) وسرعة الصوت ($C = 344, \text{m/s}$ at $22, \text{C}^\circ$) فان التردد Frequency (f) الذى يقاس بالهيرتز Hz يمكن التعبير عنه بالمعادلة:

$$f = C / \lambda \quad (15.1)$$

مما هو جدير بالذكر أن طول الموجة الصوتية λ للمجال المسموع هى 0.5cm عند تردد مقداره 10kHz وتصل إلى عدة مترات عند الترددات المنخفضة.

15.1.1 Standing wave of sound

إذا تصورنا وضع عاكس للصوت فى أنبوبة كما هو مبين في Fig15.1 بحيث تكون المسافة بين عاكس الصوت Sound reflector ومصدر الصوت مساوية لطول الموجة يقال أن الموجة مستقرة سوف يكون توزيع الضغط عند أي مسافة x ، زمن t من المصدر إلى العاكس كالتالى

$$P(x,t) = P \cos k(x - ct) \quad (15.2)$$

حيث P هي أعلى قيمة للضغط

$$\text{ثابت يساوى } K = 2\pi/\lambda$$

وضغط الصوت المنعكس من العاكس إلى المصدر هو

$$P(x, t) = P \cos k(x + ct) \quad (15.3)$$

يمكن تقدير ضغط المجال الصوتي Acoustic field pressure بجمع المعادلين (15.2) و (15.3) كما يلى :

$$P(x,t) = PCOS k(x - ct) + P COS k(x + ct) \quad (15.4)$$

$$= PCOS kx \cdot COS 2\pi ft \quad (15.5)$$

المعادلة (15.5) تمثل معادلة ضغط الموجة المستقرة. بدراسة المعادلة (15.5) يتبيّن الآتى : عند ($x = 0$) من المصدر نجد أن :

$$P(0,t) = 2PCOS 2\pi ft$$

ويتغير الضغط من $-2P$ إلى $2P$ مع الزمن . هذا أيضا يحدث عند :

$$\text{وهكذا } 3\lambda/2, \lambda, x = \lambda/2$$

عند $x = \lambda/4$ من المصدر فإن الضغط يساوى:

$$P(\lambda/4, t) = 2 PCOS(k, \lambda/4) COS 2\pi ft$$

$$= 2P \cos \frac{\pi}{2} \cdot \cos \pi ft \quad (15.7)$$

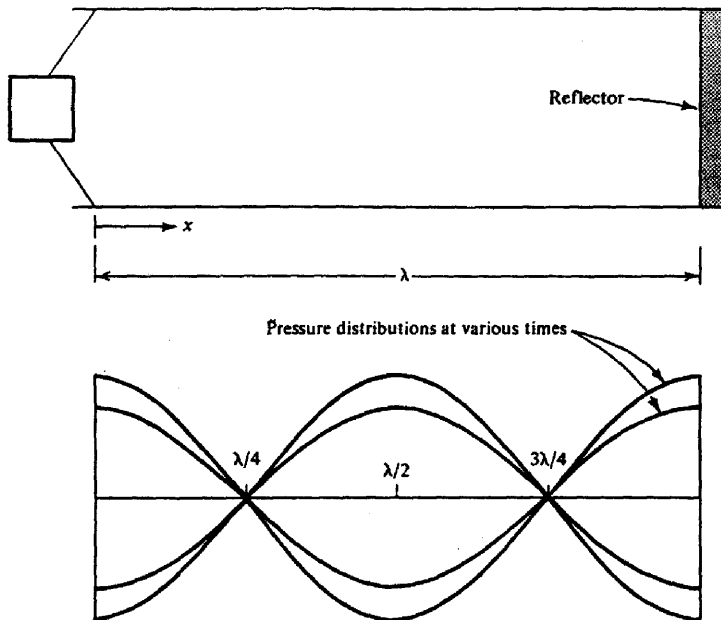


Figure 15.1 Standing waves

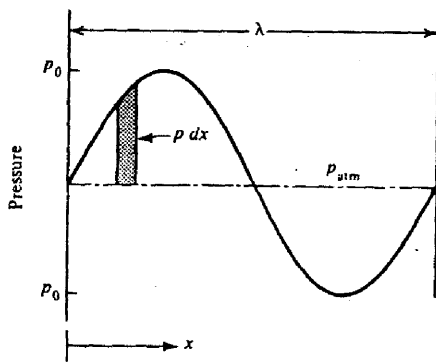


Figure 15.2 Energy in wave

قيمة هذا الضغط تساوى دائما صفراء بصرف النظر عن الزمن (t) الموجة المستقر Standing waves يمكن أن تحدث في الغرفة وبالخصوص عند وجود سطح عاكس مرتفع عندما يكون هناك طنين Tone واضح كما يمكن التعرف على الموجة الصوتية بالاذن وذلك بلاحظ التغير في كثافة الصوت Sound Intensity وذلك بالتحرك من مكان لآخر. الموجة الصوتية المستقرة تحدث أيضا عند وجود سطح عاكس للصوت يبعد عن مصدره بطول موجة صوتية أو مضاعفاتها.

15.1.2 طاقة الموجة الصوتية

الموجة الصوتية المبينة في Fig15.2 تمتلك طاقة E مستمدة من مصدرين الأول نتيجة تبديد الضغط من ضغط الأتزان إلى الضغط الجوى وتساوي $\frac{1}{2} \rho dV$ على طول الموجة. والثانى نتيجة حركة جزيئات الهواء بسرعة u, وهي تساوى $\rho u^2/2$. مجموع الطاقتين يعطى طاقة الموجة E .

$$E = \int_0^A P \cdot \rho dA dx + \int_0^A \frac{u^2}{2} \rho A dx \quad (15.8)$$

نتيجة التكامل نعطي

$$= \frac{AP_0^2}{2c\rho f} \quad (15.9)$$

من ذلك نجد أن الطاقة تناسب طرديا مع مربع قيمة الضغط

15.2 Sound Intensity

15.2 شدة الصوت

شدة الصوت I هي عبارة عن قدرة الصوت لوحدة مساحة الجبهة الموجية Wave front . إذا كانت في شكل كرة نصف قطرها (r) فإن كثافة الصوت I :

$$I = E/4 \pi r^2 , \text{ W/m}^2 \quad (15.10)$$

وإذا أخذنا في الاعتبار معادلة (15.9) فإن I يمكن وضعها كدالة من الضغط أى أن:

$$I = E/A \cdot \rho = \frac{(AP_0^2 / 2 \rho c f) f}{A} = \frac{P_0^2}{2 \rho c} , \text{ W/m}^2 \quad (15.11)$$

أهمية المعادلة (15.11) تتمثل في أن مصدر الصوت يقاس بالقدرة التي يولدها. هذه القدرة لا يمكن قياسها مباشرة ولكن مصدر الصوت يتسبب في حدوث ضغط الموجات الصوتية في الهواء المحيط والذي يمكن قياسه. أما المعادلة (15.10) فإنها تربط بين شدة الصوت وقدرته. حيث أن الموجة الصوتية تتبع قانون SIN فإن متوسط الجذر التربيعي للضغط اختصاراً يساوي $\sqrt{2}$ (Po / ρ) فإن المعادلة (15.11) تصبح

$$I = \frac{P_{rms}}{\rho c} \quad (15.12)$$

عبارة عن مقاومة الوسط للهواء عند درجة حرارة $t = 22^\circ C$ وضغط مداره

$$\rho C = 406 \text{ Ns/m}^2 \quad 101.325 \text{ kPa}$$

Example 15.1

The peak sound pressure in a spherical wave measured 2m from the source, is 2Pa. Determine the root mean square pressure, sound intensity and sound power.

$$P = 2 \text{ Pa} \quad , \quad \rho C = 406 \text{ Ns/m}^2 \quad , \quad r = 2 \text{ m}$$

$$P_{(rms)} = P_0 / \sqrt{2} = 2 / \sqrt{2} = 1.44 \quad , \quad \text{Pa.}$$

$$I = \frac{P_{(rms)}}{\rho c} = \frac{1.414}{406} = 3483.10^{-3} \text{ W/m}^2$$

$$E = A \cdot I = 4 \pi r^2 \cdot I \\ = 4 \times 3.14 \times 4 \times 3.483.10^{-3} = 0.175 \text{ W}$$

15.3 Sound Power Level

15.3 مستوى قدرة الصوت

يمكن التعبير عن القدرة المنبعثة من مصدر صوتي ما بالوات كما يمكن التعبير عن مستوى قدرة الصوت PWL بالديسيبل dB.

$$PWL = 10 \log \frac{E}{E_0} \text{ dB} \quad (15.13)$$

حيث أن وحدة المقدار (log E/E₀) هي البيل Bel وبنطربها في معامل مقداره 10 تتحول إلى الدسيبل dB وكذلك تستخدم هذه الوحدة في التعبير عن مستوى قدرة الضغط E القراءة المنبعثة من مصدر الصوت (W).

E₀ القراءة القياسية (المرجعية) Reference وهي تساوى W 10⁻¹²

Example 15.2

Calculate the sound power level of :

- a) a whisper that emits a power of 1nW.
- b) a rocket engine that emits 10 MW.

$$a : PWL = 10 \cdot \log \frac{10^{-9}}{10^{-12}} = 30, \text{dB.}$$

$$b : PWL = 10 \log \frac{10^7}{10^{-12}} = 190, \text{dB.}$$

15.4 مستويات شدة وضغط الصوت

15.4 Intensity and Pressure Levels Sound

مستوى شدة الصوت IL يعين بالمعادلة

$$IL = 10 \log \frac{I}{I_0}, \text{dB} \quad (15.14)$$

حيث I شدة الصوت القياسية (المرجعية) Reference وهي تساوى 10⁻¹² W/m²

مستوى ضغط الصوت SPL يعين بالمعادلة

$$SPL = 20 \log \frac{P^2}{P_{0^2}}, \text{dB} \quad (15.15)$$

حيث P₀ الضغط القياسي (المرجعى) Reference ويساوى 2.10⁻⁵ Pa

Example 15.3

Determine the sound pressure at a distance of (a) 2m (b) 4m from the source mentioned in example 15.1.

$$p = 2 \text{ Pa} \quad \& \quad P_{(\text{rms})} = 1,414 \quad \text{عند } r = 2\text{m}$$

وحيث أن $P_0 = 2 \cdot 10^{-5} \text{ Pa}$

وبتطبيق المعادلة (15.15)

$$SPL = 20 \log \frac{P^2}{P_0^2}$$

$$SPL = 20 \log \frac{(1,414)^2}{(2 \cdot 10^{-5})^2} = 197, dB$$

$$P(\text{rms}) = 1,414 \times 4 = 0.7071, Pa$$

$$SPL = 20 \log \frac{P^2}{P_0^2}$$

$$= 20 \log \frac{(0.7071)^2}{(2 \cdot 10^{-5})^2} = 181, dB$$

عند $r = 4\text{m}$

من هذا المثال يتضح أن مضاعفة المسافة من مصدر الصوت تؤدي إلى تخفيض مستوى ضغط الصوت.

15.5 *Combination of Sound Sources*

في أغلب الأحيان تتولد الضوضاء من أكثر من مصدر للصوت يعملون في نفس الوقت. تظهر الحاجة لمعرفة محصلة تأثير هذه المصادر على المستقبل (السامع) إذا تصورنا وجود مصدرين للصوت وإذا افترضنا أن:

شدة الصوت ومستوى ضغط الصوت للمصدر الأول هي I_1 ، SPL_1
 شدة الصوت ومستوى ضغط الصوت للمصدر الثاني. I_2 ، SPL_2
 فإن شدة الصوت الكلية

$$I_{\text{total}} = I_1 + I_2 \quad (15.16)$$

مستوى ضغط الصوت الكلي

$$SPL_{\text{tot}} = SPL_1 + \Delta SPL \quad (15.17)$$

حيث ΔSPL هي عبارة عن قيمة مضافة يمكن الحصول عليها بدلالة ($SPL_1 - SPL_2$) من

.Fig 15.3

15.6 Sound Spectrum

15.6 الطيف الصوتي

أن معرفة مستوى ضغط الصوت SPL له أهمية خاصة في تحليل توزيع تردد الصوت. مثلًا قد يكون من الضروري معرفة في أي مجال تردد تحدث أكبر شدة لصوت هل في التردد المنخفض أو المتوسط أو العالى، وعلى هذا فإن تحليل الضوضاء الصادرة من ماكينة ما ومدى نسبة مساهمة هذه الماكينة من ضغط متولد منها في مستوى الضغط الصوتي الكلى SPL. إذا كان هناك ضوضاء غير مرغوبة نتيجة سربان الهواء في المسالك فإن هذه الضوضاء يمكن تخفيضها وذلك بوضع ماص للصوت له نفس تردد هذه الضوضاء.

مجال سمع أن الإنسان يتراوح من 20Hz حتى 10000Hz. هذا المجال ينقسم إلى ثمان

نطاقات للتردد Octave band تقسم إلى :

الأول	90 Hz : 45 Hz	ومركزه	63Hz
الثاني	180 : 90		125
الثالث	335 : 180		250
الرابع	710 : 335		500
الخامس	1400 : 710		1000
السادس	2800 - 1400		2000
السابع	5600 - 2800		4000
الثامن	11200 - 5600		8000

يقوم محلل نطاقات التردد القياسي Octave band analyzer بترشيح نطاقات التردد المطلوبة بحيث يكون مستوى الضغط لهذا النطاق يمكن تحديده بصورة منفصلة .

Example 15.3

Three sound sources provide equal SPL readings at a receiver when active individually. How much higher is the combined SPL when all three sources are active than when one individual source is active?

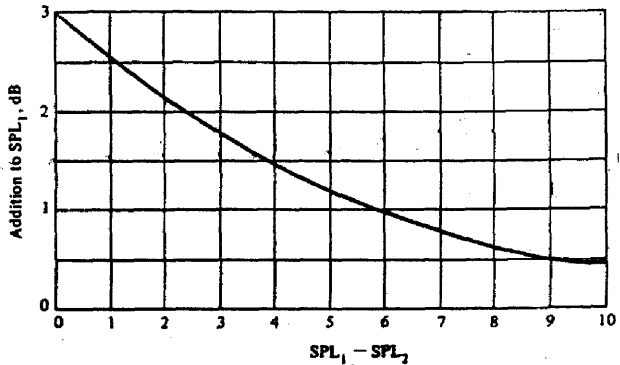


Figure 15.3 Total SPL for two sound sources

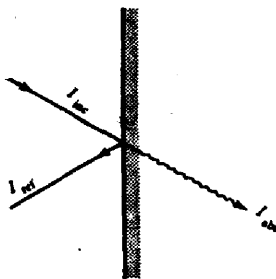


Figure 15.4 Sound absorption at surface

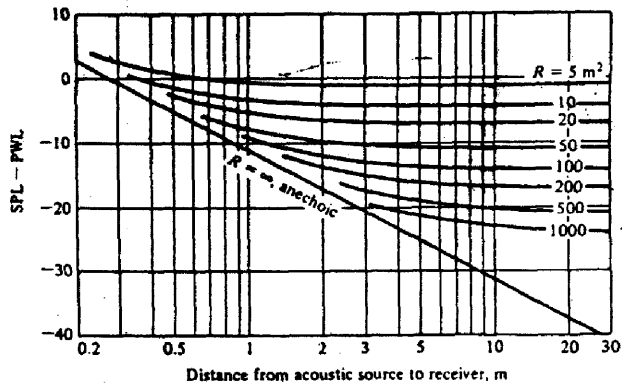


Figure 15.5 Difference between SPL and PWL for rooms of various

characteristics.

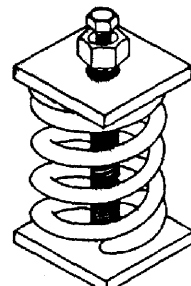


Figure 15.6 Vibration isolator

إذا عمل مصدران للصوت في وقت واحد فلن الفرق المضاف ΔSPL هو $3dB$ (حيث أن الفرق بين المصادر هو صفر انظر Fig15.3) فيكون بذلك مصدران جديدان الأول مستوى الضغط له هو (SPL_1) والثاني (SPL_2) فيكون الفرق بينهما $\Delta SPL = 3dB$ تساوى $3dB$. بالرجوع إلى Fig15.3 نجد أن عند فرق يساوى $3dB$ يتولد فرق ضغط مضاف مقداره $\Delta SPL_2 = 1.7$. فيكون محصلة مستوى ضغط الصوت هو

$$(SPL_1) + (\Delta SPL_2)$$

$$(SPL_1) + 1.7 = SPL + 4.7 dB$$

15.7 Sound Absorptivity

15.7 الامتصاص في الصوت

انتقال الصوت من المصدر إلى المستقبل ظاهرة نادرة الحدوث وخصوصا في المباني حيث تصطدم الموجة الصوتية ببعض الأسطح ينبع عنها امتصاص بعضها. البعض الآخر ينعكس كما هو مبين في Fig15.4 ومنه يتضح أن الموجة الصوتية شدتها I_{abs} تسقط على سطح ما يمتص منها جزءاً مقداره I_{abs} والجزء الآخر ينعكس عند السطح مقراضاً I_{ref} . تفاصيل مقدار السطح على امتصاص الموجة الصوتية بمعامل الامتصاص α (Absorption coefficient) ويقدر من المعادلة بالمعادلة

$$\alpha = I_{abs} / I_{ins} \quad (1518)$$

حيث I_{abs} شدة الصوت الممتص بواسطة السطح W/m^2 .

I_{ins} شدة الصوت الساقط على المسطح وتقاس W/m^2 .

معامل امتصاص الصوت (α) تتراوح قيمته للأسطح الخرسانية من 0.01 إلى 0.05 وللأسطح الماصة للصوت من 0.2 إلى 0.8 وما هو جدير بالذكر أن قيمة معامل الامتصاص الصوتي تزداد بزيادة التردد حيث أن الترددات المنخفضة يصعب امتصاصها. كما يزداد هذا المعامل بزداد للاسطح الماصة للصوت إلى إذا وضع بينها وبين الحائط مسافة ما. تفسير ذلك هو أن مادة الأسطح (Material) الماصة للصوت تعمل على تحويل حركة الهواء إلى حرارة نتيجة الاحتكاك. حركة الهواء الملائق للحائط صغيرة وتزيد كلما بعده عن الحائط وتصبح أقصى ما يمكن عند بعد مقداره 4λ .

إذا كانت الحجرة تكون من عدة أسطح مختلفة فإن معامل الامتصاص الصوتي المتوسط يمكن تعبينه بالمعادلة

$$\alpha = \frac{S_1\alpha_1 + S_2\alpha_2 + \dots + S_n\alpha_n}{S_1 + S_2 + \dots + S_n} \quad (15.19)$$

حيث S_1, S_2, \dots, S_n مساحة الأسطح المختلفة

$\alpha_1, \alpha_2, \dots, \alpha_n$ معامل الامتصاص الصوتي للأسطح المختلفة.

15.8 Room Characteristics

15.8 خواص الغرفة

يمكن توصيف مصدر الصوت بالقدرة التي يشعها . هذه القدرة لا يمكن قياسها وبدلا منها يتم قياس الضغط الذي تولده. ولذلك نجد أن هناك دائماً علاقة بين القدرة SPL والضغط SPL عند مسافة ما مصدر الصوت. الغرفة الكبيرة يمكن اعتبارها كغلاف كبير Large enclosure حيث أن ابعادها دائماً أكبر من طول الموجة الصوتية .

إذا أعتبرنا المعامل R ثابت الغرفة Room constant يساوى

$$R = \frac{S \times \alpha}{1 - \alpha}, \text{ m}^2, \quad (15.20)$$

حيث S مجموع مساحة الأسطح α غرفة m^2

معامل امتصاص الصوت .

إذا أعتبرنا أن $(\alpha = 1)$ أي أن كل أسطح الغرفة متماثلة في امتصاص الصوت في هذه الحالة $R = \infty$ وتسمى الغرفة متنفسة للصوت Anechoic إذا كانت $(\alpha = 0)$ أي أن كل الصوت يتم انعكاسه وتسمى الغرفة عاكسة أو مرددة للصوت Reverberant وعلى هذا الأساس تم وضع علاقة بين R , SPL - PWL للأبعاد المختلفة عن مصدر الصوت .

معرفة البعد عن مصدر الصوت وقيمة ثابت الغرفة R يمكن تحديد العلاقة بين قدرة الصوت PWL ، ضغط الصوت SPL . هذه العلاقة مبينة في Fig 15.5

15. 9 Rating and Noise Criteria ٩/ تقييم ومعيار الضوضاء

معيار استجابة أذن الإنسان للتردد الصوتي مر بمجموعة من التعريفات هي :

١- مستوى الجهارة Loudness level وهى تعبر عن مستوى ضغط الصوت من نجمة

صافية Pure tone ترددتها 1000Hz في مركز جبهة المستمع.

٢- قام برانك Beranek بوضع معيار الضوضاء (NC) التي تعبر عن الضوضاء المستقرة لمبيز مستوى نطاق التردد Band level الذي يقع بين 63Hz إلى 8000Hz هذا المعيار يختلف باختلاف النشاط القائم في كل مكان على حدة وقد تم بيانه في باب مخارج الهواء.

15.10 انتقال الصوت خلال المباني

15.10 Sound Transmission Through Buildings

المعدات العاملة داخل غرف الماكينات تولد مجال عاكس للصوت Reverberant field ينتقل في شكل طاقة إلى الأسطح القريبة ومنه إلى حوائط المبني لتخفيض انتقال الصوت خلال غرف الماكينات يتم تجليد أو تغطية الأسطح الداخلية بمواد ماصة للصوت Sound absorbing Material وبداية فإن التصميم الإنثائي الأولى لغرف الماكينات من حوائط وأسقف وأرضيات سميكية يعتبر الخطوة الأهم لتخفيض انتقال الصوت .

15. 11 مصادر الضوضاء من الأنظمة الميكانيكية

15. 11 Sources of Noise in Mechanical Systems

تشا الضوضاء في أنظمة تكييف الهواء نتيجة تشغيل الضواغط Compressors والمراوح Fans والطلمبات Pumps، من سريان الهواء خلال أنظمة المسالك Dust systems والمياه خلال الأنابيب Water pipes ومنافذ توزيع الهواء Air outlets والوحدات الطرفية وحى مخفضات الصوت Silencers يمكن أن تولد كمية من الضوضاء يعكس ما هو مفترض منها إذا لم يتم تركيبها بصورة جيدة وفيما يلى نشرح بعض مصادر الضوضاء وطرق علاجها.

15.11.1 ضوضاء المروحة

عند مرور الهواء على ريش المروحة ينشأ ضغط يزيد خالها هذا الضغط يكون منتفظاً إذا كان السريان طبقي Laminar. هذا نادراً ما يحدث حيث يكون السريان مضطرباً نتيجة انحناءات الريش مما يتسبب في حدوث دوامت مسببة ضوضاء كبيرة وكذلك عند مخرج المروحة ويتم علاج ذلك بالأعلى :

1- تركيب المراوح (وكذلك Pump والضاغط) على ماصة للأهتزازات

Vibration insulator في شكل يائِي كالمبين في Fig15.6.

2- استخدام تركيبات مرنة ماصة للصوت عند مخرج المروحة. ويفضل أن يتم وضع هذه التركيبات على حائط حامل حتى لا تنتقل هذه الأهتزازات إلى المسالك بقدر الإمكان وبين الوضع الأفضل لتركيب مصيده الصوت Sound trap على مخرج المروحة . Fig15.7

15.11.2 ضوضاء المسالك

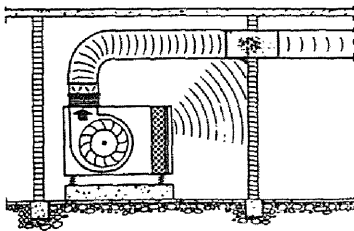
15.11.2 ضوضاء المسالك

- المسالك المستقيمة Straight duct يمكن تخفيض الصوت فيها عن طريق استخدام فلتر تخفيف الصوت Sound attenuation filter وهو يتكون من جزء من مسلك يركب بداخله في اتجاه السريان مقاطع توجيه Baffles تقوم على تقليص الدوامات التي تحدث نتيجة السريان وبالتالي تخفيض الضوضاء.

- تقليل المسافة بين حوامل التعليق في السقف Hanger brackets كما هو مبين في Fig15.9

- استخدام وصلات مرنة ماصة للأهتزازات كالمبينة في Fig15.10 بين الأجزاء المختلفة والمشار إليها بالسهم.

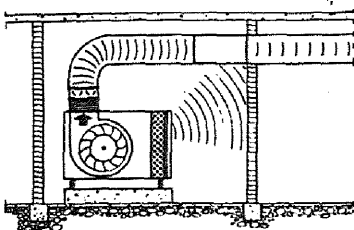
- تصنيع المسالك من مادة الفيبر جلاس التي تعمل كعزل للحرارة والضوضاء. ويمكن اعتبار هذا الأجراء في اتجاه ترشيد الطاقة أيضاً.



Centered in wall

Best solution

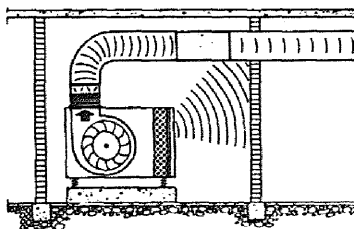
Controls duct borne noise and mechanical room noise that "breaks into" duct.



Outlet at wall

Very good

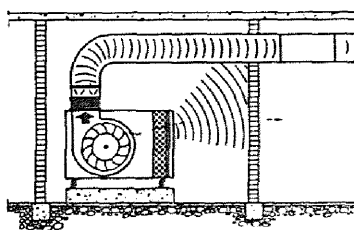
Practical alternate where fire damper is required at wall.



Inside mechanical room

Fair

Mechanical room noise "breaks into" duct without reduction through sound trap.



Outside of mechanical room

Poor

All noise in duct "breaks out" over occupied space before being reduced by sound trap.

Figure 15.7 Locations of sound traps.

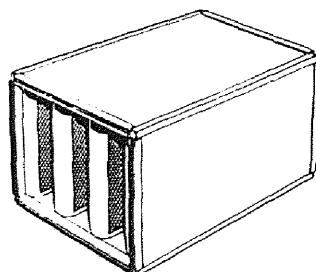


Figure 15.8 Sound attenuation filters

. Splitters, turning vanes and hanger brackets

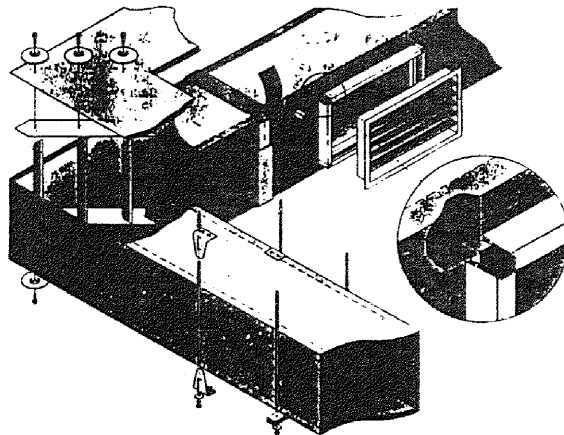
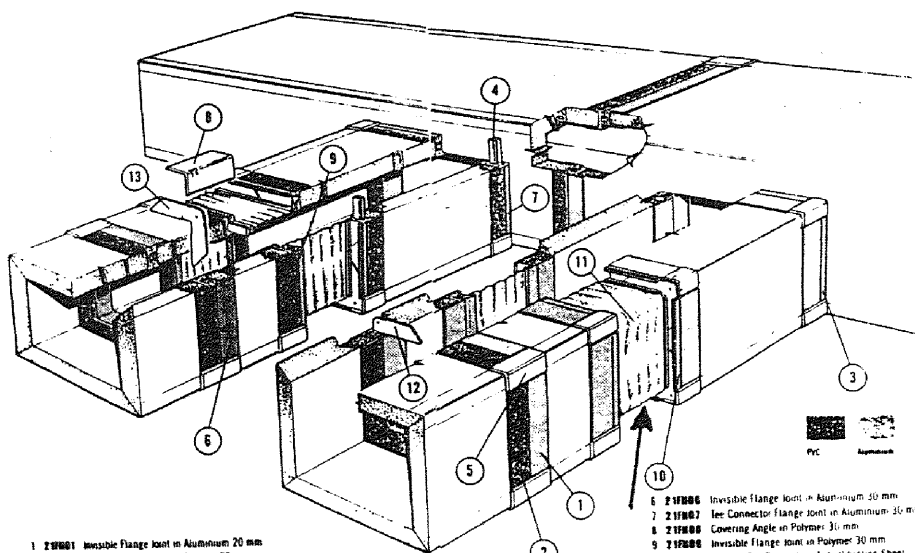


Figure 15.9 Sound attenuation elbow



- | | |
|--|--|
| 1 219801 Invisible Flange Joint in Aluminium 20 mm | 6 219806 Invisible Flange Joint in Aluminium 30 mm |
| 2 219802 Invisible Flange Joint in Polymer 20 mm | 7 219807 Tee Connector Flange Joint in Aluminium 30 mm |
| 3 219803 Tee Connector Flange Joint in Aluminium 20 mm | 8 219808 Covering Angle in Polymer 30 mm |
| 4 219804 H Support in Polymer | 9 219809 Invisible Flange Joint in Polymer 30 mm |
| 5 219805 Covering Angle in Polymer 20 mm | 10 219804 Section Bar Supporting Anti-Vibration Sheet |

Figure 15.10 Anti-vibration sheet for duct - sections connection.

15.11.3 الأكواع

تقوم نظرية تولد الضوضاء في الأكواع على أساس ارتطام الهواء المفاجئ وارتداده مما يؤدي إلى نشوء ضغط كبير للموجة الصوتية . إذا أمكن تقليل هذا الضغط باستخدام أكواع ذات موجهات Splitters كالميئنة في Fig15.11 ويكون تخفيض الضوضاء محسوسا بدرجة أكبر إذا استخدمت هذه الموجهات مع أكواع دائرية . والجداول المقابلة للرسم تبين أن مقدار التخفيض يكون محسوسا مع هذه الإجراءات خاصة في الترددات المنخفضة من 36Hz إلى 500 Hz .

15.11.4 تخفيض الضوضاء في الوصلات

15.11.4 Sound attenuation in transition offsets takeoffs

بالنسبة لبقية التركيبات مثل الوصلات Transitions والتفرعات والتيه(T) والأكواع أيضا

يتم تخفيض الصوت فيها باتخاذ إجراءات تقاد تكون متشابه فائمة على :

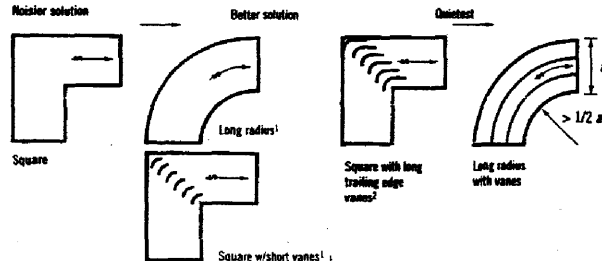
- تجنب الانحناءات الحادة وبدلا منها باستخدام الانحناءات الدائرية التي لا تساعد على تكوين دوامت تولد ضغطا صوتيا.
- استخدام زاوية ميل صغيرة لا تزيد عن 15° .
- استخدام موجهات الهواء التي تعمل على تقليل اضطراب الهواء، بعض هذه الحلول تقوم بتصنيعها شركة P3 لصناعة مسالك الهواء.

Problems

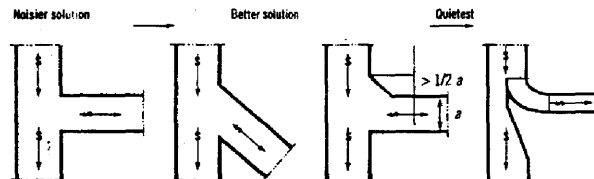
15.1 A tube 1.5 long has speaker at one end and a reflecting plug at the other. The frequency of a pure tone generator driving the speaker is to be set so that standing wave will develop in the tube. What frequency is required.

15.2 The peak sound pressure in spherical wave measured at 2m from the source is 2Pa. Determine the sound intensity level and the power level. If the distance is then doubled calculate the IL and PWL for such case.

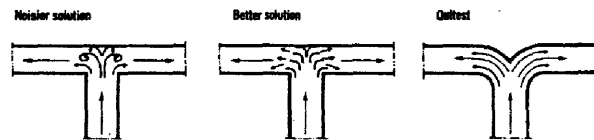
Guidelines for minimizing regenerated noise in elbows.



Guidelines for minimizing regenerated noise in the takeoffs.



Guidelines for minimizing regenerated noise in duct tees.



Guidelines for minimizing regenerated noise in transitions and offsets.

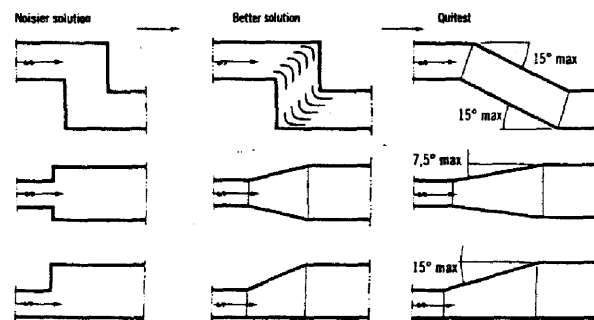


Figure 15.11 Guidelines for limitation of self-generated noise

دار الهدي للمطبوعات

أشعة مونين العاص - خلف جمال عبد الناصر
أرض المعلمين - ميسان - الإسكندرية
ت: ٠٣٧٦٧٢٦٥ - موبيل: ٠١٢٦١٤٦٣٦